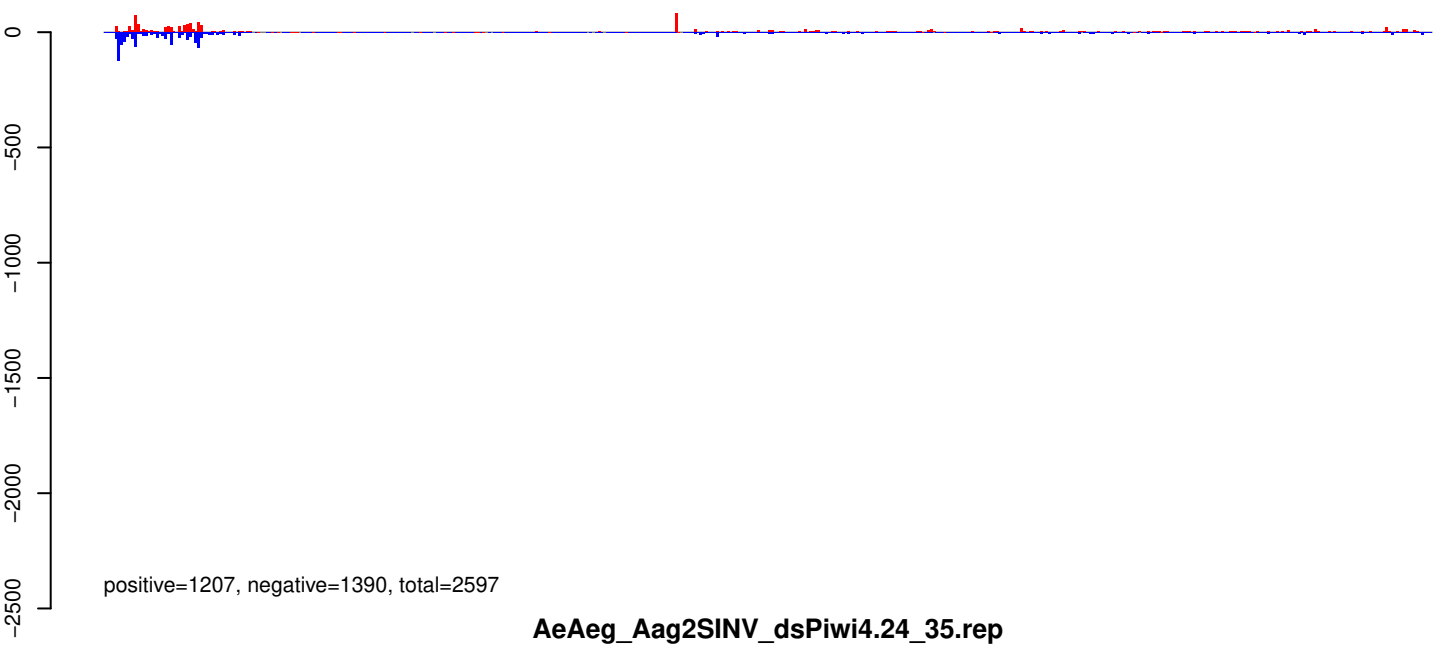
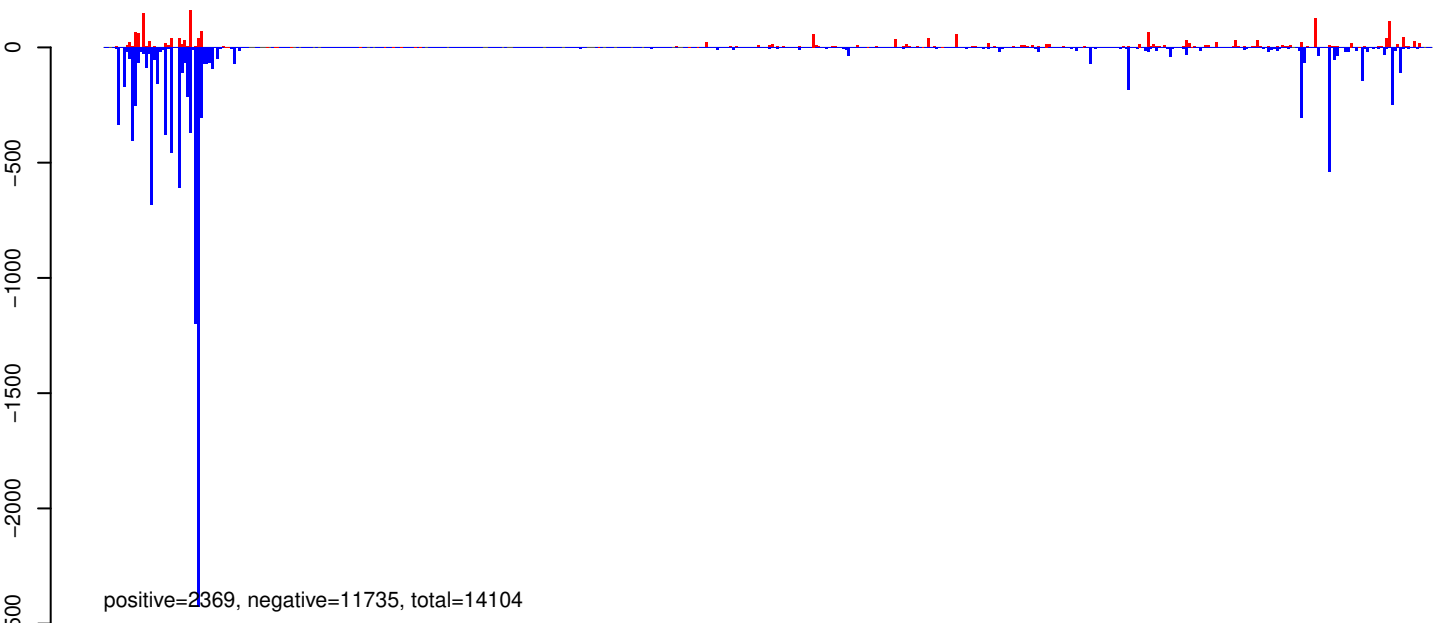


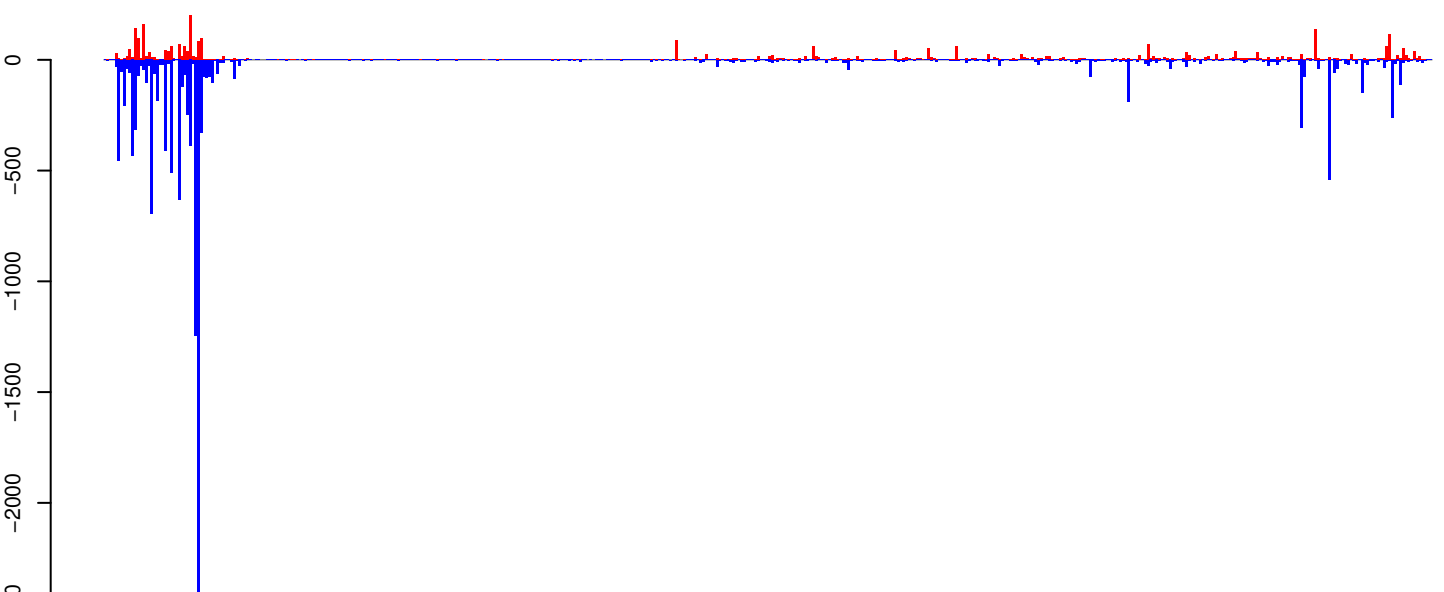
AeAeg_Aag2SINV_dsPiwi4.18_23.rep



AeAeg_Aag2SINV_dsPiwi4.24_35.rep



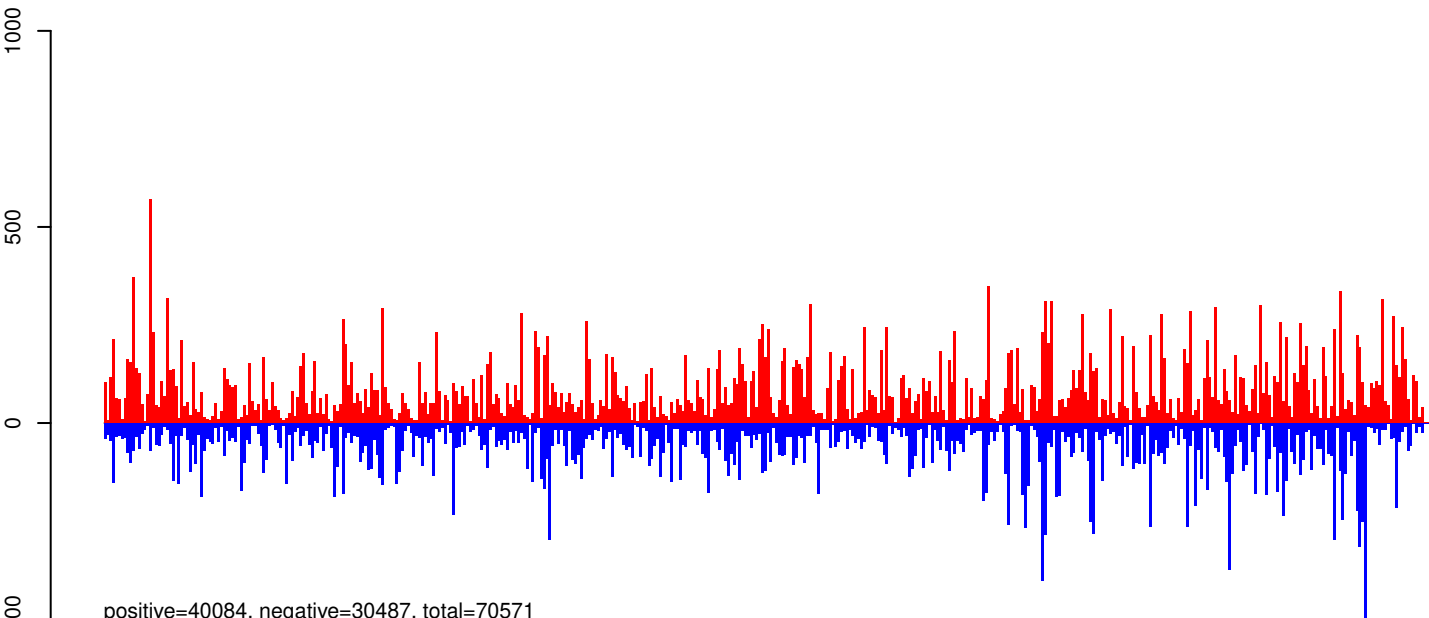
AeAeg_Aag2SINV_dsPiwi4.rep



25, length=12099, vireg@MC-1038263, total=1650 Charoen-like_virus_isolate_Rio_segment_S_plus_segment_M_plus_segment_L_Nucle:1-12099

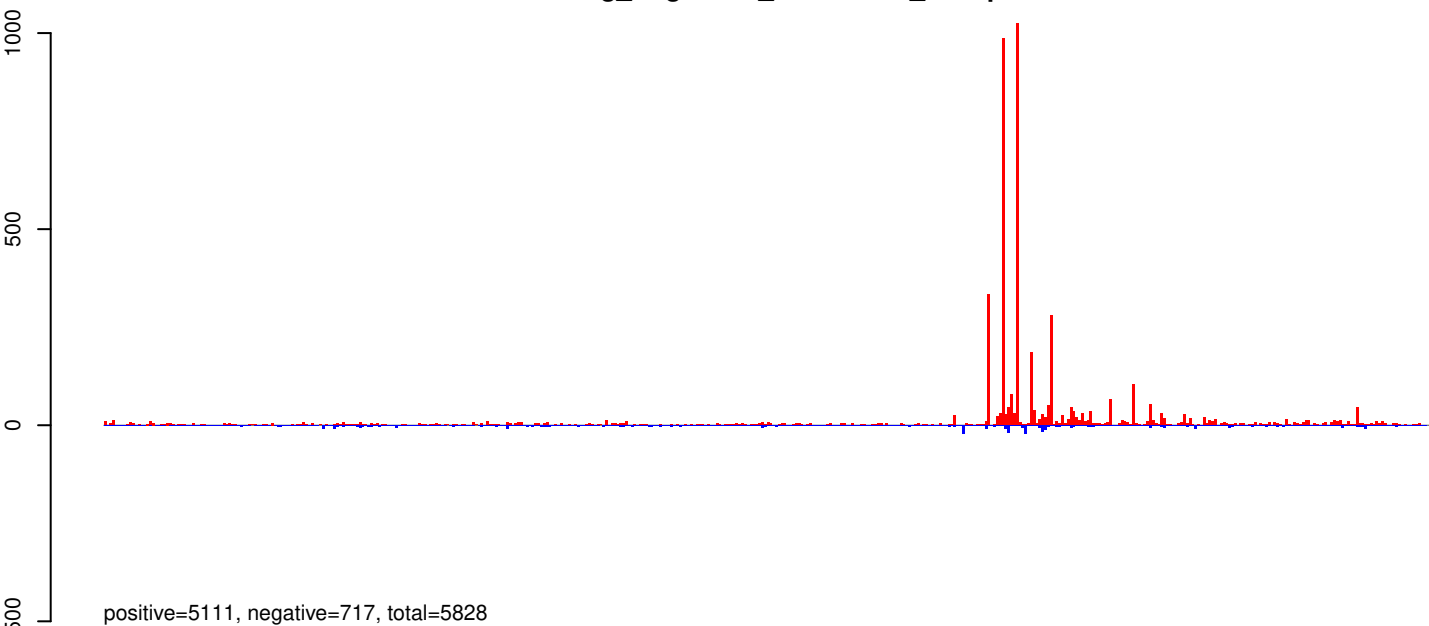
0 2000 4000 6000 8000 10000 12000

AeAeg_Aag2SINV_dsPiwi4.18_23.rep



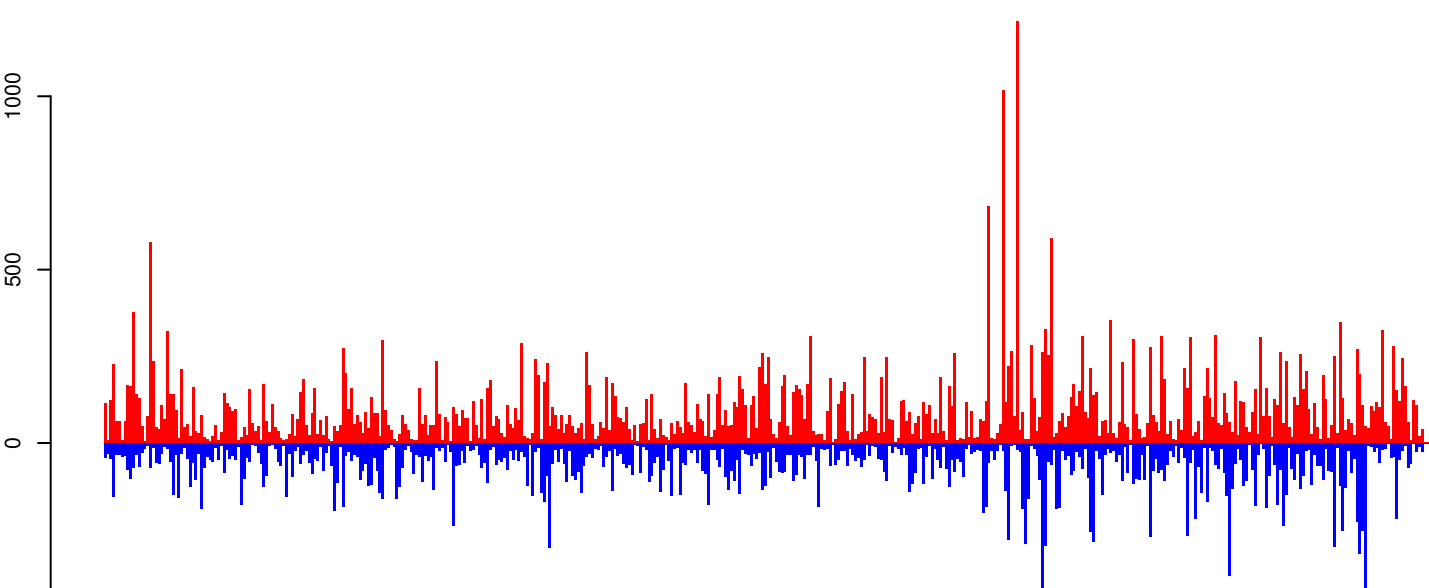
positive=40084, negative=30487, total=70571

AeAeg_Aag2SINV_dsPiwi4.24_35.rep



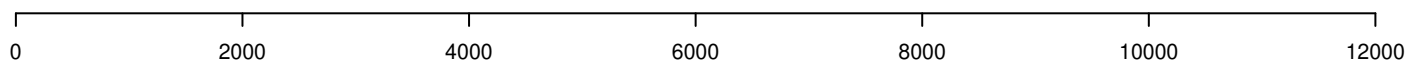
positive=5111, negative=717, total=5828

AeAeg_Aag2SINV_dsPiwi4.rep

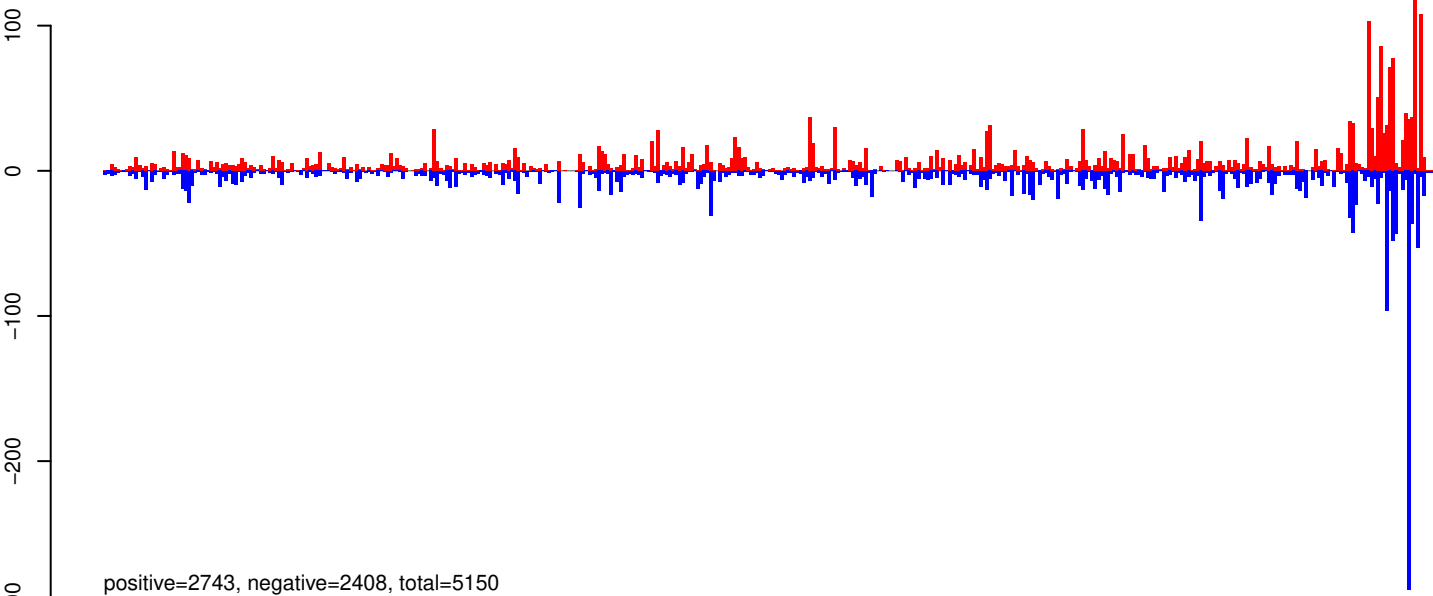


positive=45195, negative=31204, total=76399

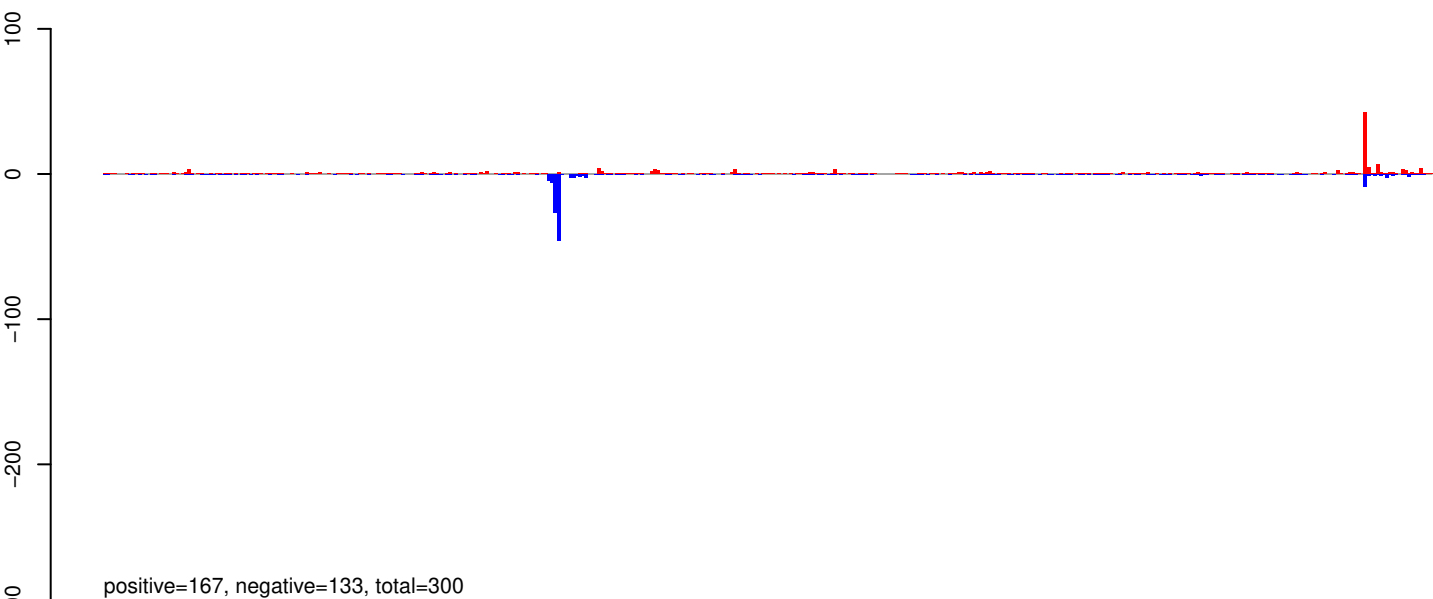
Window size=25, length=11703, virus@NC_001547.1-Sindbis_virus:1+11703



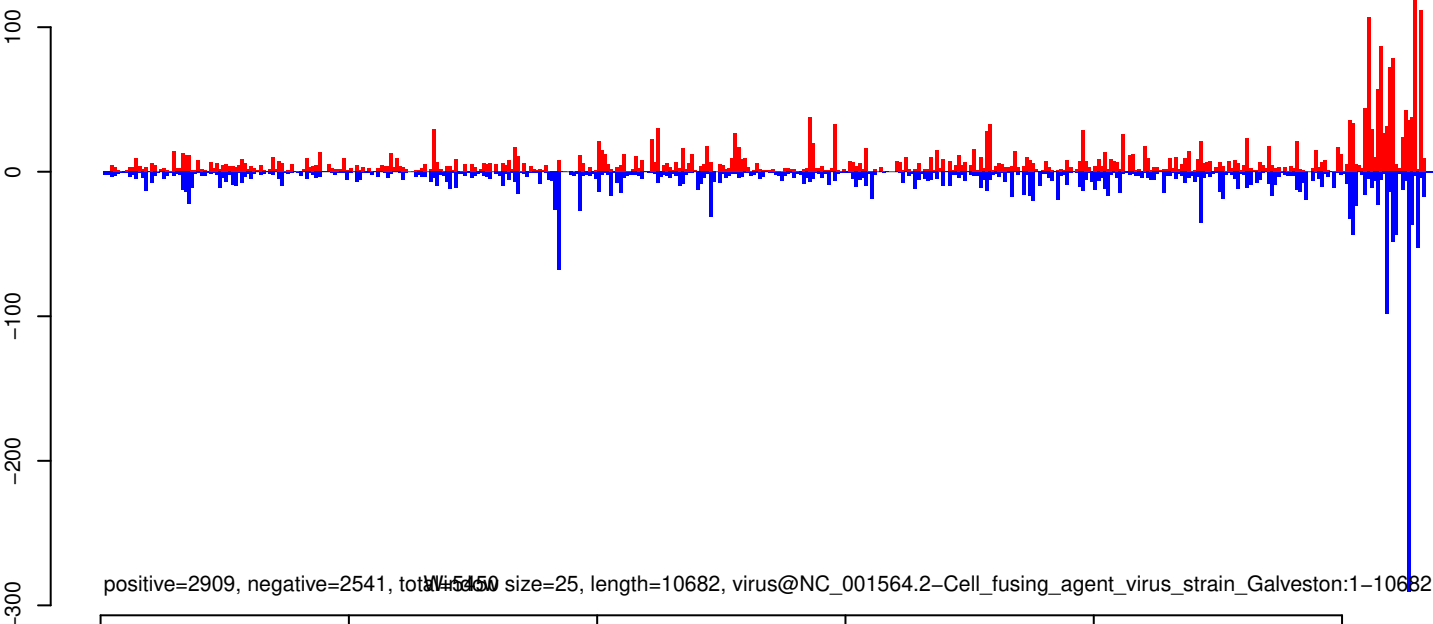
AeAeg_Aag2SINV_dsPiwi4.18_23.rep



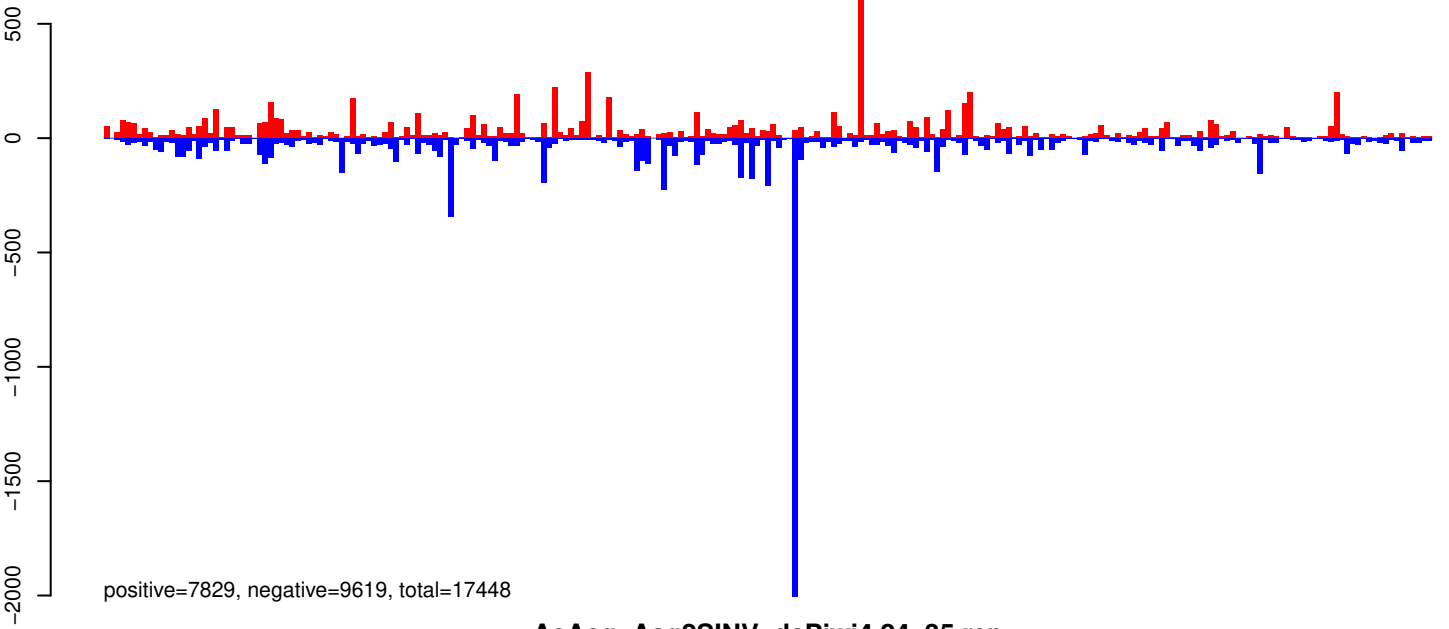
AeAeg_Aag2SINV_dsPiwi4.24_35.rep



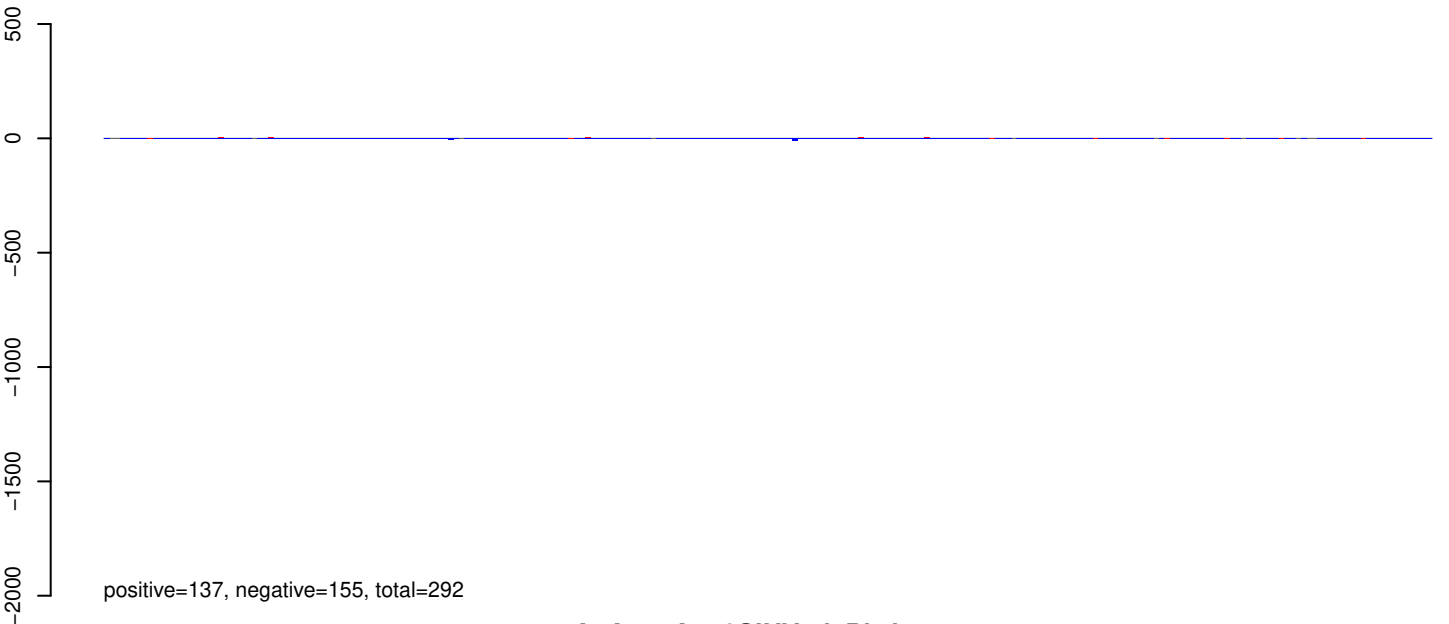
AeAeg_Aag2SINV_dsPiwi4.rep



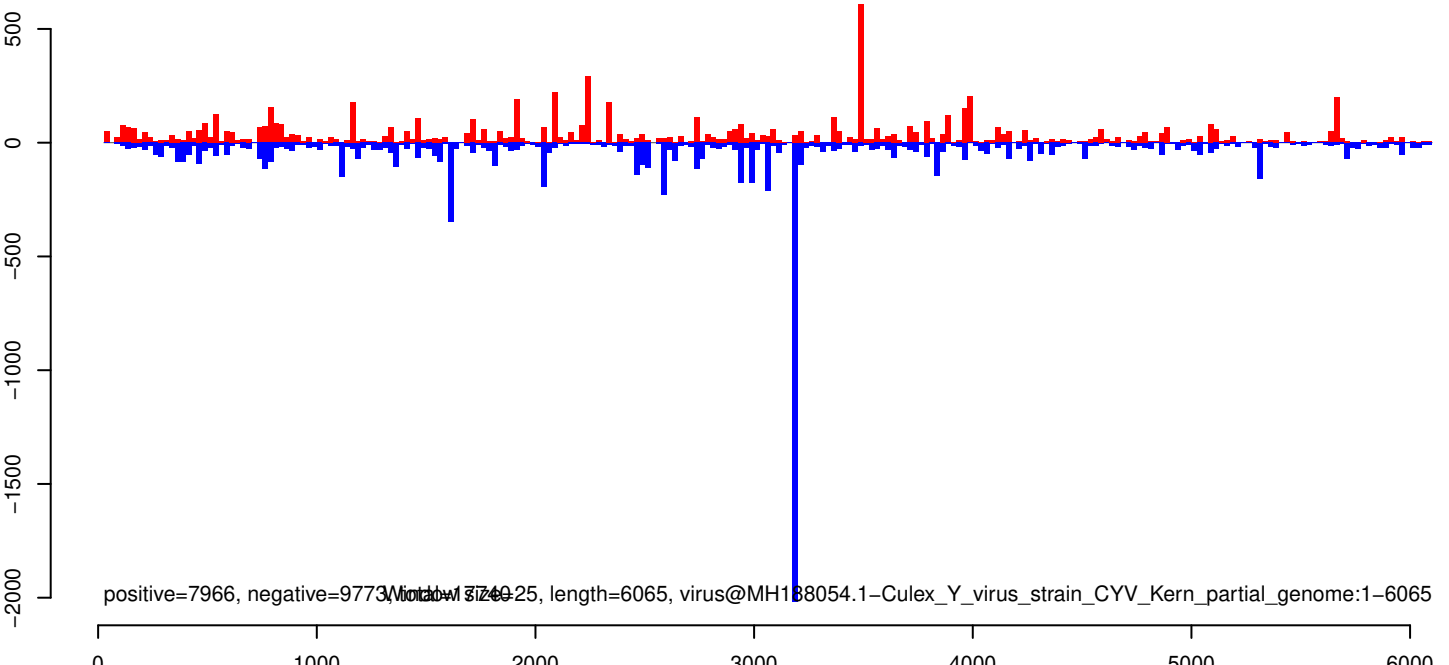
AeAeg_Aag2SINV_dsPiwi4.18_23.rep



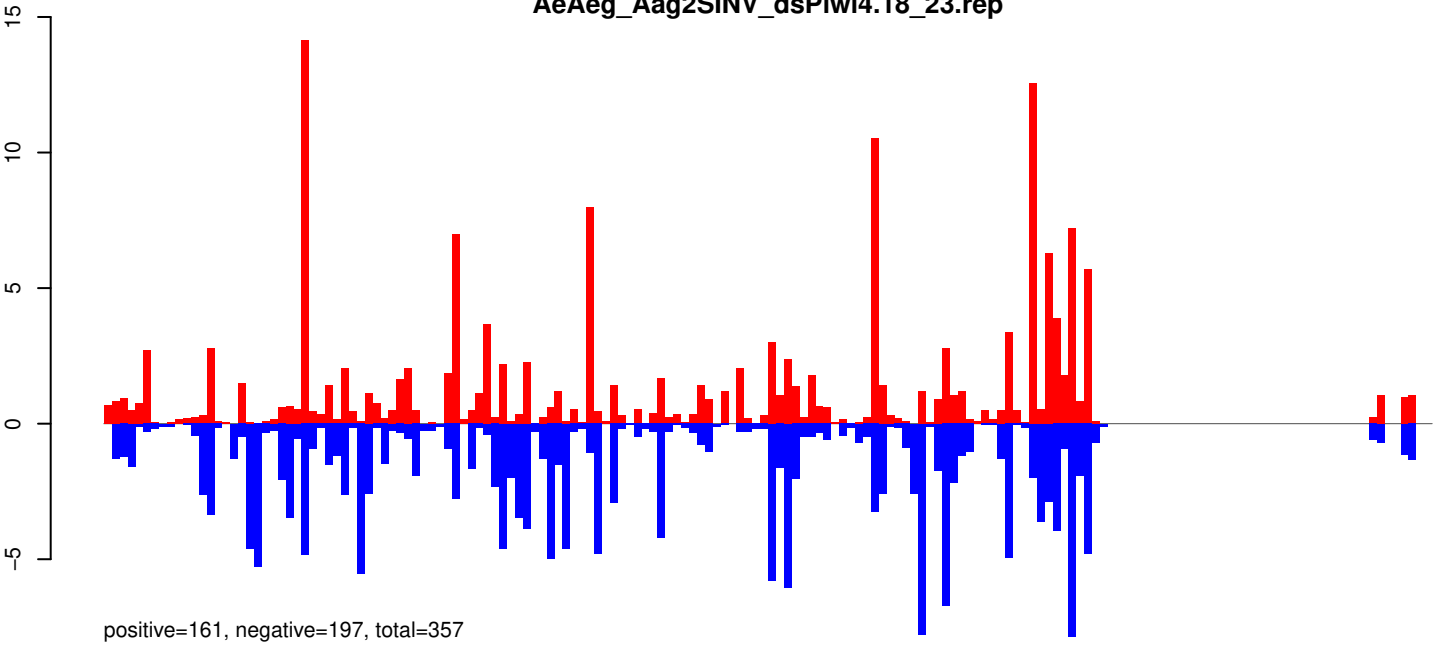
AeAeg_Aag2SINV_dsPiwi4.24_35.rep



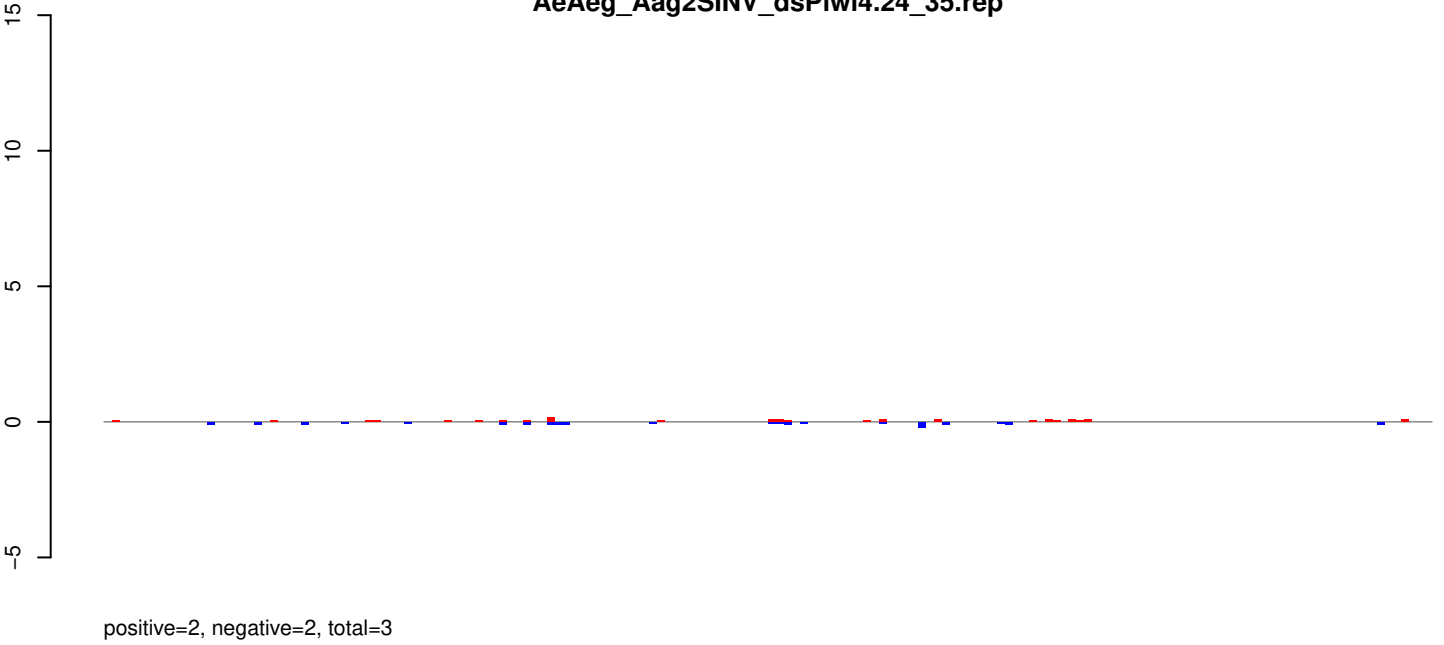
AeAeg_Aag2SINV_dsPiwi4.rep



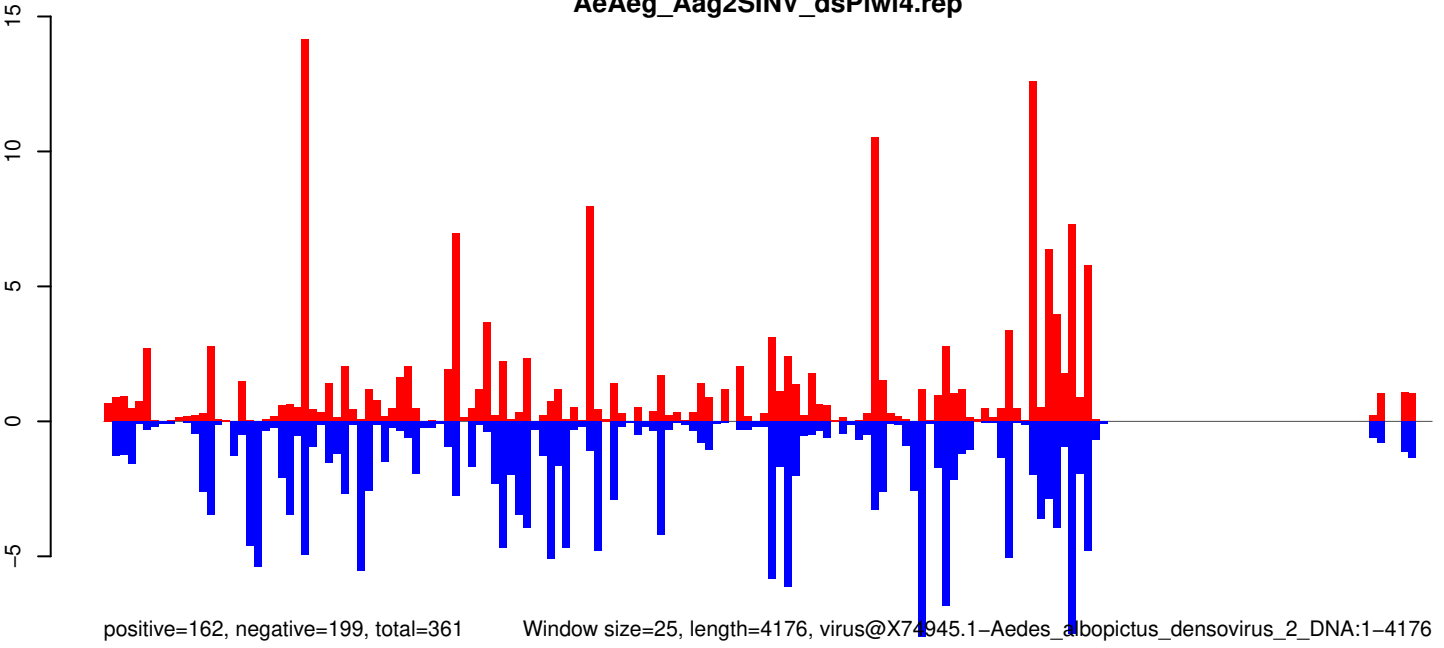
AeAeg_Aag2SINV_dsPiwi4.18_23.rep



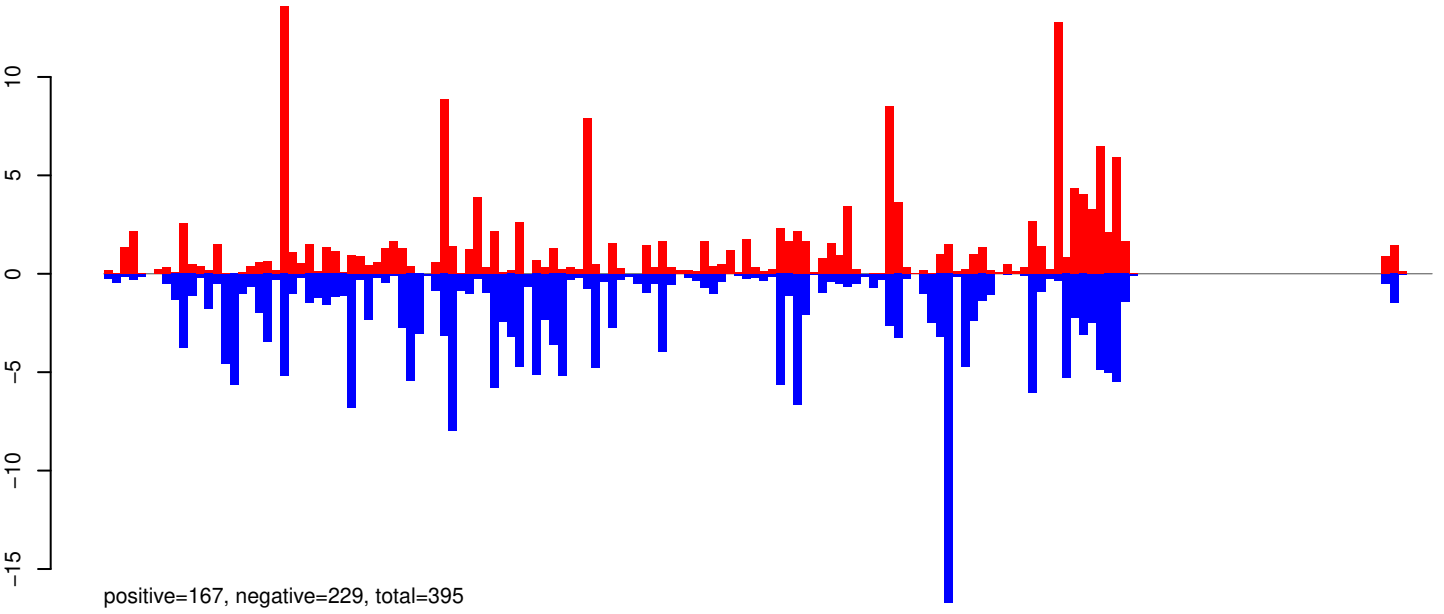
AeAeg_Aag2SINV_dsPiwi4.24_35.rep



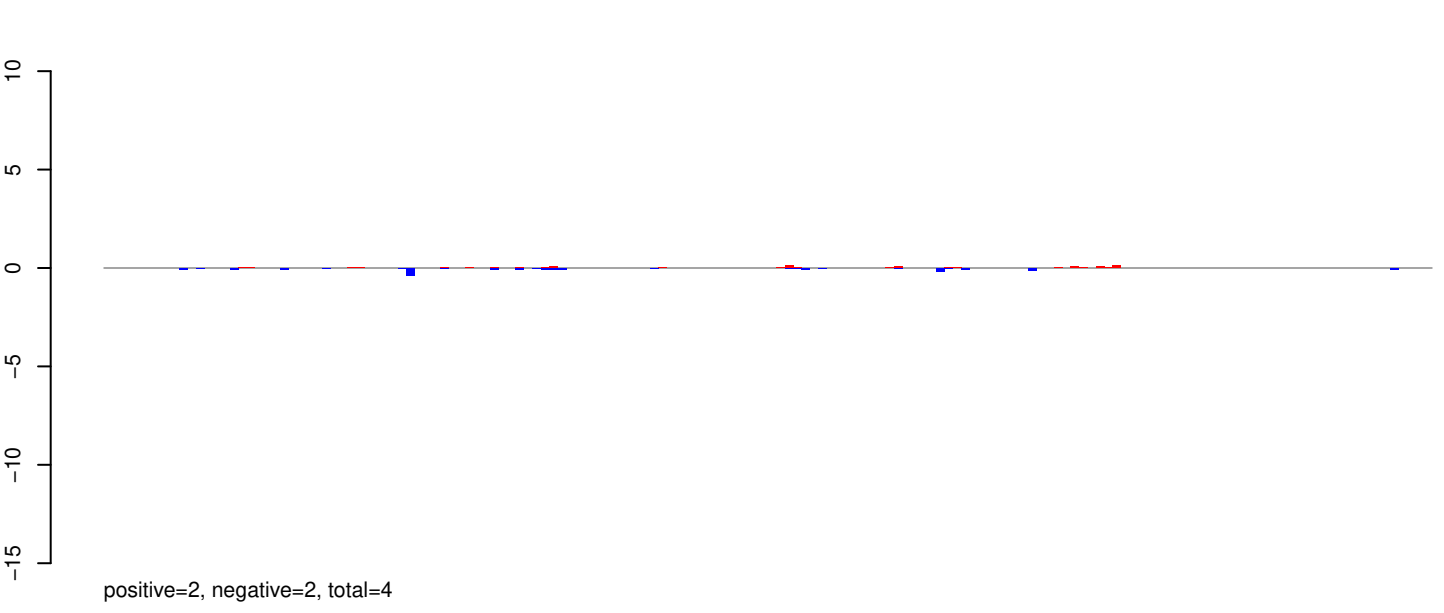
AeAeg_Aag2SINV_dsPiwi4.rep



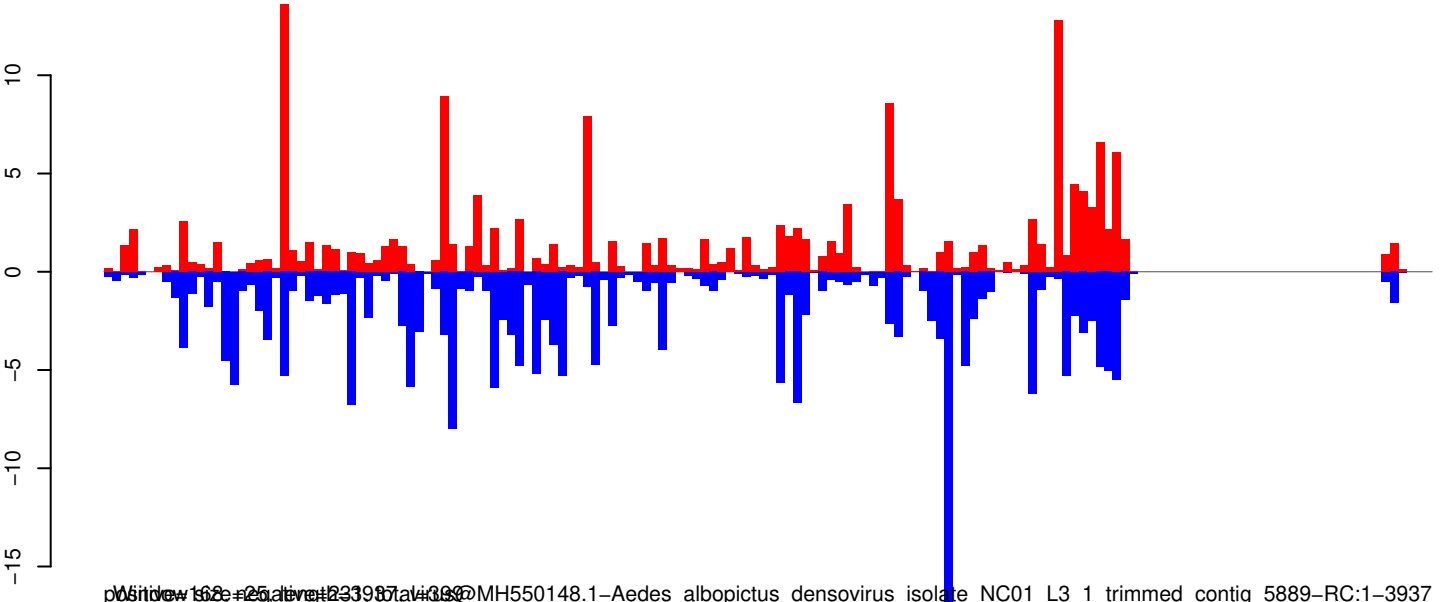
AeAeg_Aag2SINV_dsPiwi4.18_23.rep



AeAeg_Aag2SINV_dsPiwi4.24_35.rep



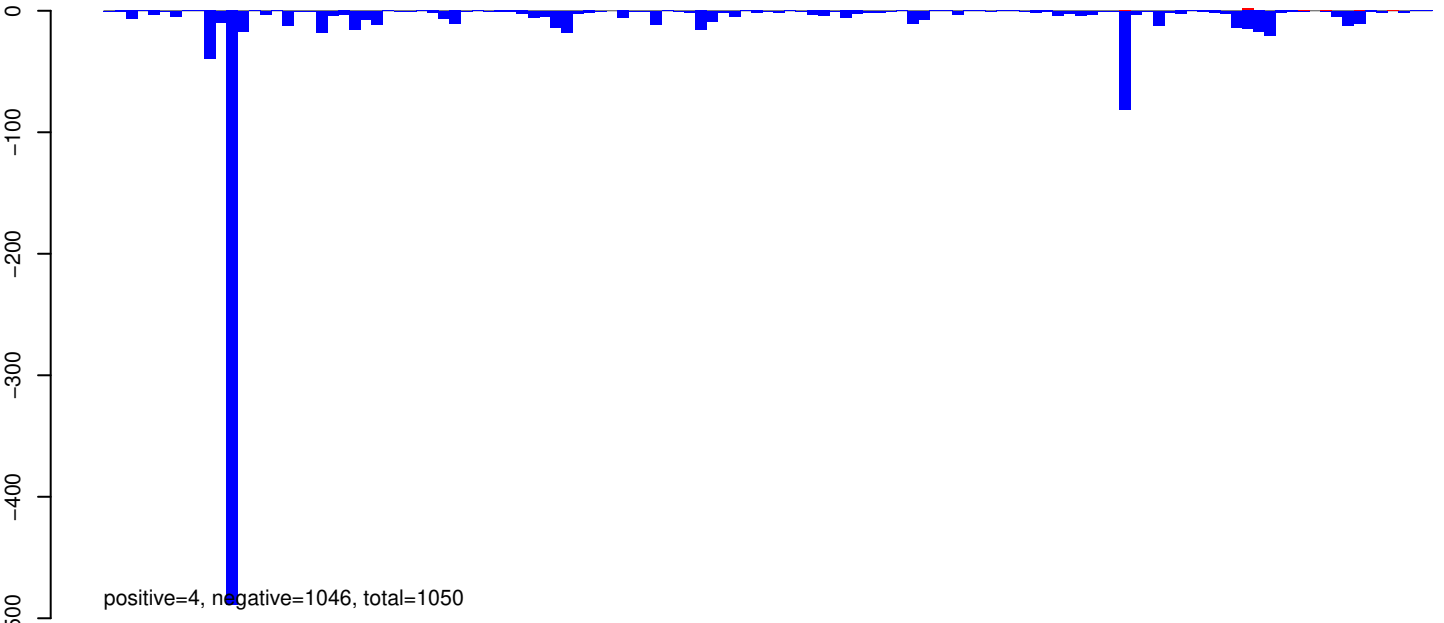
AeAeg_Aag2SINV_dsPiwi4.rep



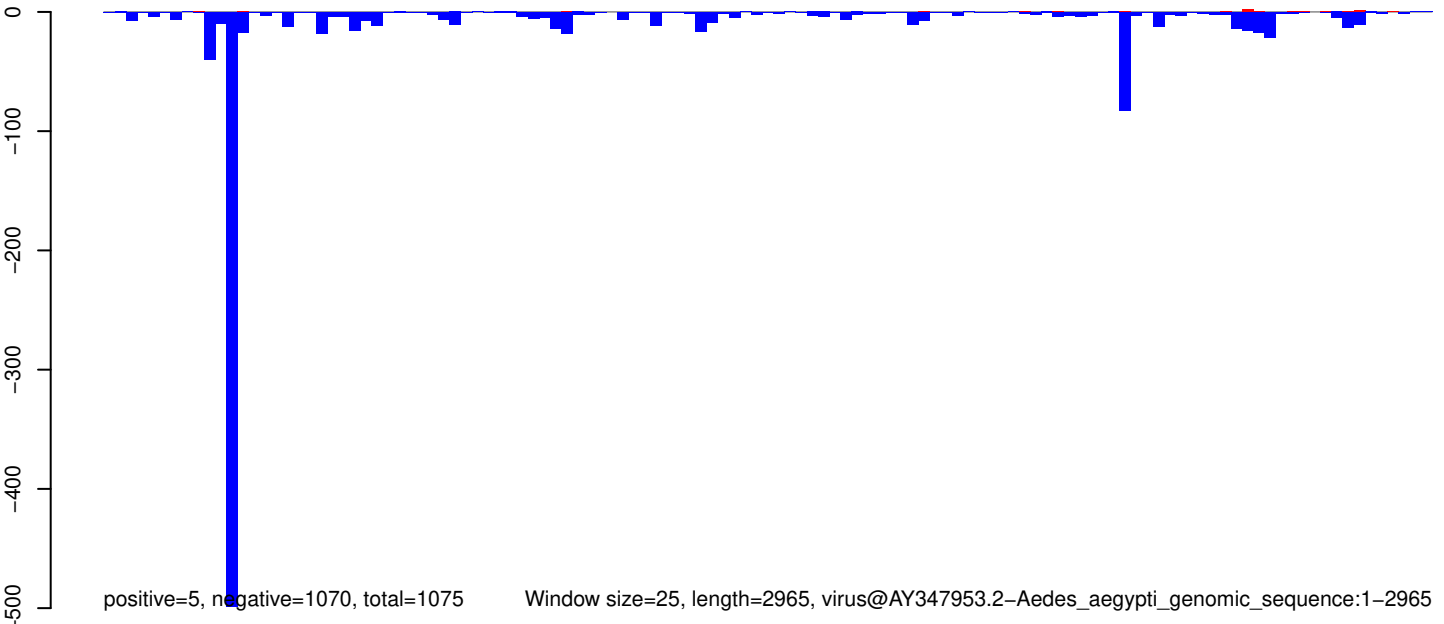
AeAeg_Aag2SINV_dsPiwi4.18_23.rep



AeAeg_Aag2SINV_dsPiwi4.24_35.rep



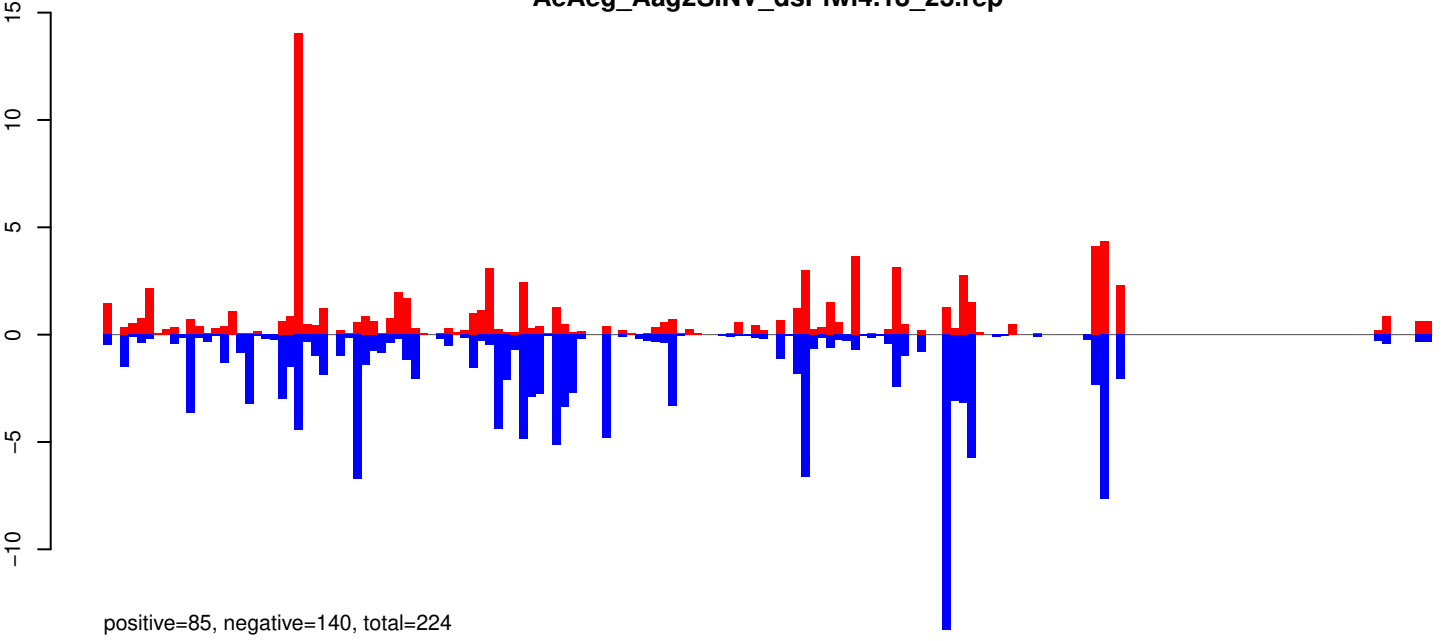
AeAeg_Aag2SINV_dsPiwi4.rep



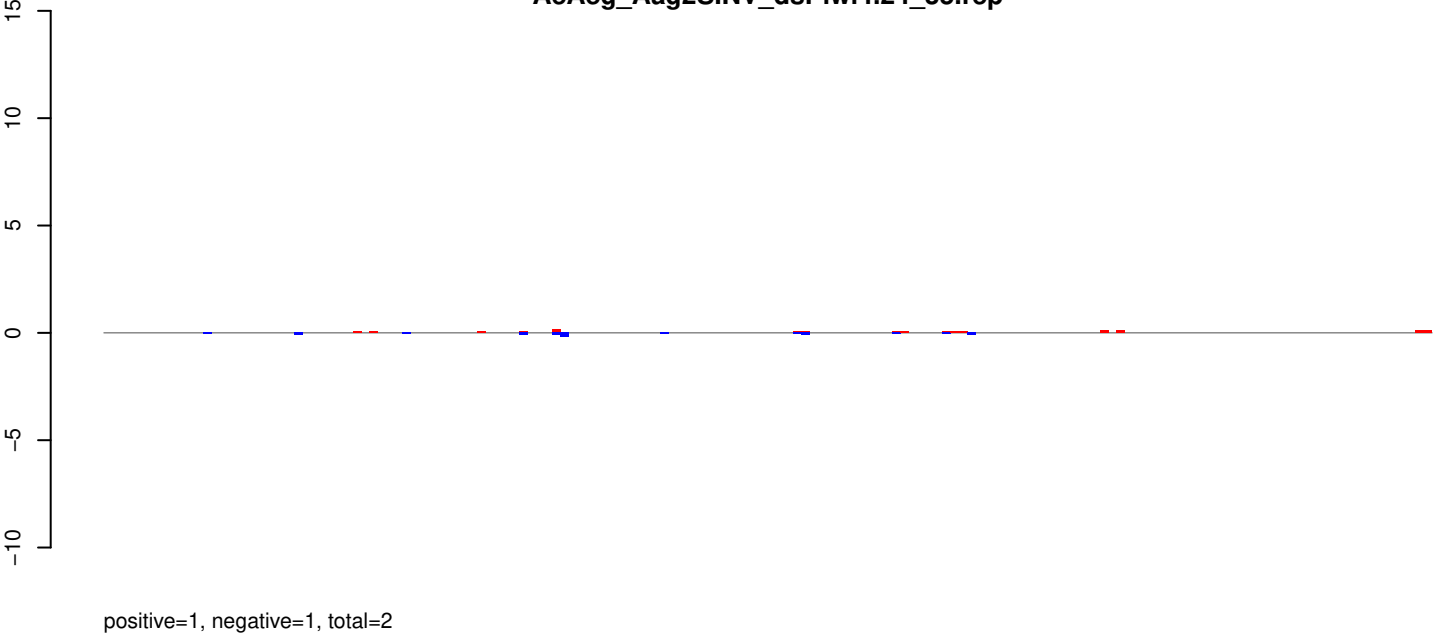
Window size=25, length=2965, virus@AY347953.2-Aedes_aegypti_genomic_sequence:1-2965

0 500 1000 1500 2000 2500 3000

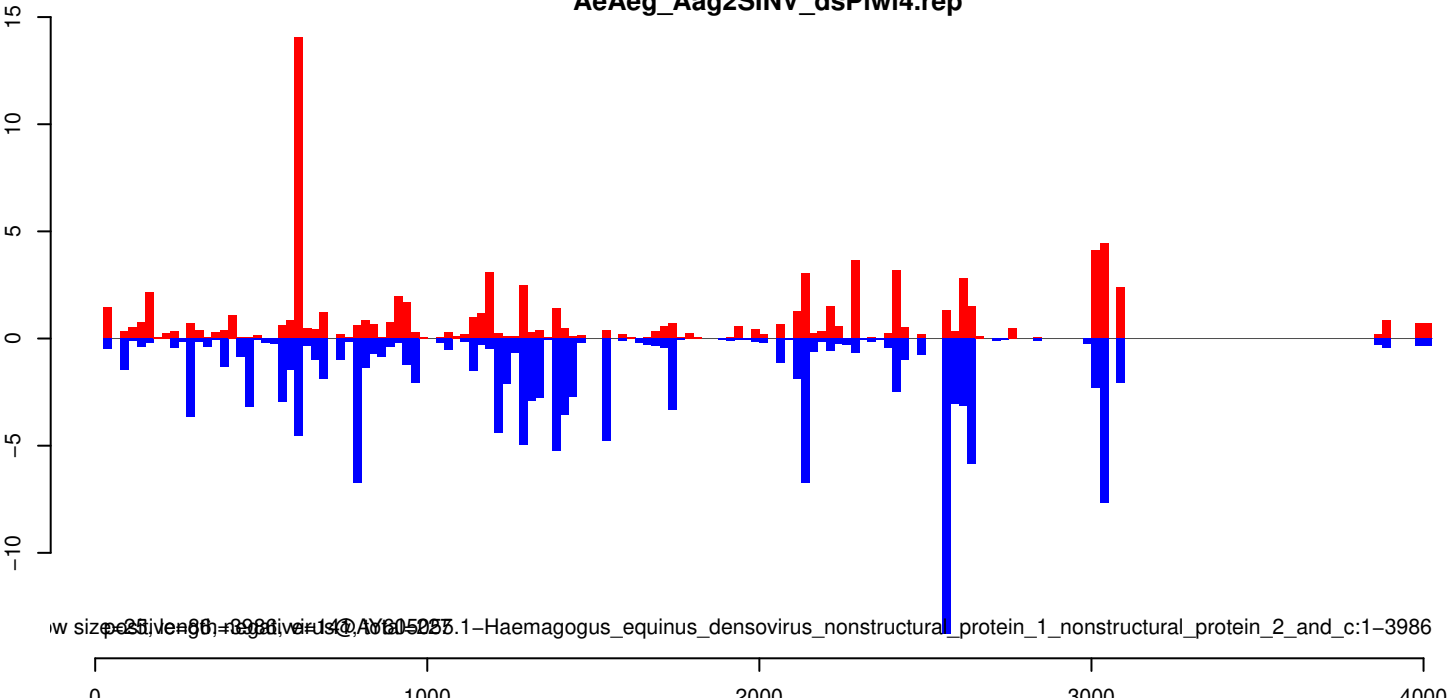
AeAeg_Aag2SINV_dsPiwi4.18_23.rep



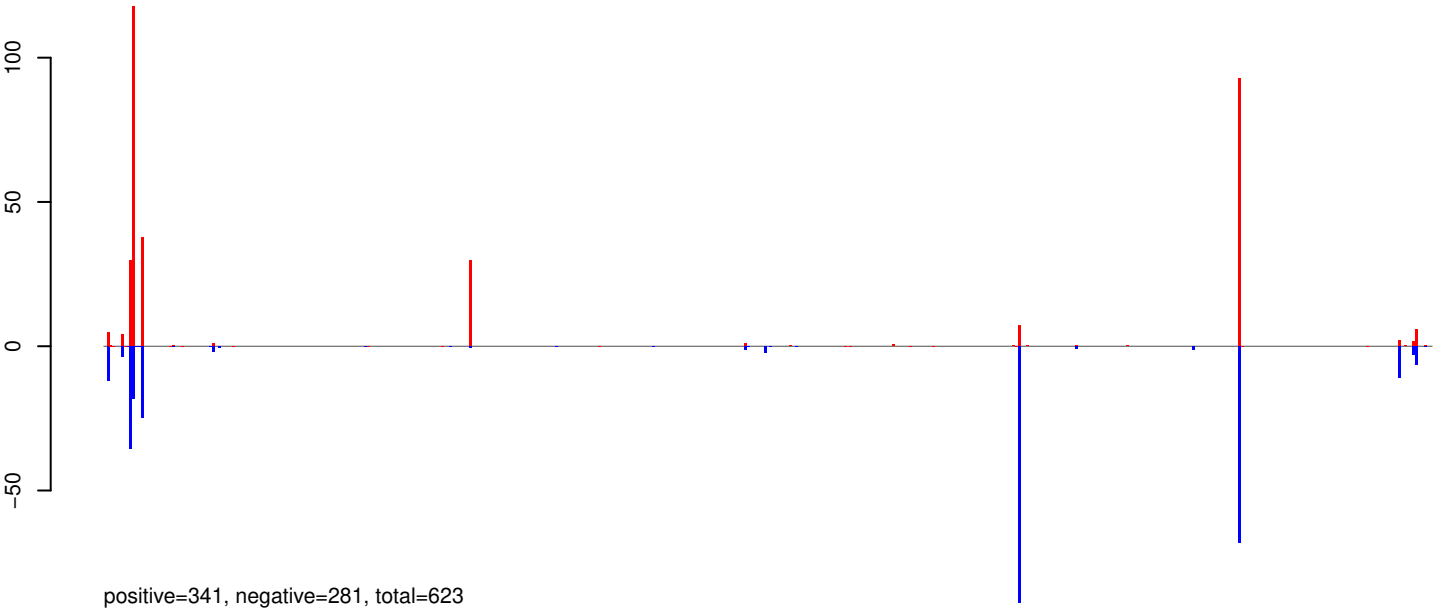
AeAeg_Aag2SINV_dsPiwi4.24_35.rep



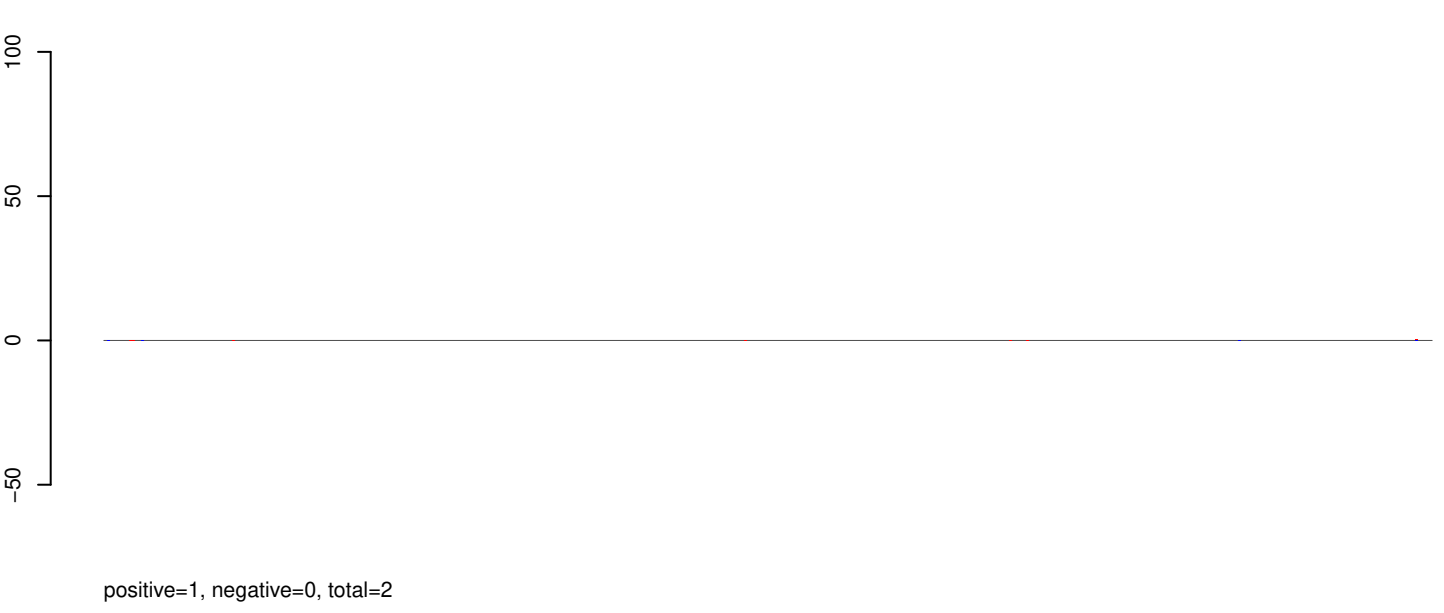
AeAeg_Aag2SINV_dsPiwi4.rep



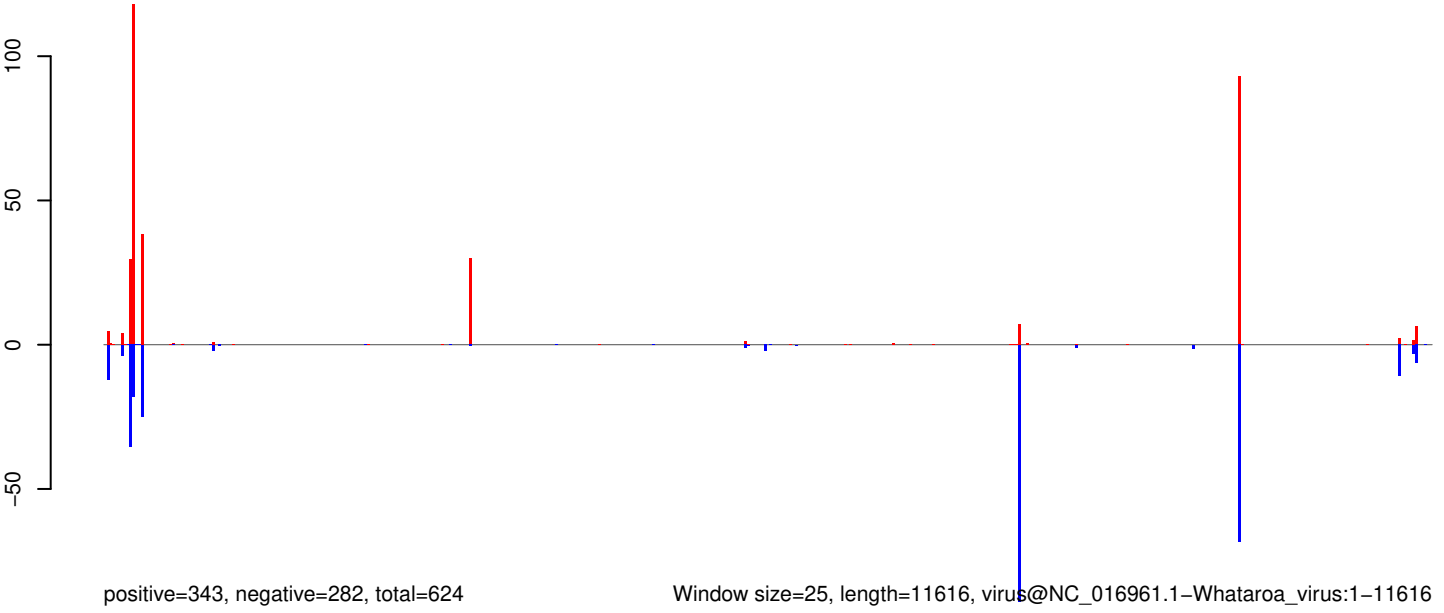
AeAeg_Aag2SINV_dsPiwi4.18_23.rep



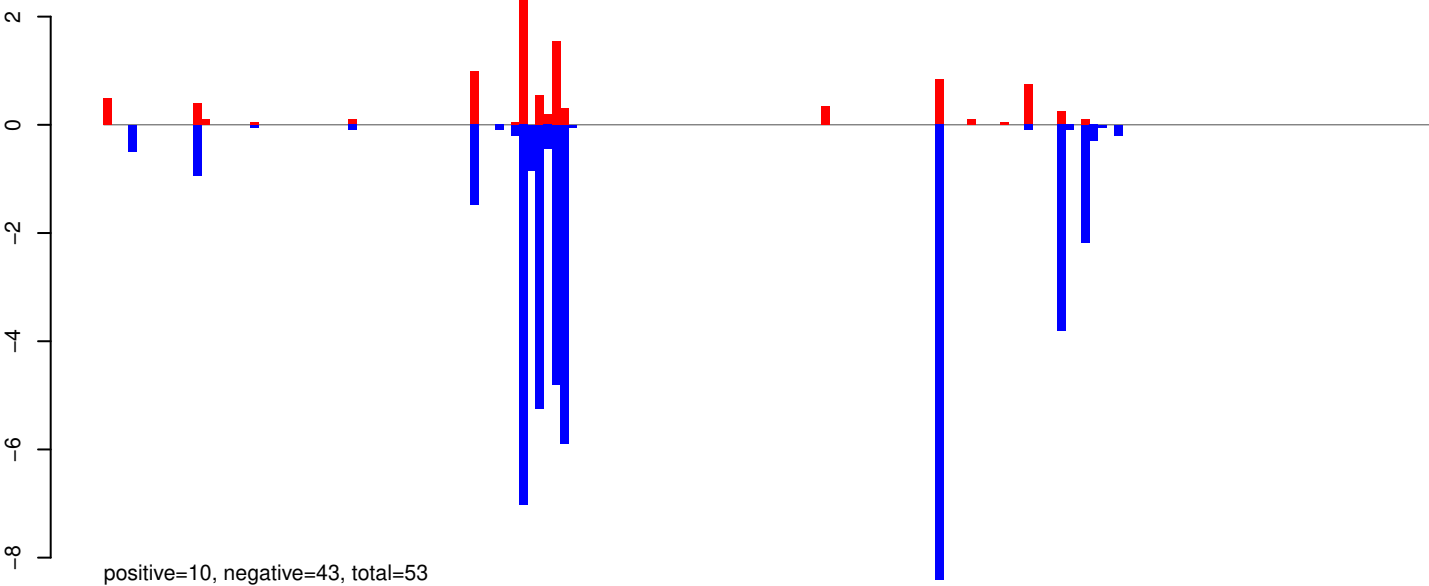
AeAeg_Aag2SINV_dsPiwi4.24_35.rep



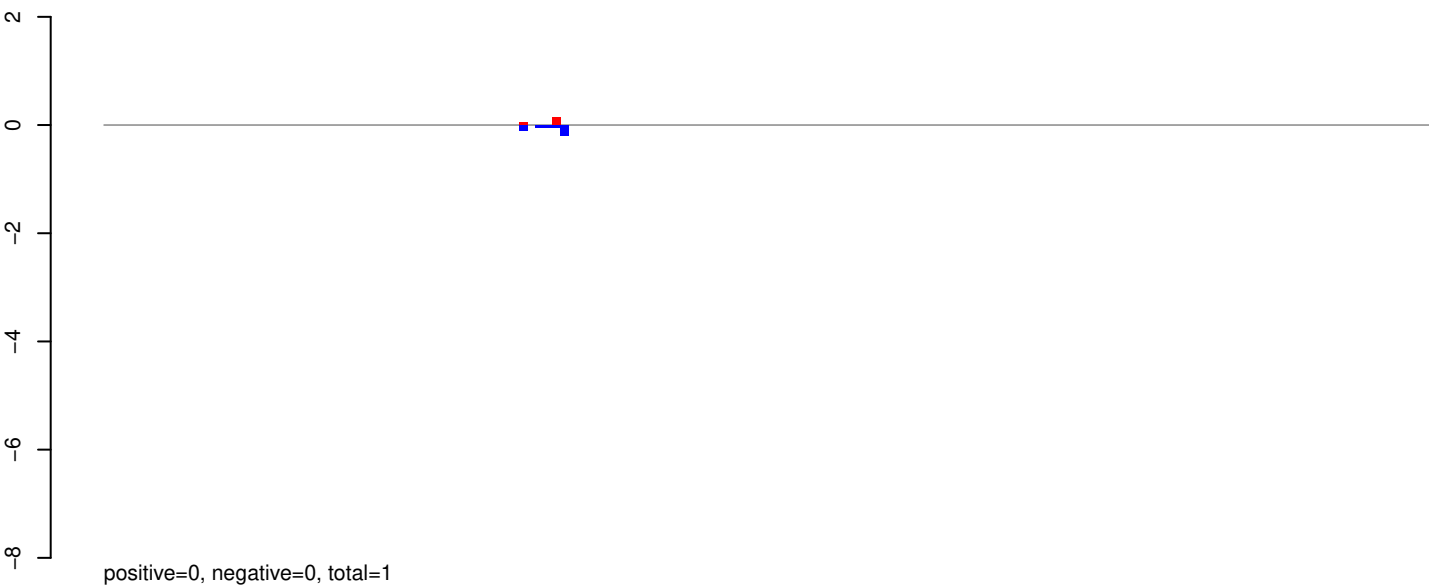
AeAeg_Aag2SINV_dsPiwi4.rep



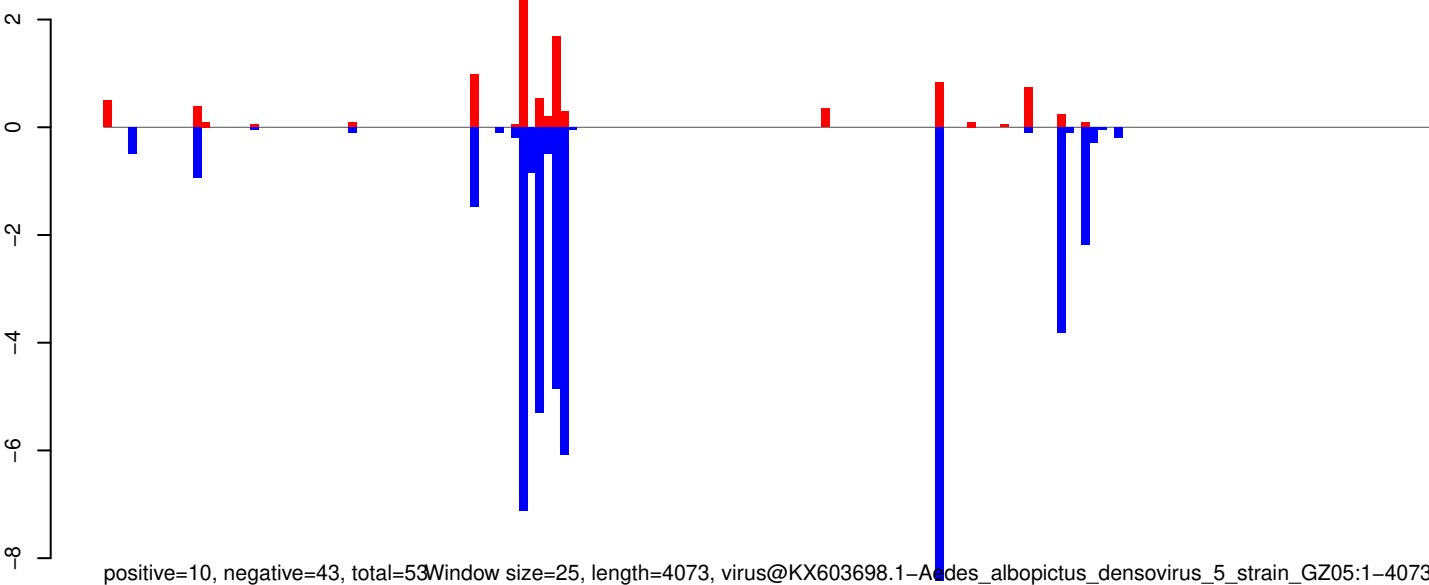
AeAeg_Aag2SINV_dsPiwi4.18_23.rep



AeAeg_Aag2SINV_dsPiwi4.24_35.rep



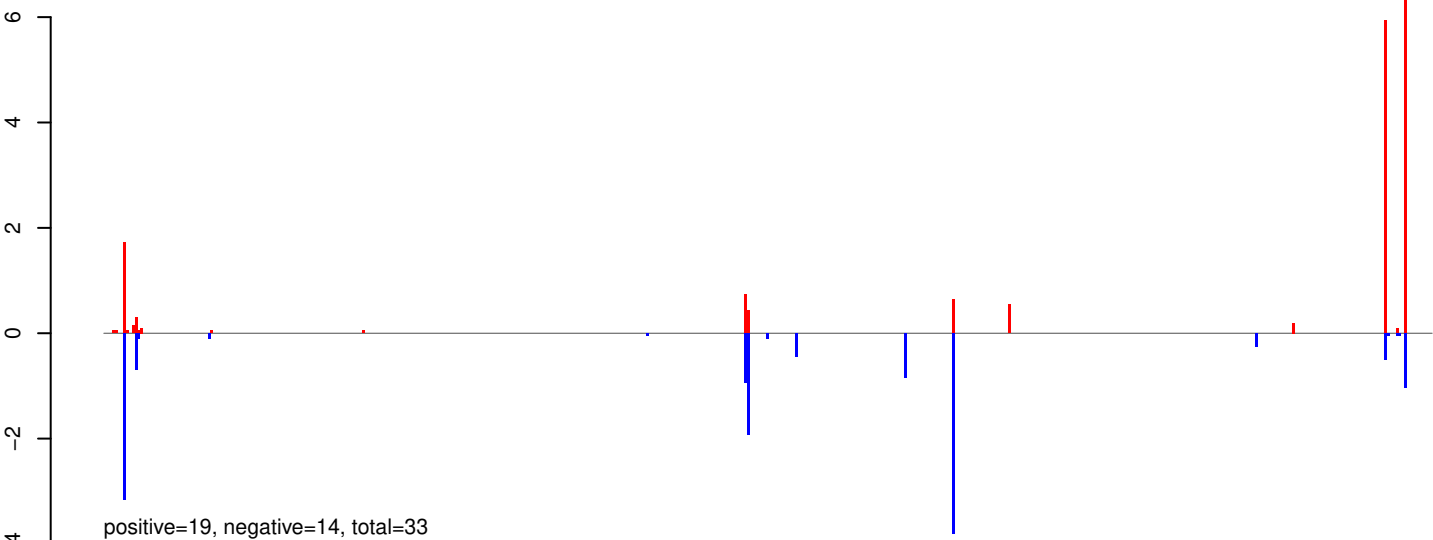
AeAeg_Aag2SINV_dsPiwi4.rep



Window size=25, length=4073, virus@KX603698.1-Aedes albopictus_densovirus_5_strain_GZ05:1-4073

0 1000 2000 3000 4000

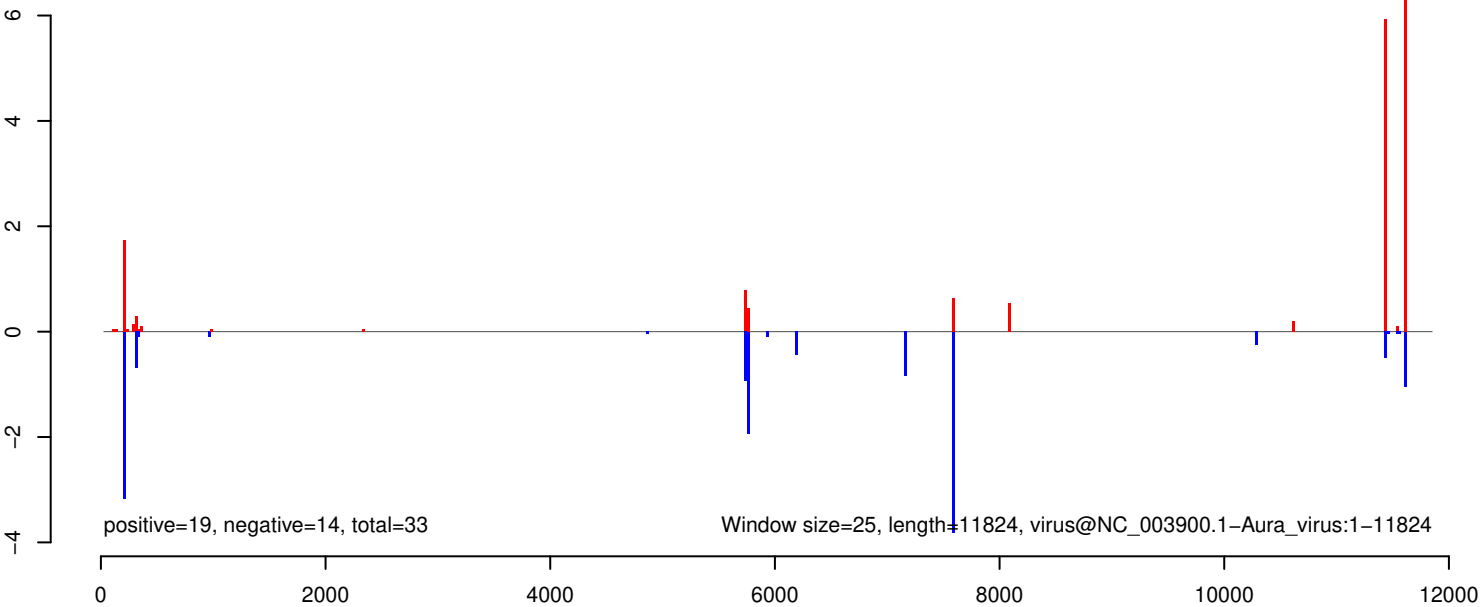
AeAeg_Aag2SINV_dsPiwi4.18_23.rep



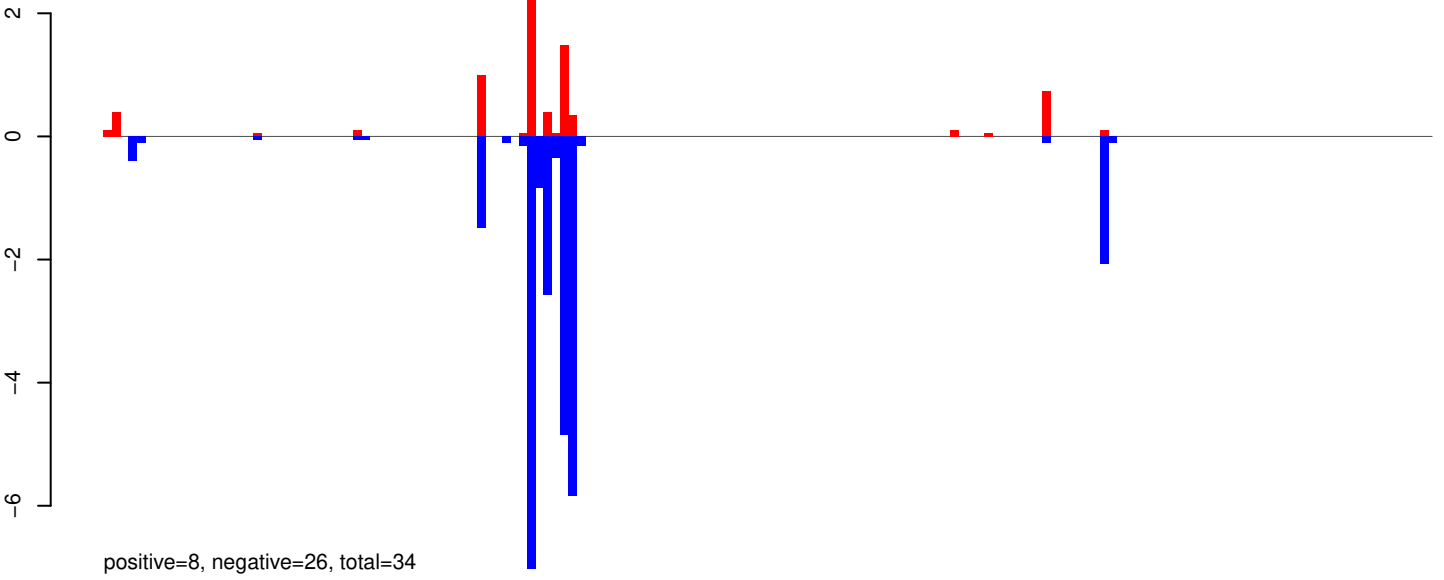
AeAeg_Aag2SINV_dsPiwi4.24_35.rep



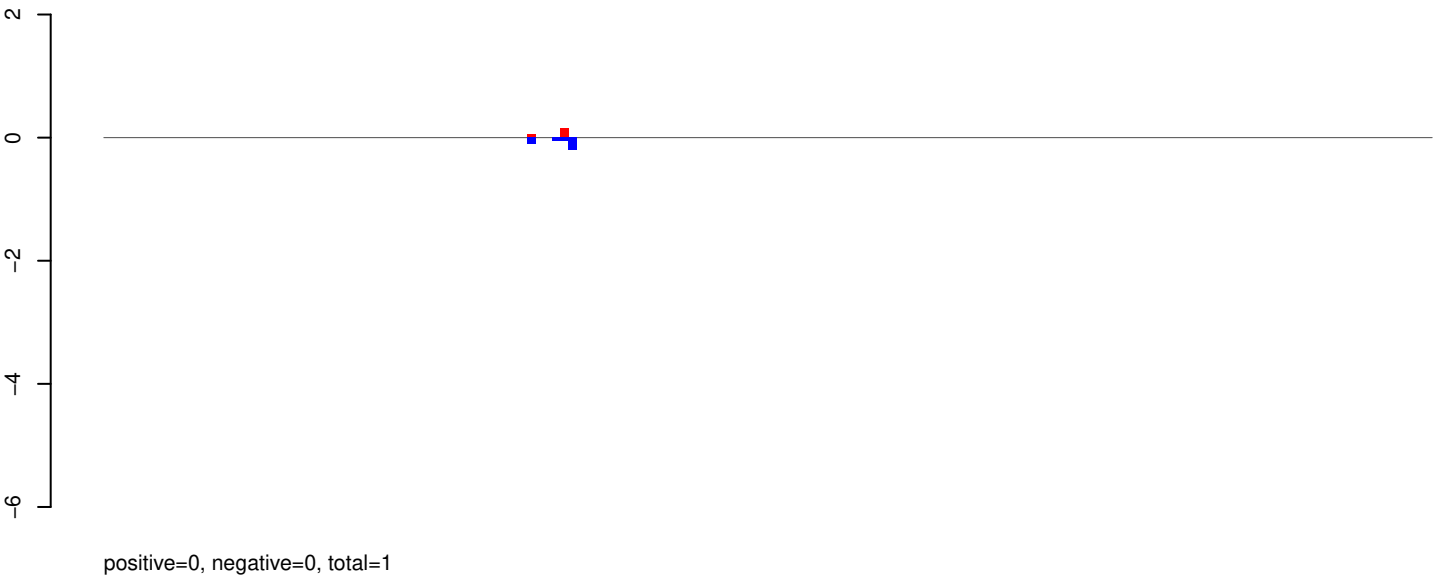
AeAeg_Aag2SINV_dsPiwi4.rep



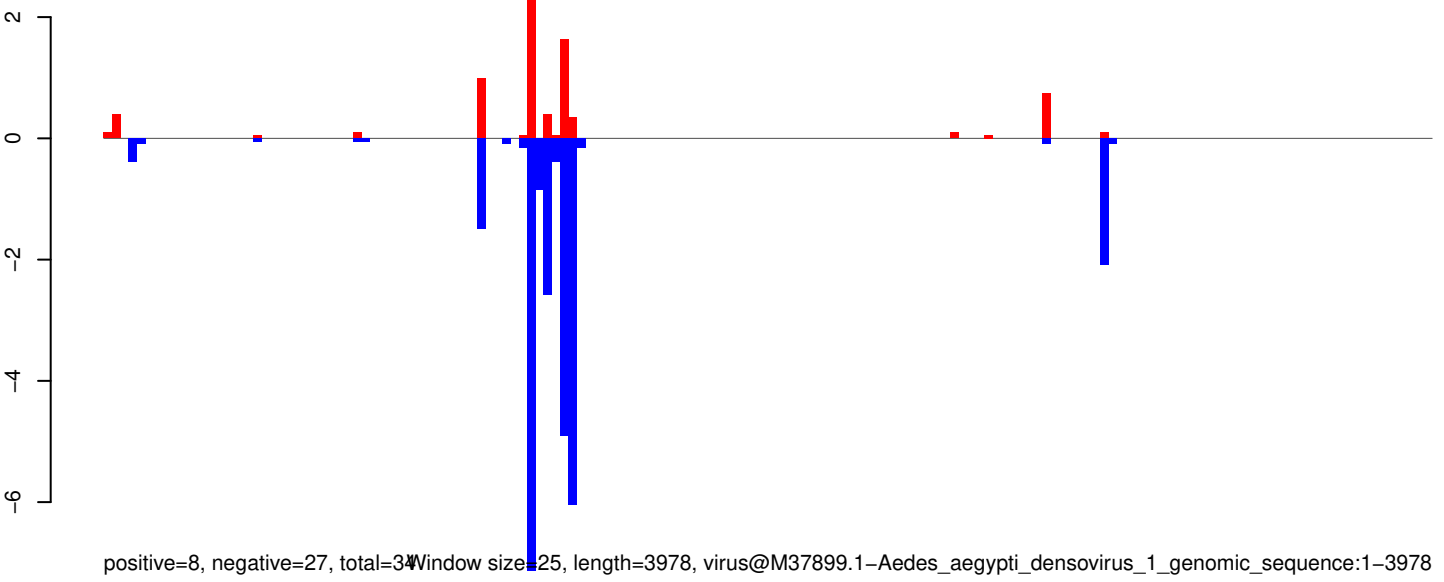
AeAeg_Aag2SINV_dsPiwi4.18_23.rep



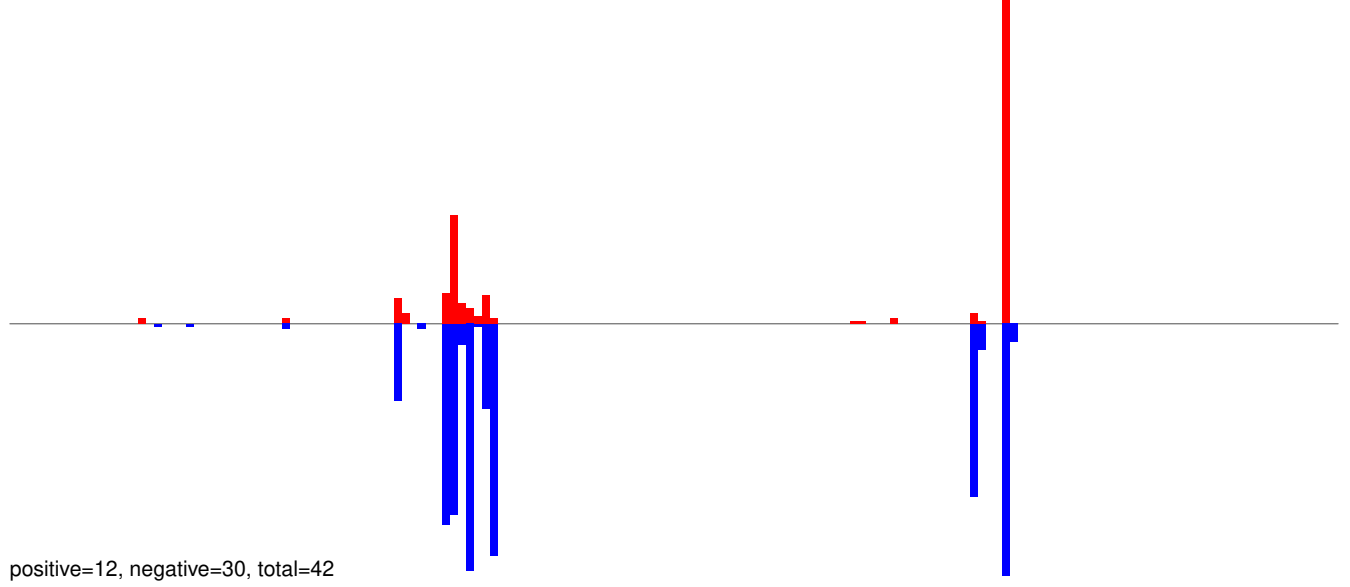
AeAeg_Aag2SINV_dsPiwi4.24_35.rep



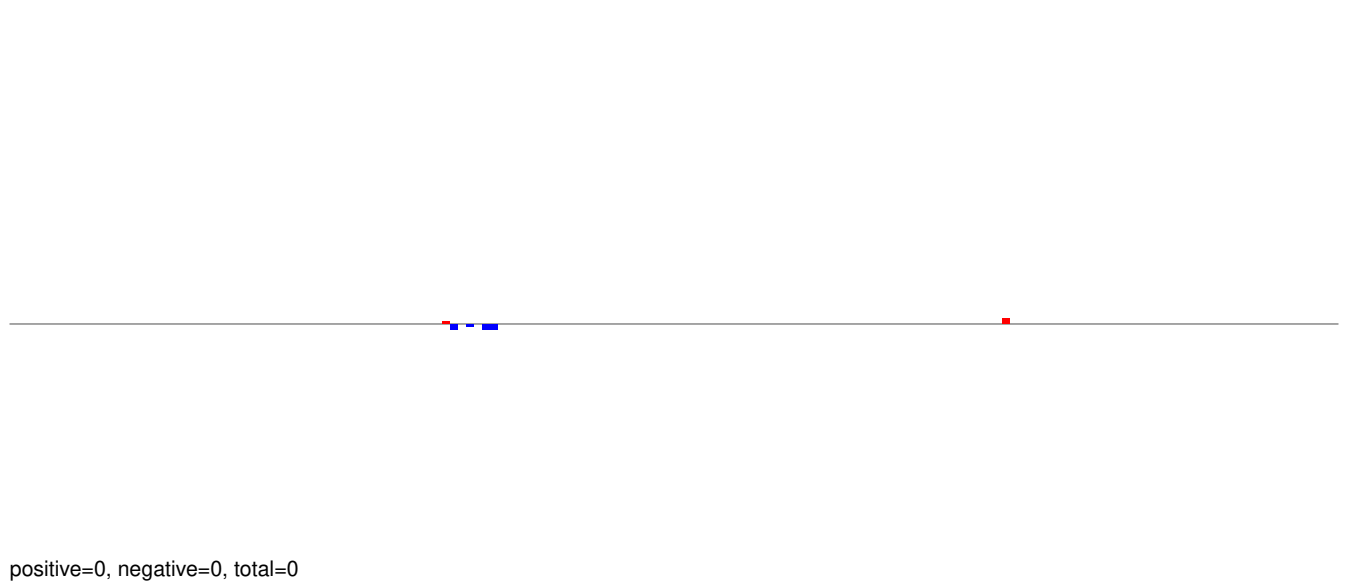
AeAeg_Aag2SINV_dsPiwi4.rep



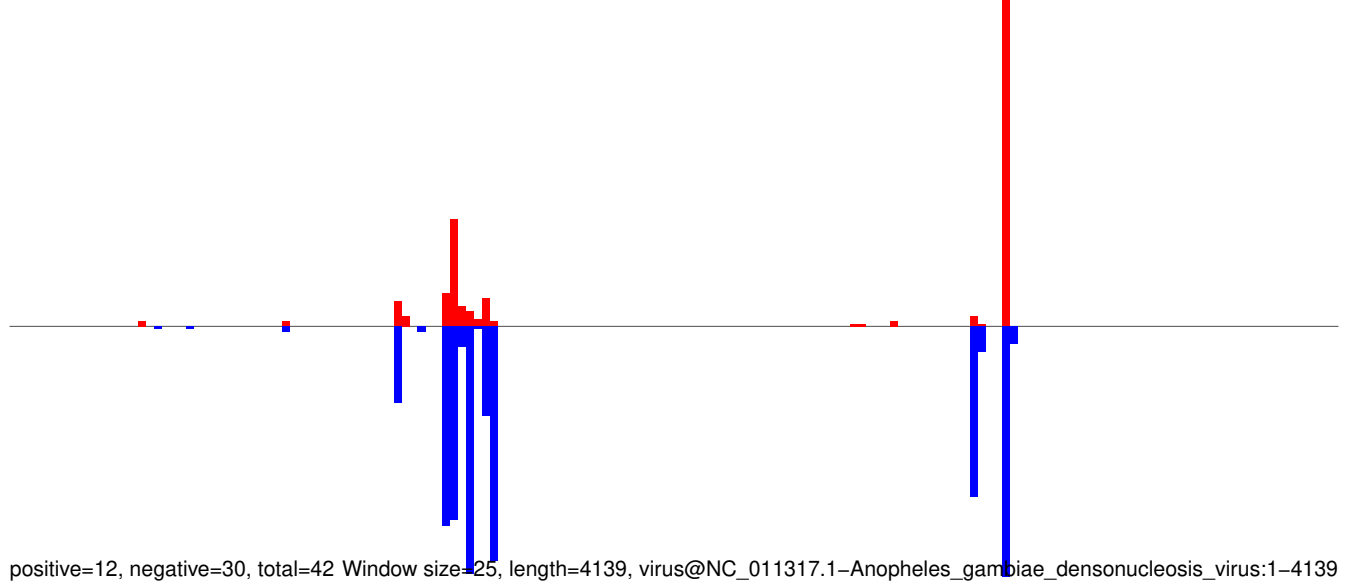
AeAeg_Aag2SINV_dsPiwi4.18_23.rep



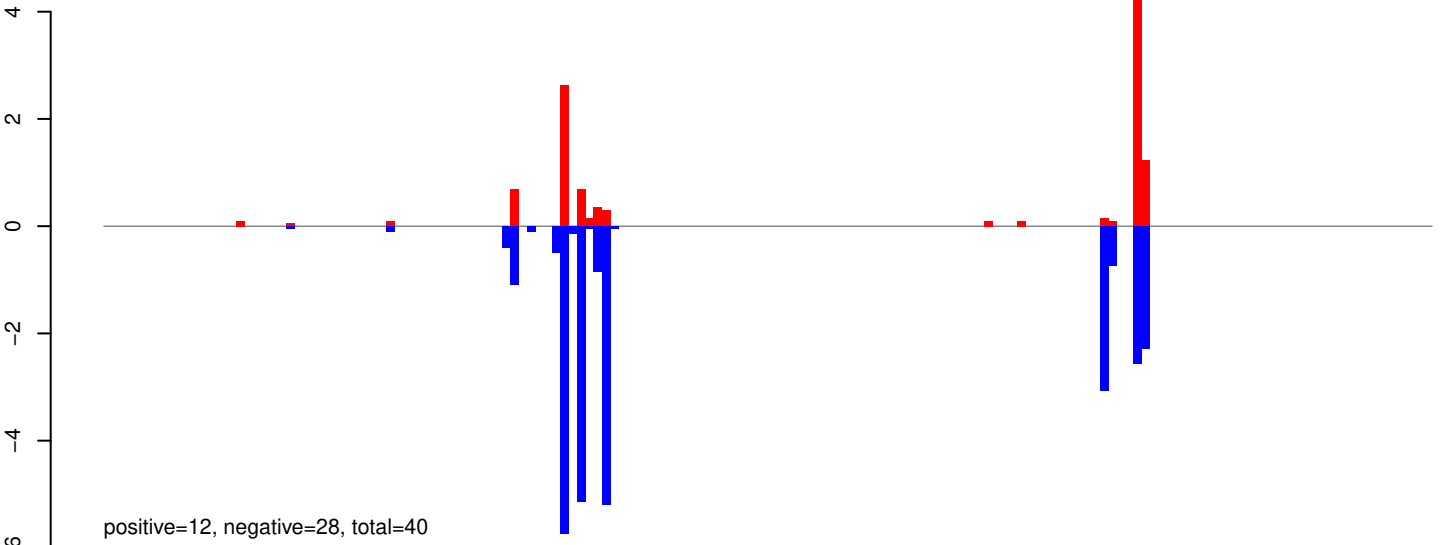
AeAeg_Aag2SINV_dsPiwi4.24_35.rep



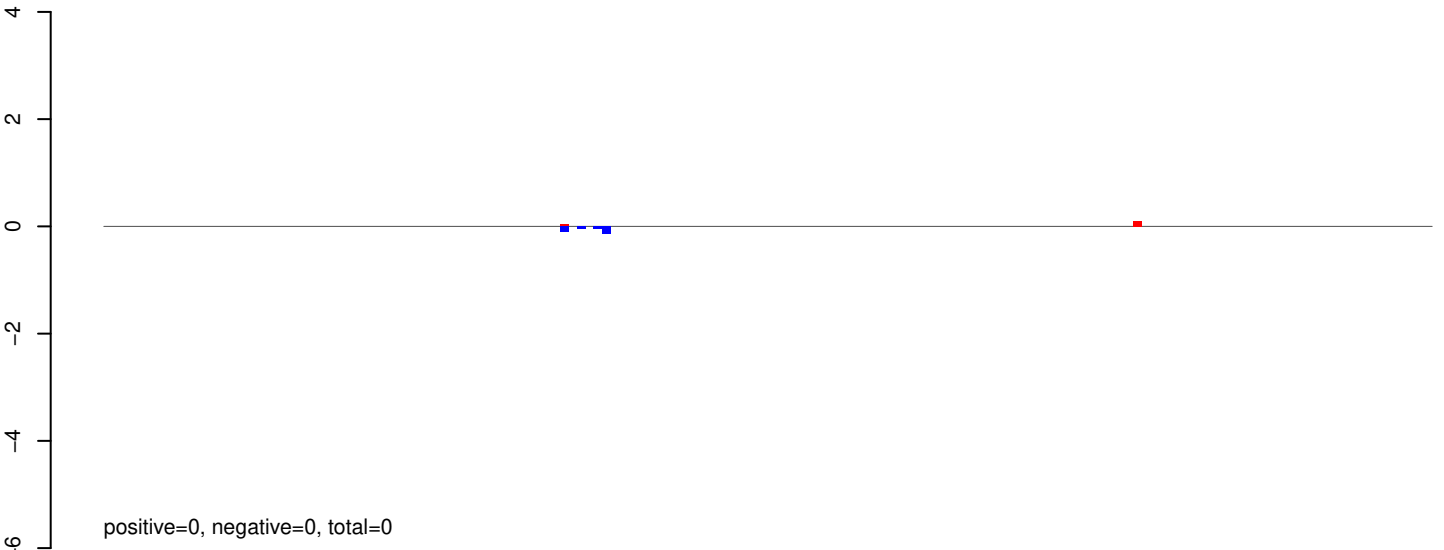
AeAeg_Aag2SINV_dsPiwi4.rep



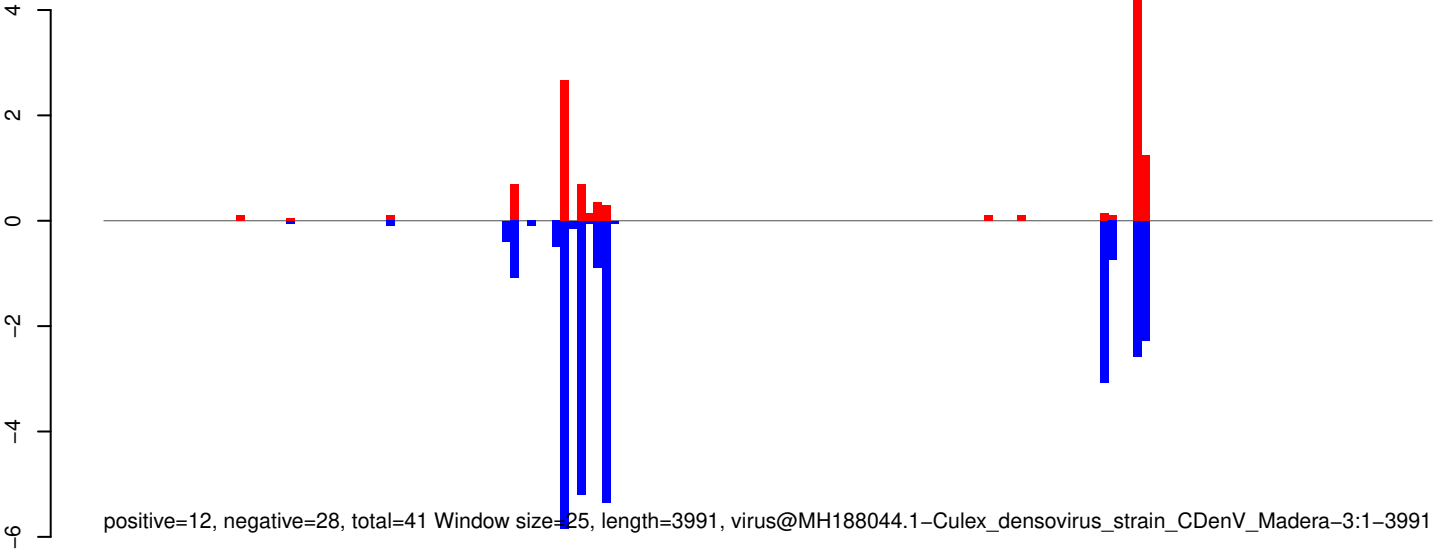
AeAeg_Aag2SINV_dsPiwi4.18_23.rep



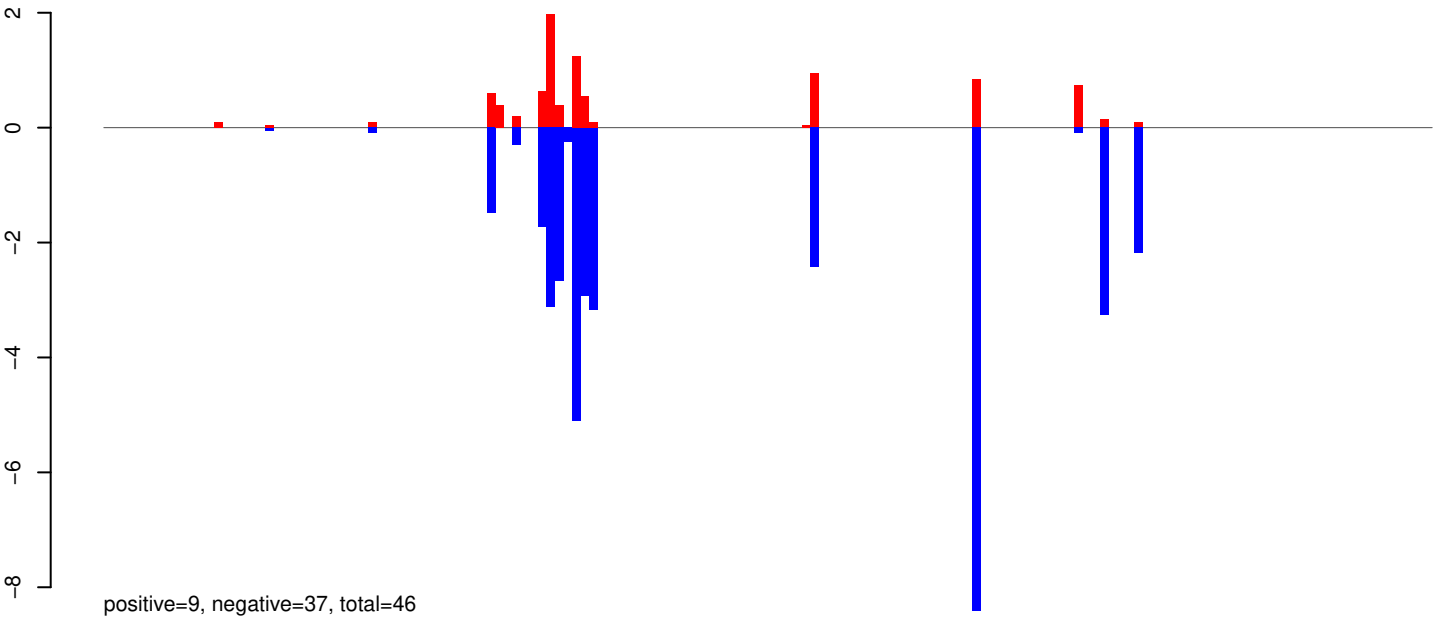
AeAeg_Aag2SINV_dsPiwi4.24_35.rep



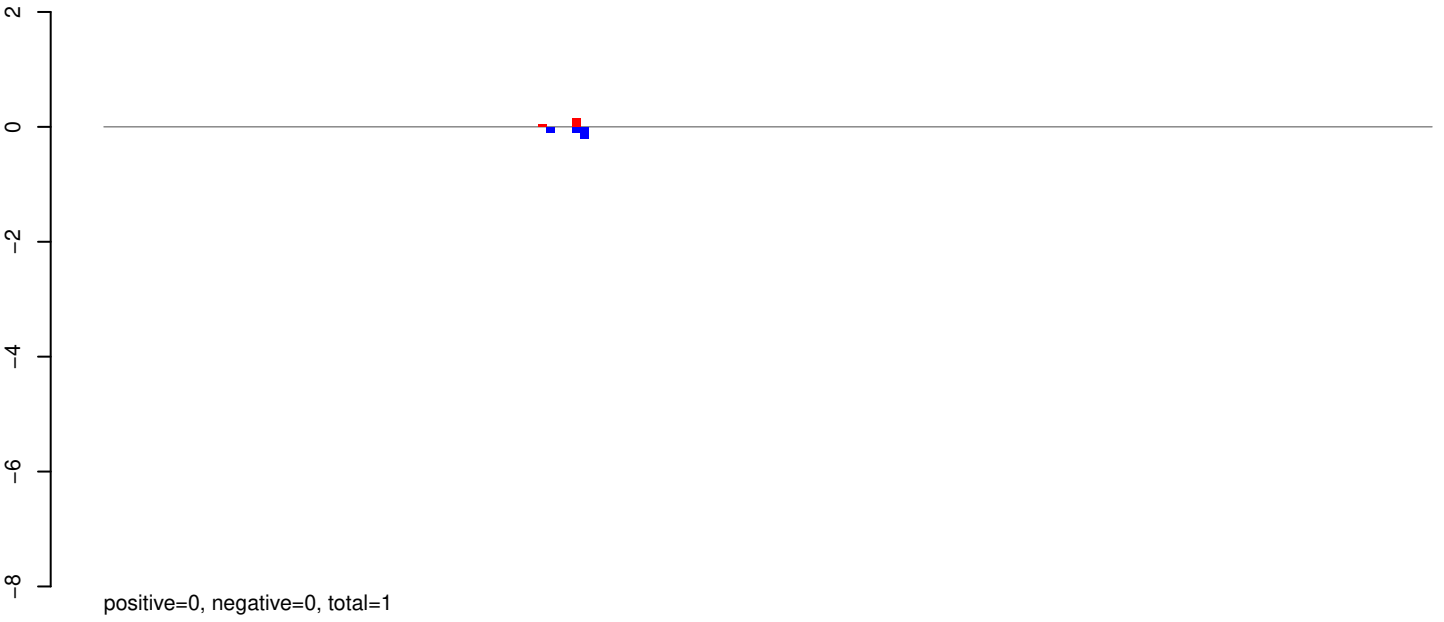
AeAeg_Aag2SINV_dsPiwi4.rep



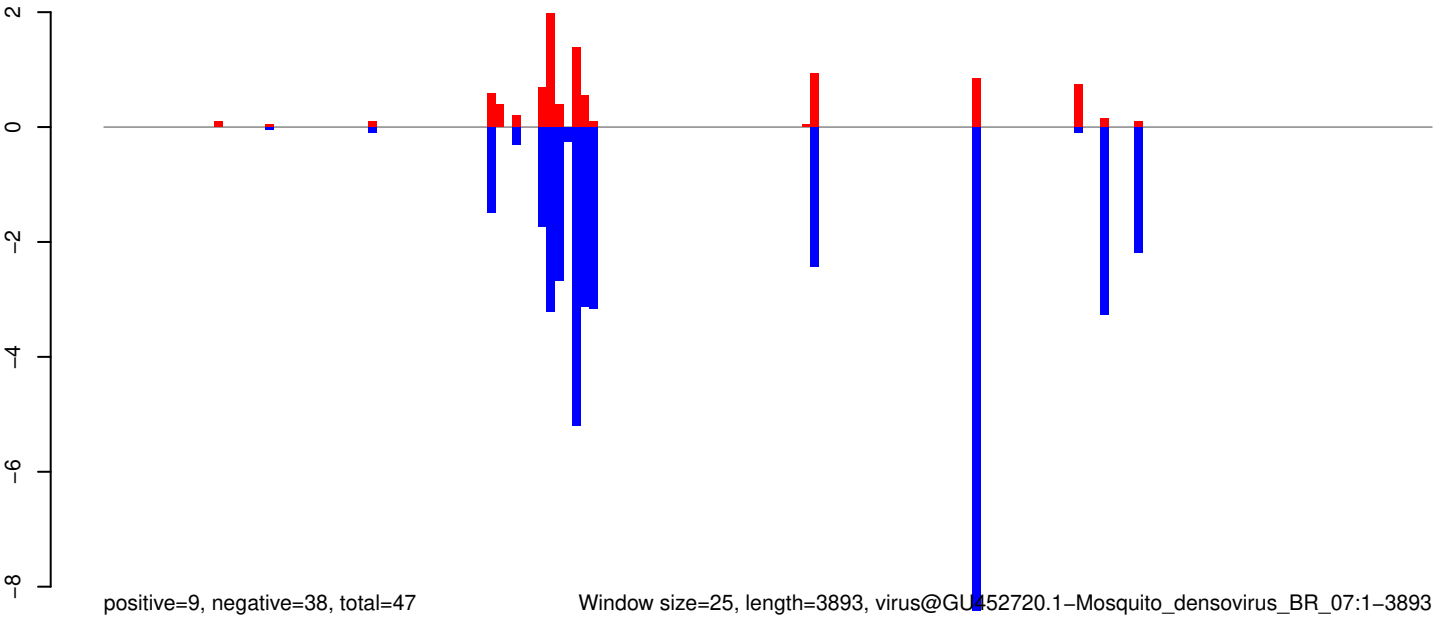
AeAeg_Aag2SINV_dsPiwi4.18_23.rep



AeAeg_Aag2SINV_dsPiwi4.24_35.rep

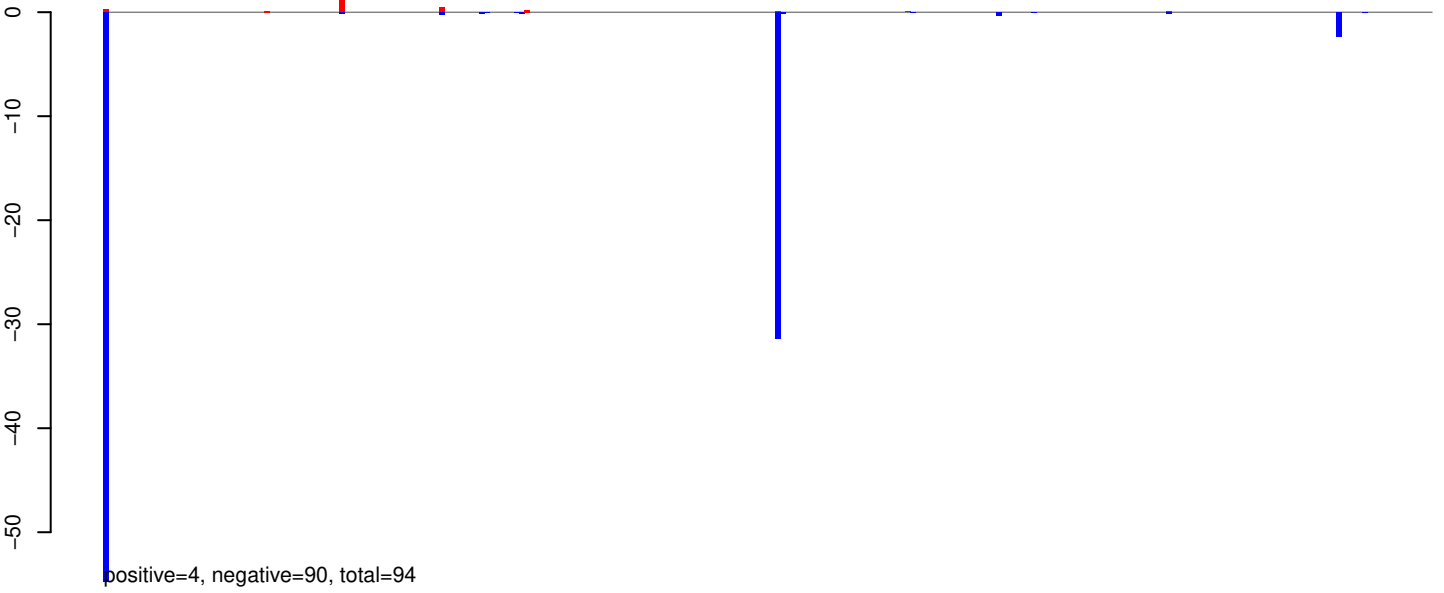


AeAeg_Aag2SINV_dsPiwi4.rep



Window size=25, length=3893, virus@GU452720.1-Mosquito_densovirus_BR_07:1-3893

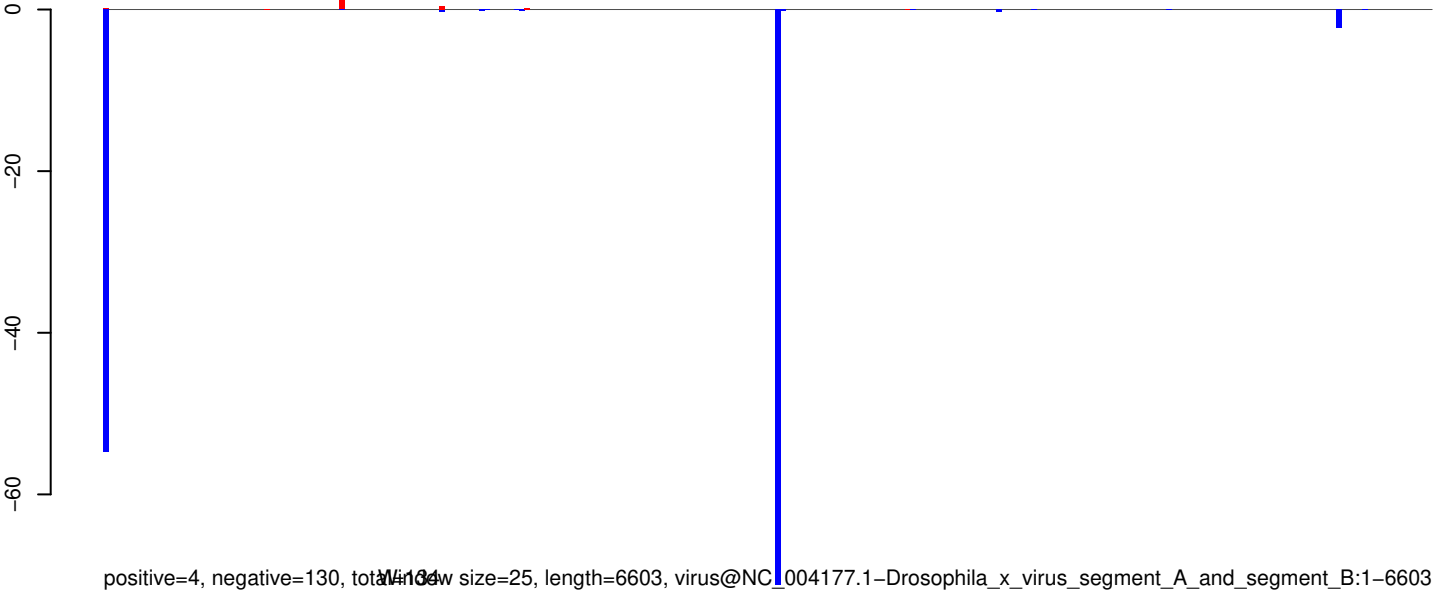
AeAeg_Aag2SINV_dsPiwi4.18_23.rep



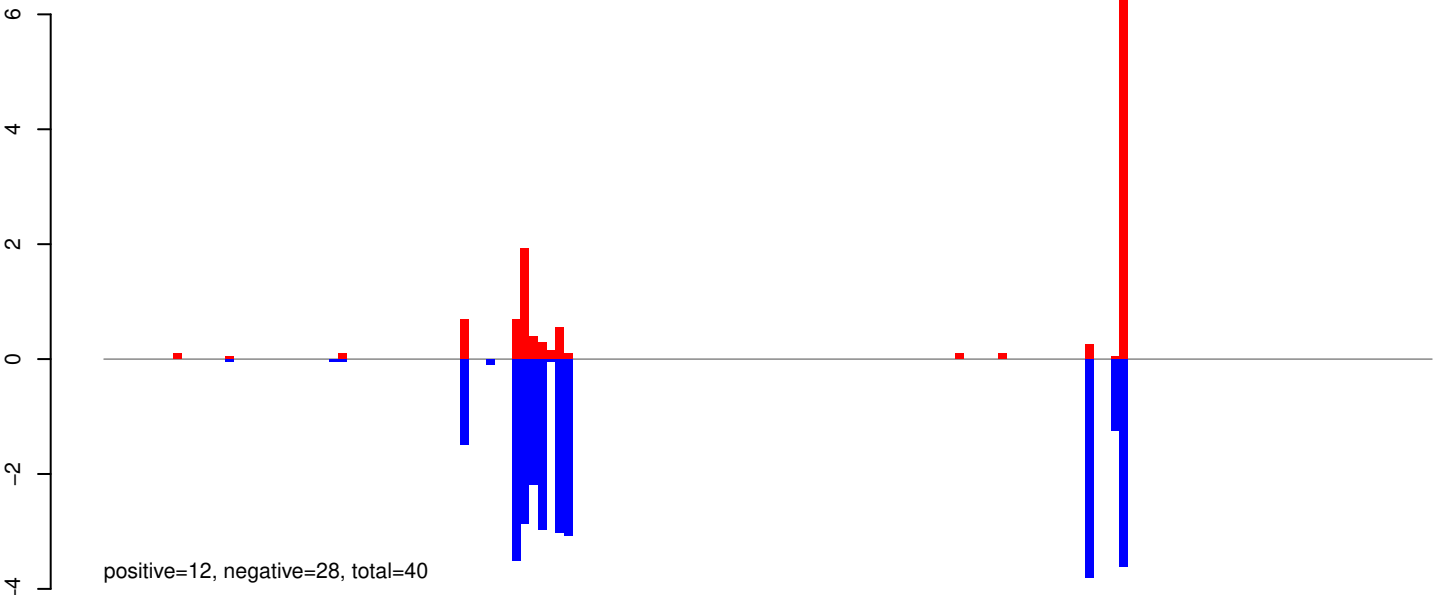
AeAeg_Aag2SINV_dsPiwi4.24_35.rep



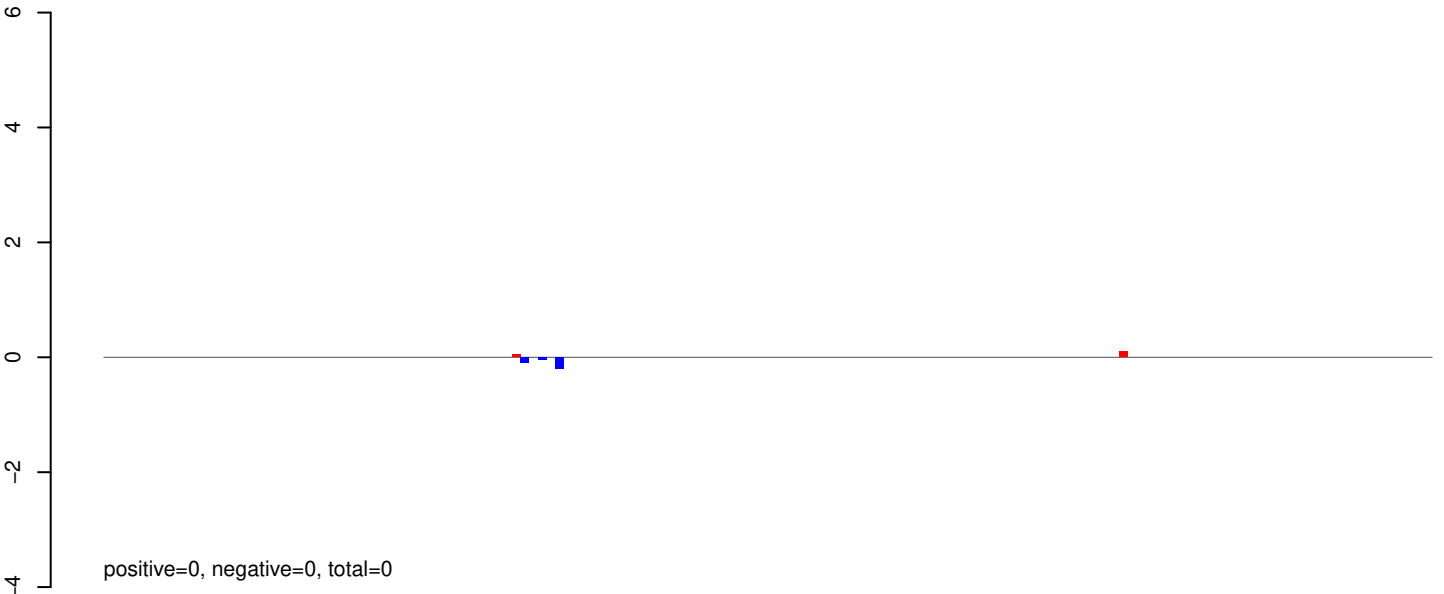
AeAeg_Aag2SINV_dsPiwi4.rep



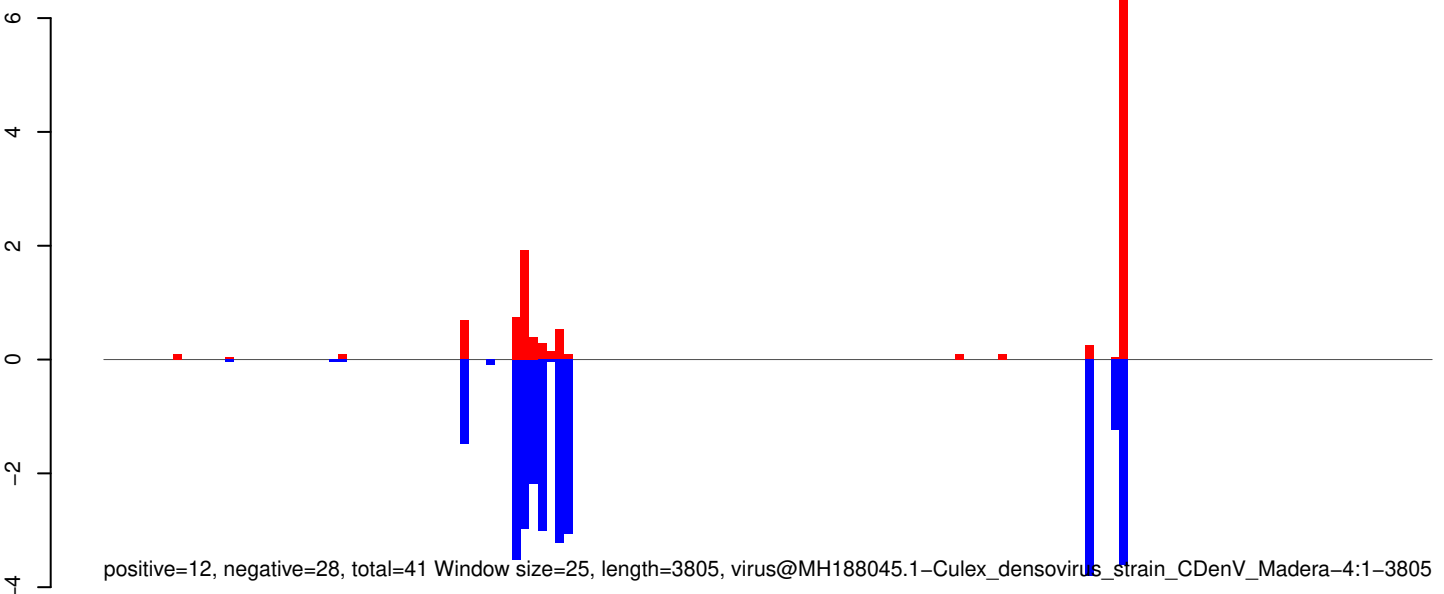
AeAeg_Aag2SINV_dsPiwi4.18_23.rep



AeAeg_Aag2SINV_dsPiwi4.24_35.rep

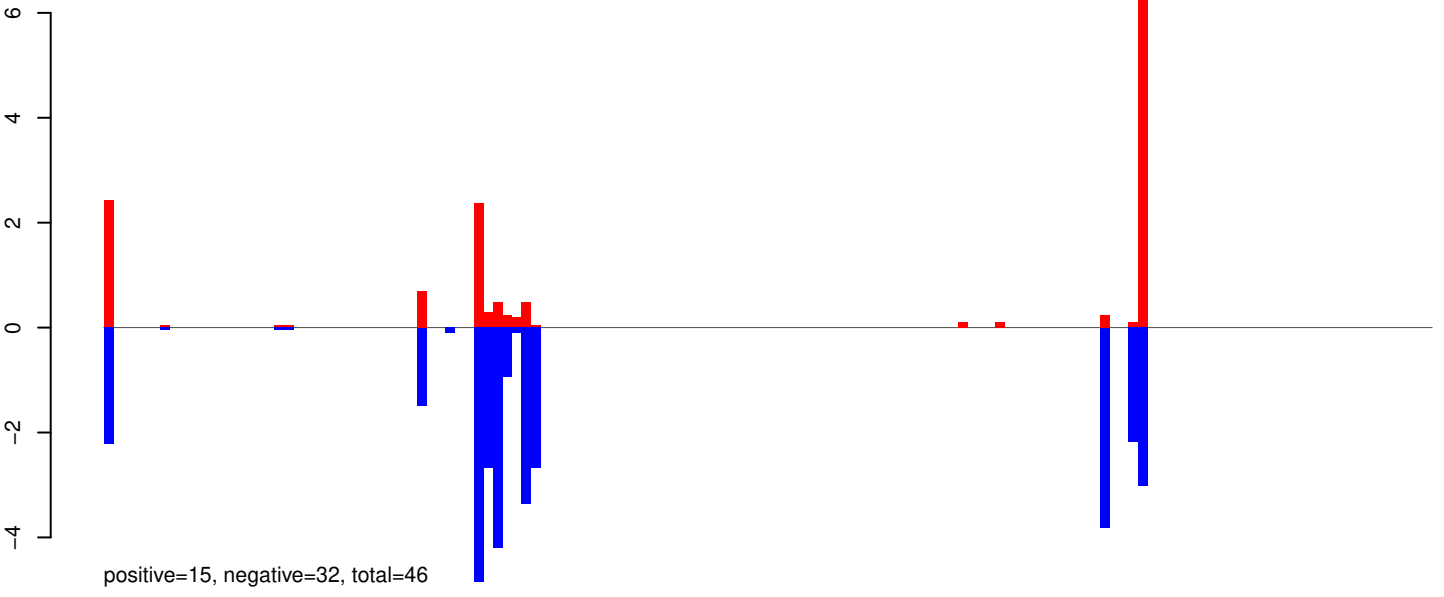


AeAeg_Aag2SINV_dsPiwi4.rep

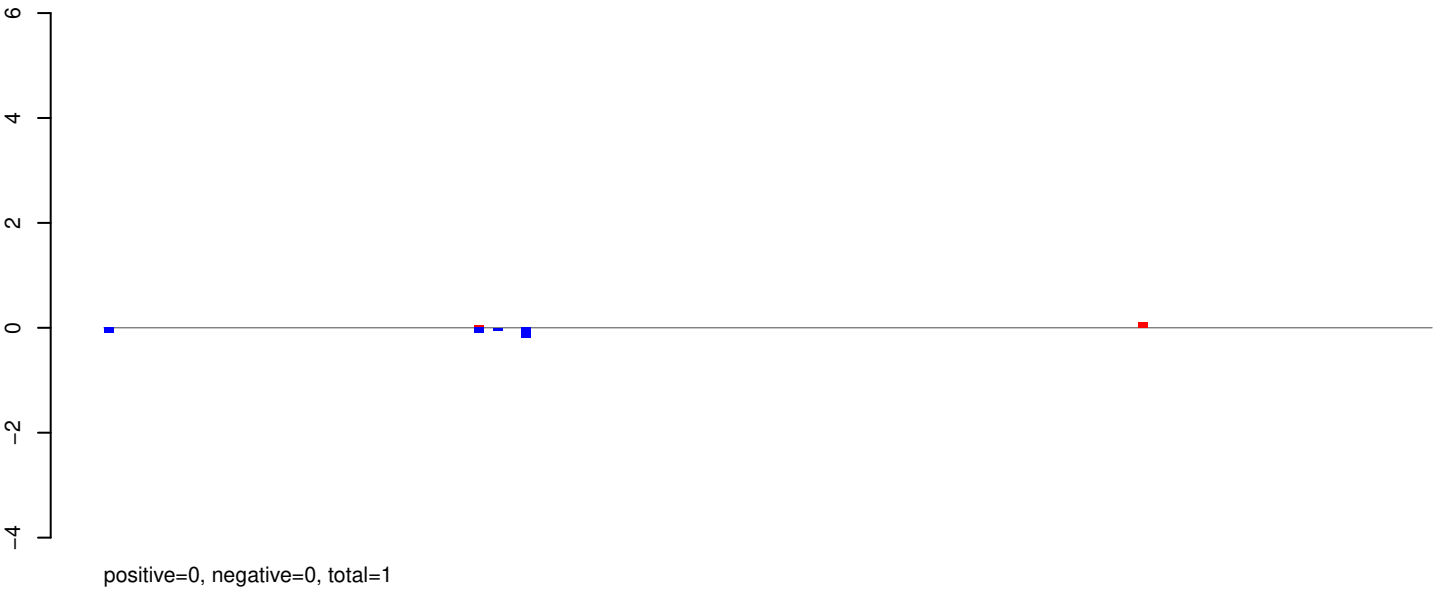


0 1000 2000 3000 4000

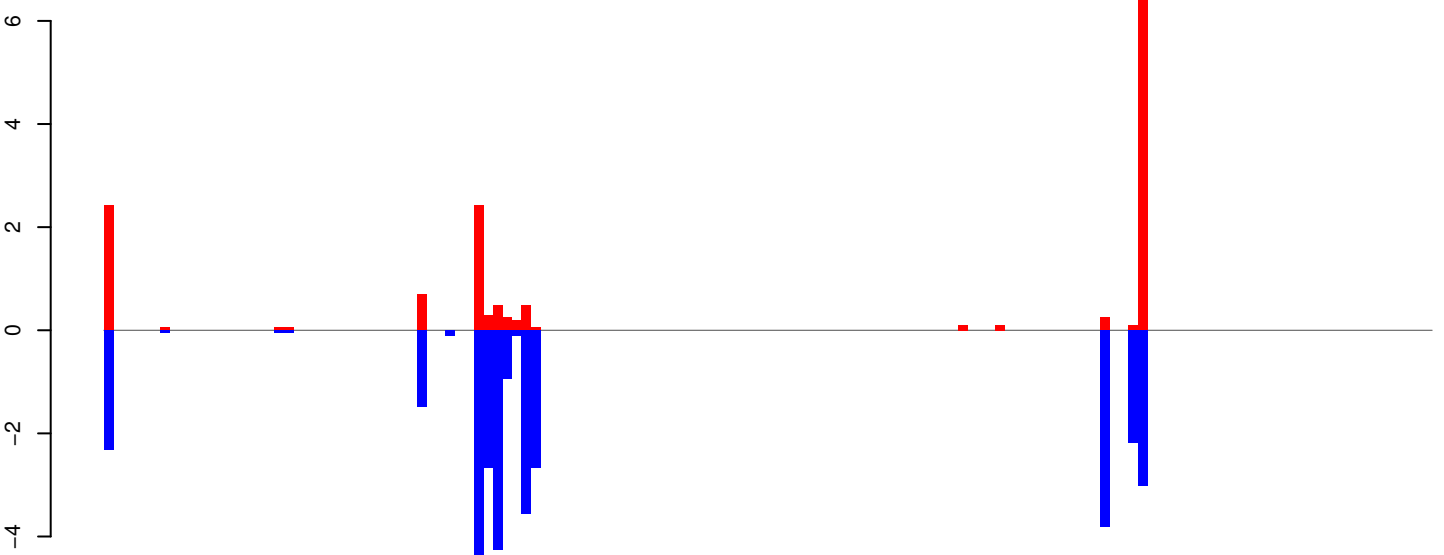
AeAeg_Aag2SINV_dsPiwi4.18_23.rep



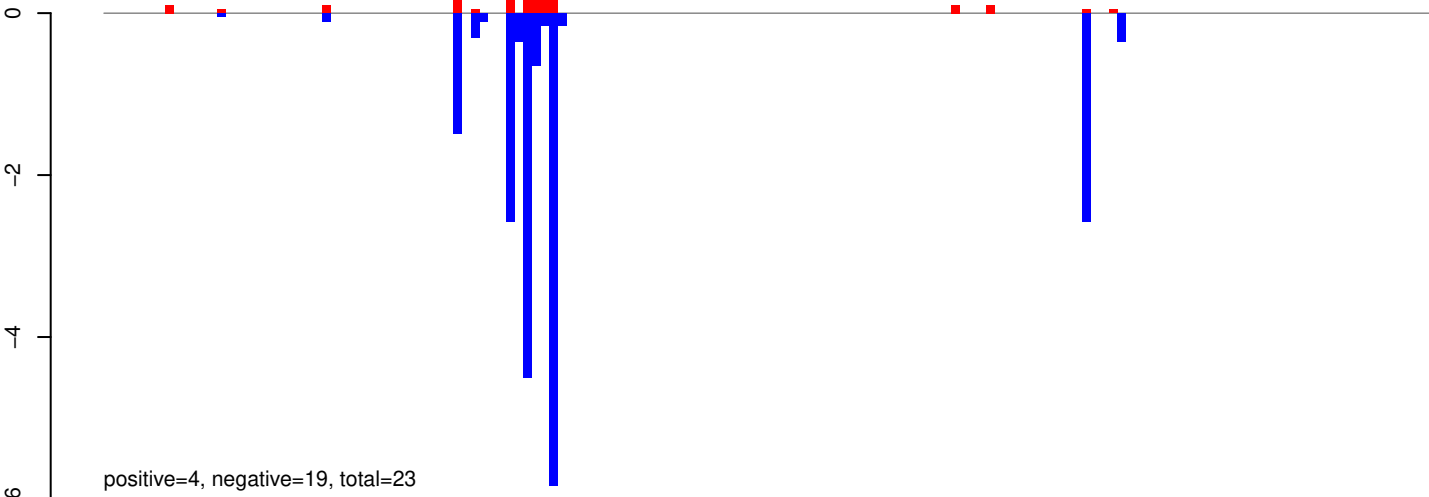
AeAeg_Aag2SINV_dsPiwi4.24_35.rep



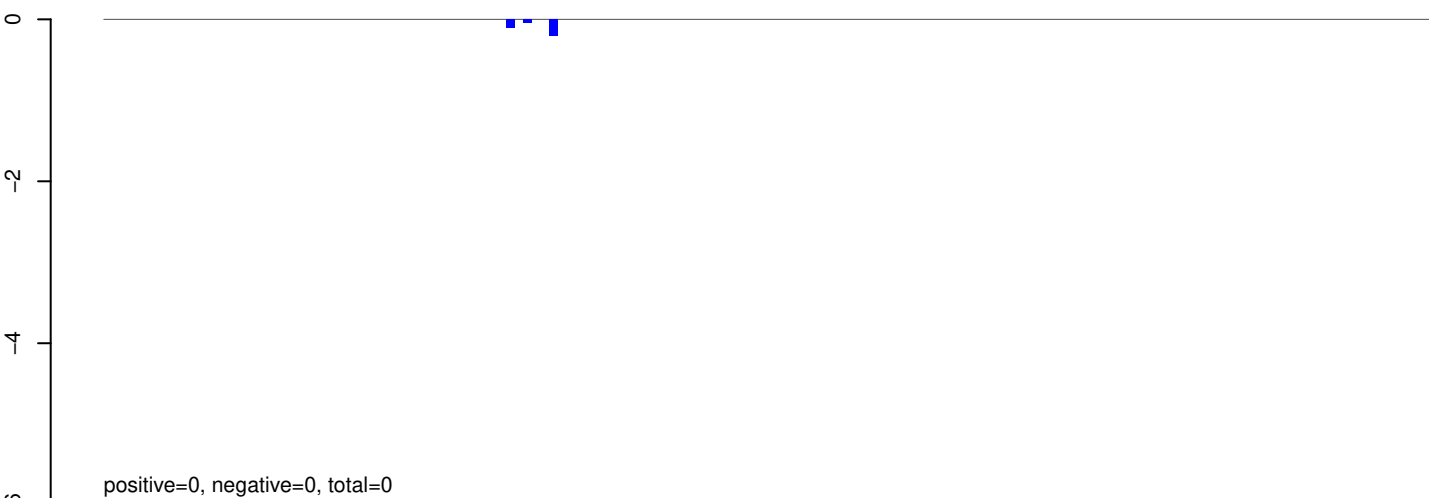
AeAeg_Aag2SINV_dsPiwi4.rep



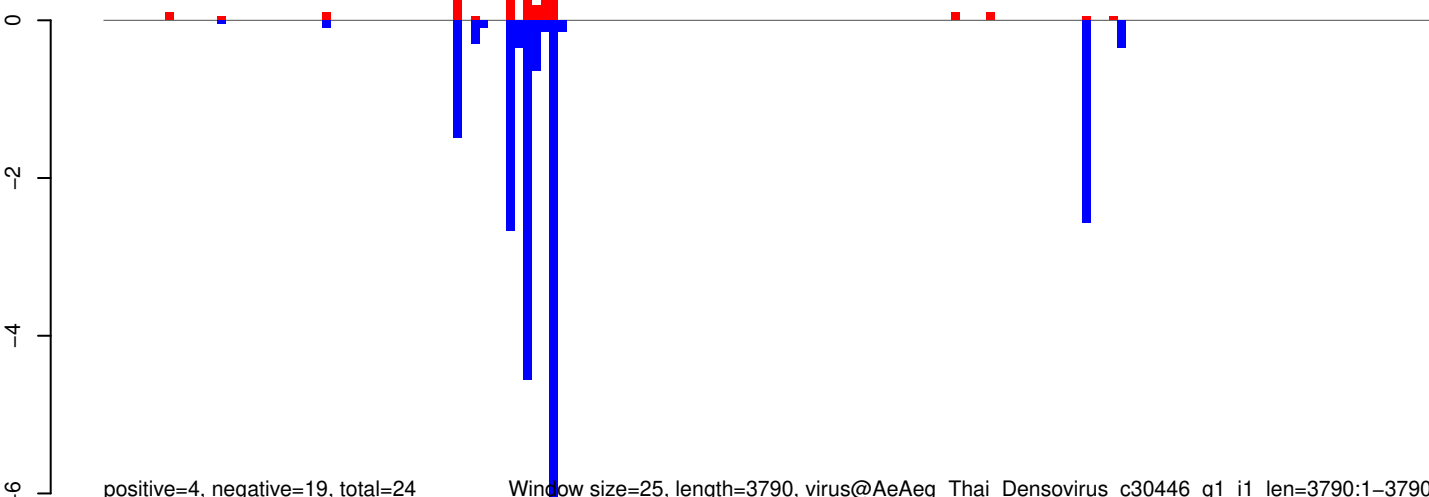
AeAeg_Aag2SINV_dsPiwi4.18_23.rep



AeAeg_Aag2SINV_dsPiwi4.24_35.rep

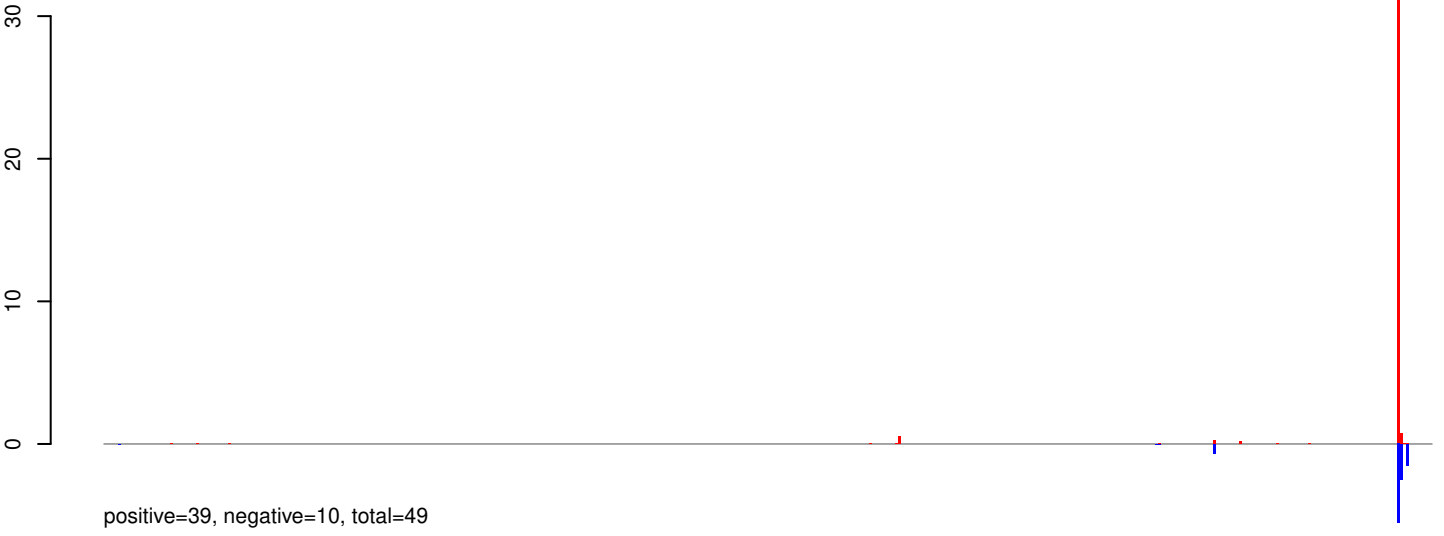


AeAeg_Aag2SINV_dsPiwi4.rep

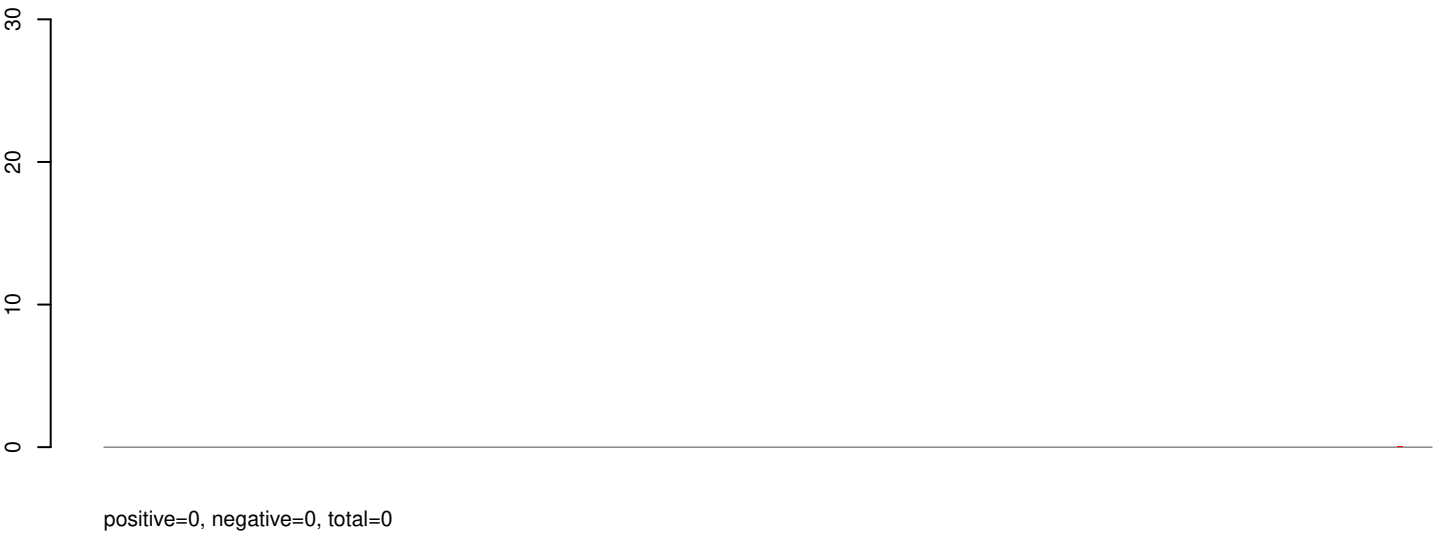


0 1000 2000 3000

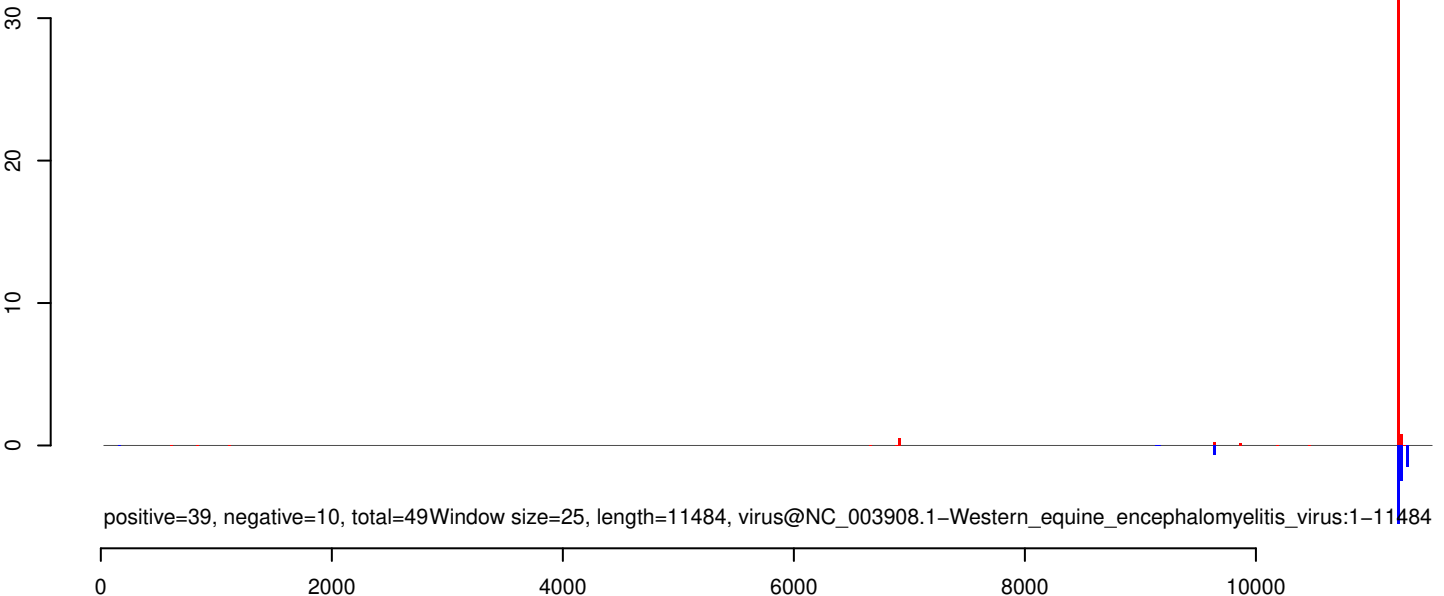
AeAeg_Aag2SINV_dsPiwi4.18_23.rep



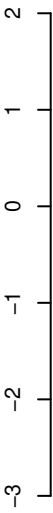
AeAeg_Aag2SINV_dsPiwi4.24_35.rep



AeAeg_Aag2SINV_dsPiwi4.rep

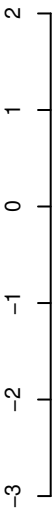


AeAeg_Aag2SINV_dsPiwi4.18_23.rep



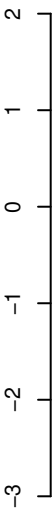
positive=5, negative=12, total=17

AeAeg_Aag2SINV_dsPiwi4.24_35.rep



positive=0, negative=0, total=0

AeAeg_Aag2SINV_dsPiwi4.rep



positive=5, negative=12, total=18

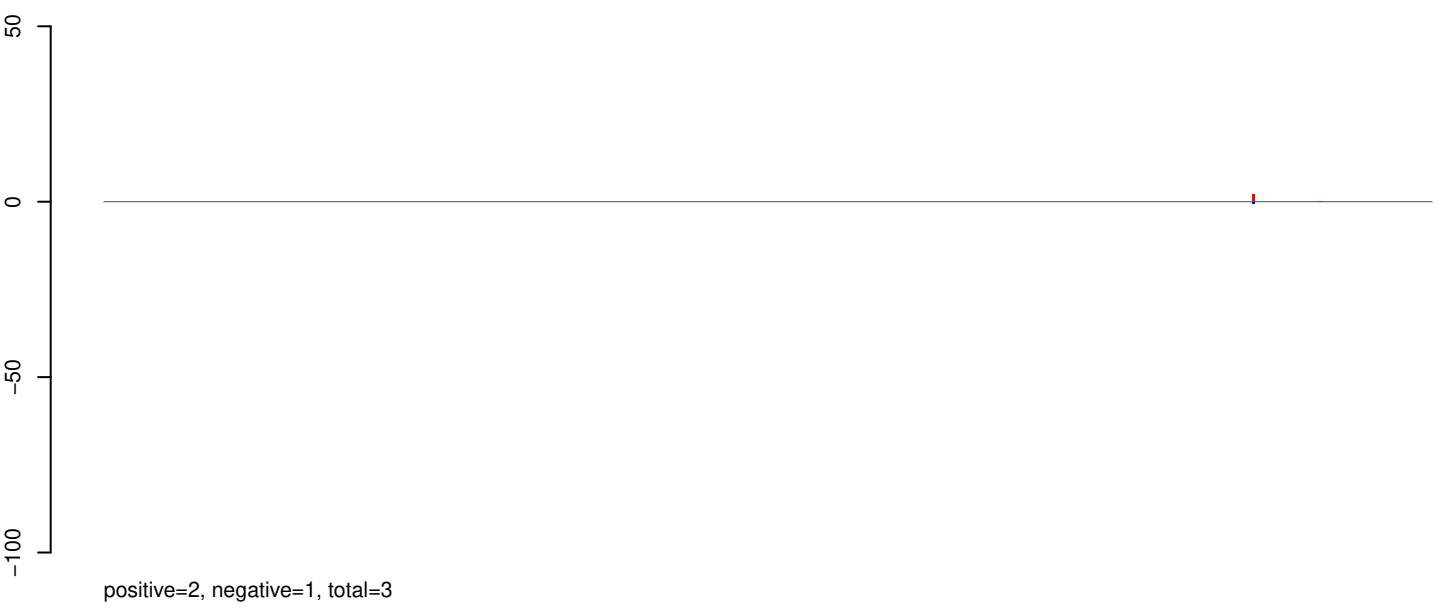
Window size=25, length=11375, virus@NC_005064.1-Kamiti_River_virus:1-11375



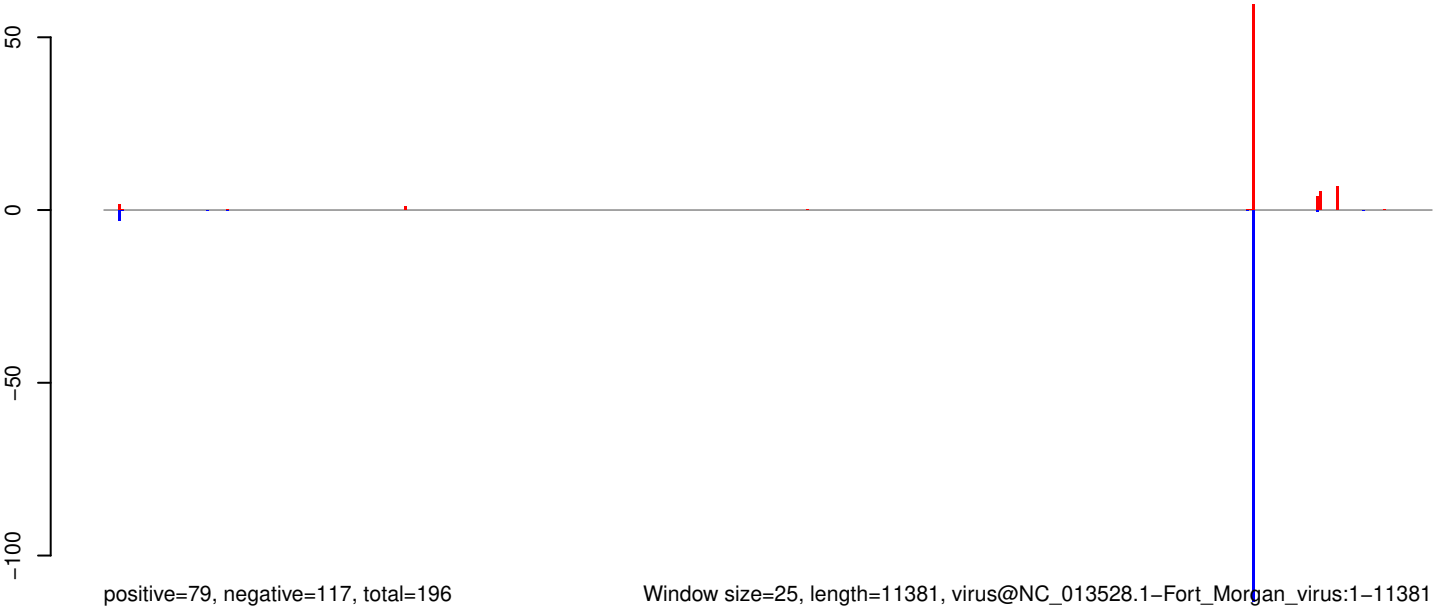
AeAeg_Aag2SINV_dsPiwi4.18_23.rep



AeAeg_Aag2SINV_dsPiwi4.24_35.rep



AeAeg_Aag2SINV_dsPiwi4.rep



Window size=25, length=11381, virus@NC_013528.1-Fort_Morgan_virus:1-11381

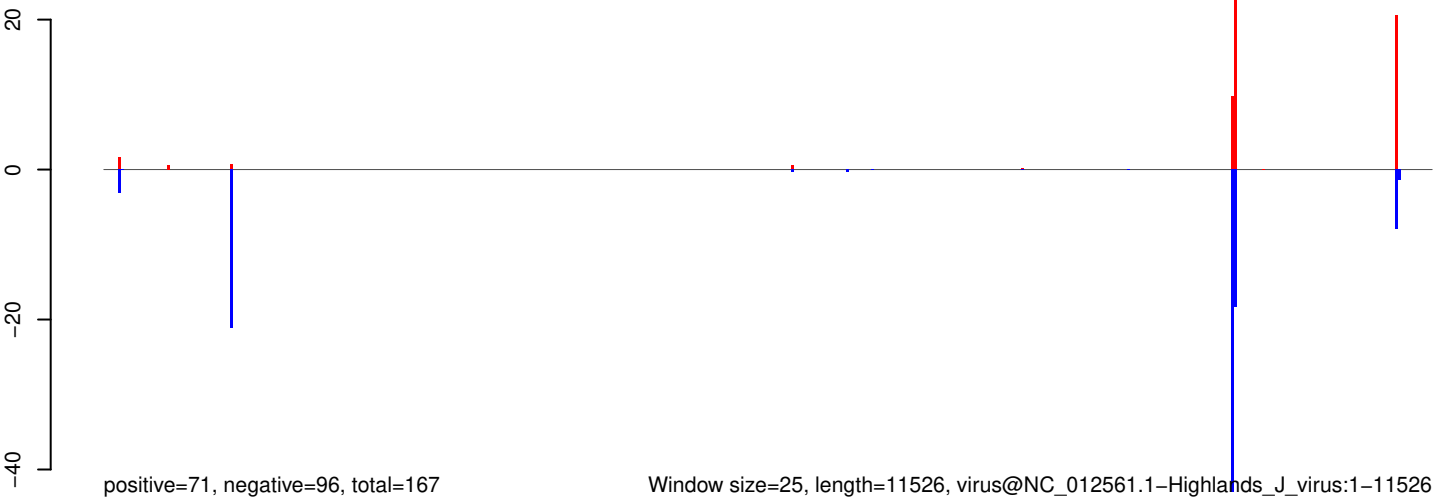
AeAeg_Aag2SINV_dsPiwi4.18_23.rep



AeAeg_Aag2SINV_dsPiwi4.24_35.rep

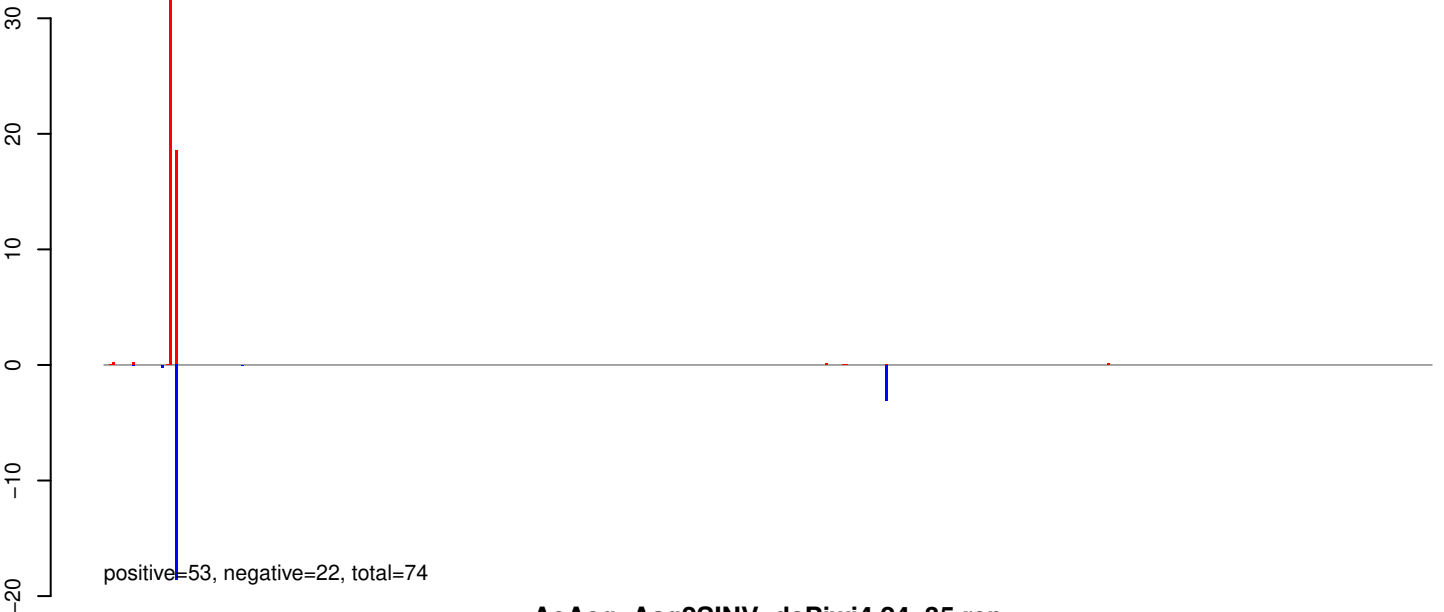


AeAeg_Aag2SINV_dsPiwi4.rep

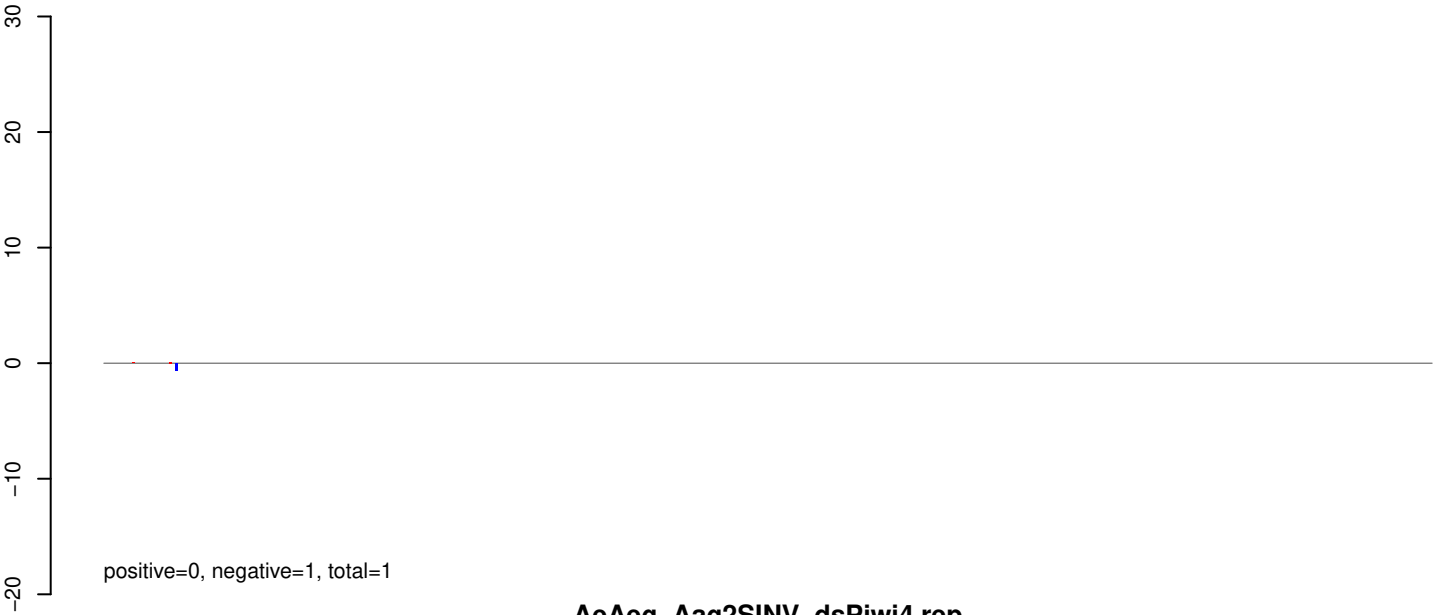


Window size=25, length=11526, virus@NC_012561.1-Highlands_J_virus:1-11526

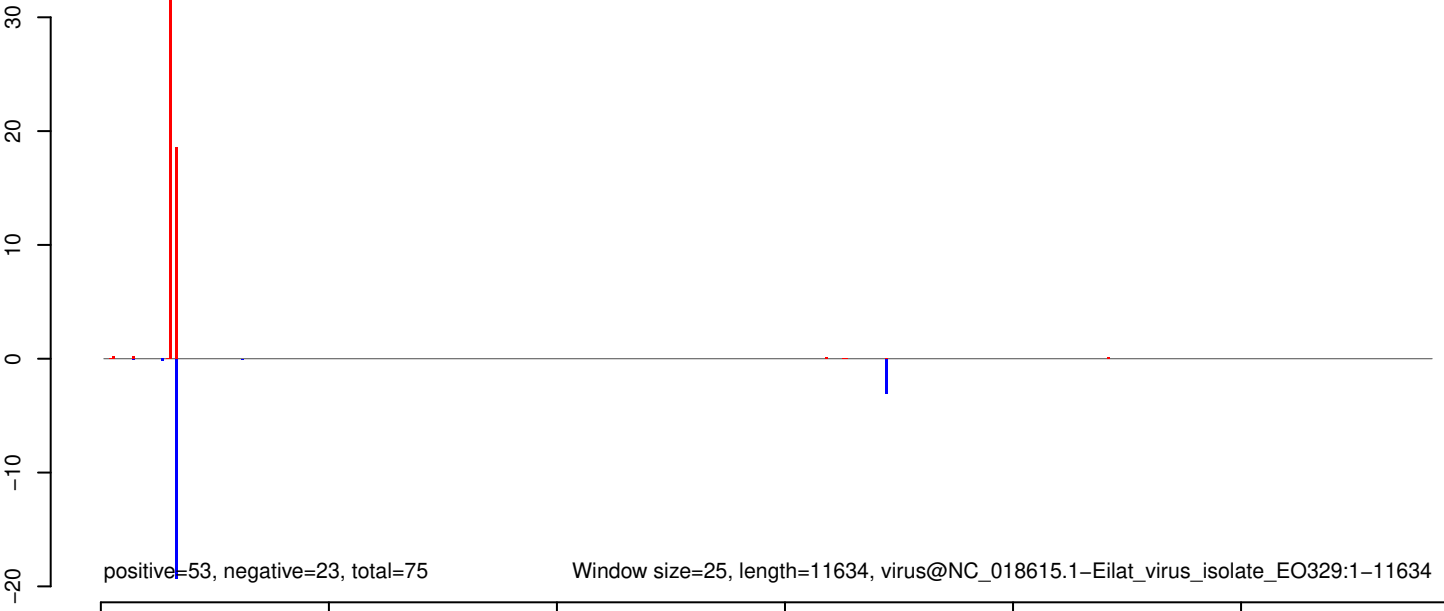
AeAeg_Aag2SINV_dsPiwi4.18_23.rep



AeAeg_Aag2SINV_dsPiwi4.24_35.rep

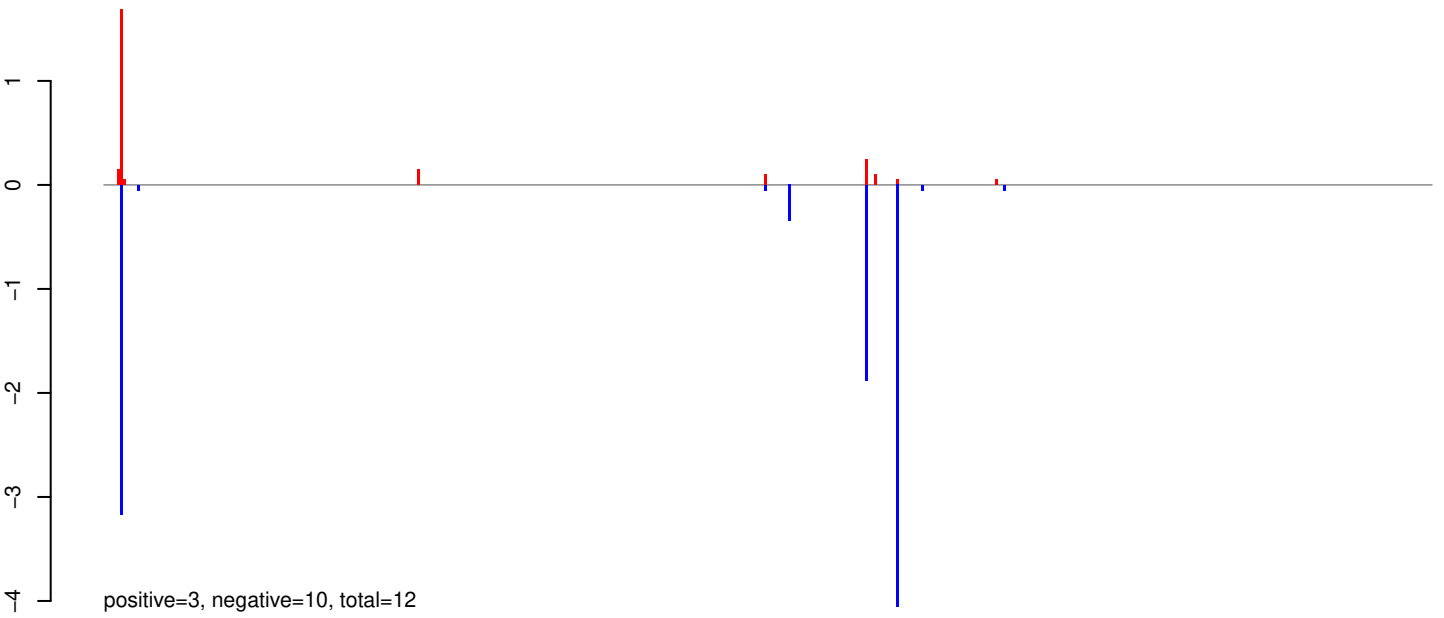


AeAeg_Aag2SINV_dsPiwi4.rep

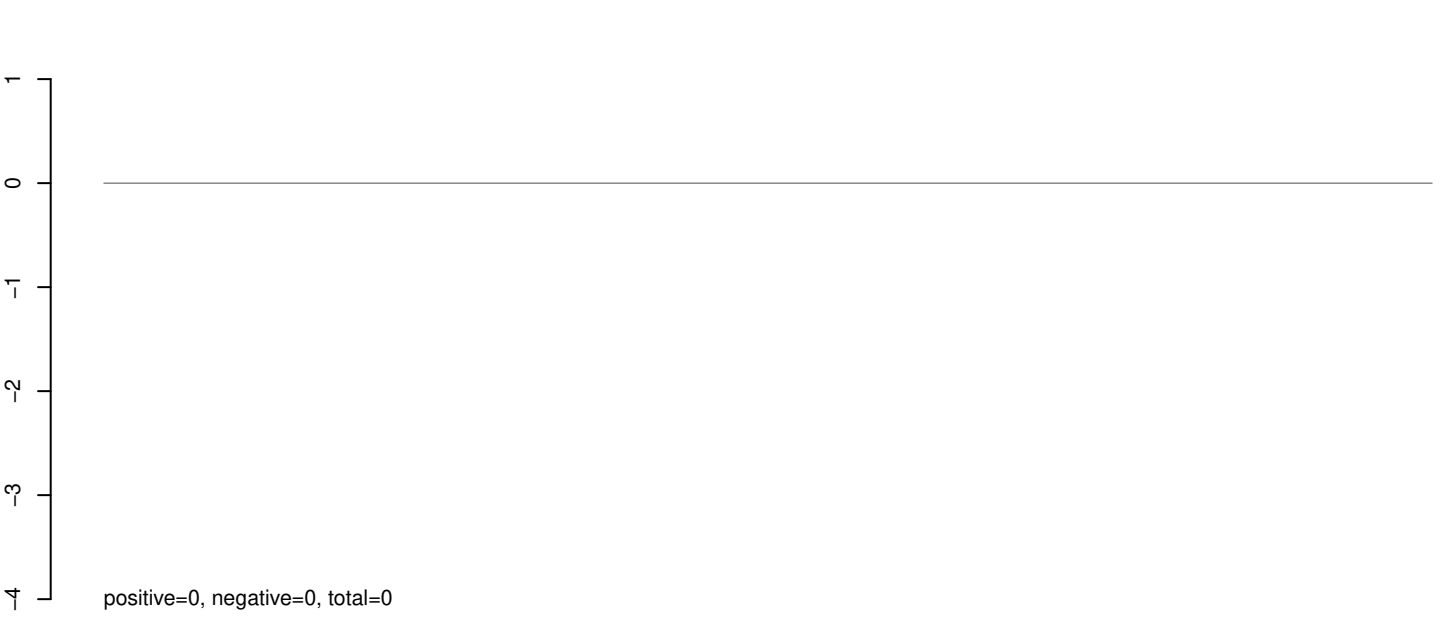


Window size=25, length=11634, virus@NC_018615.1-Eilat_virus_isolate_EO329:1-11634

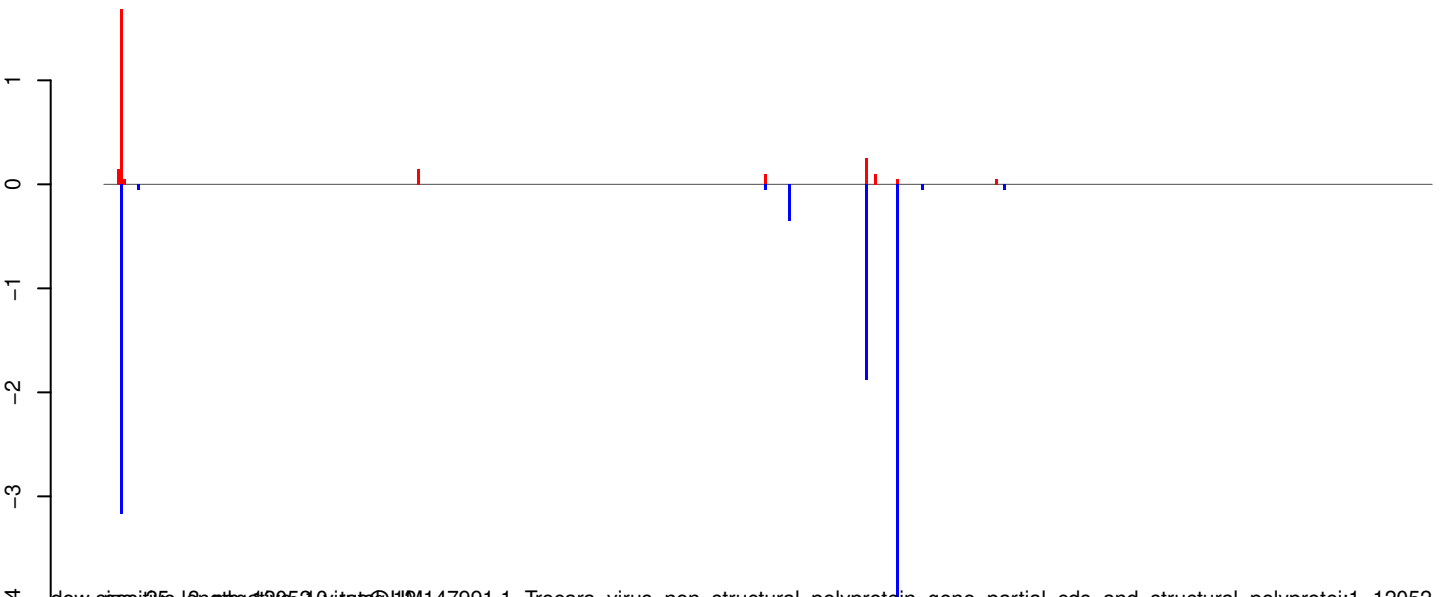
AeAeg_Aag2SINV_dsPiwi4.18_23.rep



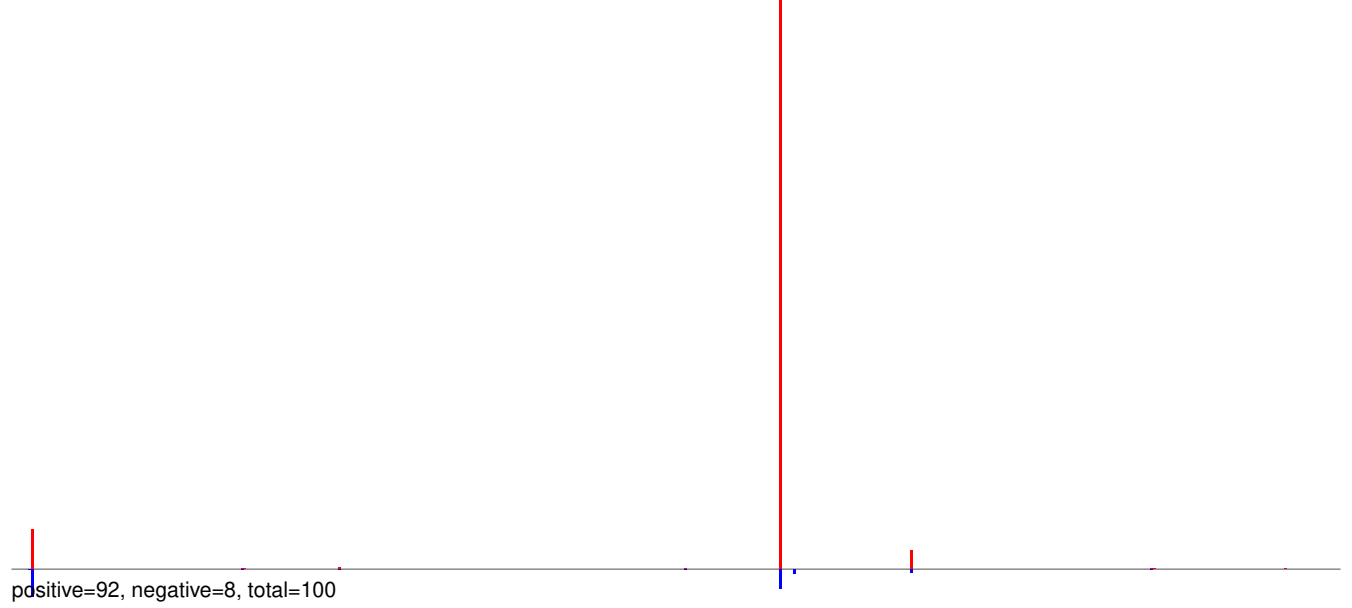
AeAeg_Aag2SINV_dsPiwi4.24_35.rep



AeAeg_Aag2SINV_dsPiwi4.rep



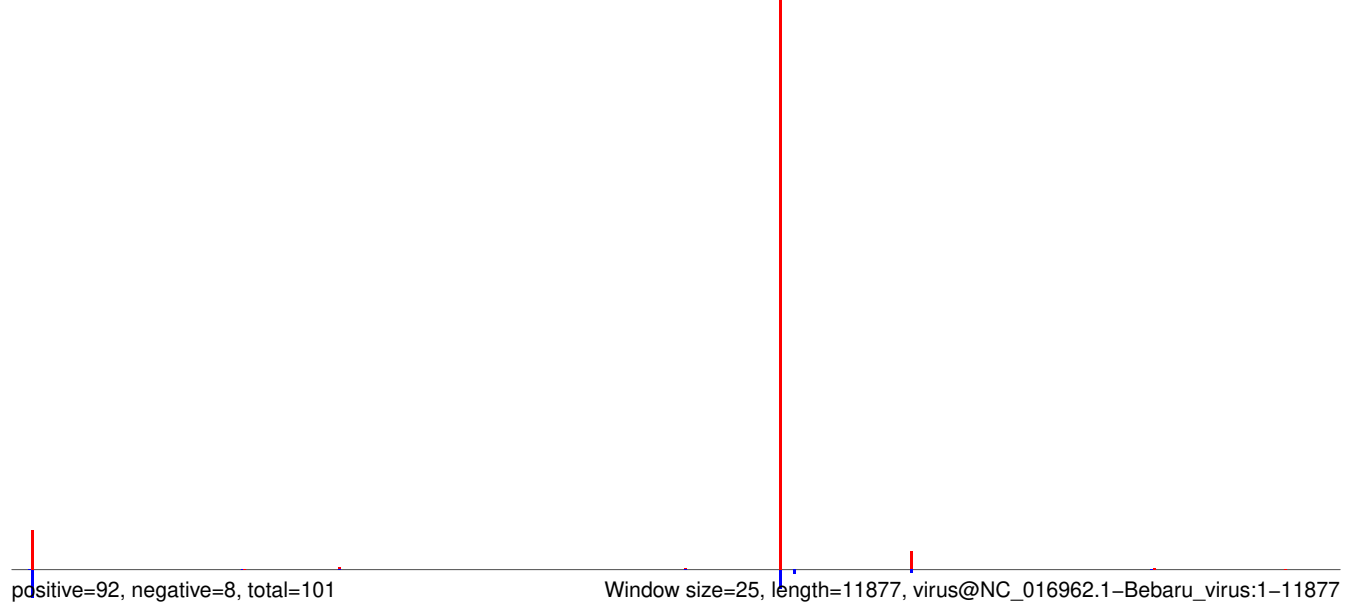
AeAeg_Aag2SINV_dsPiwi4.18_23.rep



AeAeg_Aag2SINV_dsPiwi4.24_35.rep

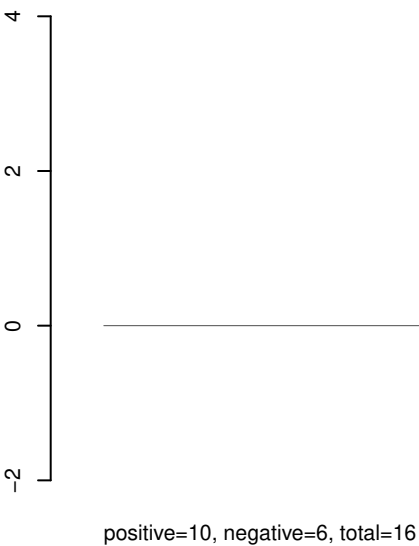


AeAeg_Aag2SINV_dsPiwi4.rep

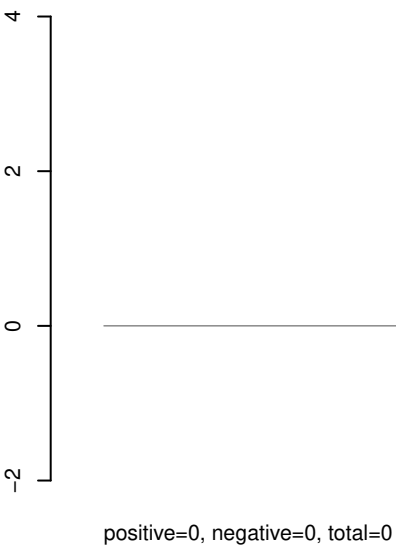


0 2000 4000 6000 8000 10000 12000

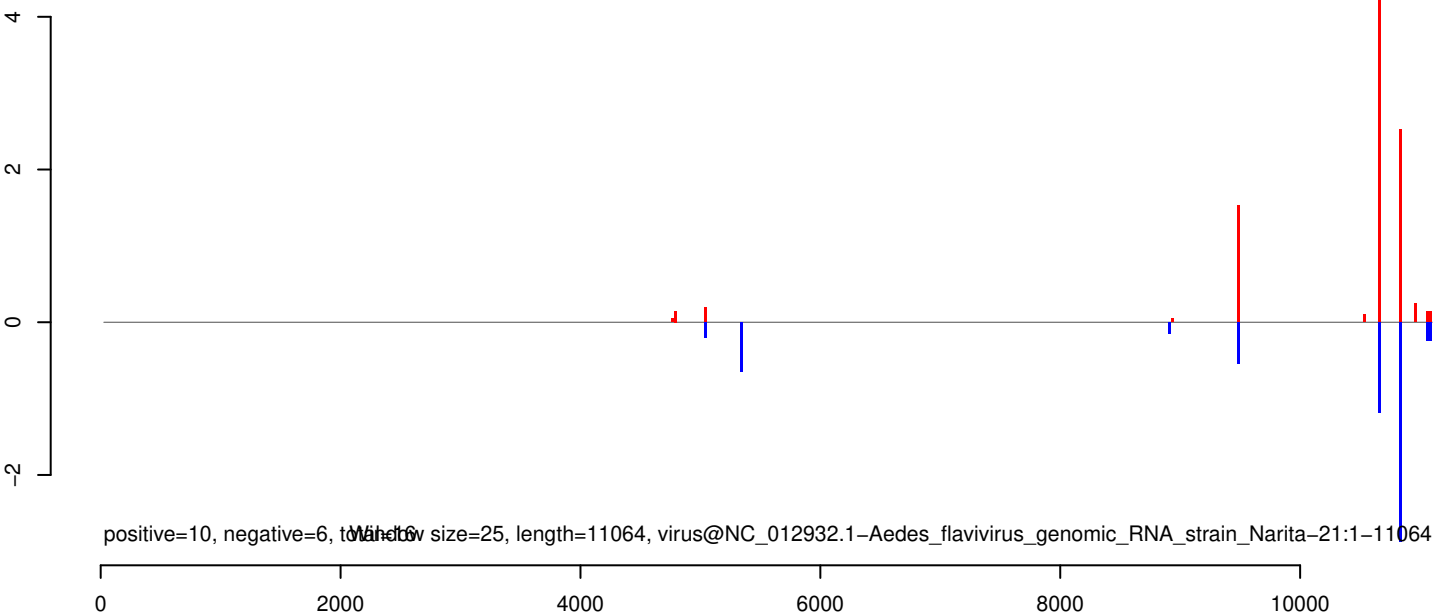
AeAeg_Aag2SINV_dsPiwi4.18_23.rep



AeAeg_Aag2SINV_dsPiwi4.24_35.rep



AeAeg_Aag2SINV_dsPiwi4.rep



AeAeg_Aag2SINV_dsPiwi4.18_23.rep

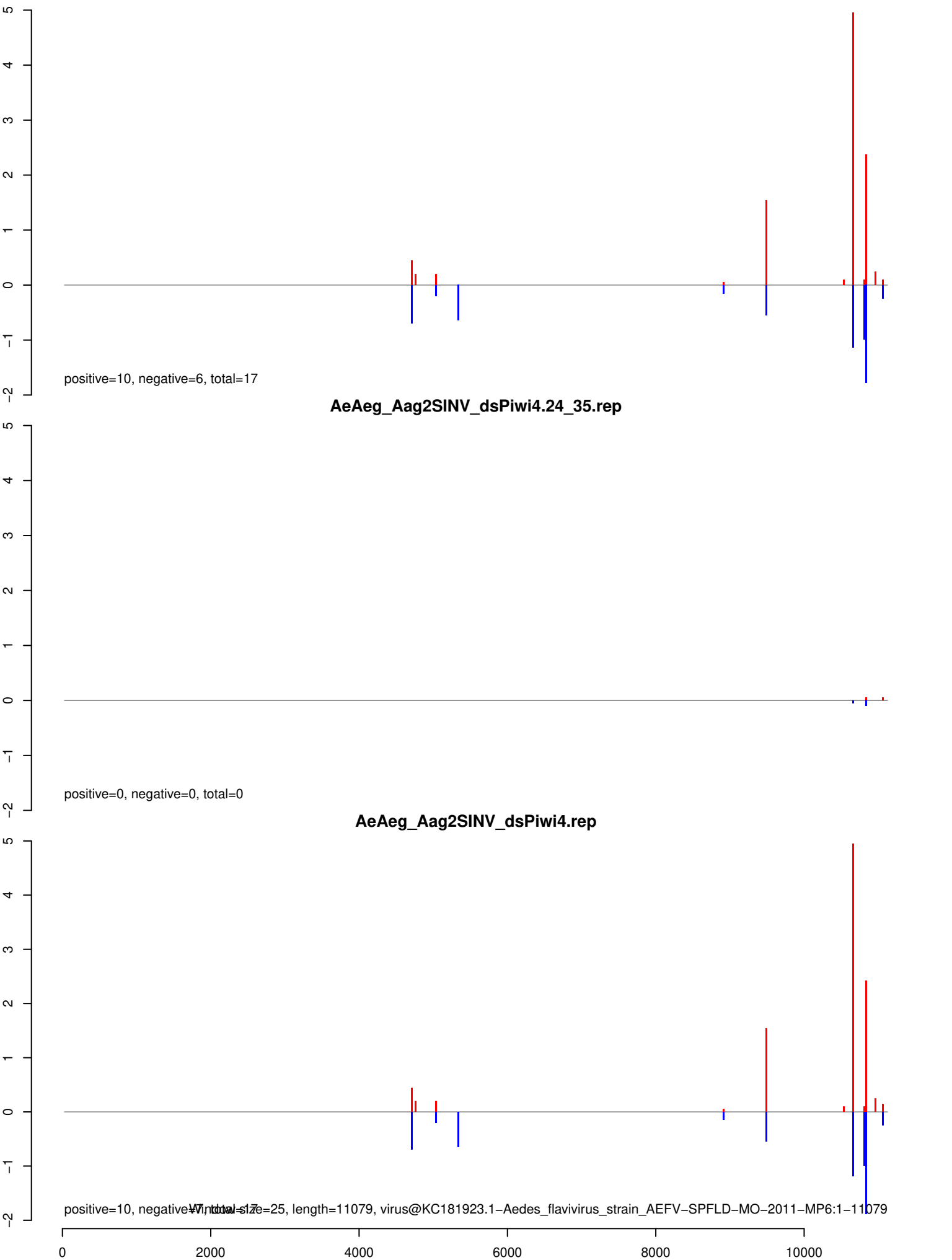
positive=10, negative=6, total=17

AeAeg_Aag2SINV_dsPiwi4.24_35.rep

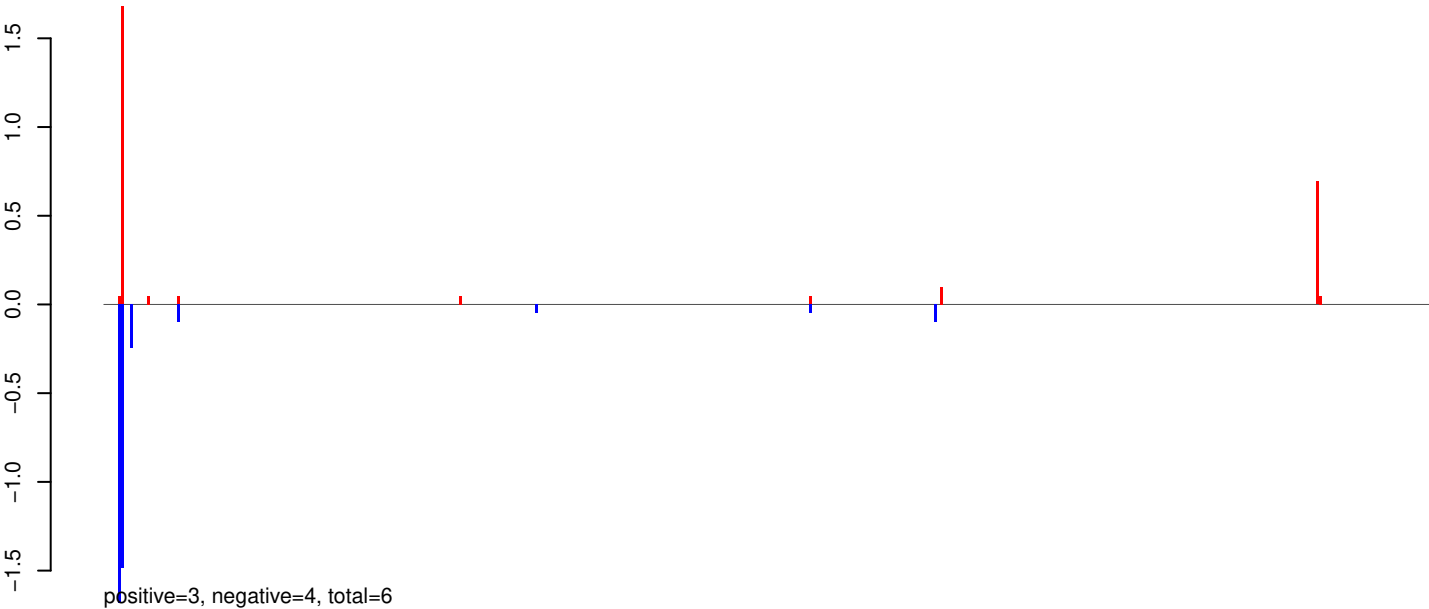
positive=0, negative=0, total=0

AeAeg_Aag2SINV_dsPiwi4.rep

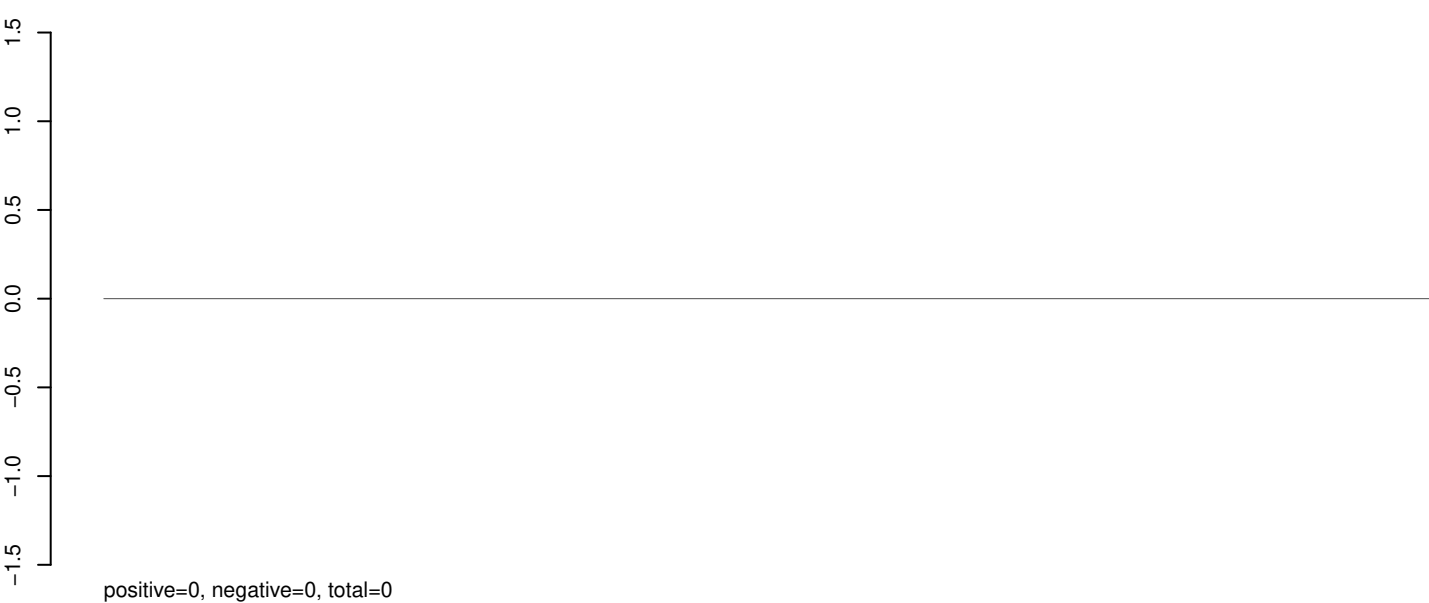
positive=10, negative=4, total=14, window-size=25, length=11079, virus@KC181923.1-Aedes_flavivirus_strain_AEFV-SPFLD-MO-2011-MP6:1-11079



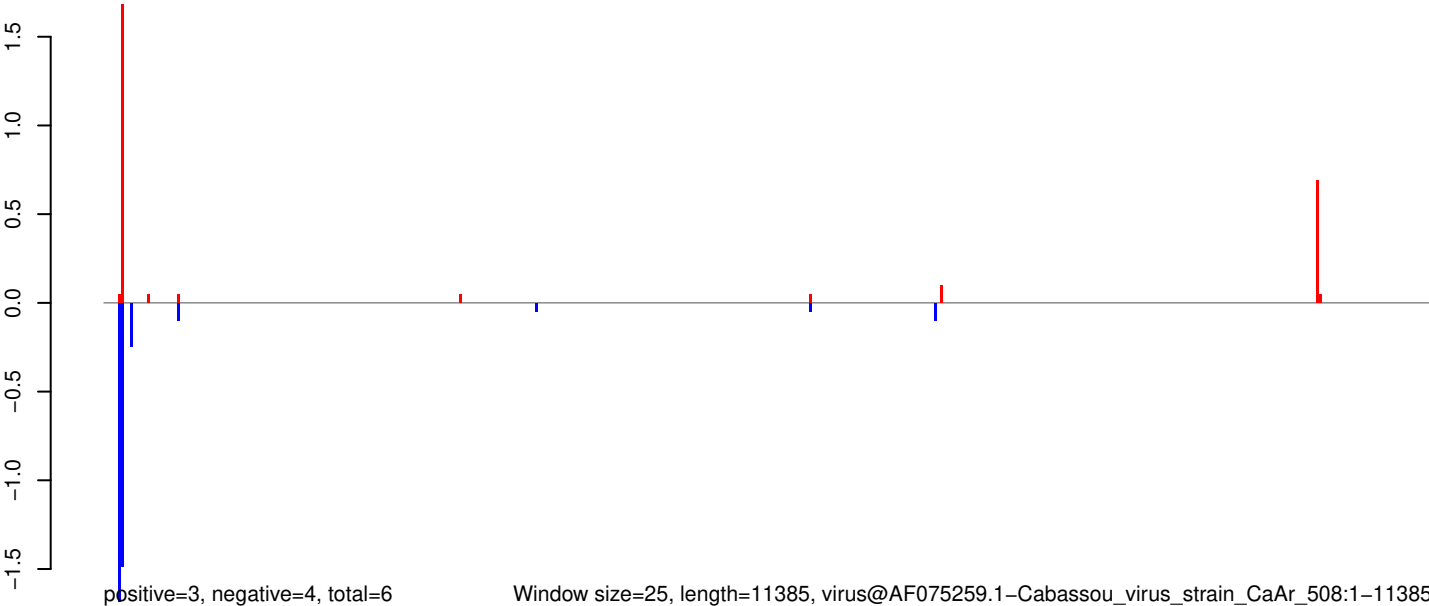
AeAeg_Aag2SINV_dsPiwi4.18_23.rep



AeAeg_Aag2SINV_dsPiwi4.24_35.rep

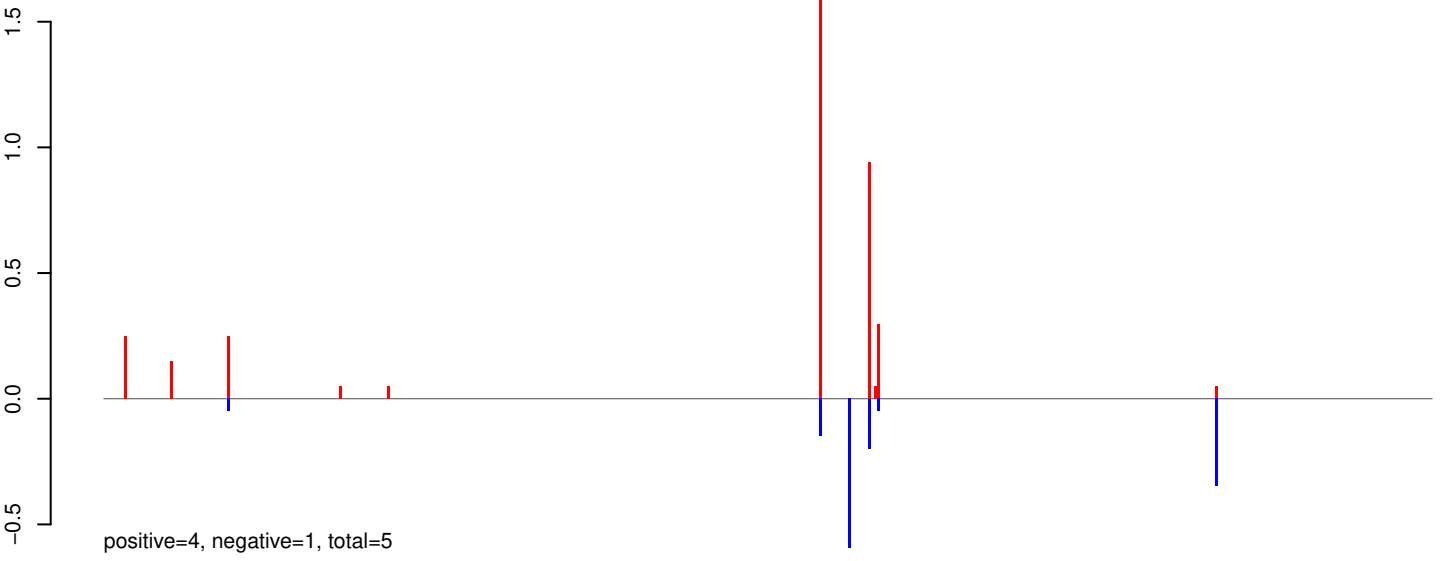


AeAeg_Aag2SINV_dsPiwi4.rep

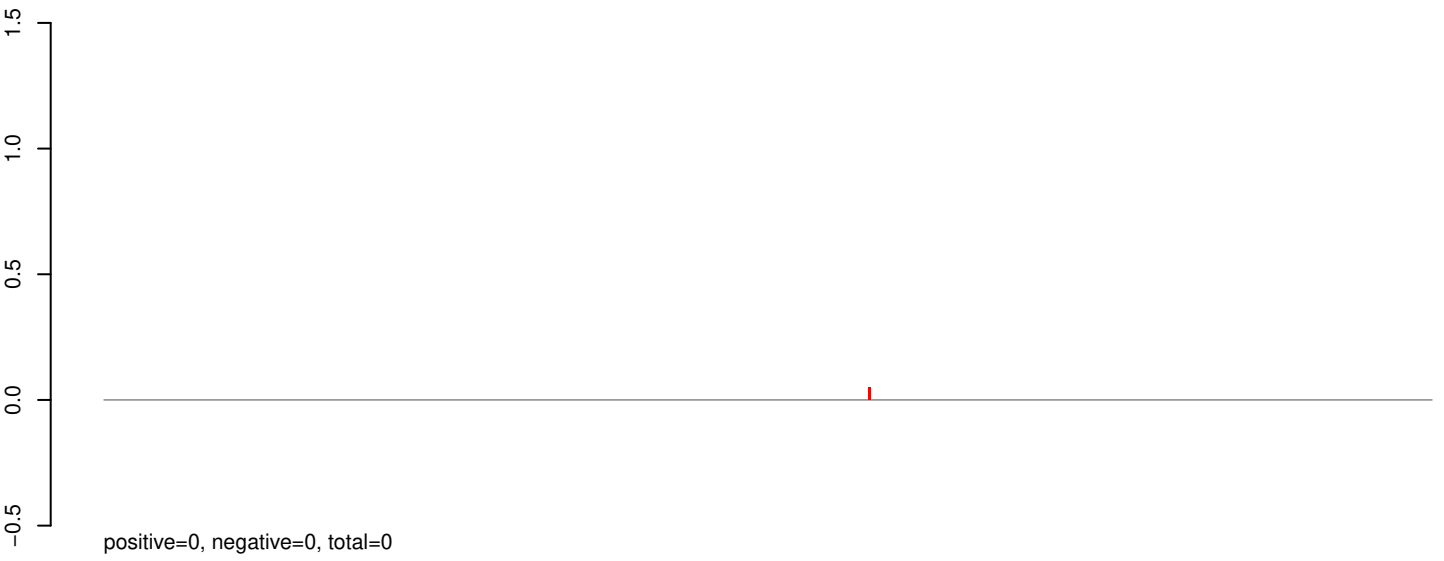


Window size=25, length=11385, virus@AF075259.1-Cabassou_virus_strain_CaAr_508:1-11385

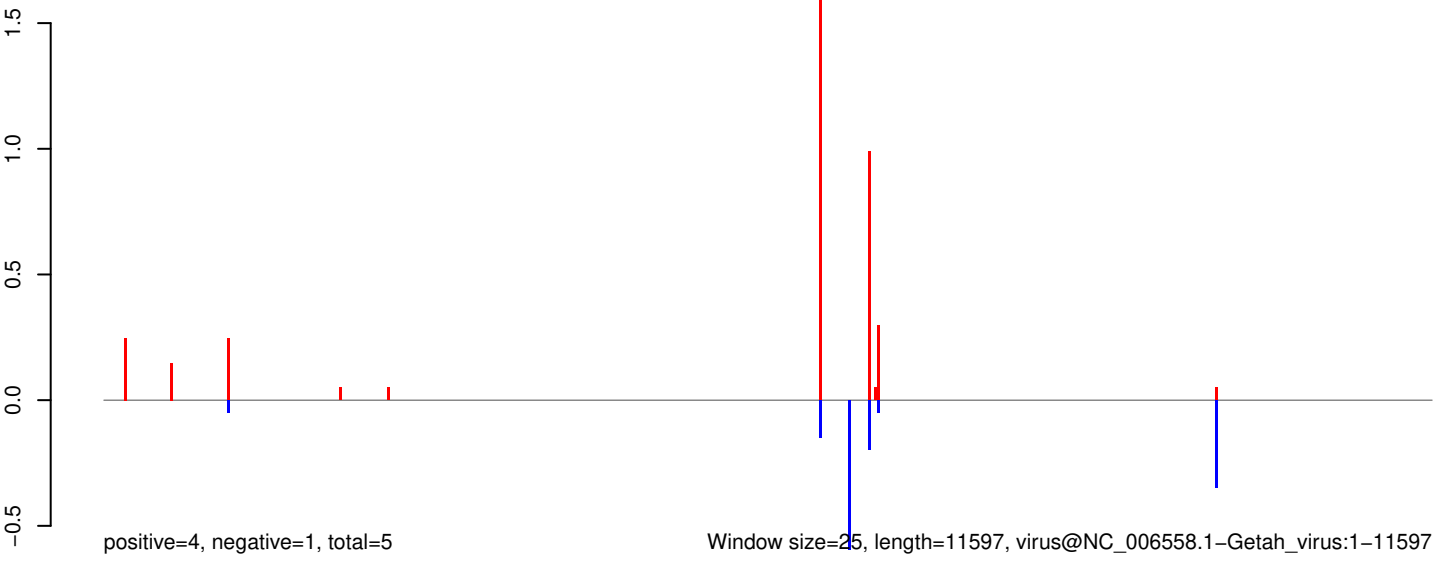
AeAeg_Aag2SINV_dsPiwi4.18_23.rep



AeAeg_Aag2SINV_dsPiwi4.24_35.rep

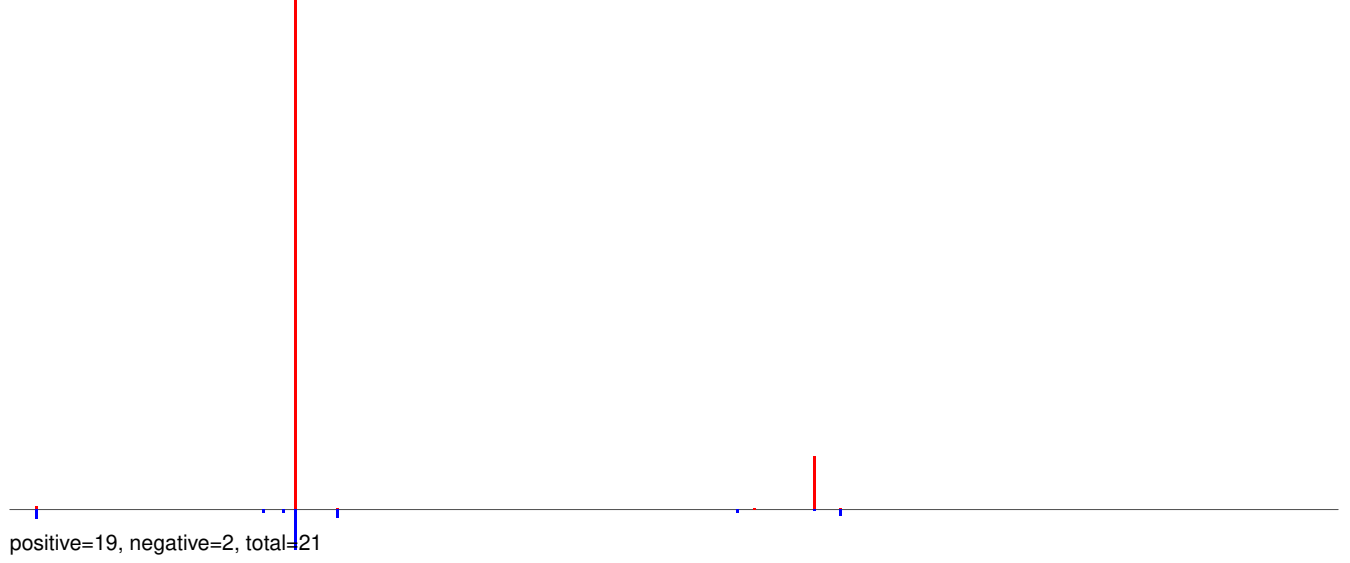


AeAeg_Aag2SINV_dsPiwi4.rep

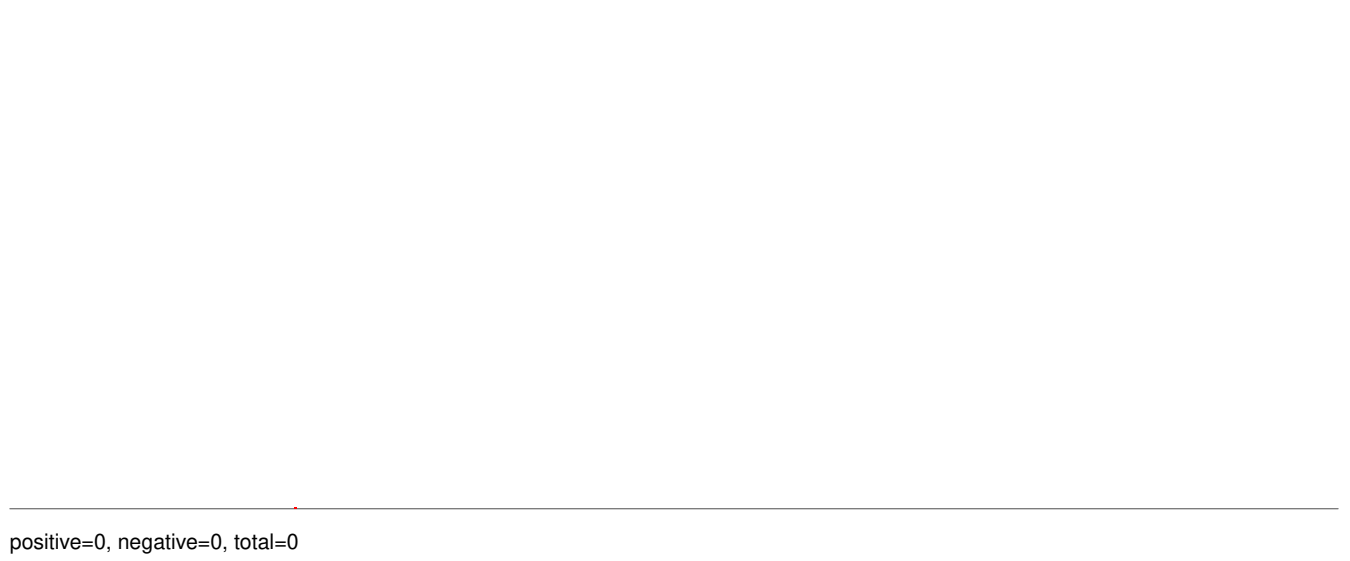


Window size=25, length=11597, virus@NC_006558.1-Getah_virus:1-11597

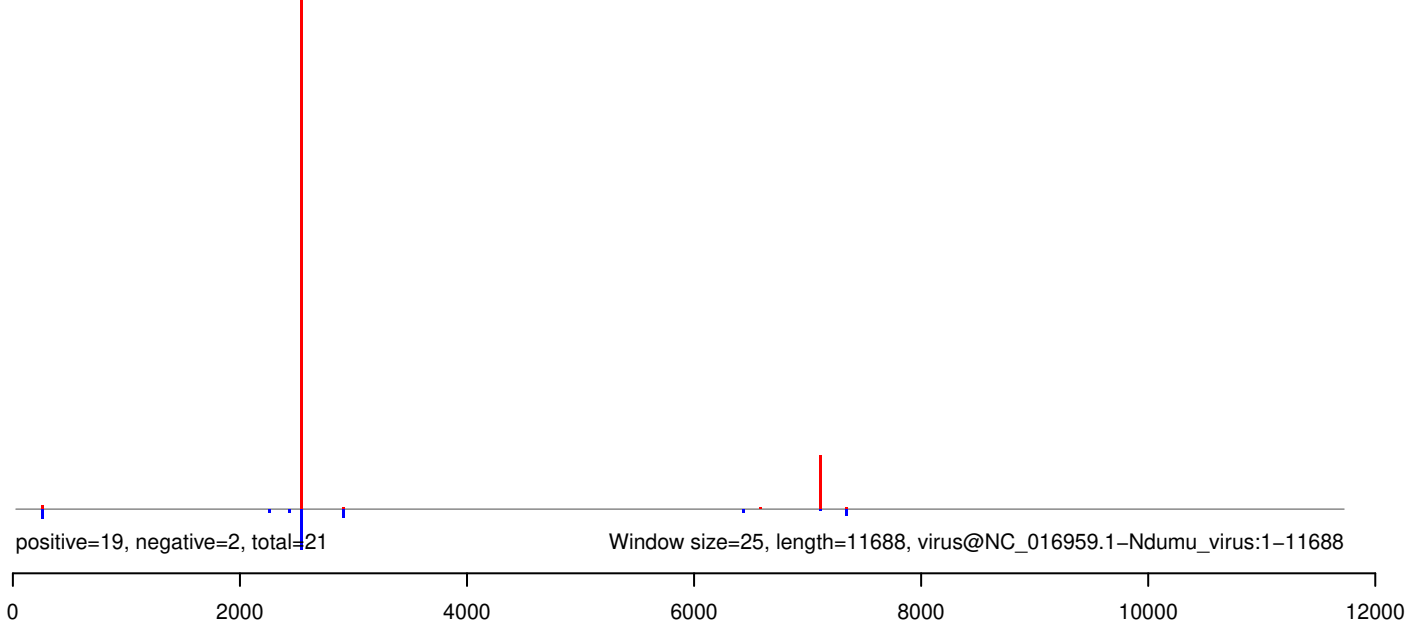
AeAeg_Aag2SINV_dsPiwi4.18_23.rep



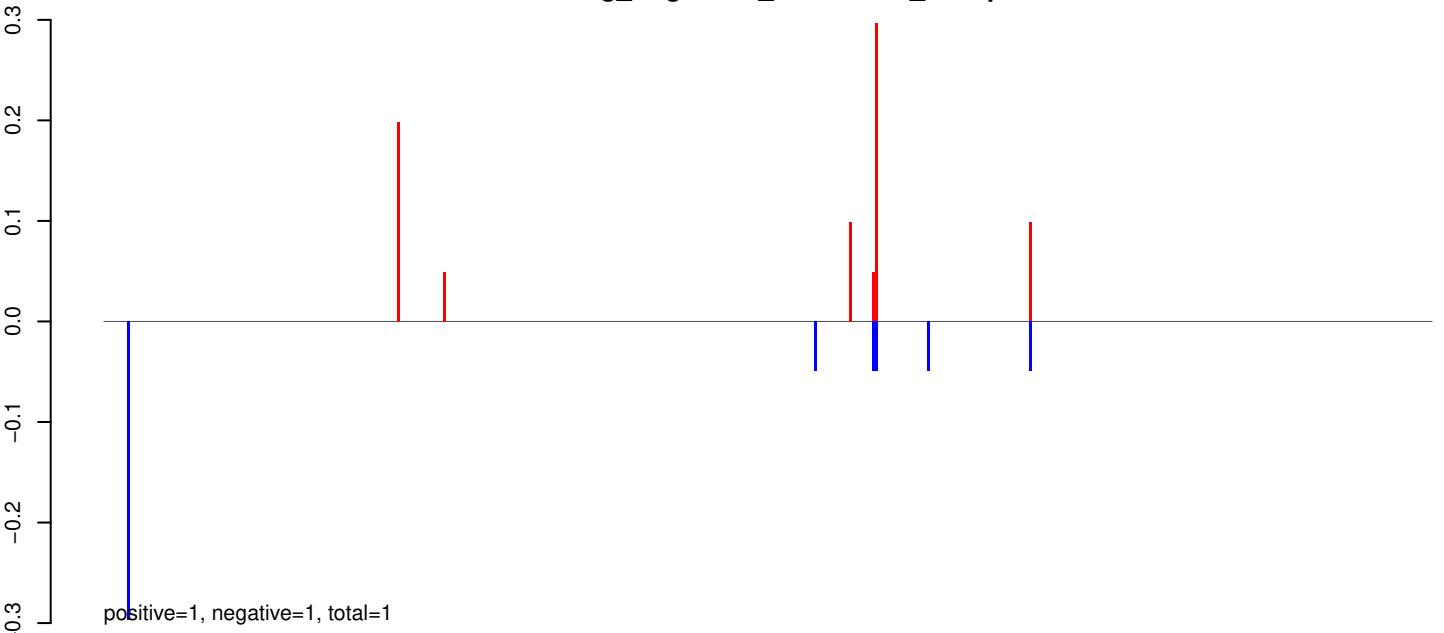
AeAeg_Aag2SINV_dsPiwi4.24_35.rep



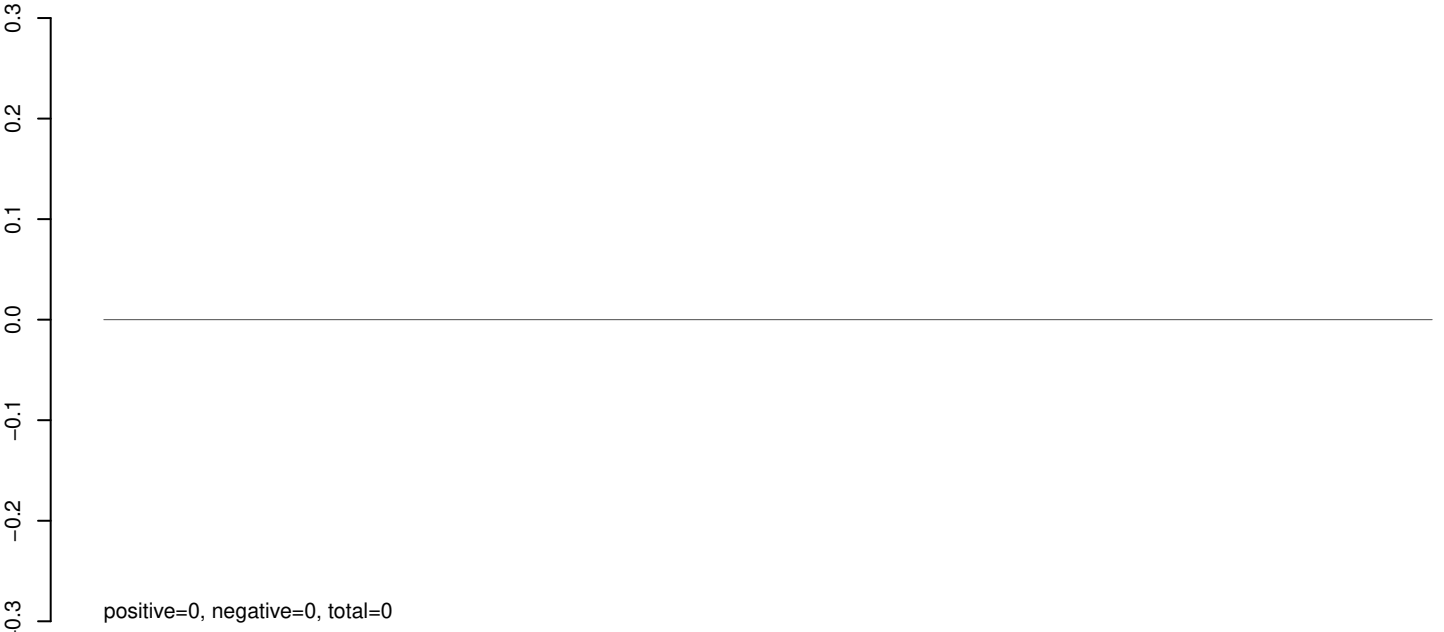
AeAeg_Aag2SINV_dsPiwi4.rep



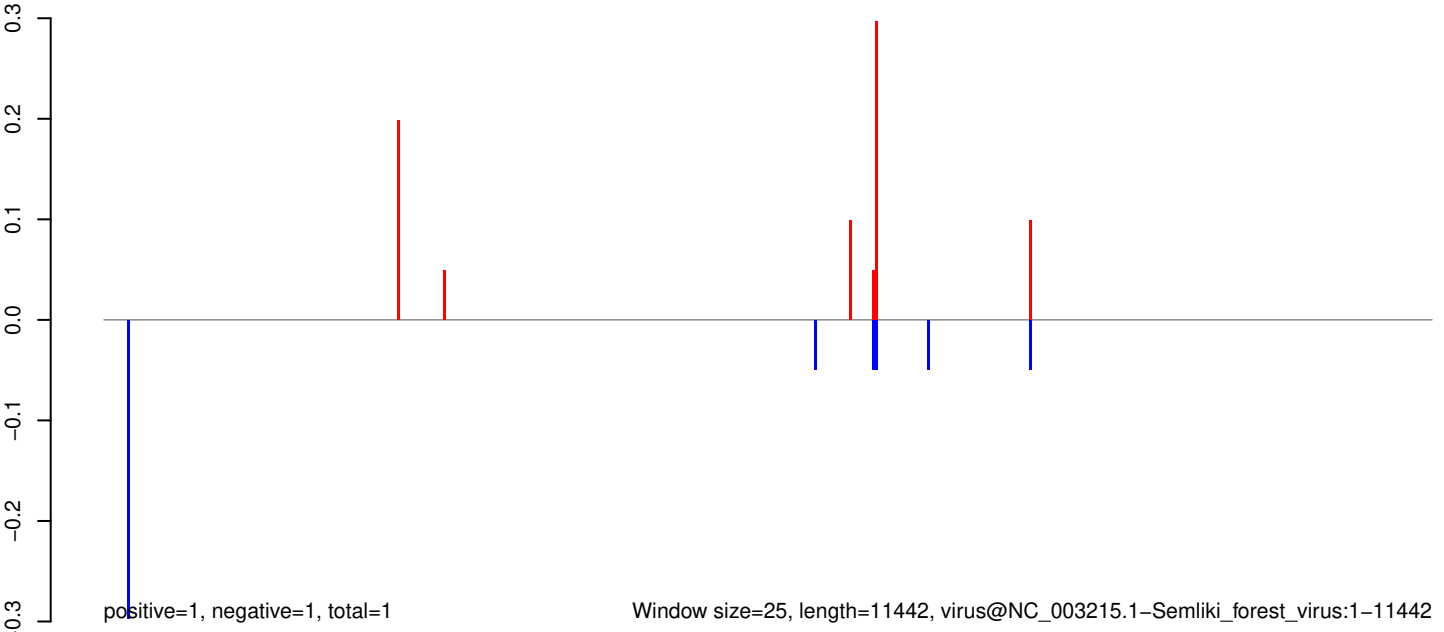
AeAeg_Aag2SINV_dsPiwi4.18_23.rep



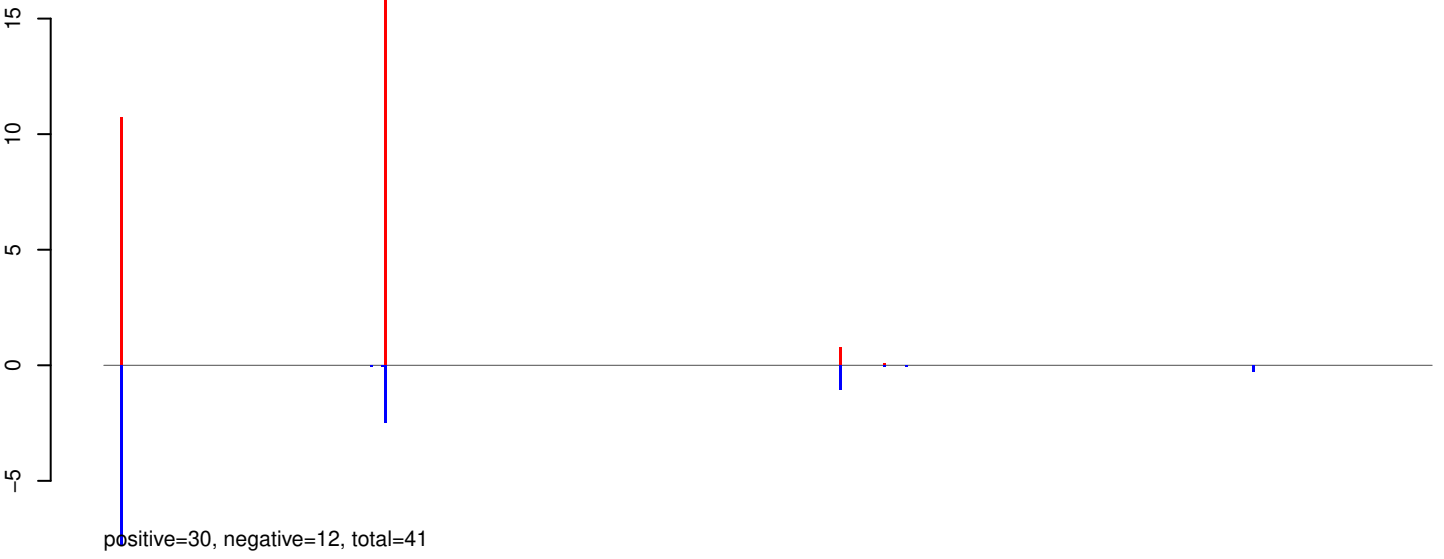
AeAeg_Aag2SINV_dsPiwi4.24_35.rep



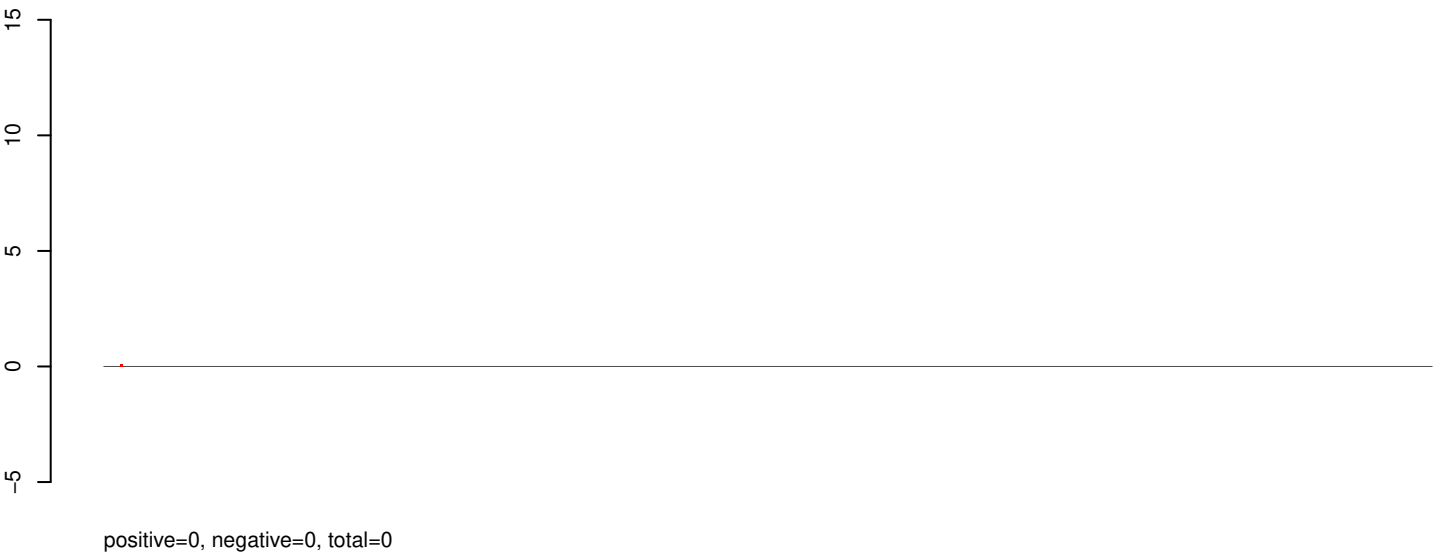
AeAeg_Aag2SINV_dsPiwi4.rep



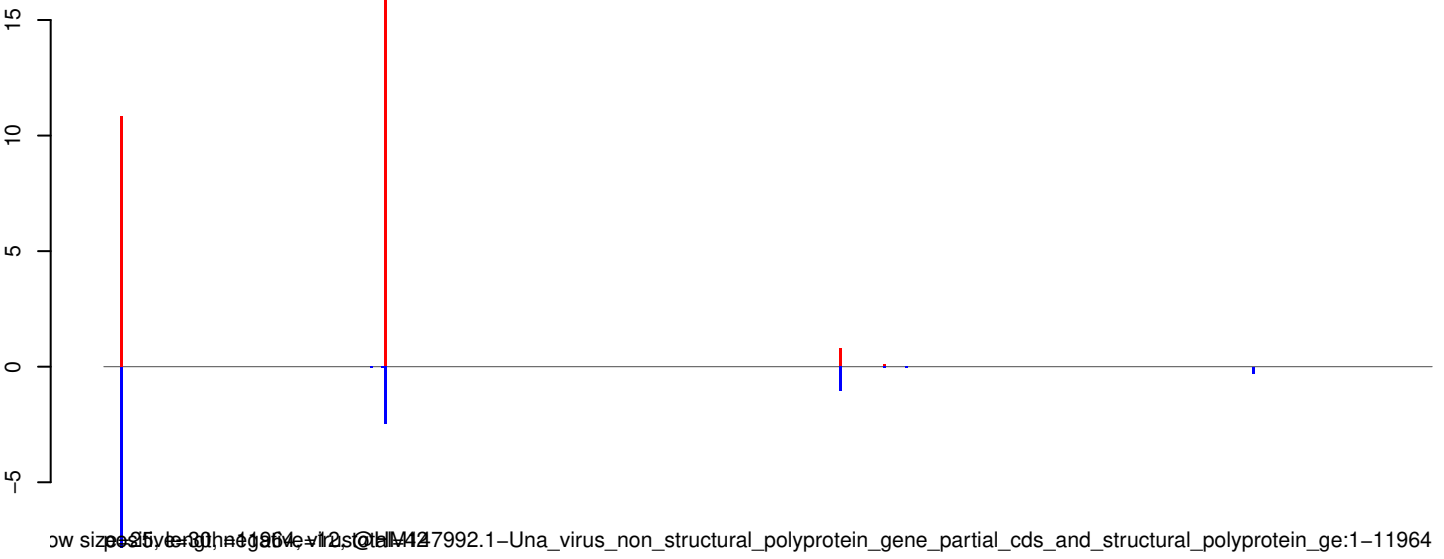
AeAeg_Aag2SINV_dsPiwi4.18_23.rep



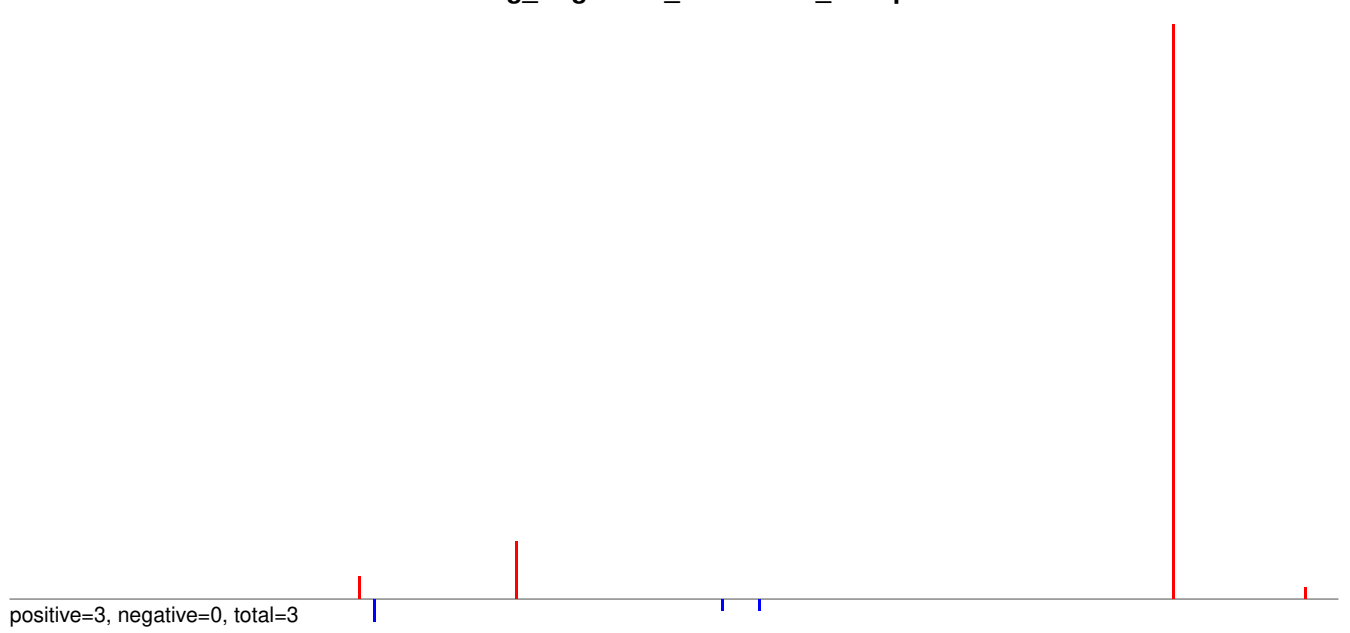
AeAeg_Aag2SINV_dsPiwi4.24_35.rep



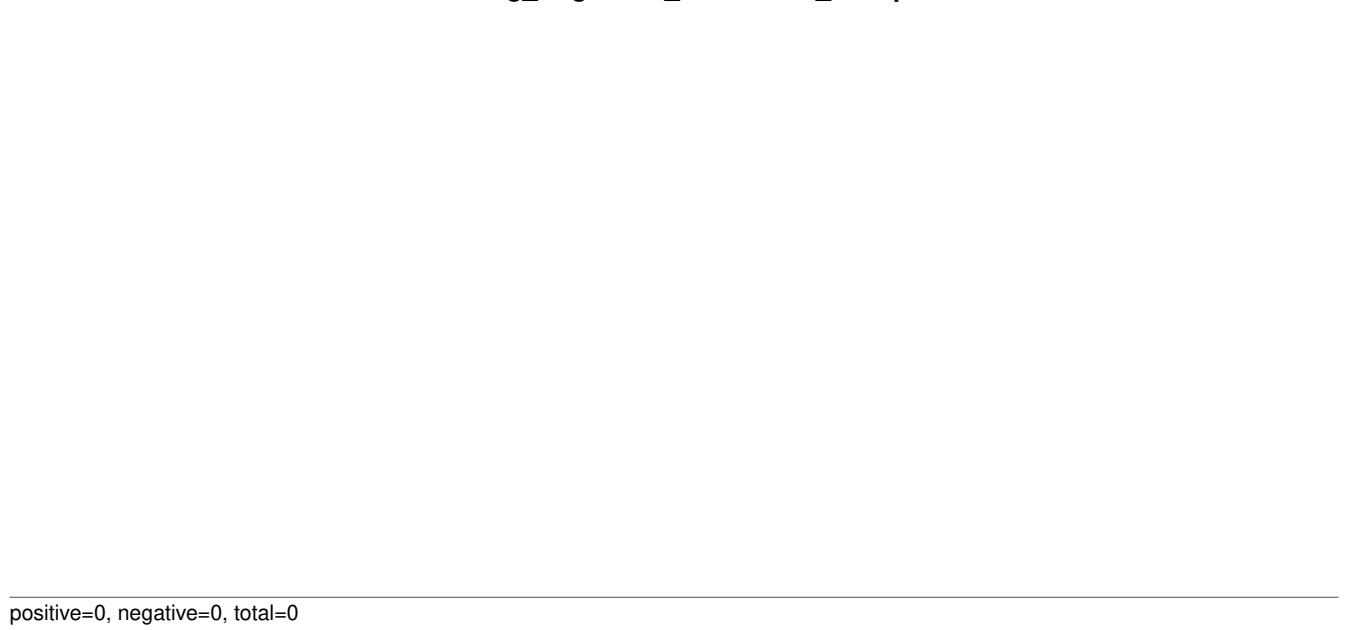
AeAeg_Aag2SINV_dsPiwi4.rep



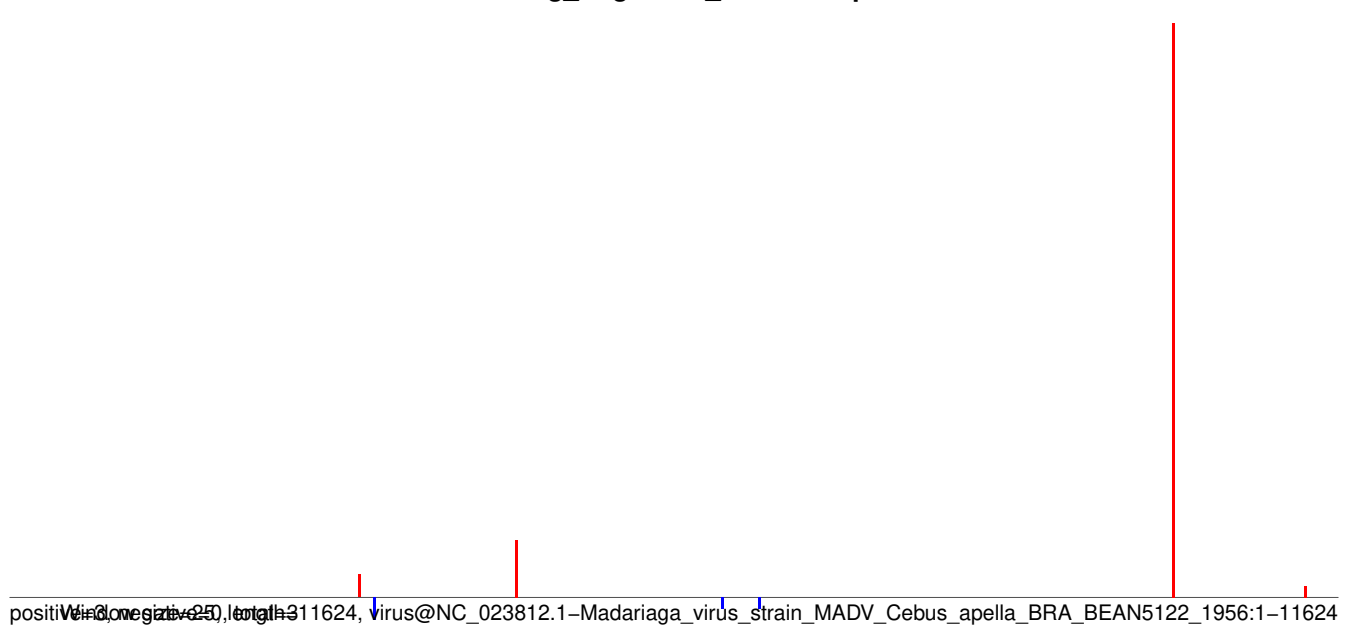
AeAeg_Aag2SINV_dsPiwi4.18_23.rep



AeAeg_Aag2SINV_dsPiwi4.24_35.rep



AeAeg_Aag2SINV_dsPiwi4.rep



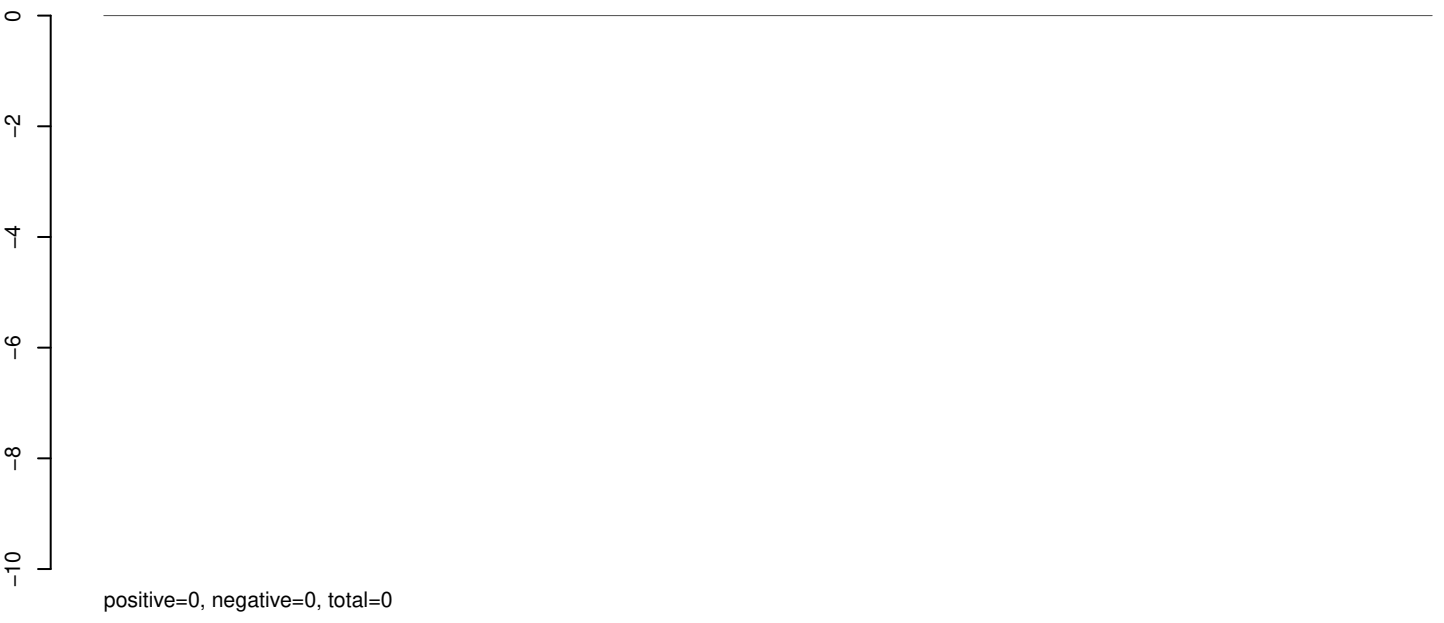
positive=3, negative=2, total=5
Virus@NC_023812.1-Madariaga_virus_strain_MADV_Cebus_apella_BRA_BEAN5122_1956:1-11624

0 2000 4000 6000 8000 10000 12000

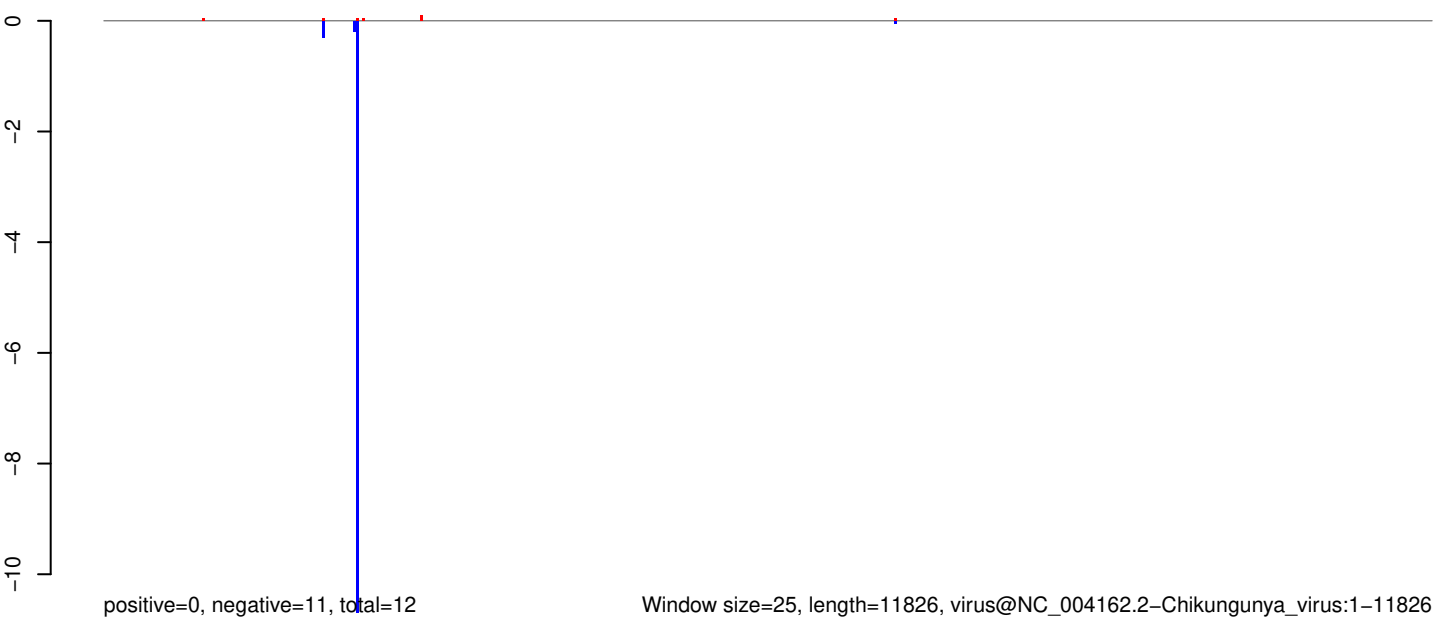
AeAeg_Aag2SINV_dsPiwi4.18_23.rep



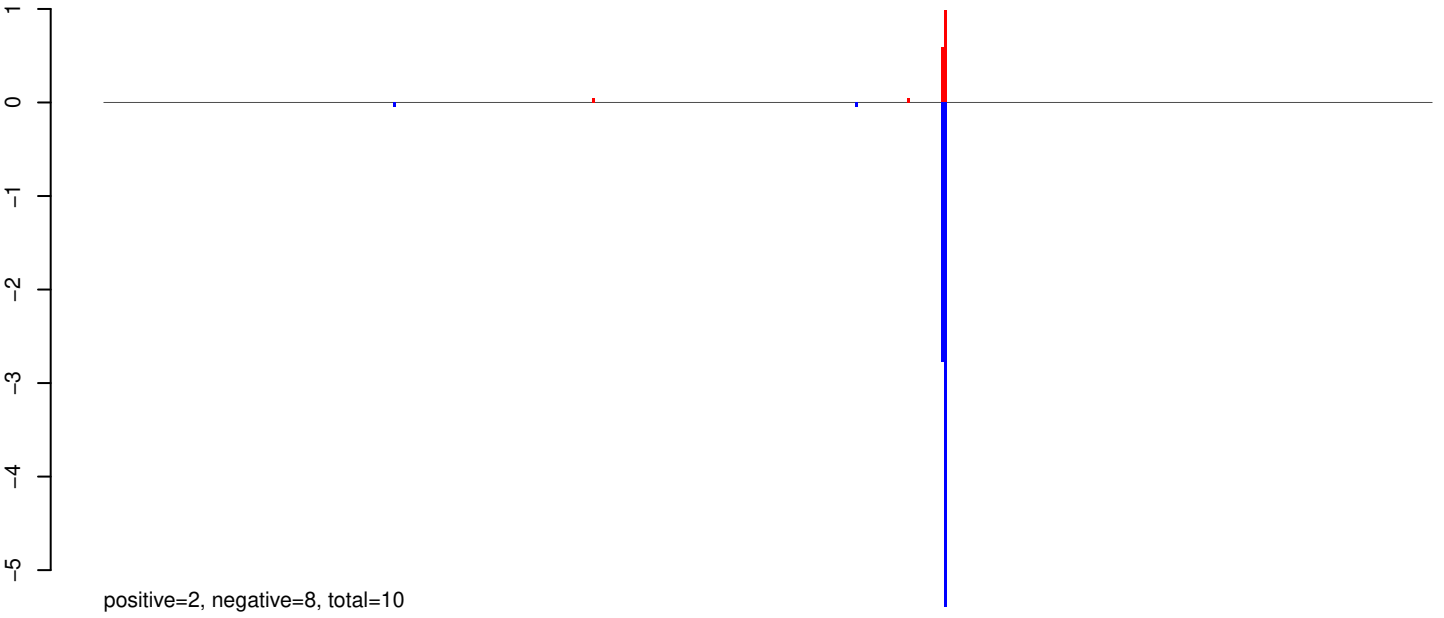
AeAeg_Aag2SINV_dsPiwi4.24_35.rep



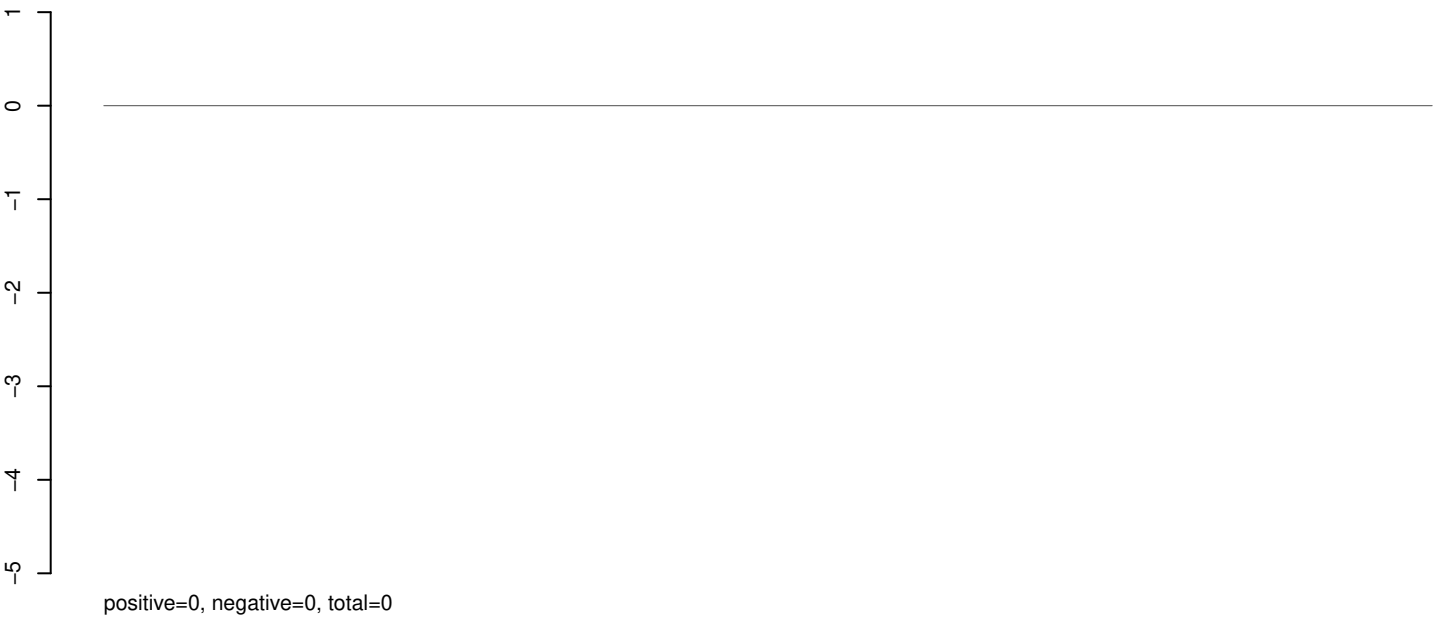
AeAeg_Aag2SINV_dsPiwi4.rep



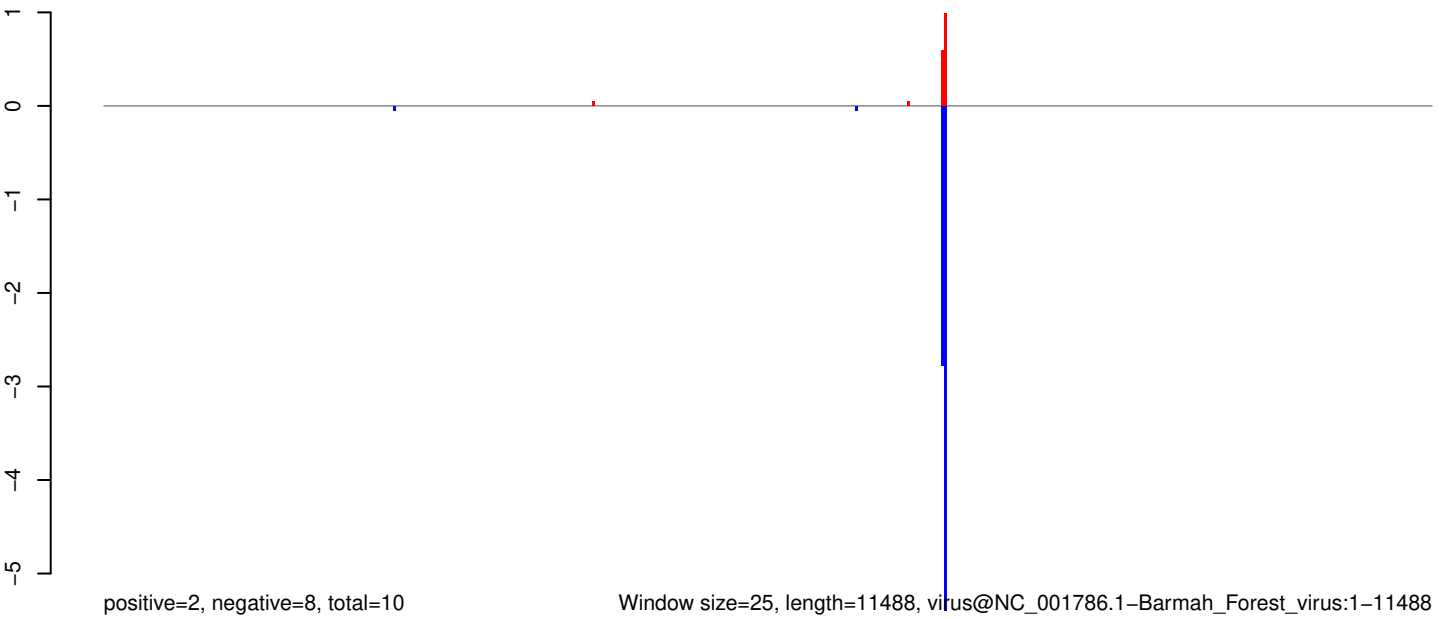
AeAeg_Aag2SINV_dsPiwi4.18_23.rep



AeAeg_Aag2SINV_dsPiwi4.24_35.rep



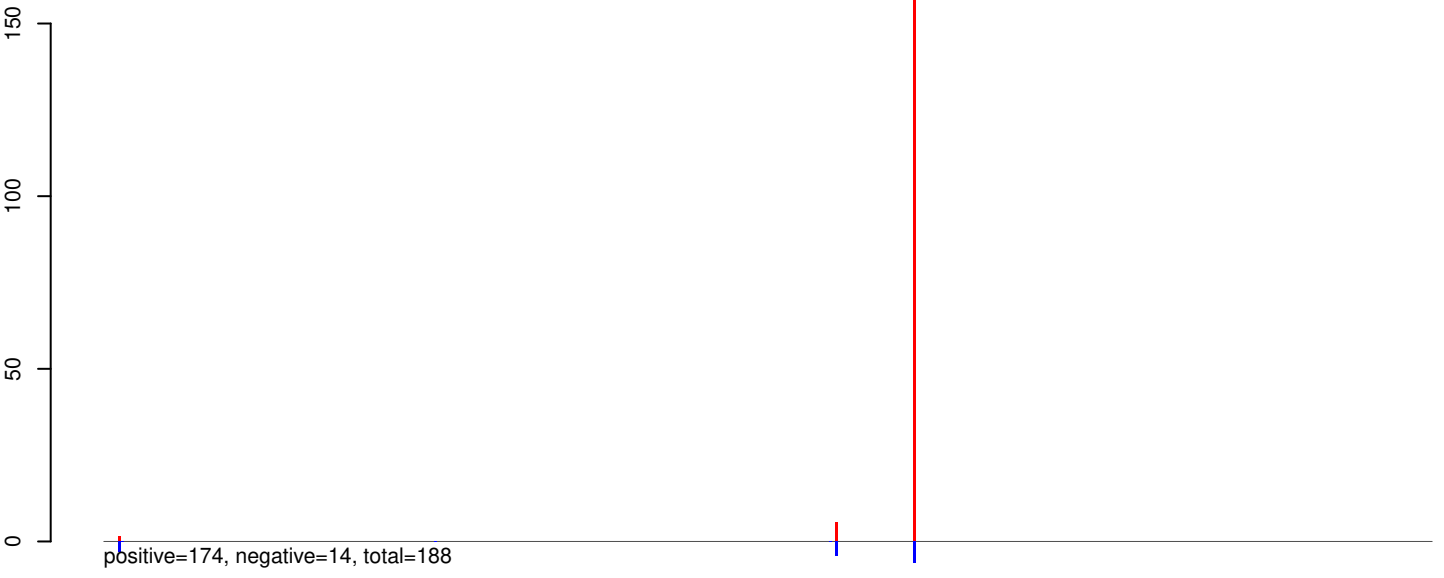
AeAeg_Aag2SINV_dsPiwi4.rep



Window size=25, length=11488, virus@NC_001786.1-Barmah_Forest_virus:1-11488

0 2000 4000 6000 8000 10000

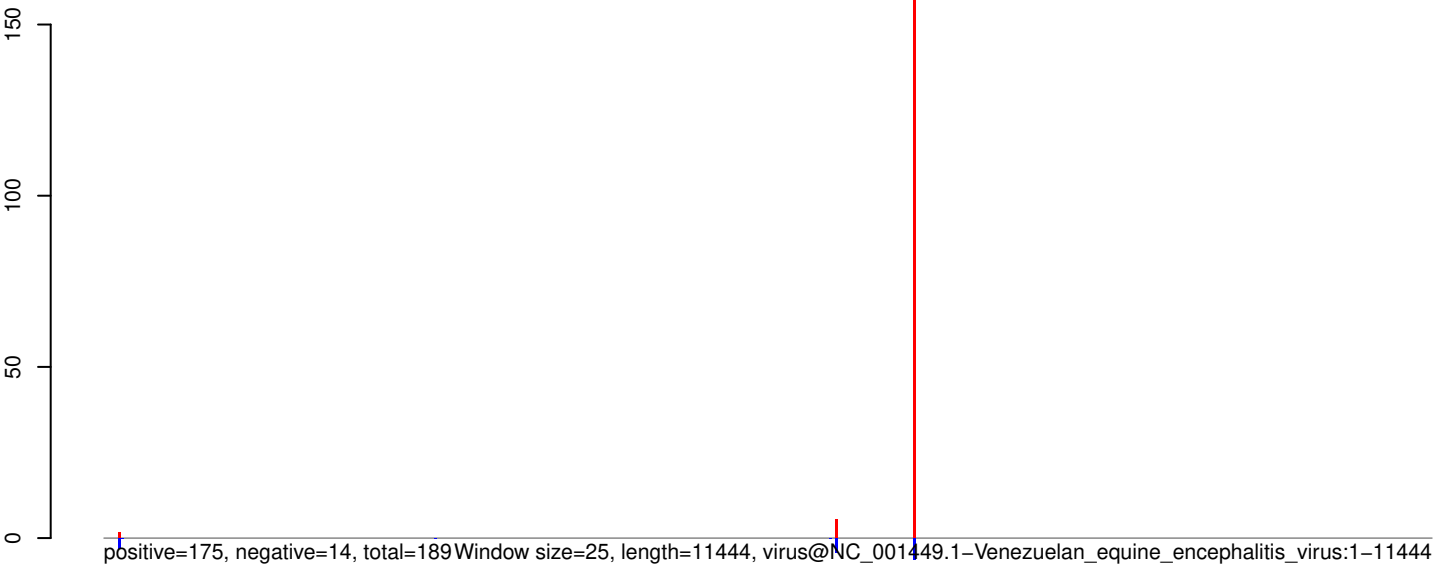
AeAeg_Aag2SINV_dsPiwi4.18_23.rep



AeAeg_Aag2SINV_dsPiwi4.24_35.rep



AeAeg_Aag2SINV_dsPiwi4.rep

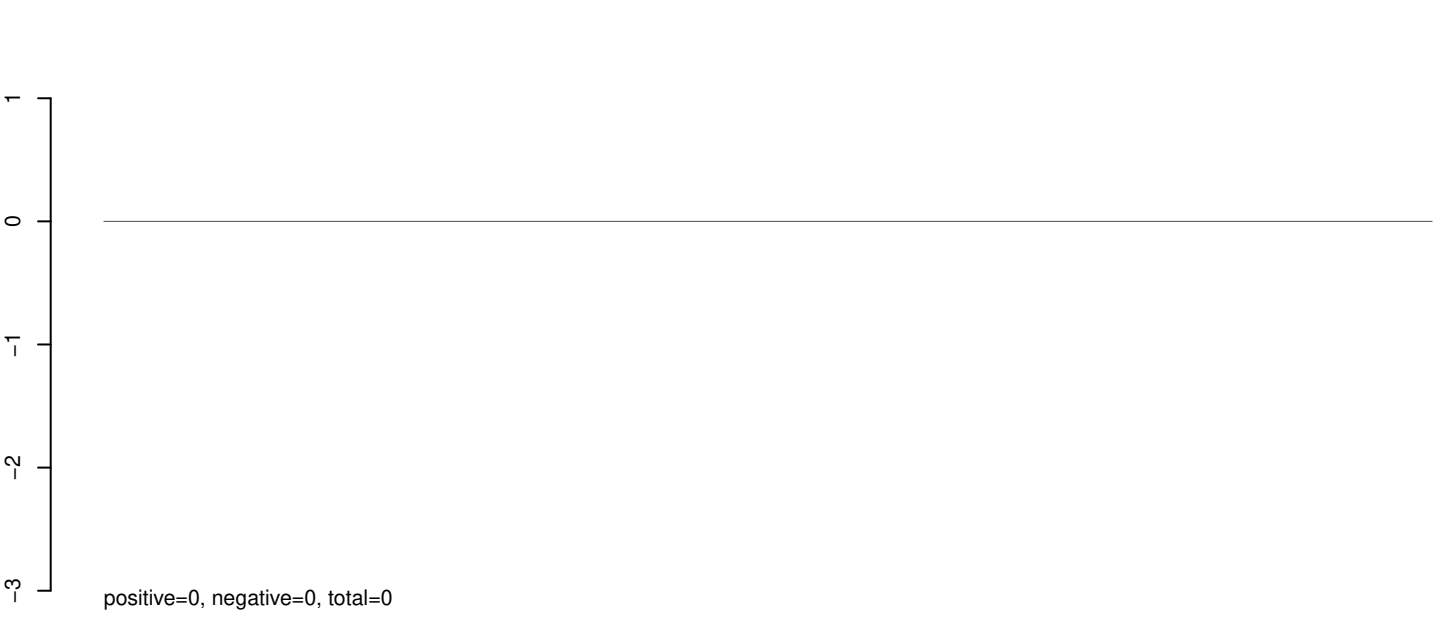


0 2000 4000 6000 8000 10000

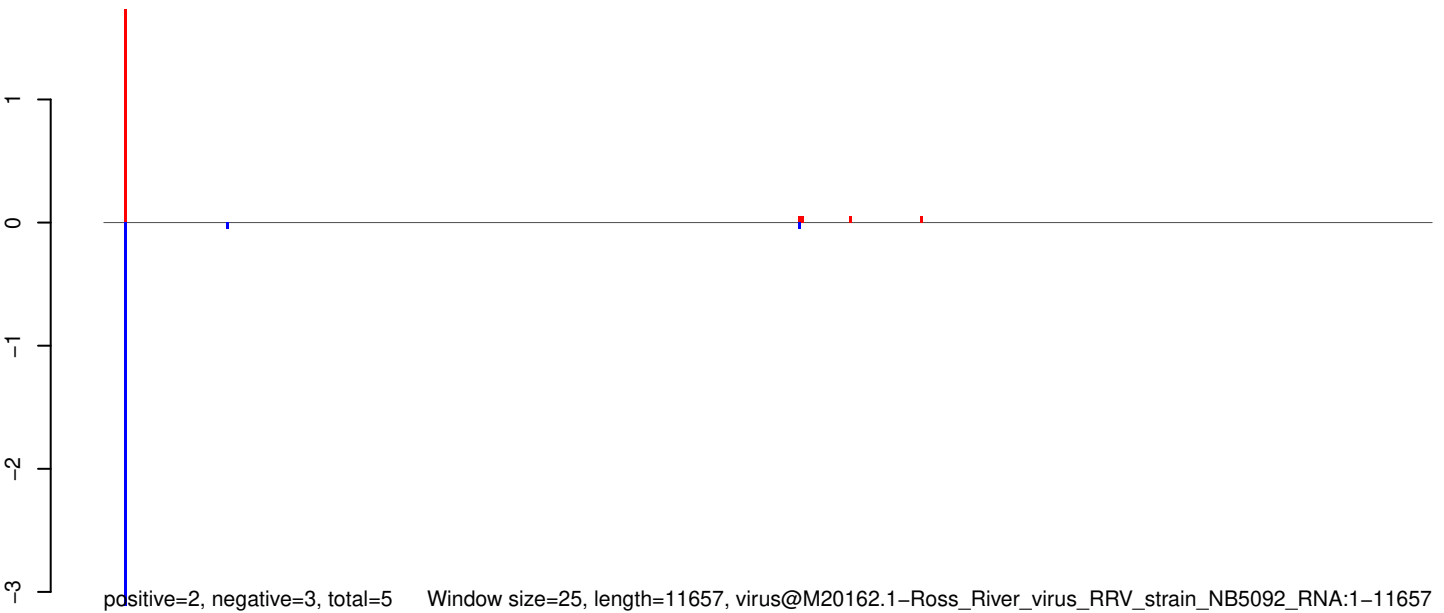
AeAeg_Aag2SINV_dsPiwi4.18_23.rep



AeAeg_Aag2SINV_dsPiwi4.24_35.rep



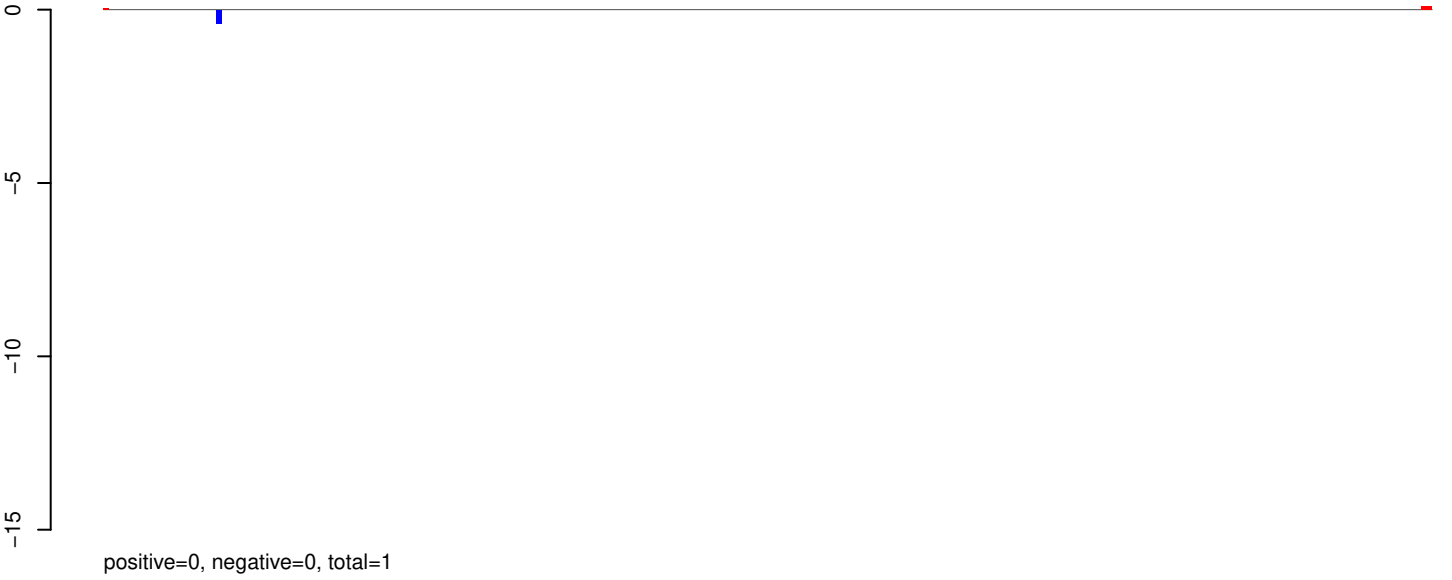
AeAeg_Aag2SINV_dsPiwi4.rep



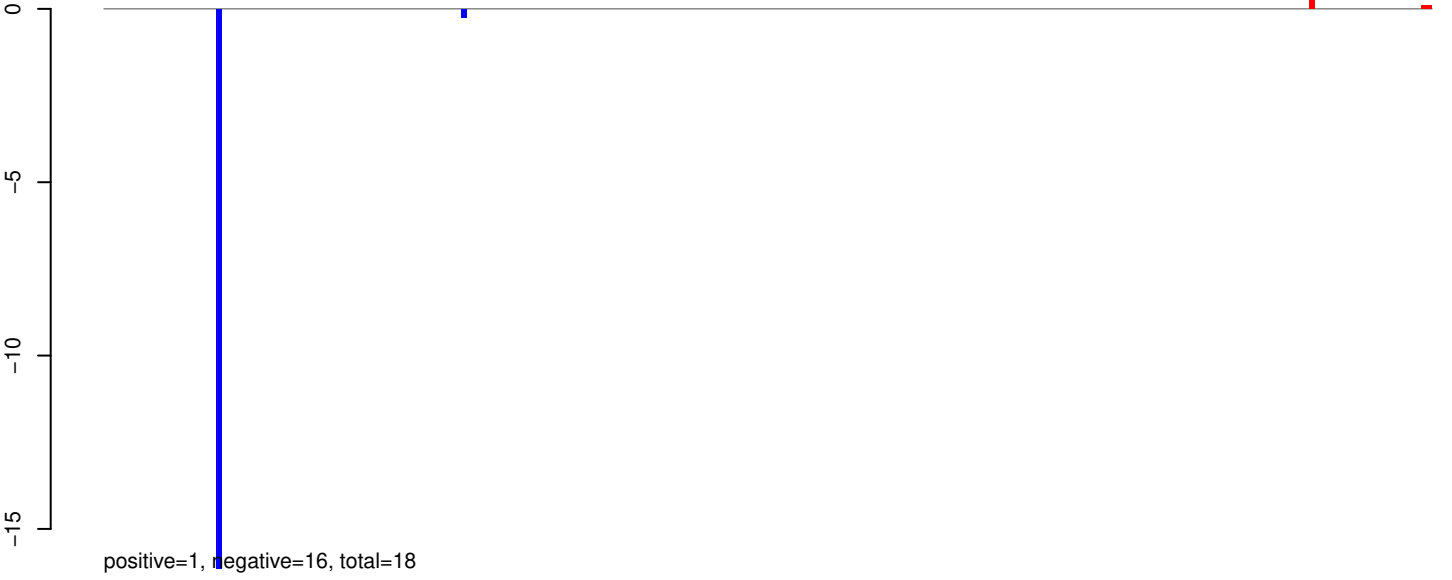
Window size=25, length=11657, virus@M20162.1-Ross_River_virus_RRV_strain_NB5092_RNA:1-11657

0 2000 4000 6000 8000 10000 12000

AeAeg_Aag2SINV_dsPiwi4.18_23.rep



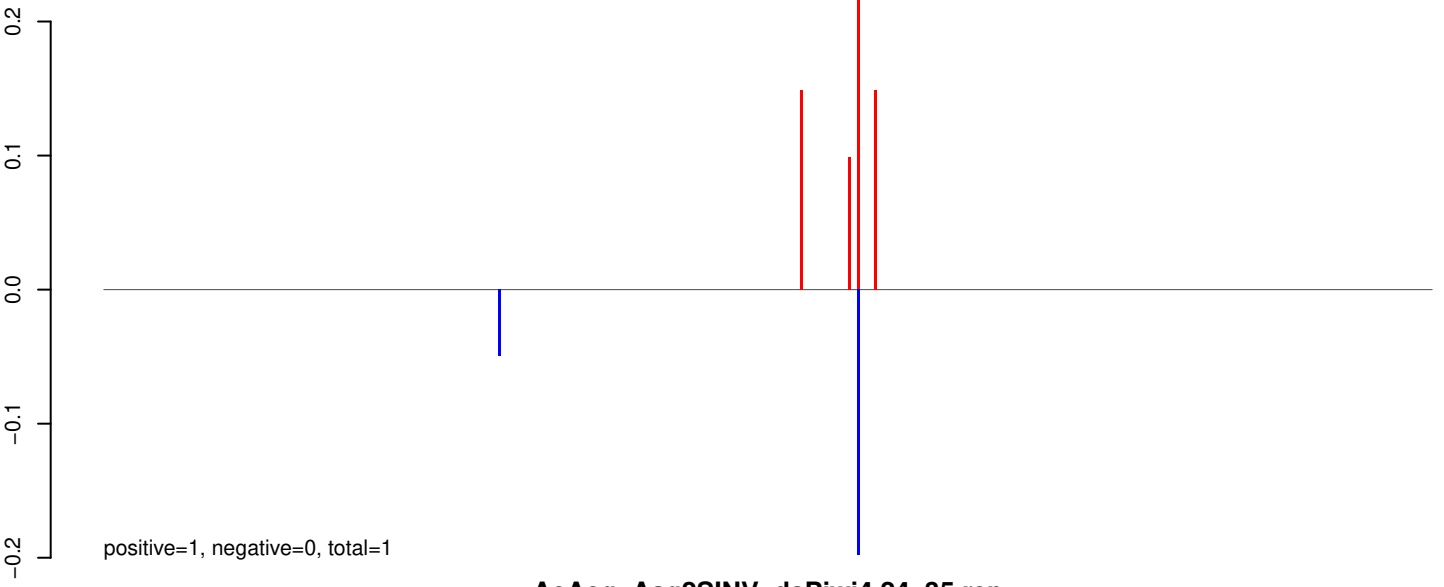
AeAeg_Aag2SINV_dsPiwi4.24_35.rep



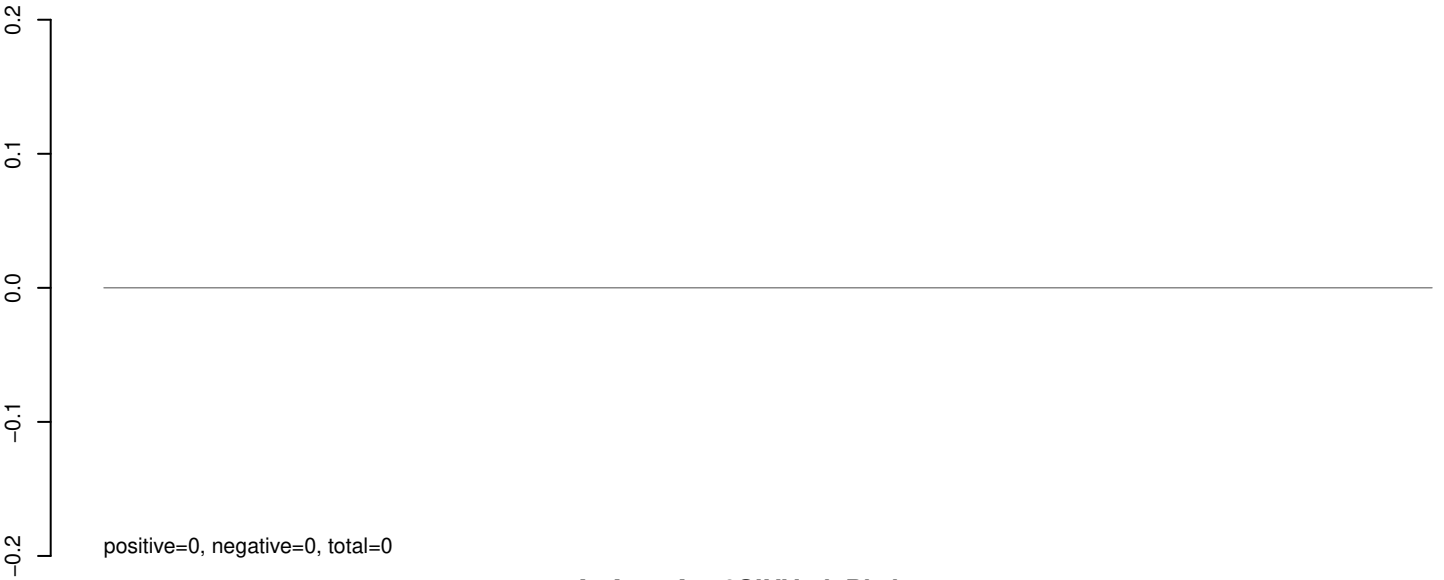
AeAeg_Aag2SINV_dsPiwi4.rep



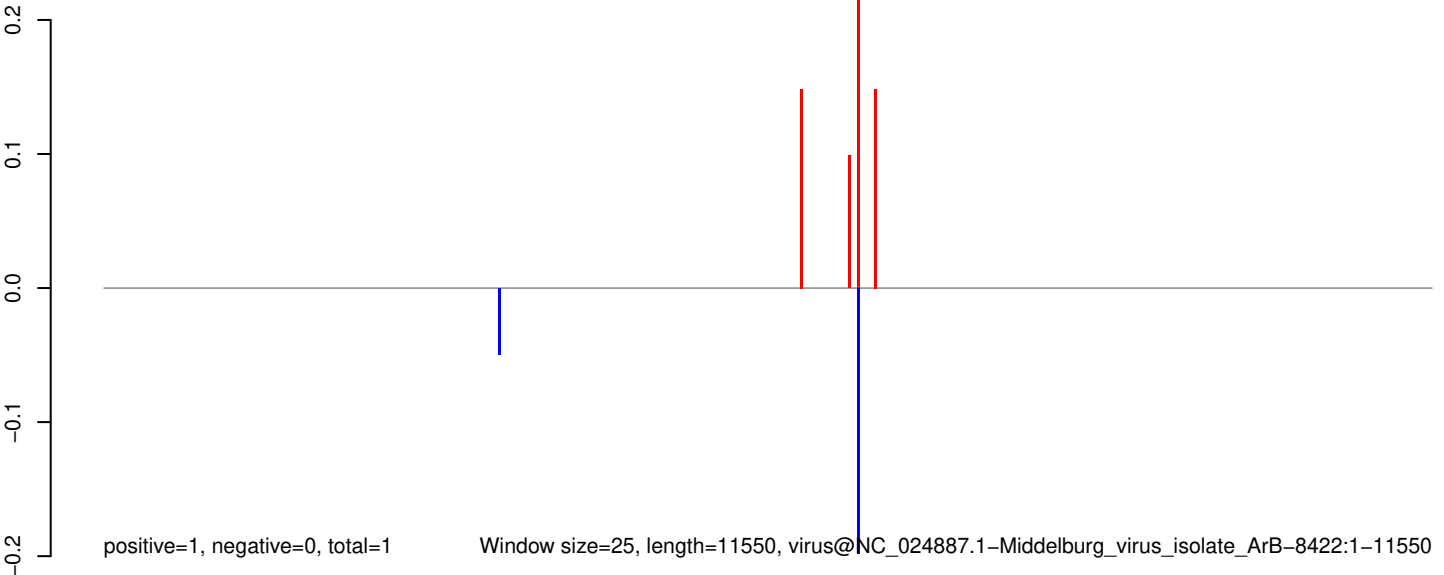
AeAeg_Aag2SINV_dsPiwi4.18_23.rep



AeAeg_Aag2SINV_dsPiwi4.24_35.rep



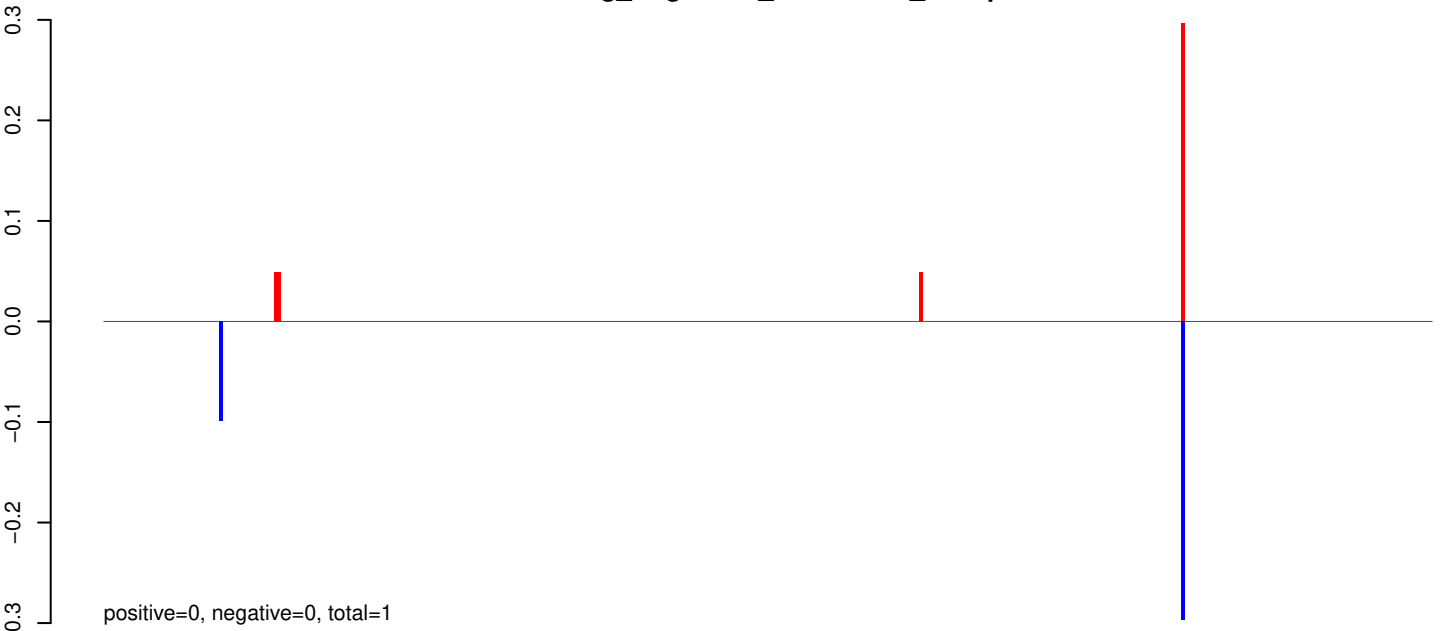
AeAeg_Aag2SINV_dsPiwi4.rep



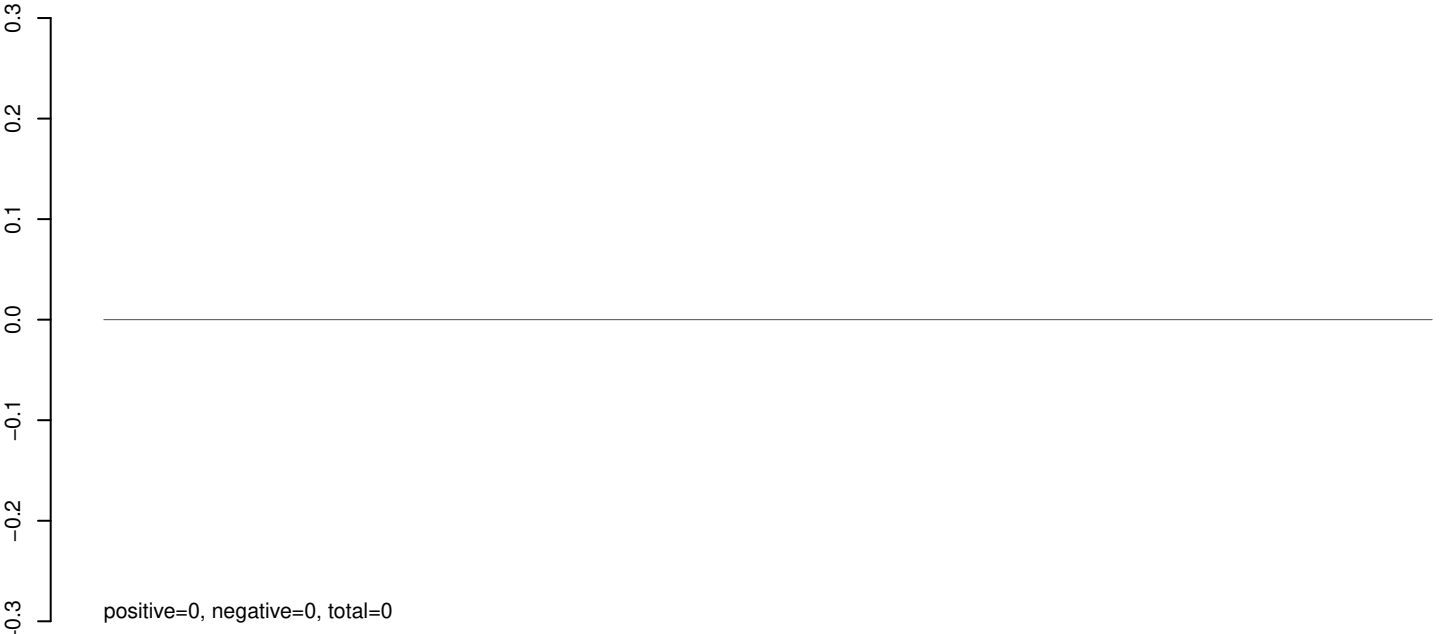
Window size=25, length=11550, virus@NC_024887.1-Middelburg_virus_isolate_ArB-8422:1-11550

0 2000 4000 6000 8000 10000 12000

AeAeg_Aag2SINV_dsPiwi4.18_23.rep



AeAeg_Aag2SINV_dsPiwi4.24_35.rep

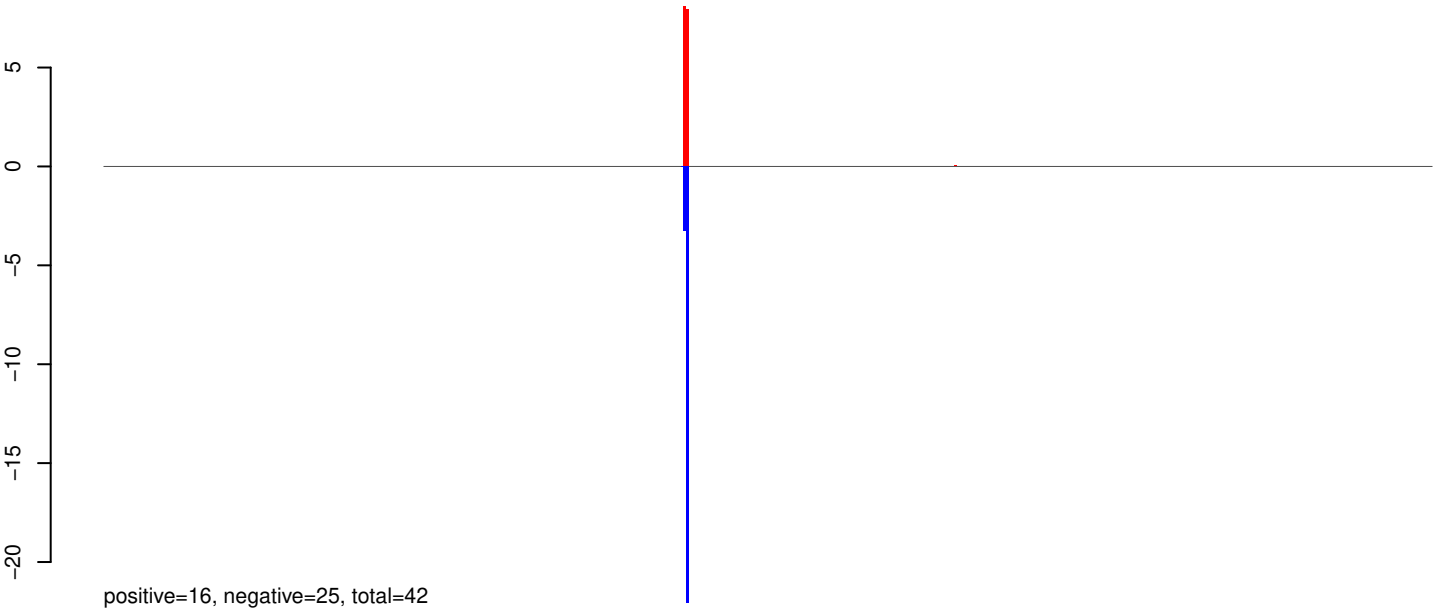


AeAeg_Aag2SINV_dsPiwi4.rep

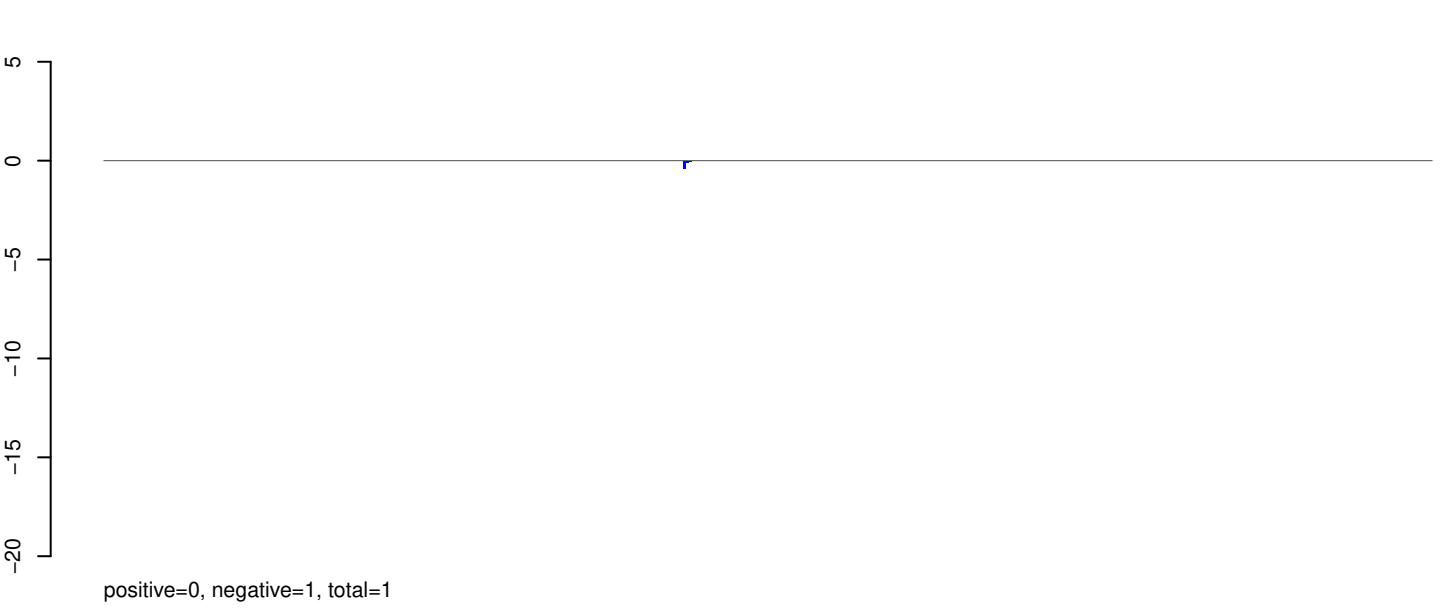


0 2000 4000 6000 8000 10000

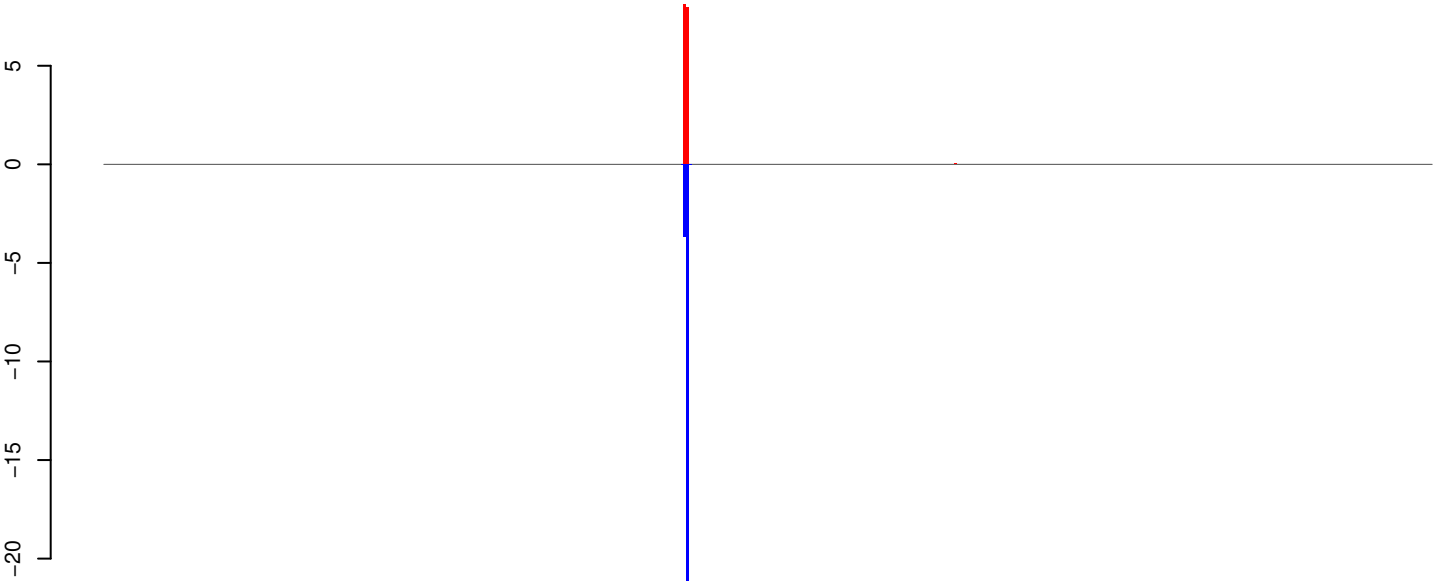
AeAeg_Aag2SINV_dsPiwi4.18_23.rep



AeAeg_Aag2SINV_dsPiwi4.24_35.rep



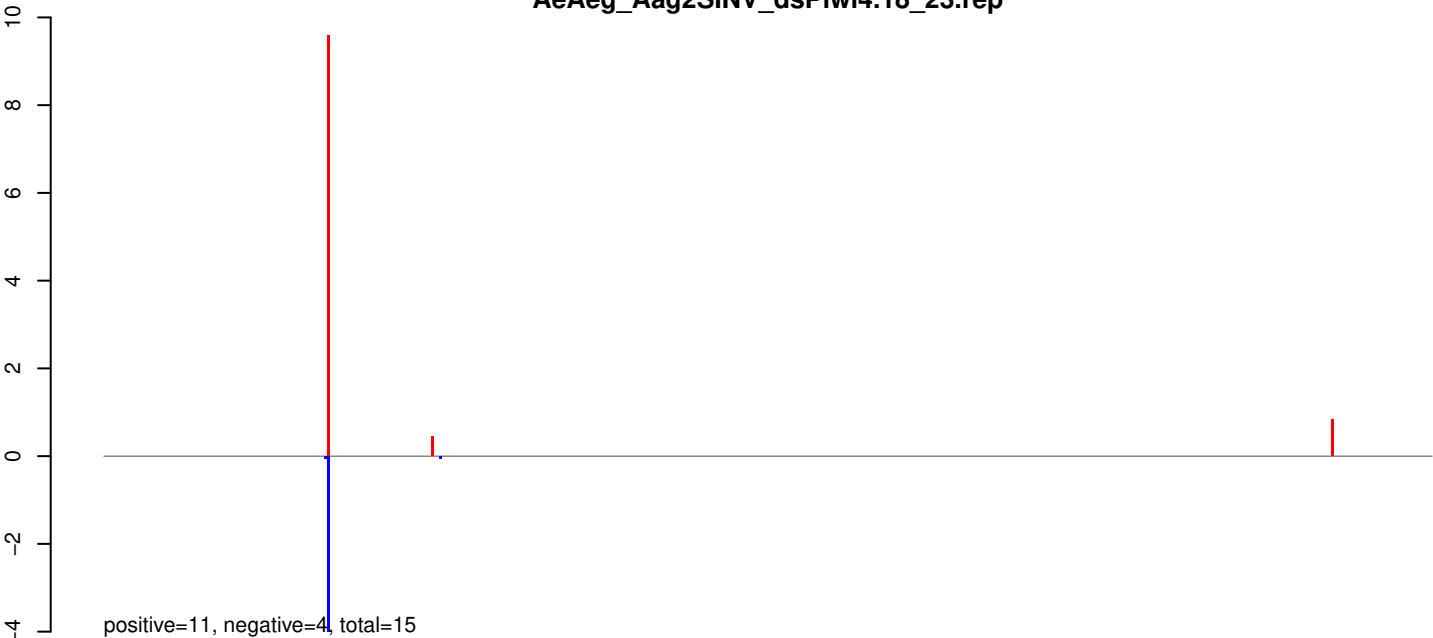
AeAeg_Aag2SINV_dsPiwi4.rep



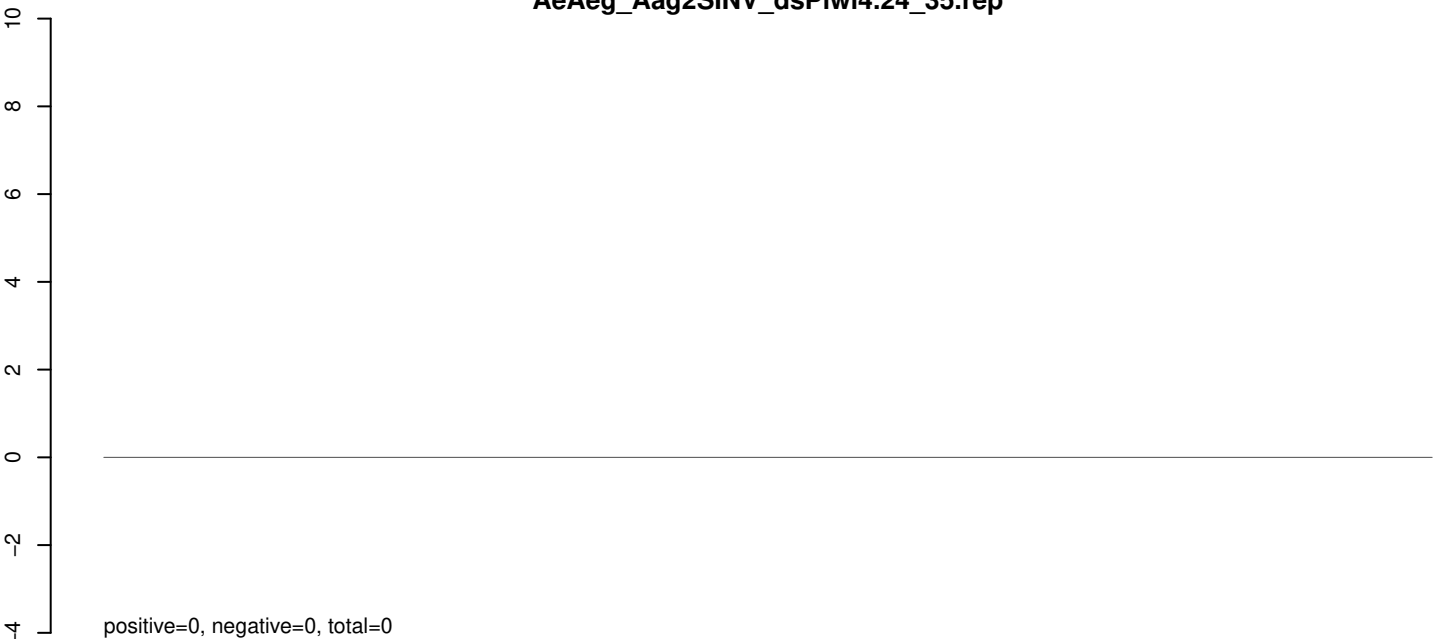
Went to size=26, total=12389, virus@KJ716848.1-Ngati_virus_strain_Adrar_segment_S_plus_segment_M_plus_segment_L:1-12369

0 2000 4000 6000 8000 10000 12000

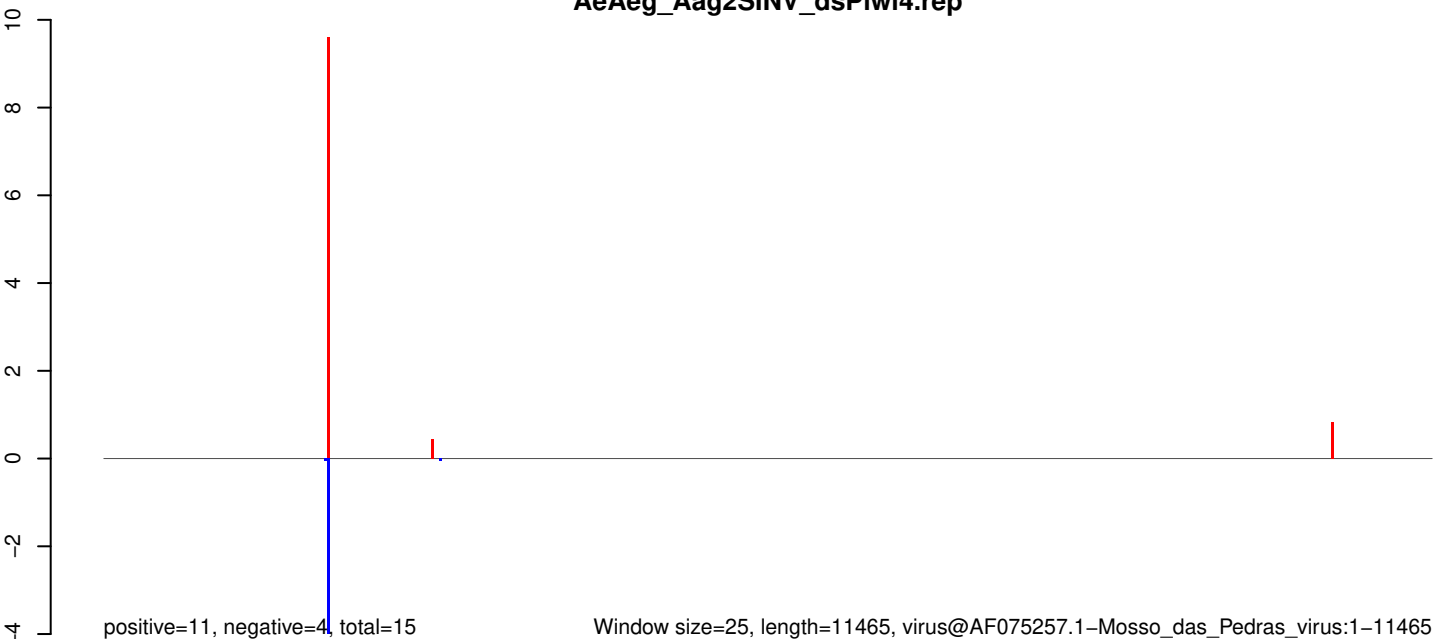
AeAeg_Aag2SINV_dsPiwi4.18_23.rep



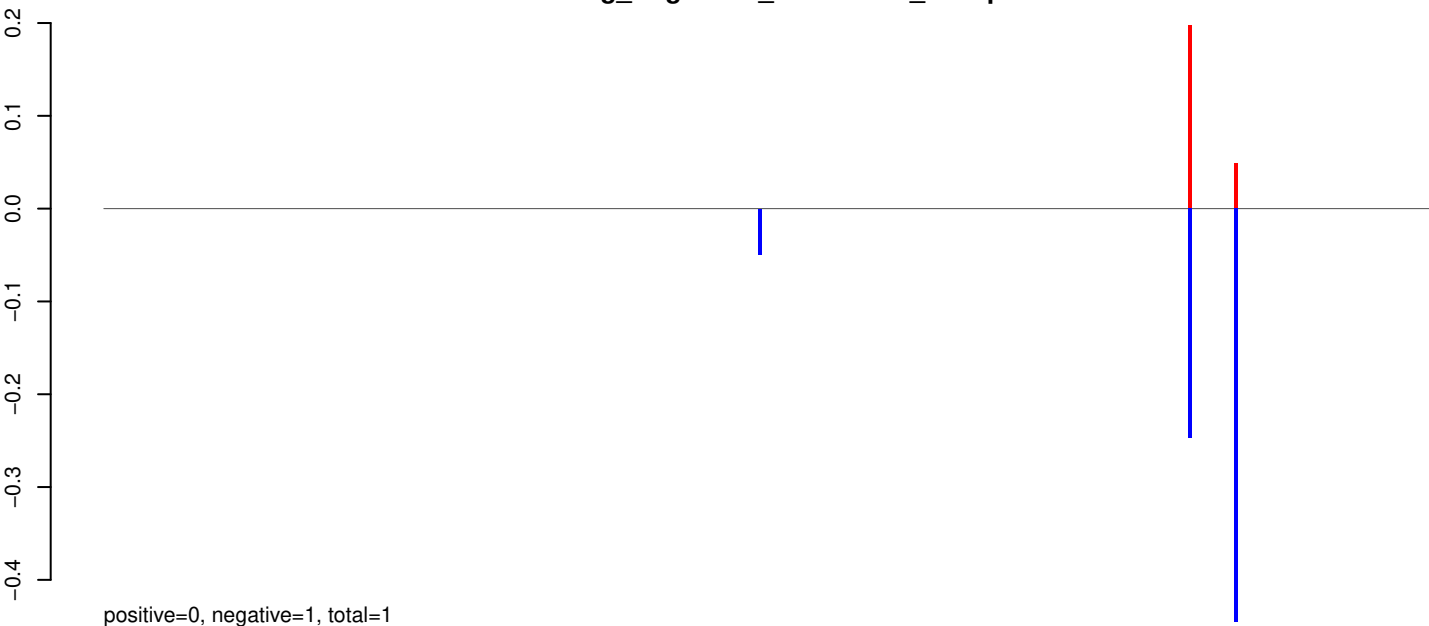
AeAeg_Aag2SINV_dsPiwi4.24_35.rep



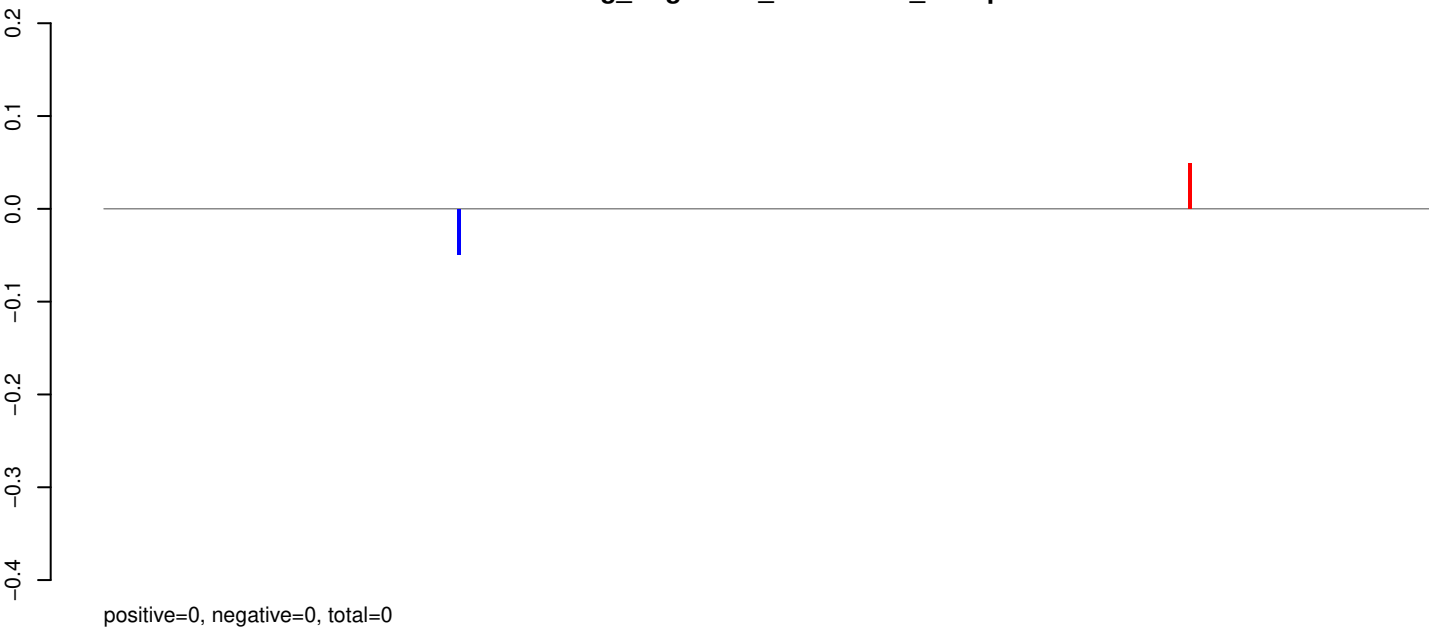
AeAeg_Aag2SINV_dsPiwi4.rep



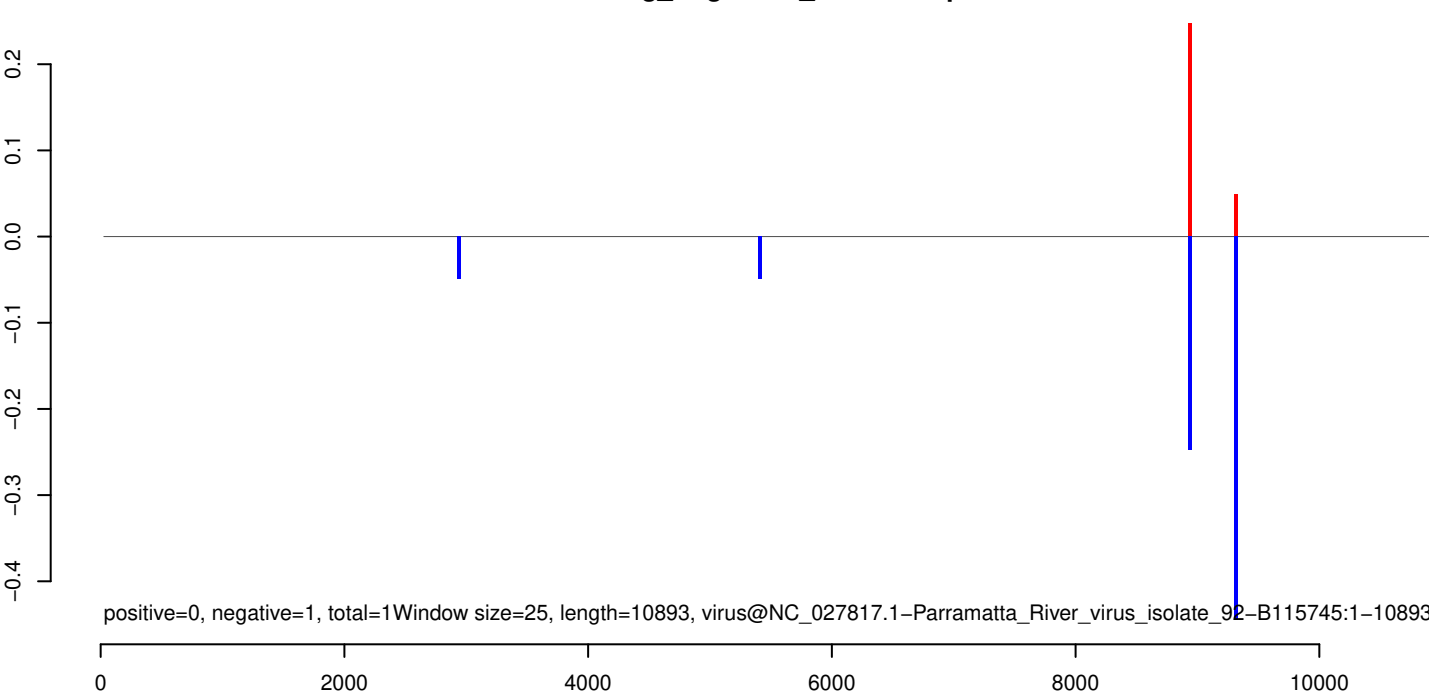
AeAeg_Aag2SINV_dsPiwi4.18_23.rep



AeAeg_Aag2SINV_dsPiwi4.24_35.rep



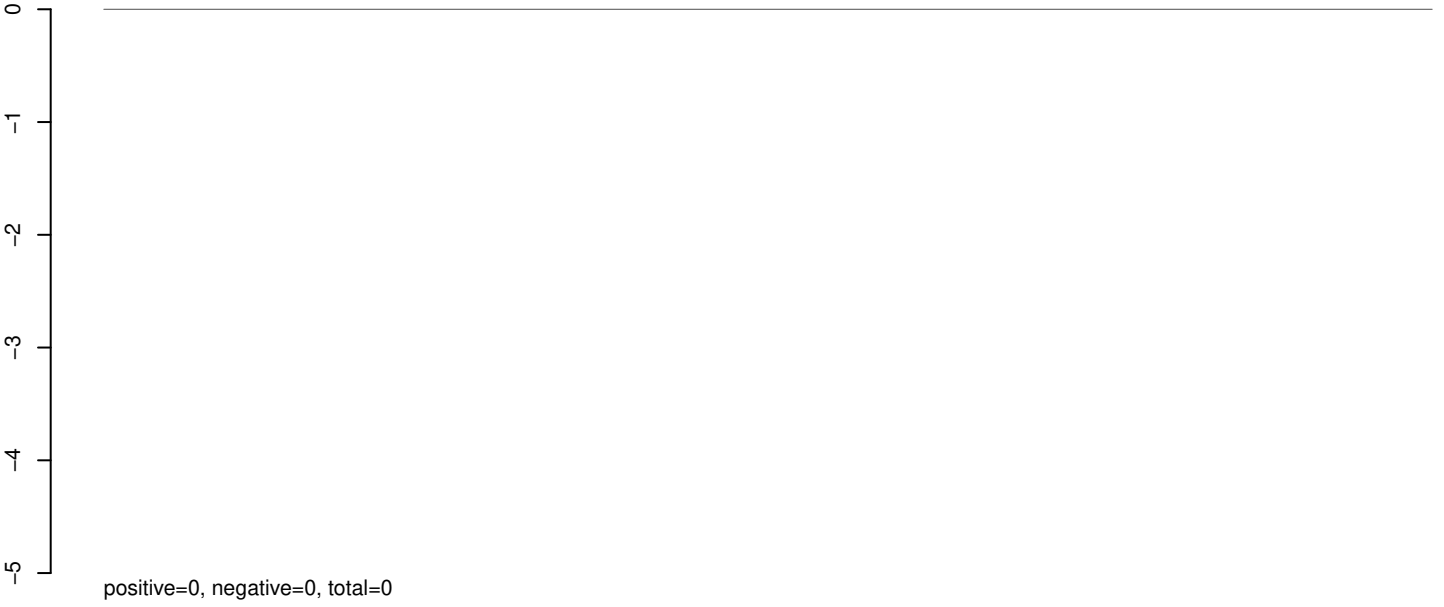
AeAeg_Aag2SINV_dsPiwi4.rep



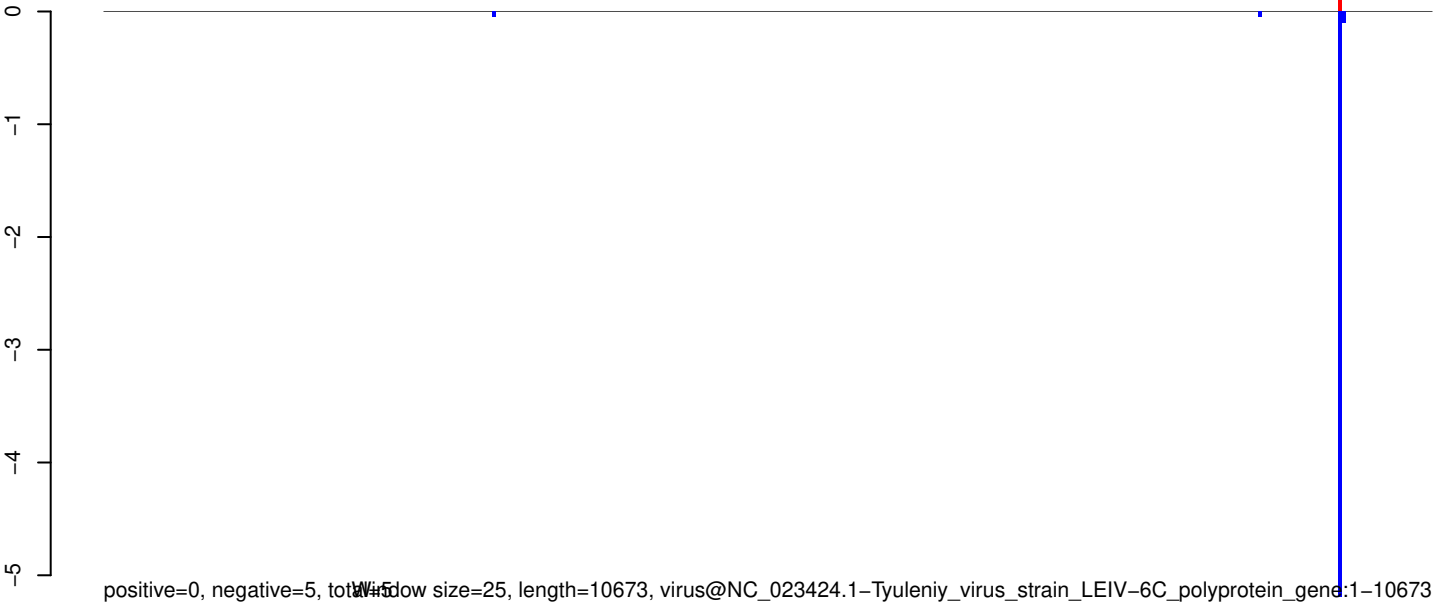
AeAeg_Aag2SINV_dsPiwi4.18_23.rep



AeAeg_Aag2SINV_dsPiwi4.24_35.rep



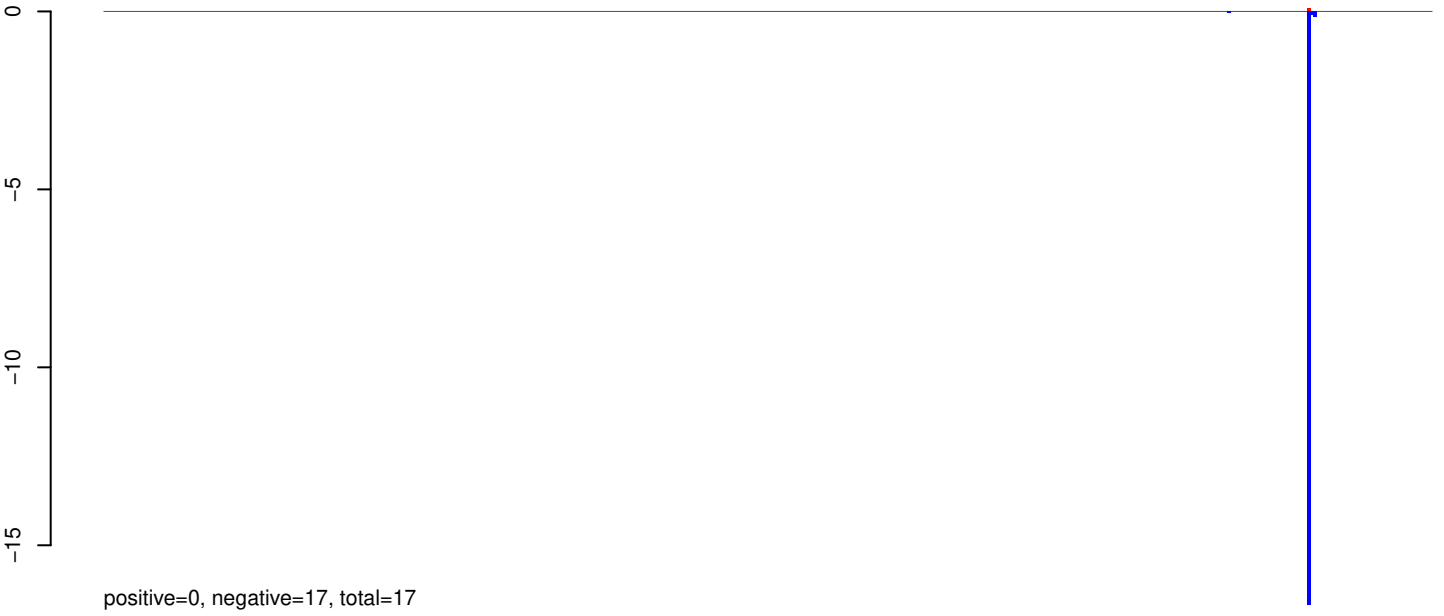
AeAeg_Aag2SINV_dsPiwi4.rep



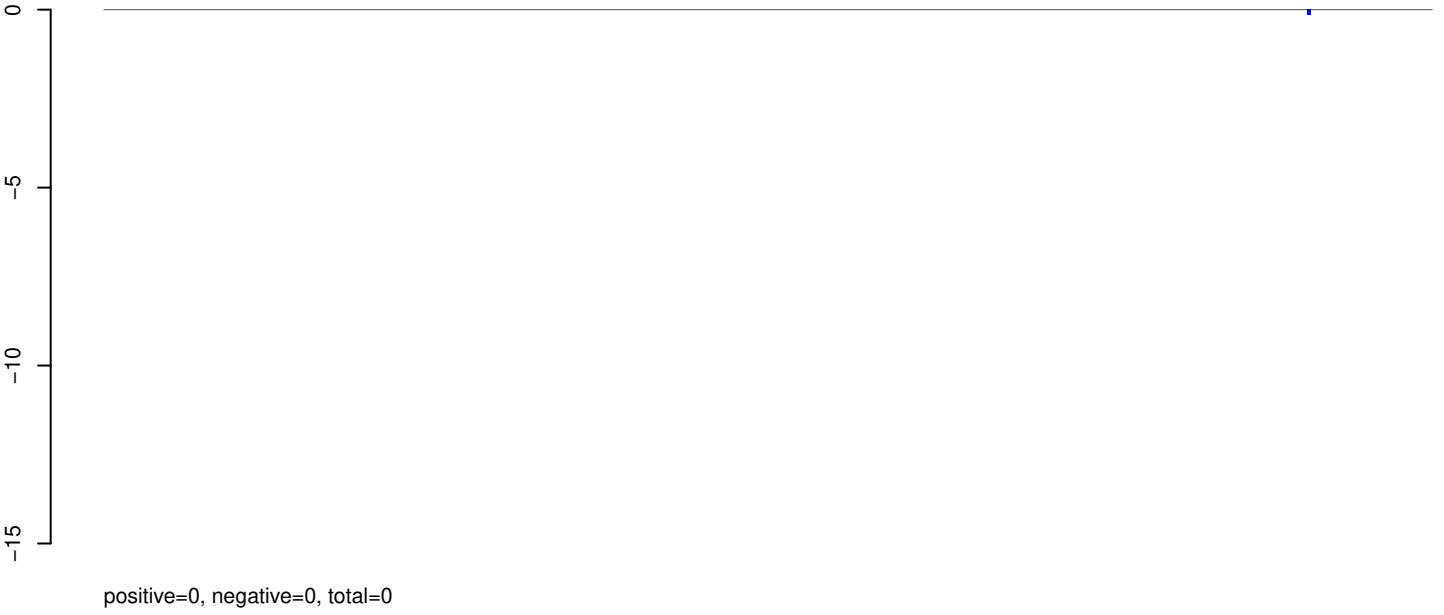
Window size=25, length=10673, virus@NC_023424.1-Tyuleniy_virus_strain_LEIV-6C_polyprotein_gene:1-10673

0 2000 4000 6000 8000 10000

AeAeg_Aag2SINV_dsPiwi4.18_23.rep



AeAeg_Aag2SINV_dsPiwi4.24_35.rep



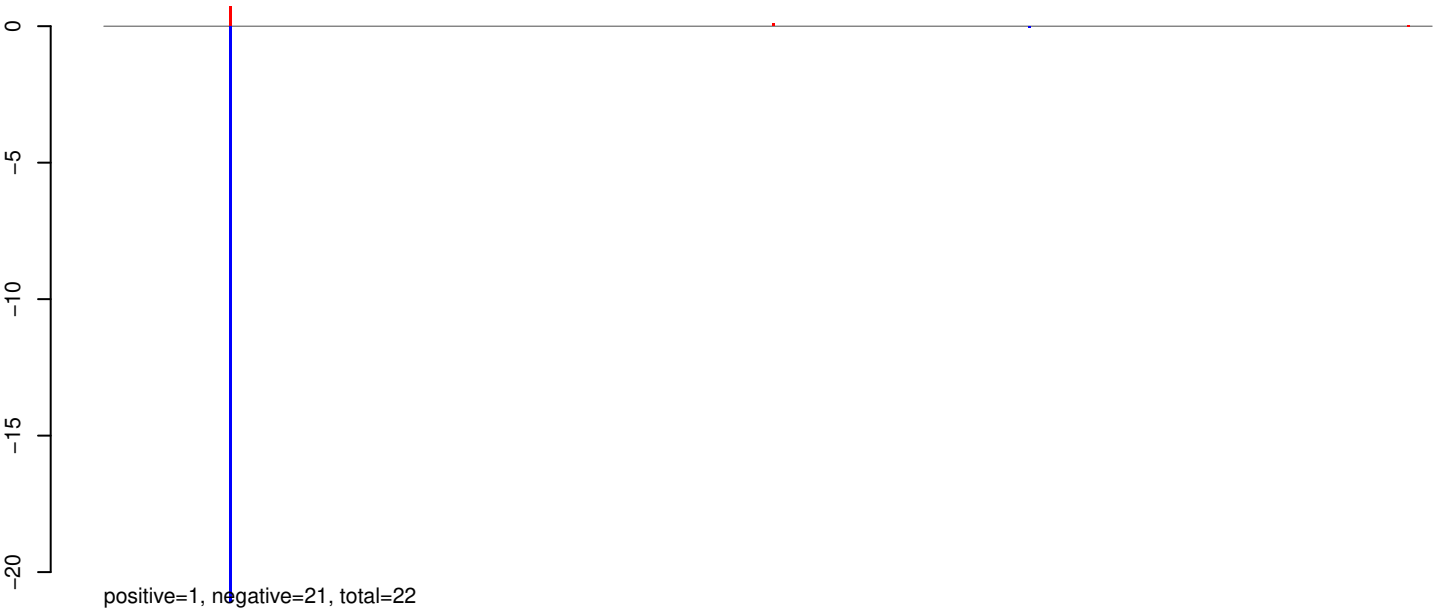
AeAeg_Aag2SINV_dsPiwi4.rep



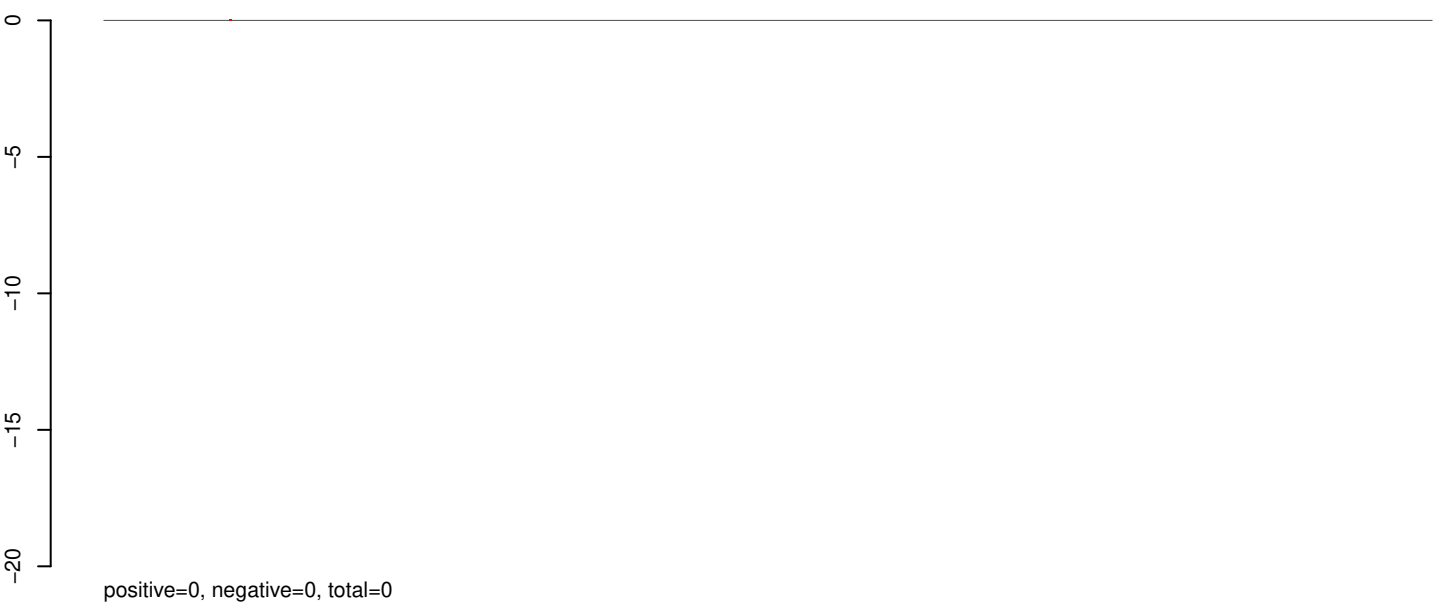
Window size=25, length=10874, virus@NC_009029.2-Kokobera_virus:1-10874

0 2000 4000 6000 8000 10000

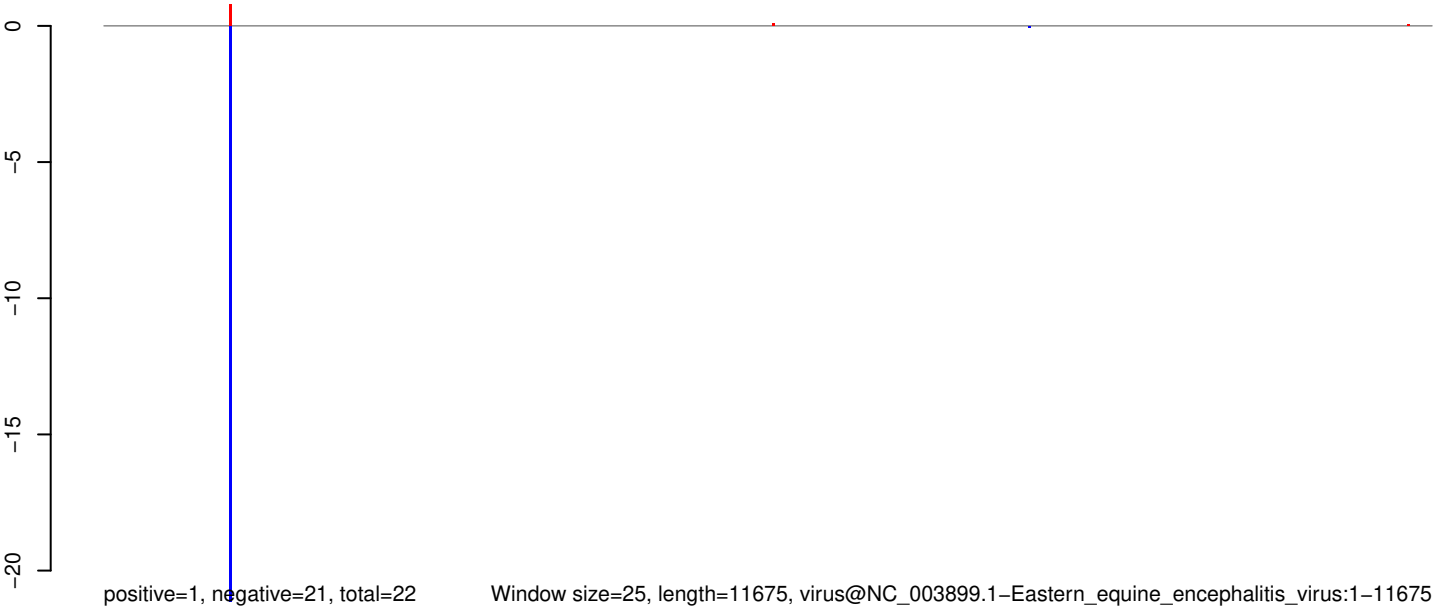
AeAeg_Aag2SINV_dsPiwi4.18_23.rep



AeAeg_Aag2SINV_dsPiwi4.24_35.rep



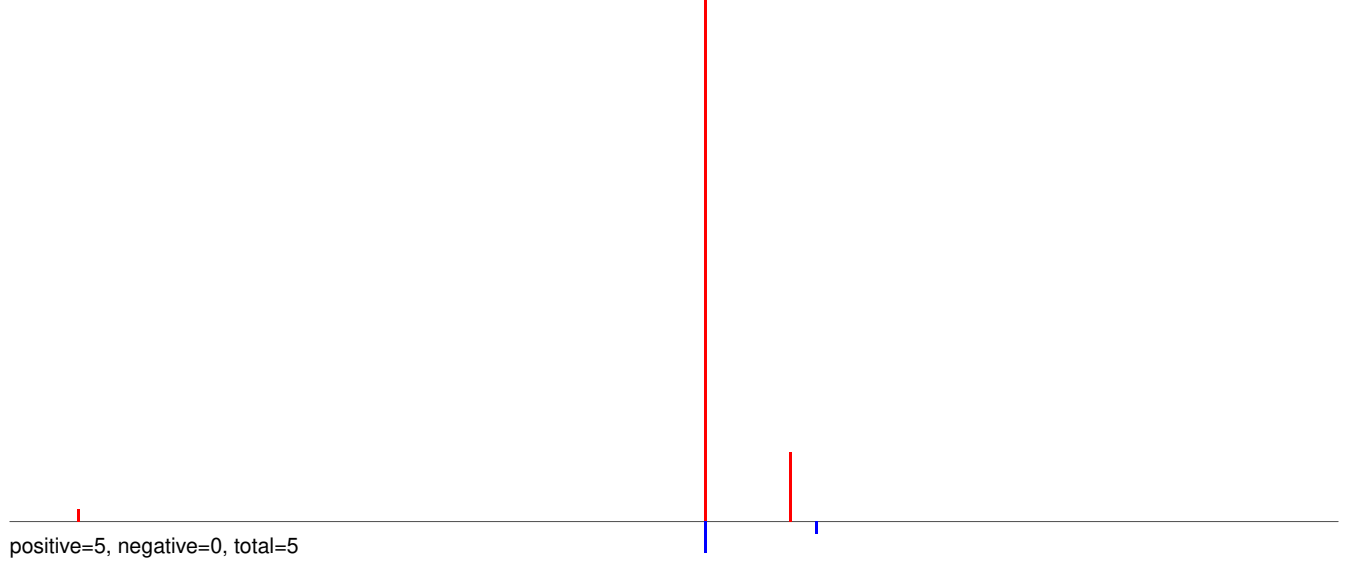
AeAeg_Aag2SINV_dsPiwi4.rep



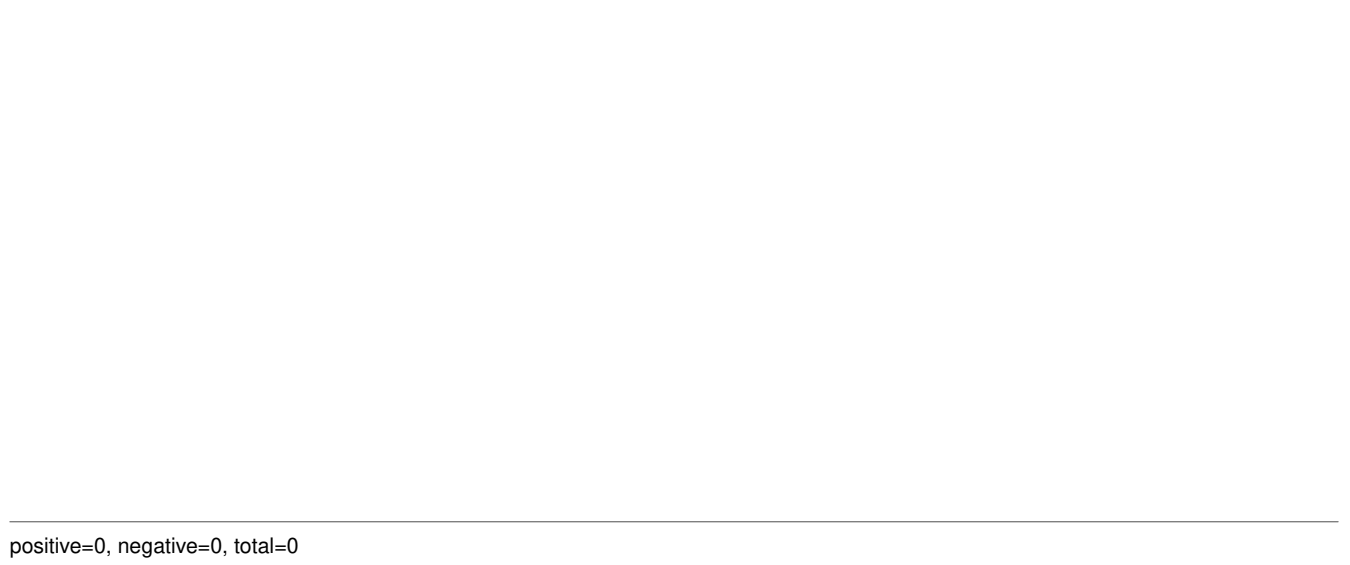
Window size=25, length=11675, virus@NC_003899.1-Eastern_equine_encephalitis_virus:1-11675

0 2000 4000 6000 8000 10000 12000

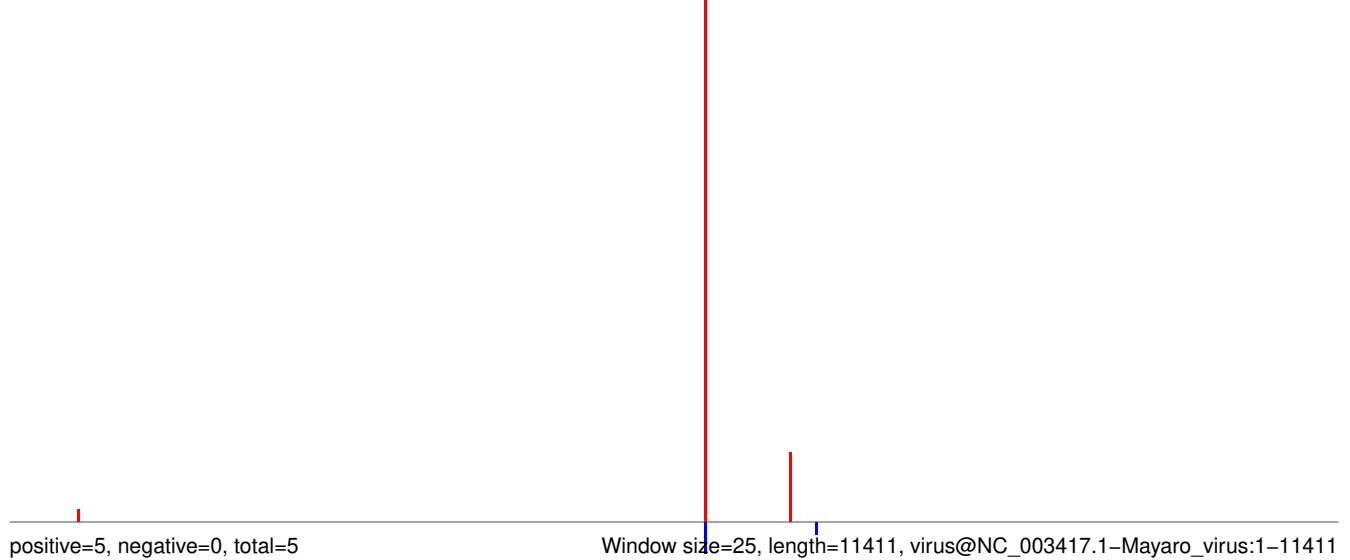
AeAeg_Aag2SINV_dsPiwi4.18_23.rep



AeAeg_Aag2SINV_dsPiwi4.24_35.rep

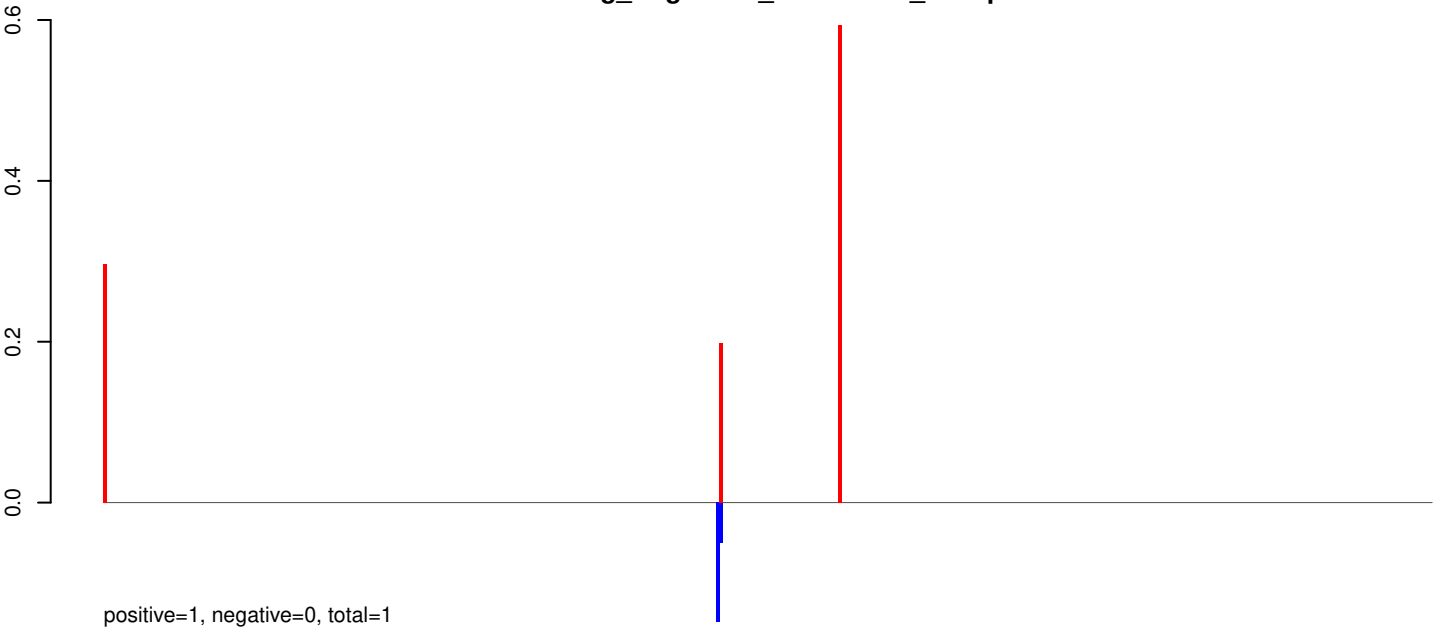


AeAeg_Aag2SINV_dsPiwi4.rep

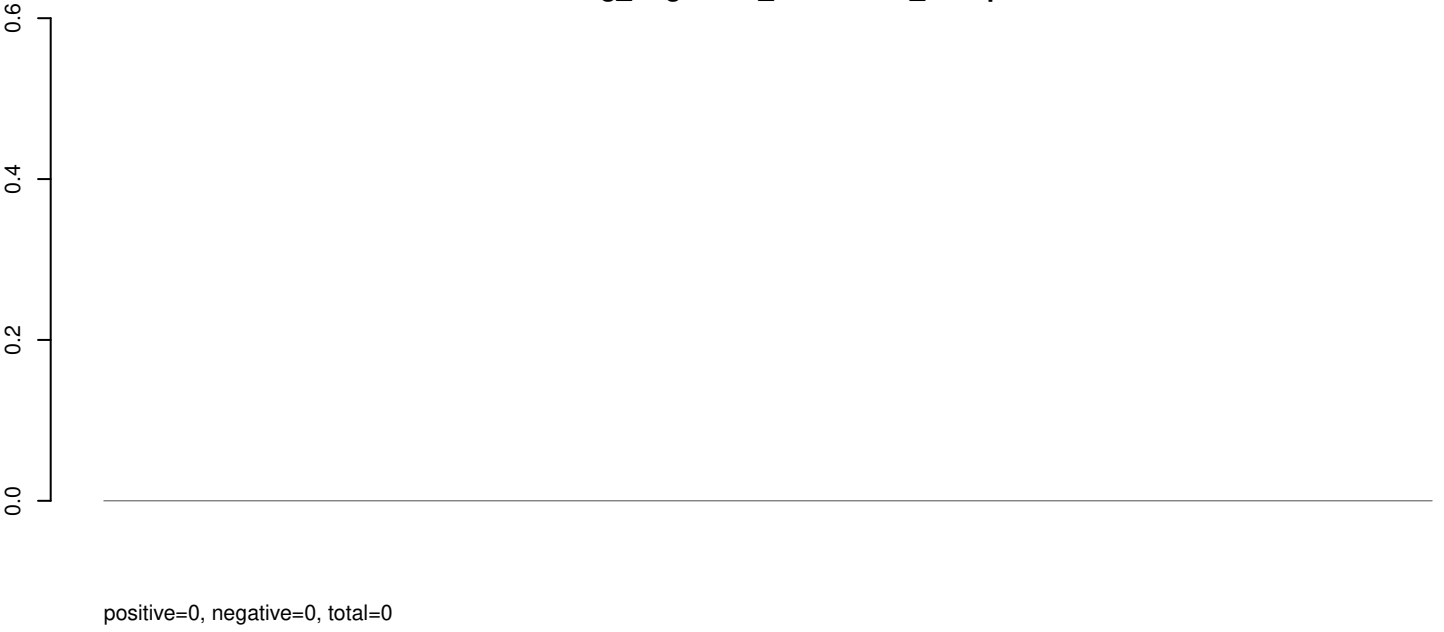


0 2000 4000 6000 8000 10000

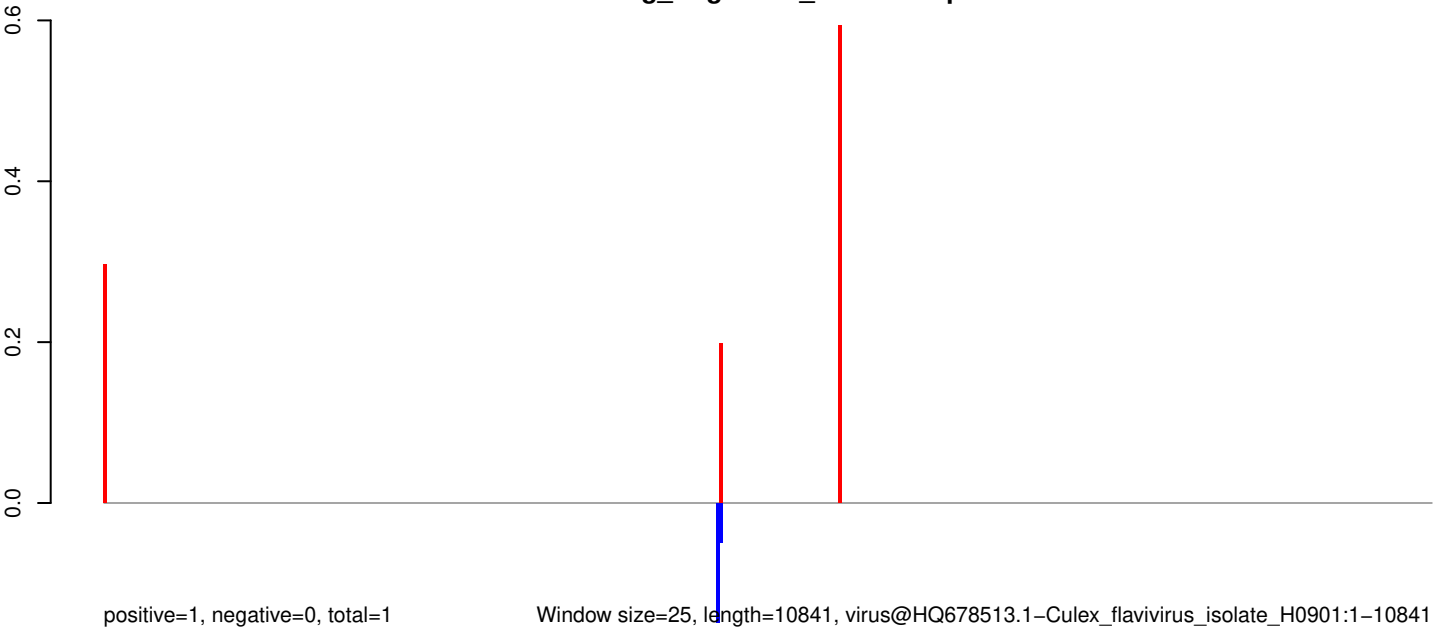
AeAeg_Aag2SINV_dsPiwi4.18_23.rep



AeAeg_Aag2SINV_dsPiwi4.24_35.rep



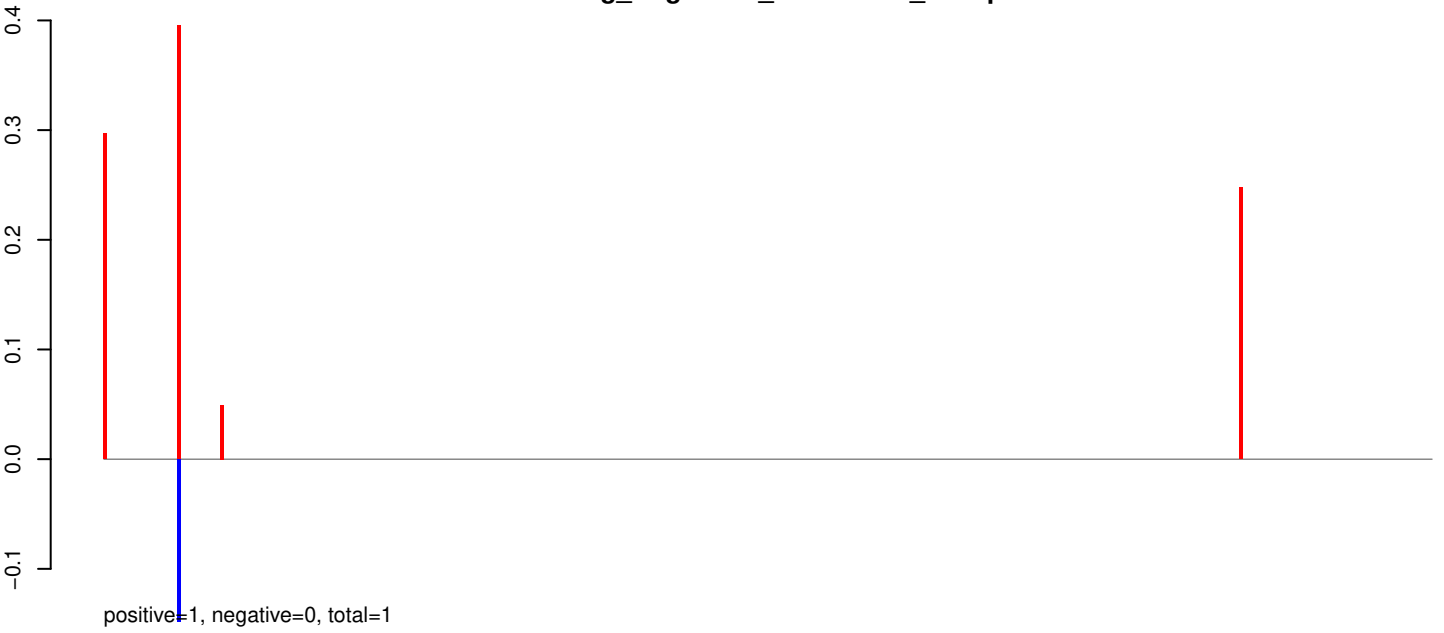
AeAeg_Aag2SINV_dsPiwi4.rep



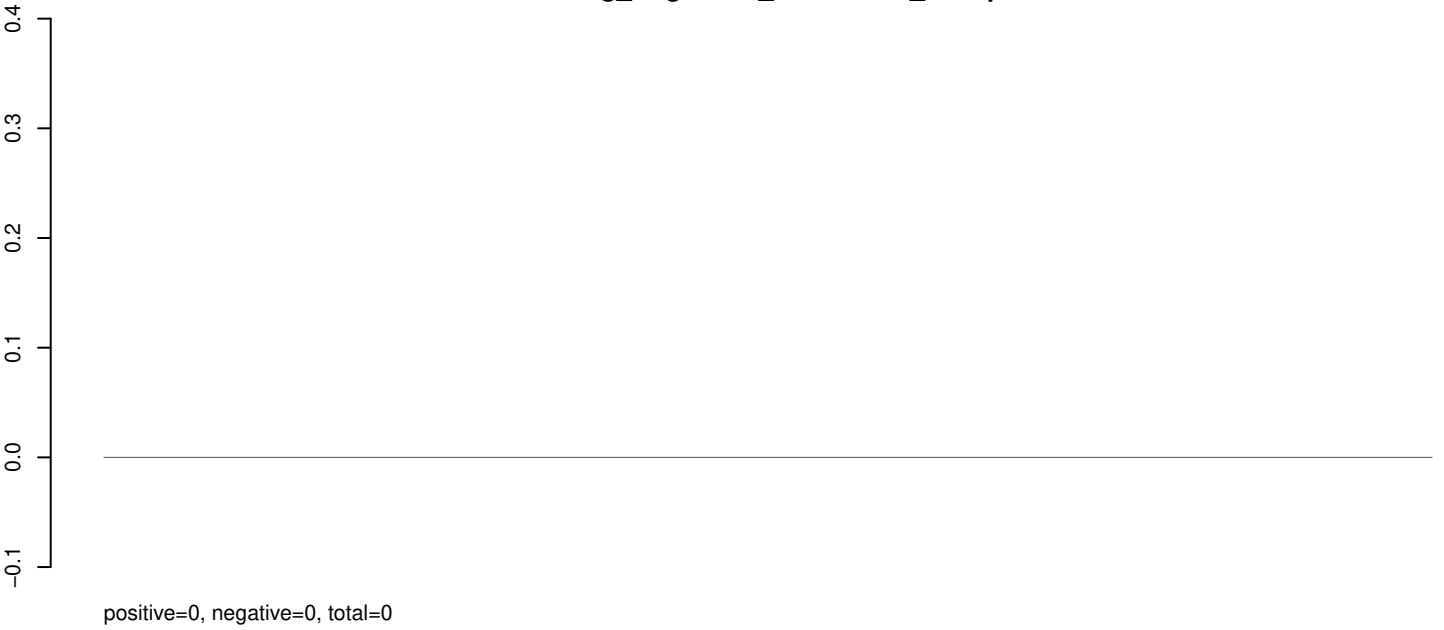
Window size=25, length=10841, virus@HQ678513.1-Culex_flavivirus_isolate_H0901:1-10841

0 2000 4000 6000 8000 10000

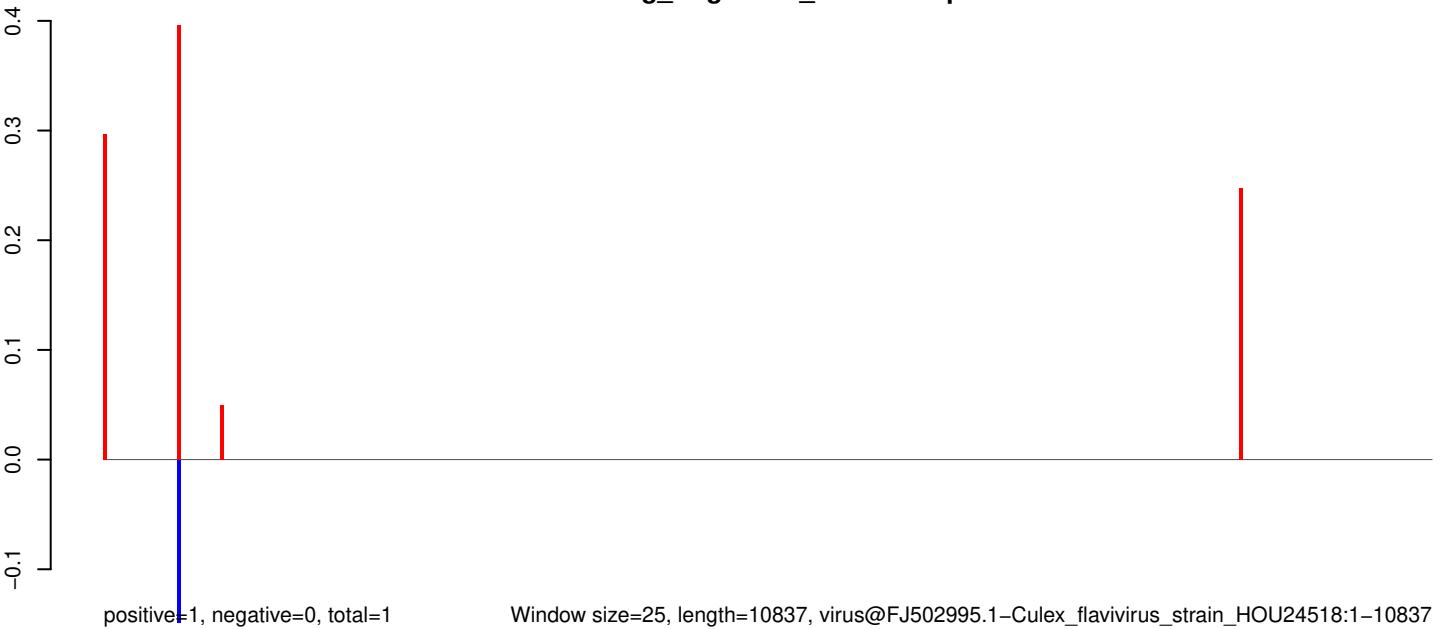
AeAeg_Aag2SINV_dsPiwi4.18_23.rep



AeAeg_Aag2SINV_dsPiwi4.24_35.rep



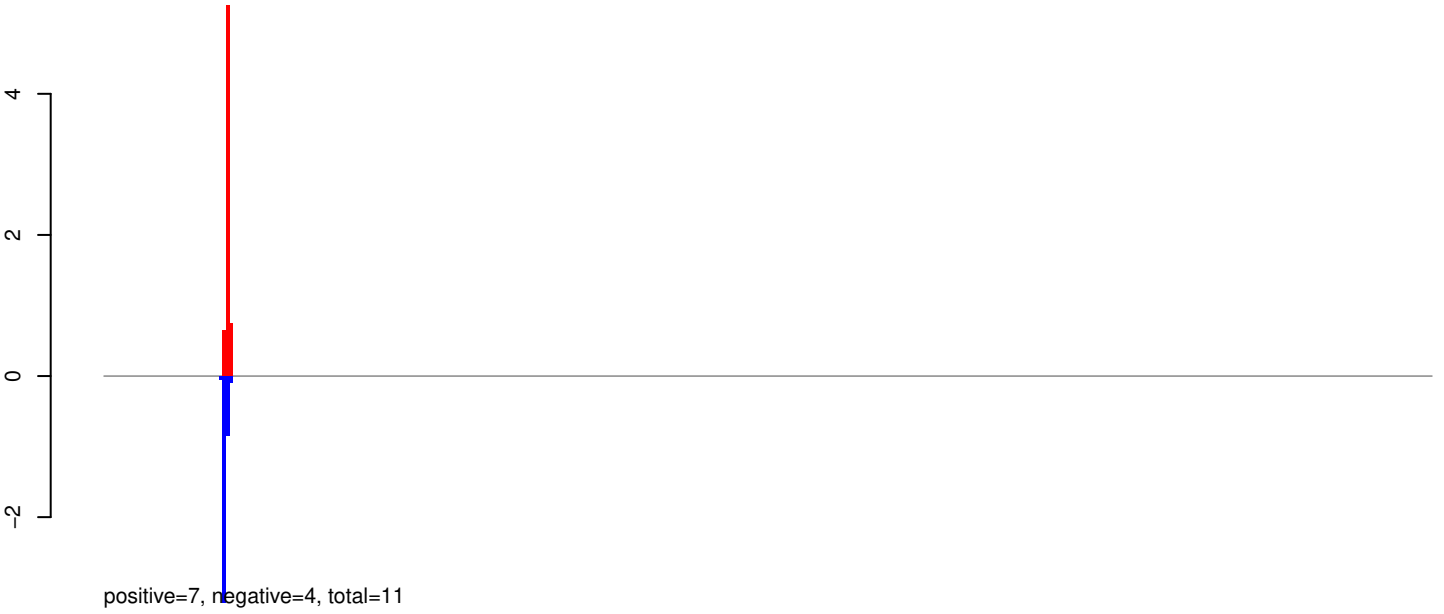
AeAeg_Aag2SINV_dsPiwi4.rep



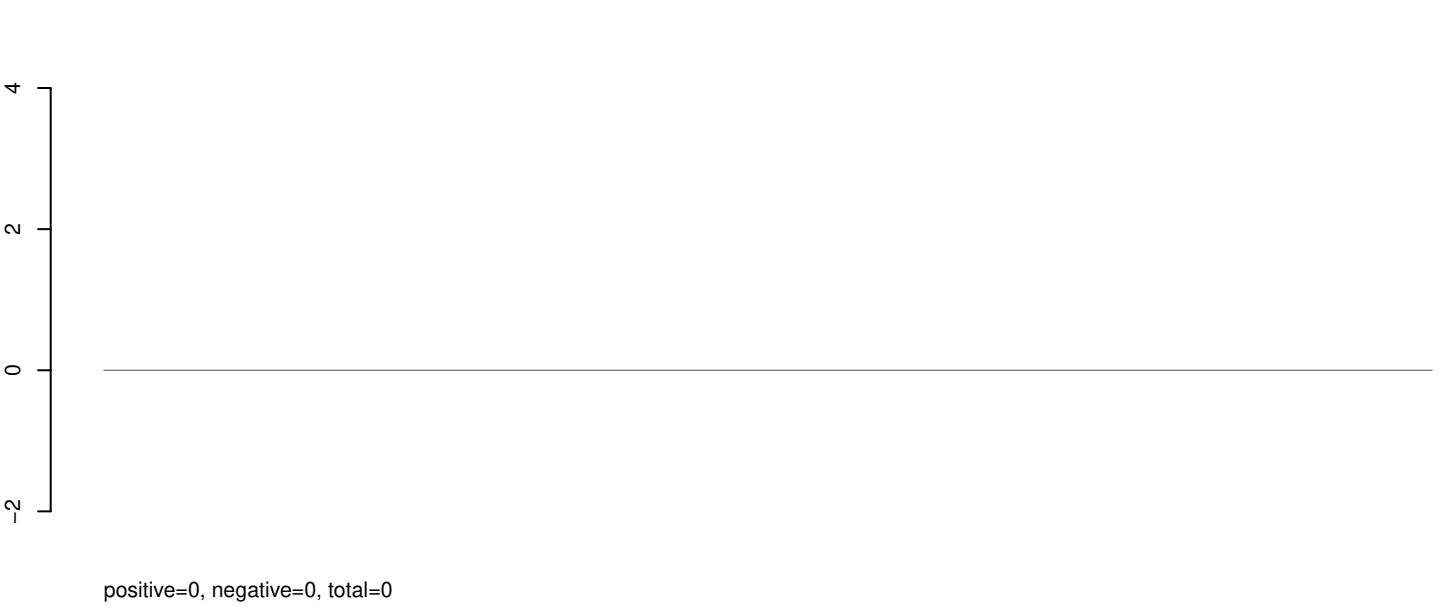
Window size=25, length=10837, virus@FJ502995.1-Culex_flavivirus_strain_HOU24518:1-10837

0 2000 4000 6000 8000 10000

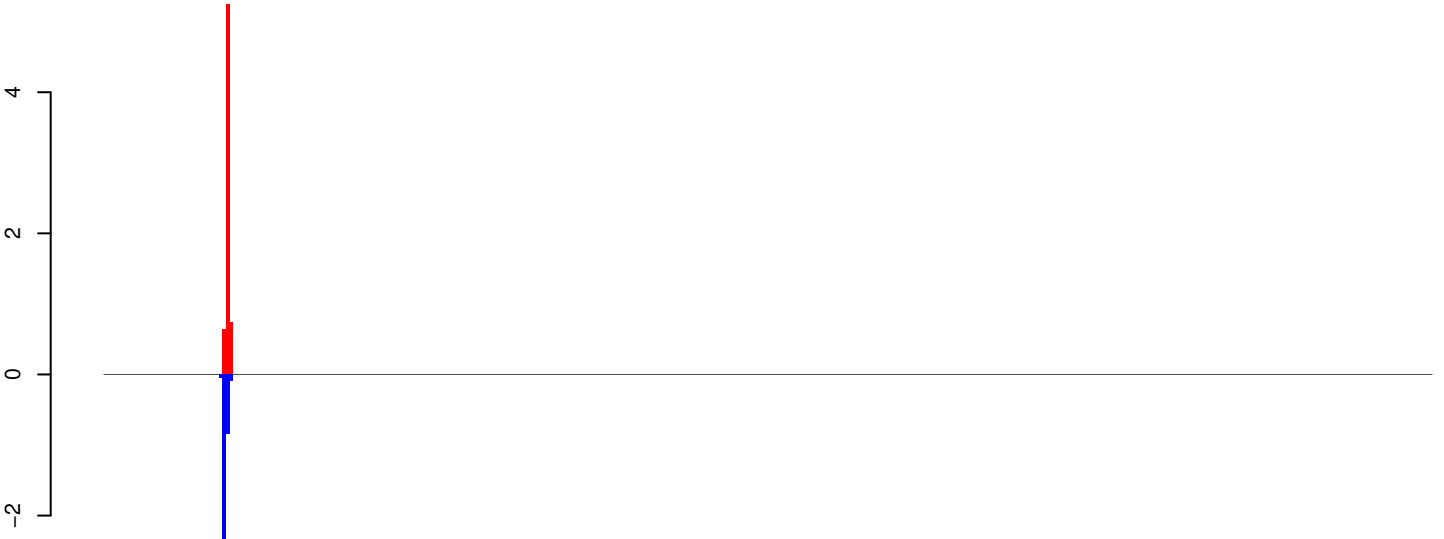
AeAeg_Aag2SINV_dsPiwi4.18_23.rep



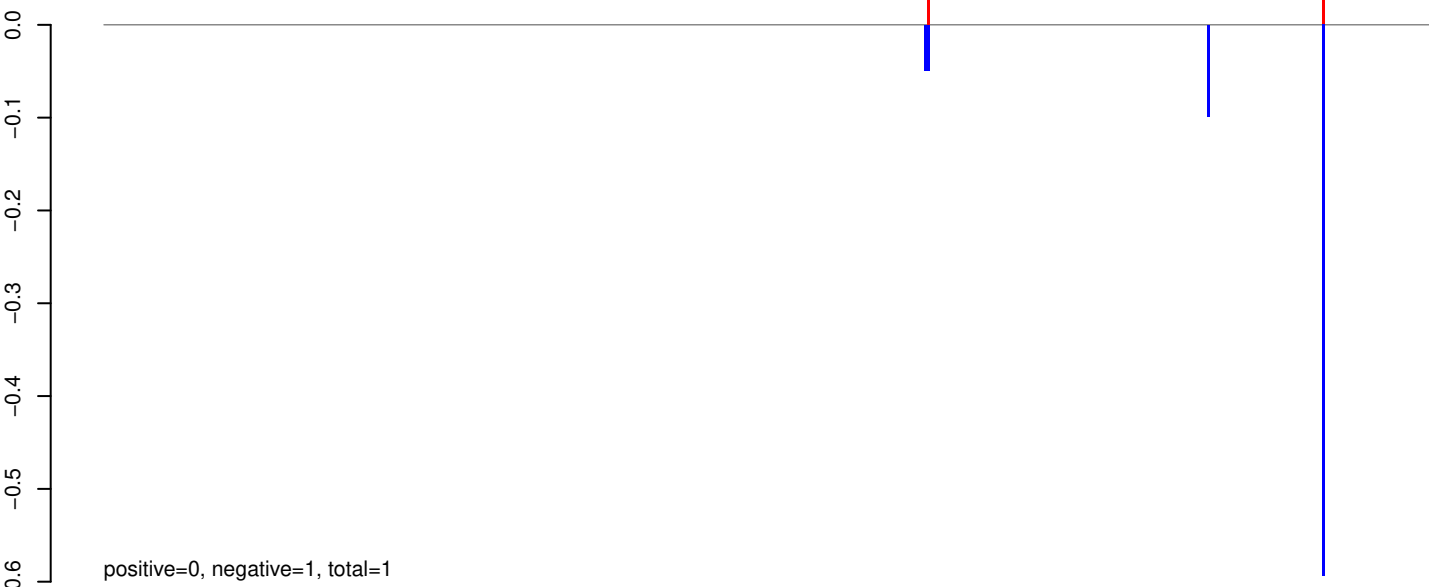
AeAeg_Aag2SINV_dsPiwi4.24_35.rep



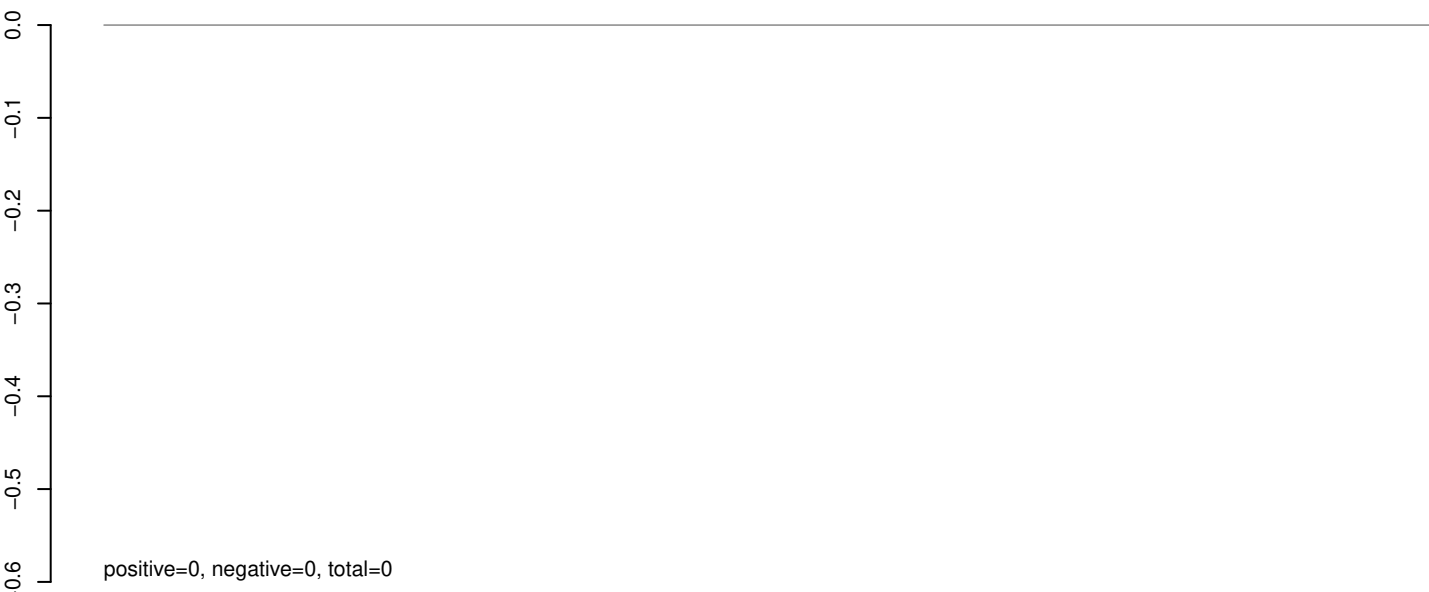
AeAeg_Aag2SINV_dsPiwi4.rep



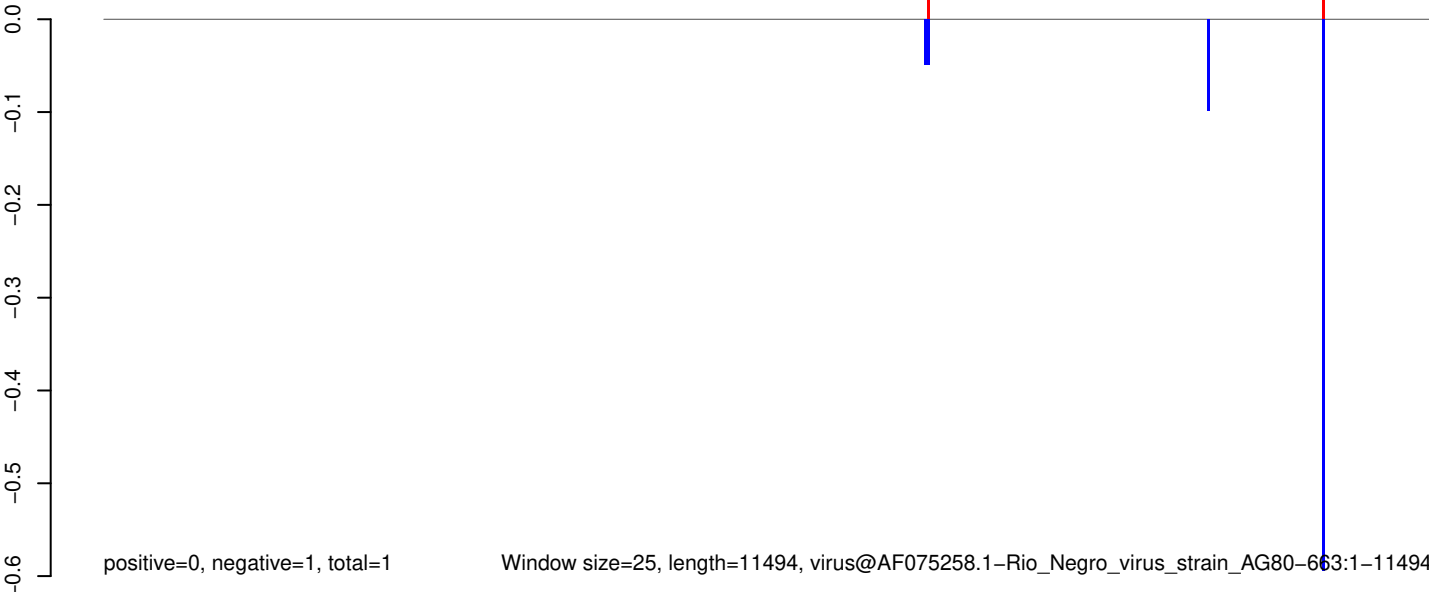
AeAeg_Aag2SINV_dsPiwi4.18_23.rep



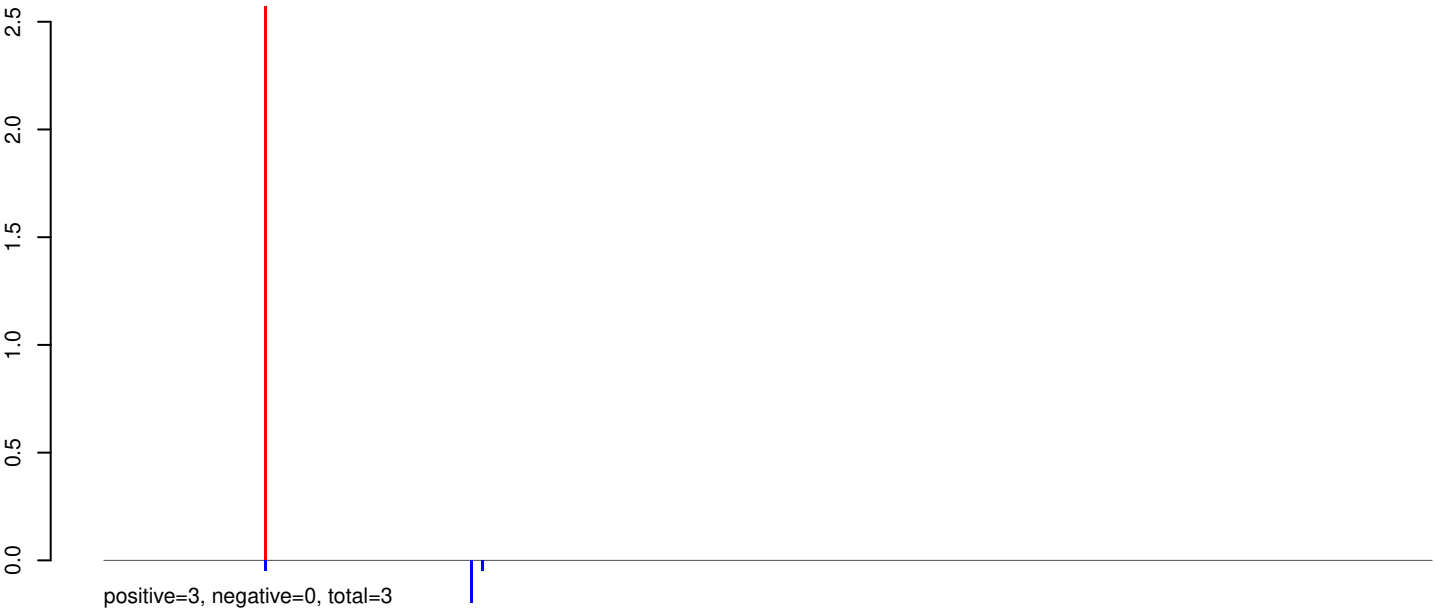
AeAeg_Aag2SINV_dsPiwi4.24_35.rep



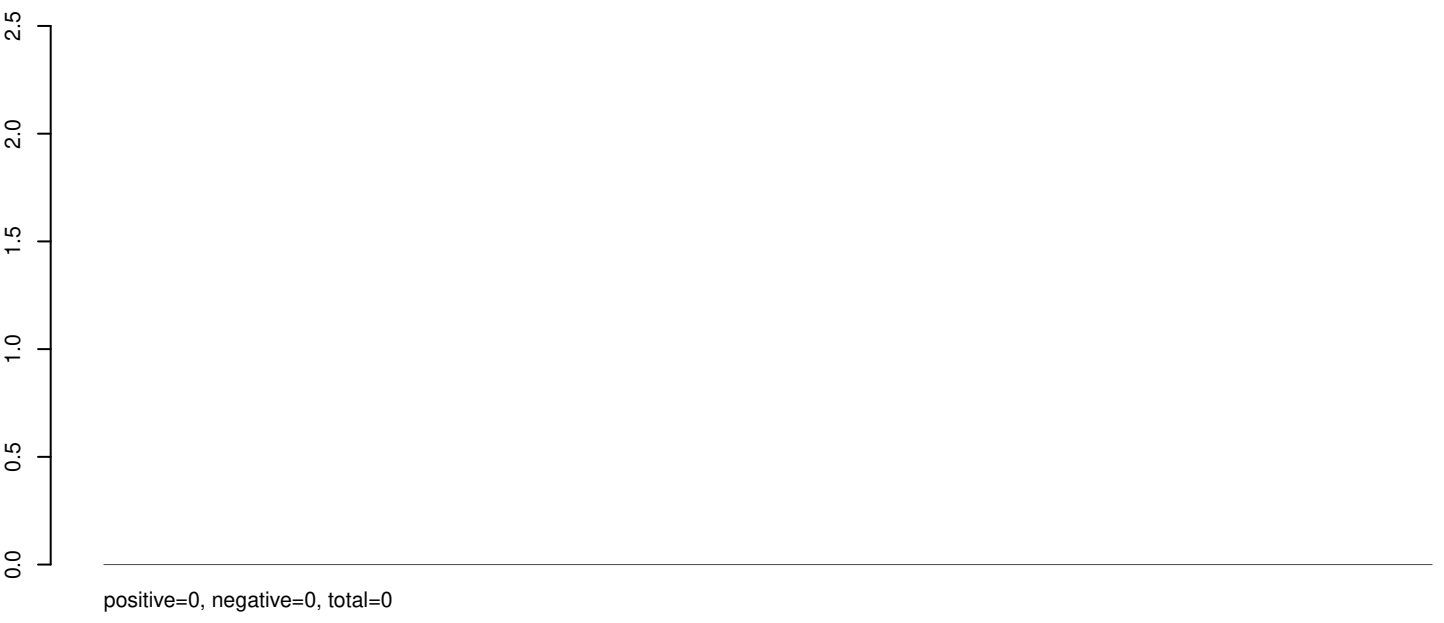
AeAeg_Aag2SINV_dsPiwi4.rep



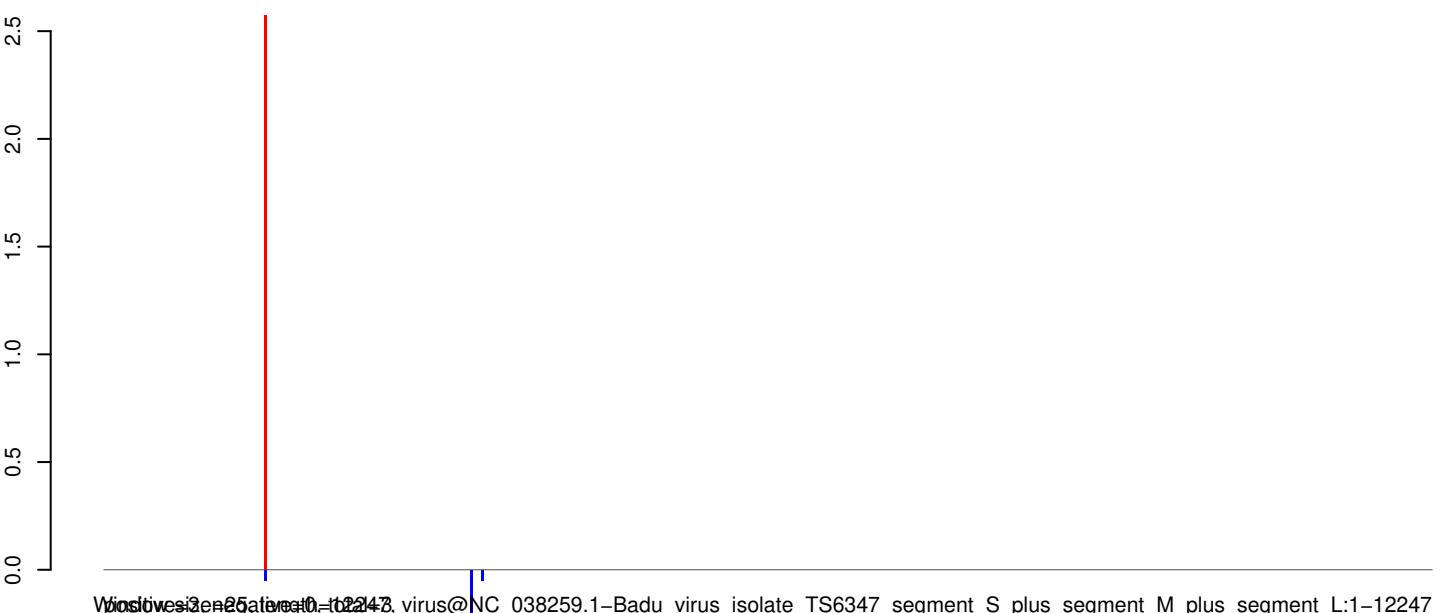
AeAeg_Aag2SINV_dsPiwi4.18_23.rep



AeAeg_Aag2SINV_dsPiwi4.24_35.rep



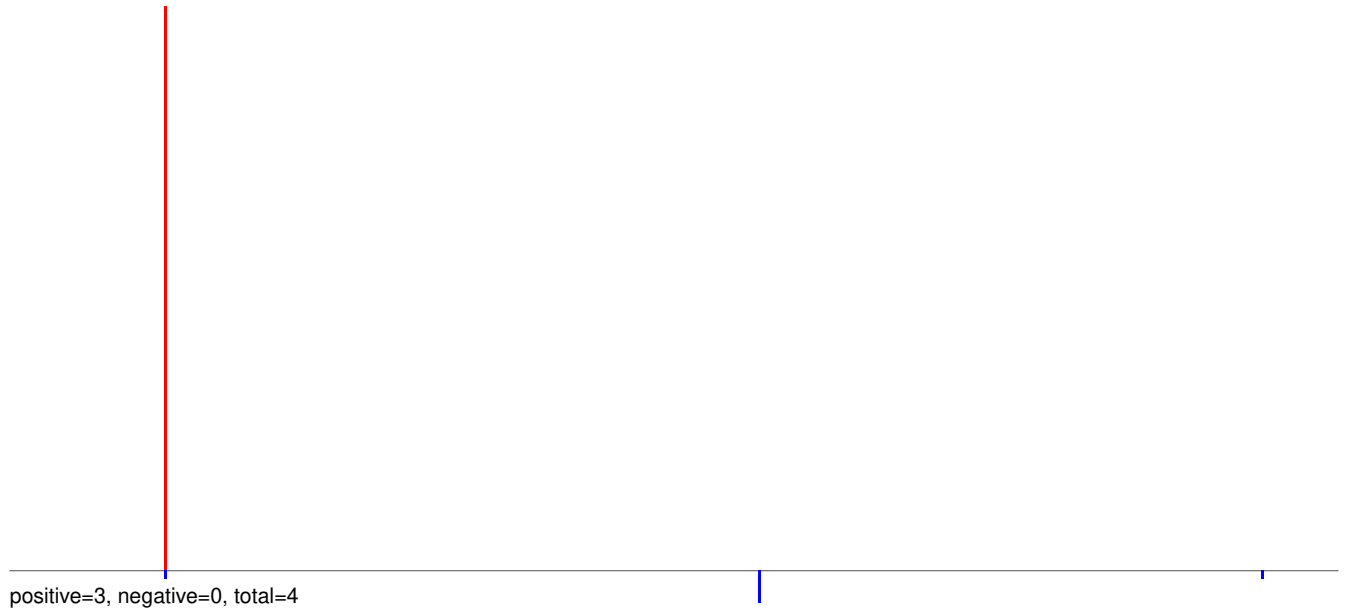
AeAeg_Aag2SINV_dsPiwi4.rep



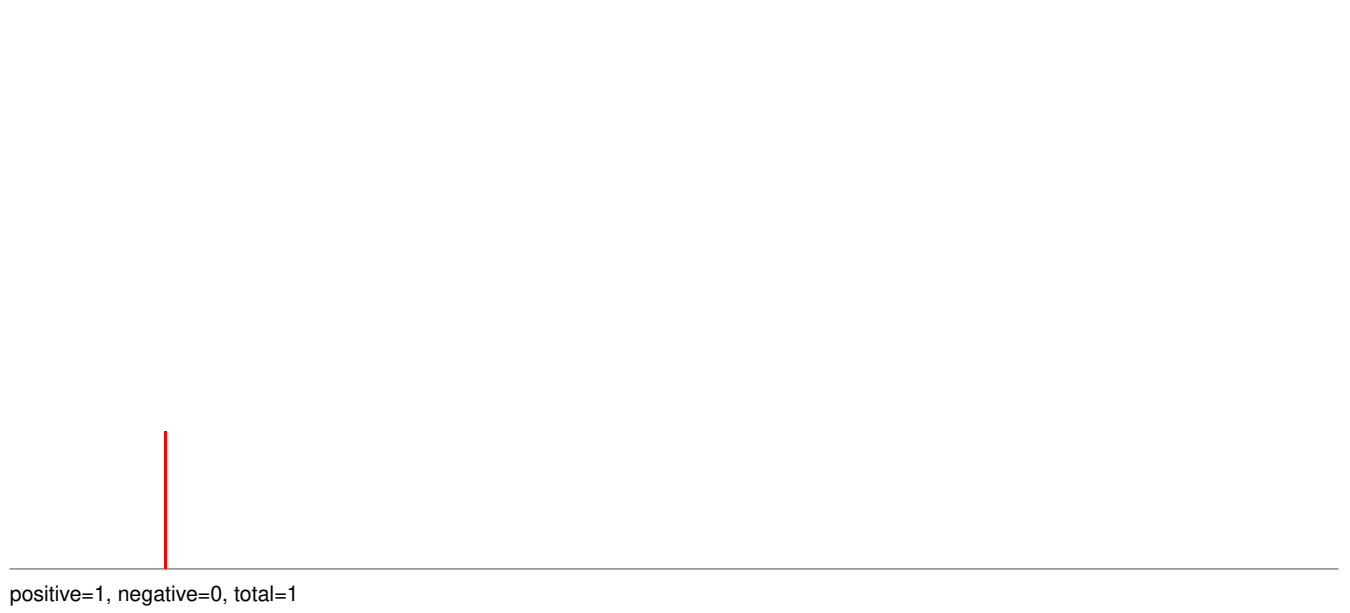
W:\01\2019\25\Aeg10-12247, virus@NC_038259.1-Badu_virus_isolate_TS6347_segment_S_plus_segment_M_plus_segment_L:1-12247

0 2000 4000 6000 8000 10000 12000

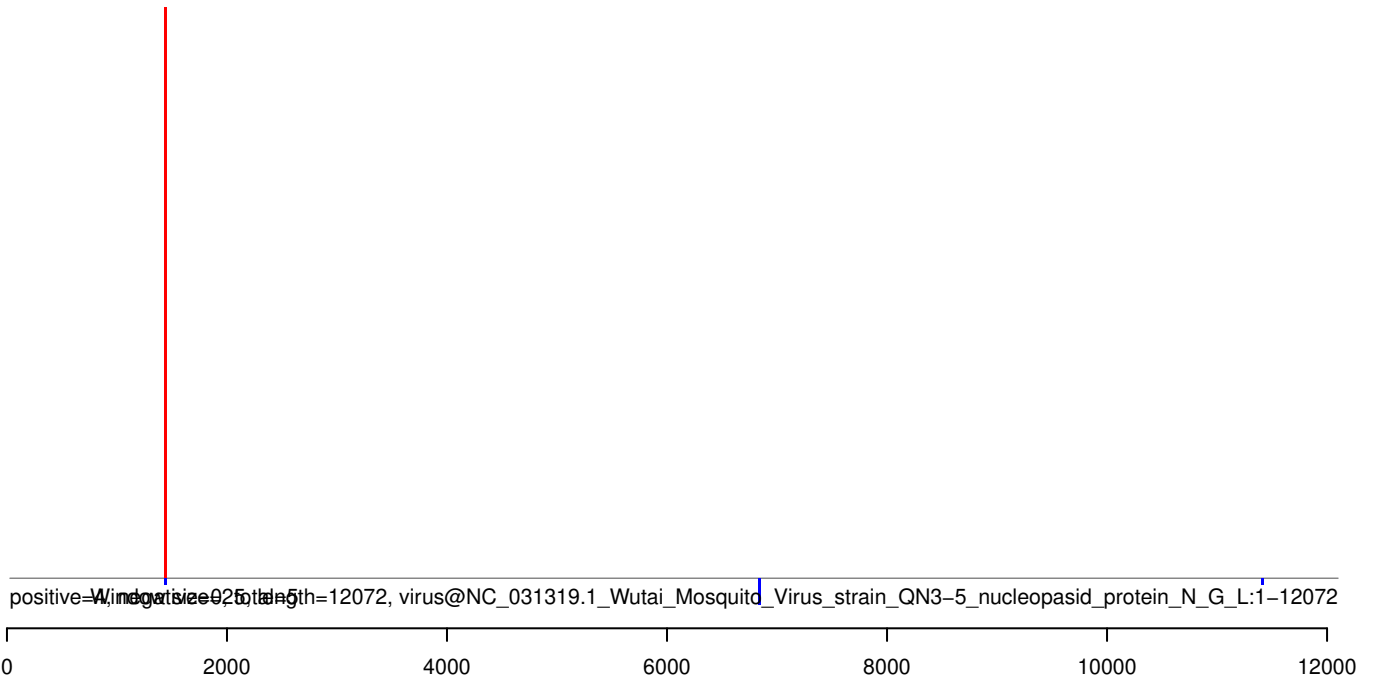
AeAeg_Aag2SINV_dsPiwi4.18_23.rep



AeAeg_Aag2SINV_dsPiwi4.24_35.rep



AeAeg_Aag2SINV_dsPiwi4.rep



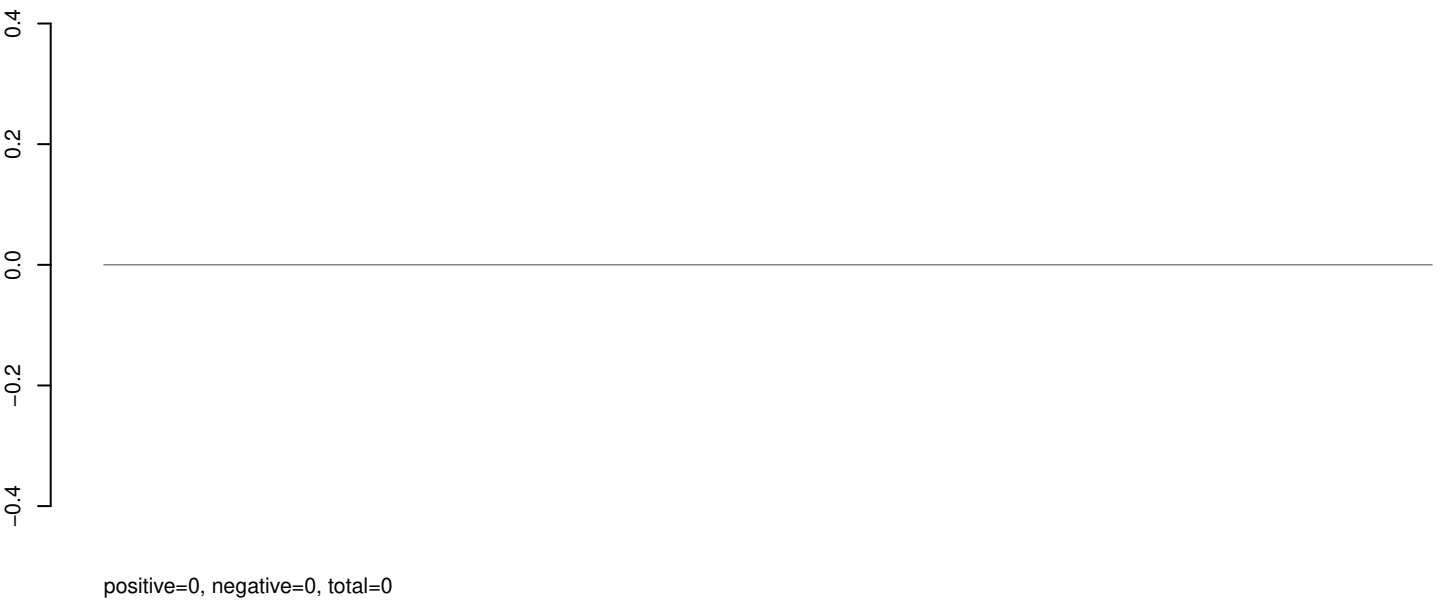
positive=1, window size=25, length=12072, virus@NC_031319.1_Wutai_Mosquito_Virus_strain_QN3-5_nucleopasid_protein_N_G_L:1-12072

0 2000 4000 6000 8000 10000 12000

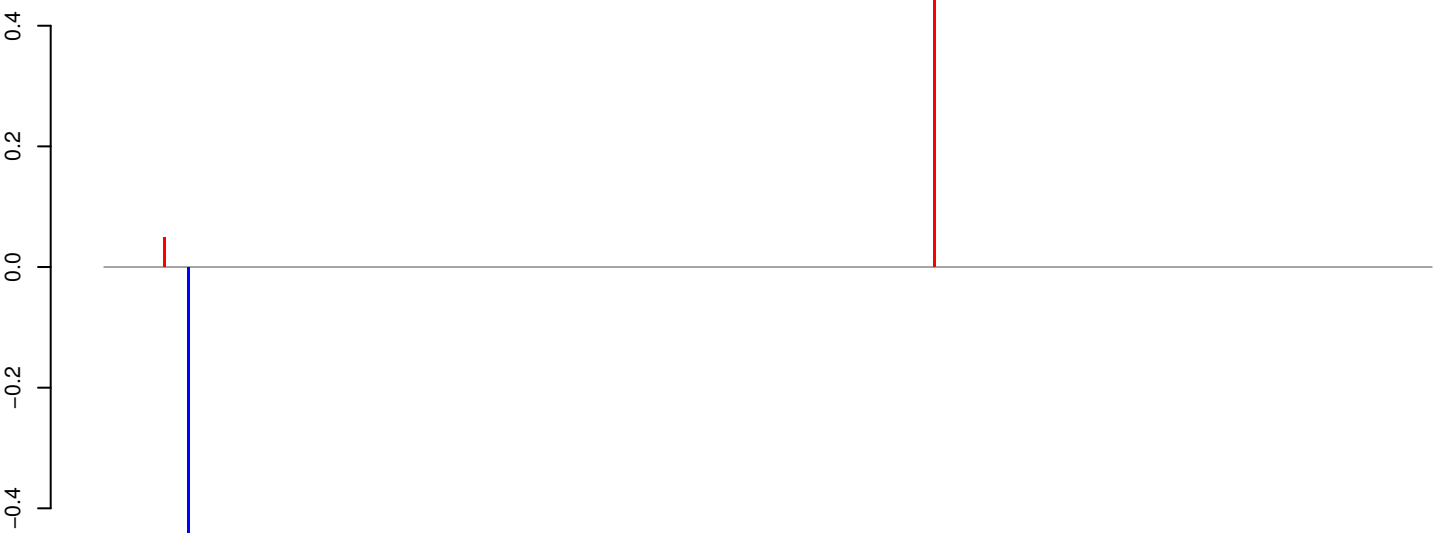
AeAeg_Aag2SINV_dsPiwi4.18_23.rep



AeAeg_Aag2SINV_dsPiwi4.24_35.rep

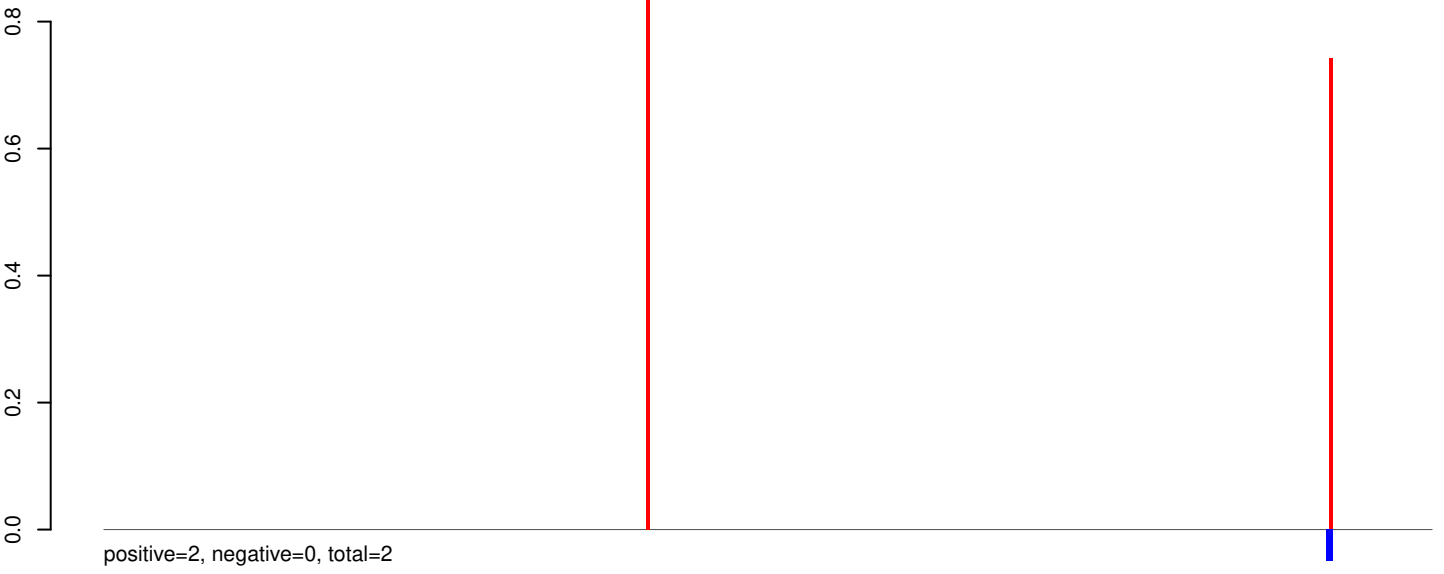


AeAeg_Aag2SINV_dsPiwi4.rep

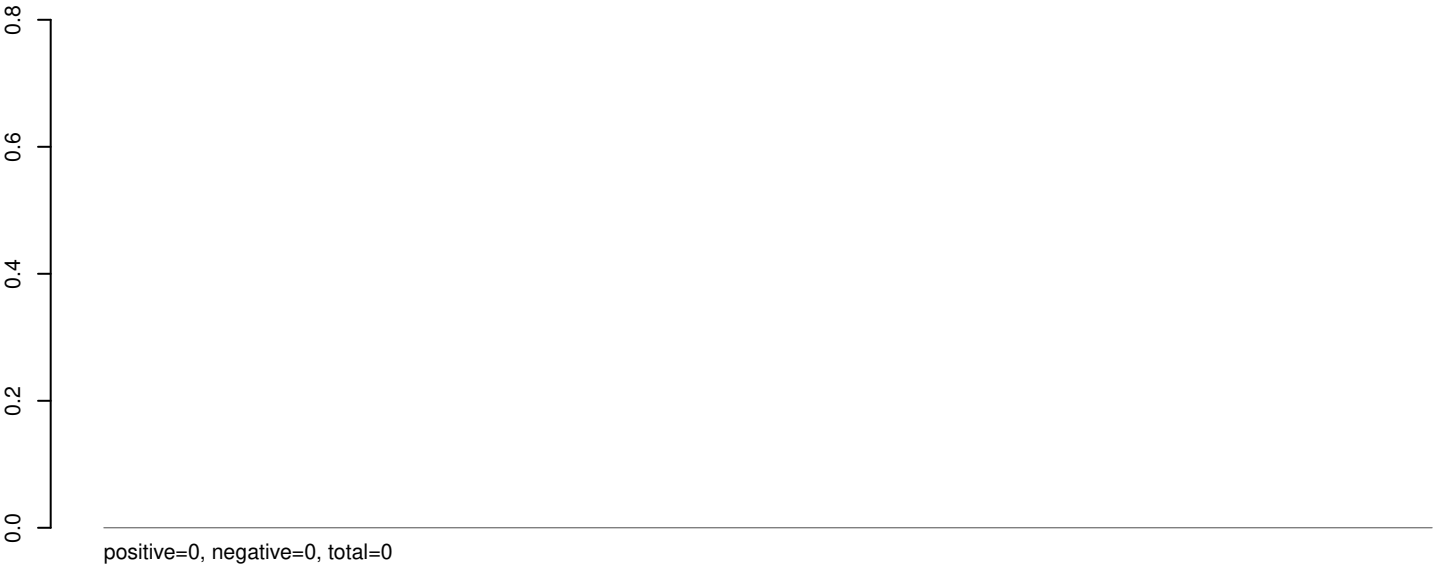


0 2000 4000 6000 8000 10000 12000

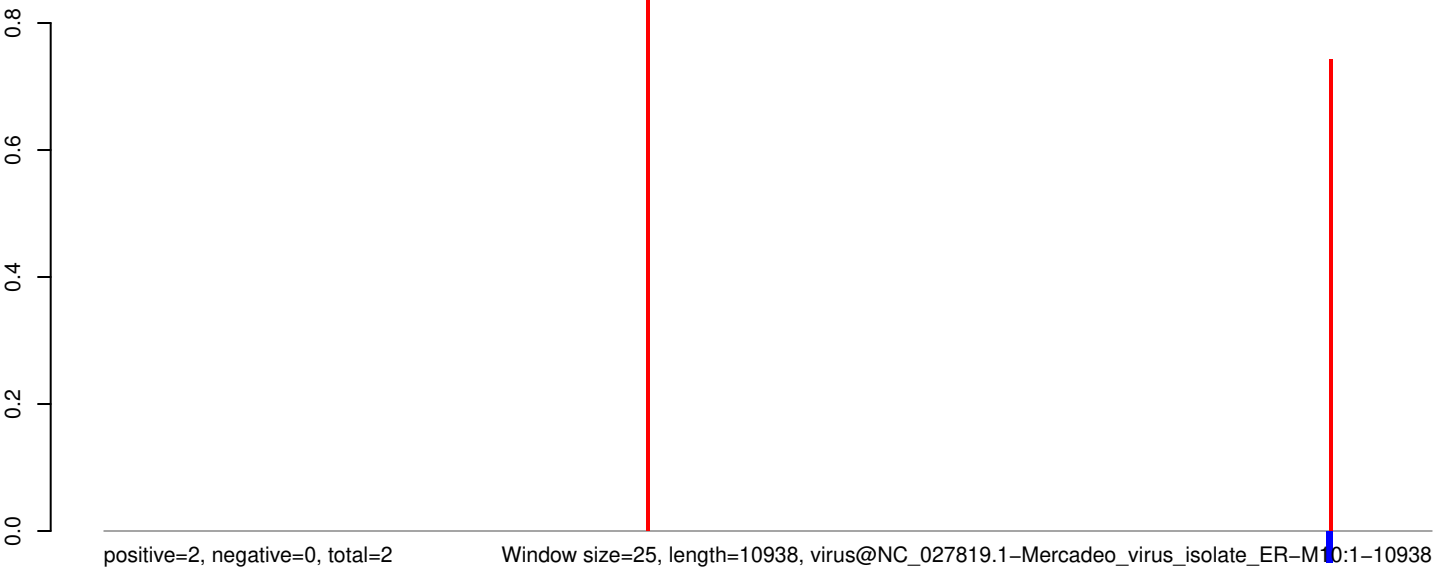
AeAeg_Aag2SINV_dsPiwi4.18_23.rep



AeAeg_Aag2SINV_dsPiwi4.24_35.rep

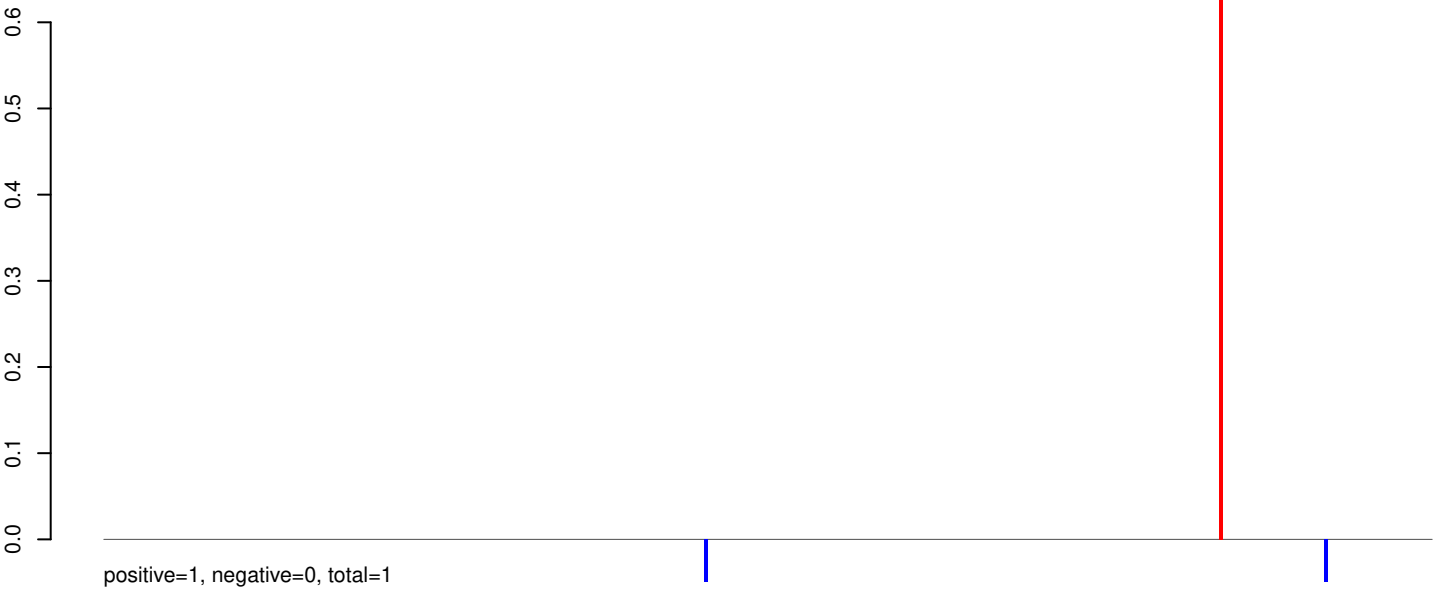


AeAeg_Aag2SINV_dsPiwi4.rep

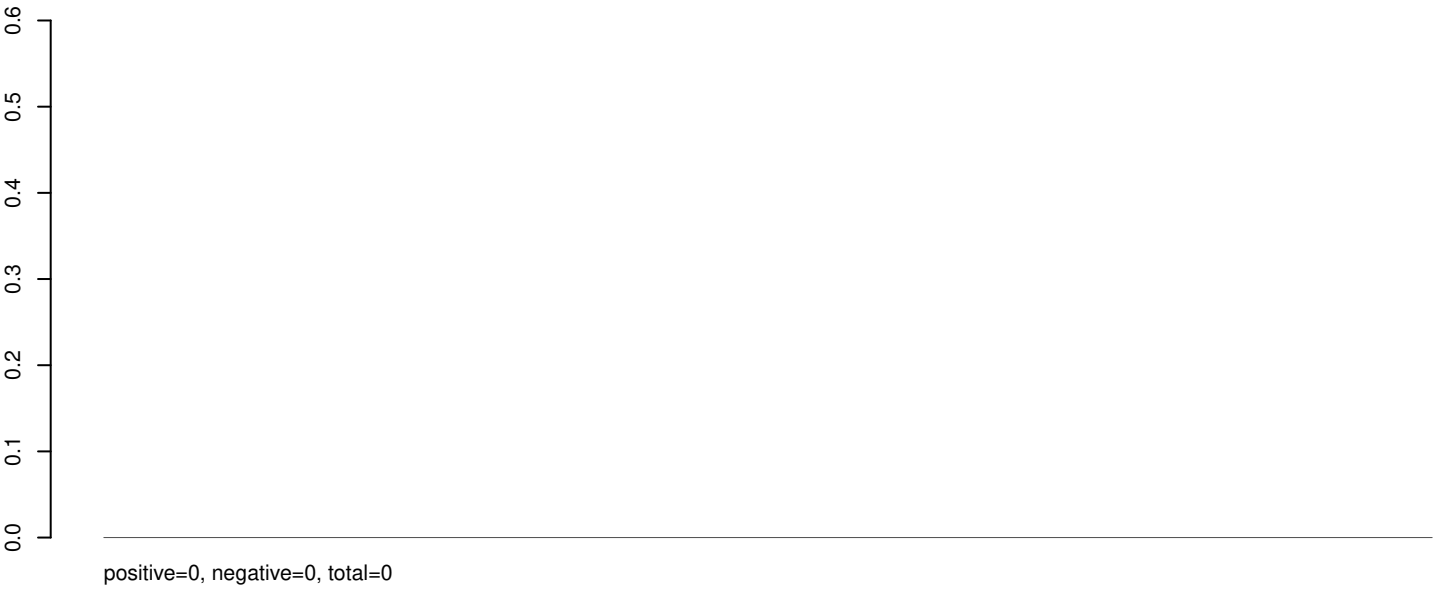


0 2000 4000 6000 8000 10000

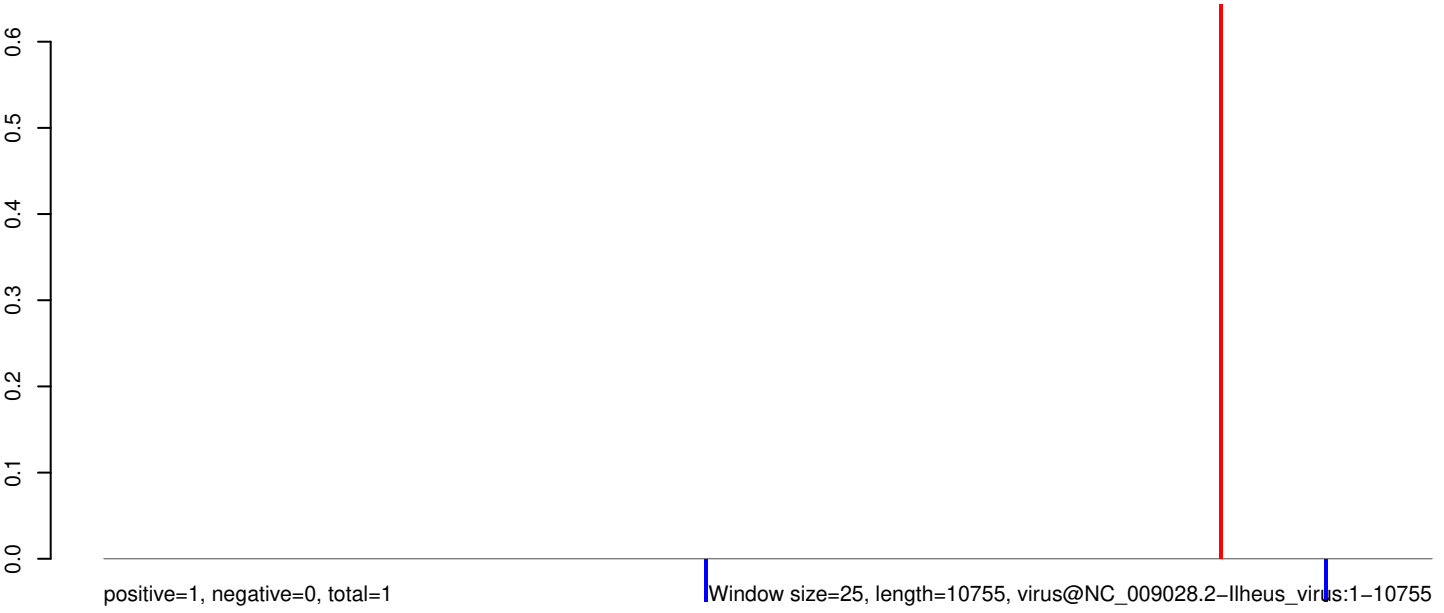
AeAeg_Aag2SINV_dsPiwi4.18_23.rep



AeAeg_Aag2SINV_dsPiwi4.24_35.rep

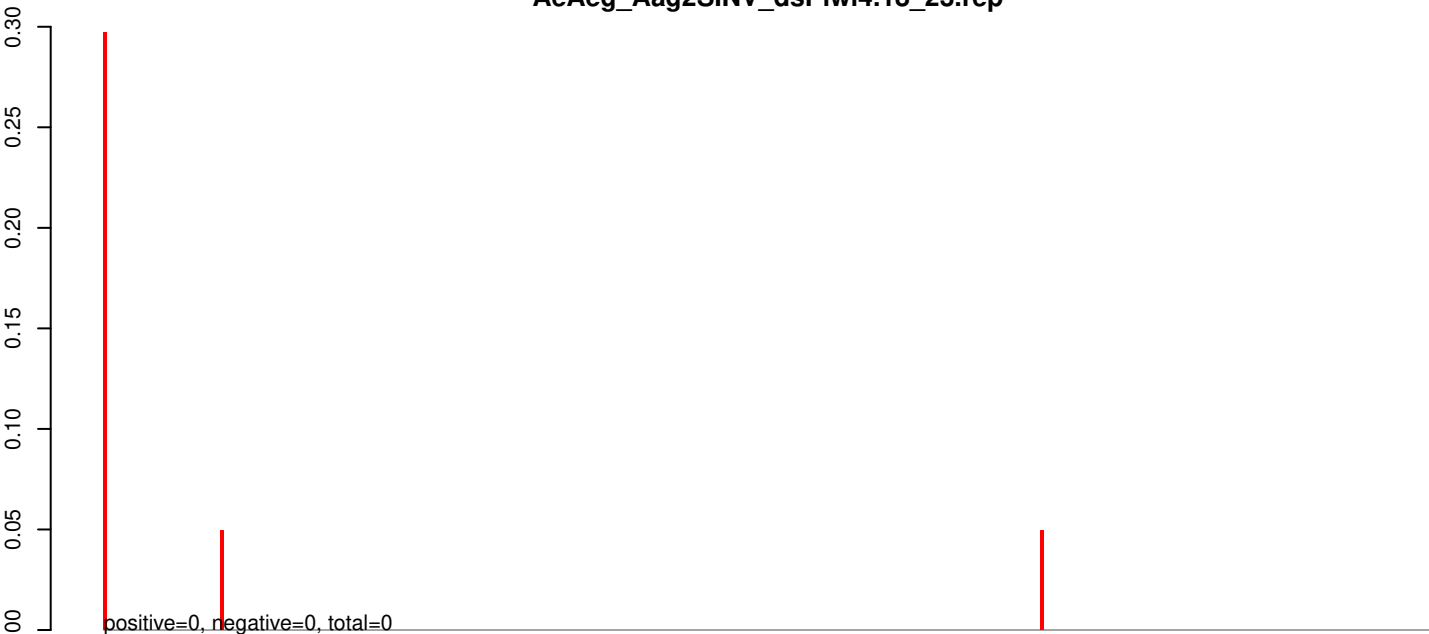


AeAeg_Aag2SINV_dsPiwi4.rep

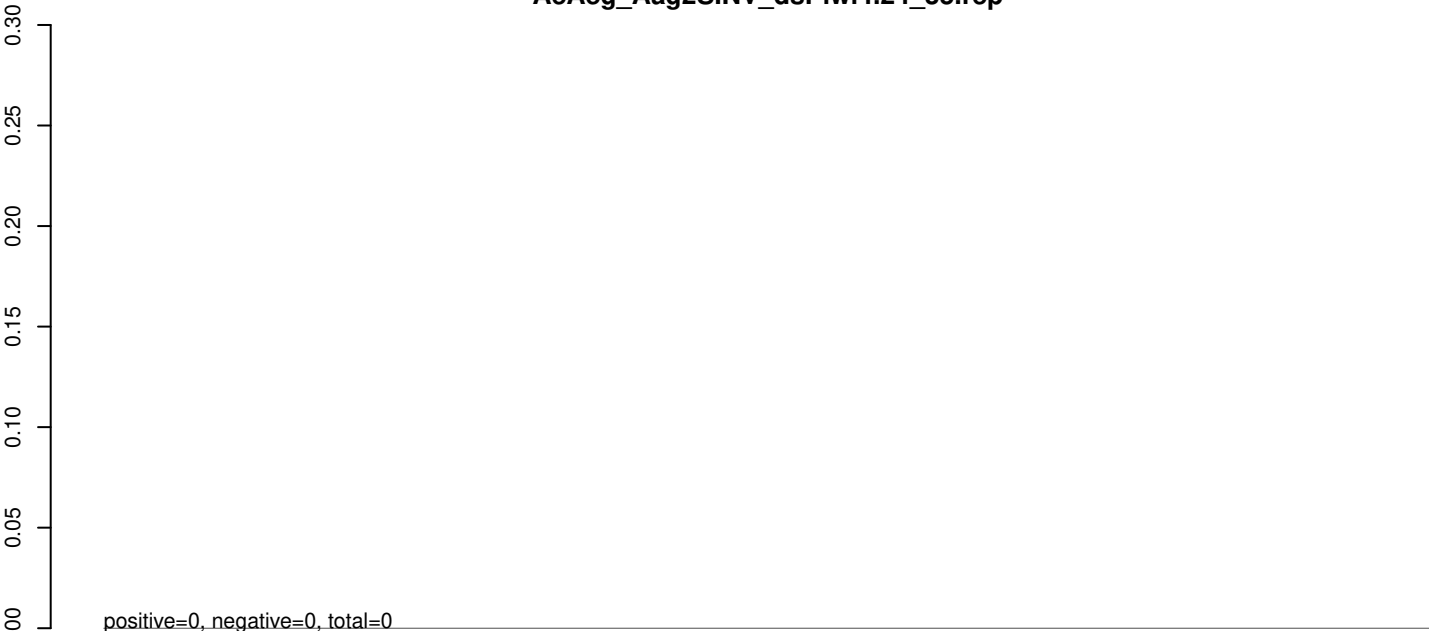


0 2000 4000 6000 8000 10000

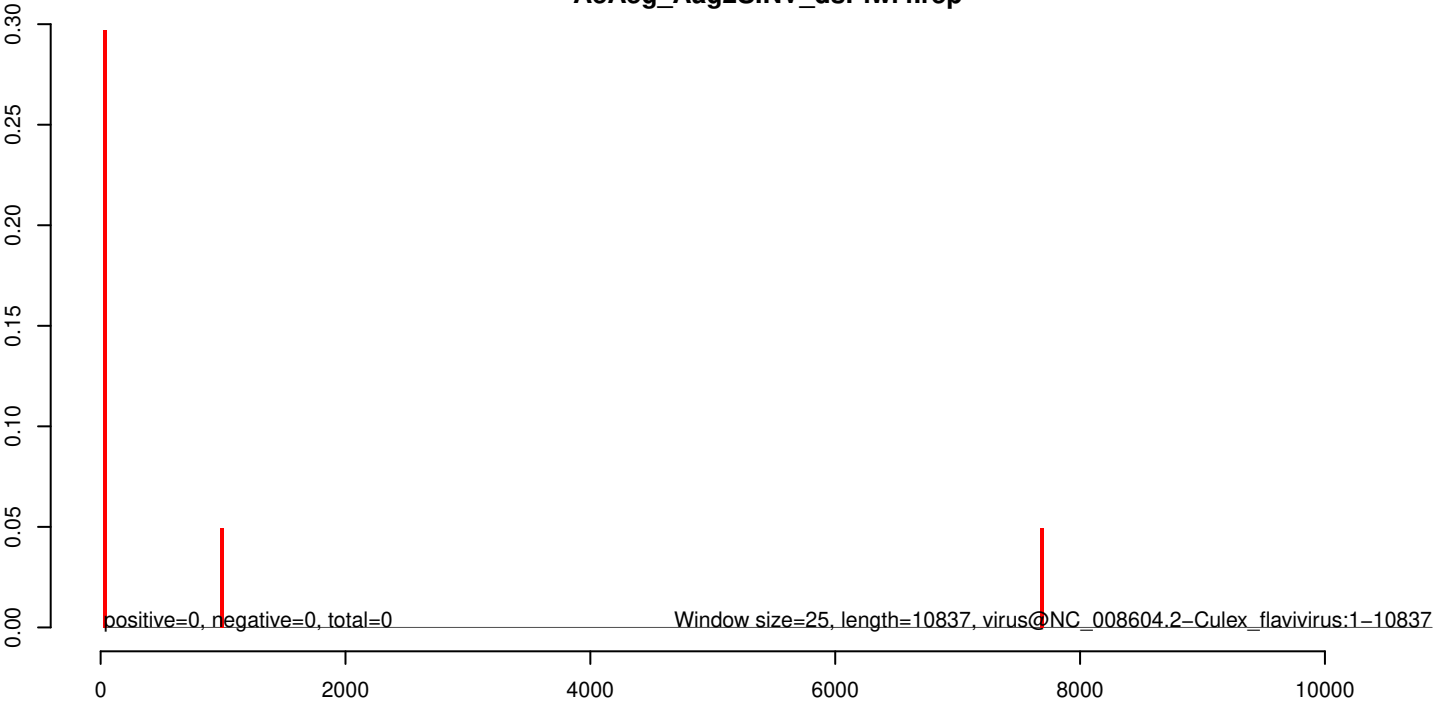
AeAeg_Aag2SINV_dsPiwi4.18_23.rep



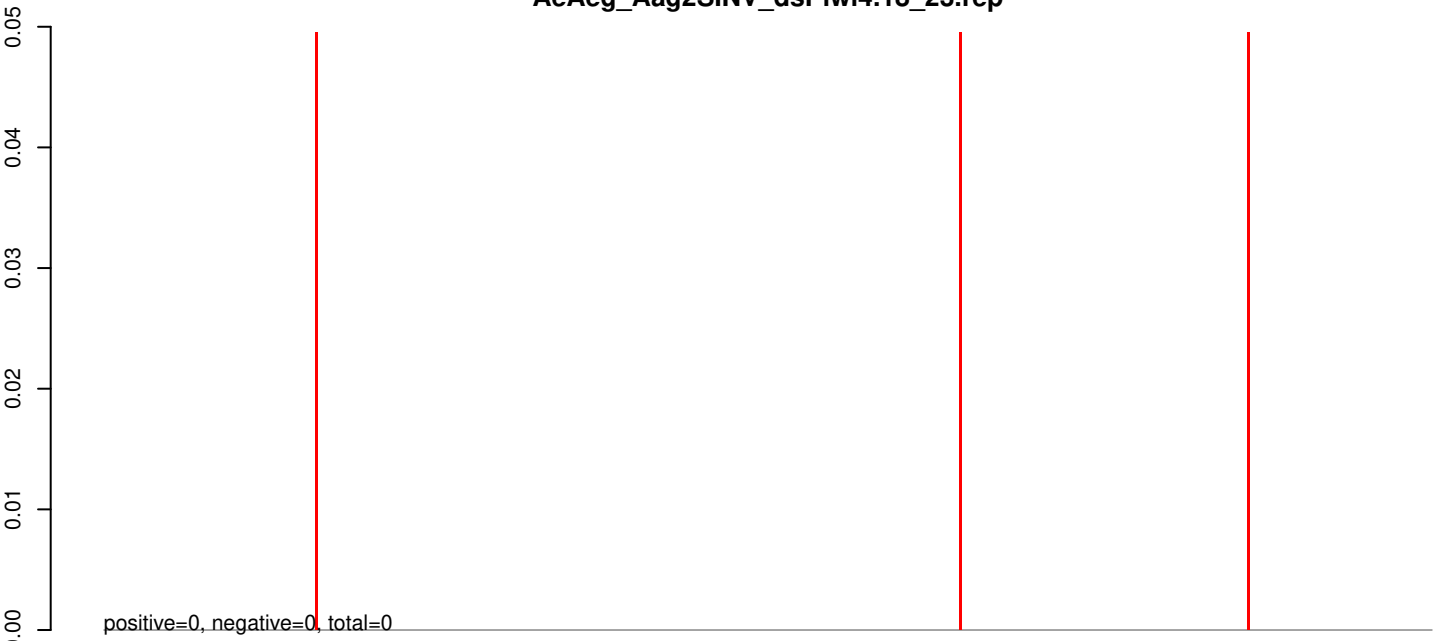
AeAeg_Aag2SINV_dsPiwi4.24_35.rep



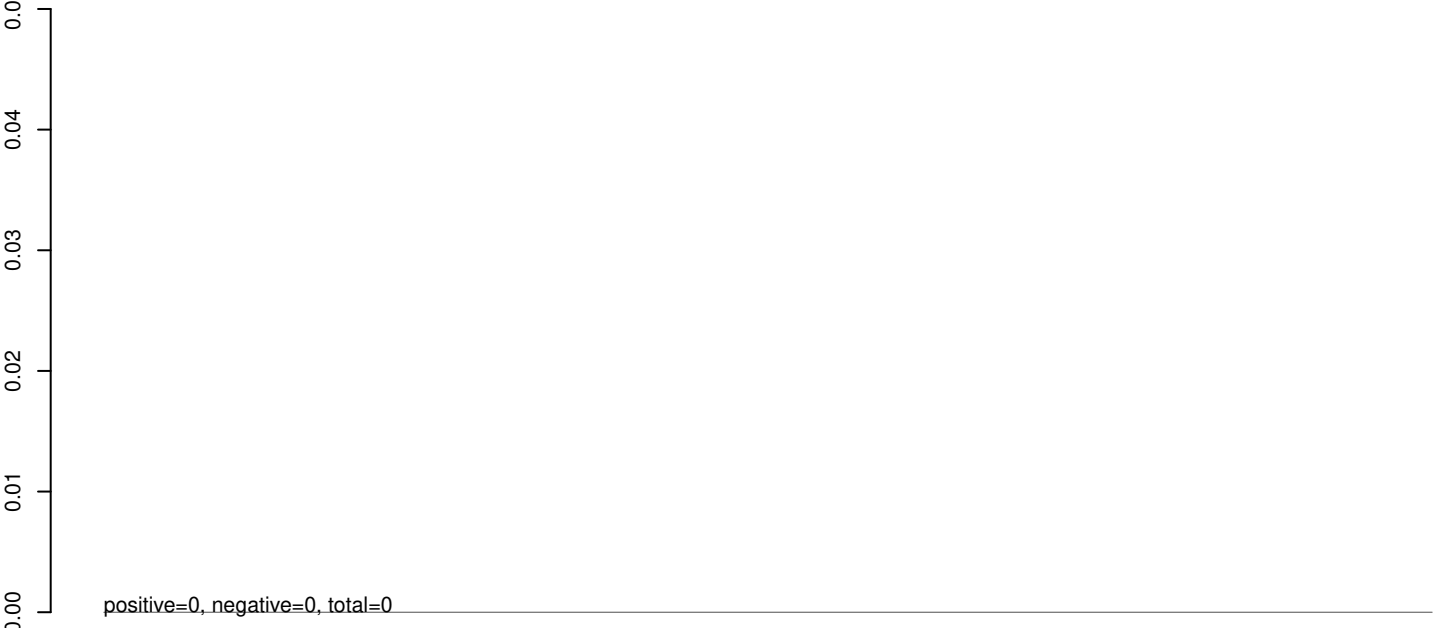
AeAeg_Aag2SINV_dsPiwi4.rep



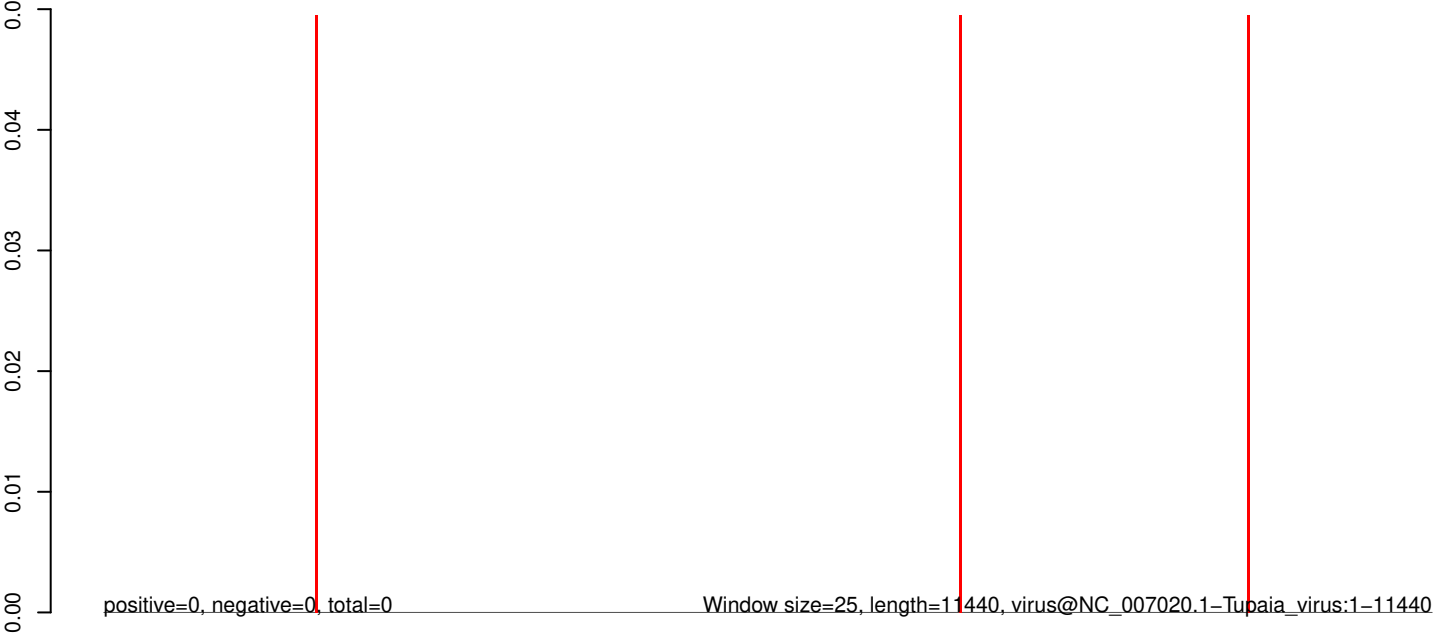
AeAeg_Aag2SINV_dsPiwi4.18_23.rep



AeAeg_Aag2SINV_dsPiwi4.24_35.rep



AeAeg_Aag2SINV_dsPiwi4.rep

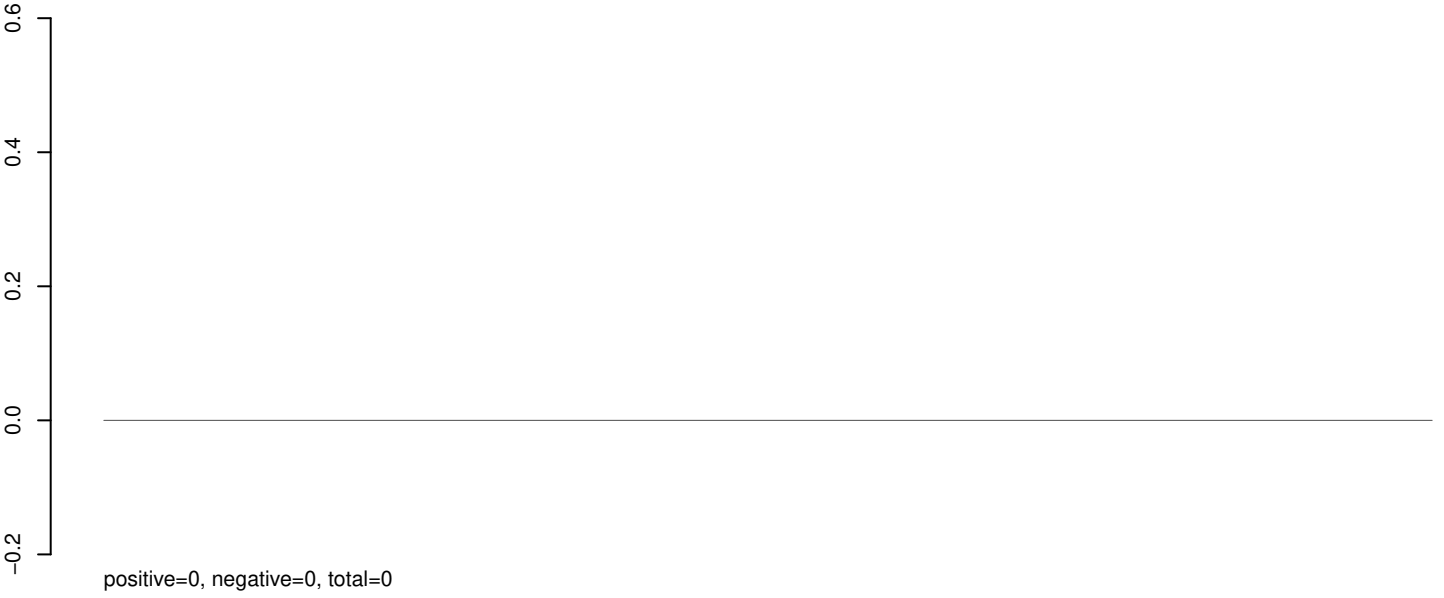


0 2000 4000 6000 8000 10000

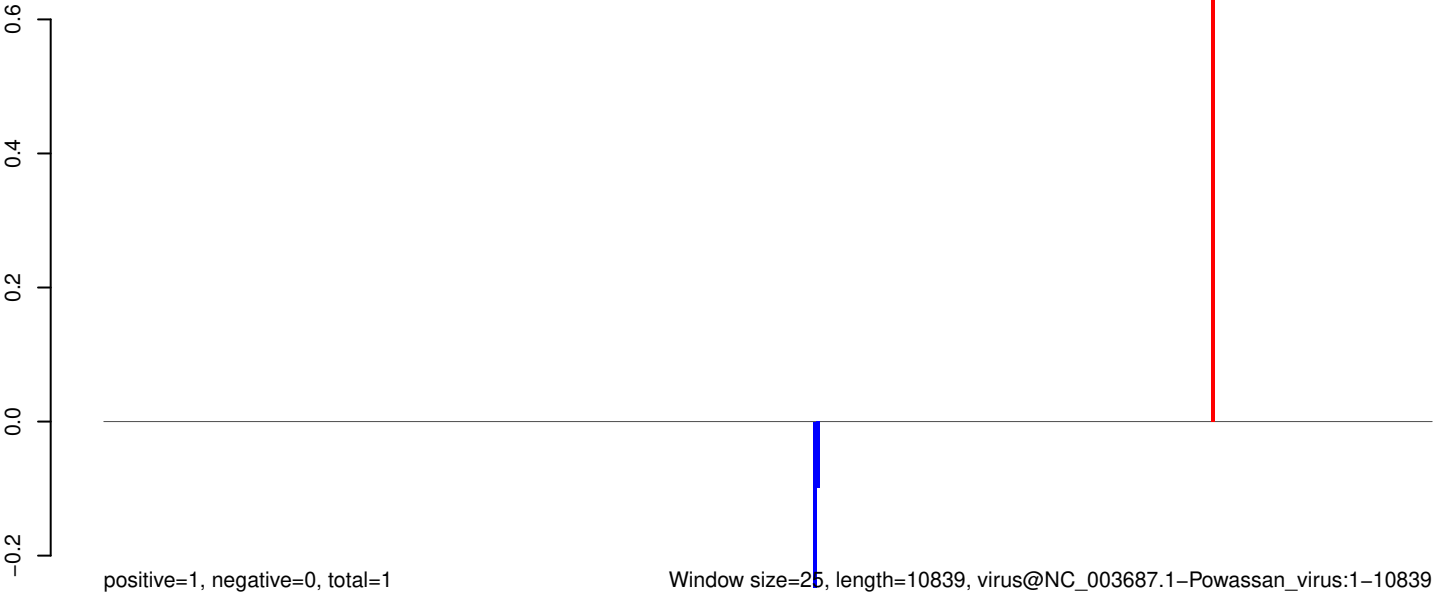
AeAeg_Aag2SINV_dsPiwi4.18_23.rep



AeAeg_Aag2SINV_dsPiwi4.24_35.rep

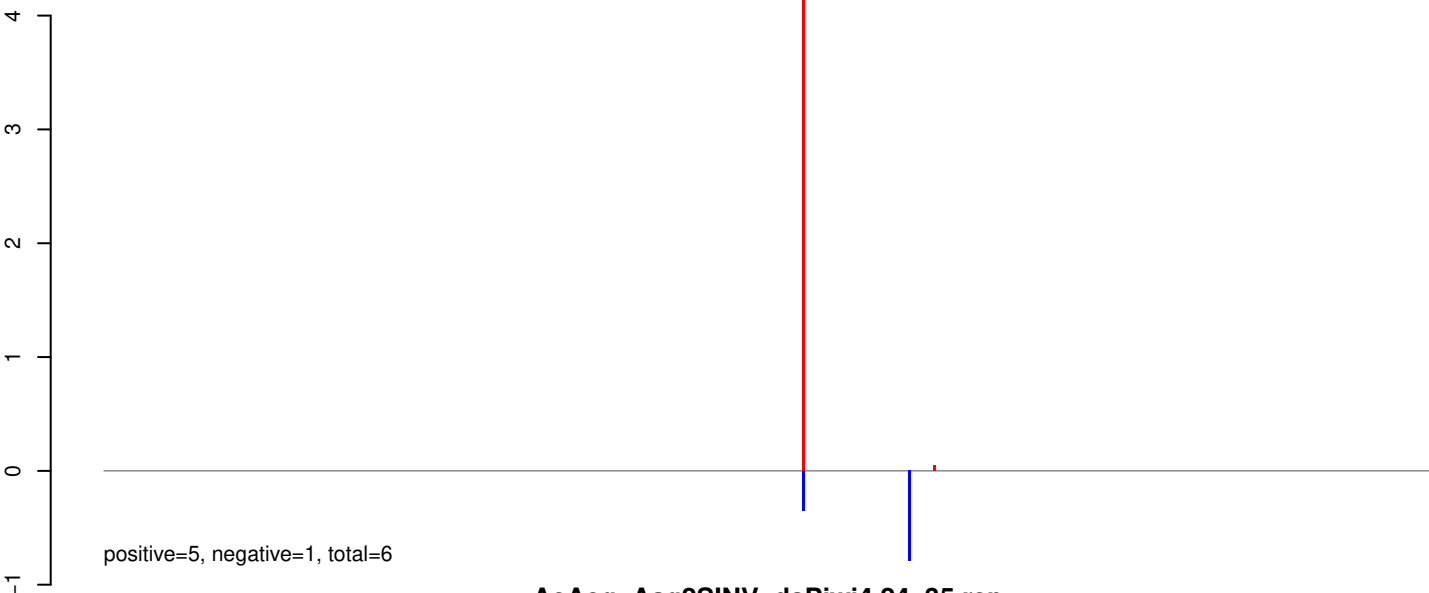


AeAeg_Aag2SINV_dsPiwi4.rep

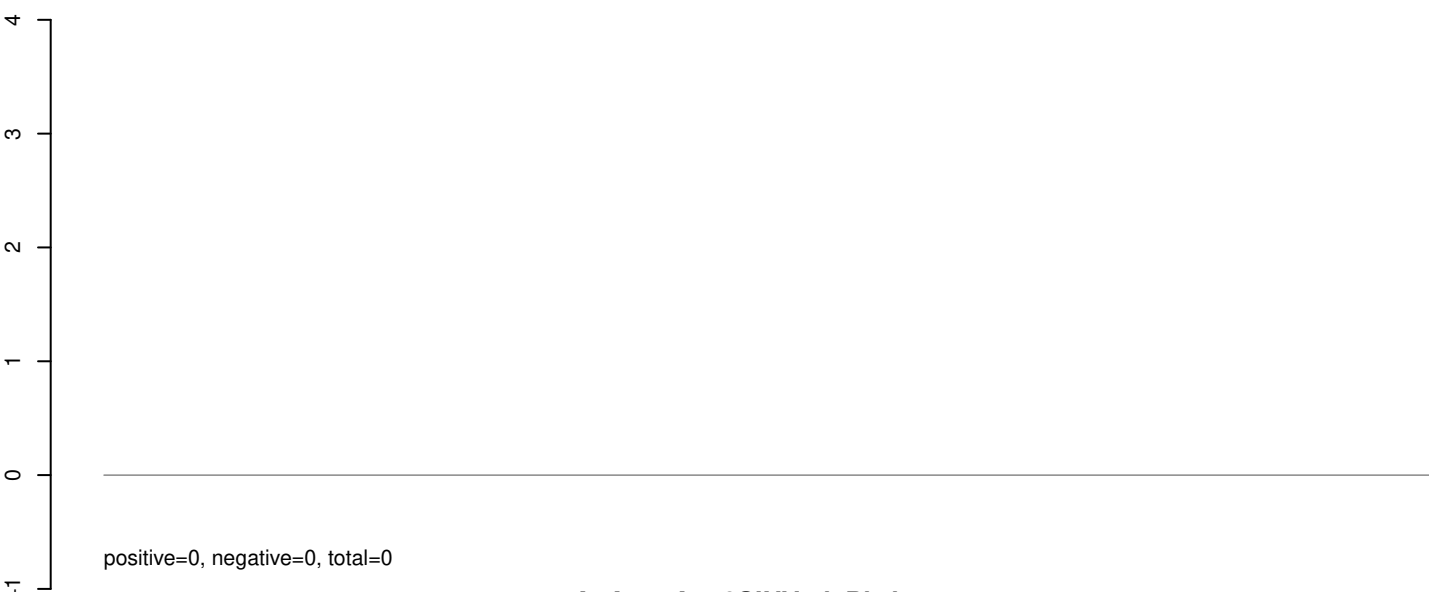


0 2000 4000 6000 8000 10000

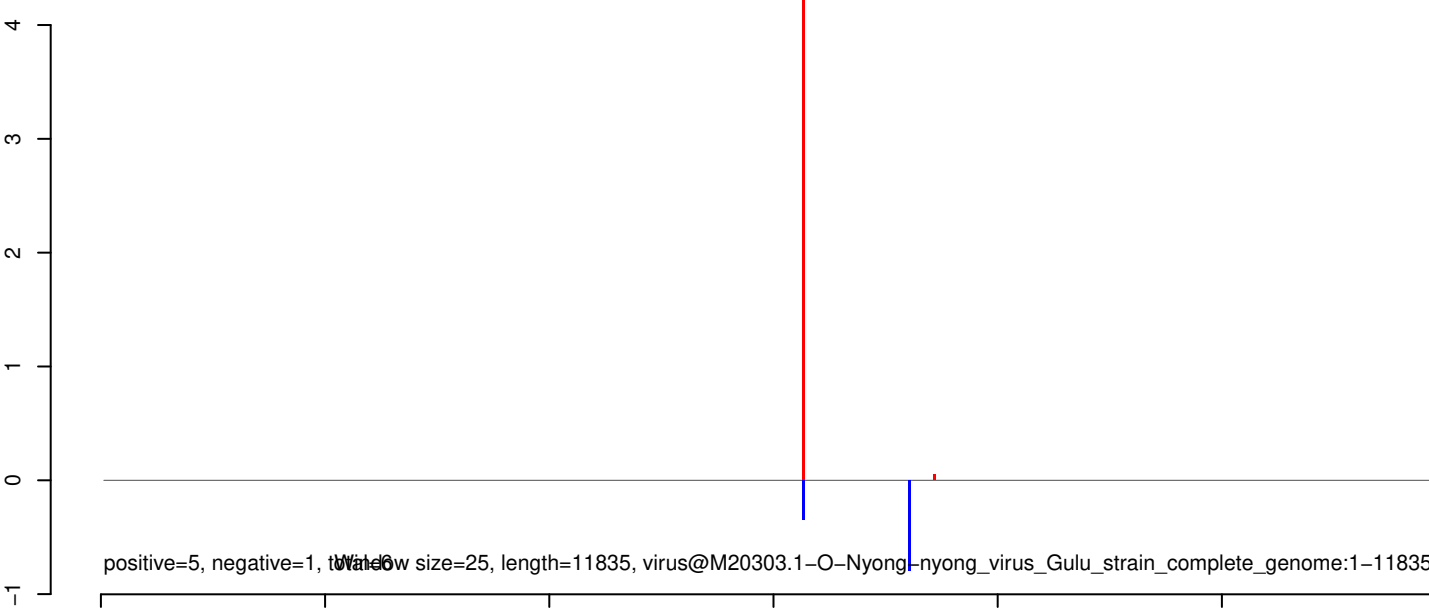
AeAeg_Aag2SINV_dsPiwi4.18_23.rep



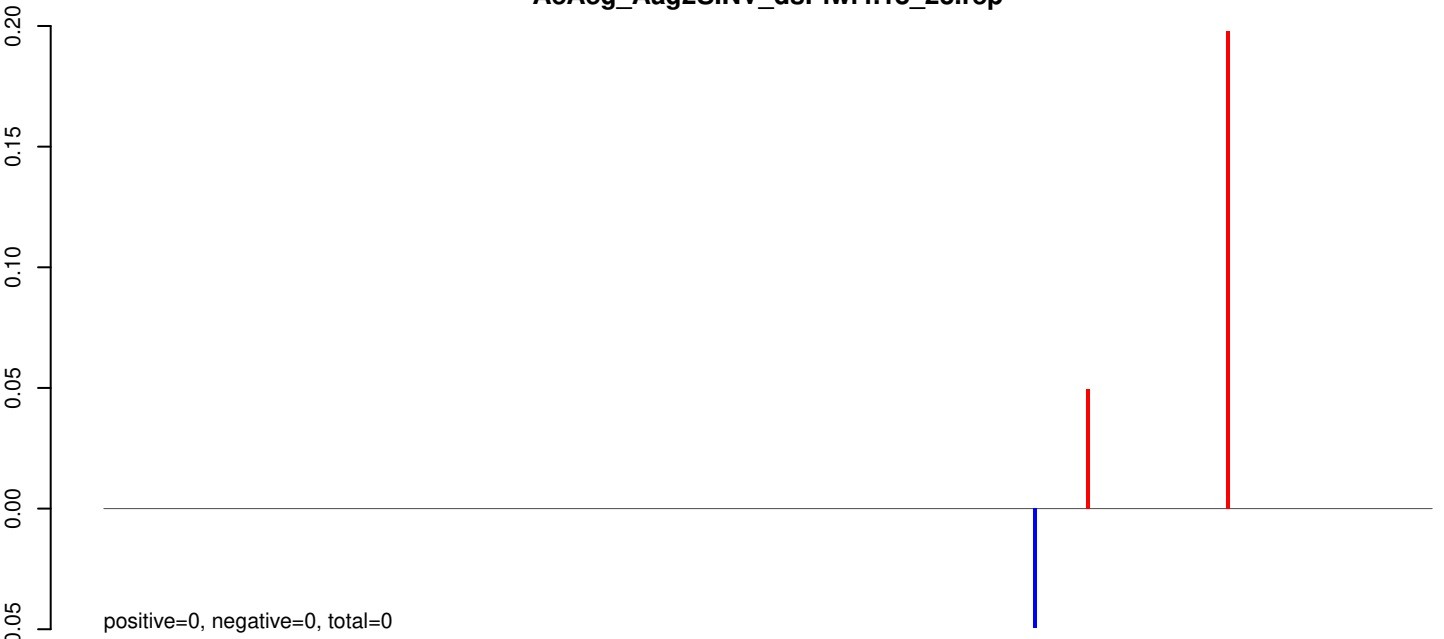
AeAeg_Aag2SINV_dsPiwi4.24_35.rep



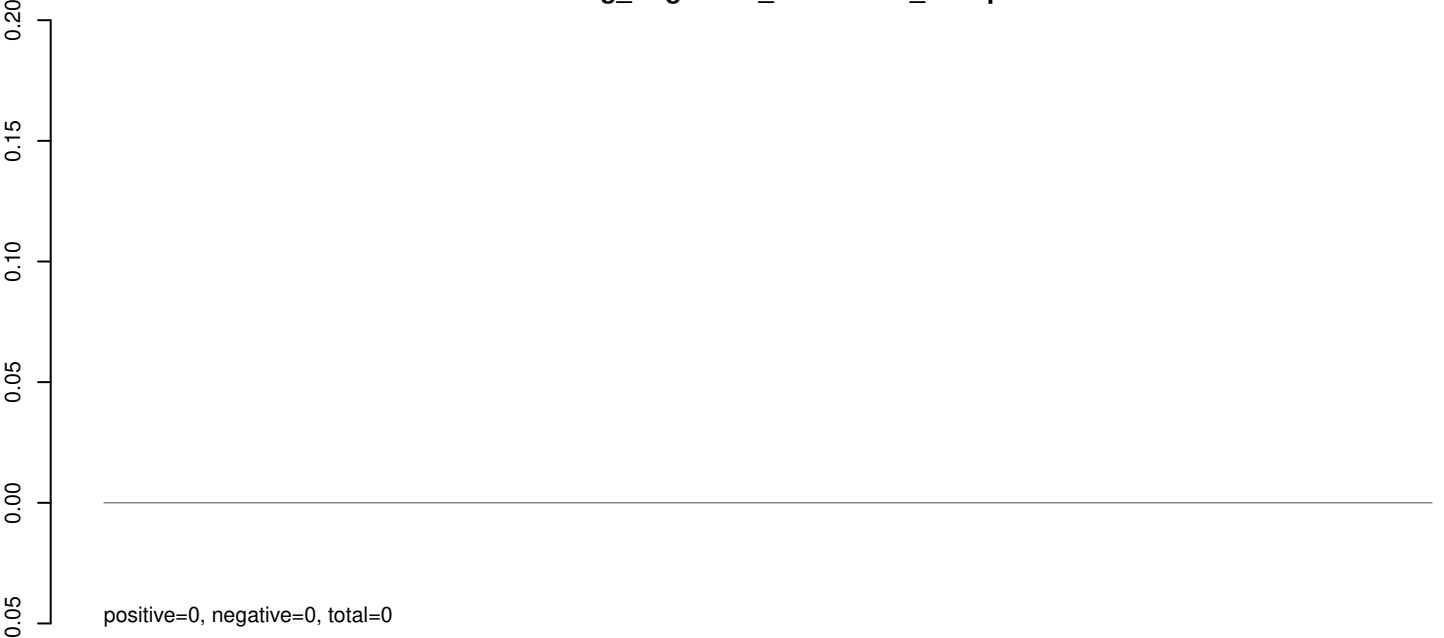
AeAeg_Aag2SINV_dsPiwi4.rep



AeAeg_Aag2SINV_dsPiwi4.18_23.rep



AeAeg_Aag2SINV_dsPiwi4.24_35.rep



AeAeg_Aag2SINV_dsPiwi4.rep



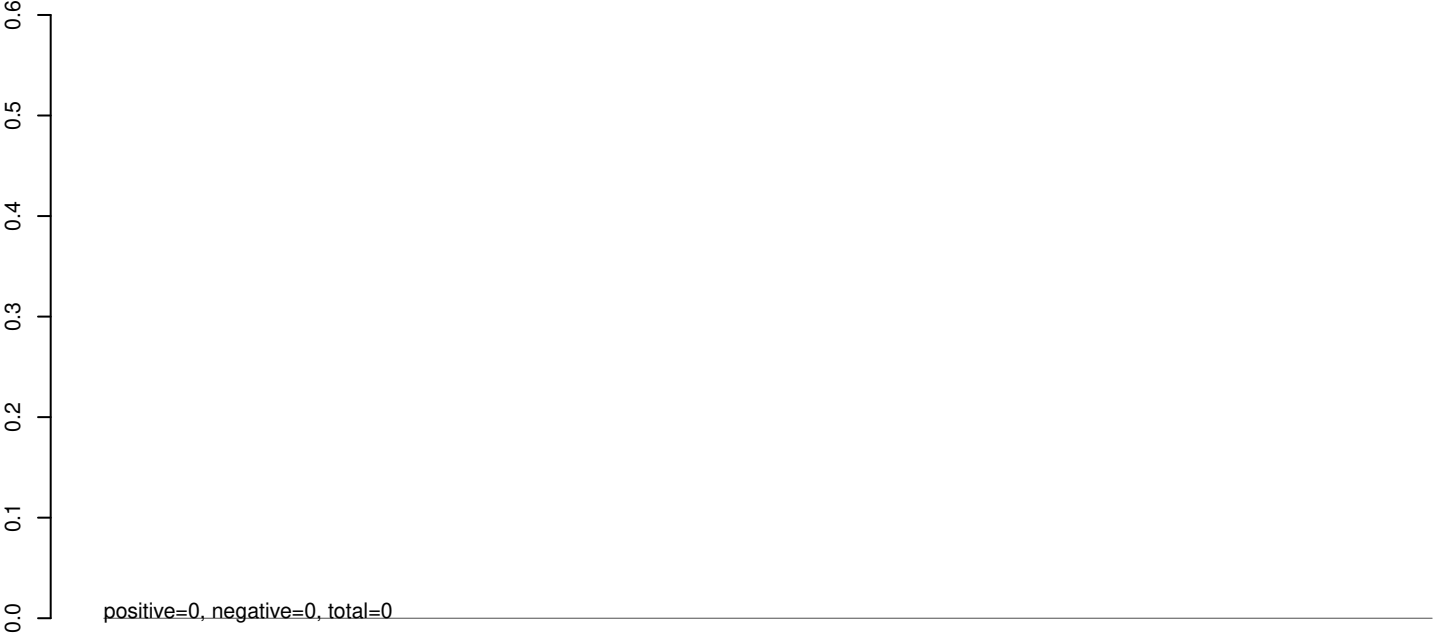
Window size=25, length=10648, virus@KM225264.1-Bainyik_virus_strain_MK7979:1-10648

0 2000 4000 6000 8000 10000

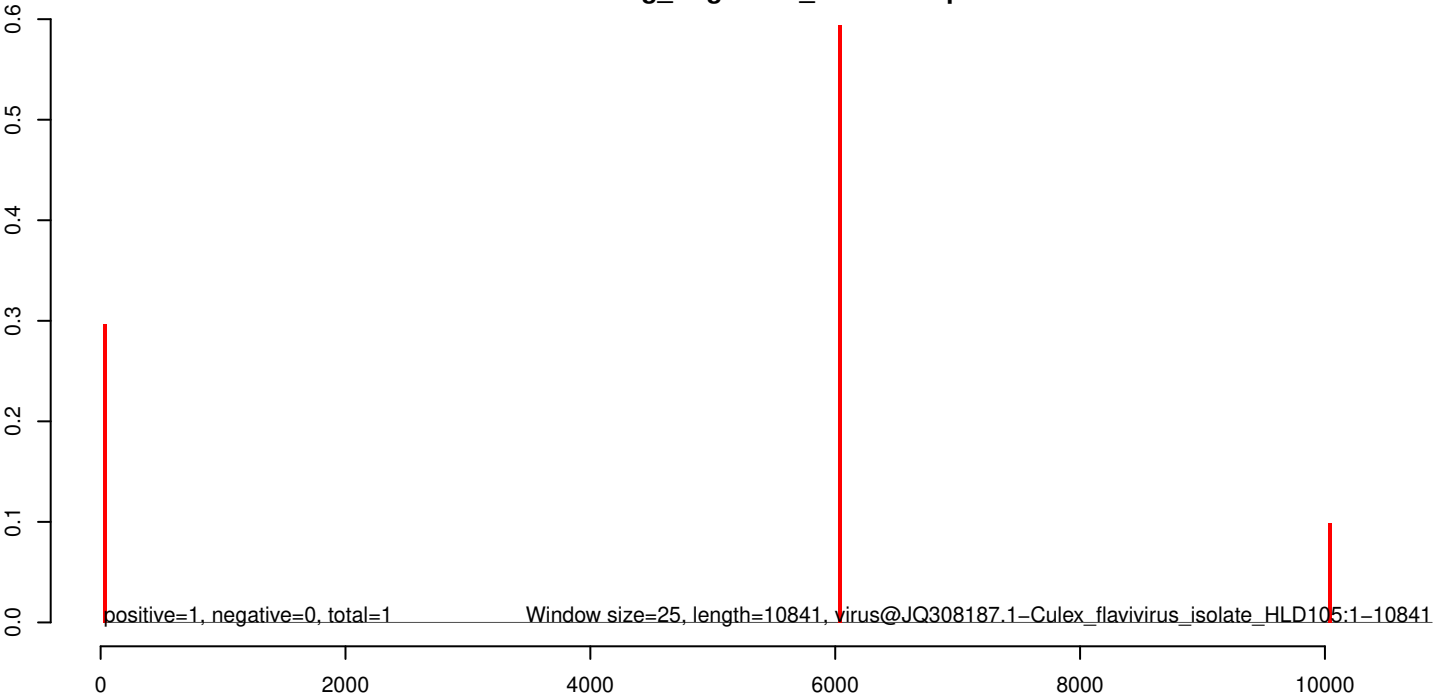
AeAeg_Aag2SINV_dsPiwi4.18_23.rep



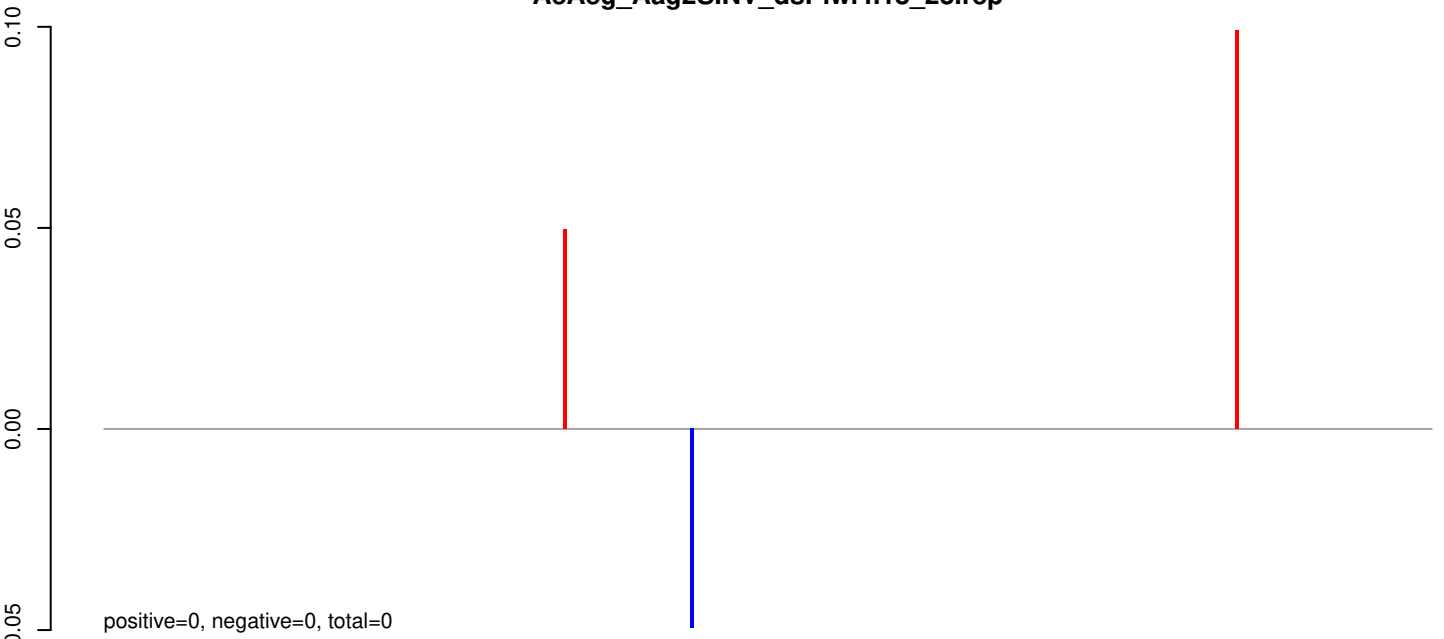
AeAeg_Aag2SINV_dsPiwi4.24_35.rep



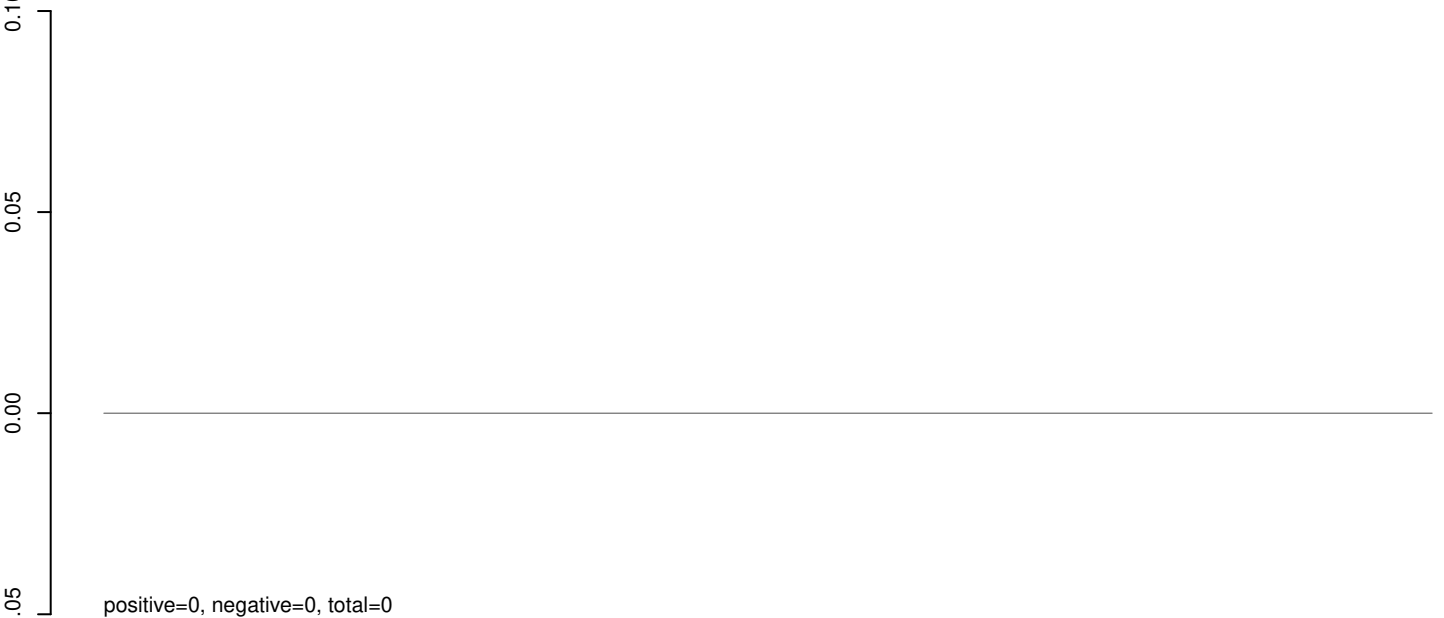
AeAeg_Aag2SINV_dsPiwi4.rep



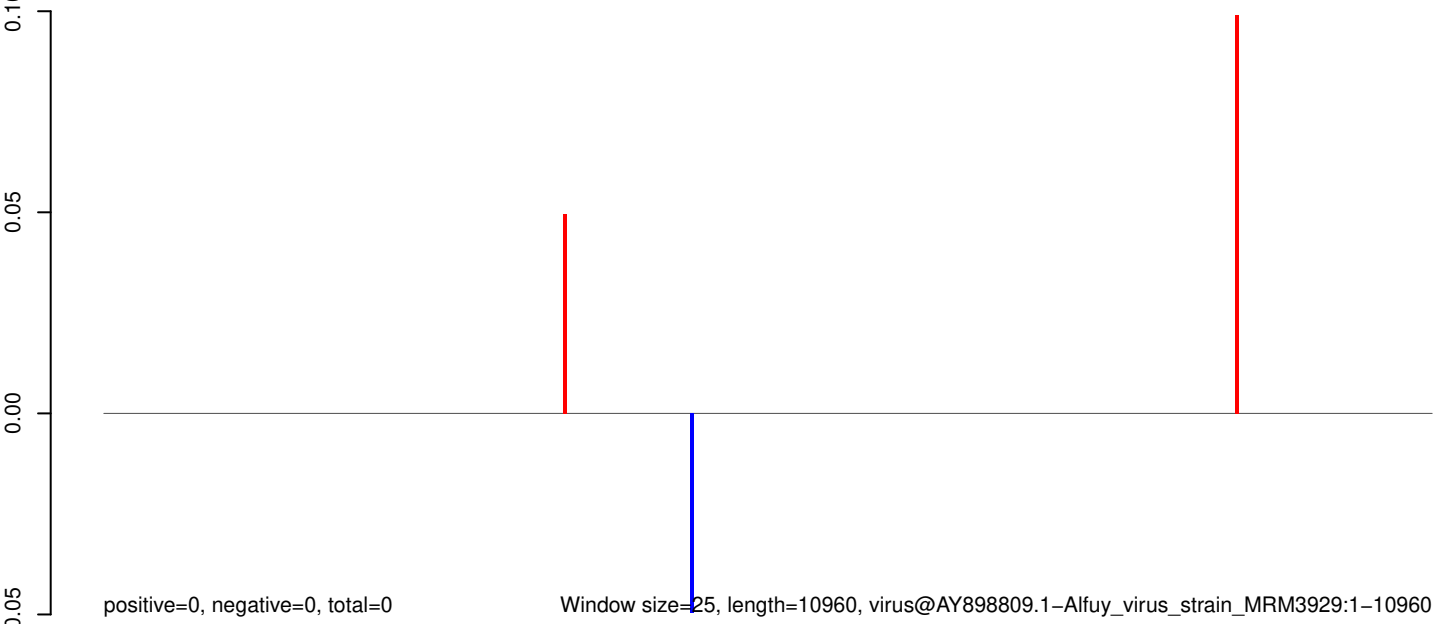
AeAeg_Aag2SINV_dsPiwi4.18_23.rep



AeAeg_Aag2SINV_dsPiwi4.24_35.rep



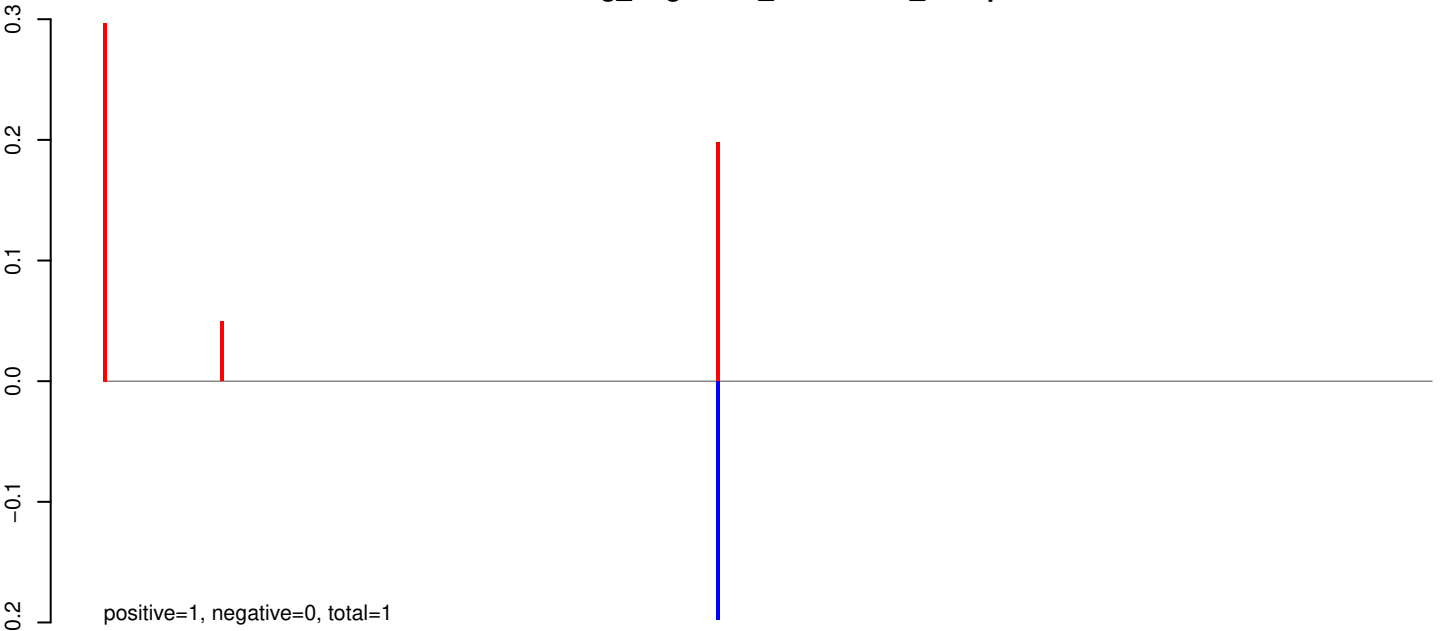
AeAeg_Aag2SINV_dsPiwi4.rep



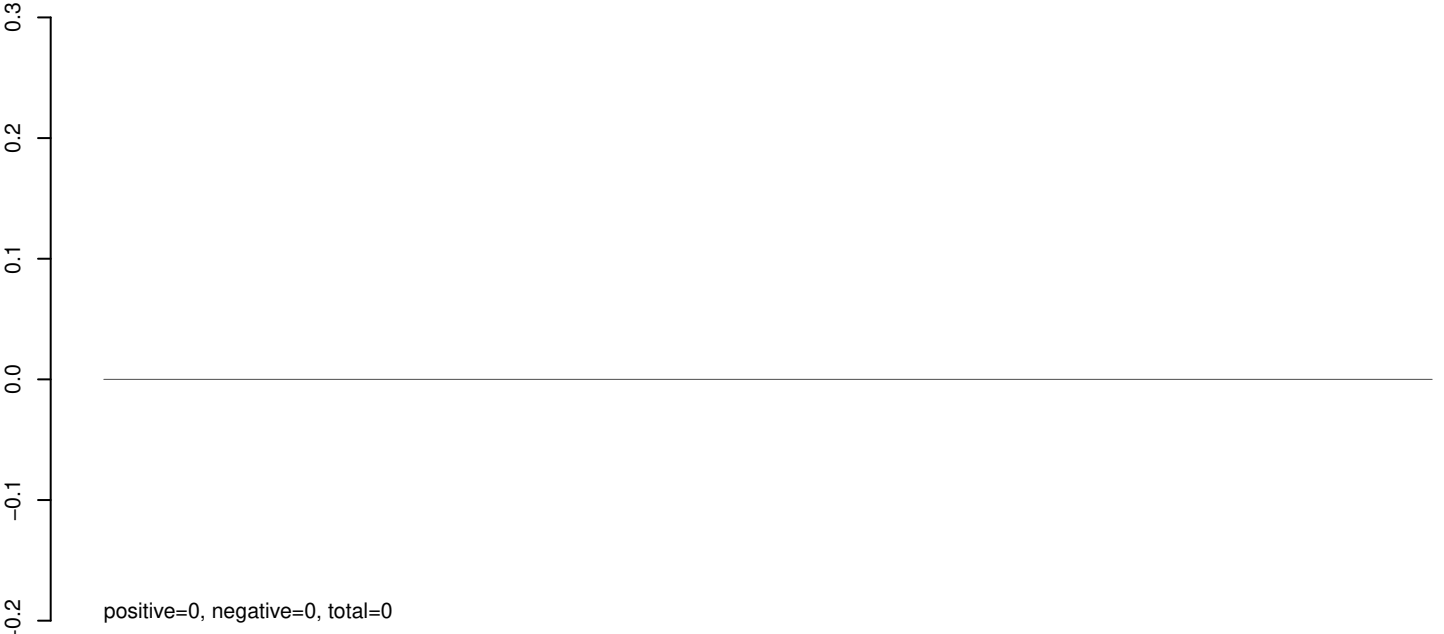
Window size=25, length=10960, virus@AY898809.1-Alfuy_virus_strain_MRM3929:1-10960

0 2000 4000 6000 8000 10000

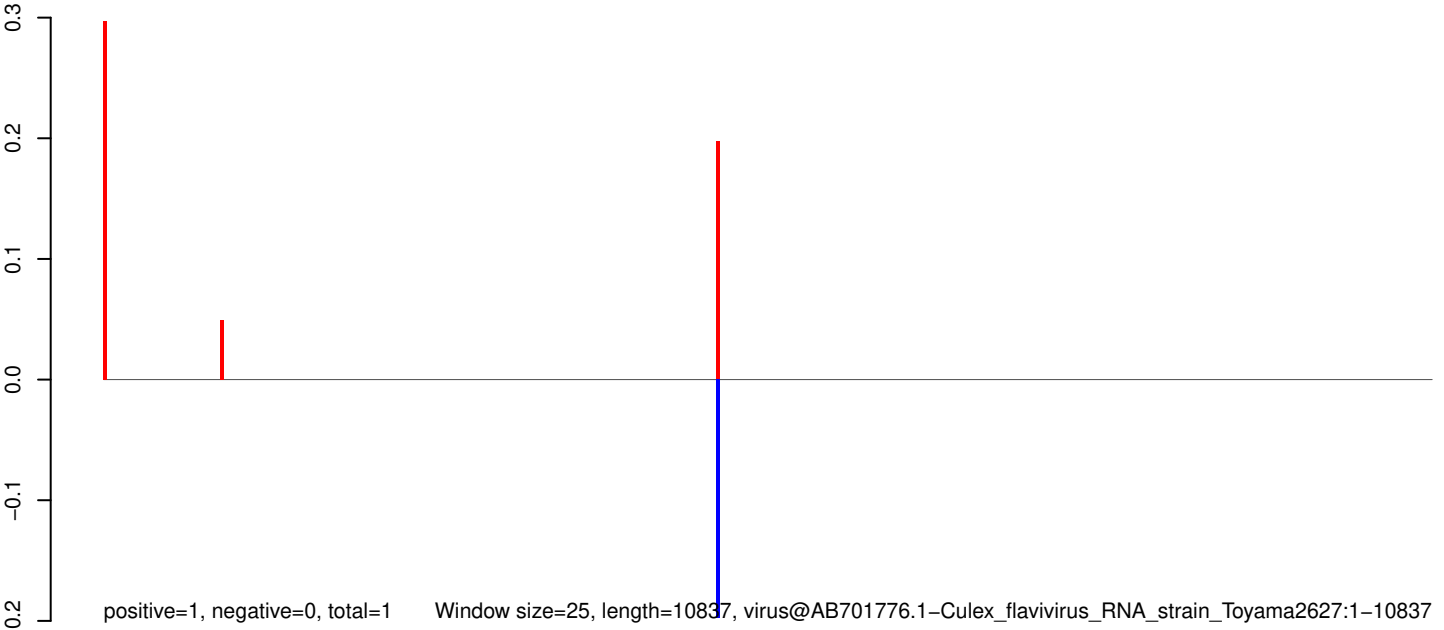
AeAeg_Aag2SINV_dsPiwi4.18_23.rep



AeAeg_Aag2SINV_dsPiwi4.24_35.rep

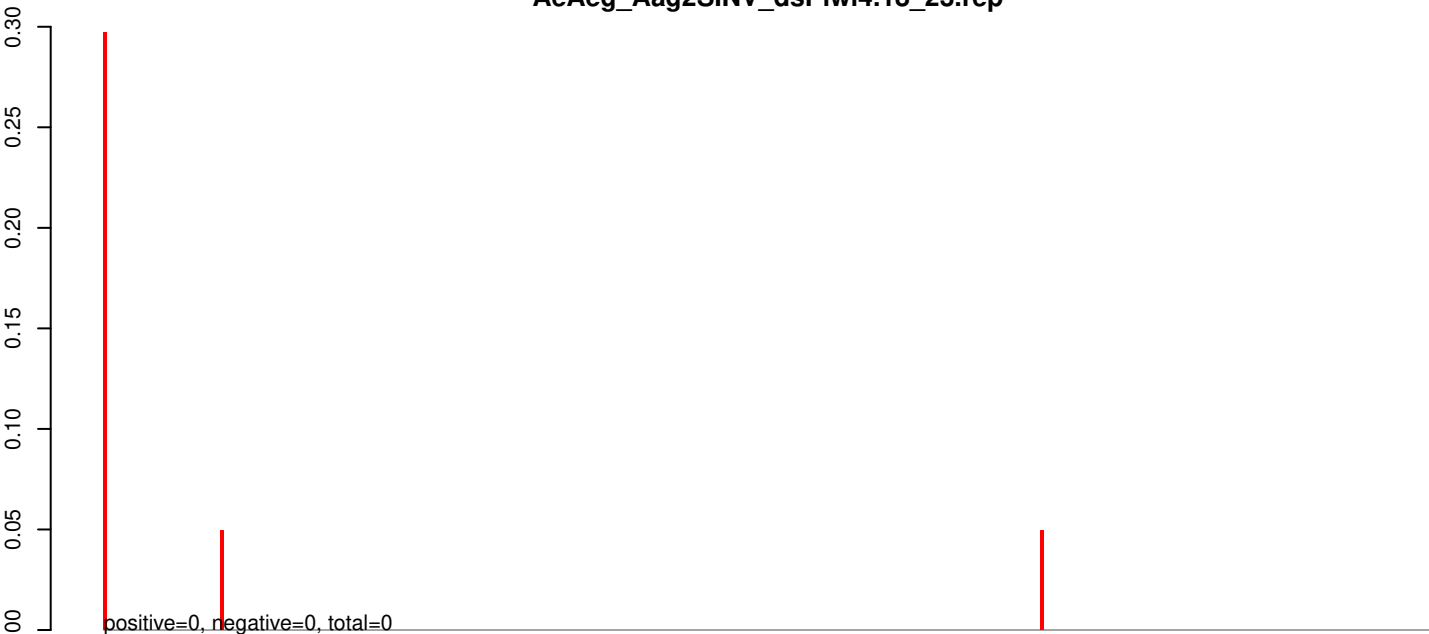


AeAeg_Aag2SINV_dsPiwi4.rep

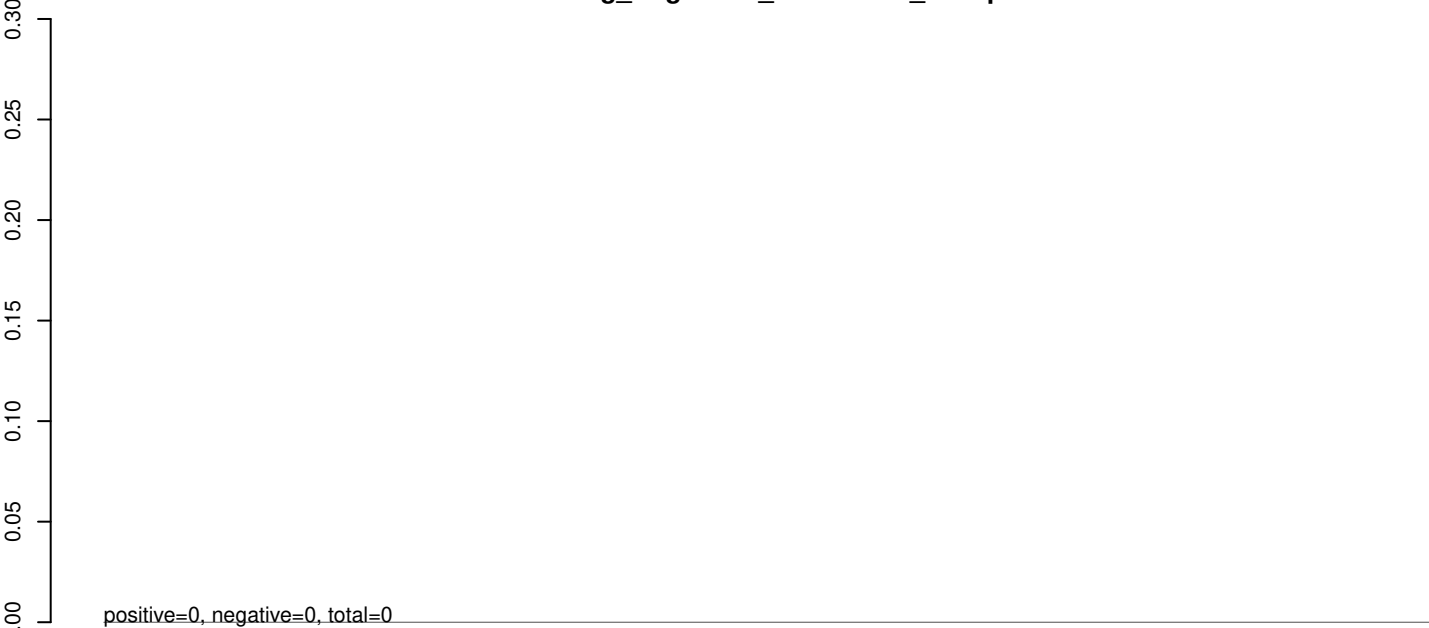


Window size=25, length=10837, virus@AB701776.1-Culex_flavivirus_RNA_strain_Toyama2627:1-10837

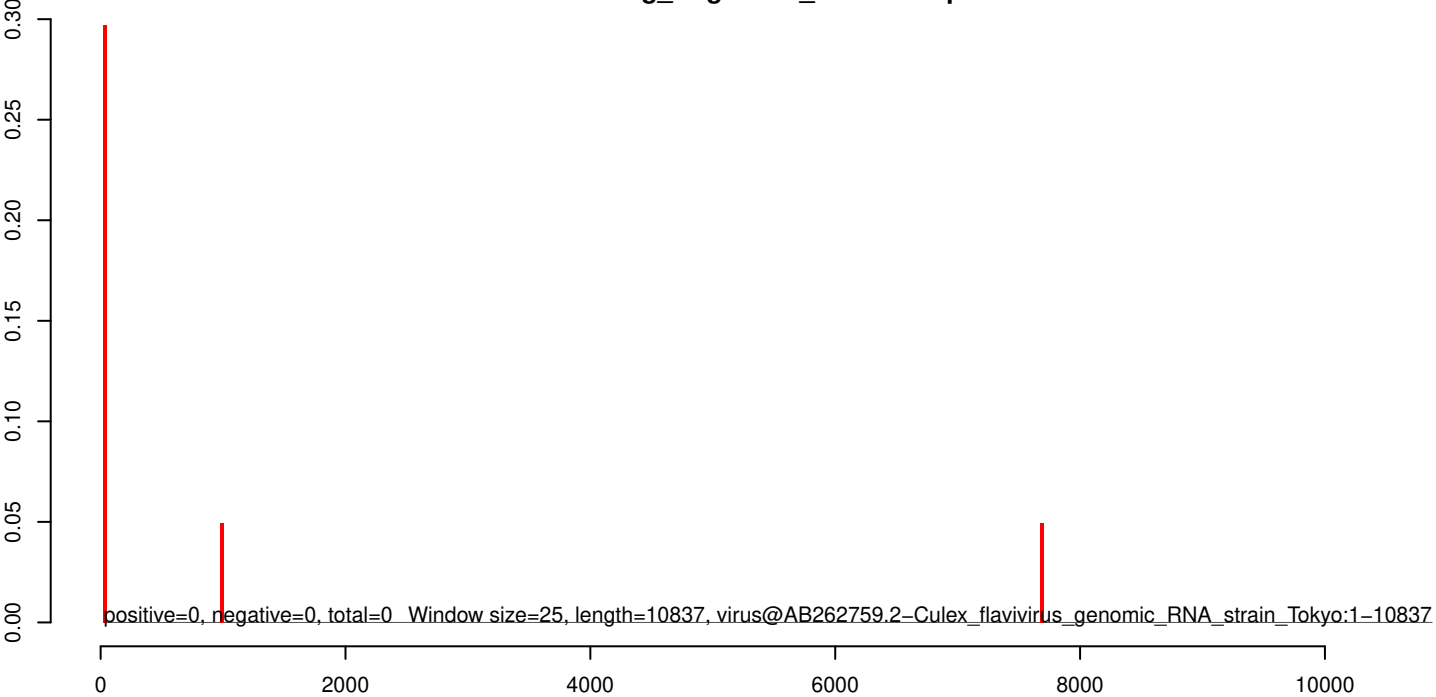
AeAeg_Aag2SINV_dsPiwi4.18_23.rep



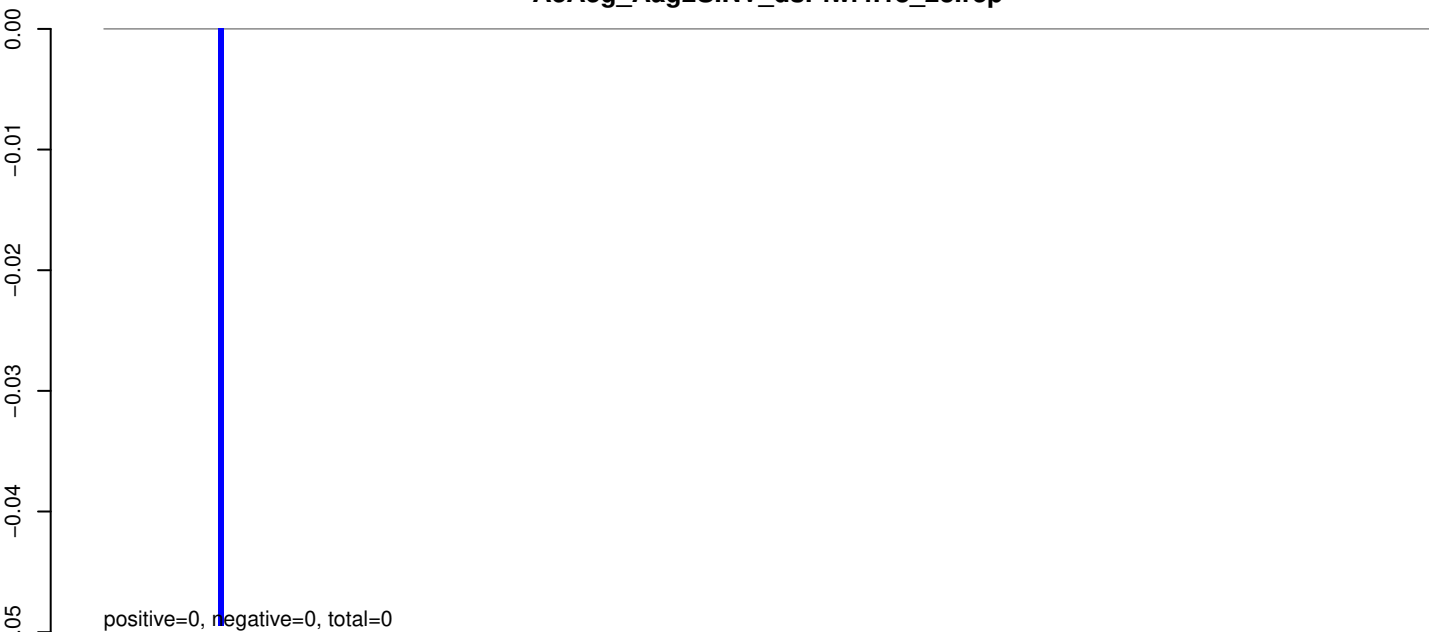
AeAeg_Aag2SINV_dsPiwi4.24_35.rep



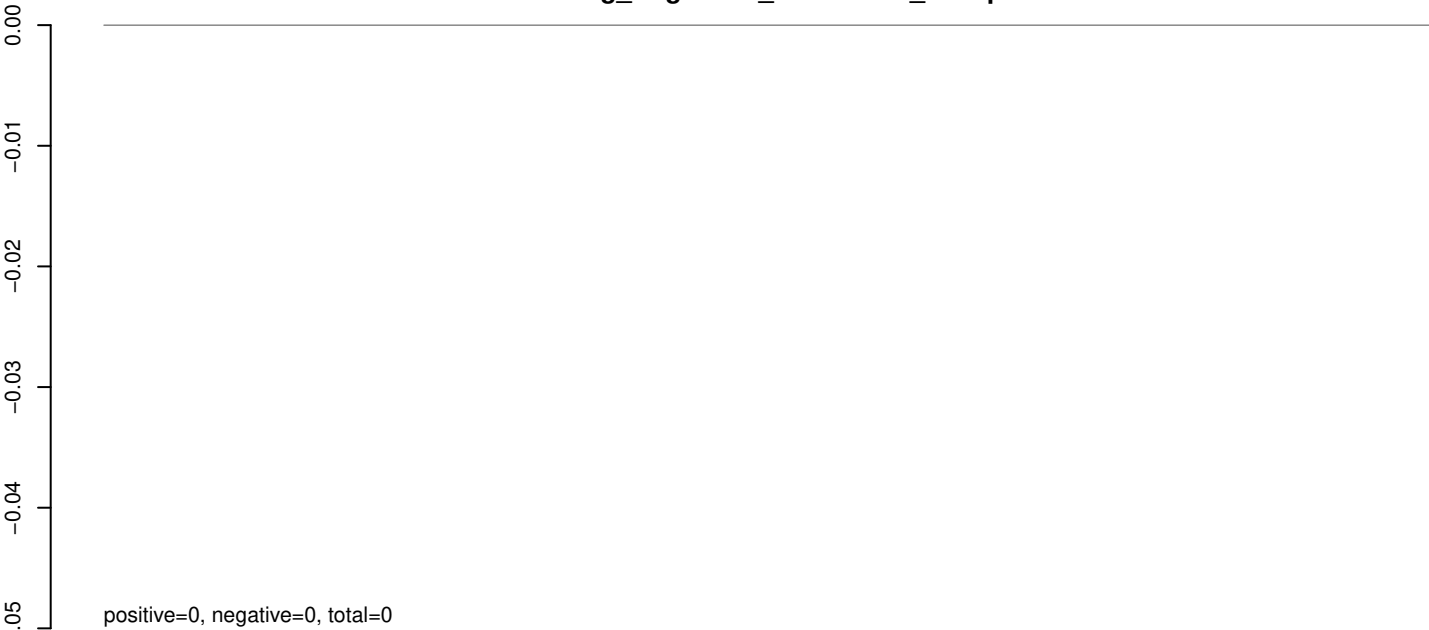
AeAeg_Aag2SINV_dsPiwi4.rep



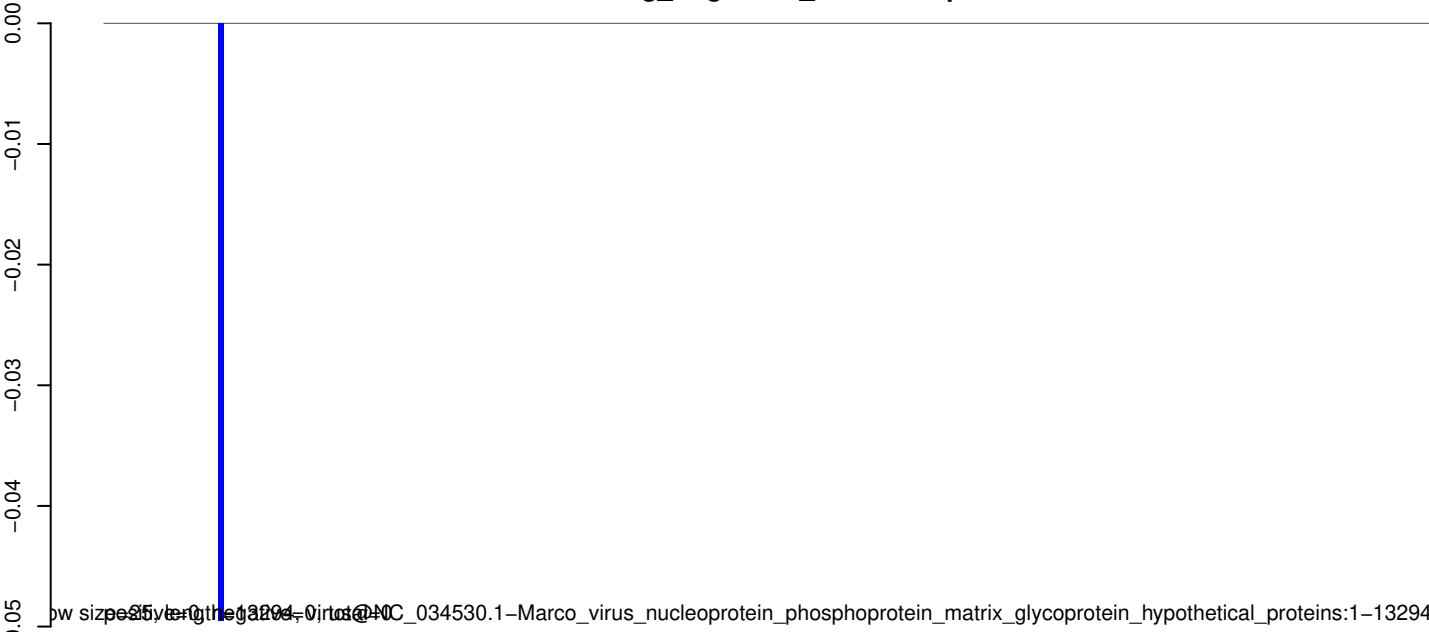
AeAeg_Aag2SINV_dsPiwi4.18_23.rep



AeAeg_Aag2SINV_dsPiwi4.24_35.rep



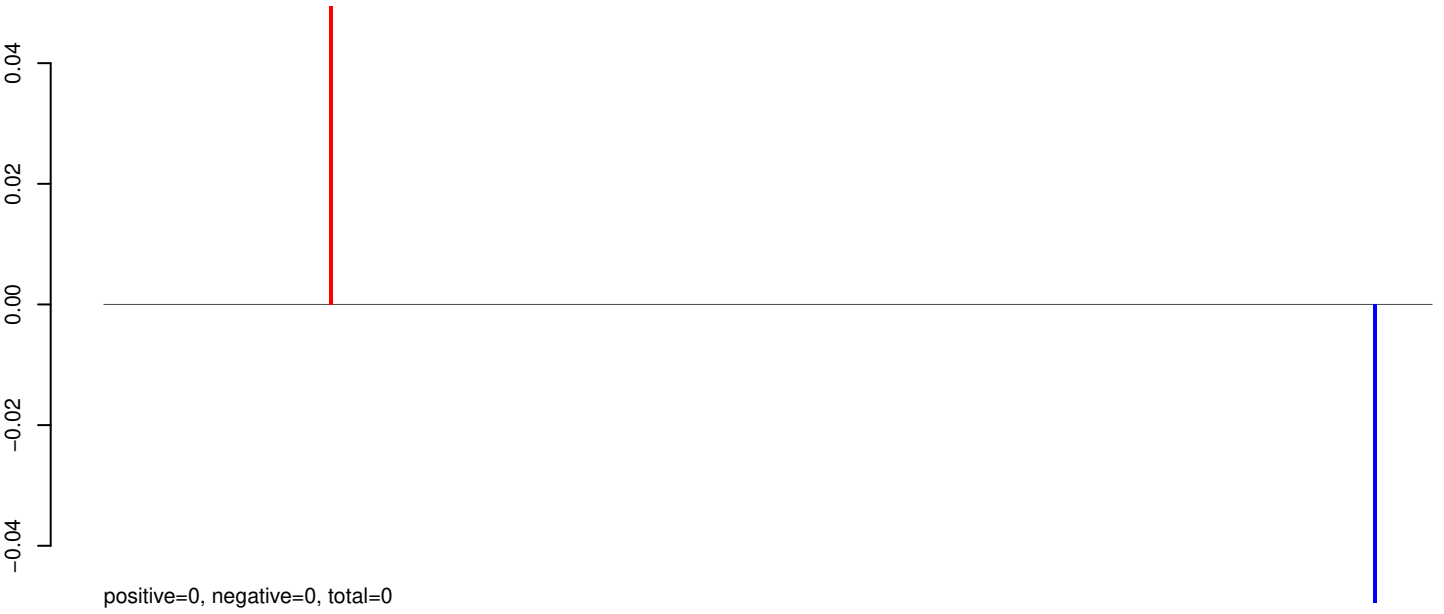
AeAeg_Aag2SINV_dsPiwi4.rep



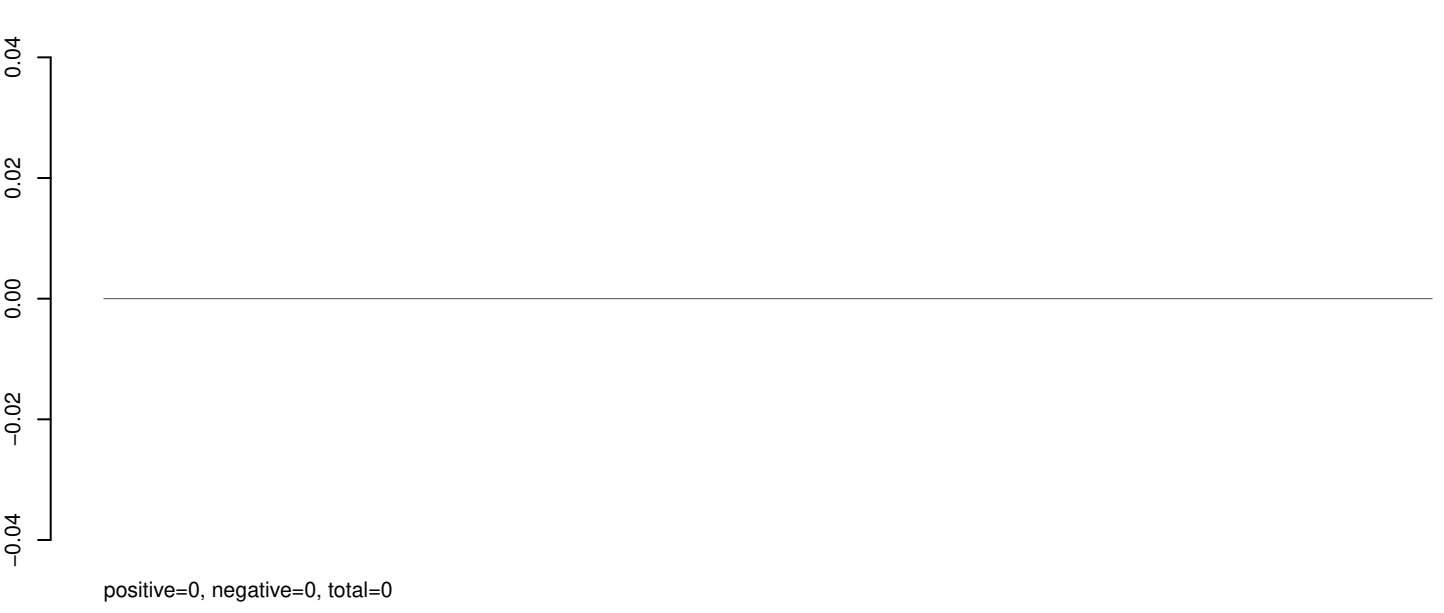
bow size=35, length=13294, int=0, NC_034530.1-Marco_virus_nucleoprotein_phosphoprotein_matrix_glycoprotein_hypothetical_proteins:1-13294

0 2000 4000 6000 8000 10000 12000

AeAeg_Aag2SINV_dsPiwi4.18_23.rep



AeAeg_Aag2SINV_dsPiwi4.24_35.rep

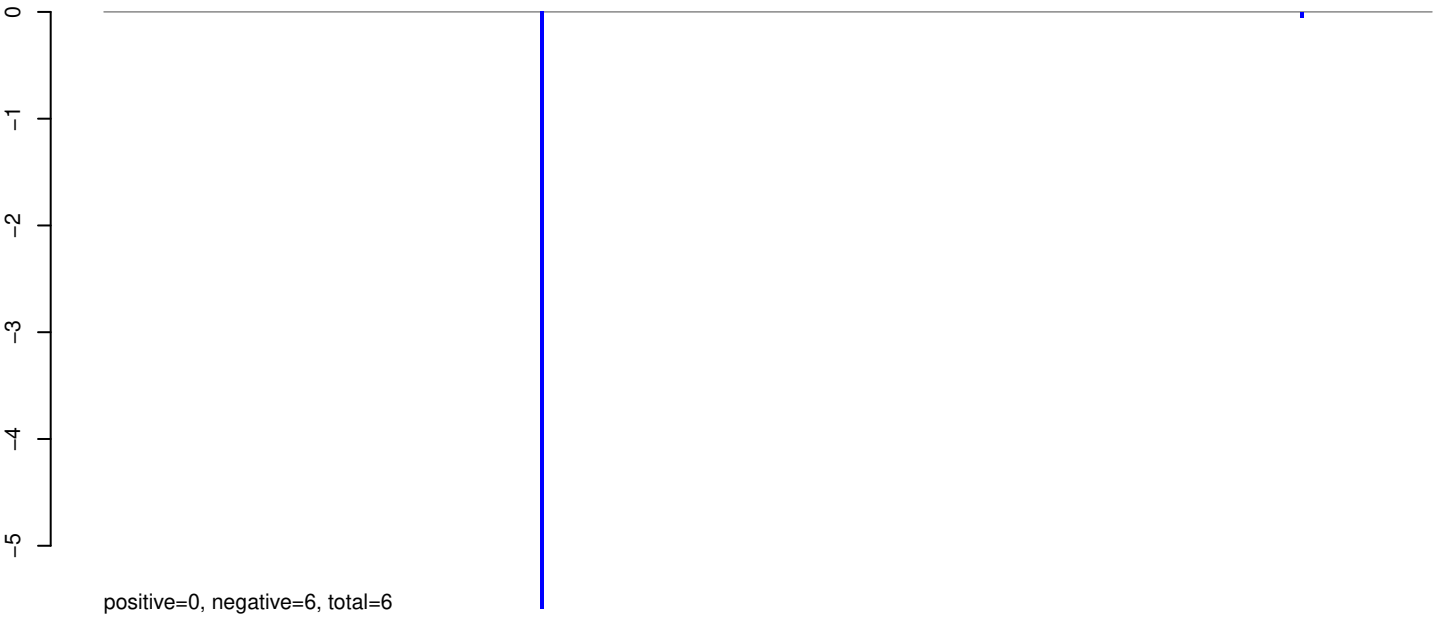


AeAeg_Aag2SINV_dsPiwi4.rep

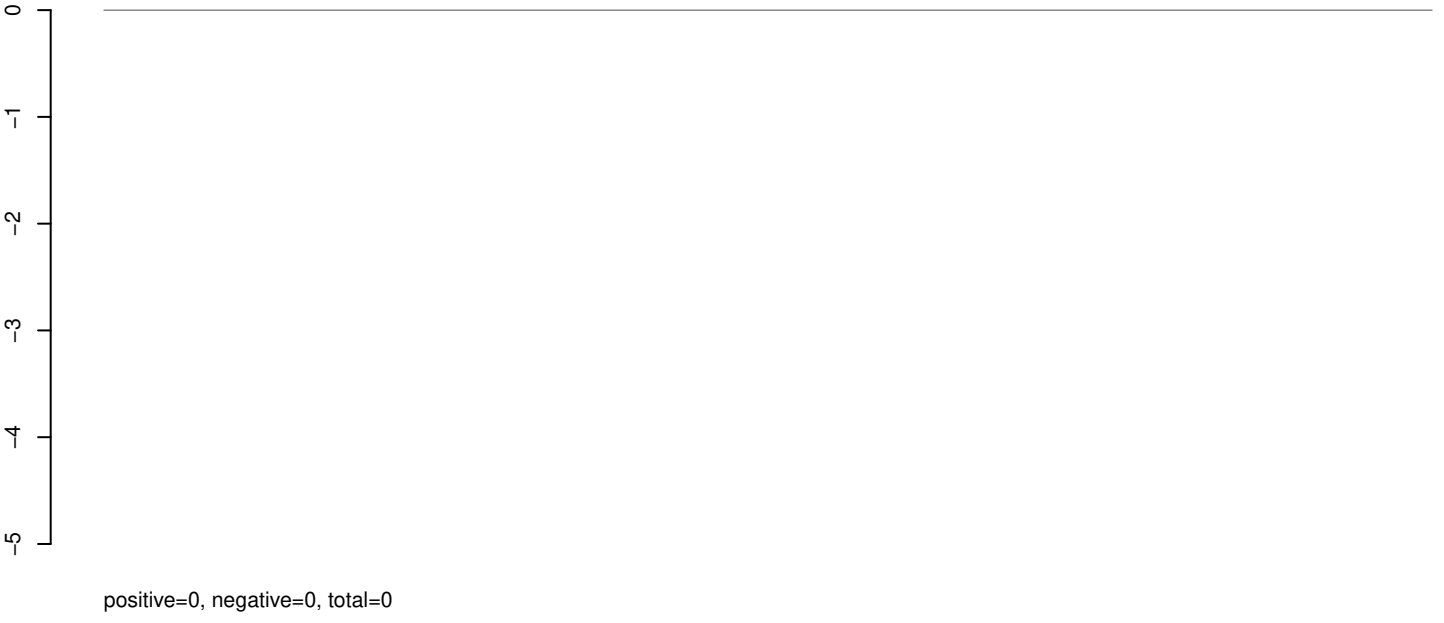


0 2000 4000 6000 8000 10000

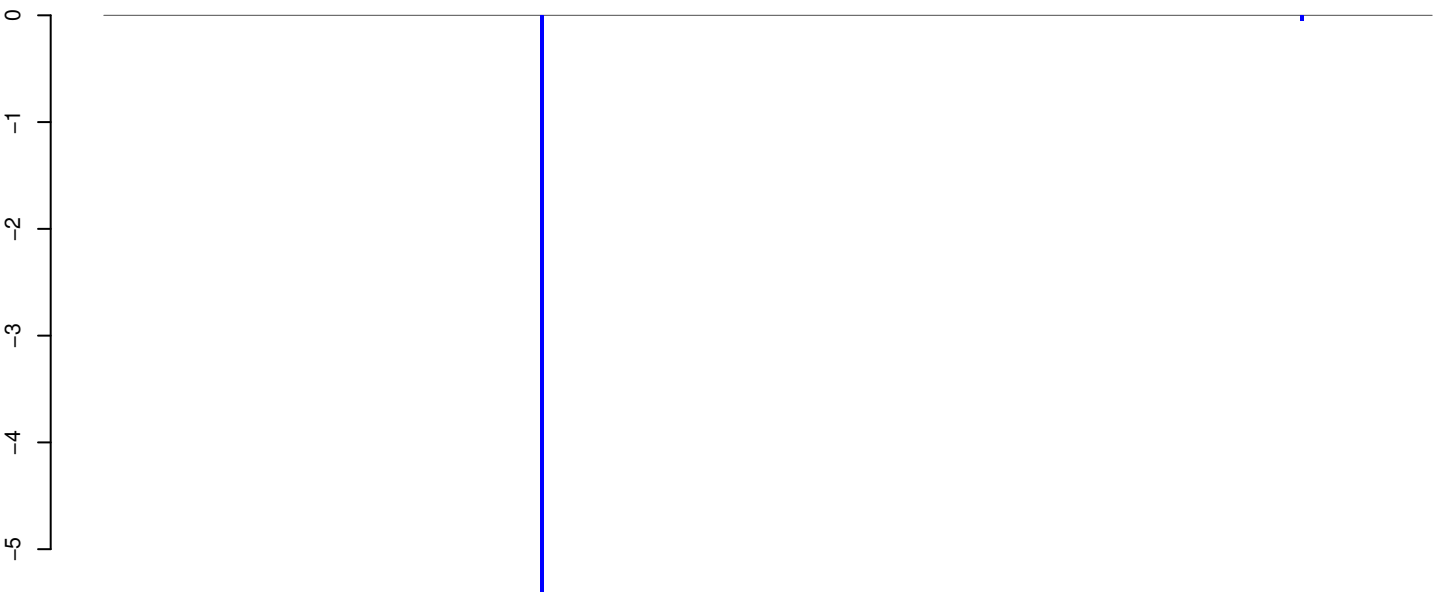
AeAeg_Aag2SINV_dsPiwi4.18_23.rep



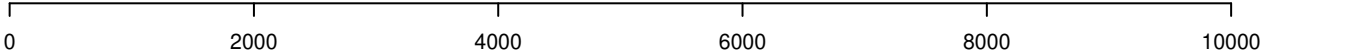
AeAeg_Aag2SINV_dsPiwi4.24_35.rep



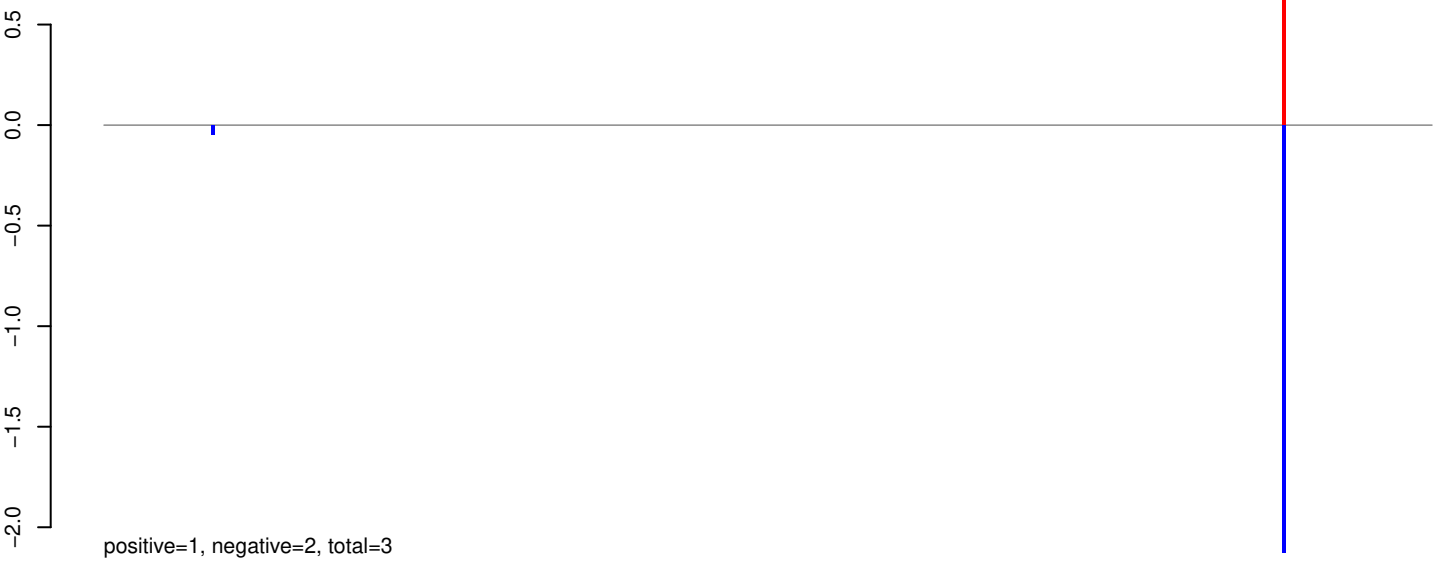
AeAeg_Aag2SINV_dsPiwi4.rep



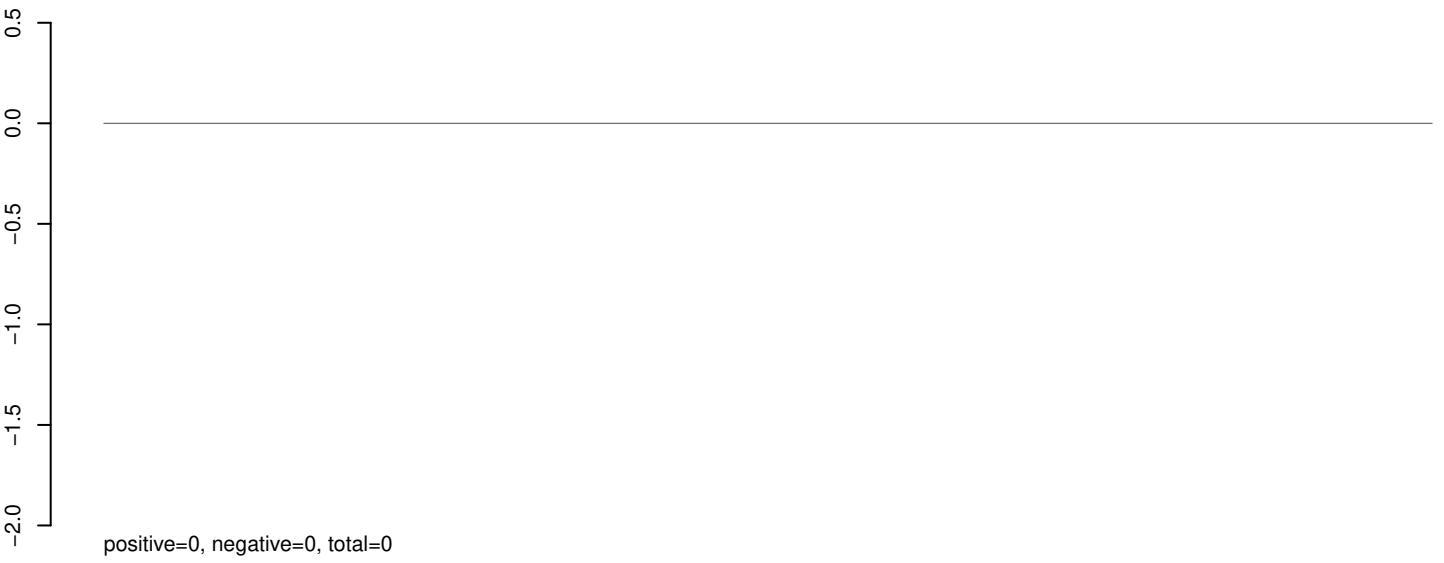
Window size=25, length=10869, virus@NC_031957.1-UNVERIFIED_Coot_Bay_virus_strain_EVG5-53:1-10869



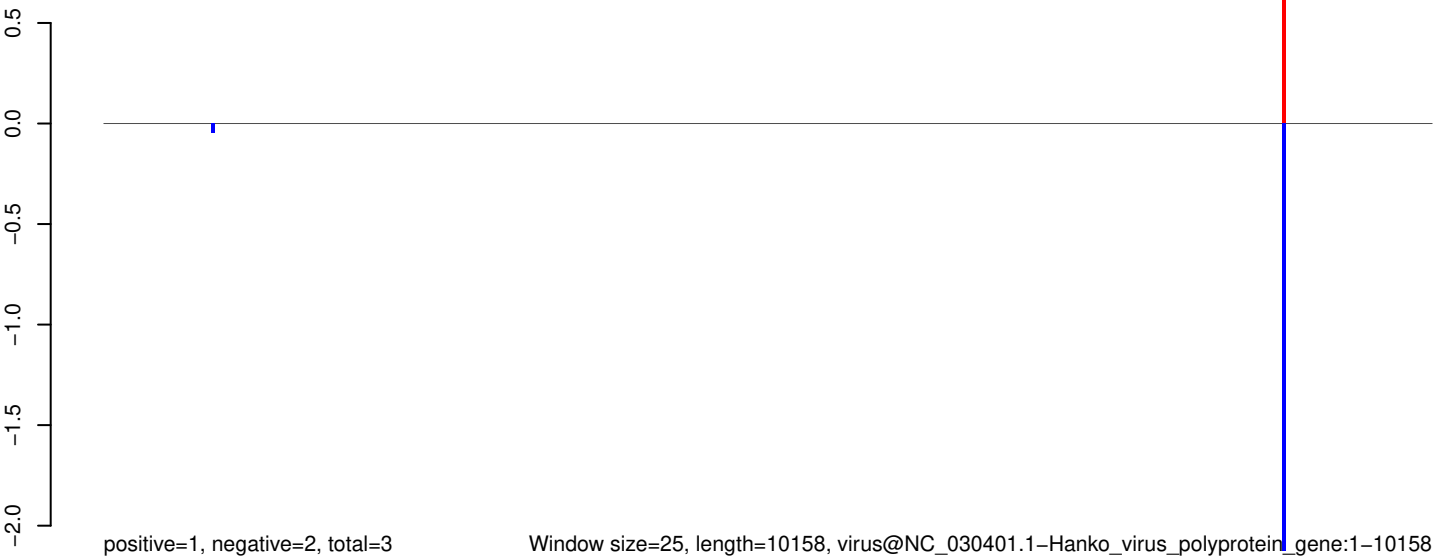
AeAeg_Aag2SINV_dsPiwi4.18_23.rep



AeAeg_Aag2SINV_dsPiwi4.24_35.rep



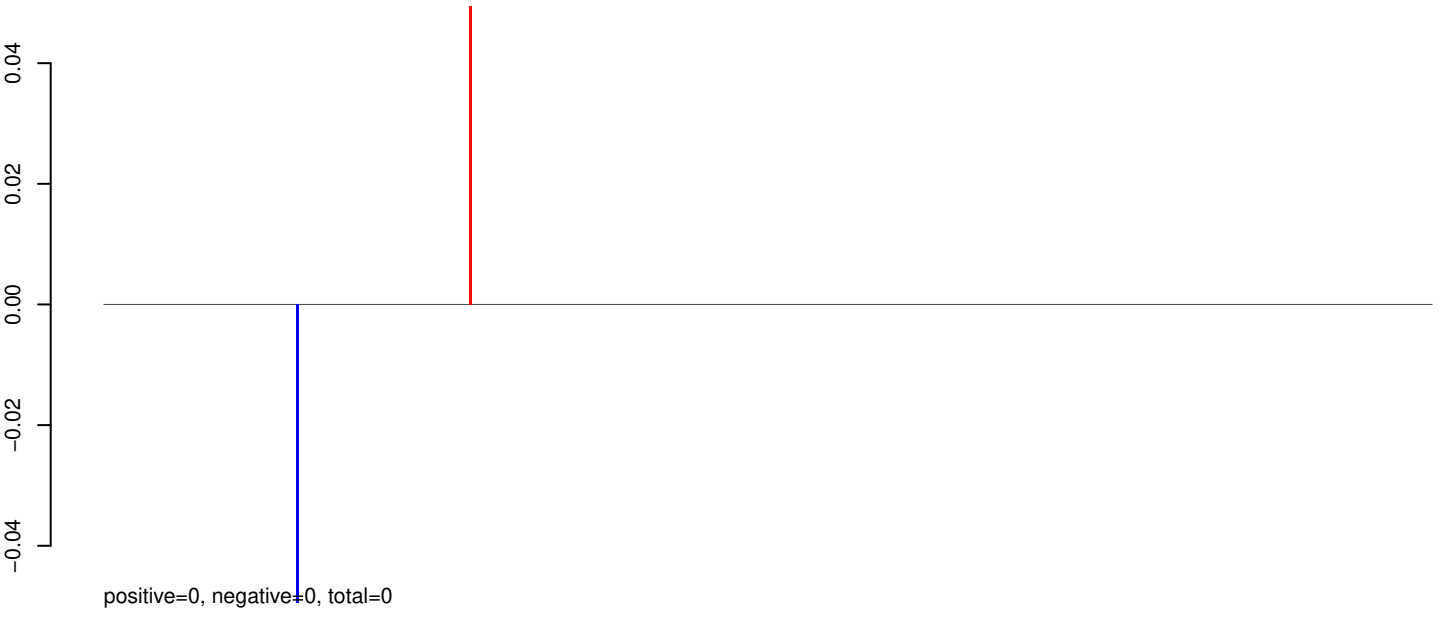
AeAeg_Aag2SINV_dsPiwi4.rep



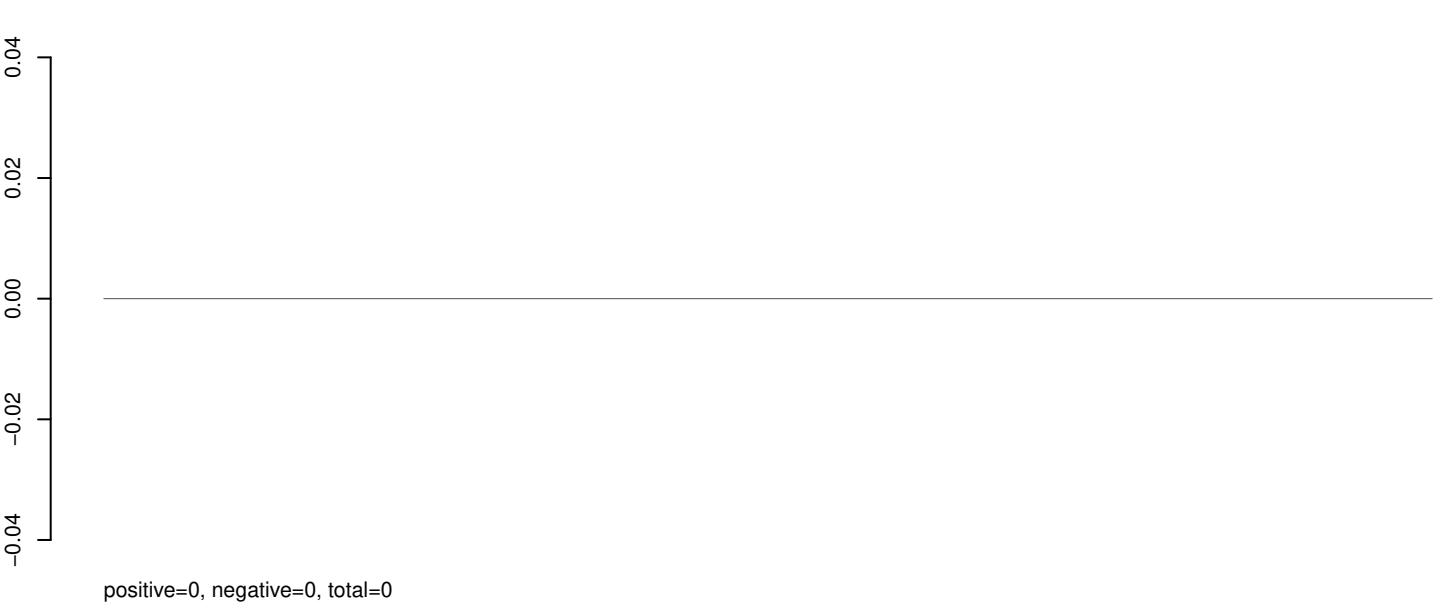
Window size=25, length=10158, virus@NC_030401.1-Hanko_virus_polyprotein_gene:1-10158

0 2000 4000 6000 8000 10000

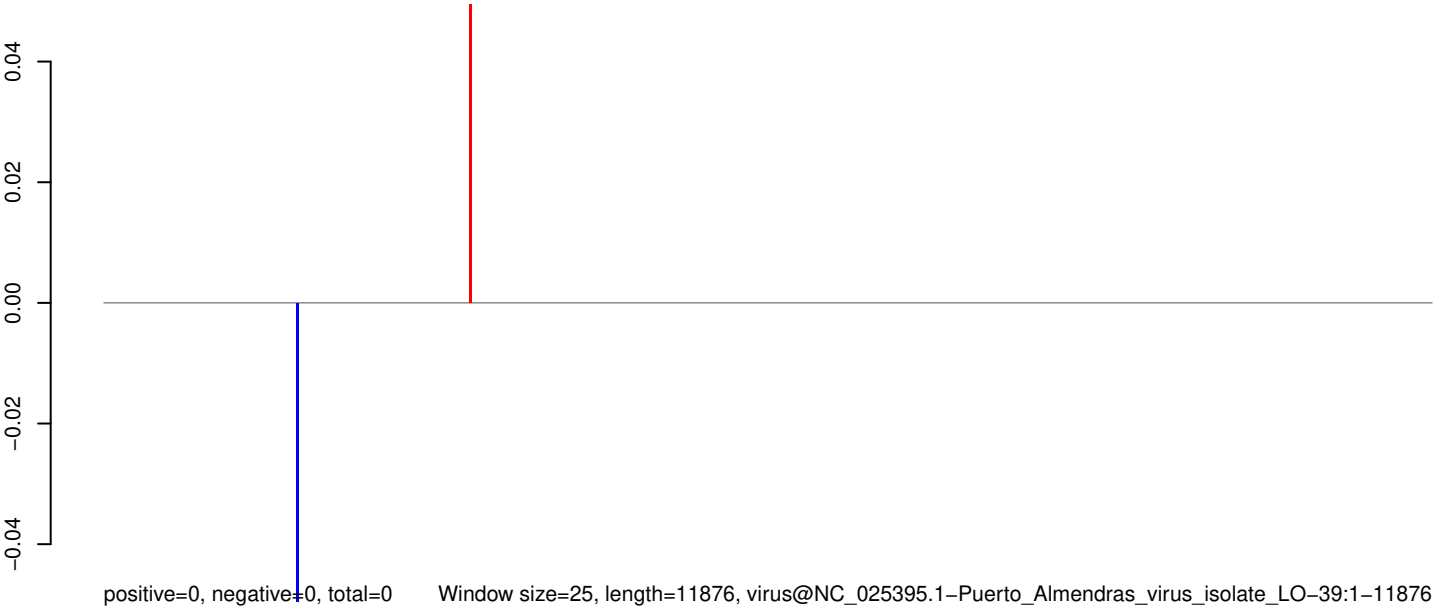
AeAeg_Aag2SINV_dsPiwi4.18_23.rep



AeAeg_Aag2SINV_dsPiwi4.24_35.rep



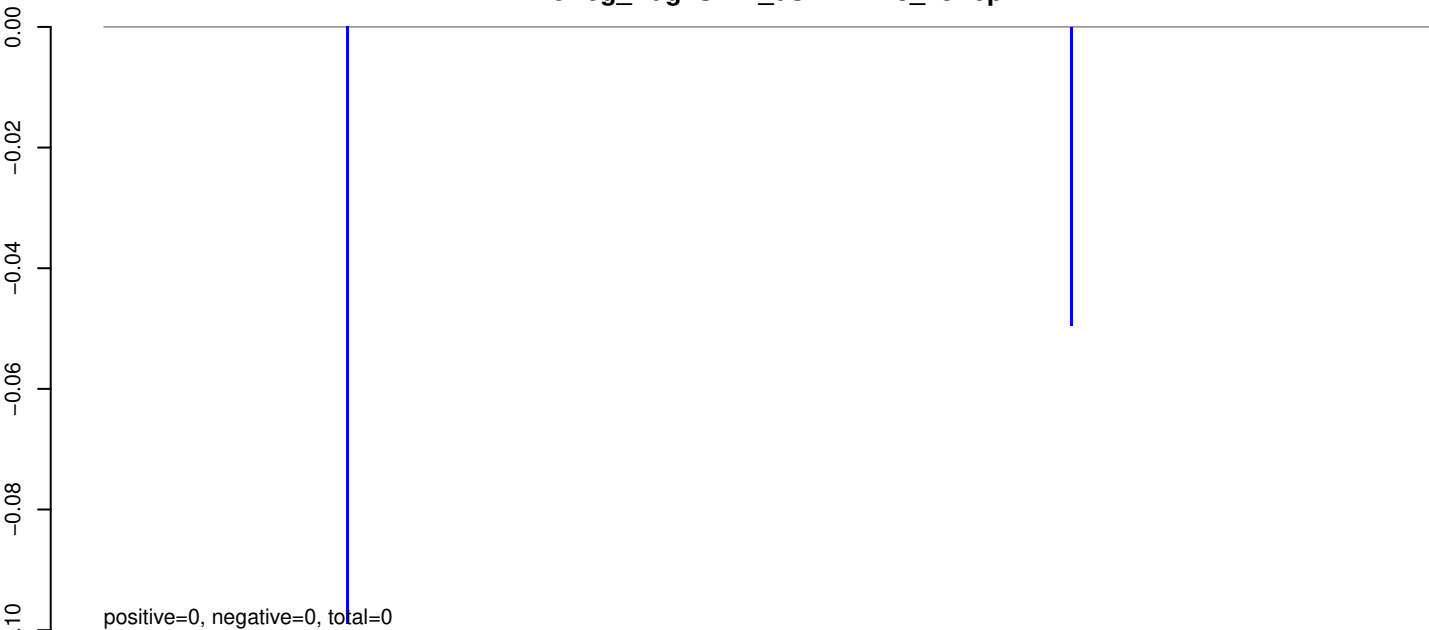
AeAeg_Aag2SINV_dsPiwi4.rep



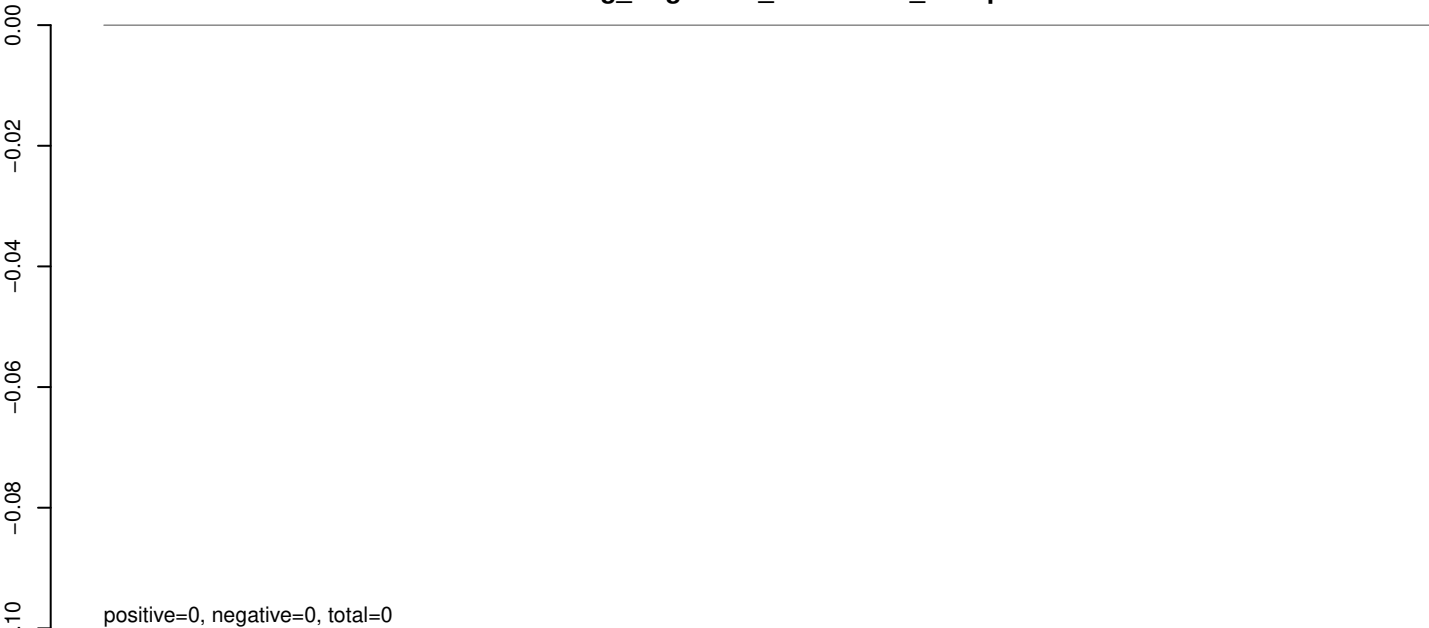
Window size=25, length=11876, virus@NC_025395.1-Puerto_Almendras_virus_isolate_LO-39:1-11876

0 2000 4000 6000 8000 10000 12000

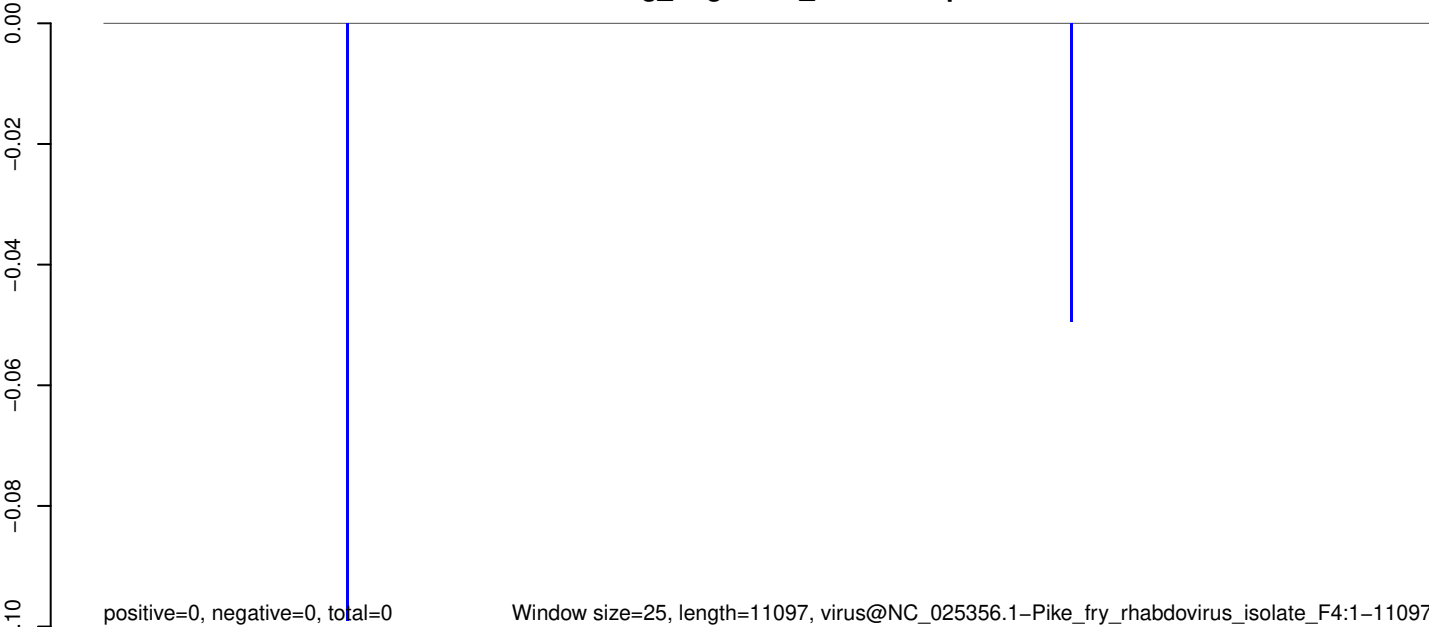
AeAeg_Aag2SINV_dsPiwi4.18_23.rep



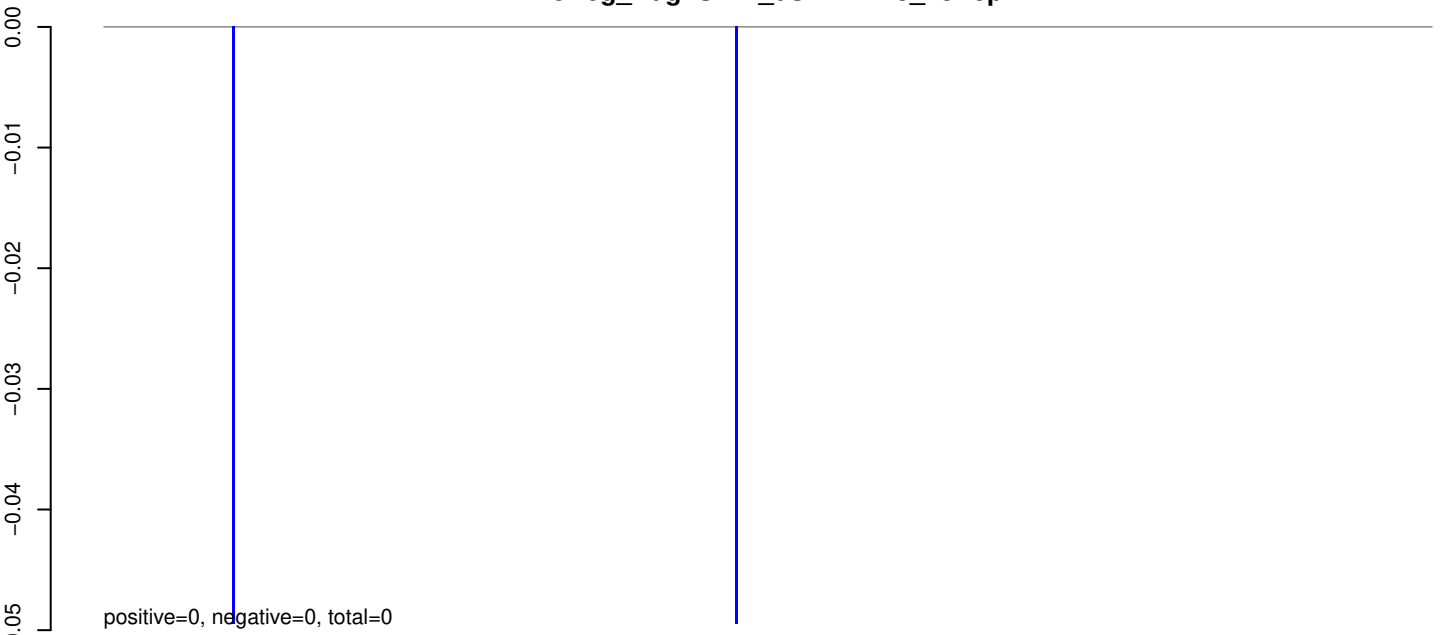
AeAeg_Aag2SINV_dsPiwi4.24_35.rep



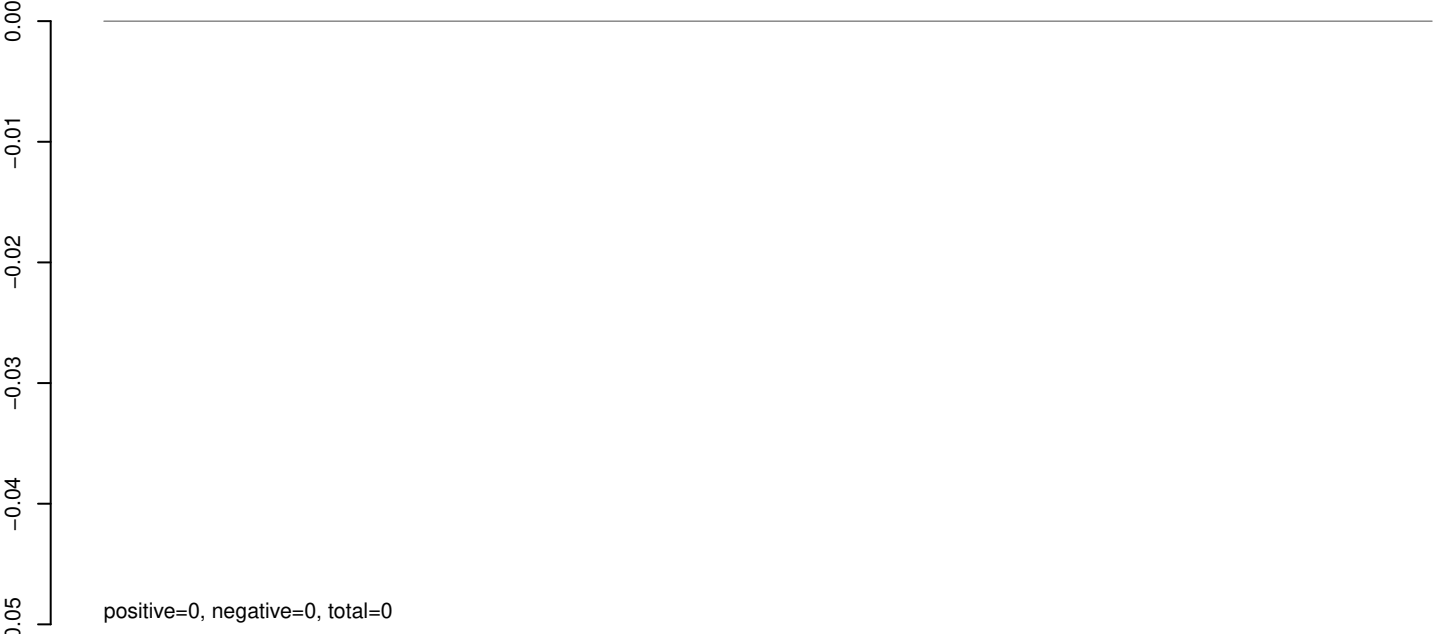
AeAeg_Aag2SINV_dsPiwi4.rep



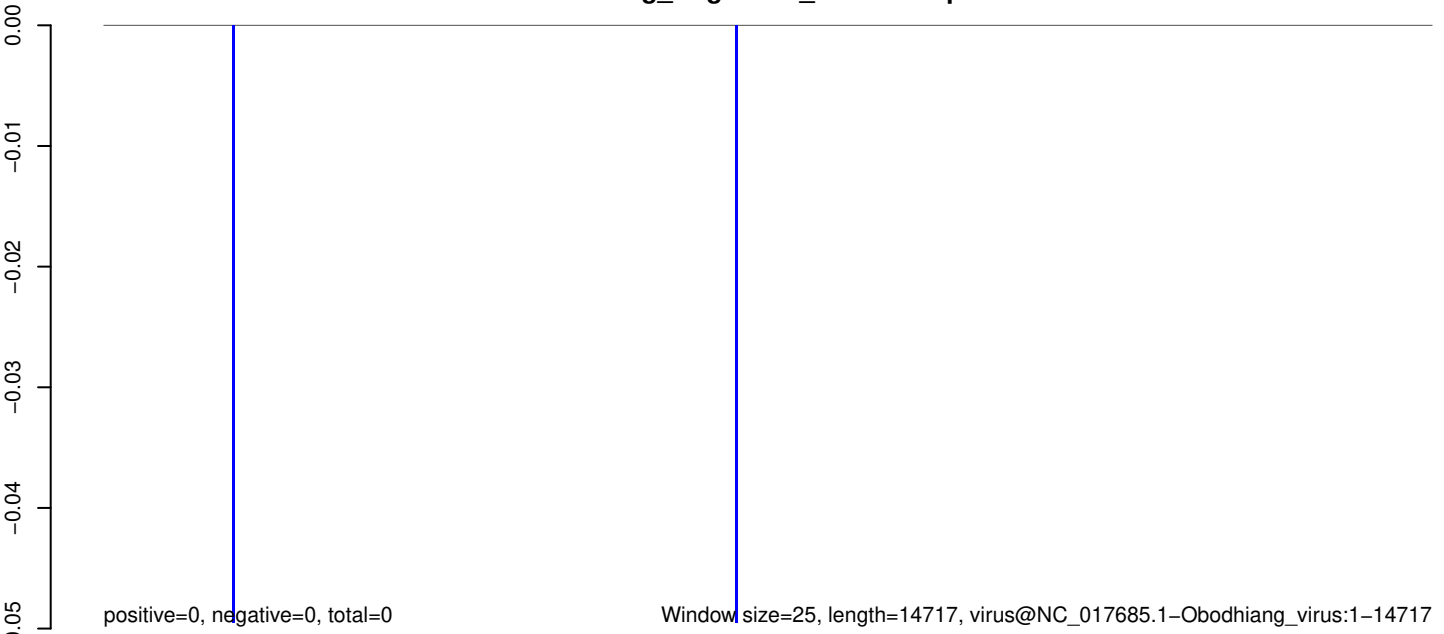
AeAeg_Aag2SINV_dsPiwi4.18_23.rep



AeAeg_Aag2SINV_dsPiwi4.24_35.rep

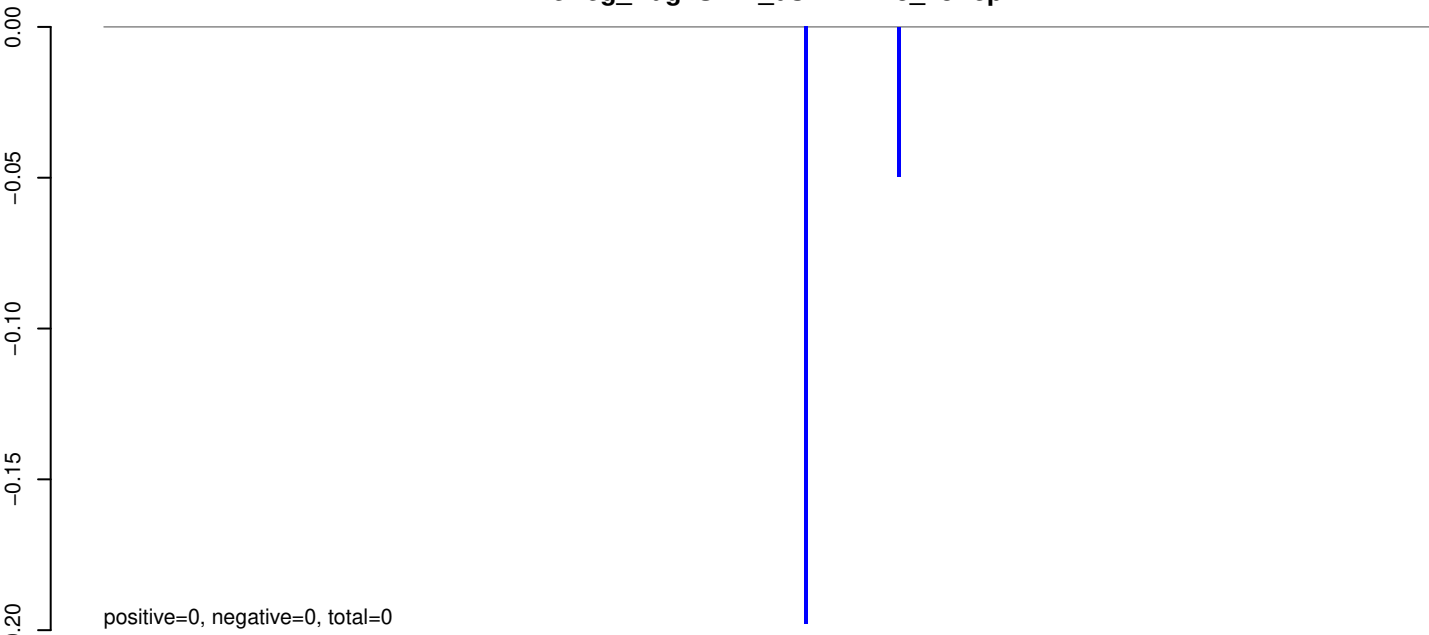


AeAeg_Aag2SINV_dsPiwi4.rep

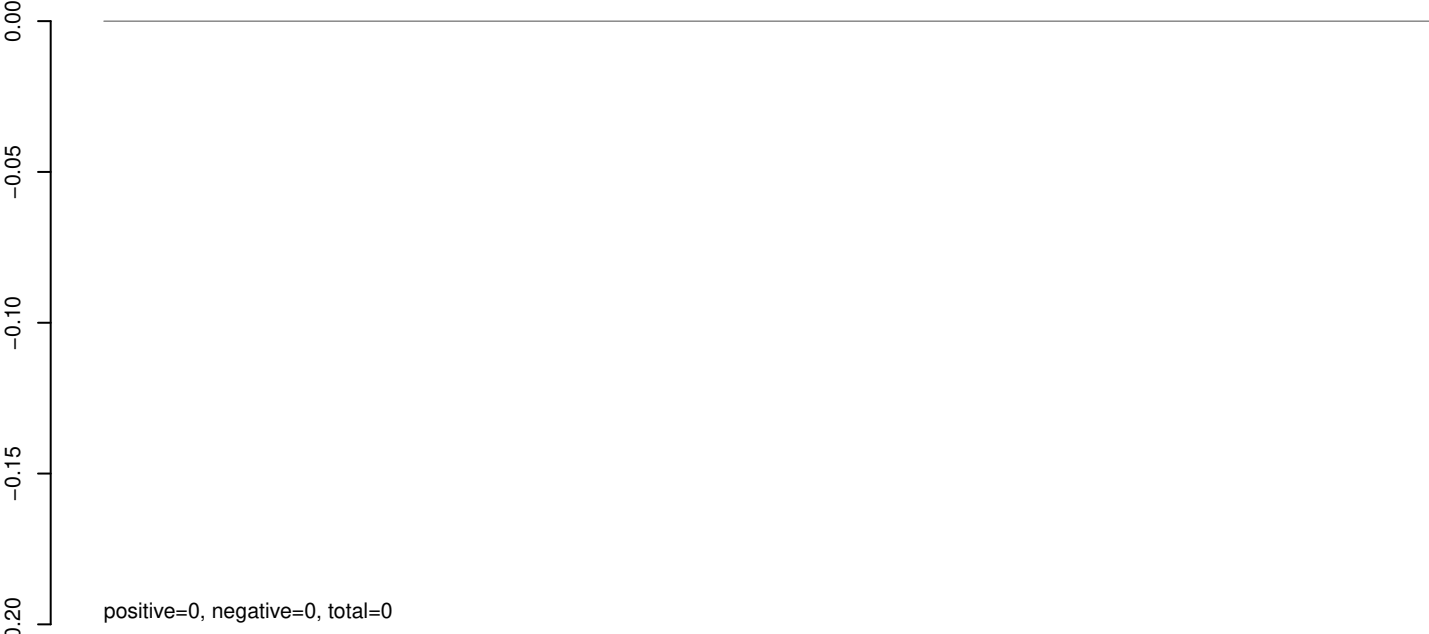


Window size=25, length=14717, virus@NC_017685.1-Obodhiang_virus:1-14717

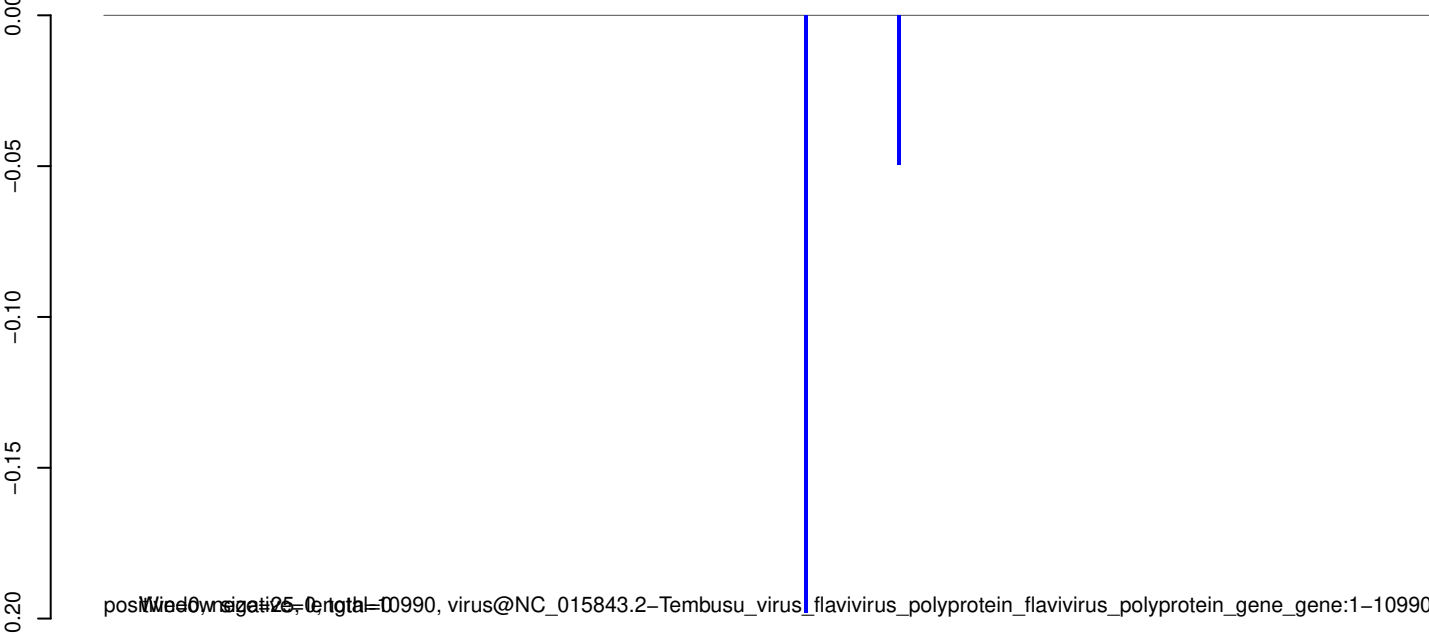
AeAeg_Aag2SINV_dsPiwi4.18_23.rep



AeAeg_Aag2SINV_dsPiwi4.24_35.rep



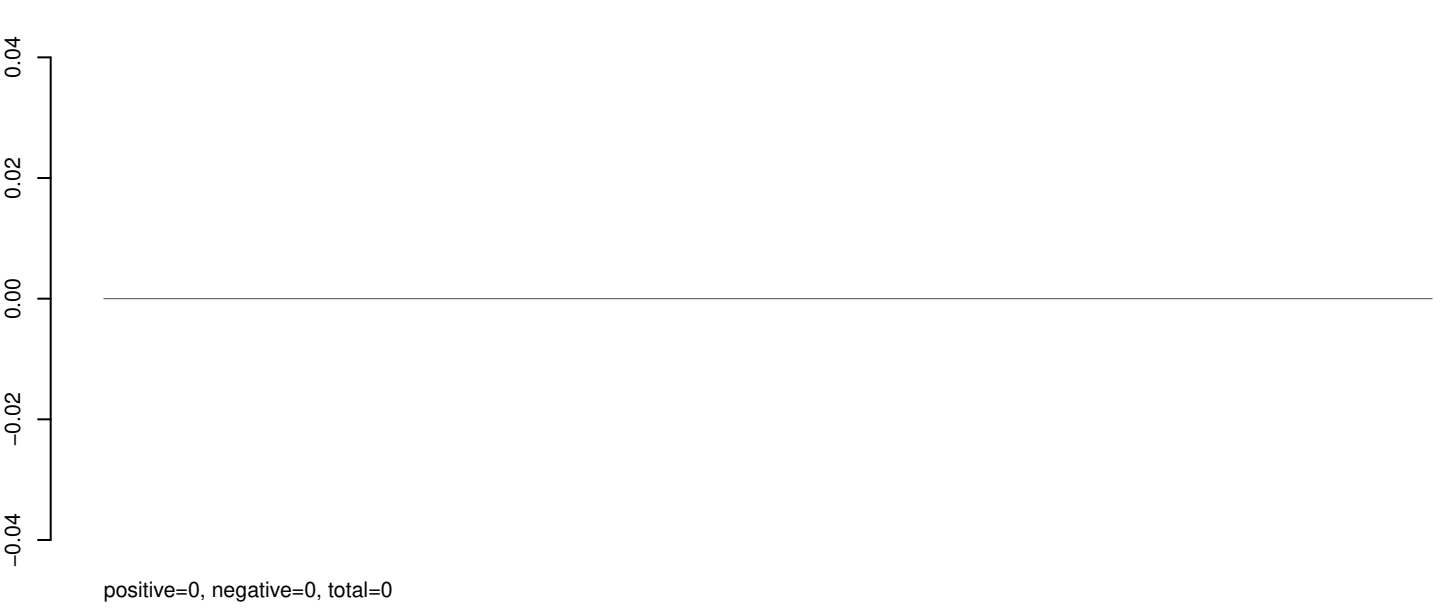
AeAeg_Aag2SINV_dsPiwi4.rep



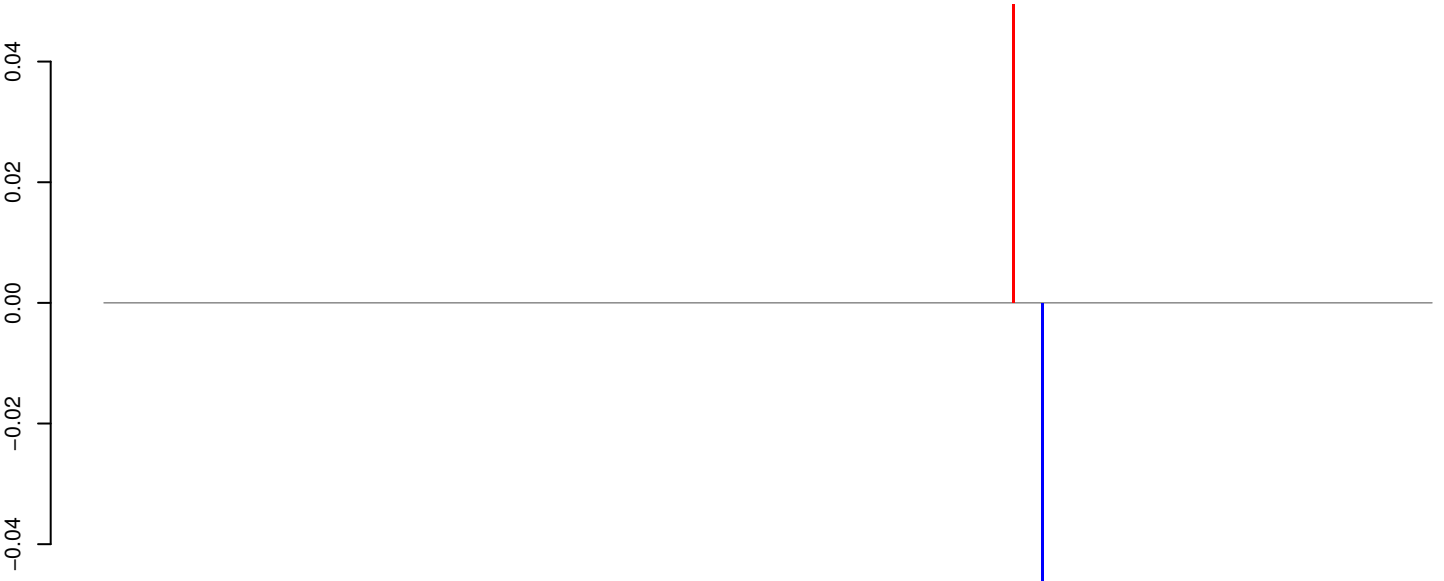
AeAeg_Aag2SINV_dsPiwi4.18_23.rep



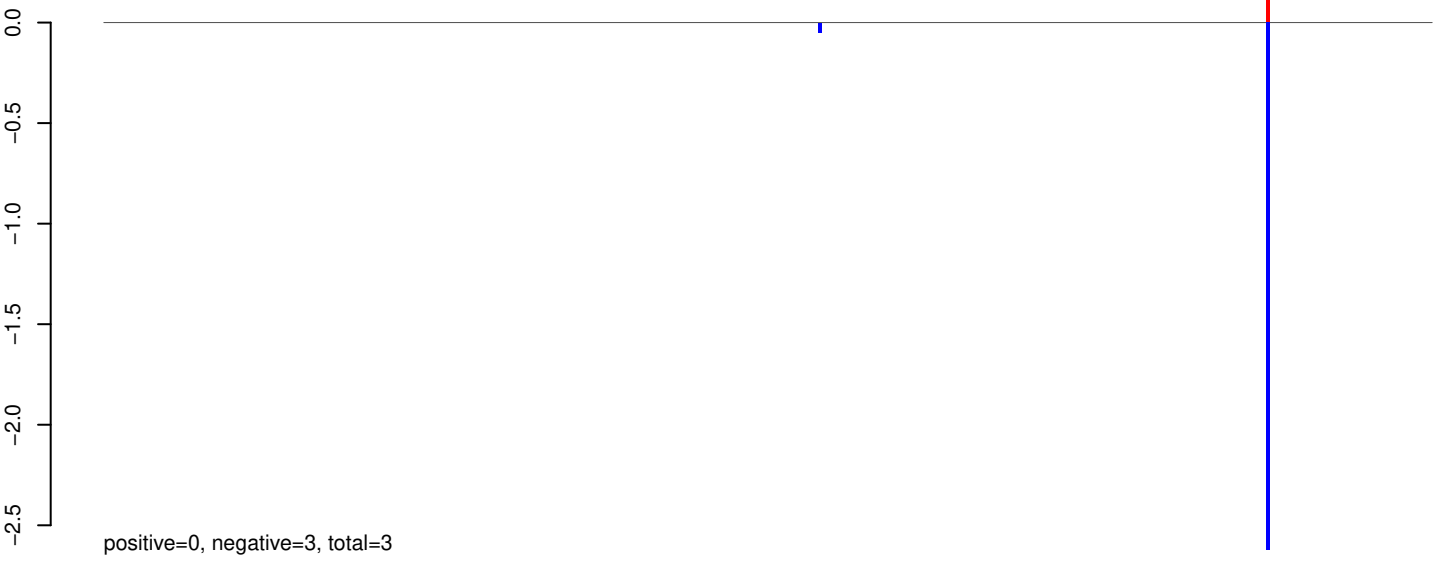
AeAeg_Aag2SINV_dsPiwi4.24_35.rep



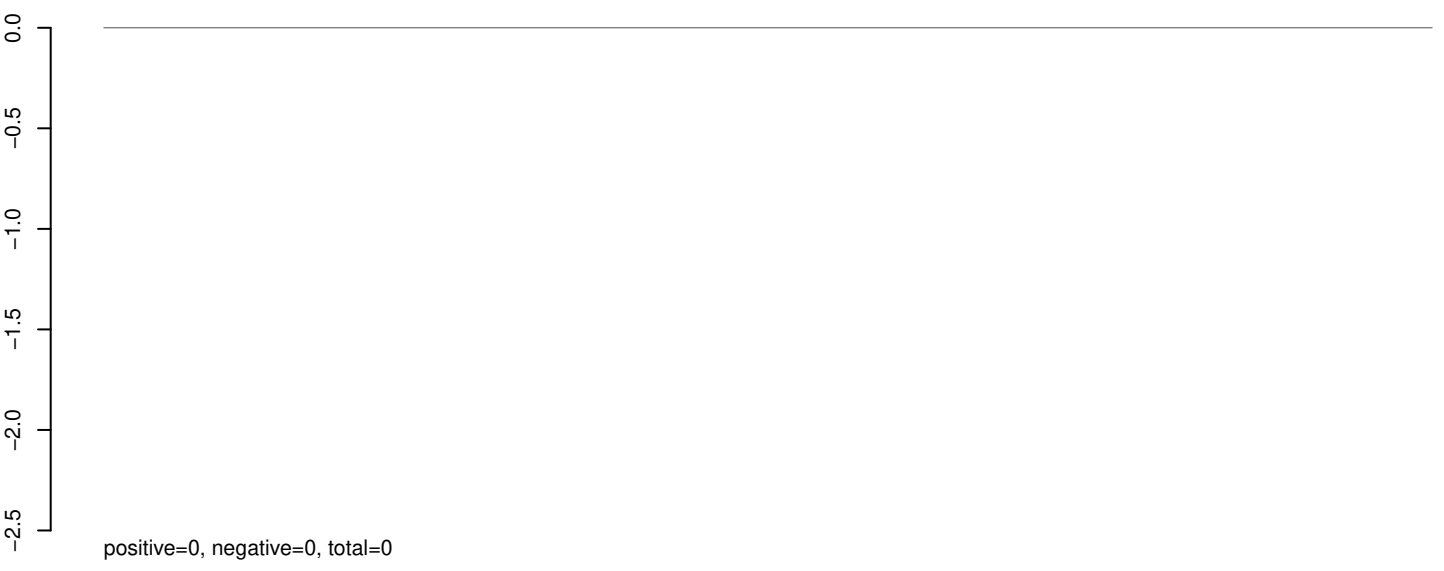
AeAeg_Aag2SINV_dsPiwi4.rep



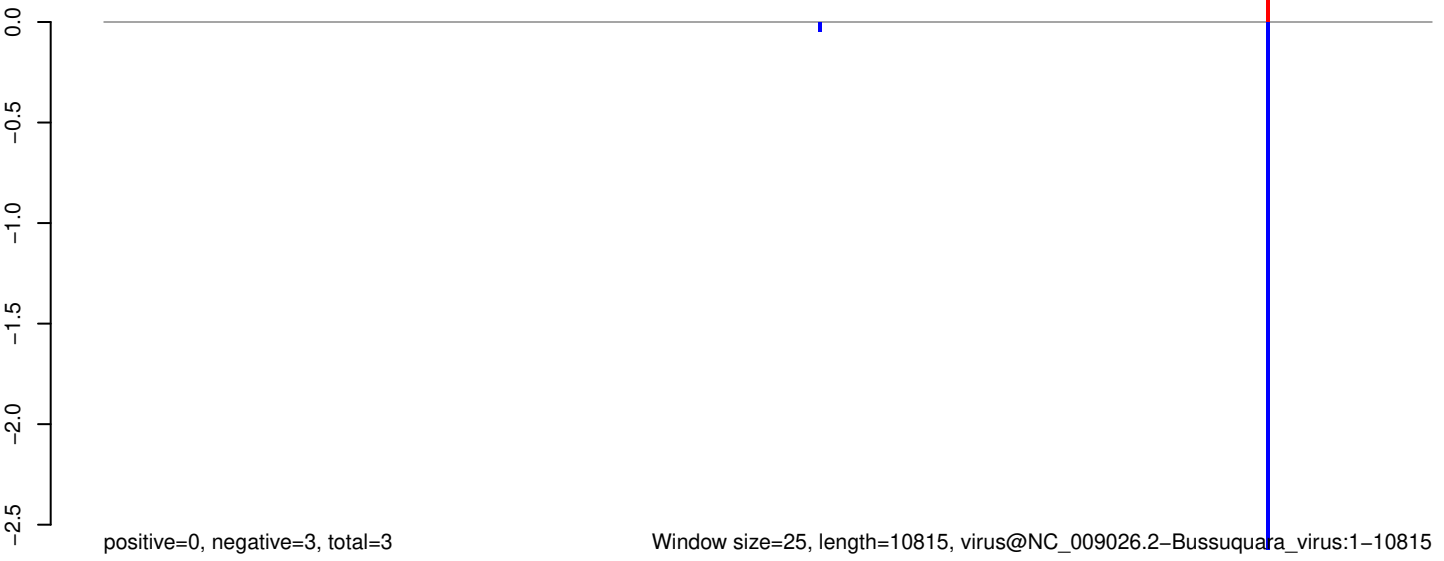
AeAeg_Aag2SINV_dsPiwi4.18_23.rep



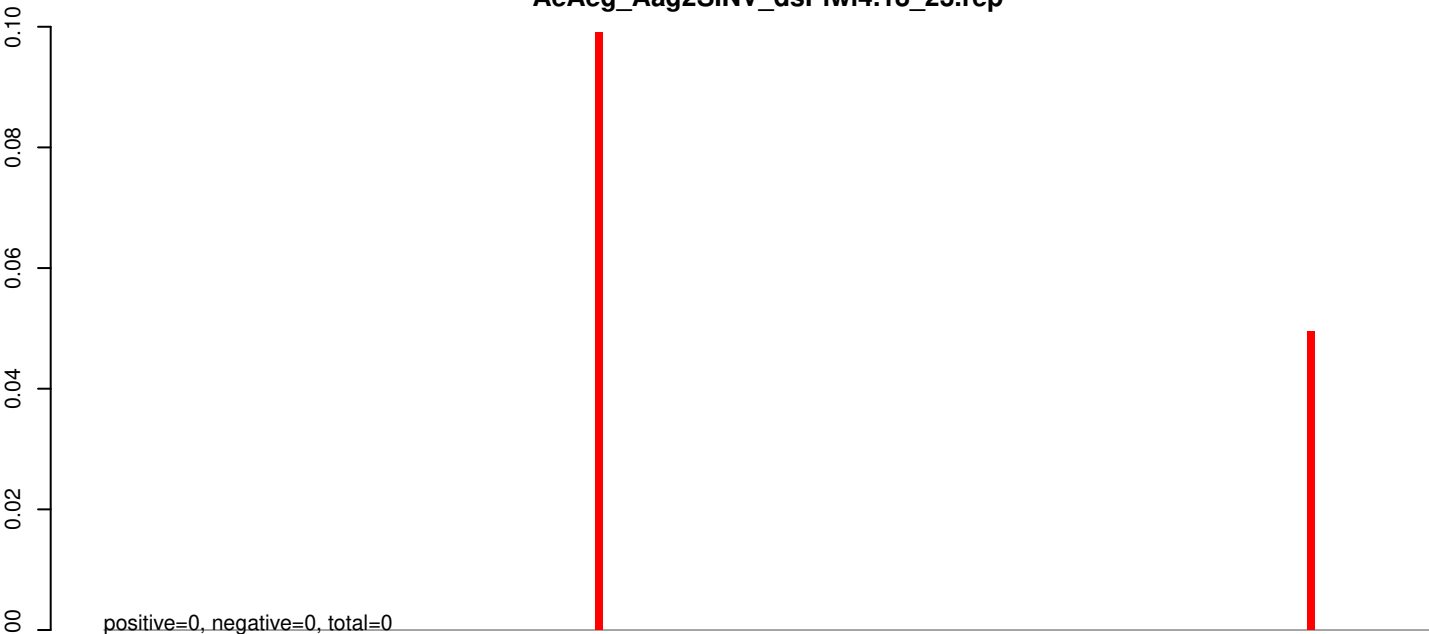
AeAeg_Aag2SINV_dsPiwi4.24_35.rep



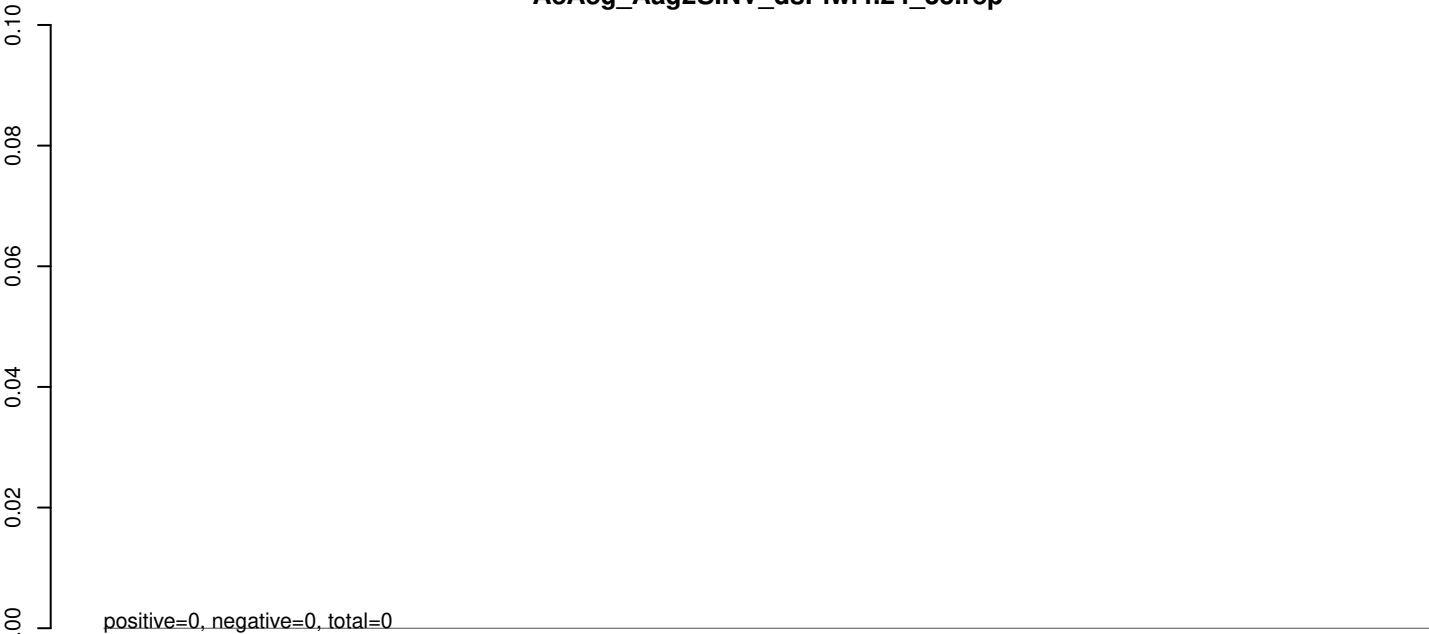
AeAeg_Aag2SINV_dsPiwi4.rep



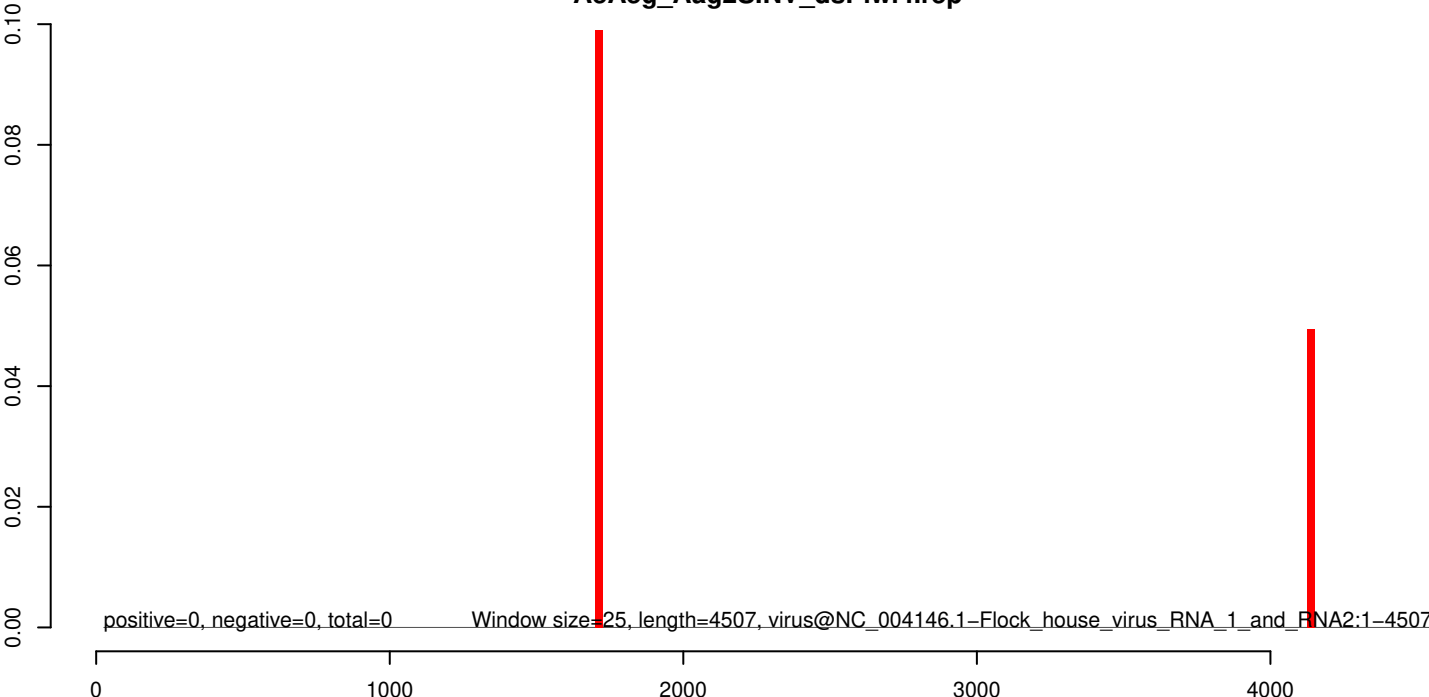
AeAeg_Aag2SINV_dsPiwi4.18_23.rep



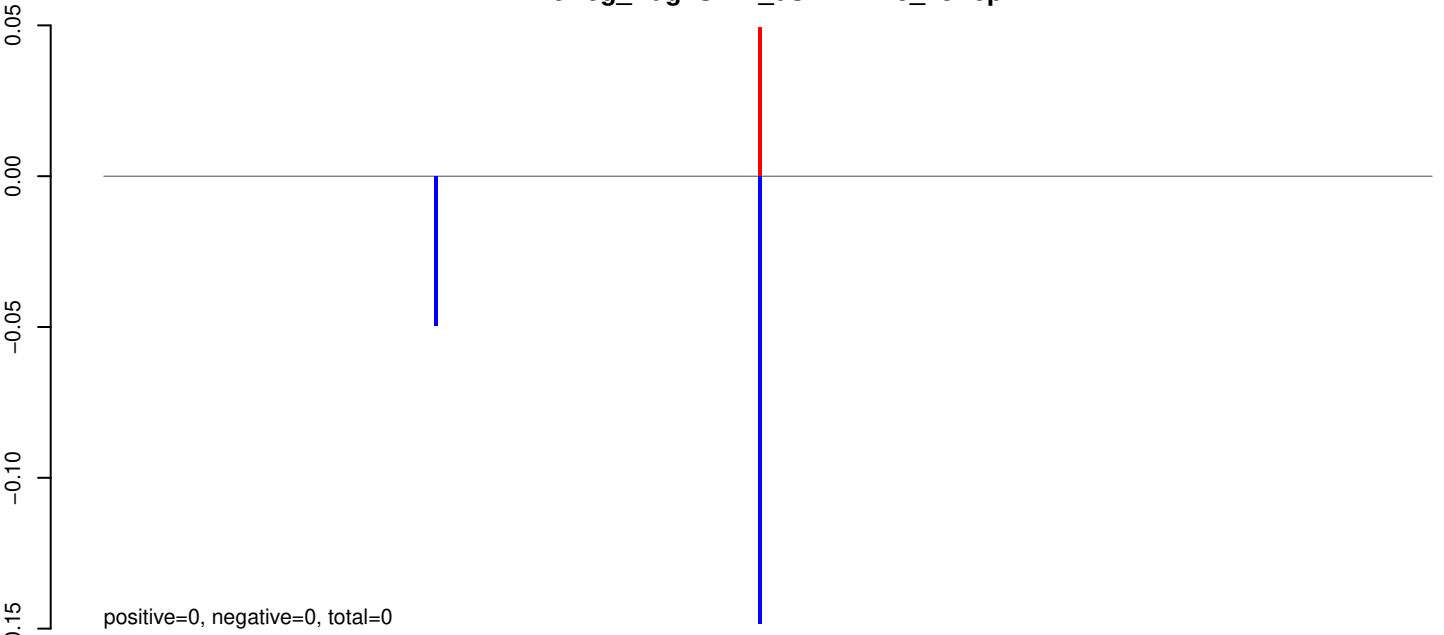
AeAeg_Aag2SINV_dsPiwi4.24_35.rep



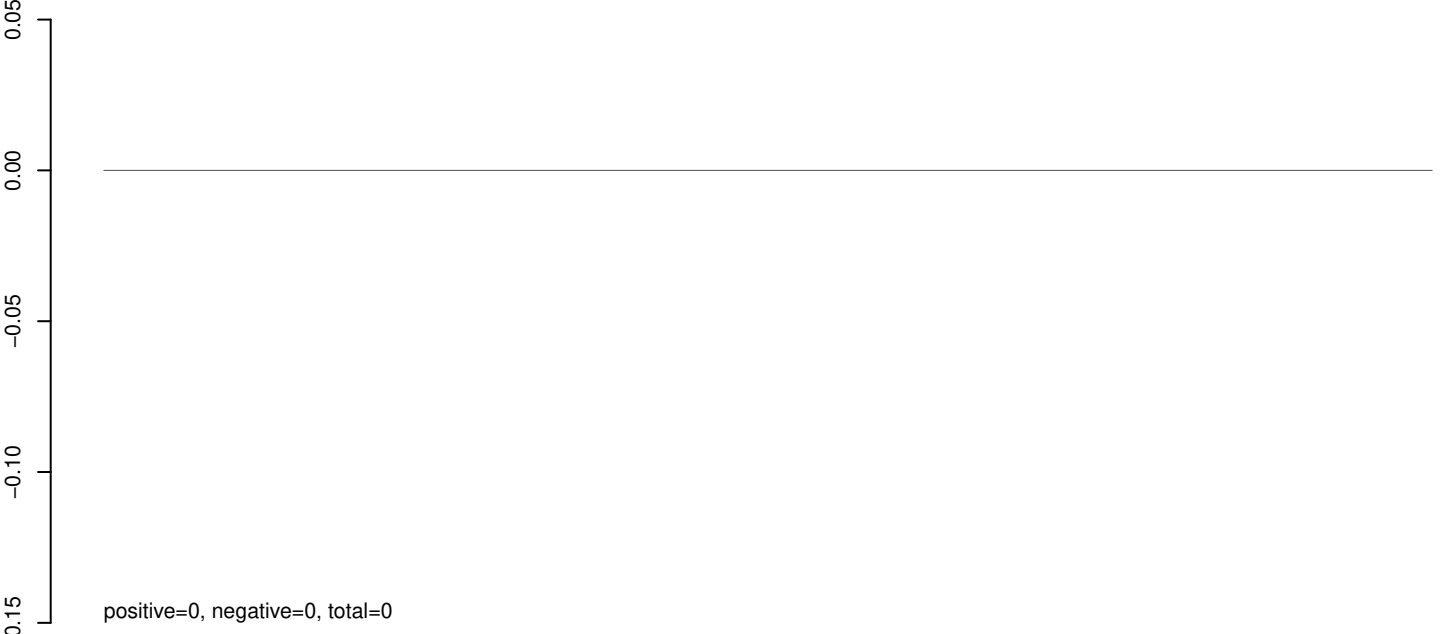
AeAeg_Aag2SINV_dsPiwi4.rep



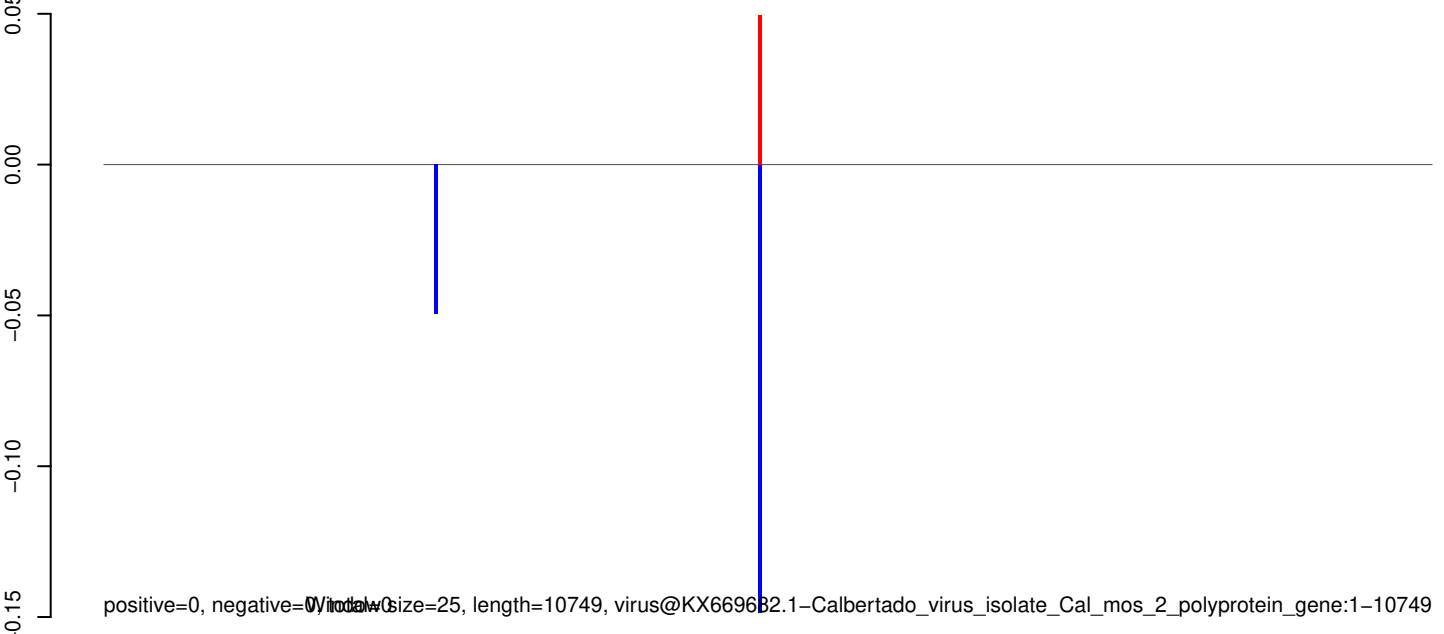
AeAeg_Aag2SINV_dsPiwi4.18_23.rep



AeAeg_Aag2SINV_dsPiwi4.24_35.rep



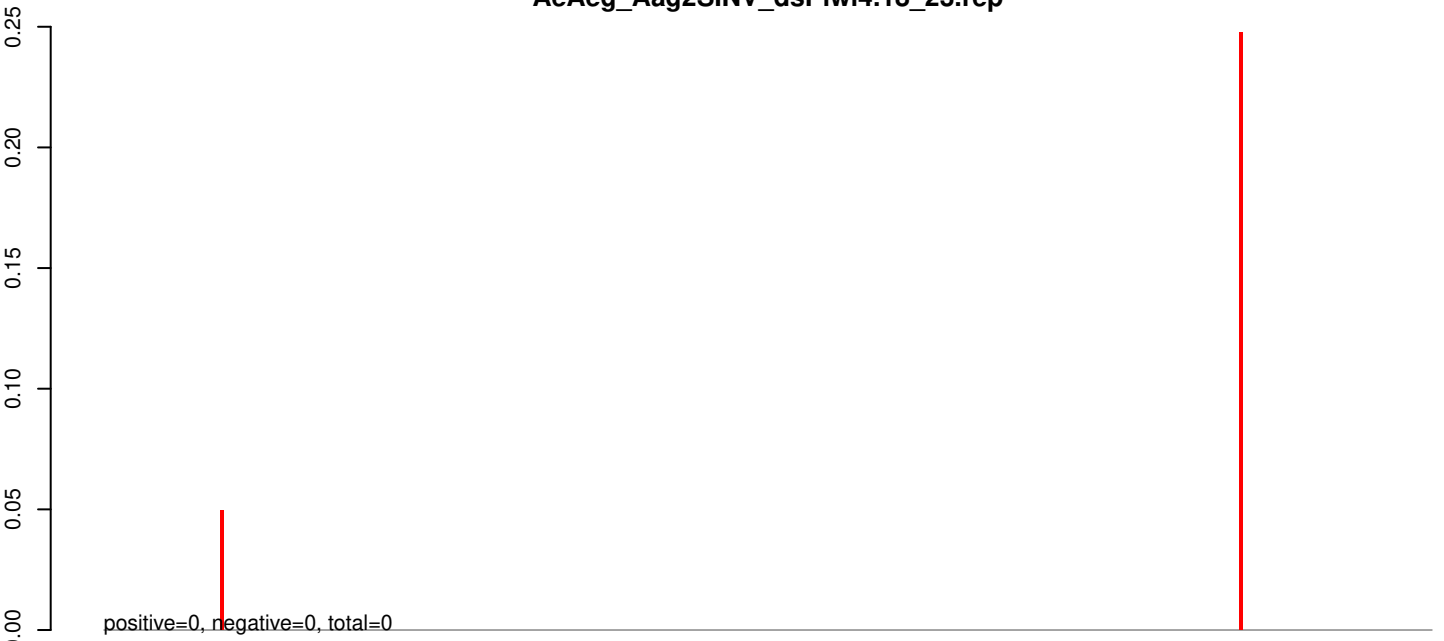
AeAeg_Aag2SINV_dsPiwi4.rep



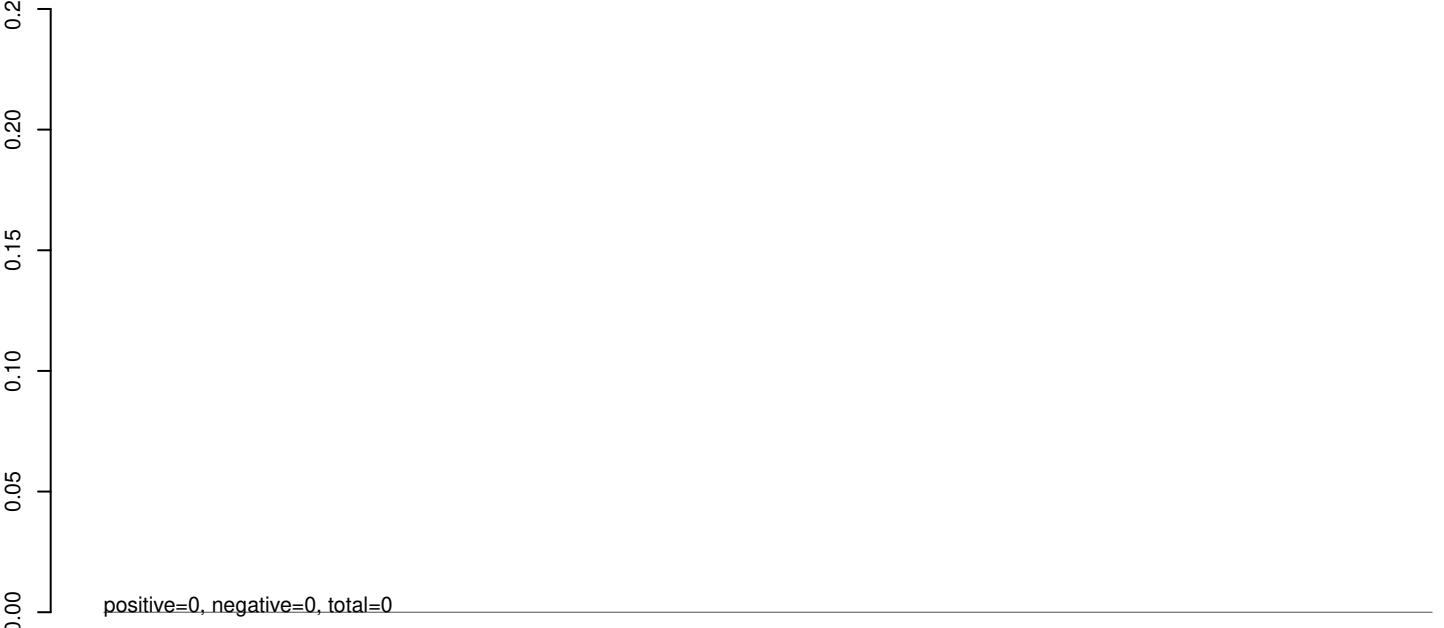
Window size=25, length=10749, virus@KX669682.1-Calbertado_virus_isolate_Cal_mos_2_polyprotein_gene:1-10749

0 2000 4000 6000 8000 10000

AeAeg_Aag2SINV_dsPiwi4.18_23.rep



AeAeg_Aag2SINV_dsPiwi4.24_35.rep

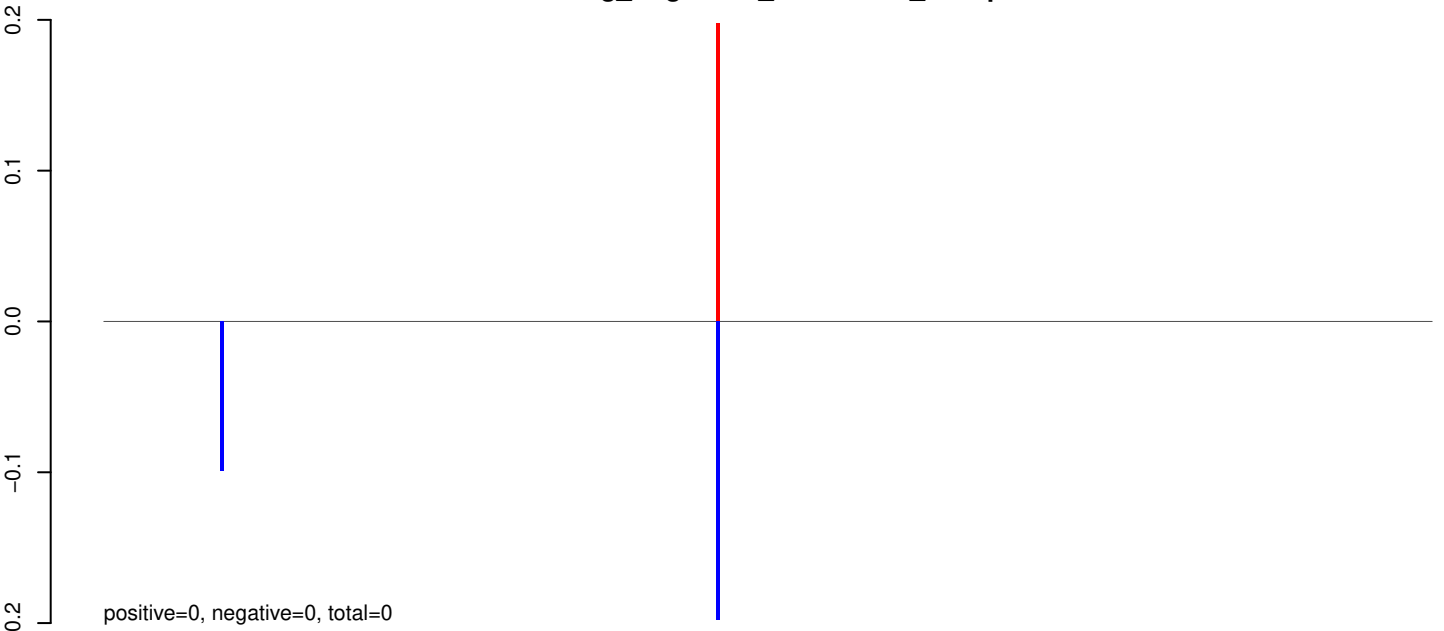


AeAeg_Aag2SINV_dsPiwi4.rep

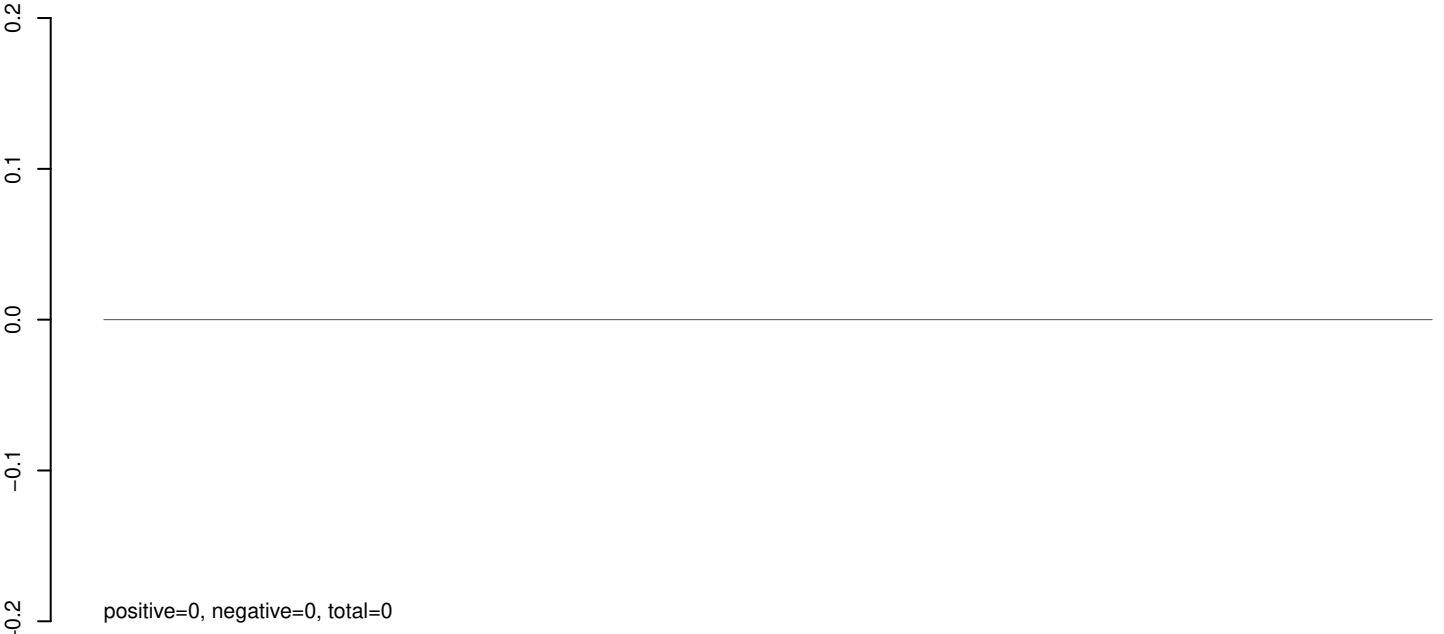


0 2000 4000 6000 8000 10000

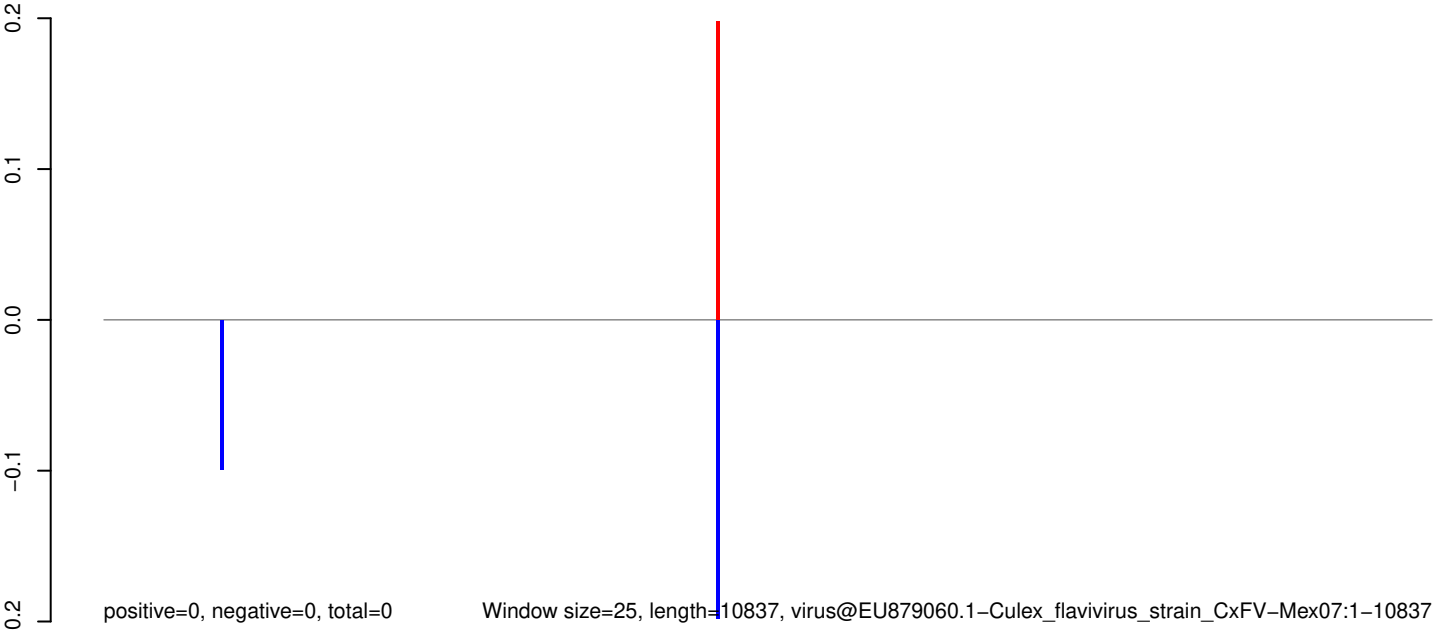
AeAeg_Aag2SINV_dsPiwi4.18_23.rep



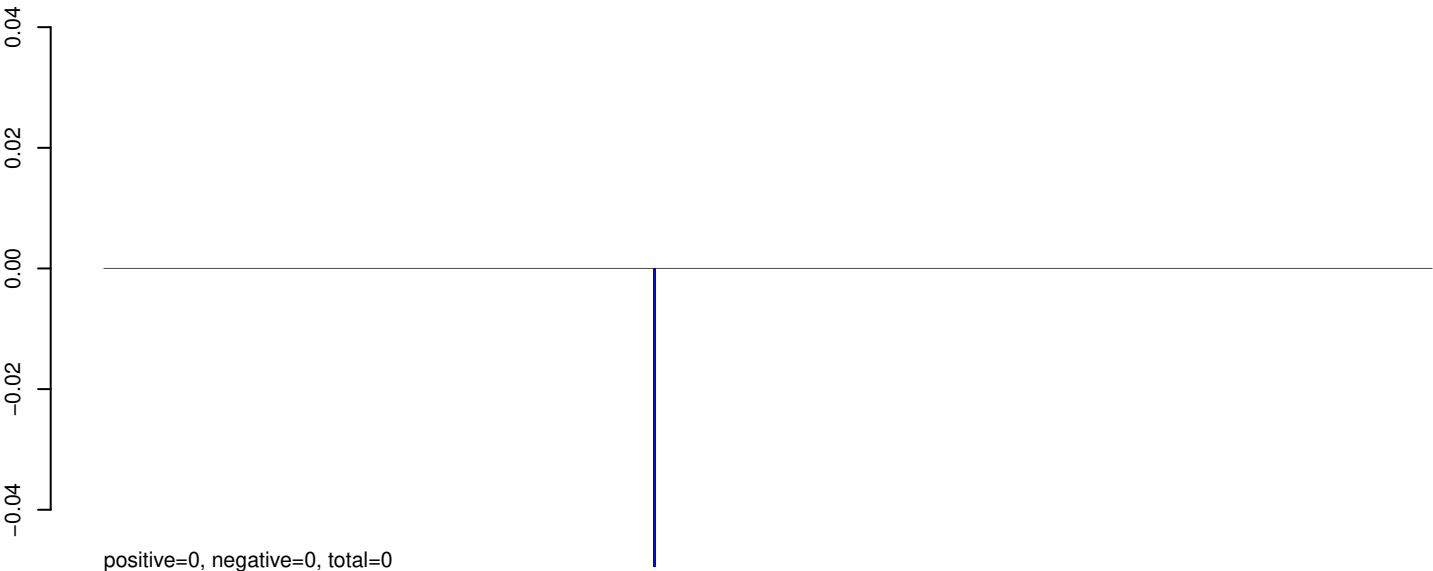
AeAeg_Aag2SINV_dsPiwi4.24_35.rep



AeAeg_Aag2SINV_dsPiwi4.rep

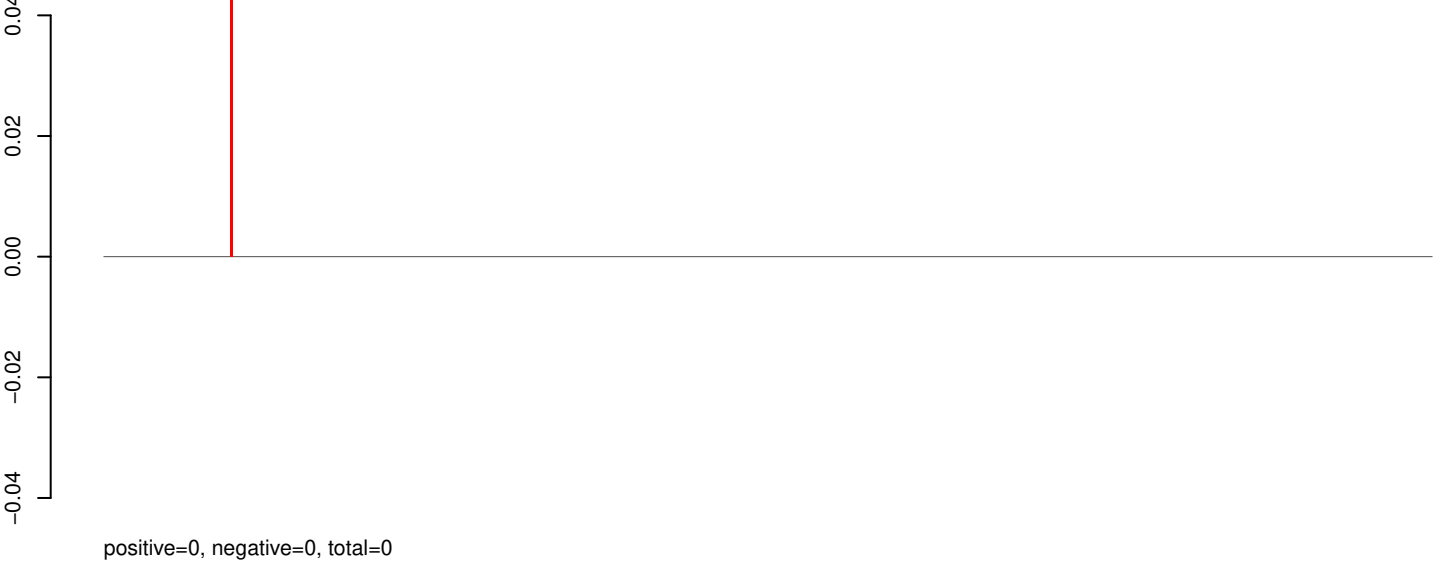


AeAeg_Aag2SINV_dsPiwi4.18_23.rep



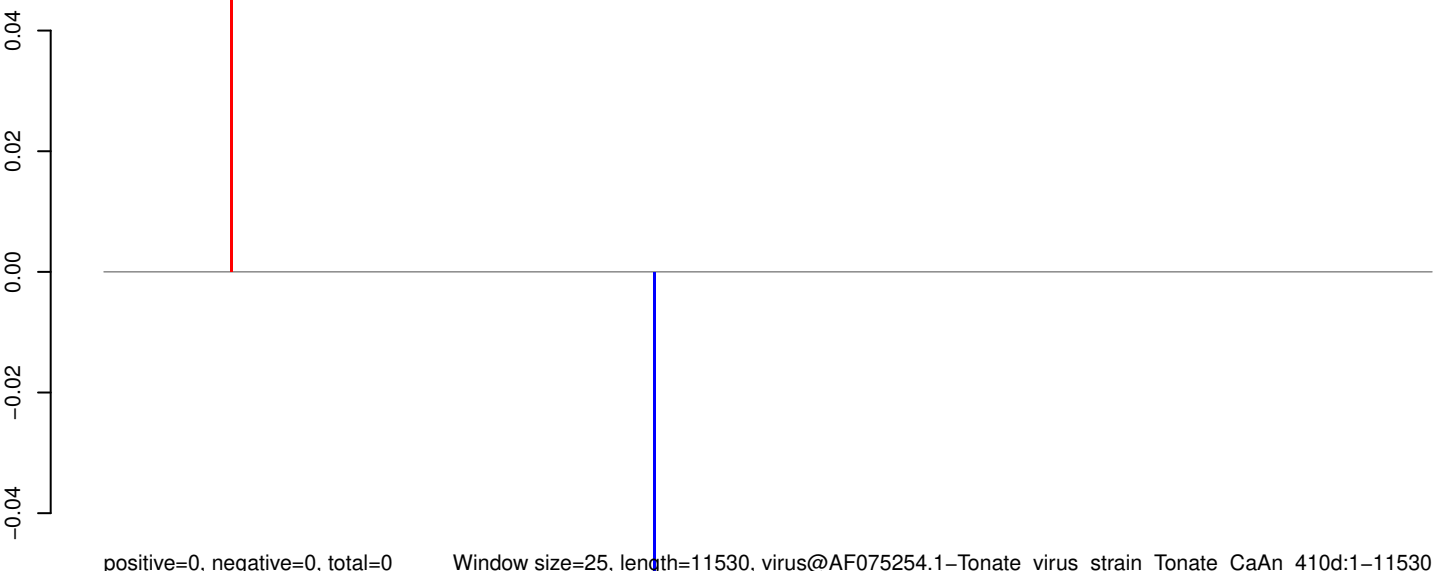
positive=0, negative=0, total=0

AeAeg_Aag2SINV_dsPiwi4.24_35.rep



positive=0, negative=0, total=0

AeAeg_Aag2SINV_dsPiwi4.rep

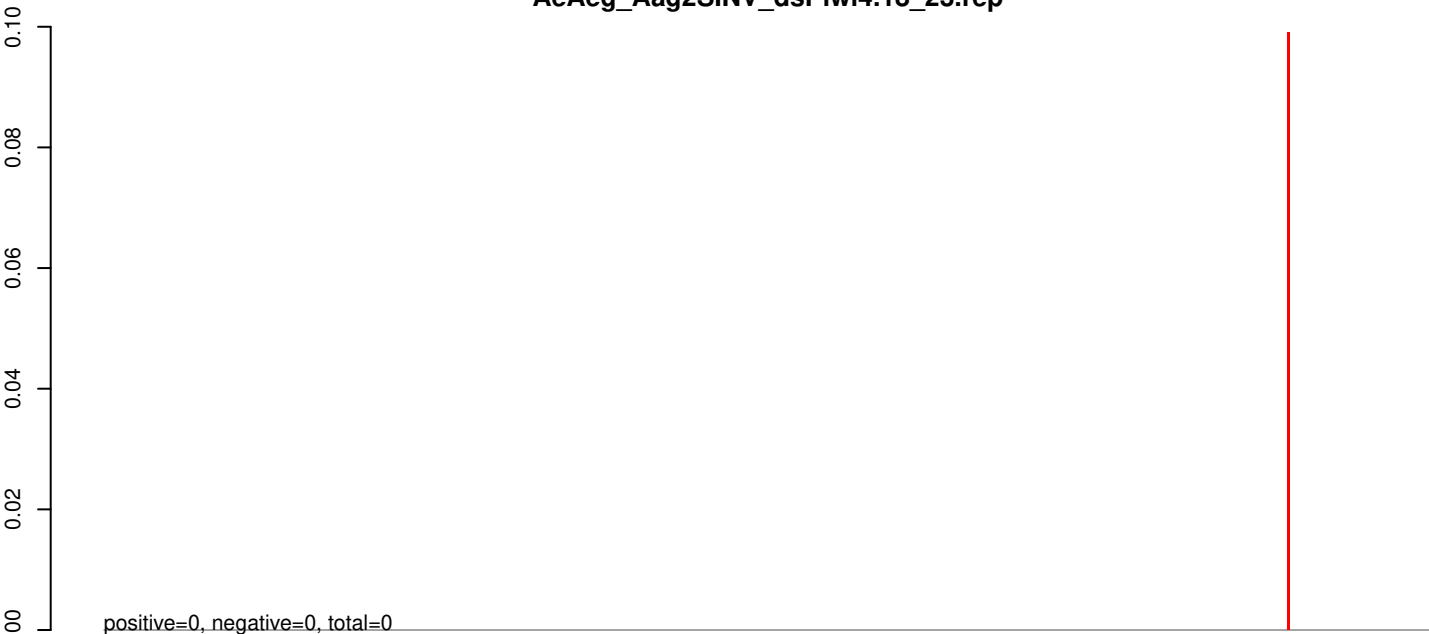


positive=0, negative=0, total=0

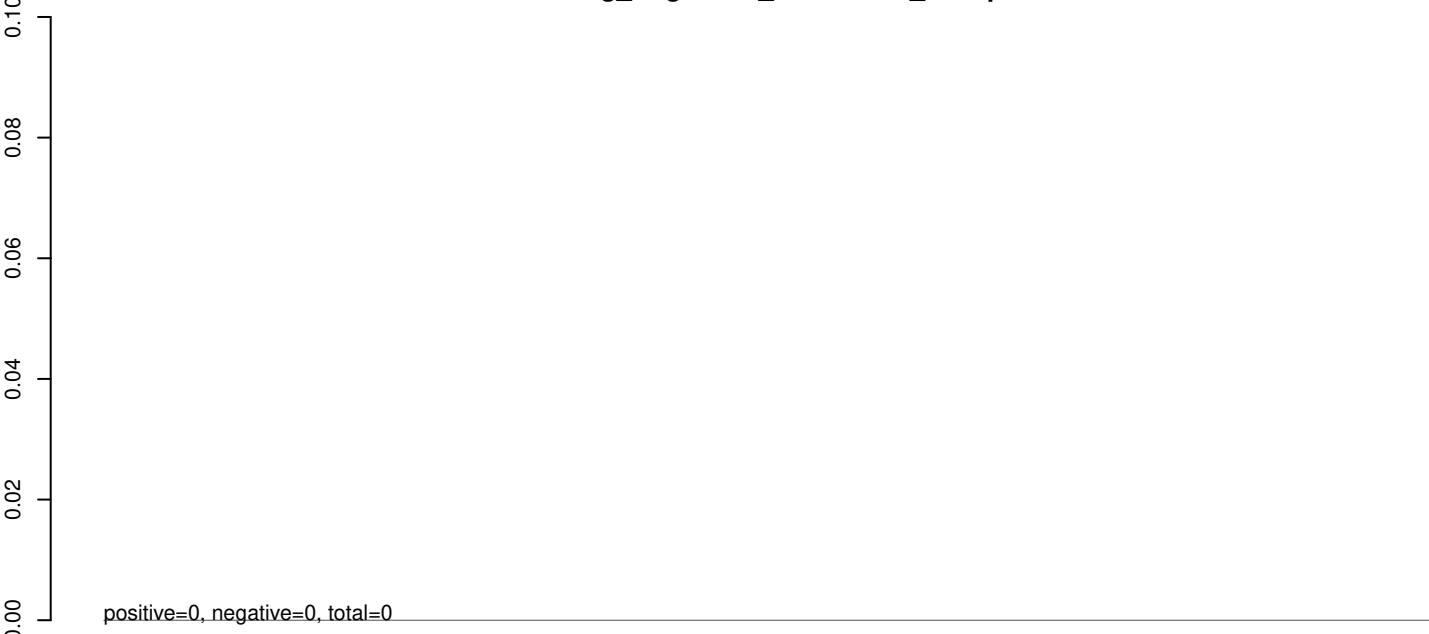
Window size=25, length=11530, virus@AF075254.1-Tonate_virus_strain_Tonate_CaAn_410d:1-11530

0 2000 4000 6000 8000 10000 12000

AeAeg_Aag2SINV_dsPiwi4.18_23.rep



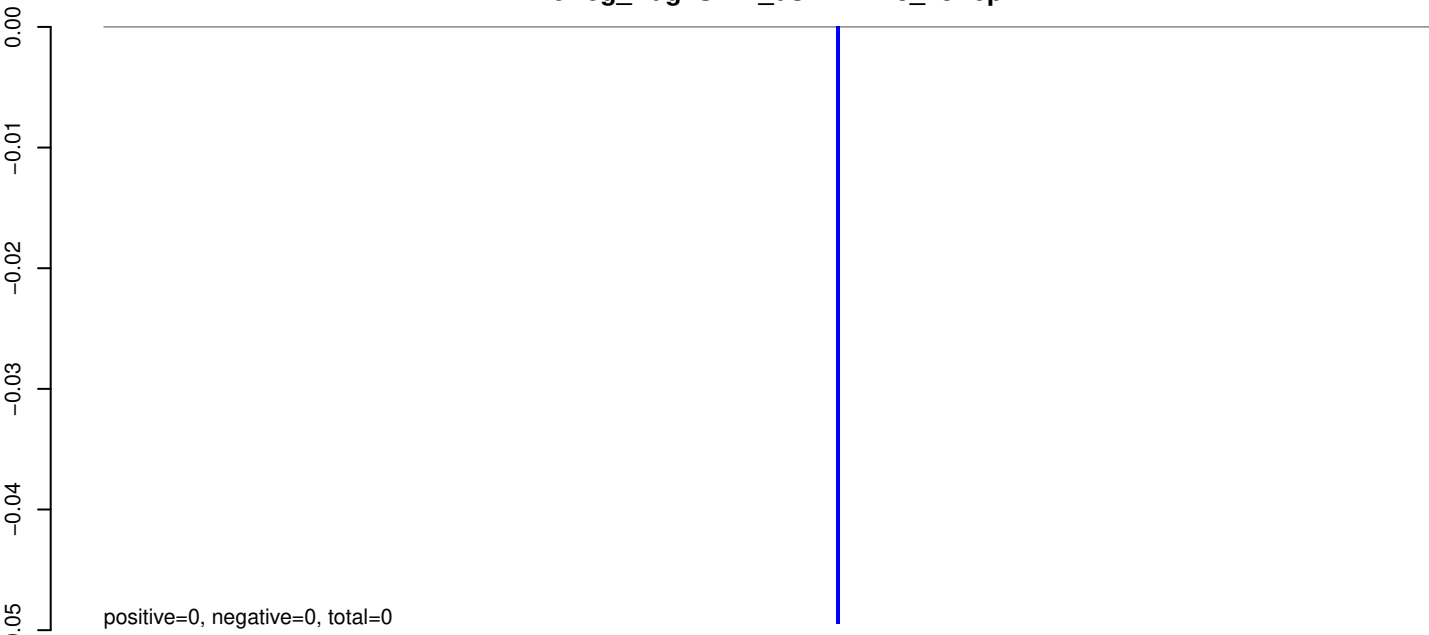
AeAeg_Aag2SINV_dsPiwi4.24_35.rep



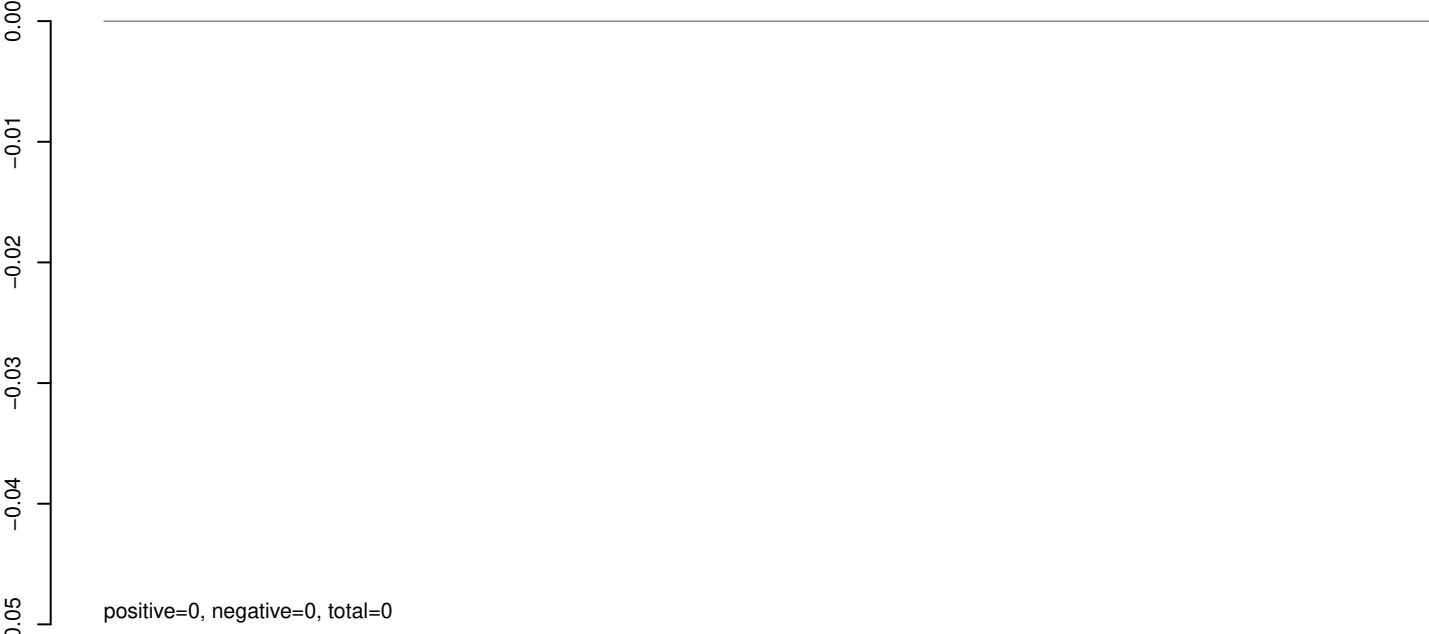
AeAeg_Aag2SINV_dsPiwi4.rep



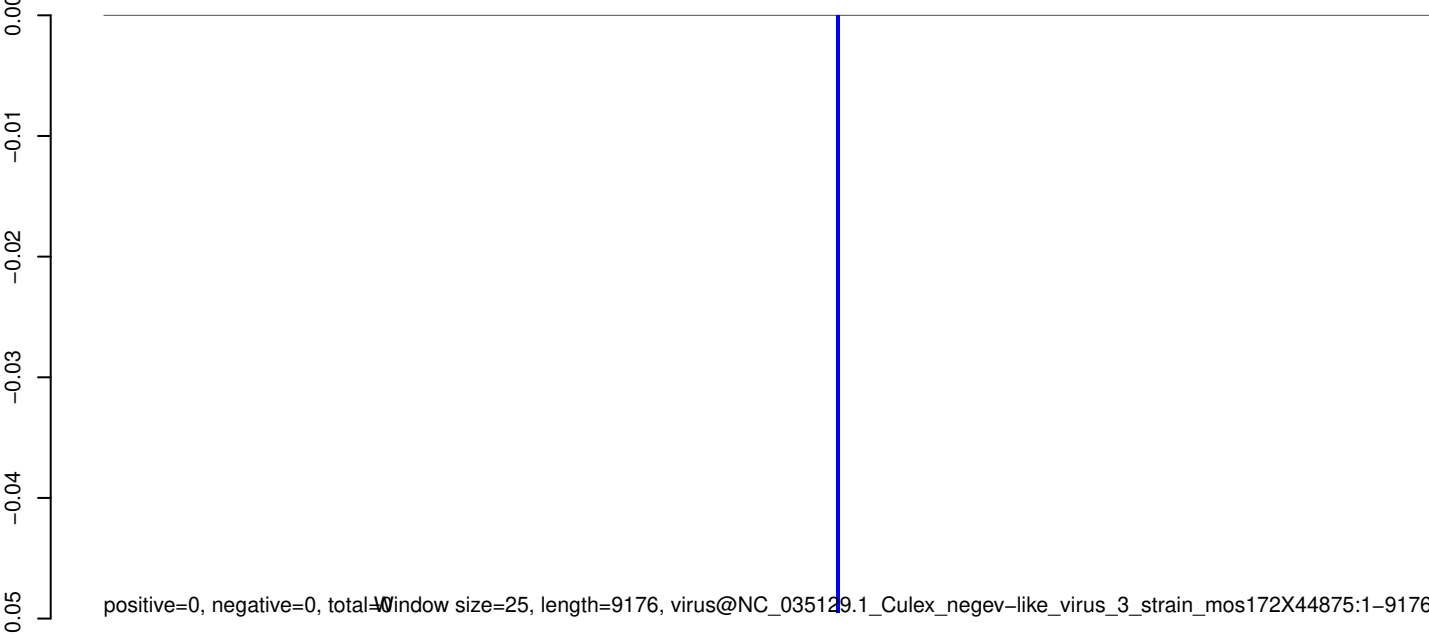
AeAeg_Aag2SINV_dsPiwi4.18_23.rep



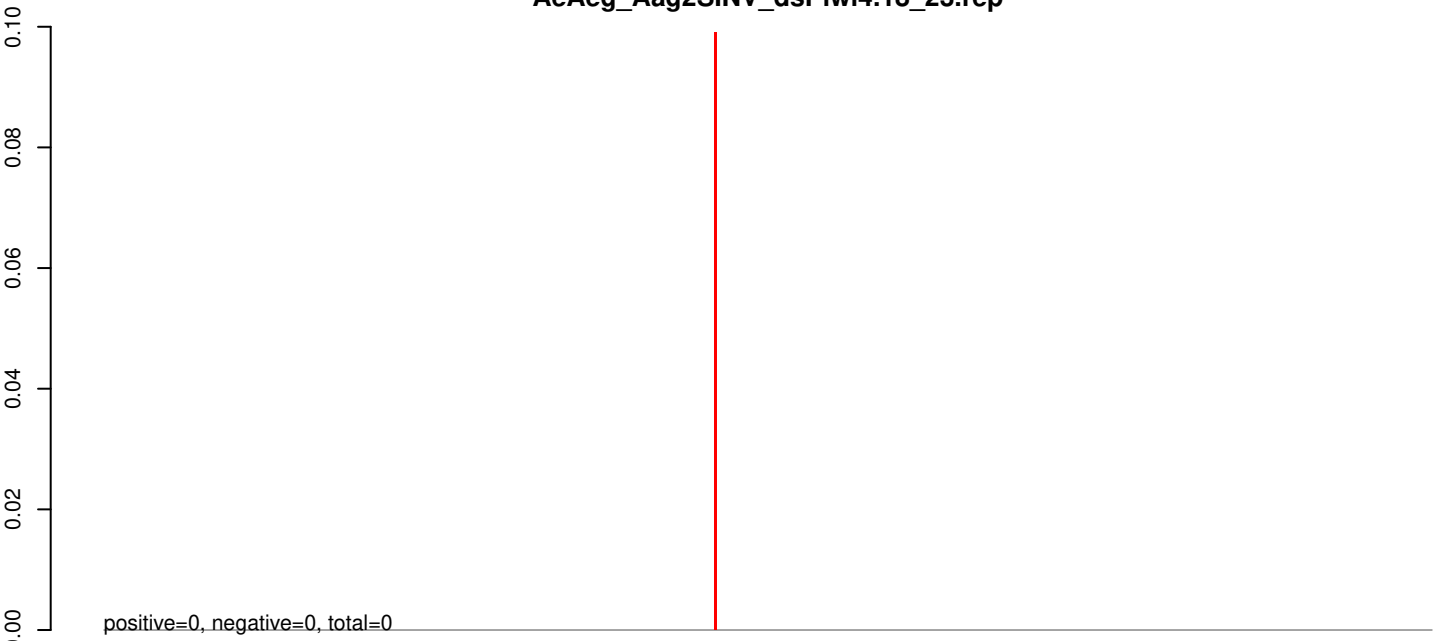
AeAeg_Aag2SINV_dsPiwi4.24_35.rep



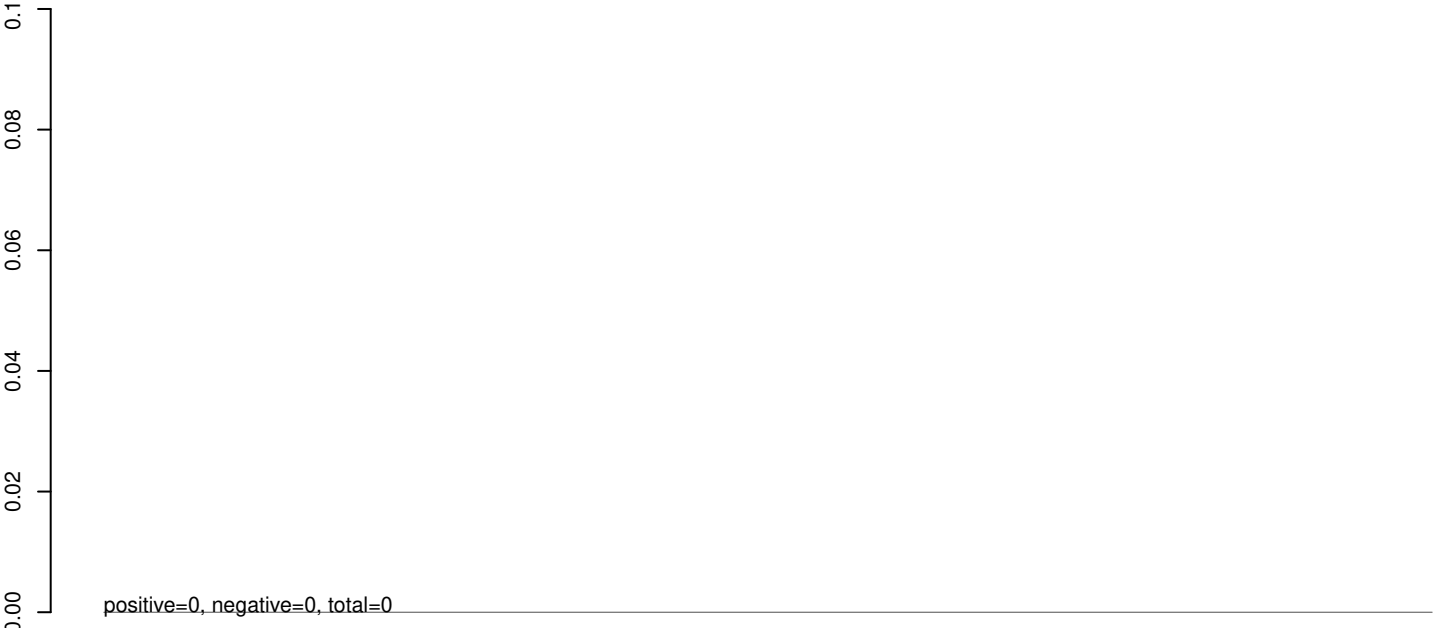
AeAeg_Aag2SINV_dsPiwi4.rep



AeAeg_Aag2SINV_dsPiwi4.18_23.rep



AeAeg_Aag2SINV_dsPiwi4.24_35.rep

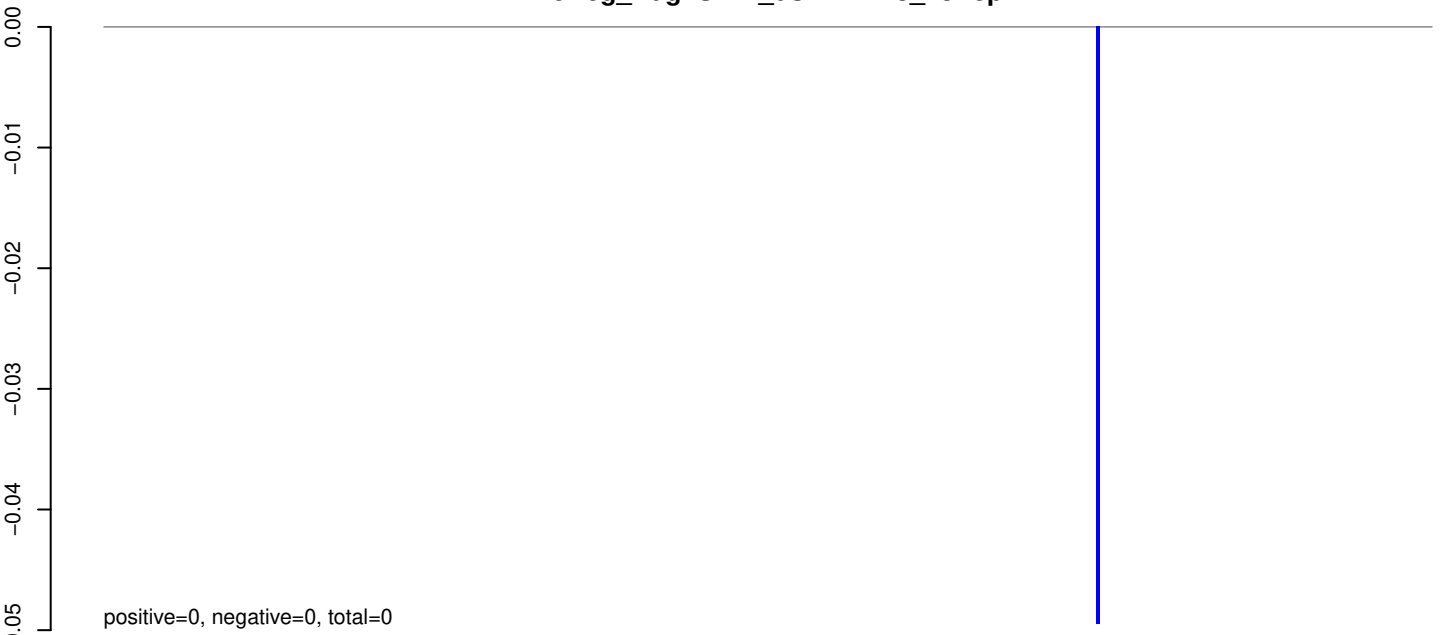


AeAeg_Aag2SINV_dsPiwi4.rep

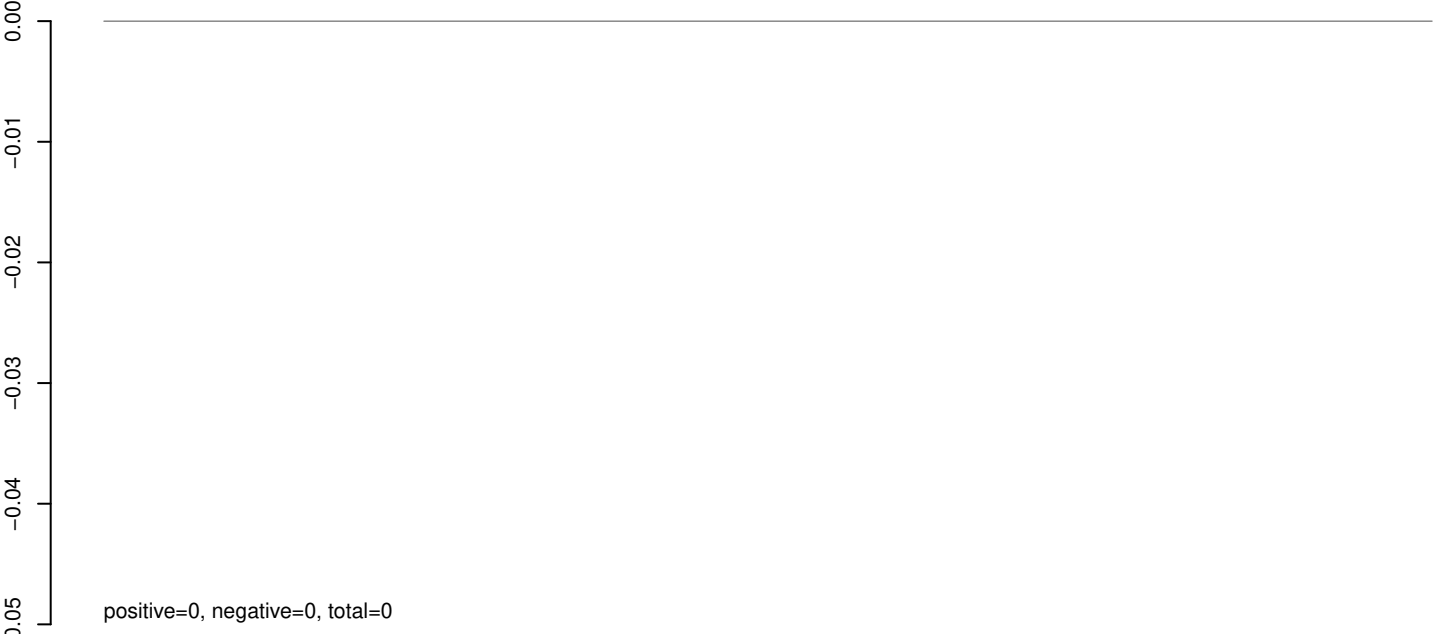


Window size=25, length=11470, virus@NC_035128.1_Aedes_camptorhynchus_negev-like_virus_strain_mos191CP47896:1-11470

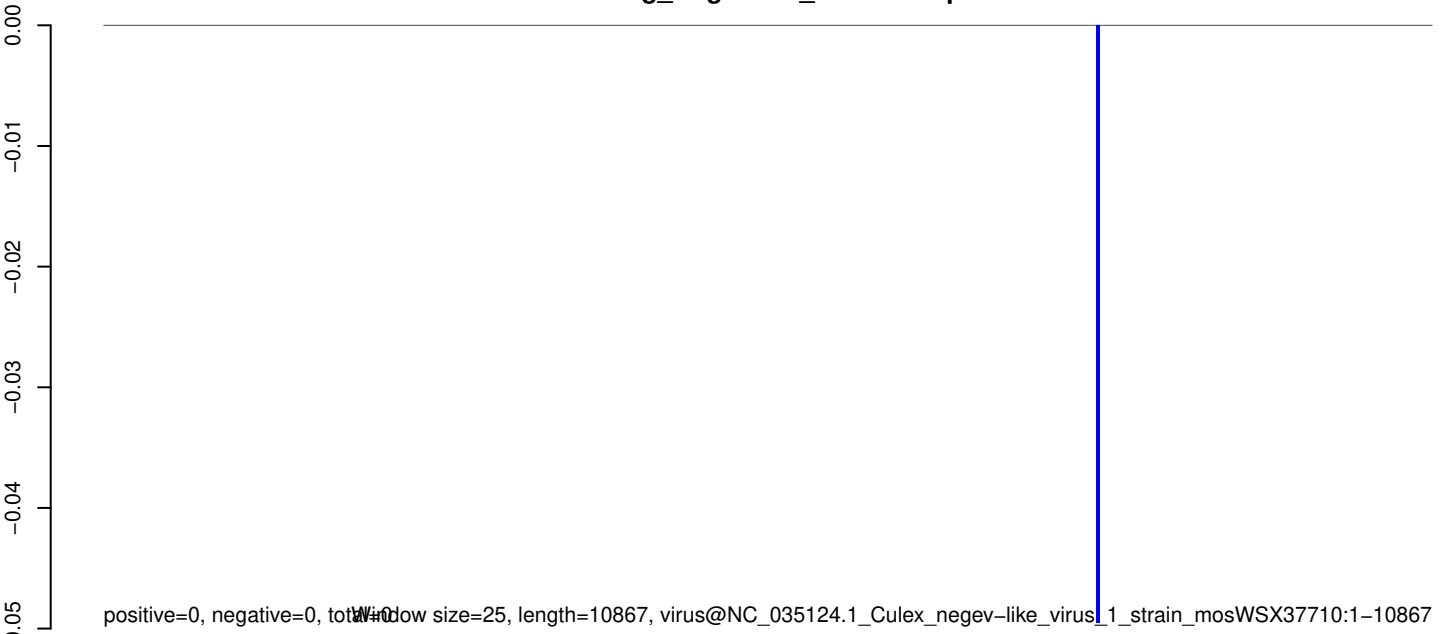
AeAeg_Aag2SINV_dsPiwi4.18_23.rep



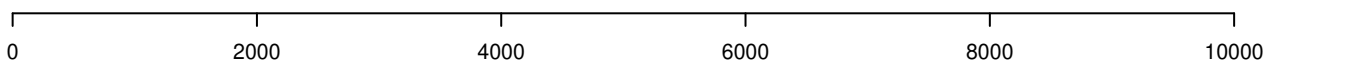
AeAeg_Aag2SINV_dsPiwi4.24_35.rep



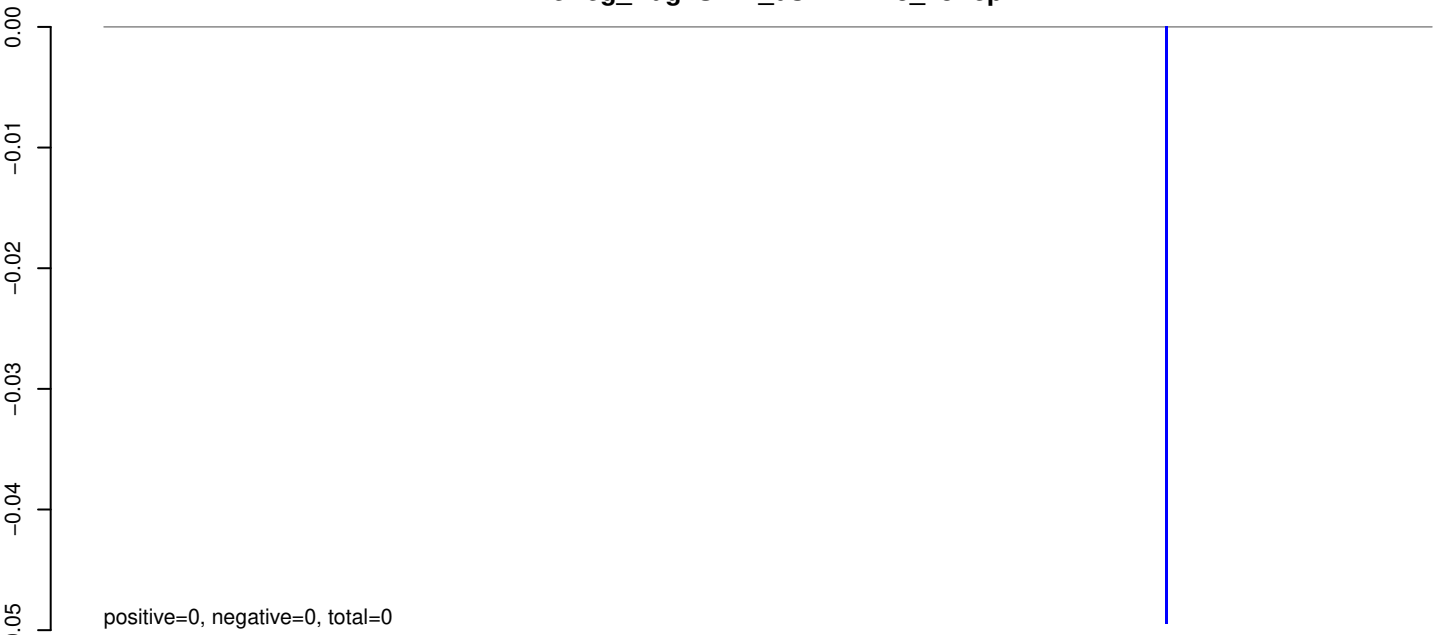
AeAeg_Aag2SINV_dsPiwi4.rep



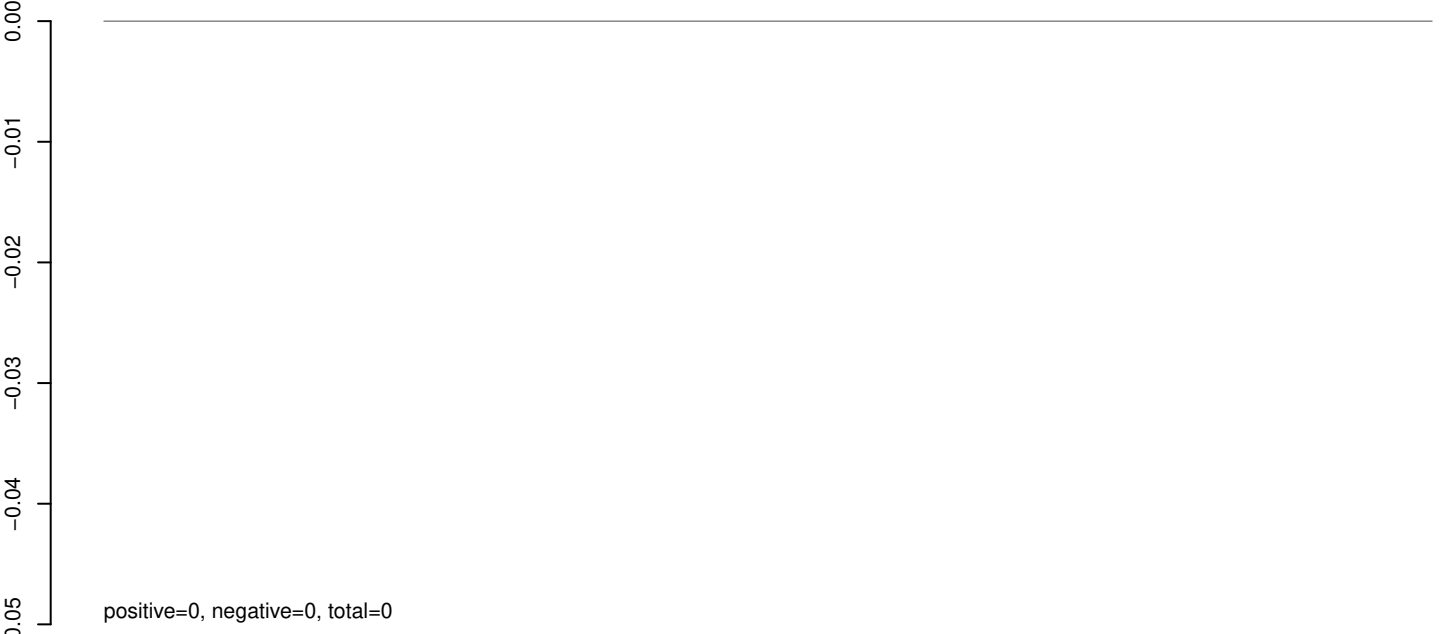
Window size=25, length=10867, virus@NC_035124.1_Culex_negev-like_virus_1_strain_mosWSX37710:1-10867



AeAeg_Aag2SINV_dsPiwi4.18_23.rep



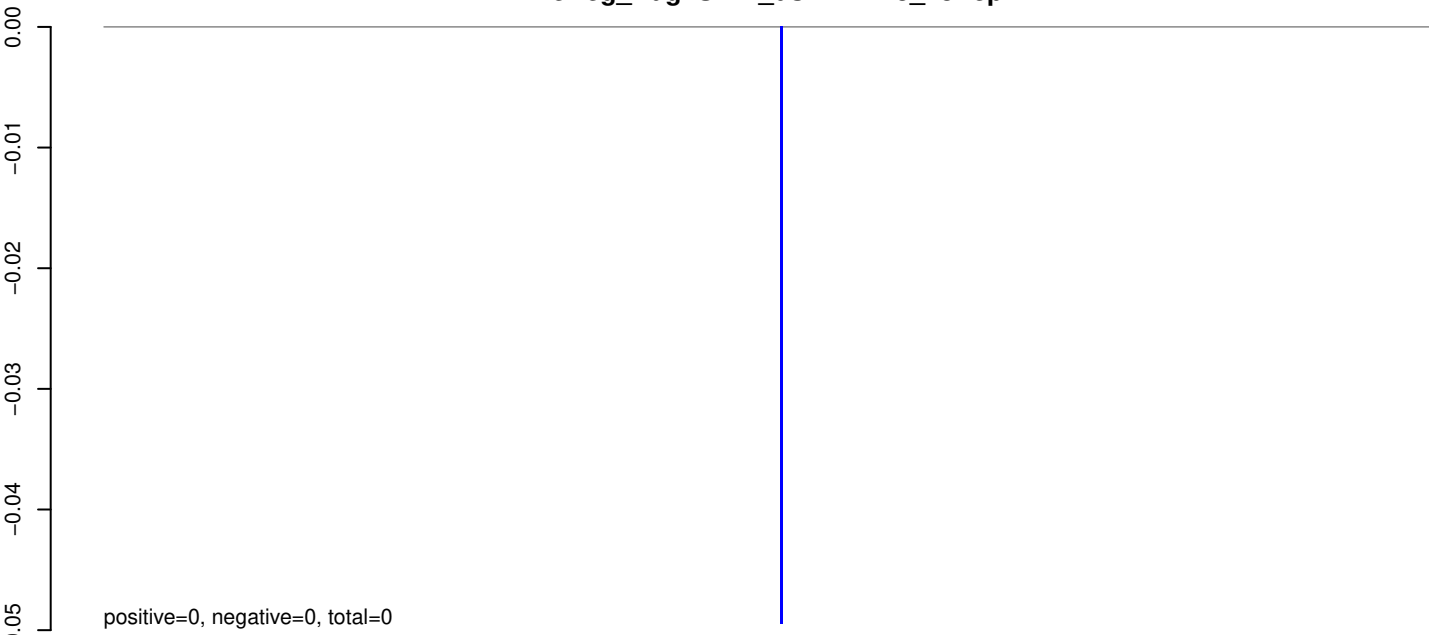
AeAeg_Aag2SINV_dsPiwi4.24_35.rep



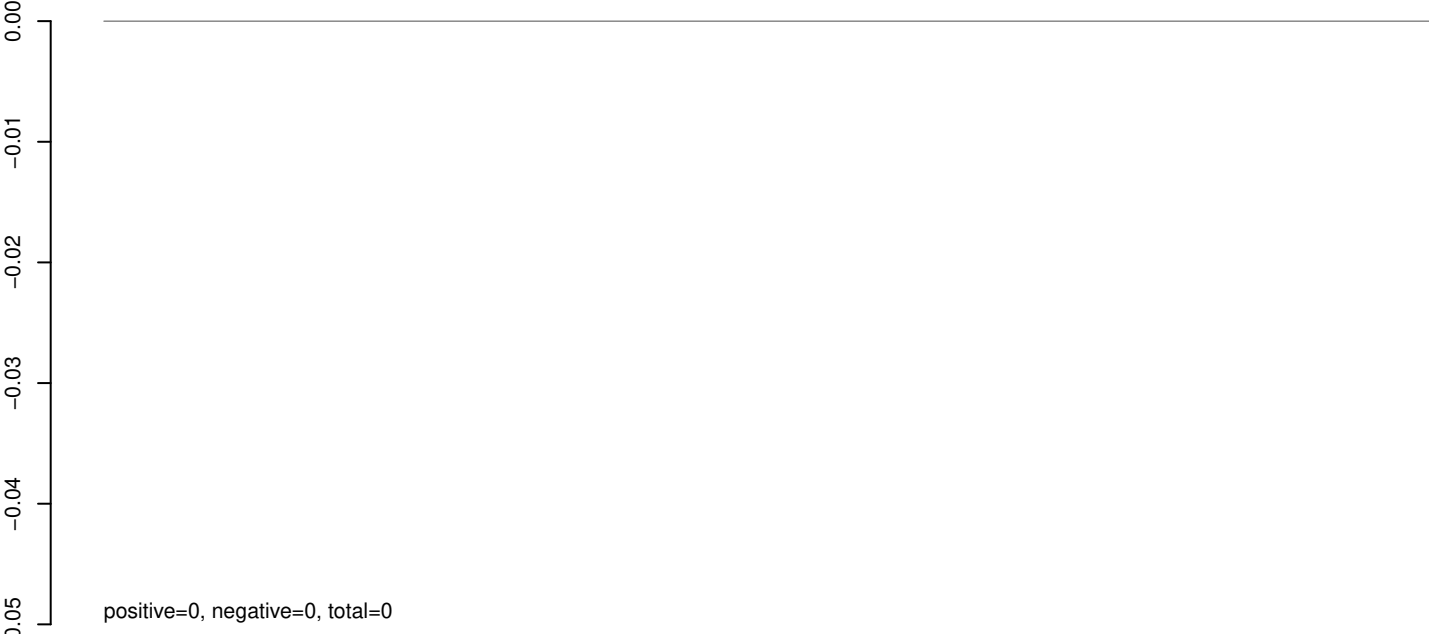
AeAeg_Aag2SINV_dsPiwi4.rep



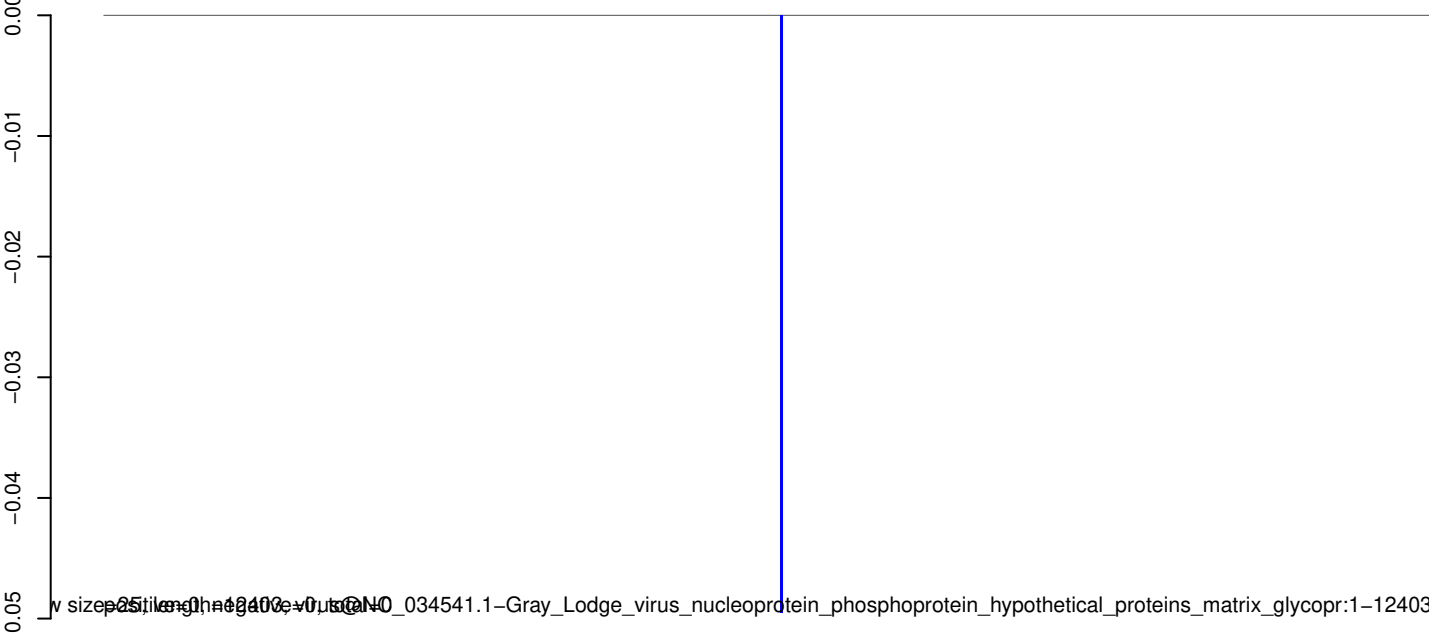
AeAeg_Aag2SINV_dsPiwi4.18_23.rep



AeAeg_Aag2SINV_dsPiwi4.24_35.rep



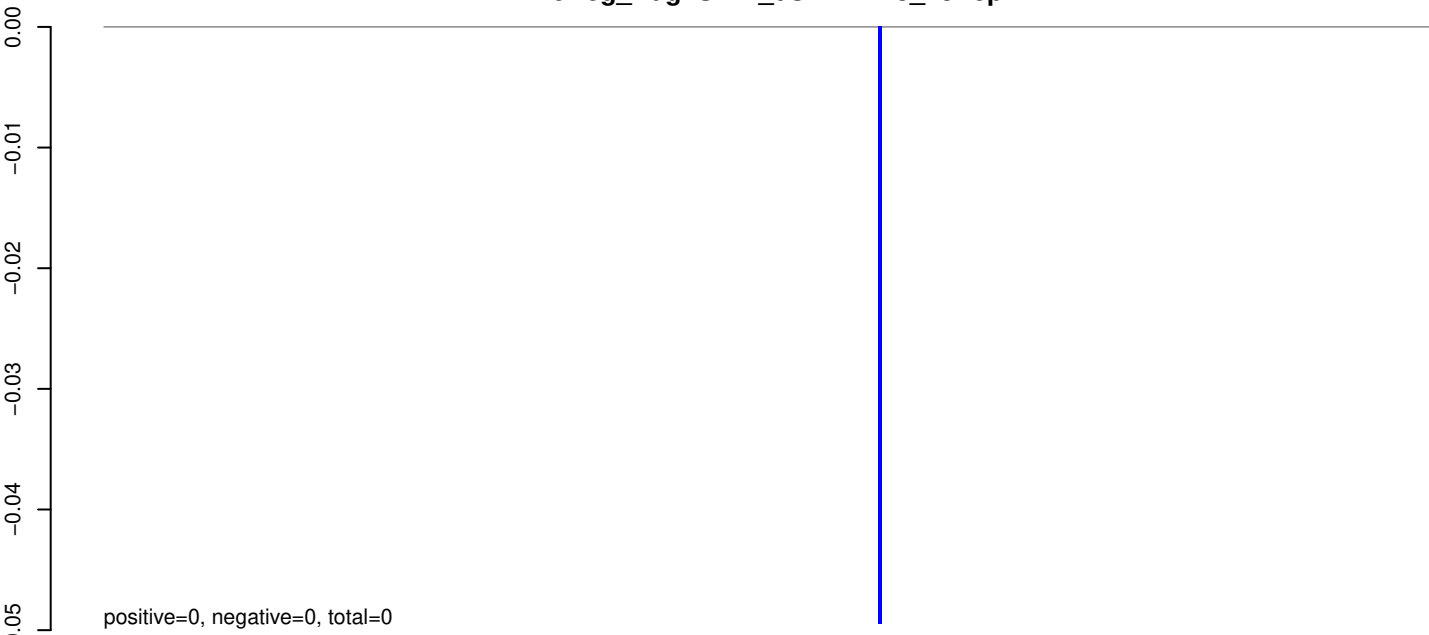
AeAeg_Aag2SINV_dsPiwi4.rep



034541.1-Gray_Lodge_virus_nucleoprotein_phosphoprotein_hypothetical_proteins_matrix_glycopr:1-12403

0 2000 4000 6000 8000 10000 12000

AeAeg_Aag2SINV_dsPiwi4.18_23.rep



AeAeg_Aag2SINV_dsPiwi4.24_35.rep



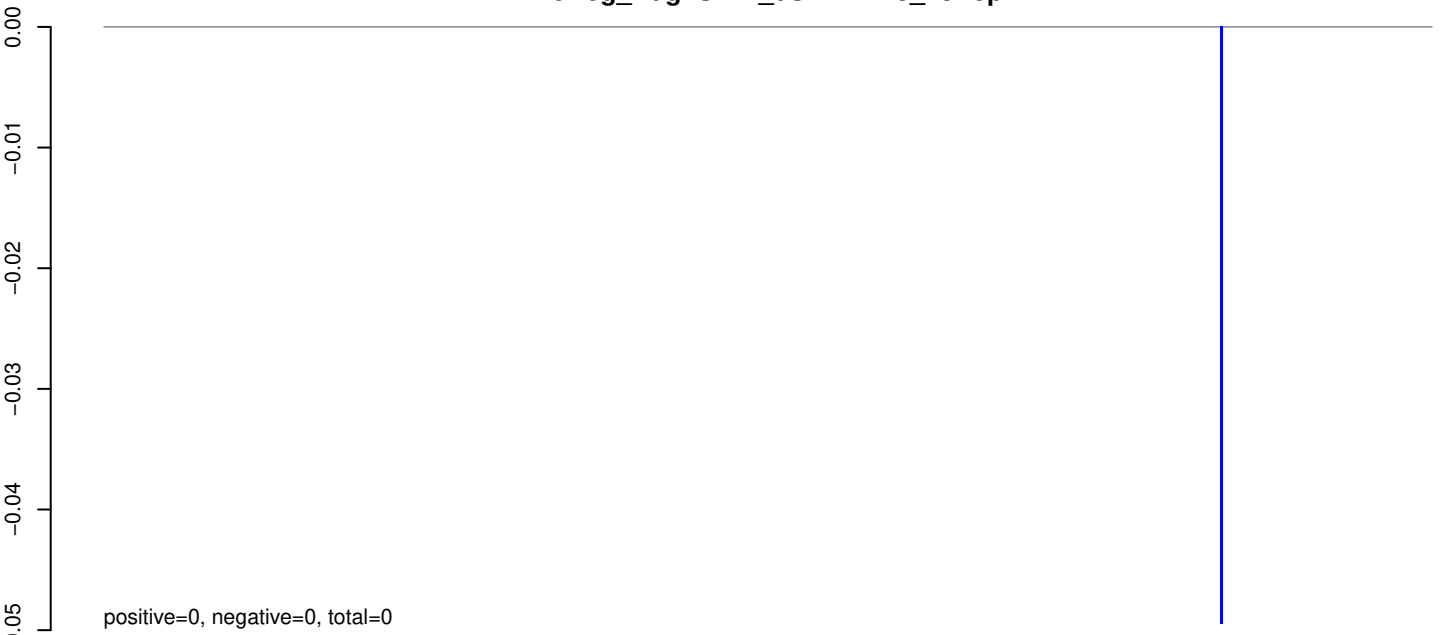
AeAeg_Aag2SINV_dsPiwi4.rep



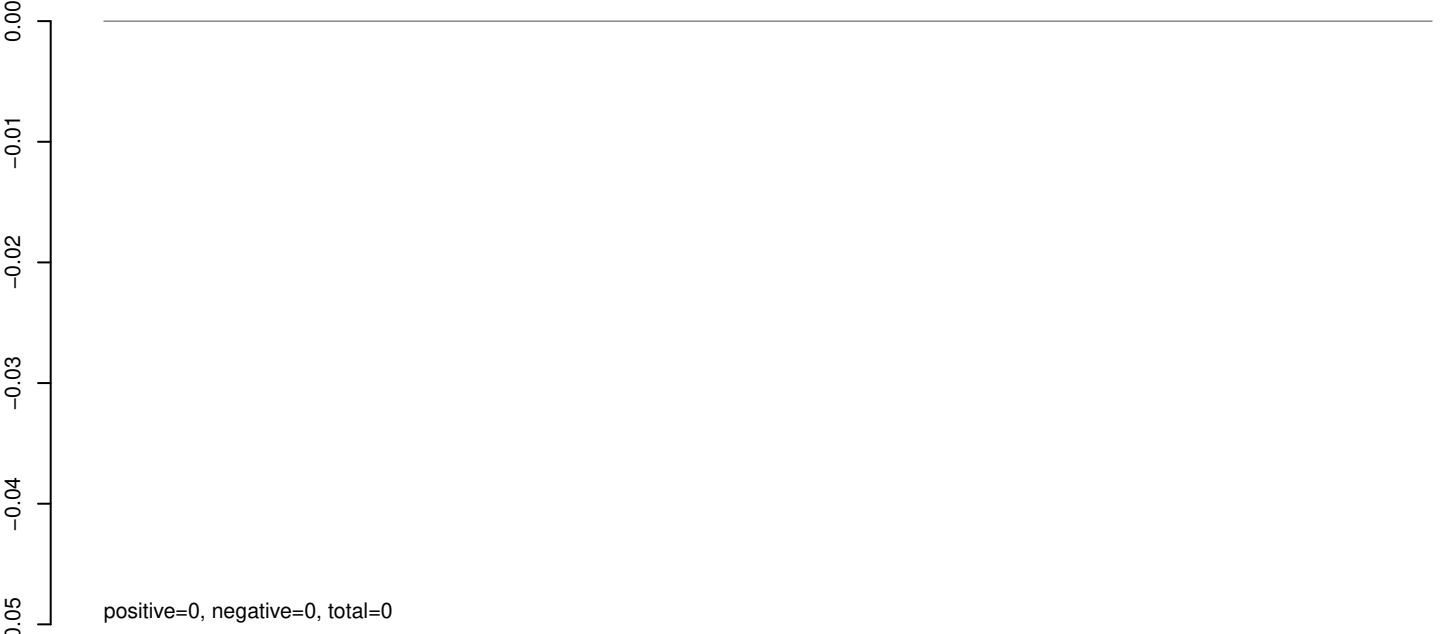
NC_003453.1-Nkolbisson_virus_nucleoprotein_phosphoprotein_matrix_glycoprotein_and_polymerase_g:1-10968

0 2000 4000 6000 8000 10000

AeAeg_Aag2SINV_dsPiwi4.18_23.rep



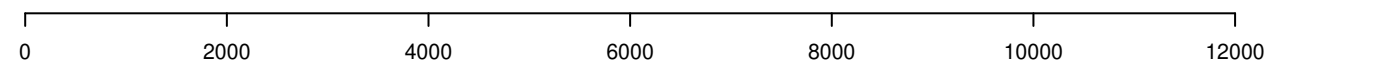
AeAeg_Aag2SINV_dsPiwi4.24_35.rep



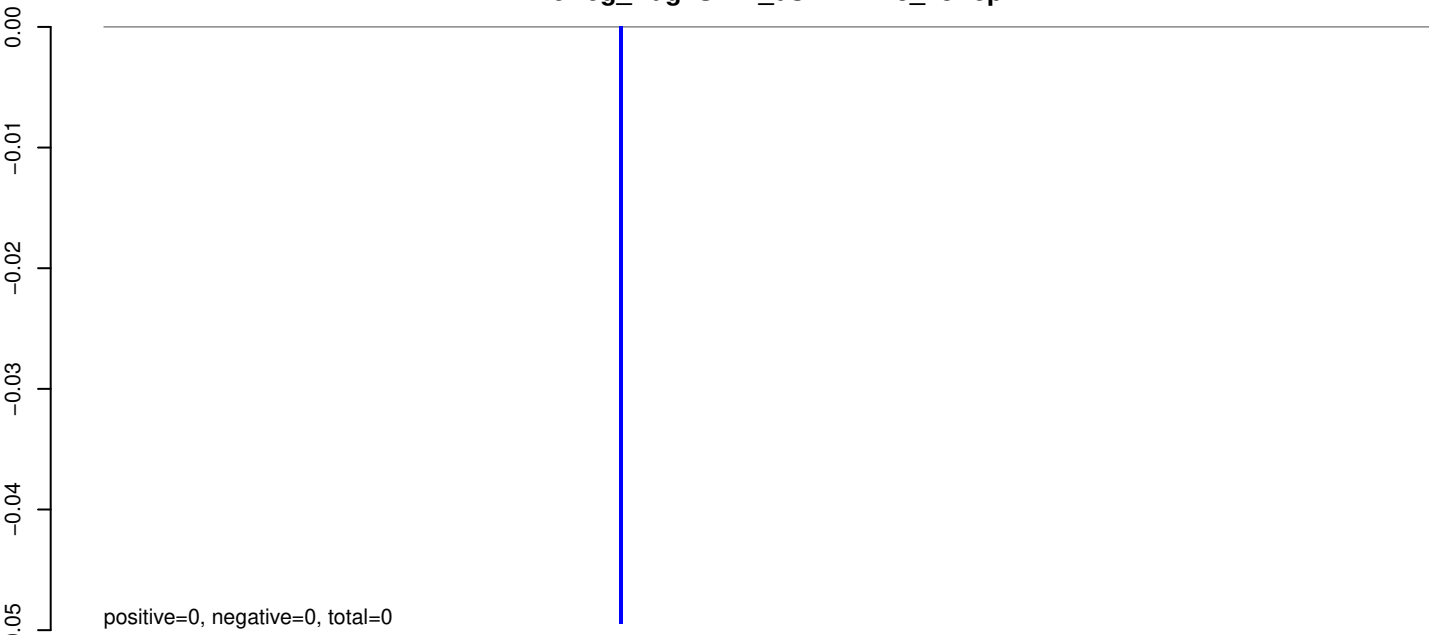
AeAeg_Aag2SINV_dsPiwi4.rep



bow size=25, left=0, right=115, width=100, NC_034538.1-Joinjakaka_virus_nucleoprotein_phosphoprotein_hypothetical_protein_matrix_glycopro:1-13155



AeAeg_Aag2SINV_dsPiwi4.18_23.rep



AeAeg_Aag2SINV_dsPiwi4.24_35.rep



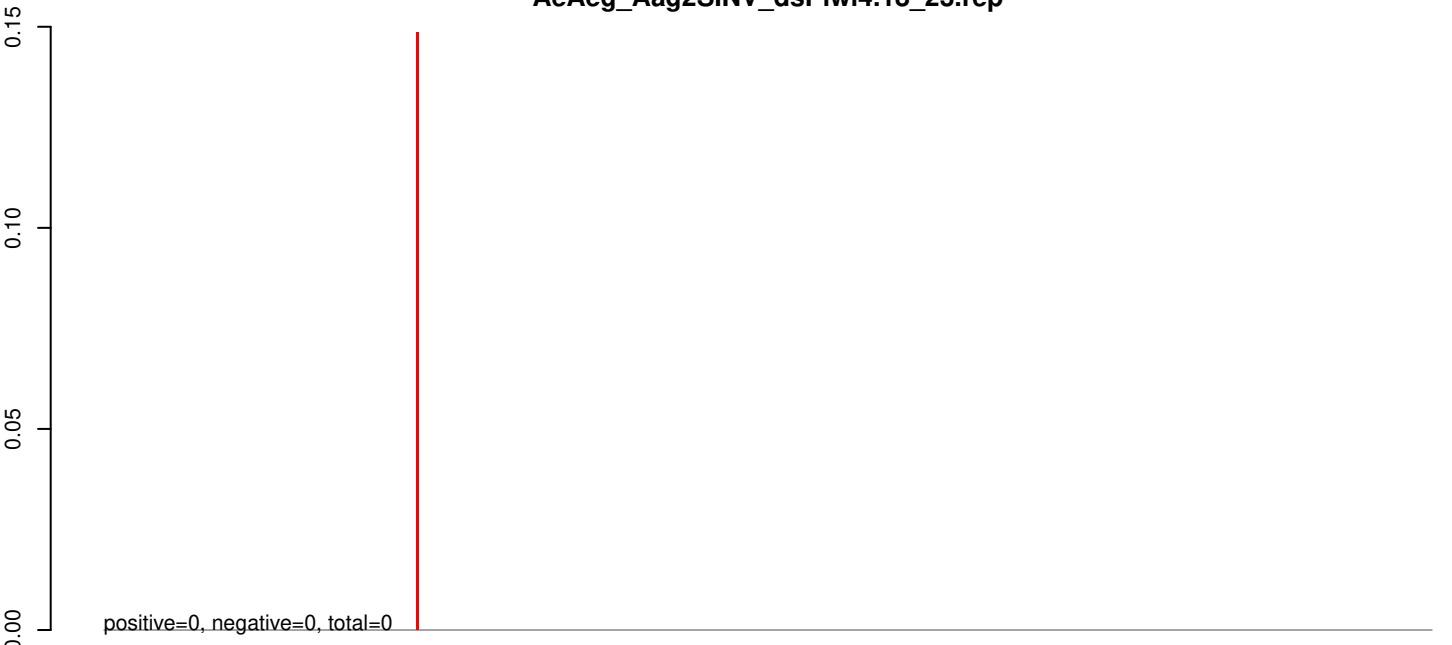
AeAeg_Aag2SINV_dsPiwi4.rep



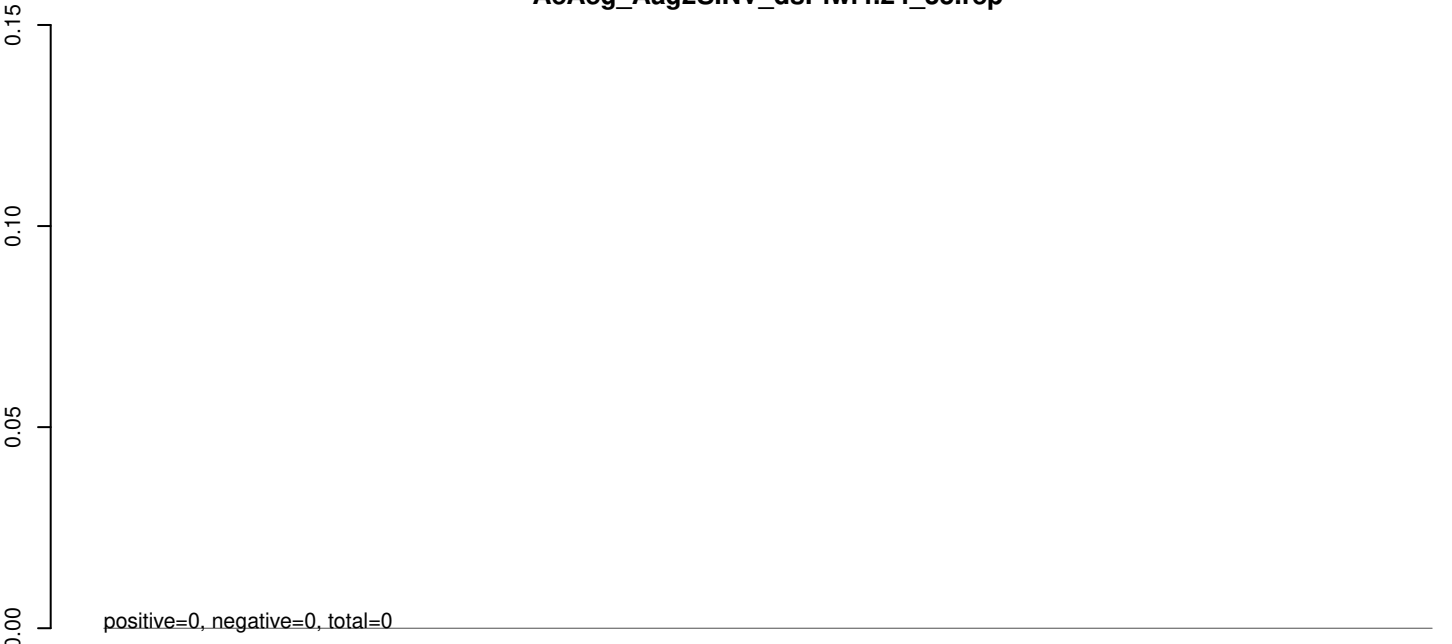
NC_034535.1-Barur_virus_nucleoprotein_phosphoprotein_matrix_glycoprotein_and_polymerase_genes:1-10853

0 2000 4000 6000 8000 10000

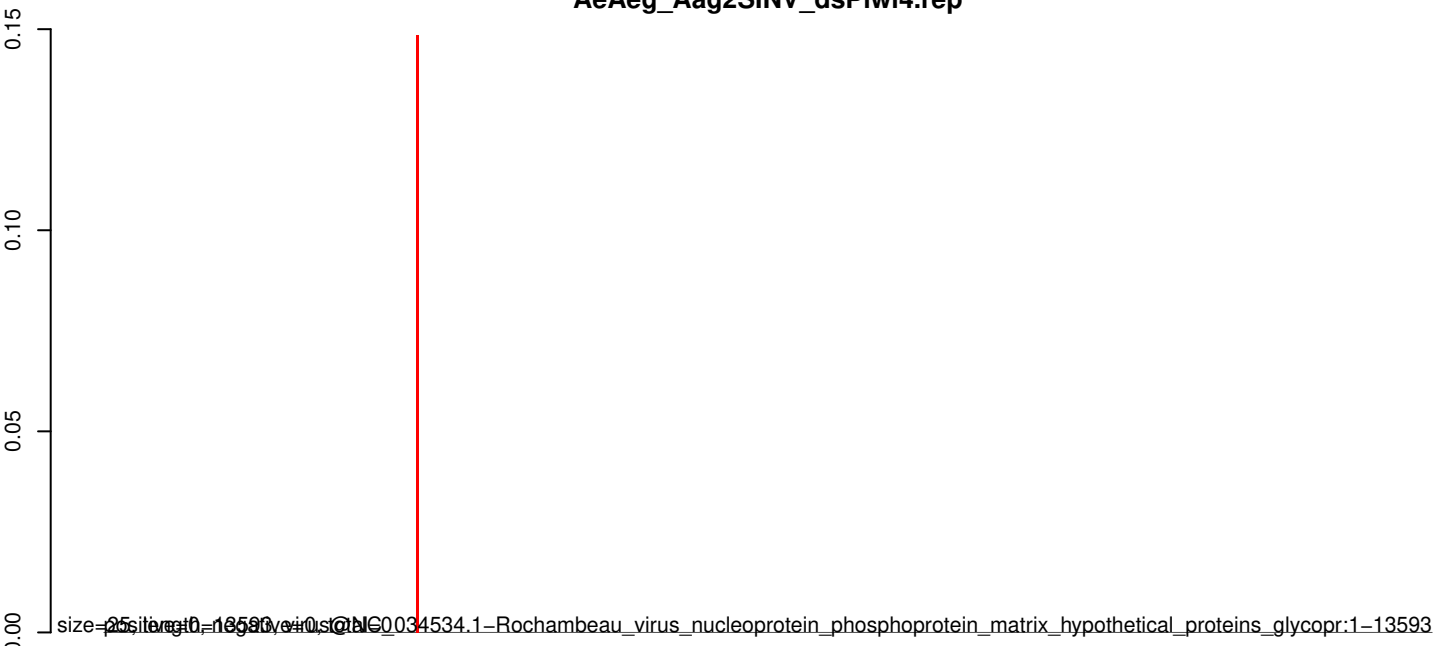
AeAeg_Aag2SINV_dsPiwi4.18_23.rep



AeAeg_Aag2SINV_dsPiwi4.24_35.rep

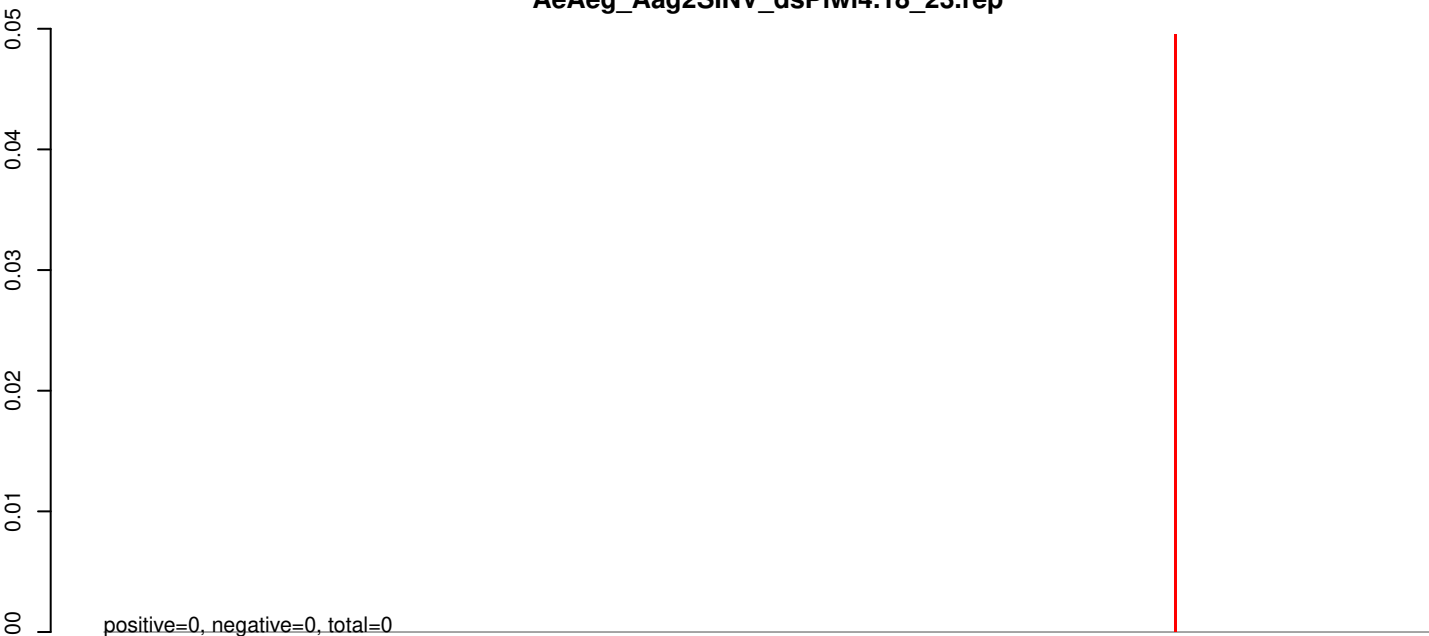


AeAeg_Aag2SINV_dsPiwi4.rep

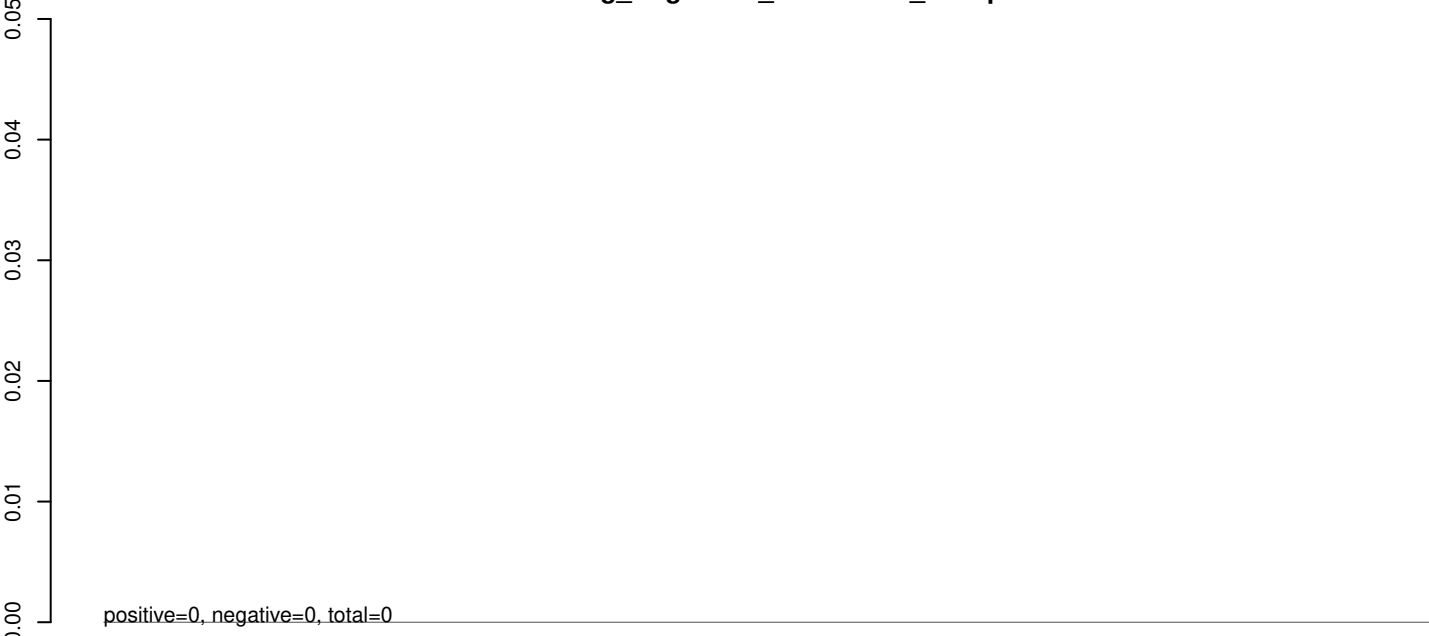


0 2000 4000 6000 8000 10000 12000 14000

AeAeg_Aag2SINV_dsPiwi4.18_23.rep



AeAeg_Aag2SINV_dsPiwi4.24_35.rep

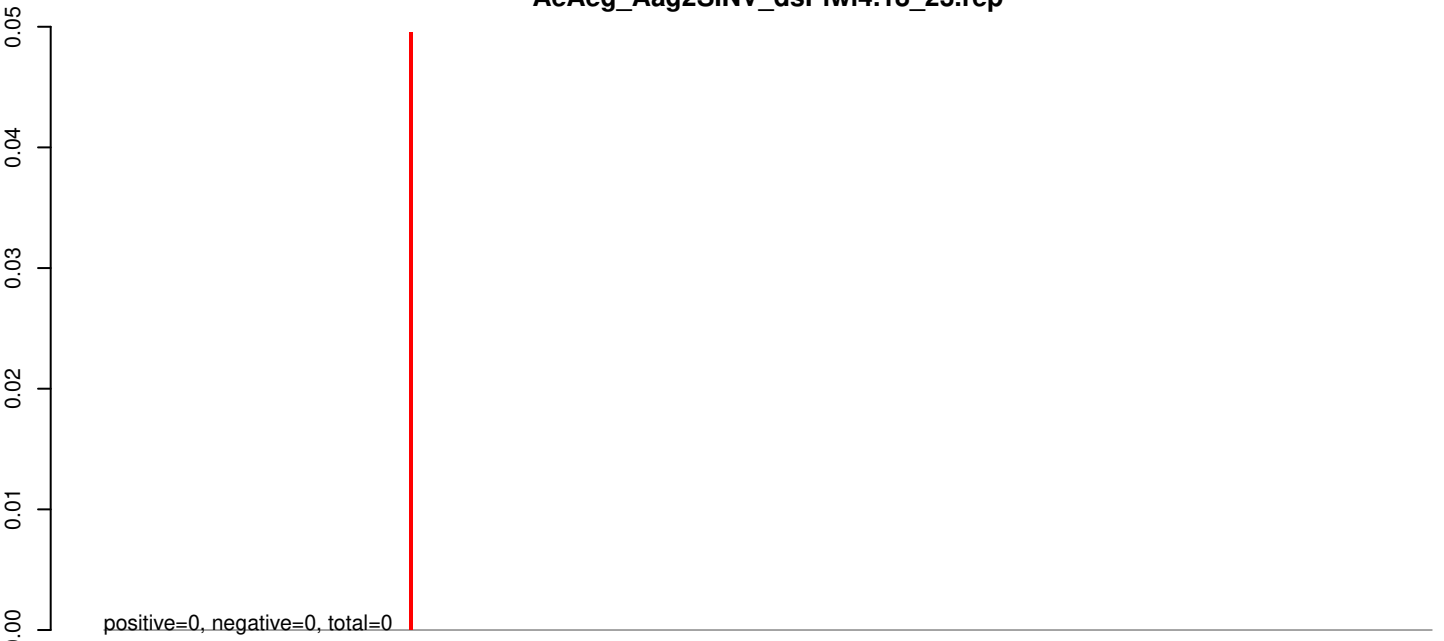


AeAeg_Aag2SINV_dsPiwi4.rep

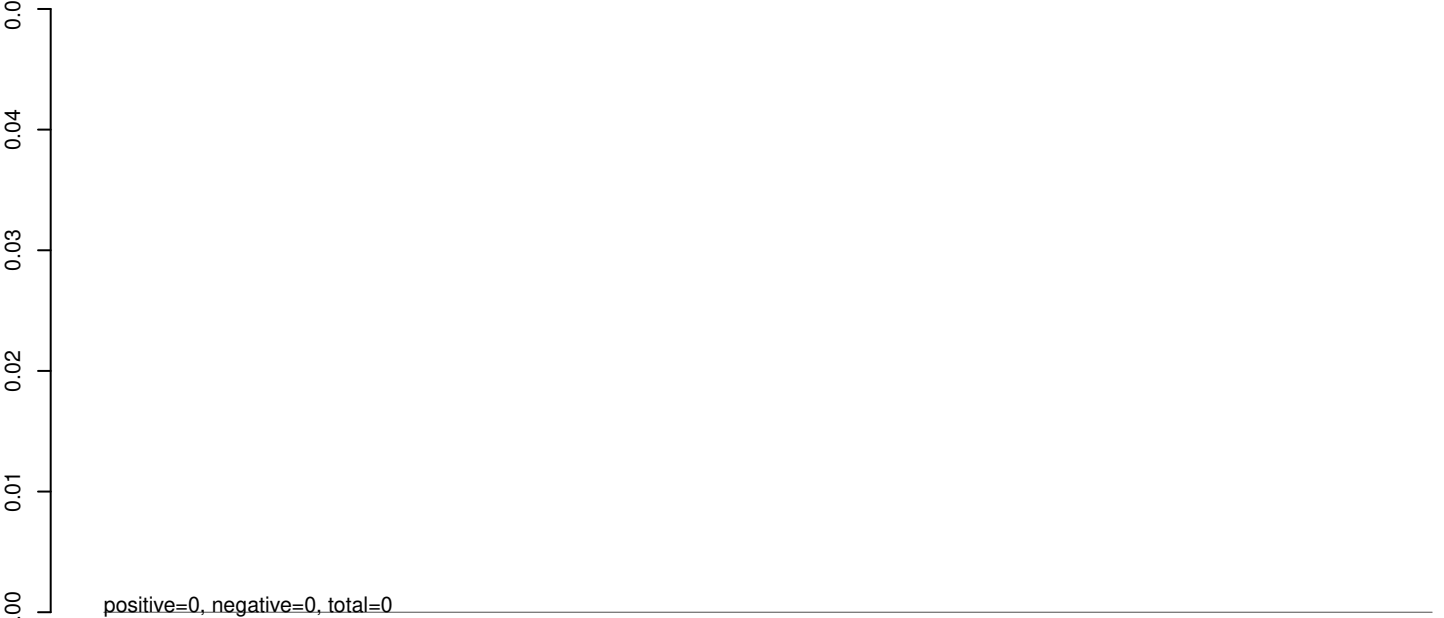


0 2000 4000 6000 8000 10000

AeAeg_Aag2SINV_dsPiwi4.18_23.rep



AeAeg_Aag2SINV_dsPiwi4.24_35.rep



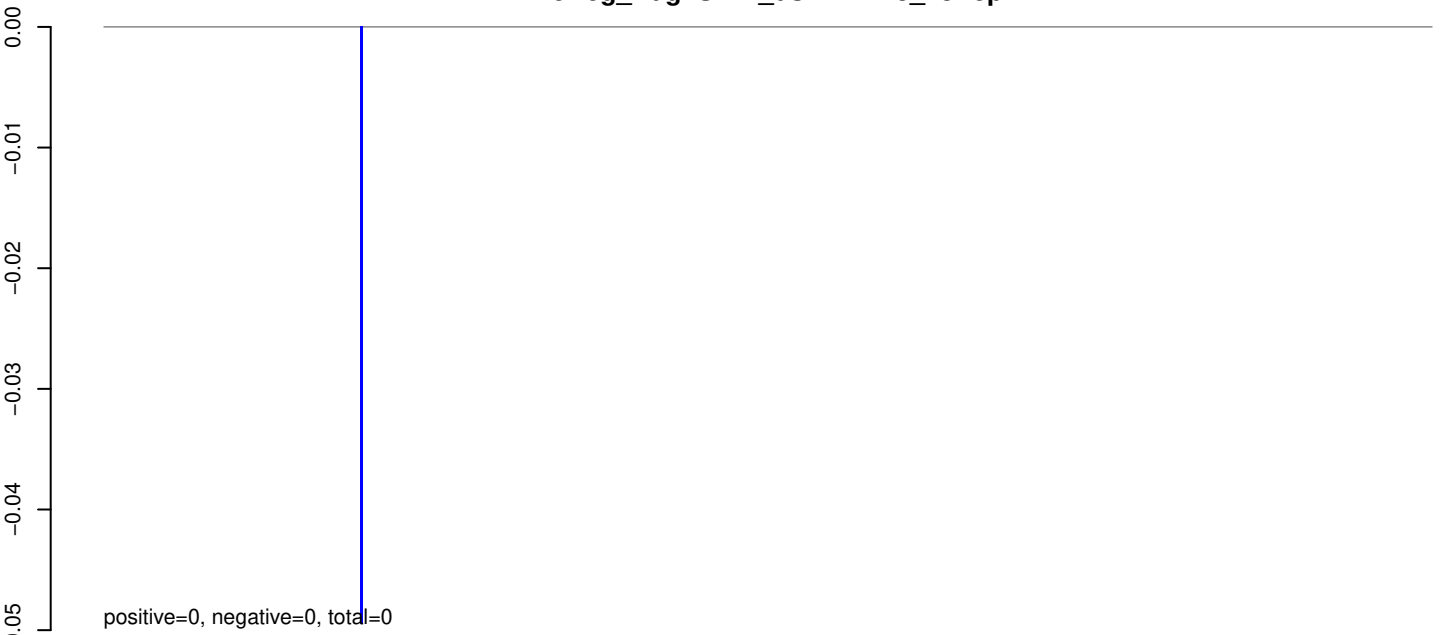
AeAeg_Aag2SINV_dsPiwi4.rep



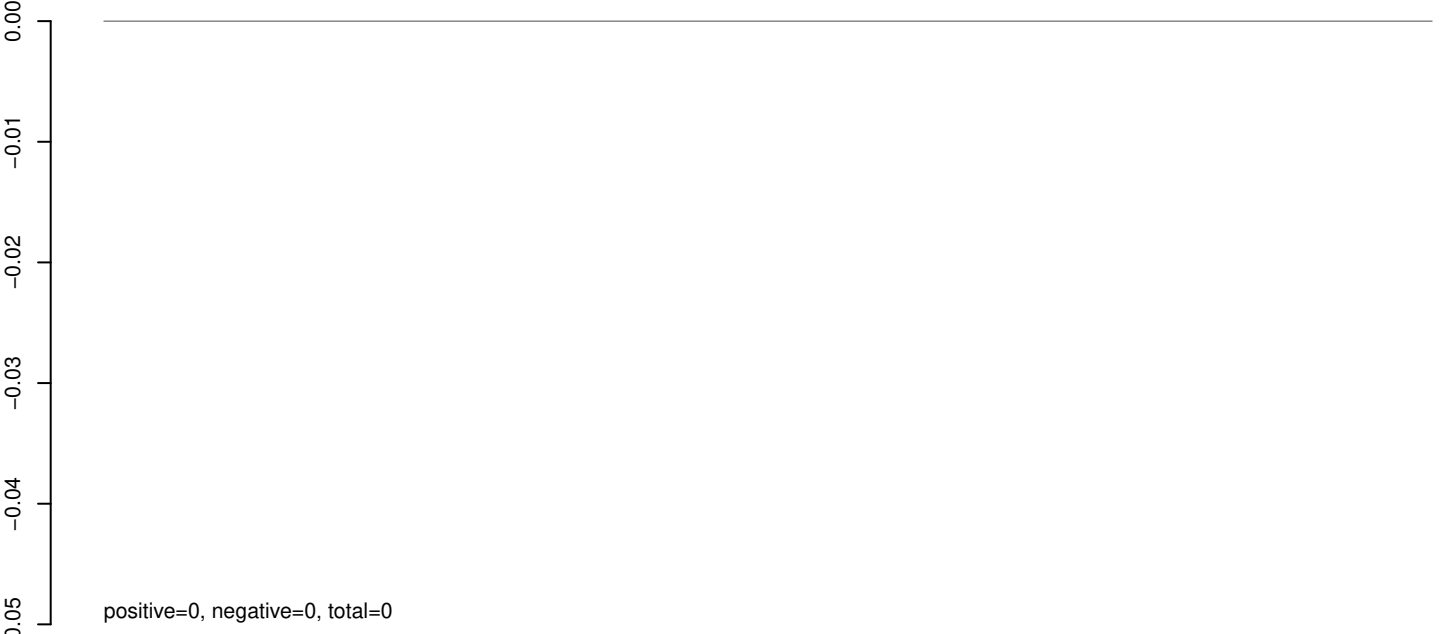
0 2000 4000 6000 8000 10000

bow size 25, length 10863, virus @ NC_034454.1-Fukuoka_virus_nucleoprotein_phosphoprotein_matrix_hypothetical_protein_glycoprotei:1-10863

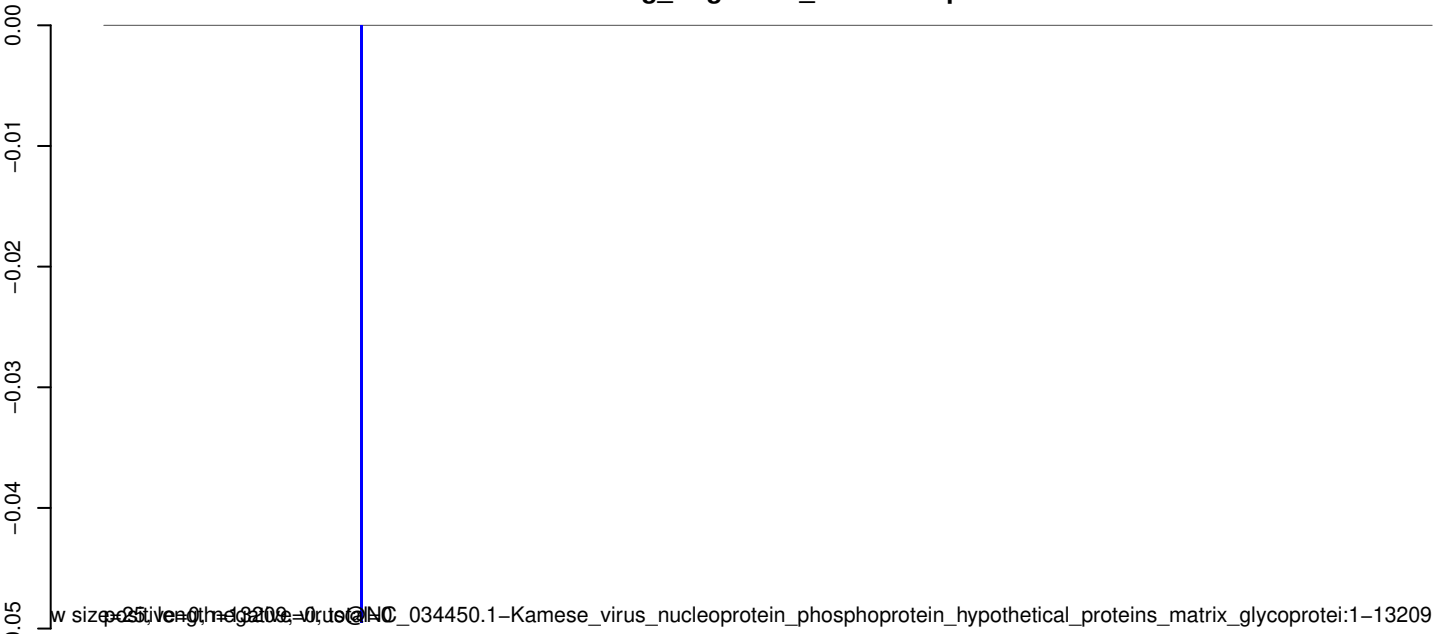
AeAeg_Aag2SINV_dsPiwi4.18_23.rep



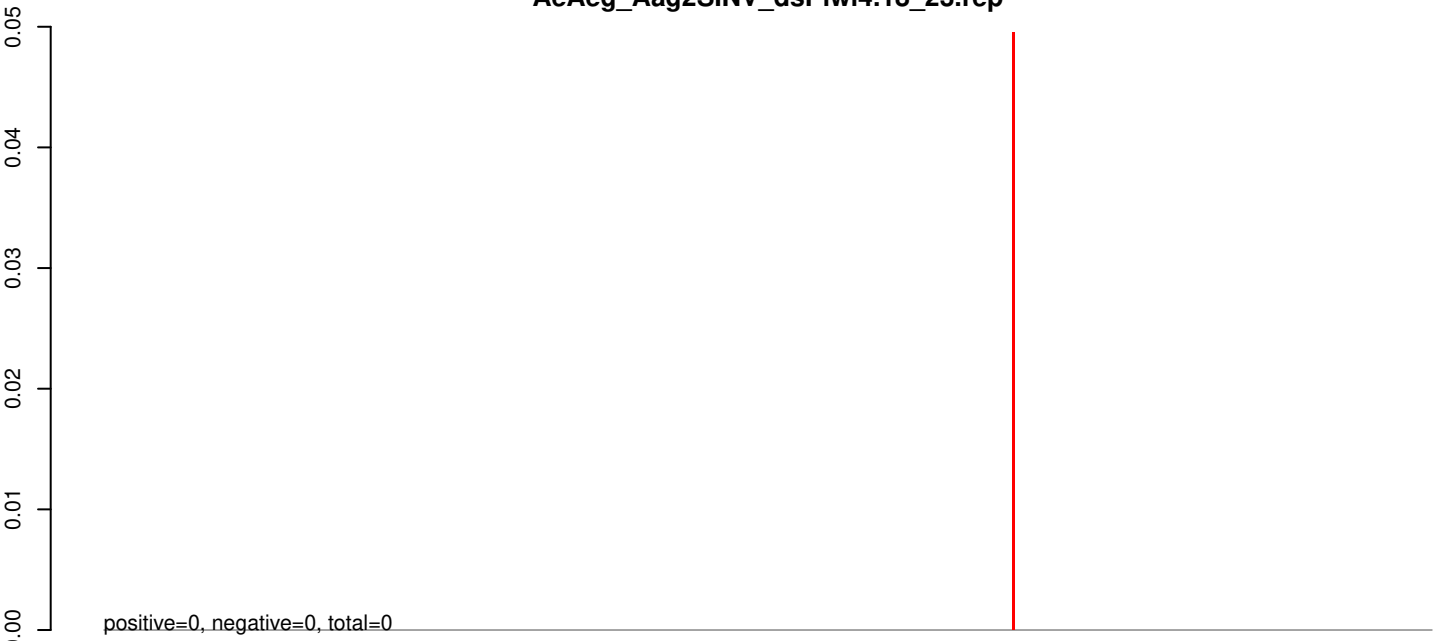
AeAeg_Aag2SINV_dsPiwi4.24_35.rep



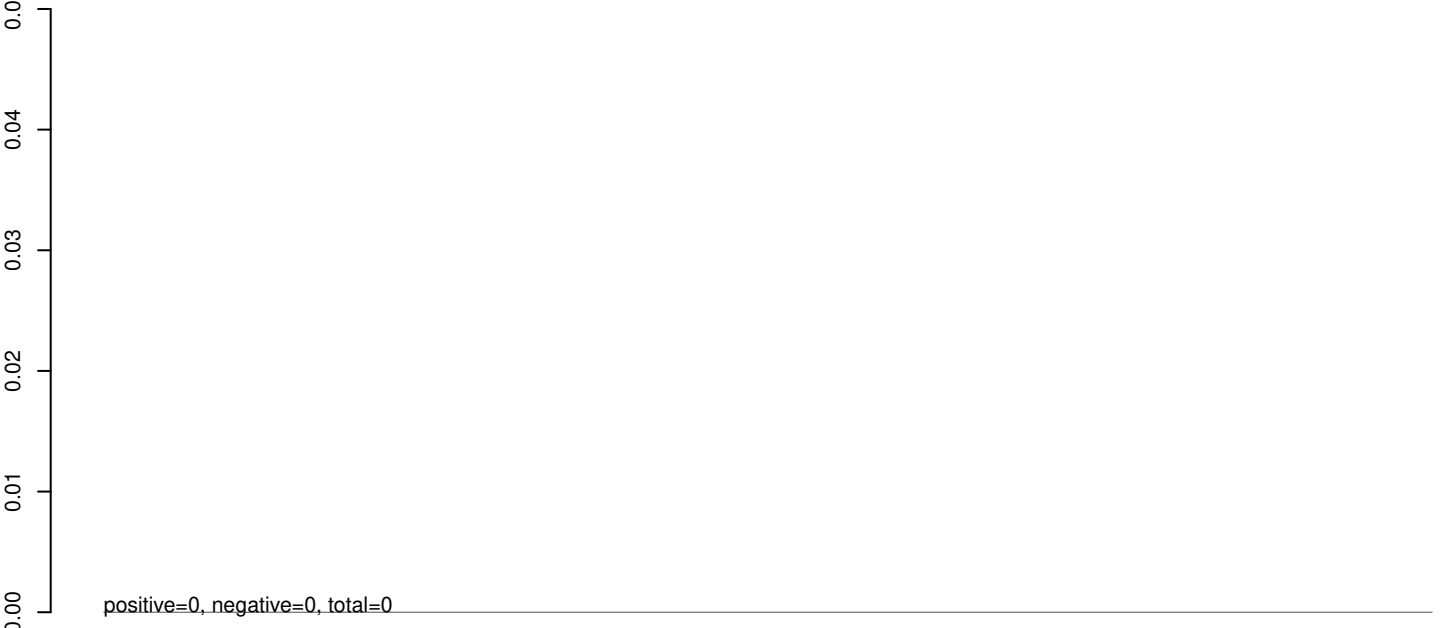
AeAeg_Aag2SINV_dsPiwi4.rep



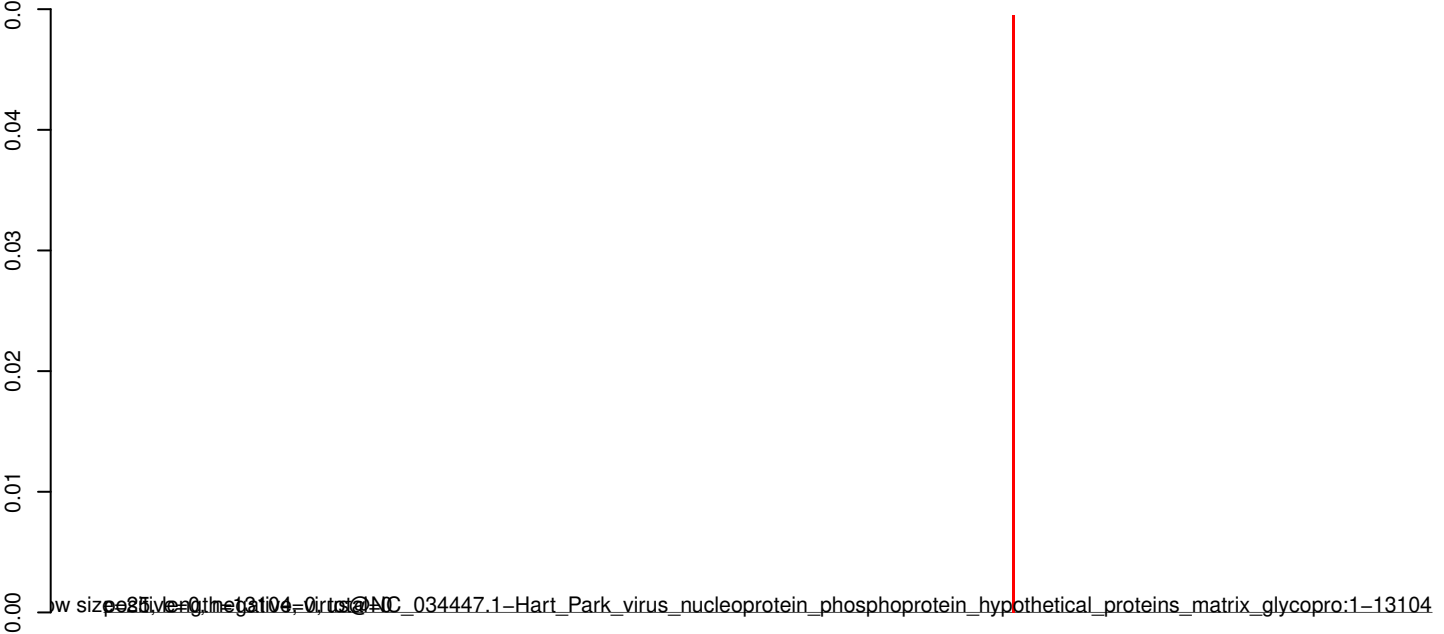
AeAeg_Aag2SINV_dsPiwi4.18_23.rep



AeAeg_Aag2SINV_dsPiwi4.24_35.rep

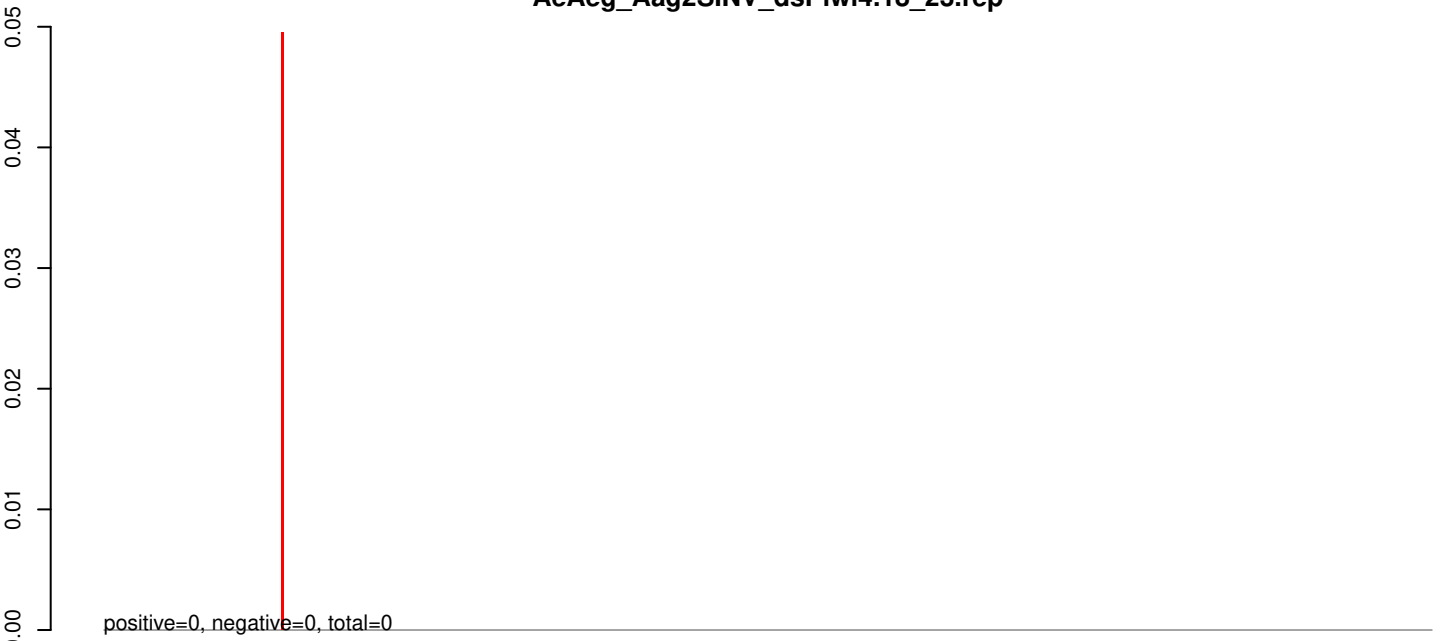


AeAeg_Aag2SINV_dsPiwi4.rep

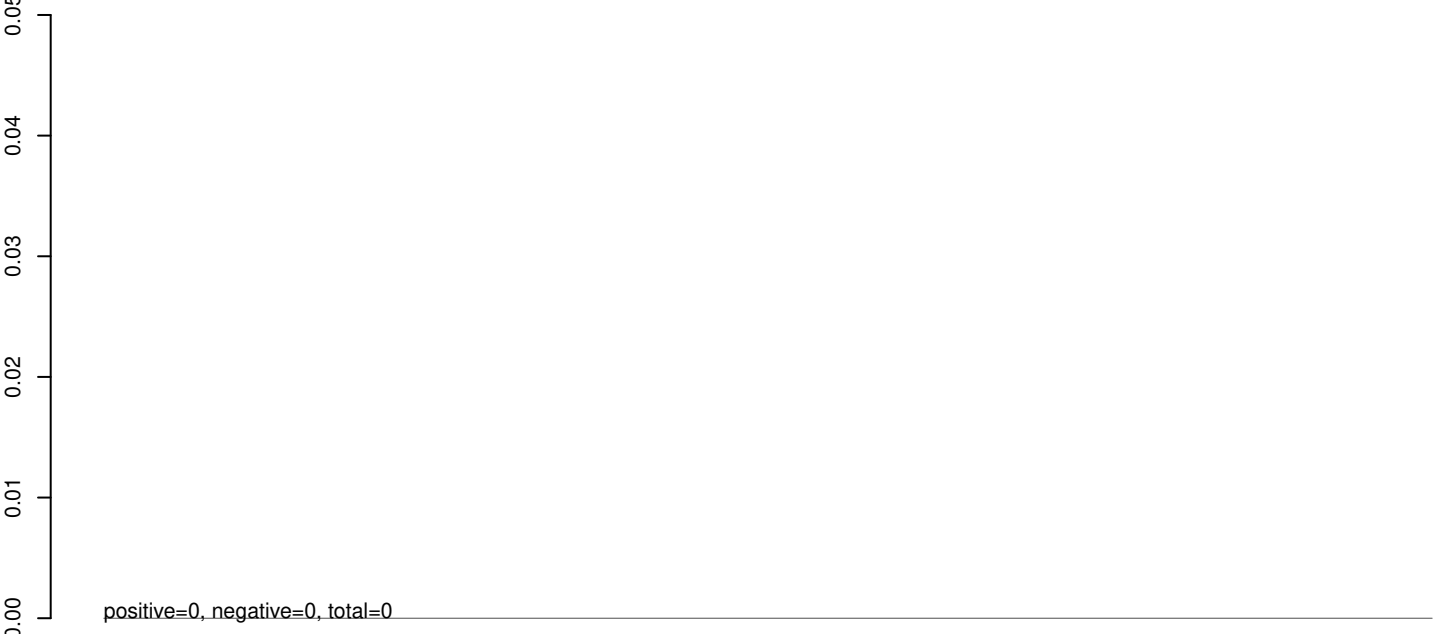


low size positive=0, negative=0, total=0
NC_034447.1-Hart_Park_virus_nucleoprotein_phosphoprotein_hypothetical_proteins_matrix_glycopro:1-13104

AeAeg_Aag2SINV_dsPiwi4.18_23.rep



AeAeg_Aag2SINV_dsPiwi4.24_35.rep

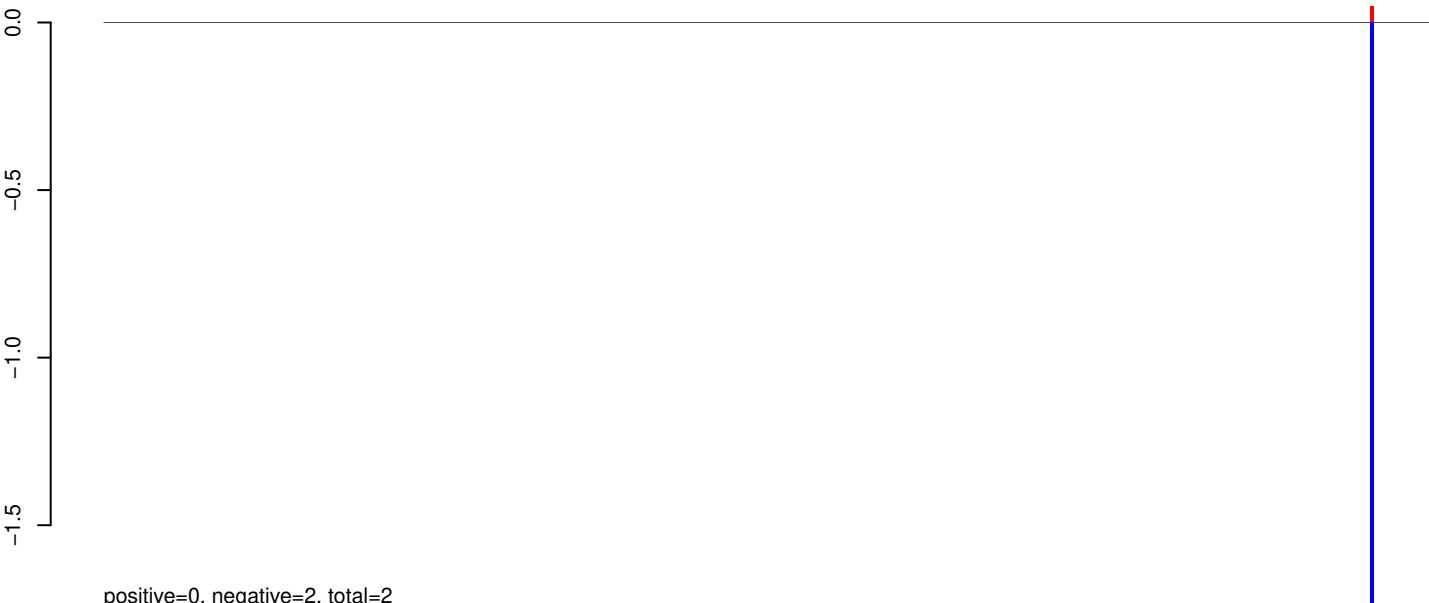


AeAeg_Aag2SINV_dsPiwi4.rep



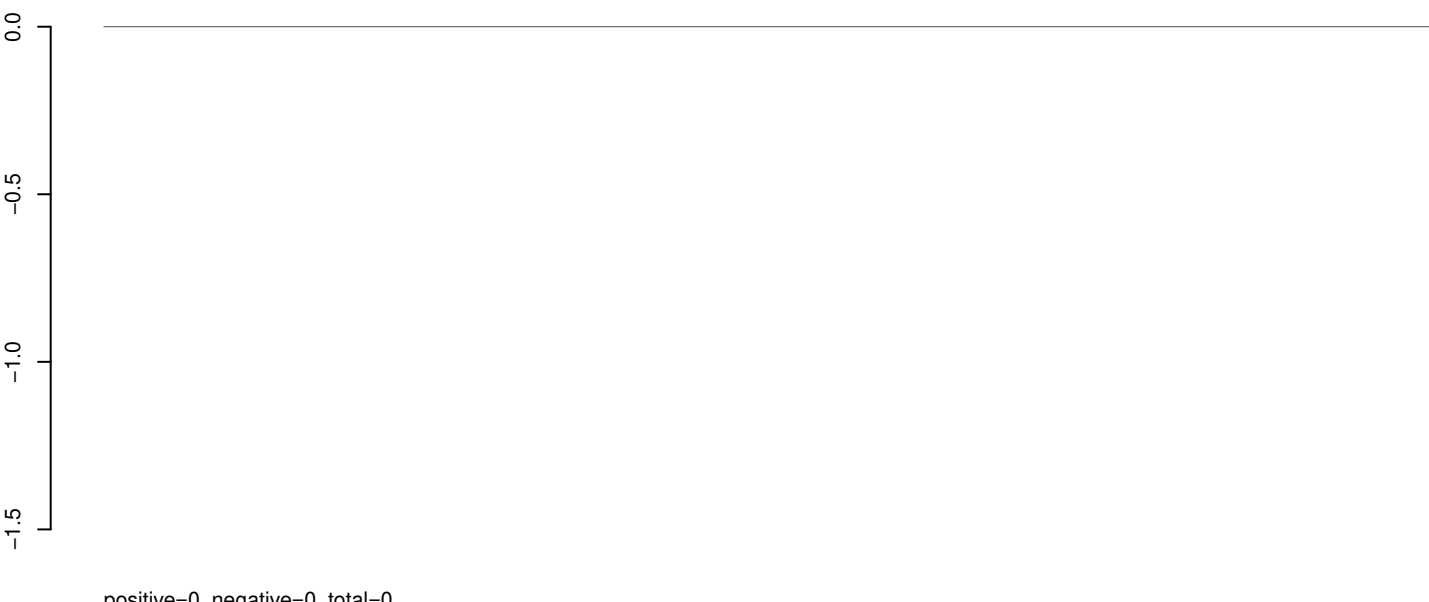
0 2000 4000 6000 8000 10000

AeAeg_Aag2SINV_dsPiwi4.18_23.rep



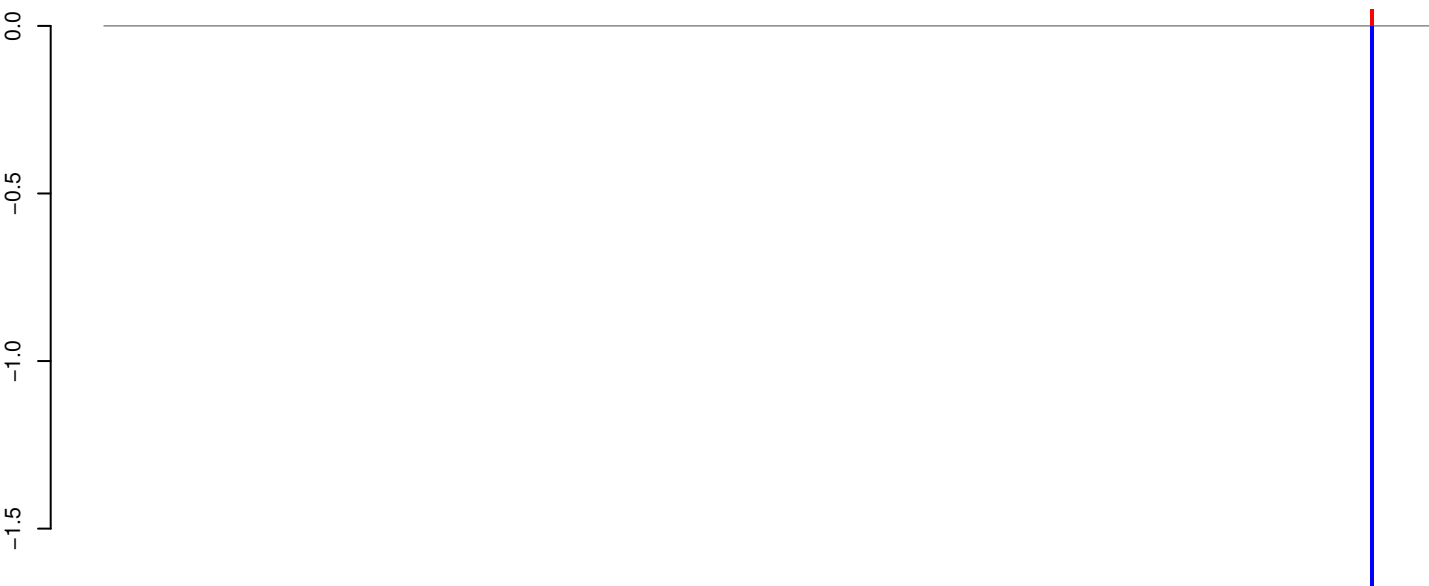
positive=0, negative=2, total=2

AeAeg_Aag2SINV_dsPiwi4.24_35.rep

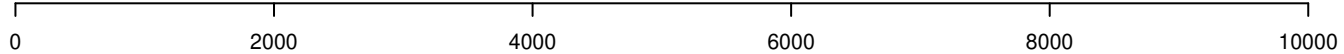


positive=0, negative=0, total=0

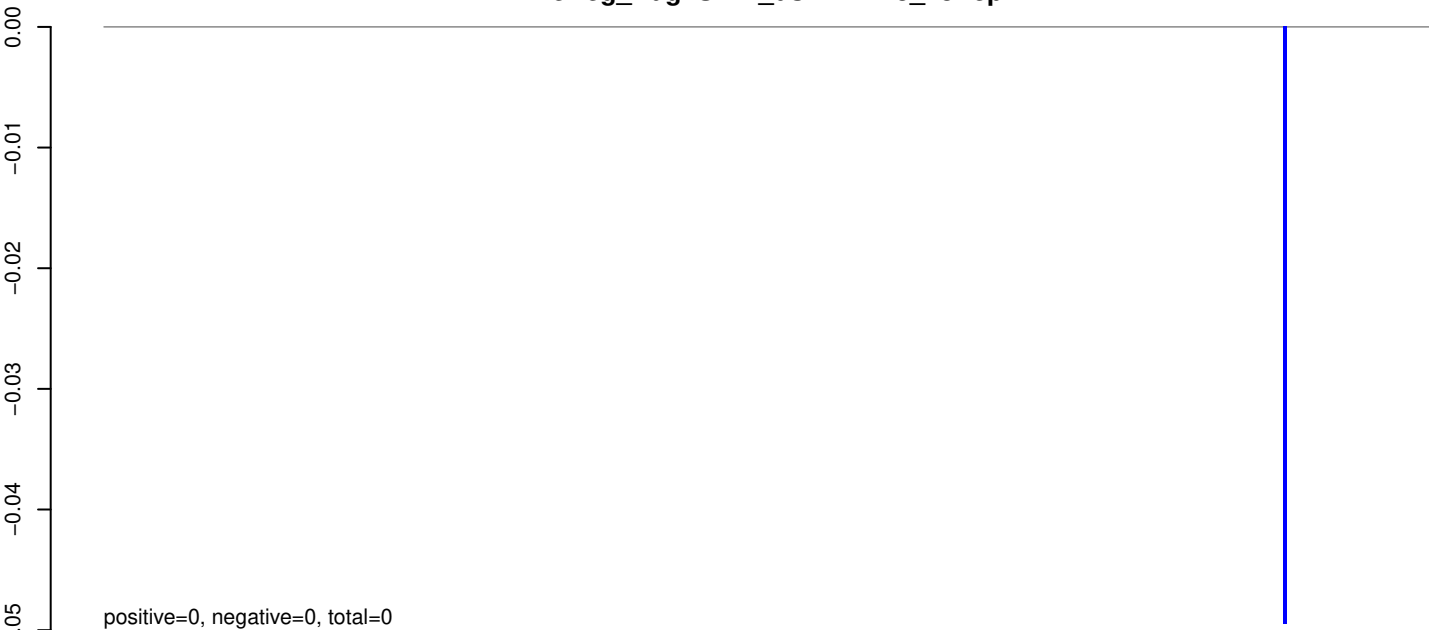
AeAeg_Aag2SINV_dsPiwi4.rep



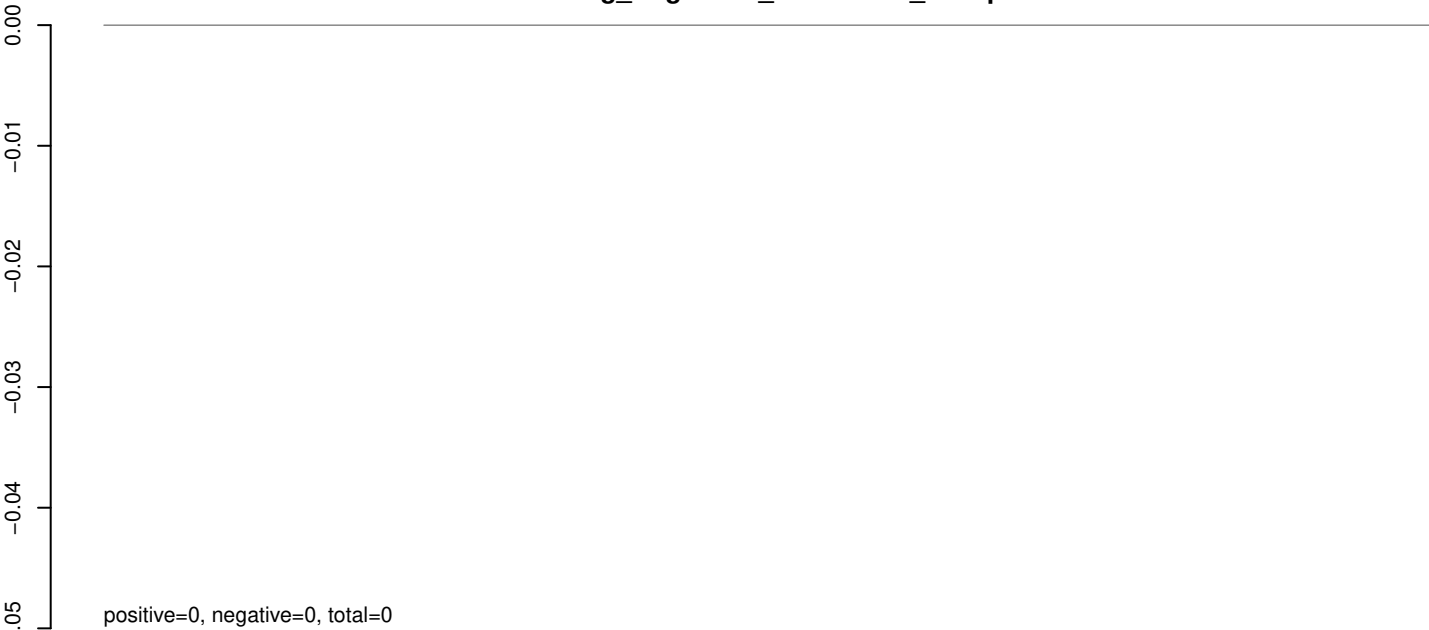
positive=0, negative=2, total=2, window-size=25, length=10251, virus@NC_033723.1-Gadgets_Gully_virus_from_Australia_polyprotein_gene:1-10251



AeAeg_Aag2SINV_dsPiwi4.18_23.rep



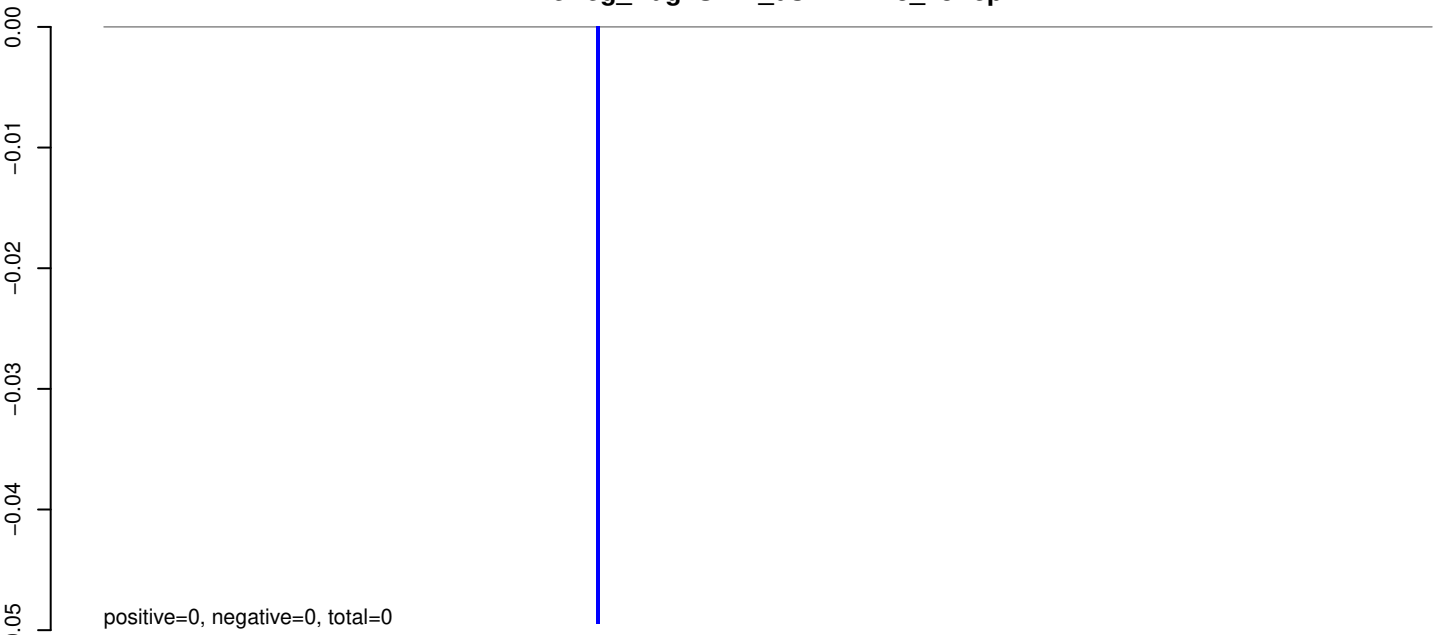
AeAeg_Aag2SINV_dsPiwi4.24_35.rep



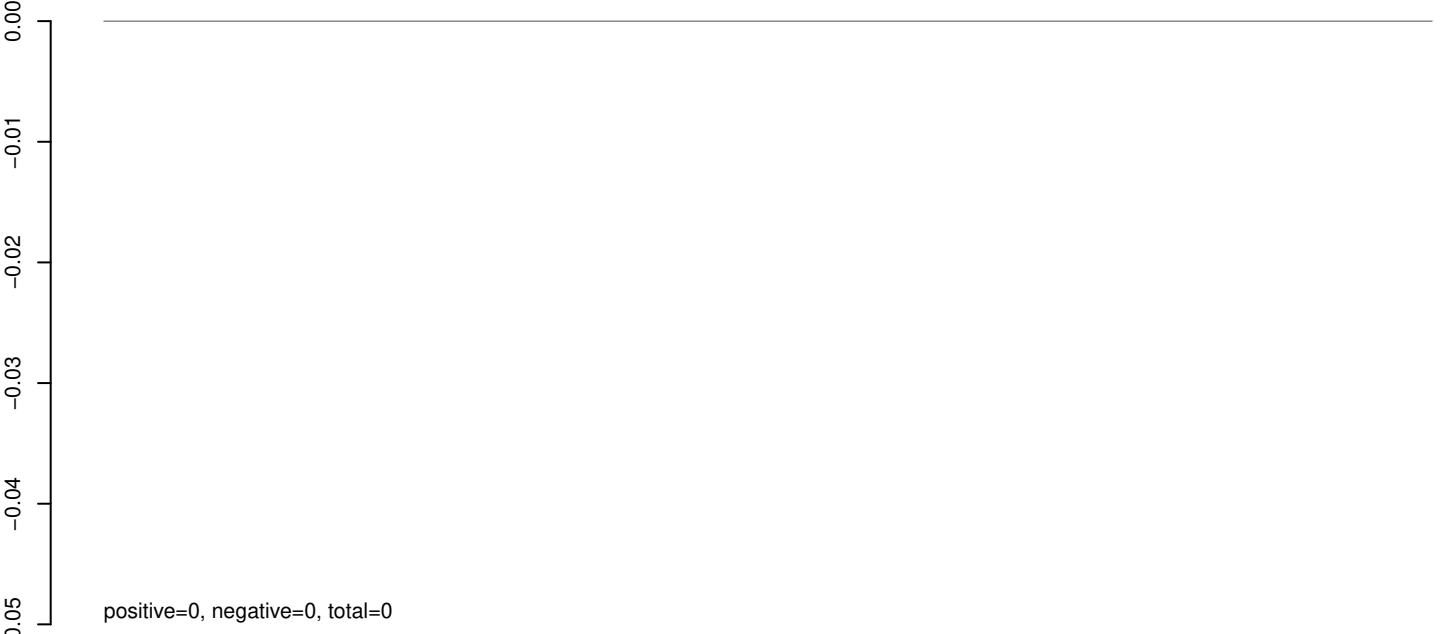
AeAeg_Aag2SINV_dsPiwi4.rep



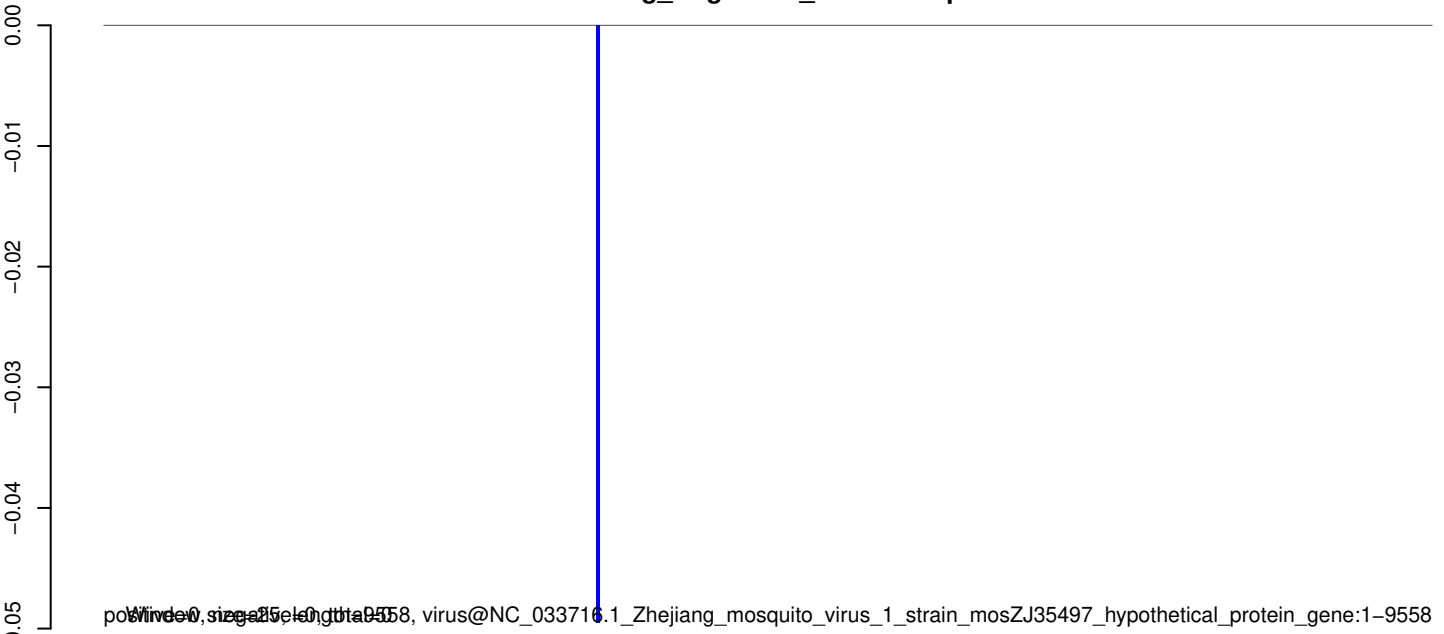
AeAeg_Aag2SINV_dsPiwi4.18_23.rep



AeAeg_Aag2SINV_dsPiwi4.24_35.rep

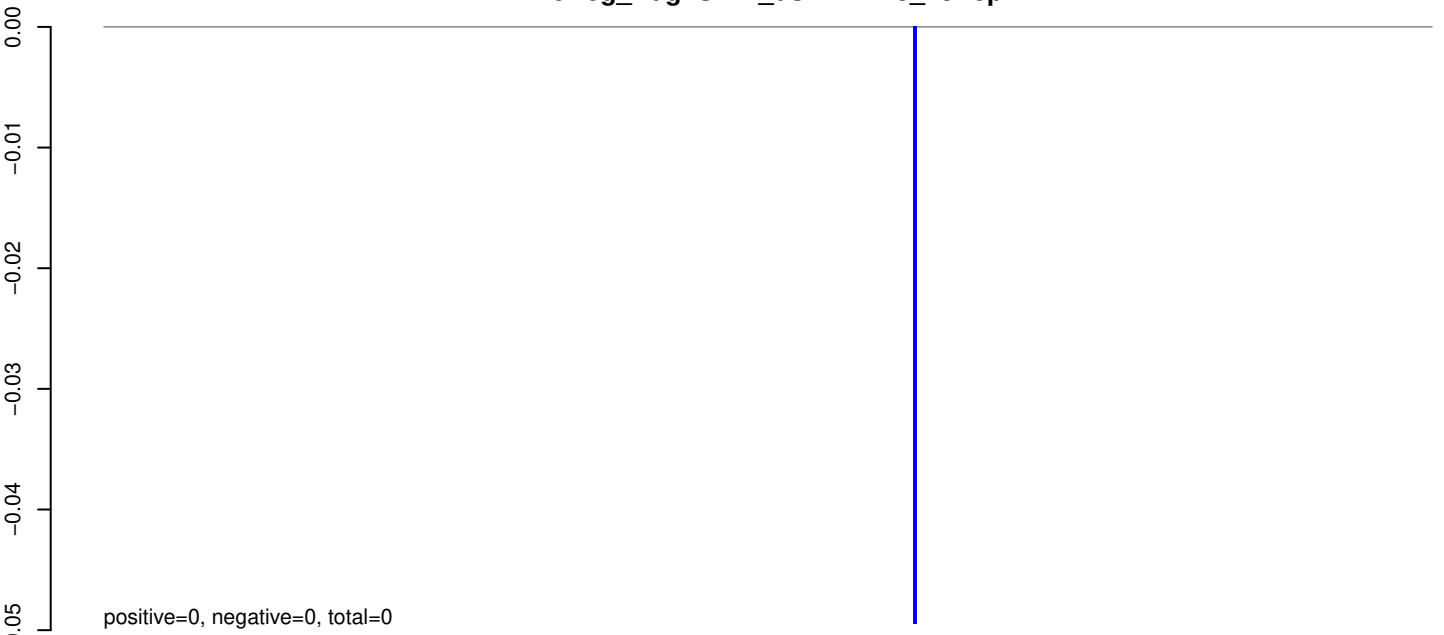


AeAeg_Aag2SINV_dsPiwi4.rep

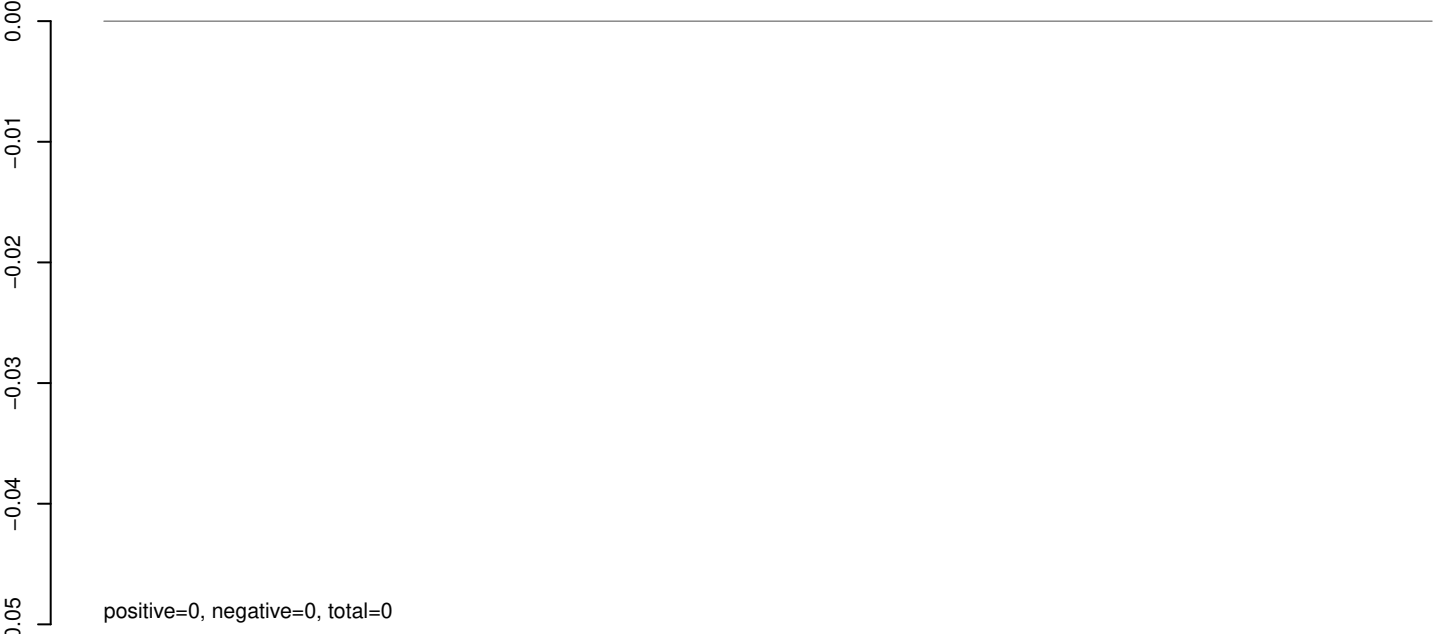


0 2000 4000 6000 8000

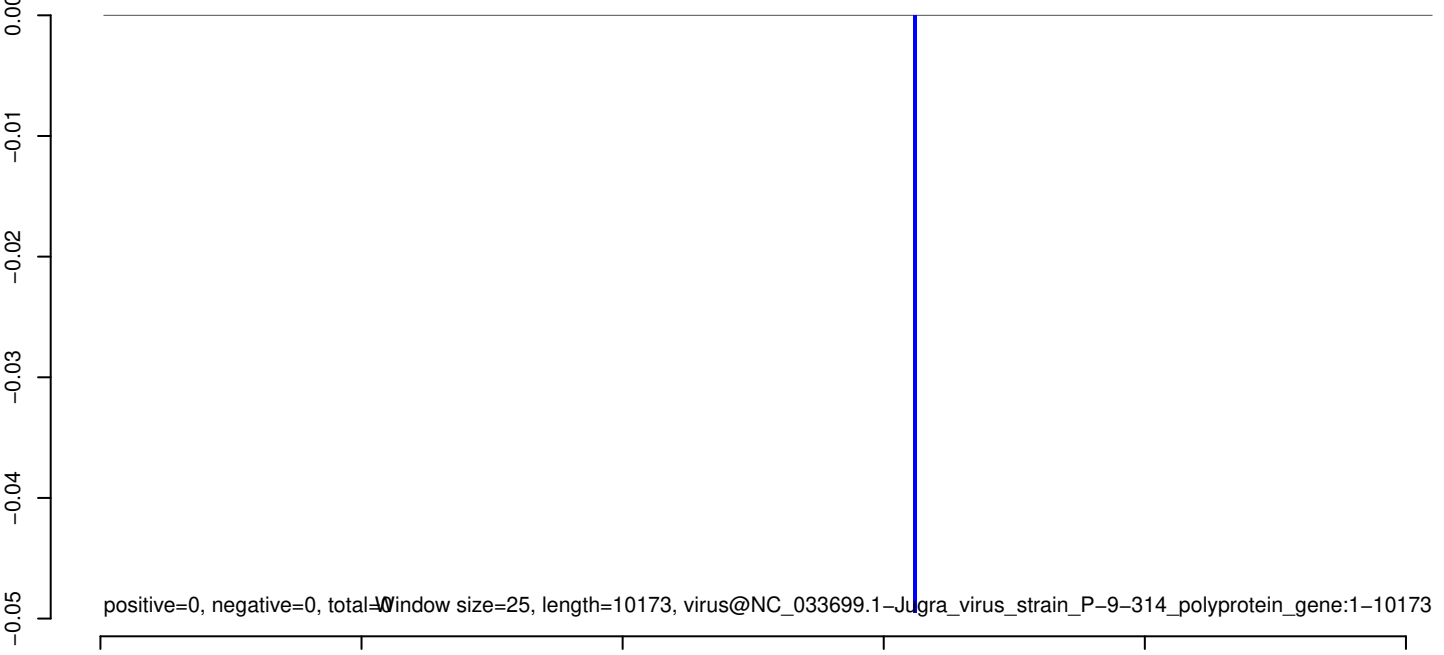
AeAeg_Aag2SINV_dsPiwi4.18_23.rep



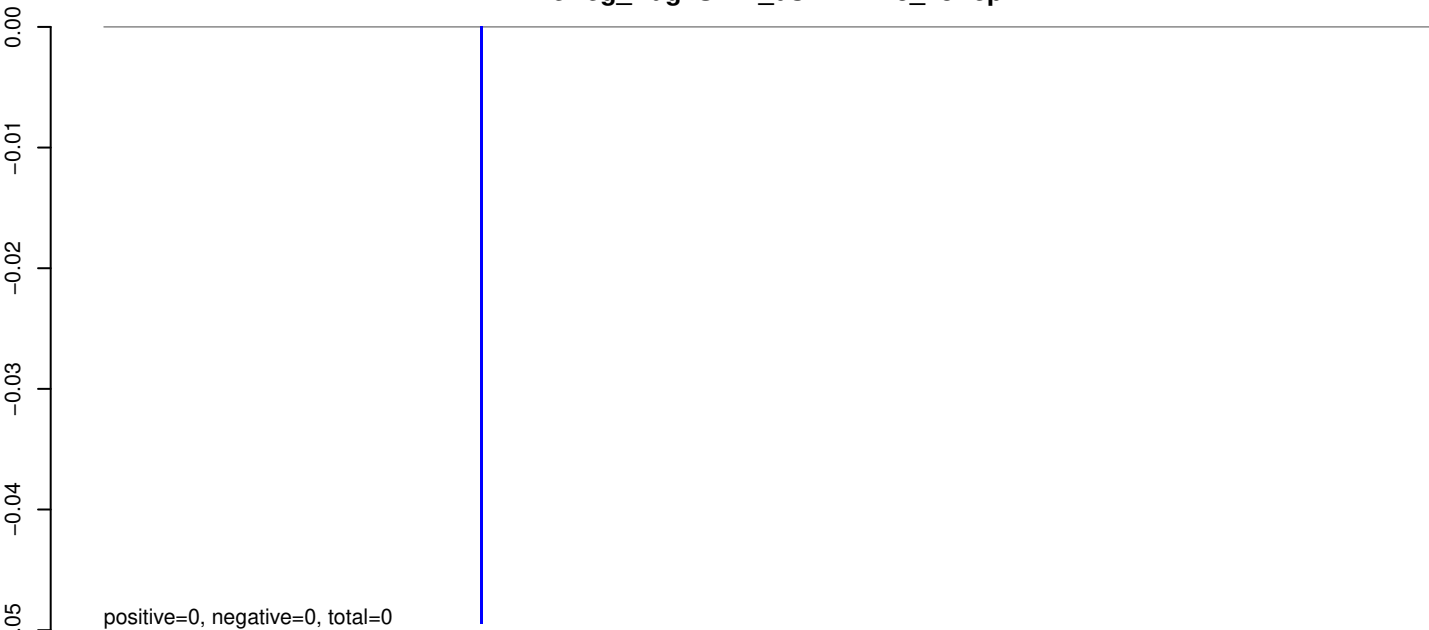
AeAeg_Aag2SINV_dsPiwi4.24_35.rep



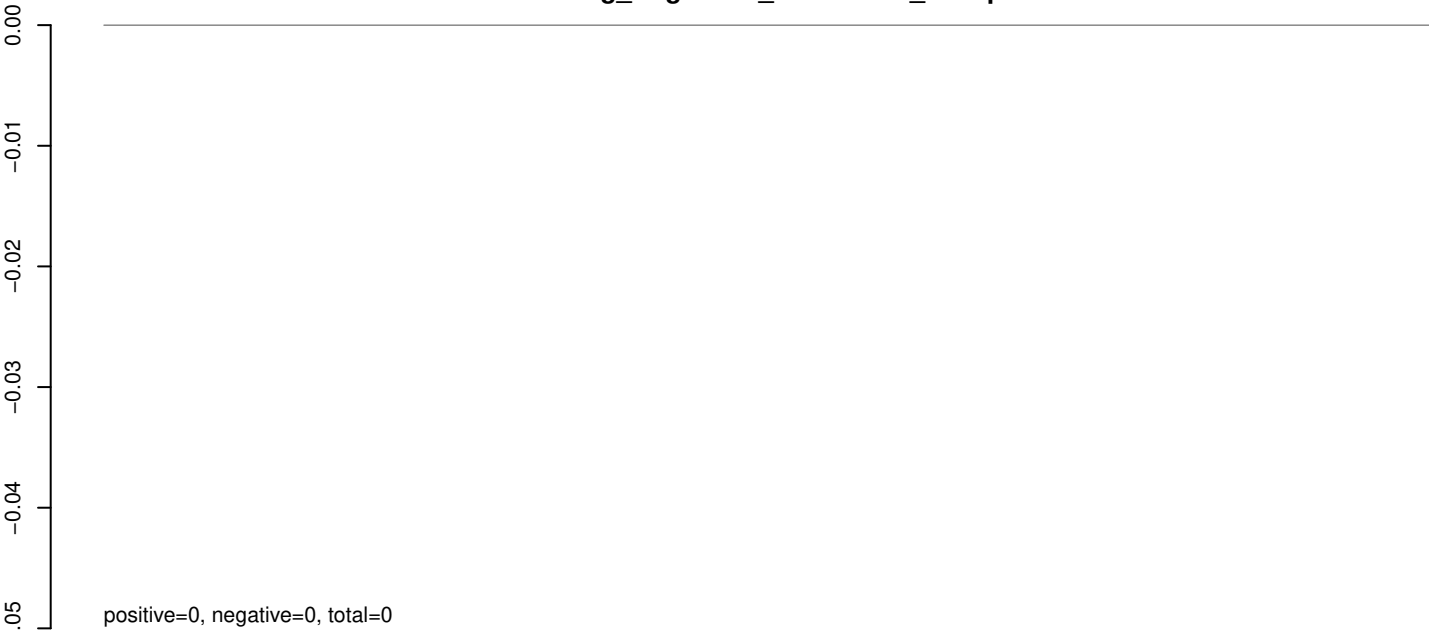
AeAeg_Aag2SINV_dsPiwi4.rep



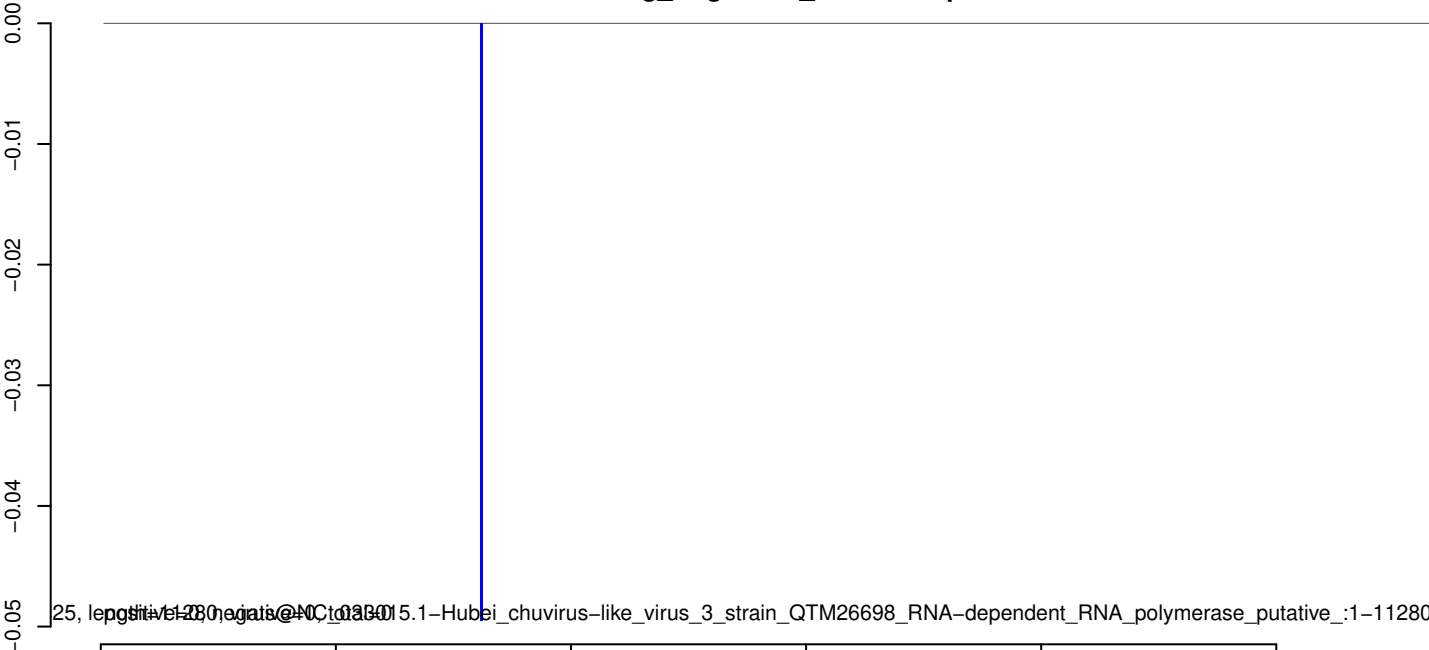
AeAeg_Aag2SINV_dsPiwi4.18_23.rep



AeAeg_Aag2SINV_dsPiwi4.24_35.rep



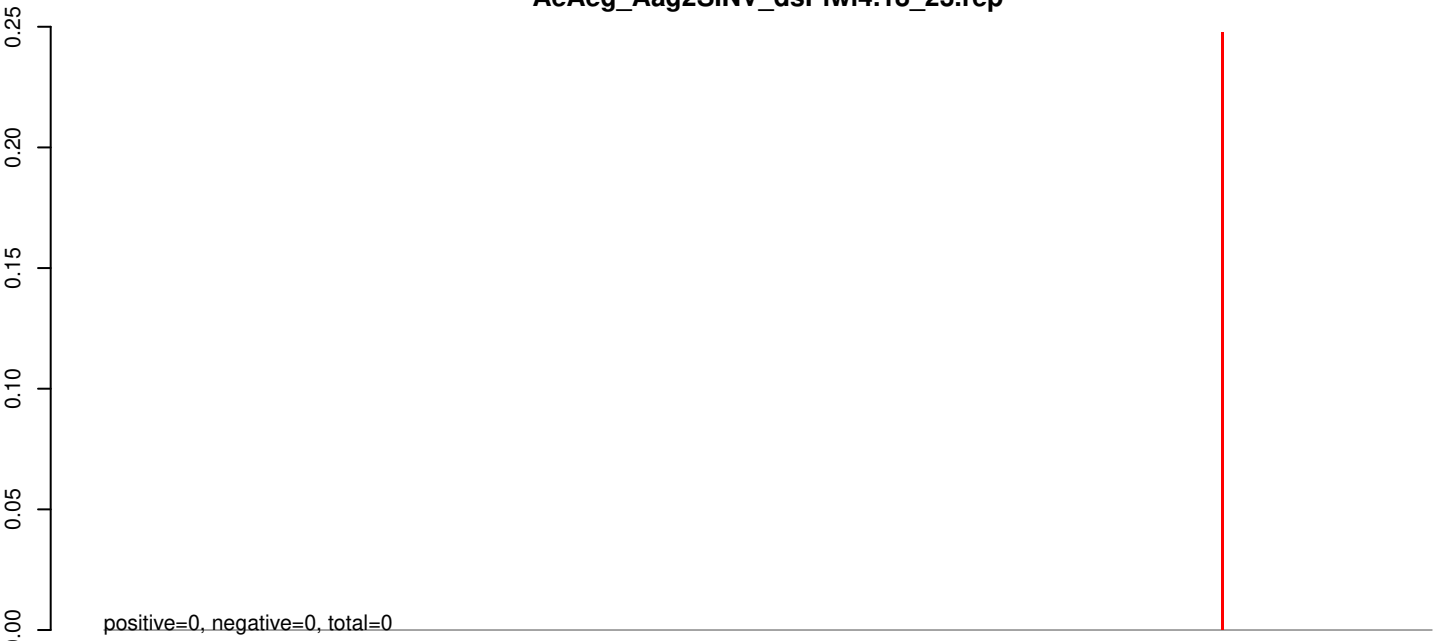
AeAeg_Aag2SINV_dsPiwi4.rep



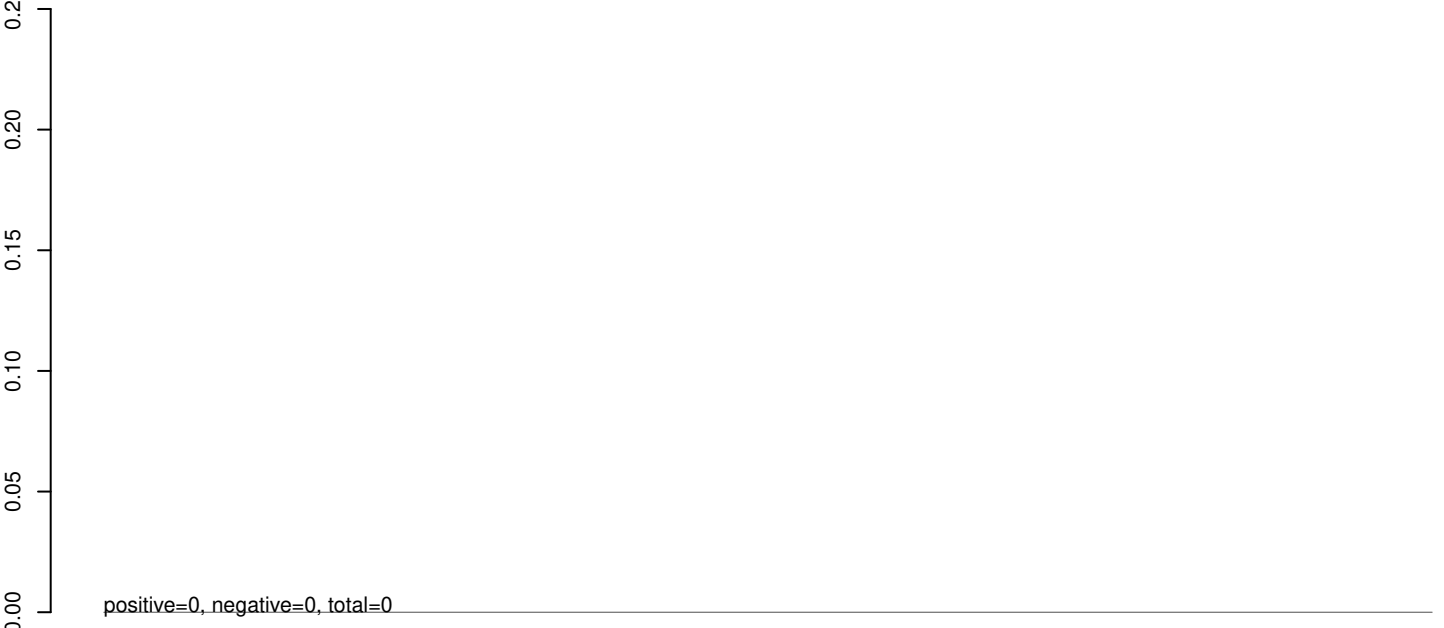
25, length=1280, negative=0, total=0, NC_018301.1-Hubei_chuvirus-like_virus_3_strain_QTM26698_RNA-dependent_RNA_polymerase_putative_:1-11280

0 2000 4000 6000 8000 10000

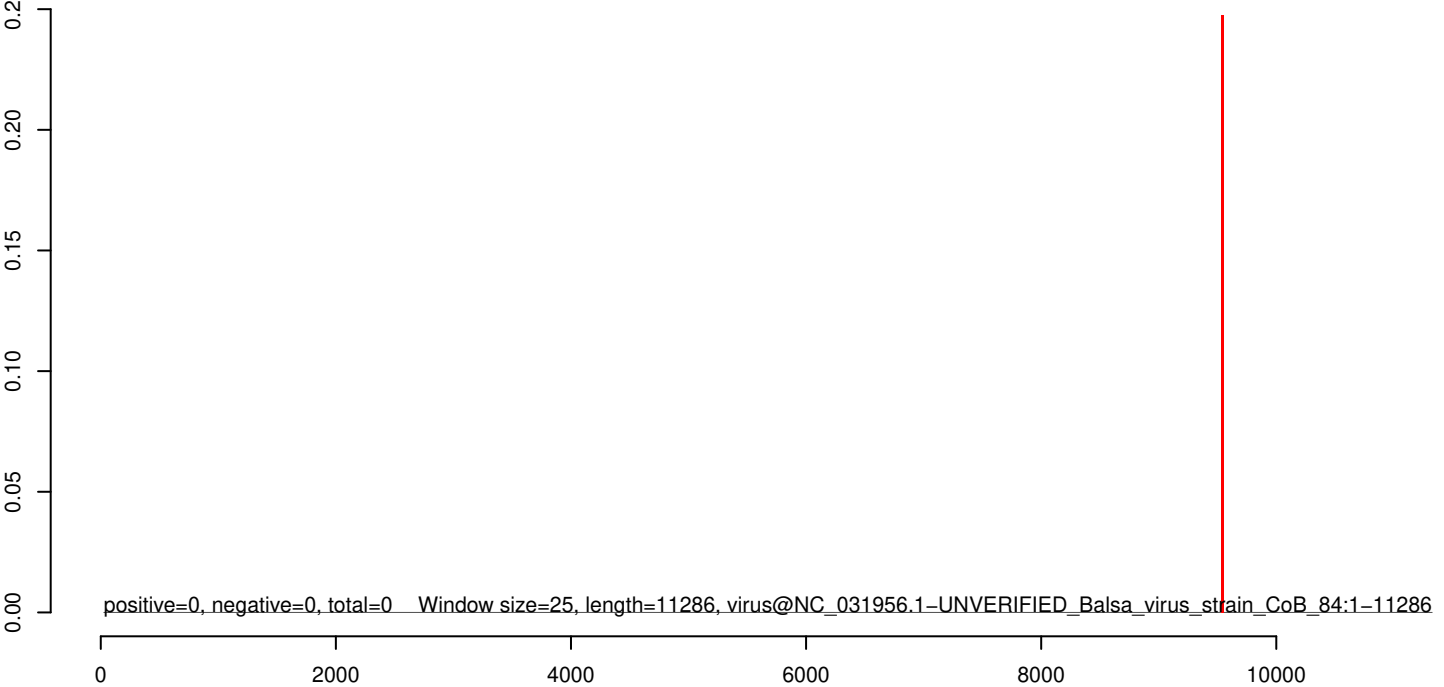
AeAeg_Aag2SINV_dsPiwi4.18_23.rep



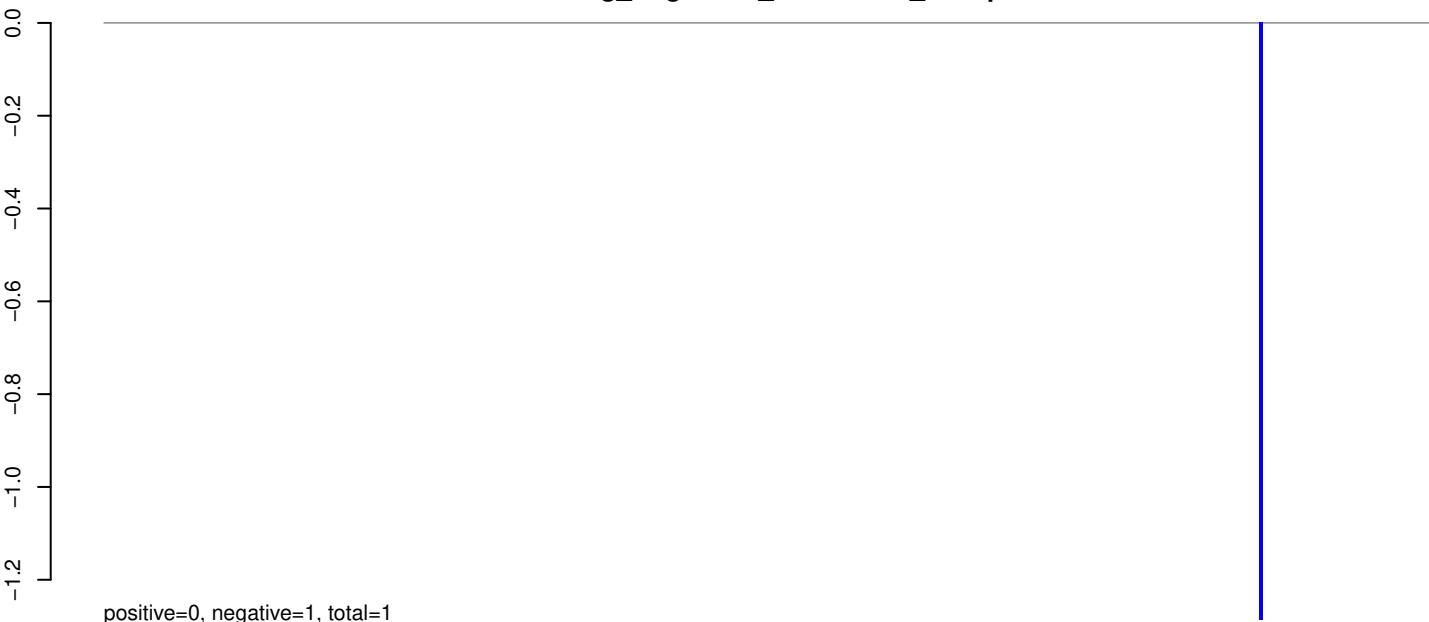
AeAeg_Aag2SINV_dsPiwi4.24_35.rep



AeAeg_Aag2SINV_dsPiwi4.rep

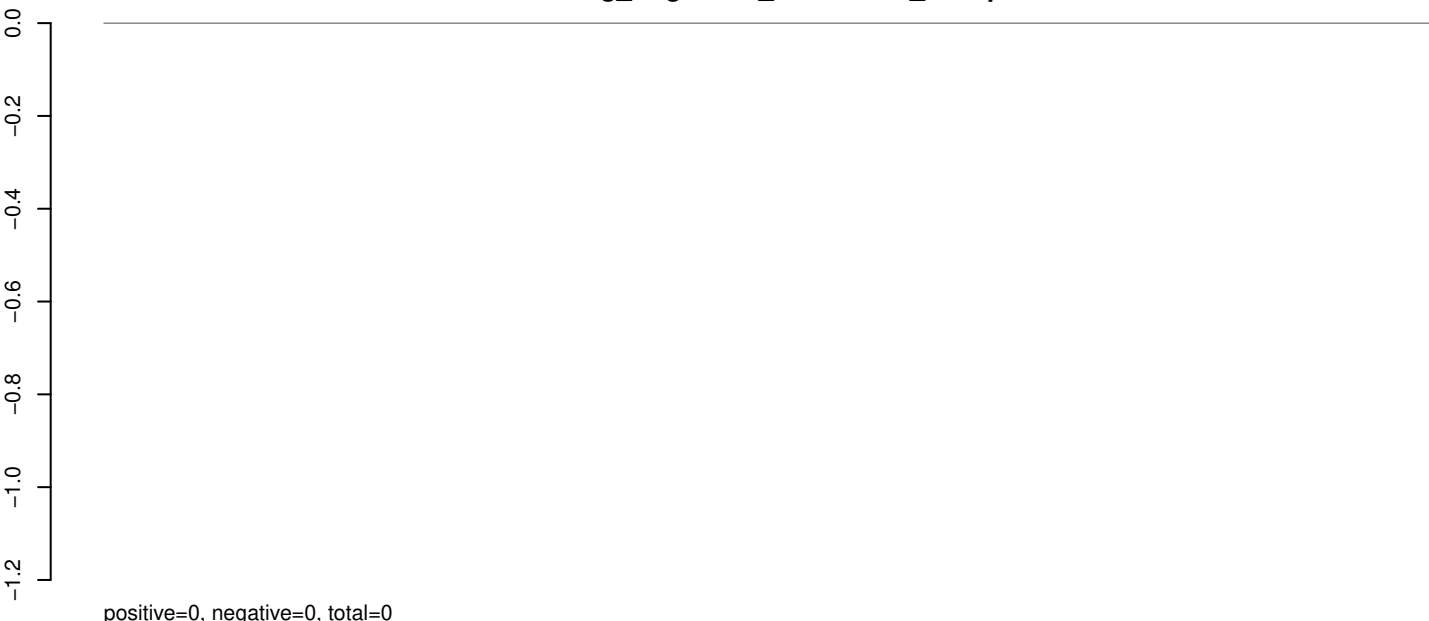


AeAeg_Aag2SINV_dsPiwi4.18_23.rep



positive=0, negative=1, total=1

AeAeg_Aag2SINV_dsPiwi4.24_35.rep



positive=0, negative=0, total=0

AeAeg_Aag2SINV_dsPiwi4.rep

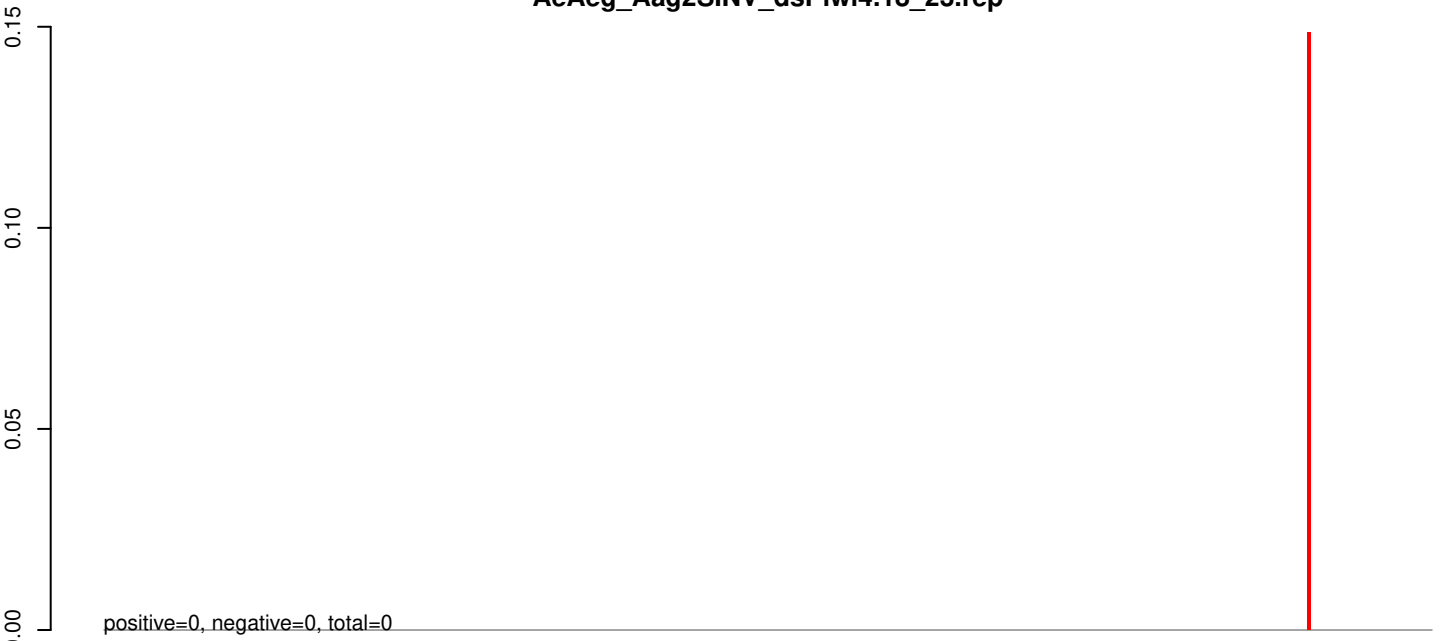


positive=0, negative=1, total=1

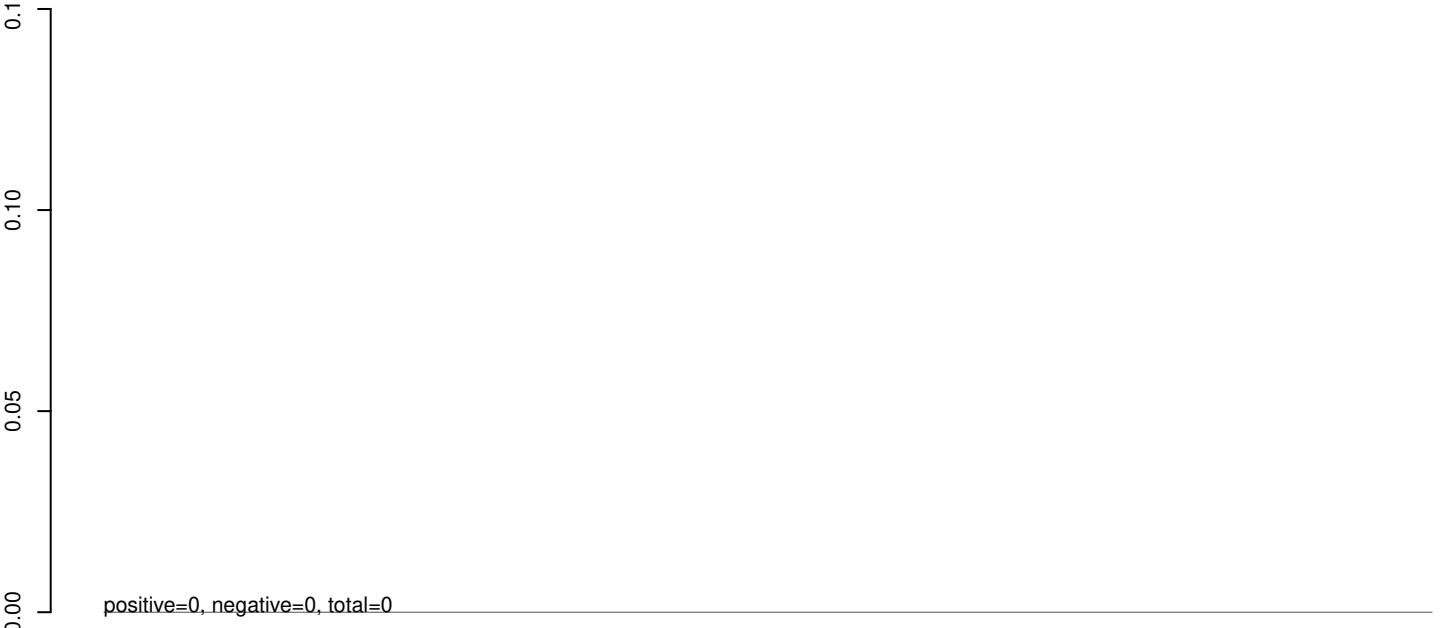
Window size=25, length=10588, virus@NC_031327.1-Anopheles_flavivirus_variant_1:1-10588

0 2000 4000 6000 8000 10000

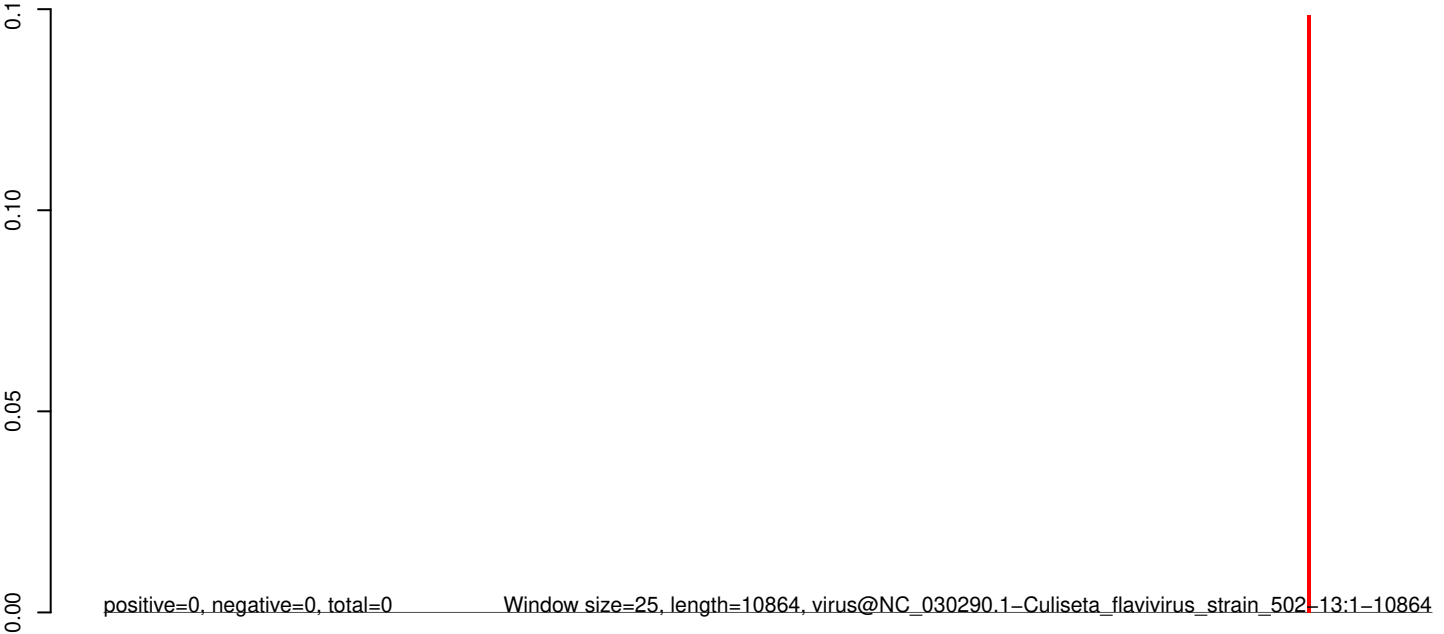
AeAeg_Aag2SINV_dsPiwi4.18_23.rep



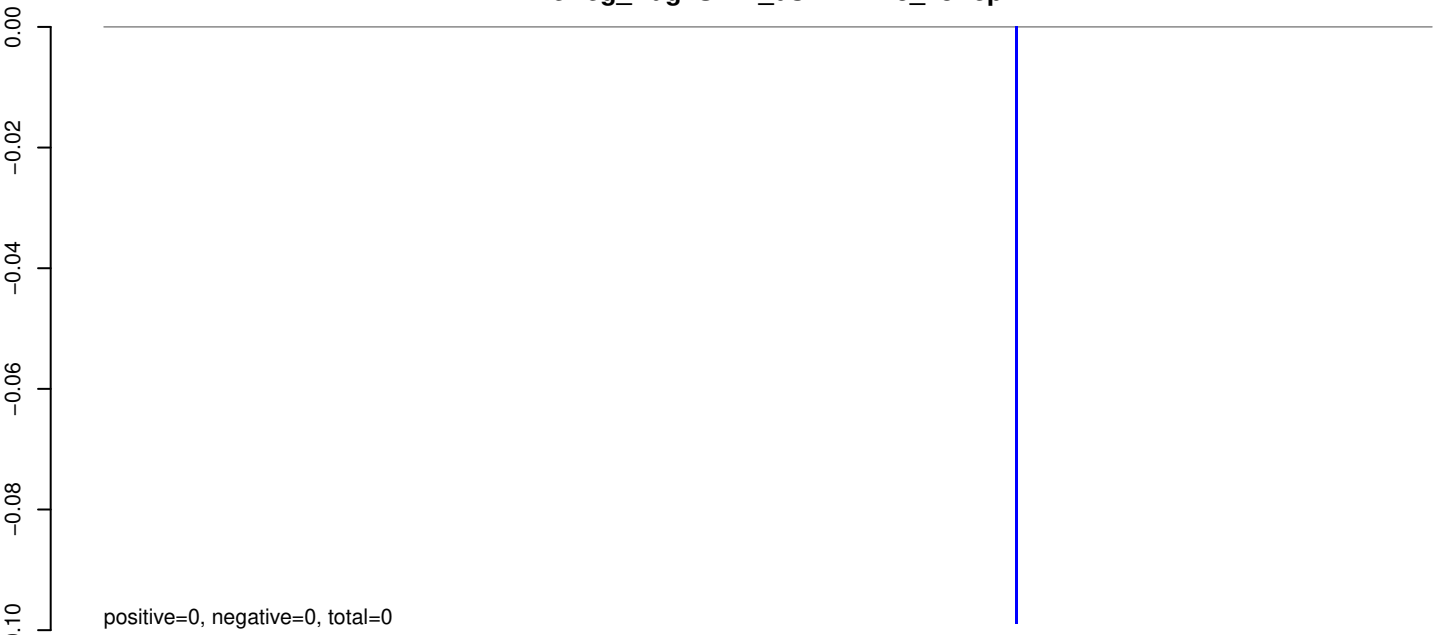
AeAeg_Aag2SINV_dsPiwi4.24_35.rep



AeAeg_Aag2SINV_dsPiwi4.rep

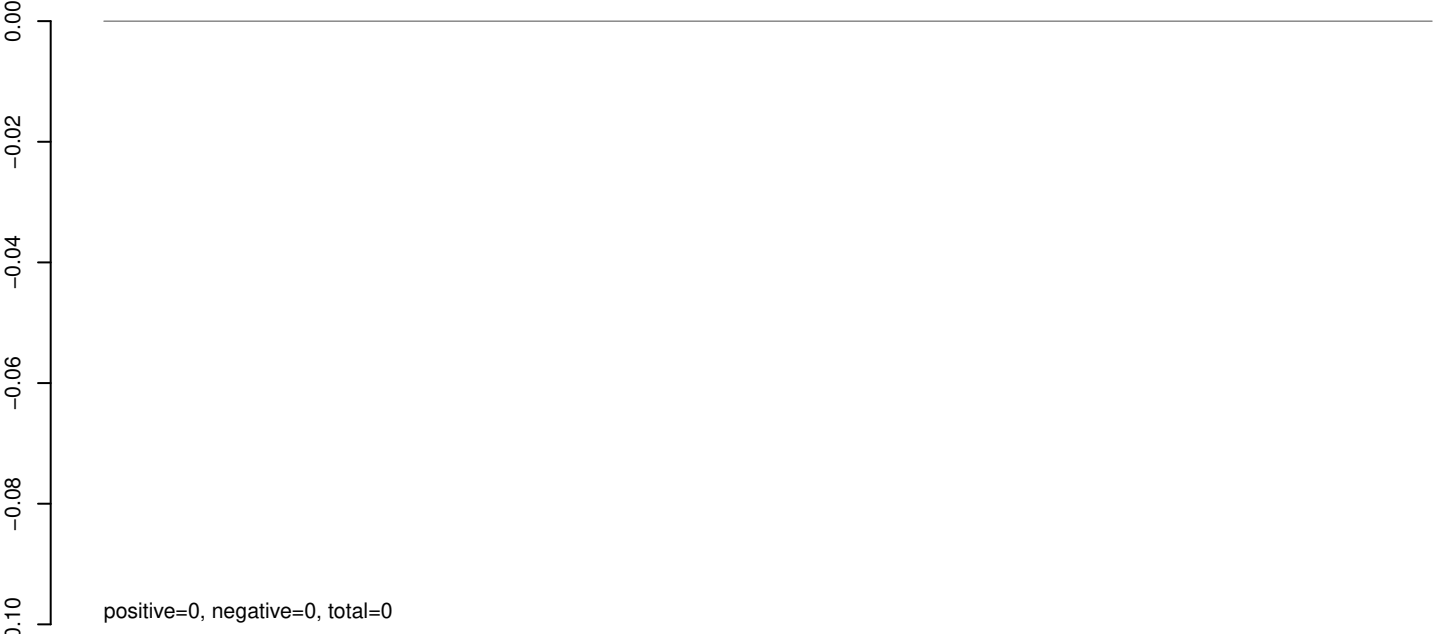


AeAeg_Aag2SINV_dsPiwi4.18_23.rep



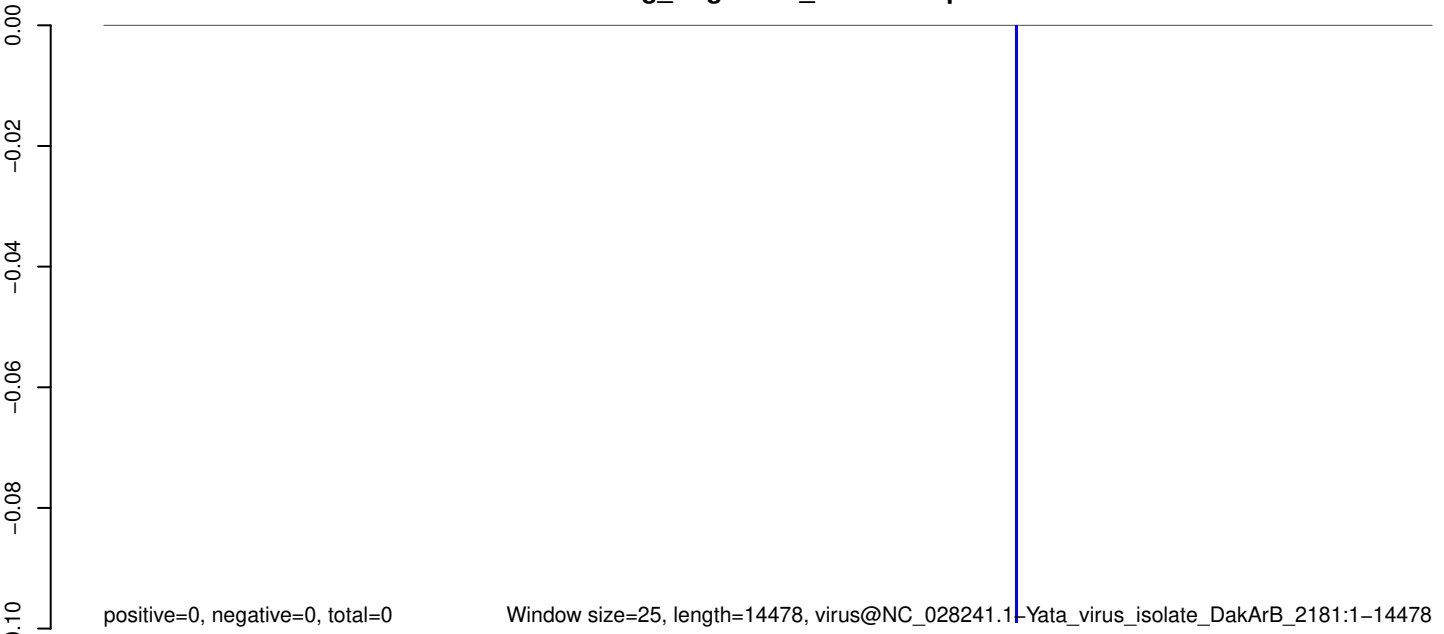
positive=0, negative=0, total=0

AeAeg_Aag2SINV_dsPiwi4.24_35.rep



positive=0, negative=0, total=0

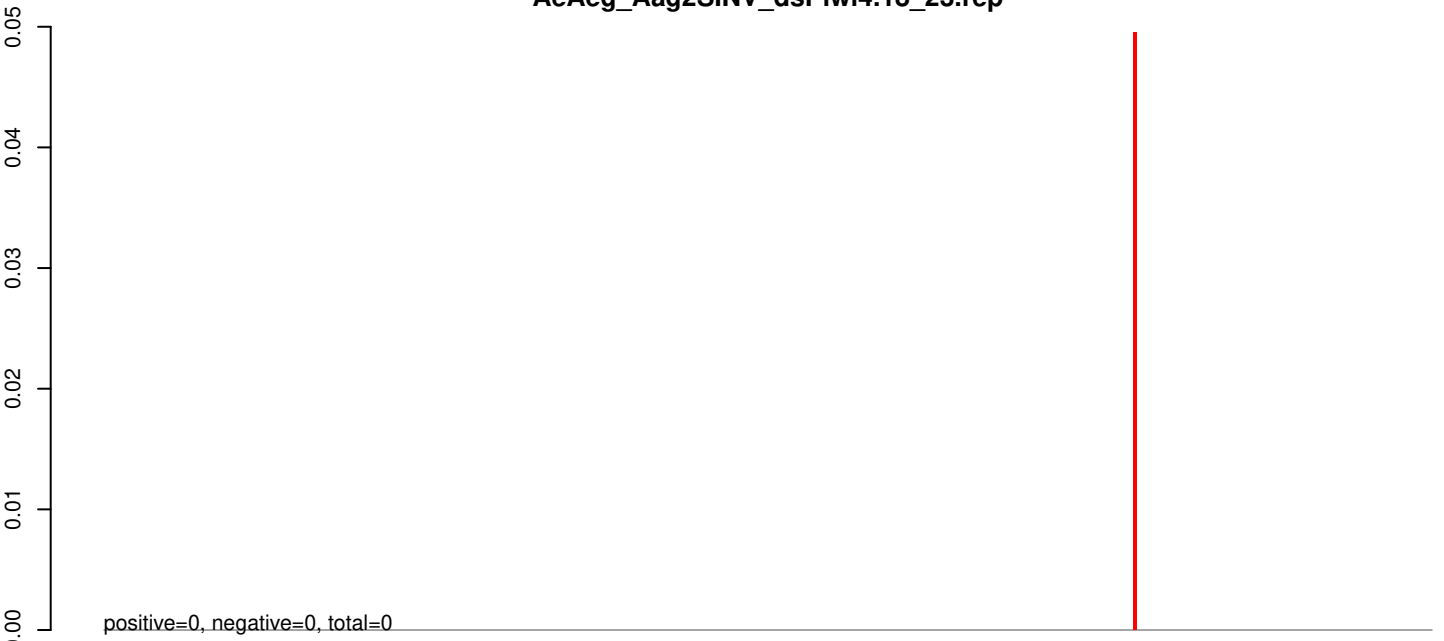
AeAeg_Aag2SINV_dsPiwi4.rep



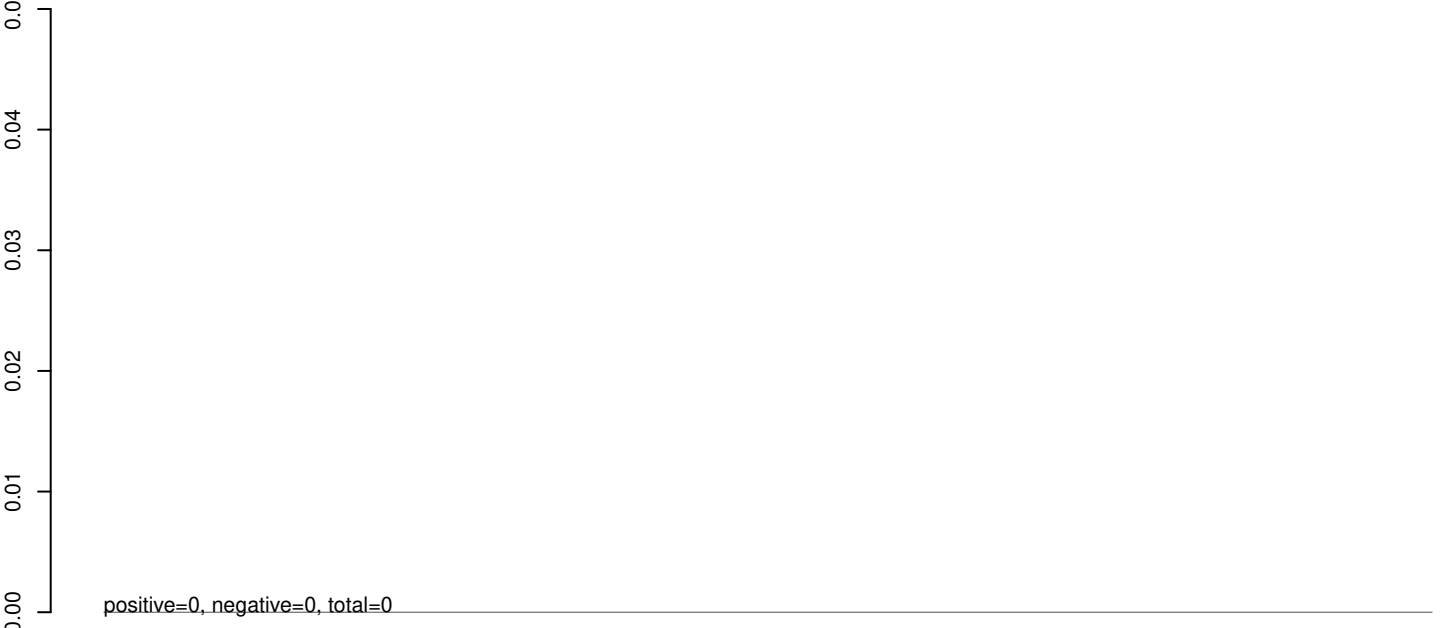
positive=0, negative=0, total=0

Window size=25, length=14478, virus@NC_028241.1-Yata_virus_isolate_DakArB_2181:1-14478

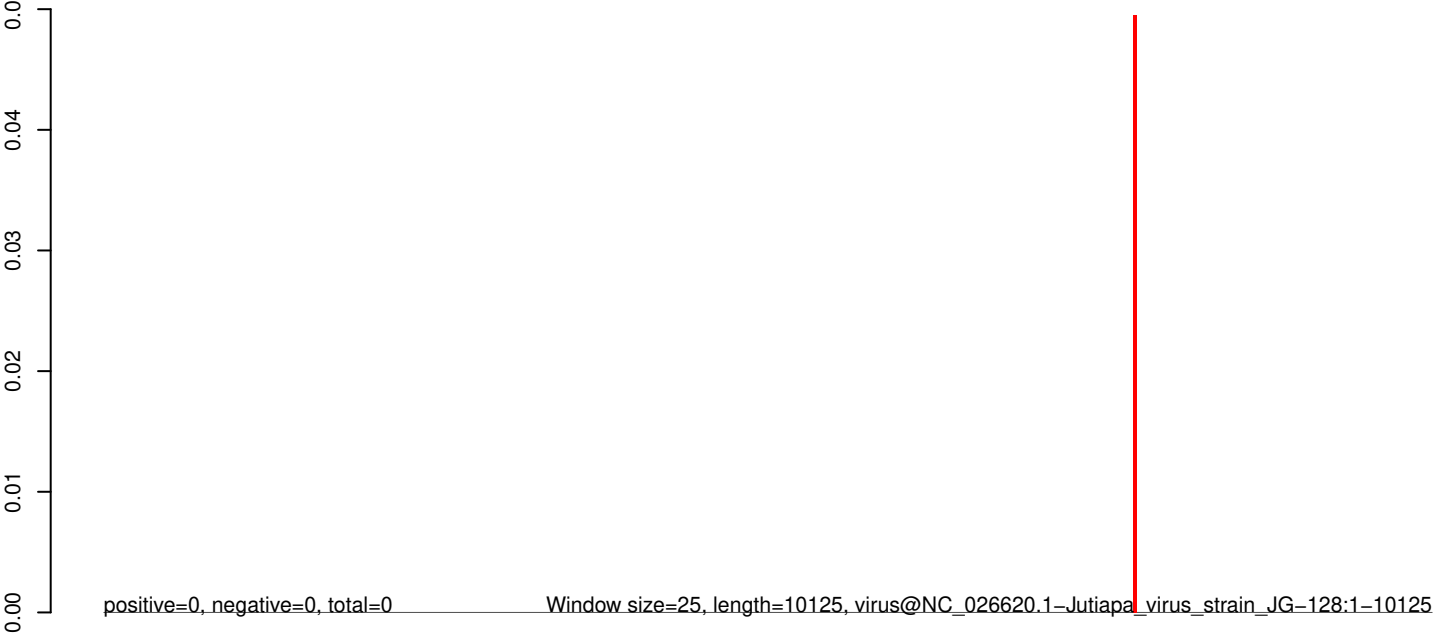
AeAeg_Aag2SINV_dsPiwi4.18_23.rep



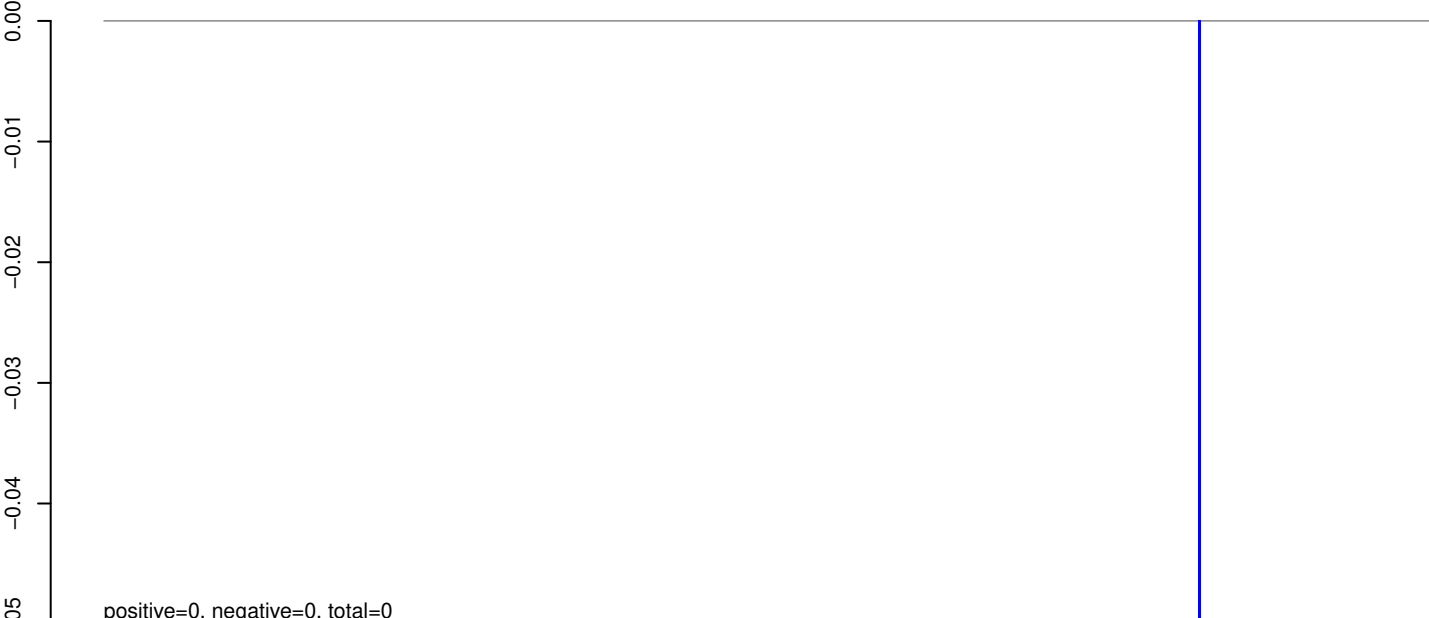
AeAeg_Aag2SINV_dsPiwi4.24_35.rep



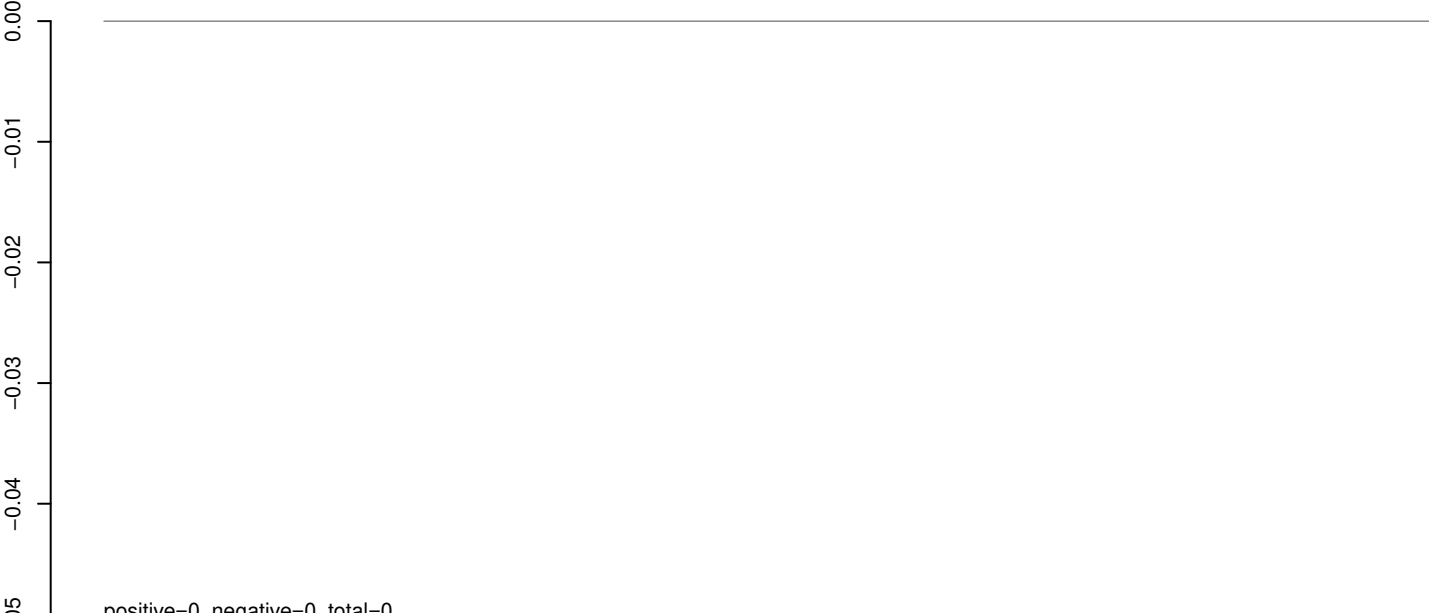
AeAeg_Aag2SINV_dsPiwi4.rep



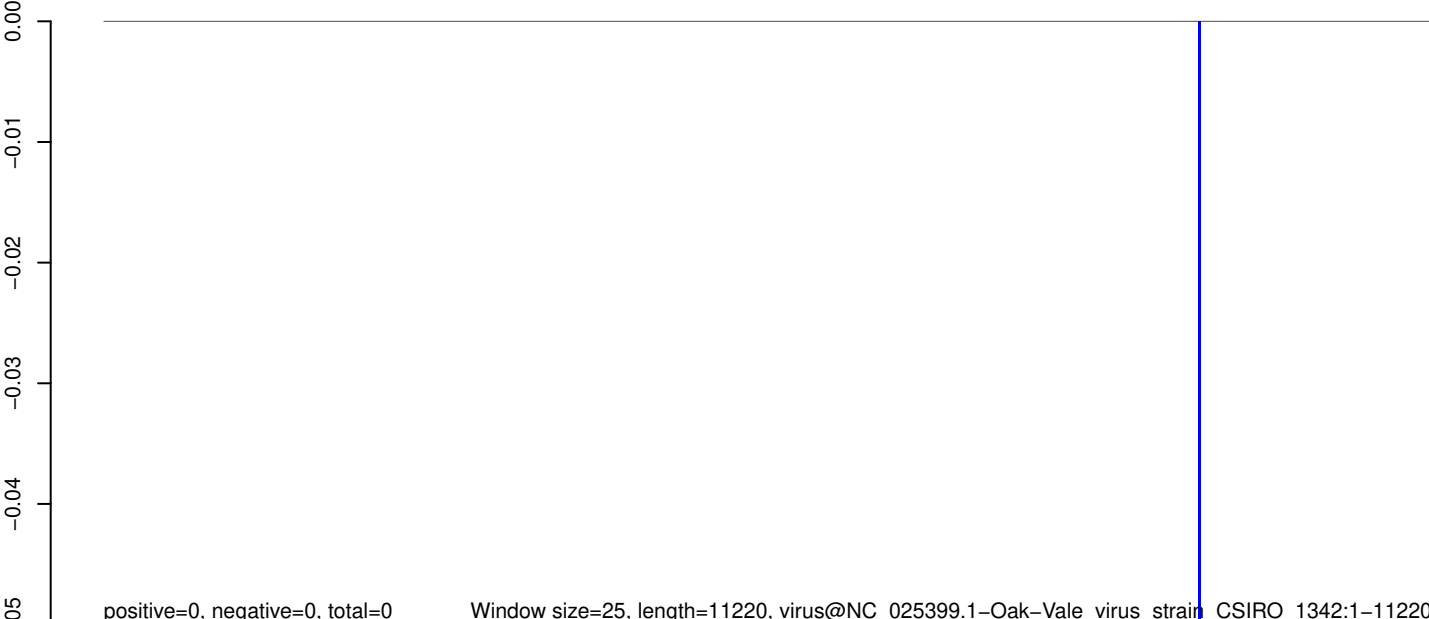
AeAeg_Aag2SINV_dsPiwi4.18_23.rep



AeAeg_Aag2SINV_dsPiwi4.24_35.rep



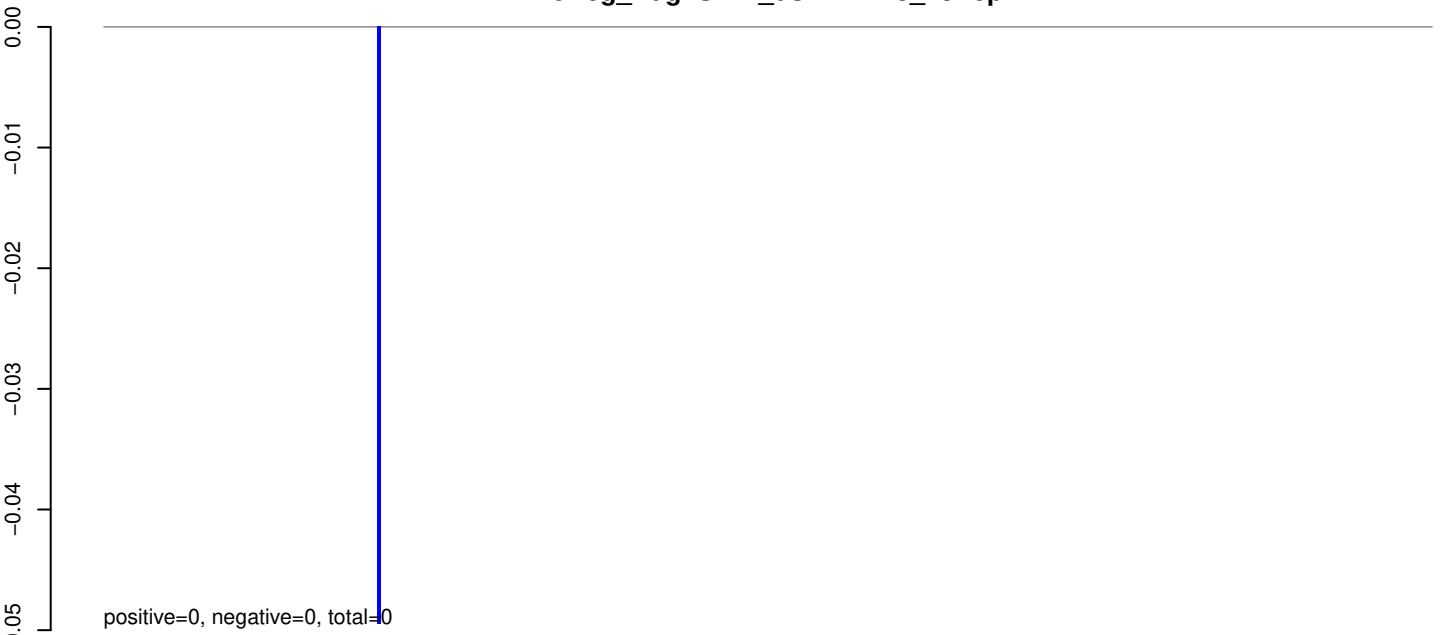
AeAeg_Aag2SINV_dsPiwi4.rep



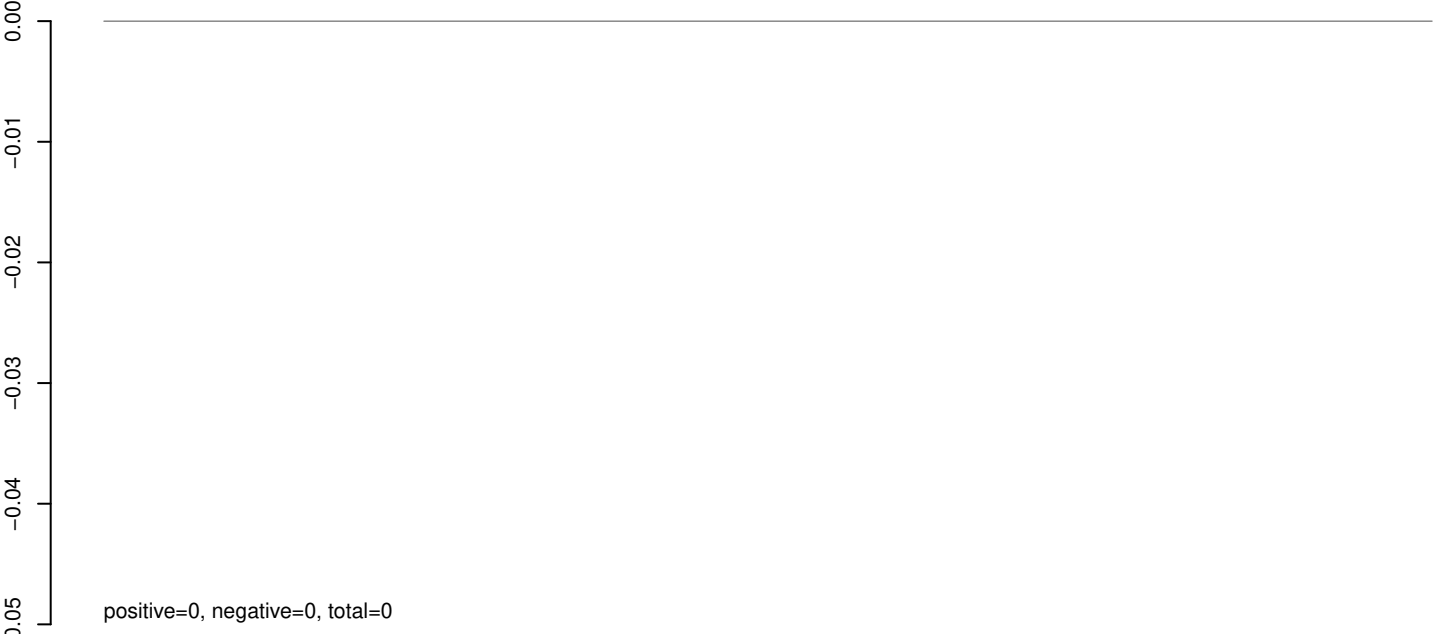
Window size=25, length=11220, virus@NC_025399.1-Oak-Vale_virus_strain_CSIRO_1342:1-11220

0 2000 4000 6000 8000 10000

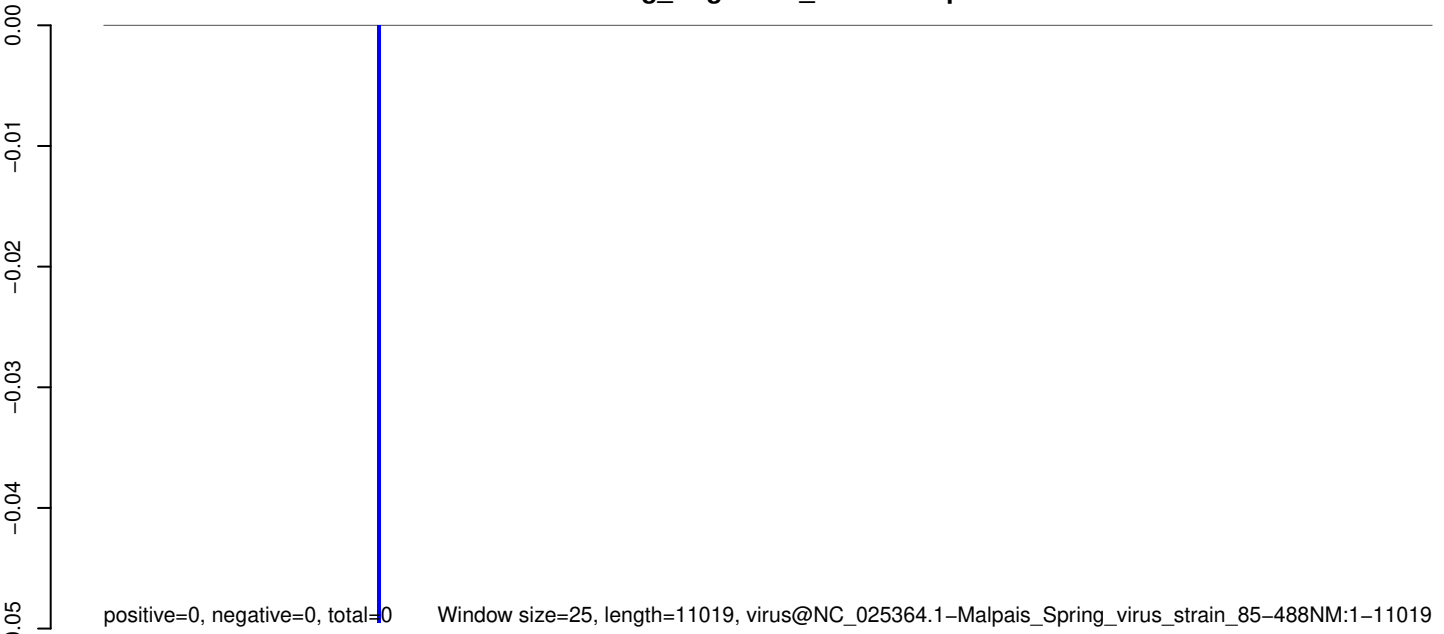
AeAeg_Aag2SINV_dsPiwi4.18_23.rep



AeAeg_Aag2SINV_dsPiwi4.24_35.rep

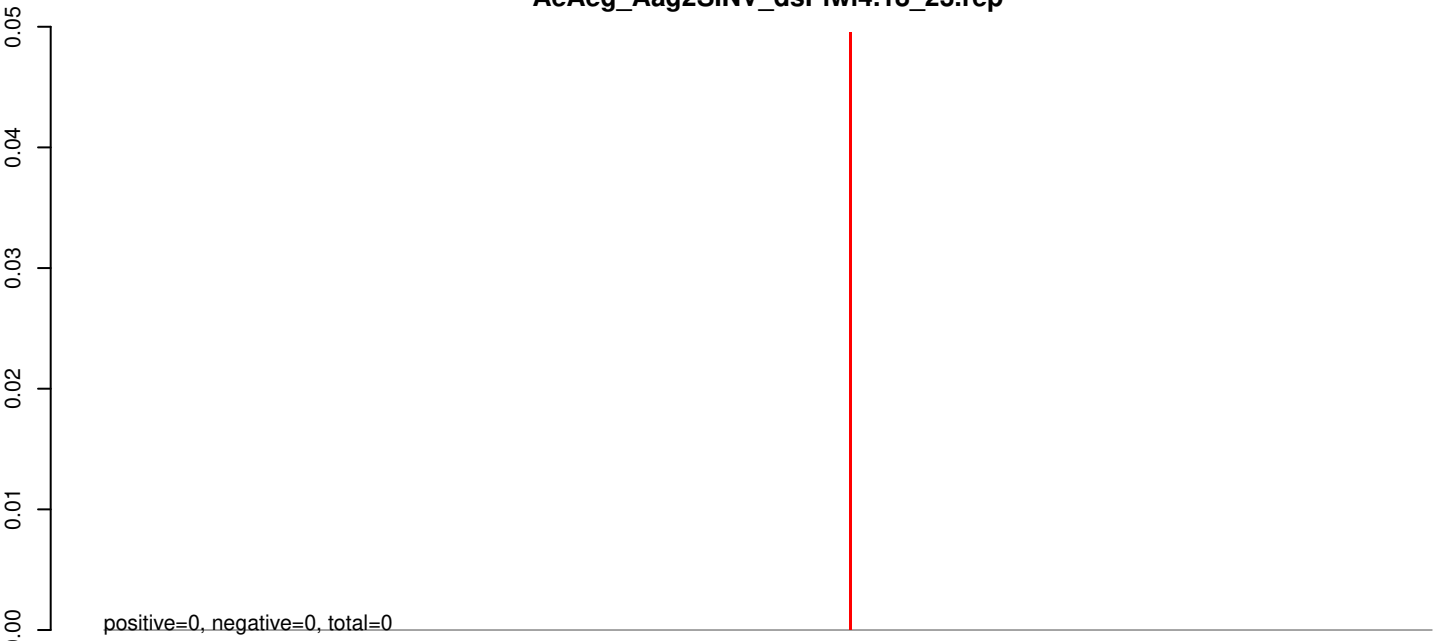


AeAeg_Aag2SINV_dsPiwi4.rep

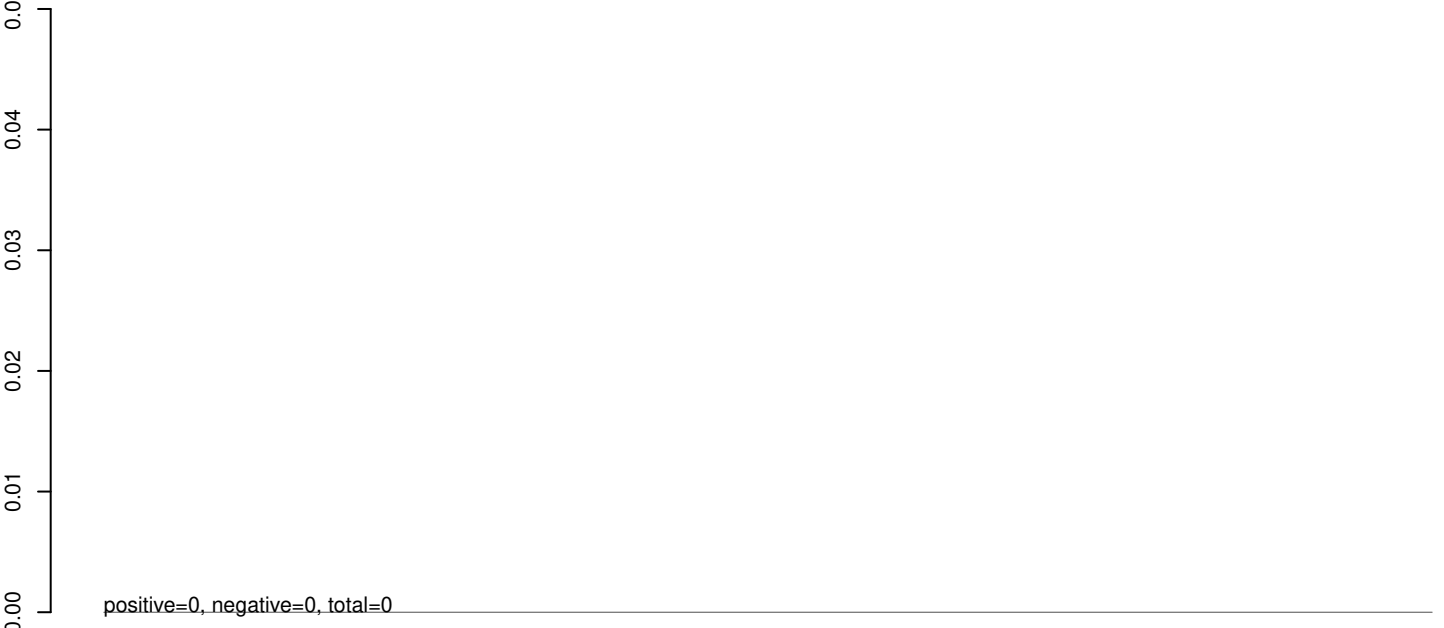


0 2000 4000 6000 8000 10000

AeAeg_Aag2SINV_dsPiwi4.18_23.rep



AeAeg_Aag2SINV_dsPiwi4.24_35.rep



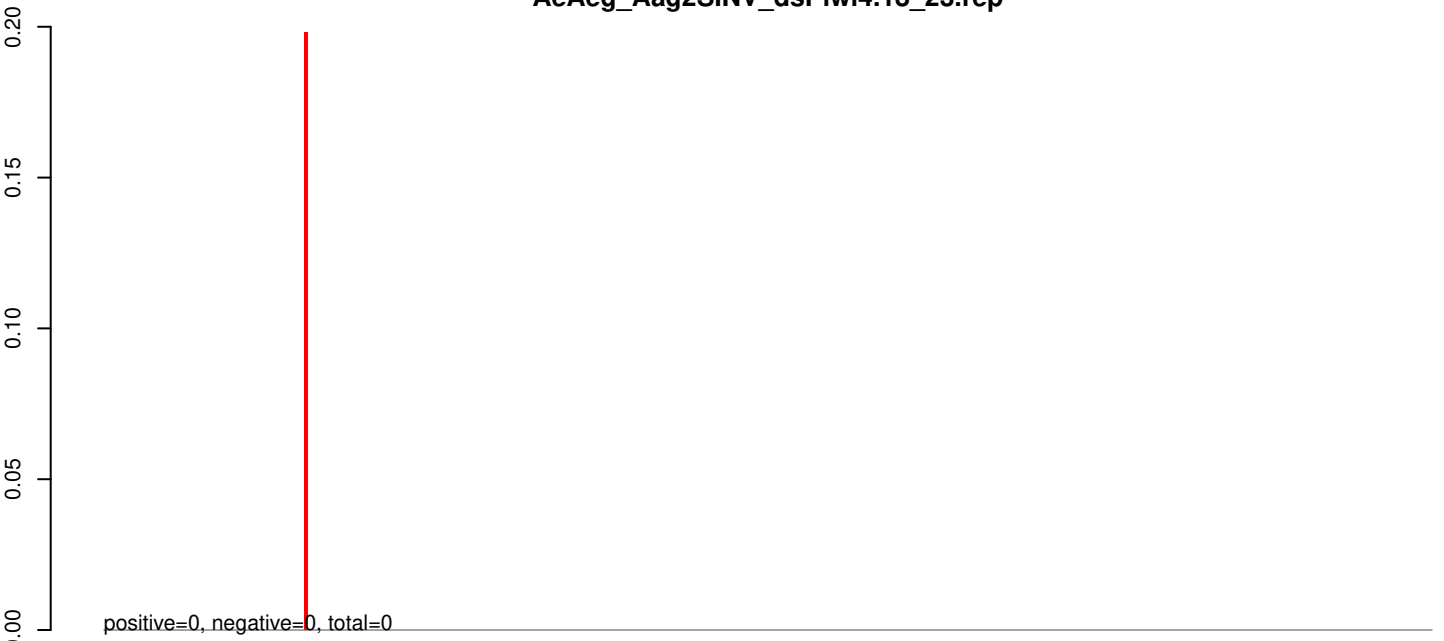
AeAeg_Aag2SINV_dsPiwi4.rep



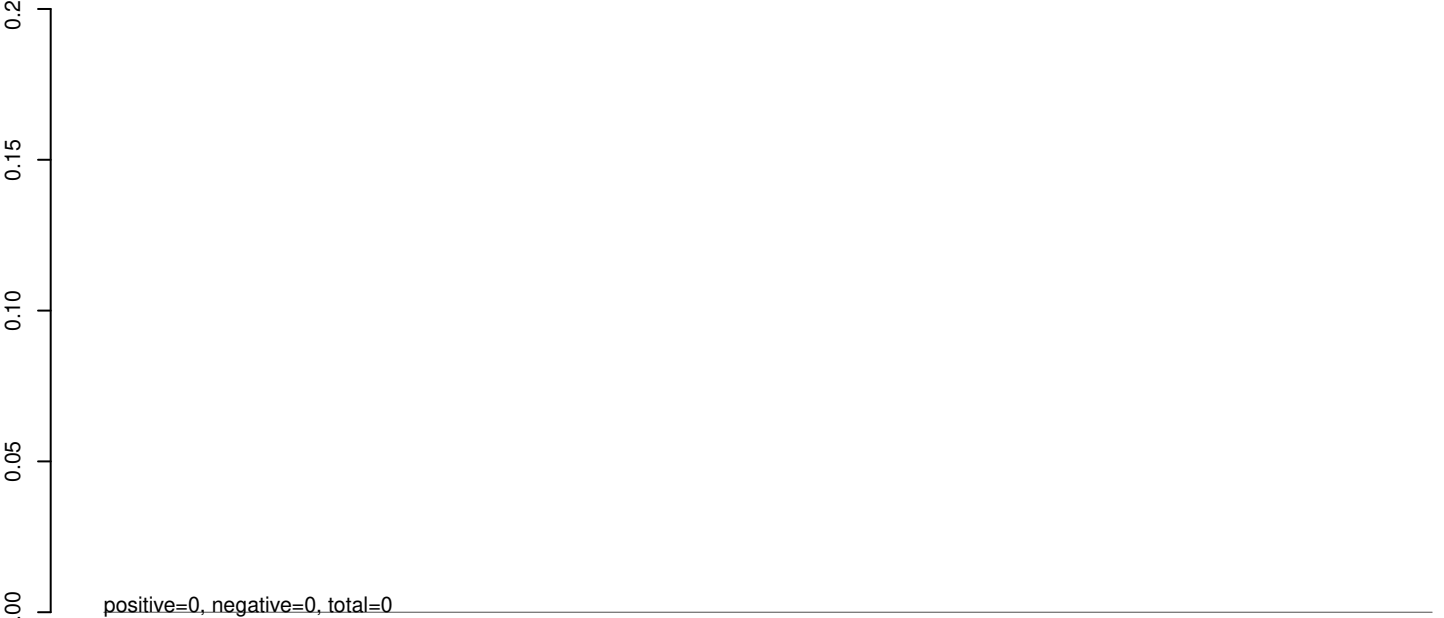
Window size=25, length=12240, virus@NC_025362.1-Xiburema_virus_isolate_XIBV_BE_AR_362159:1-12240

0 2000 4000 6000 8000 10000 12000

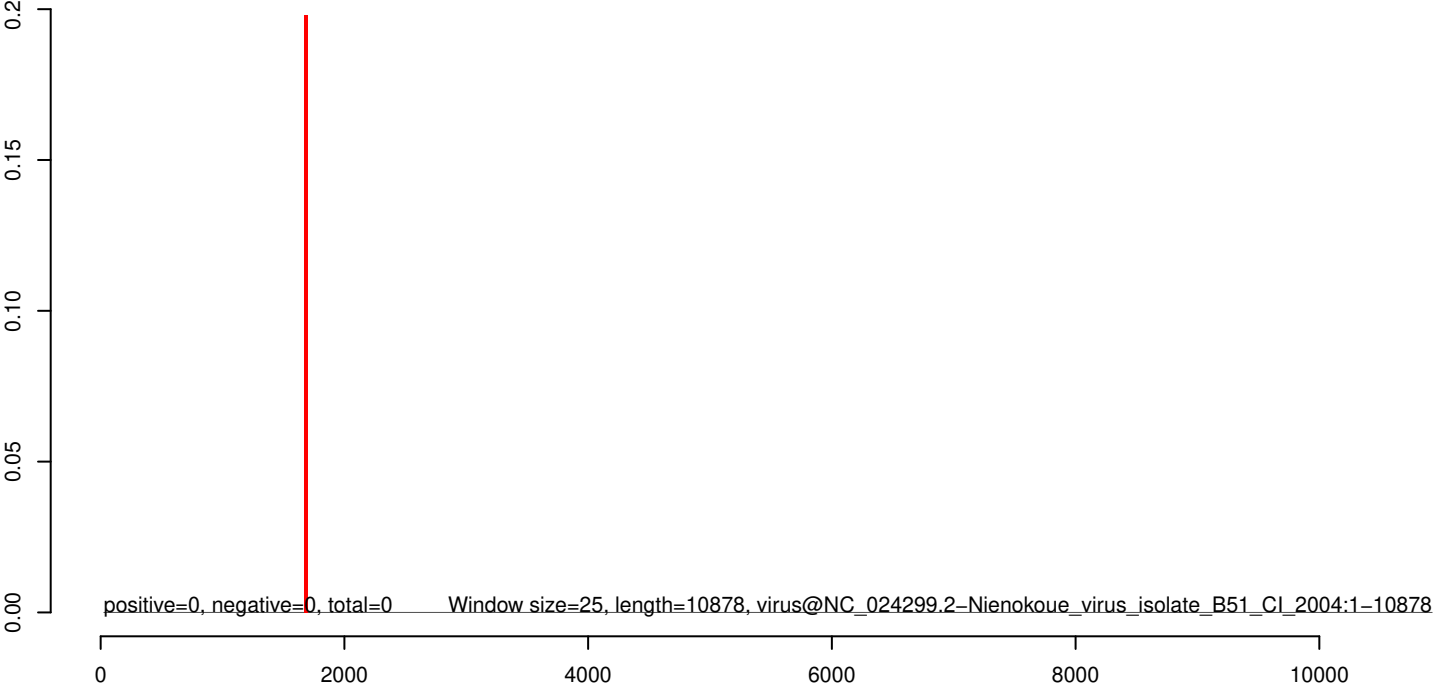
AeAeg_Aag2SINV_dsPiwi4.18_23.rep



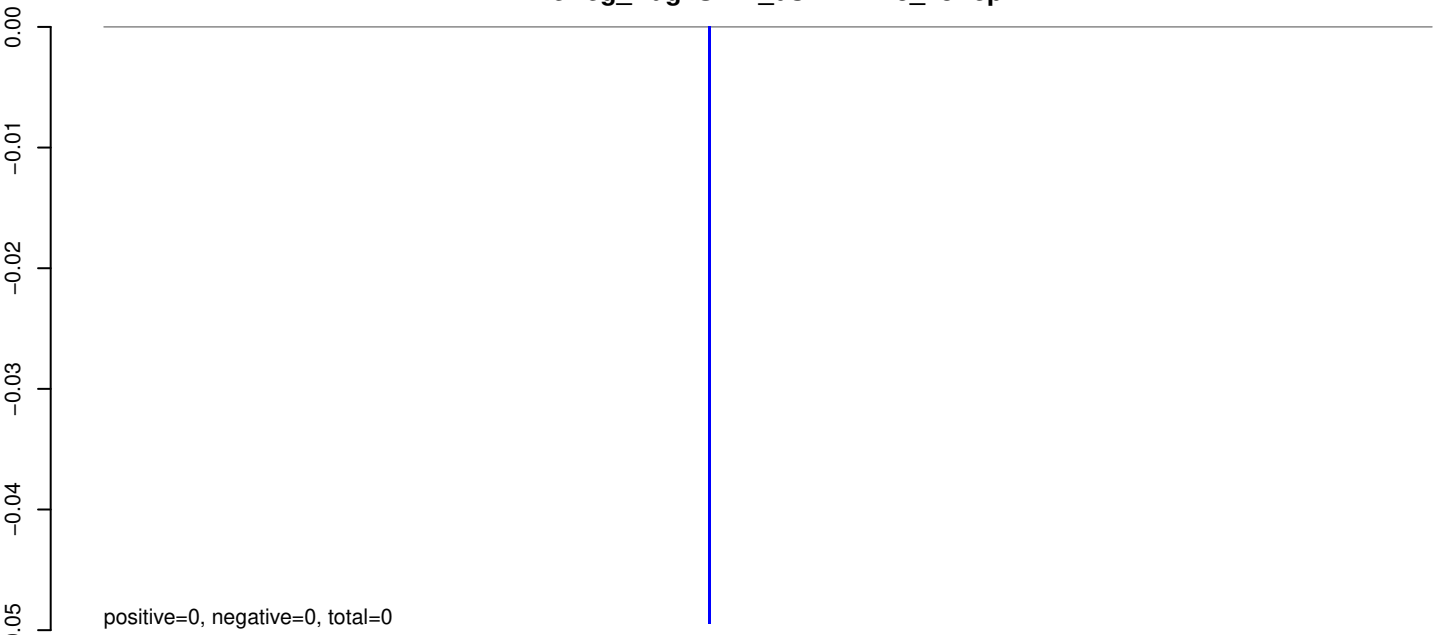
AeAeg_Aag2SINV_dsPiwi4.24_35.rep



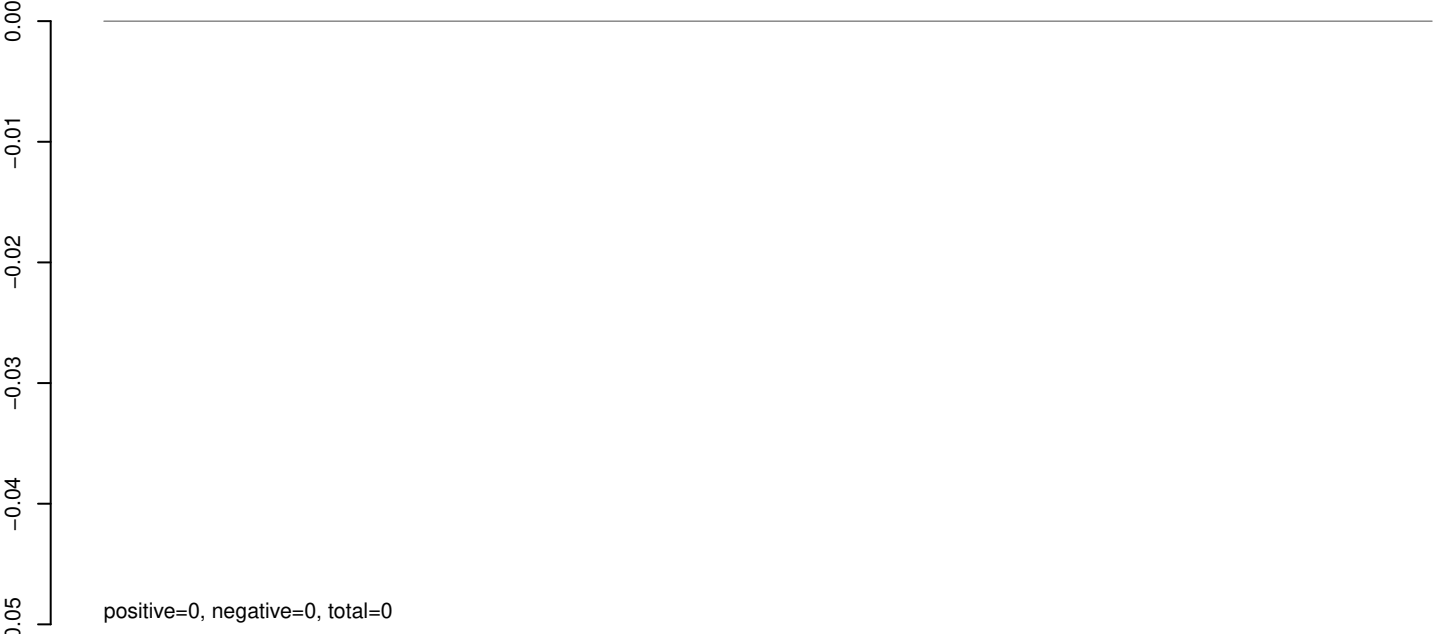
AeAeg_Aag2SINV_dsPiwi4.rep



AeAeg_Aag2SINV_dsPiwi4.18_23.rep



AeAeg_Aag2SINV_dsPiwi4.24_35.rep

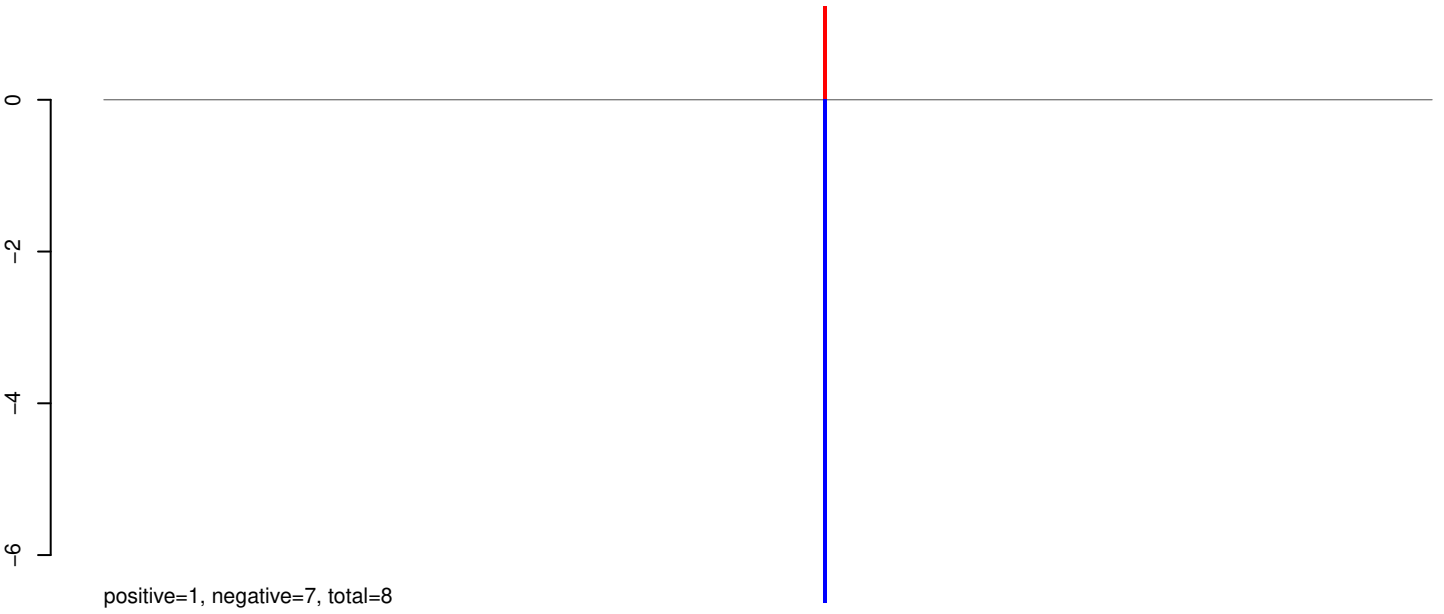


AeAeg_Aag2SINV_dsPiwi4.rep

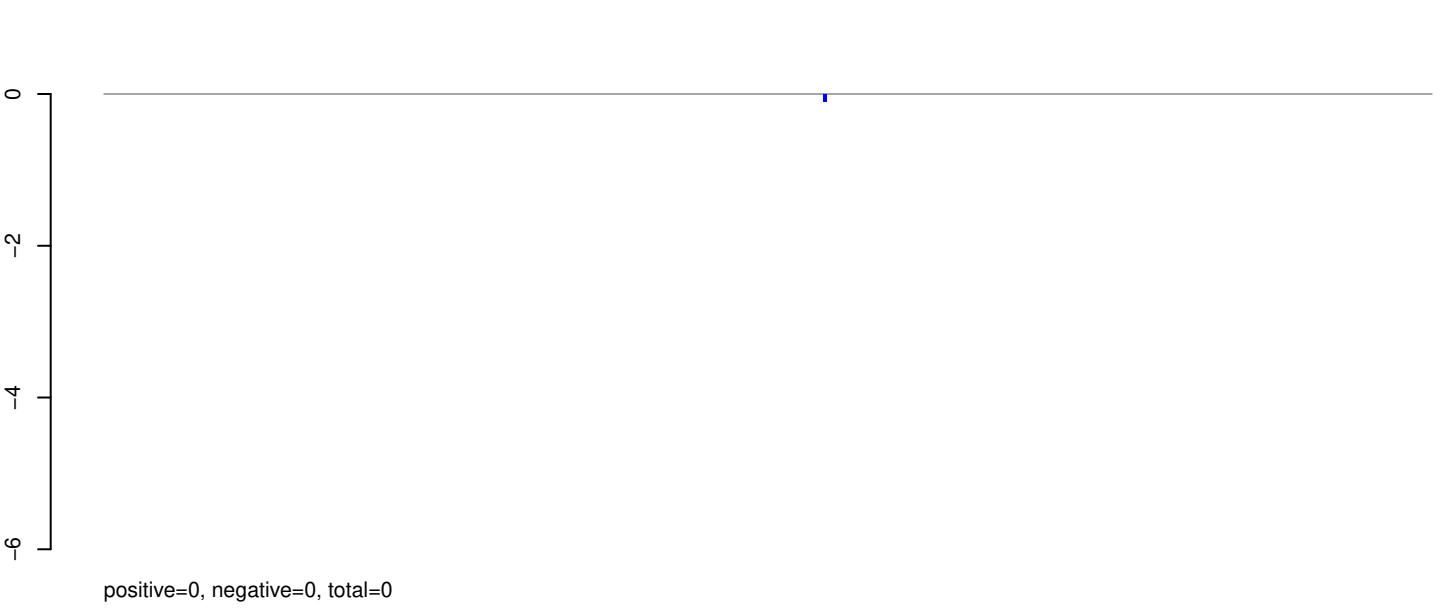


0 5000 10000 15000

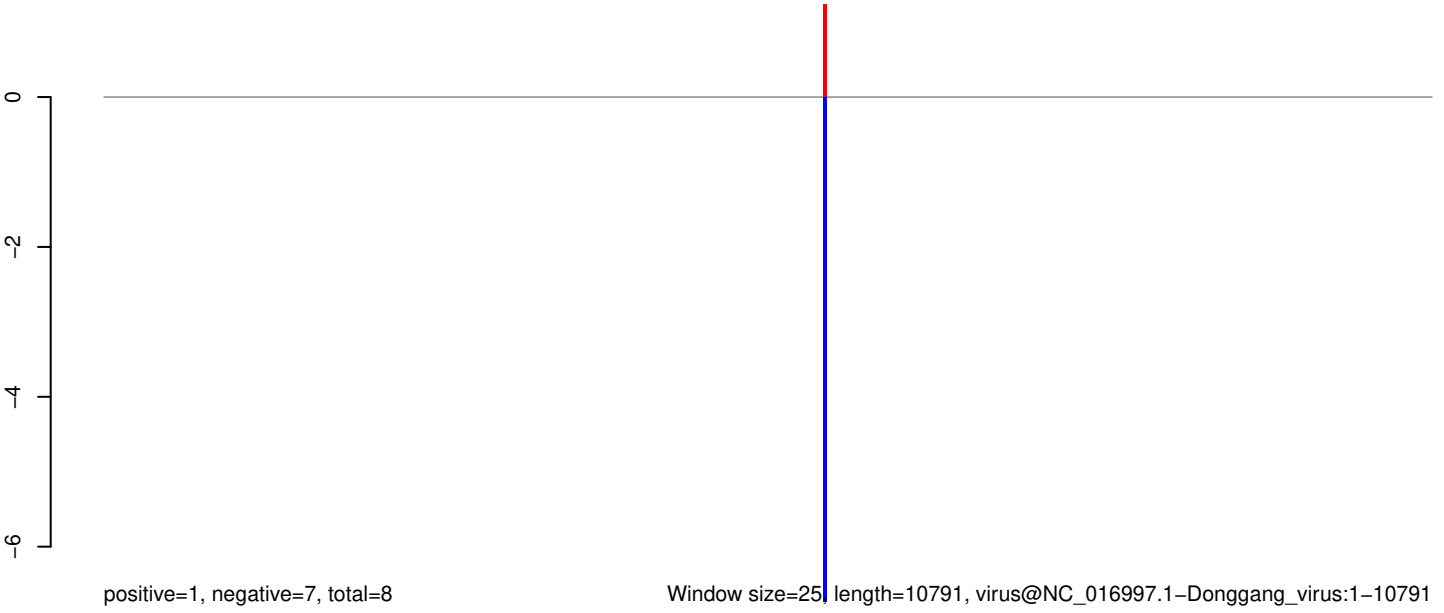
AeAeg_Aag2SINV_dsPiwi4.18_23.rep



AeAeg_Aag2SINV_dsPiwi4.24_35.rep



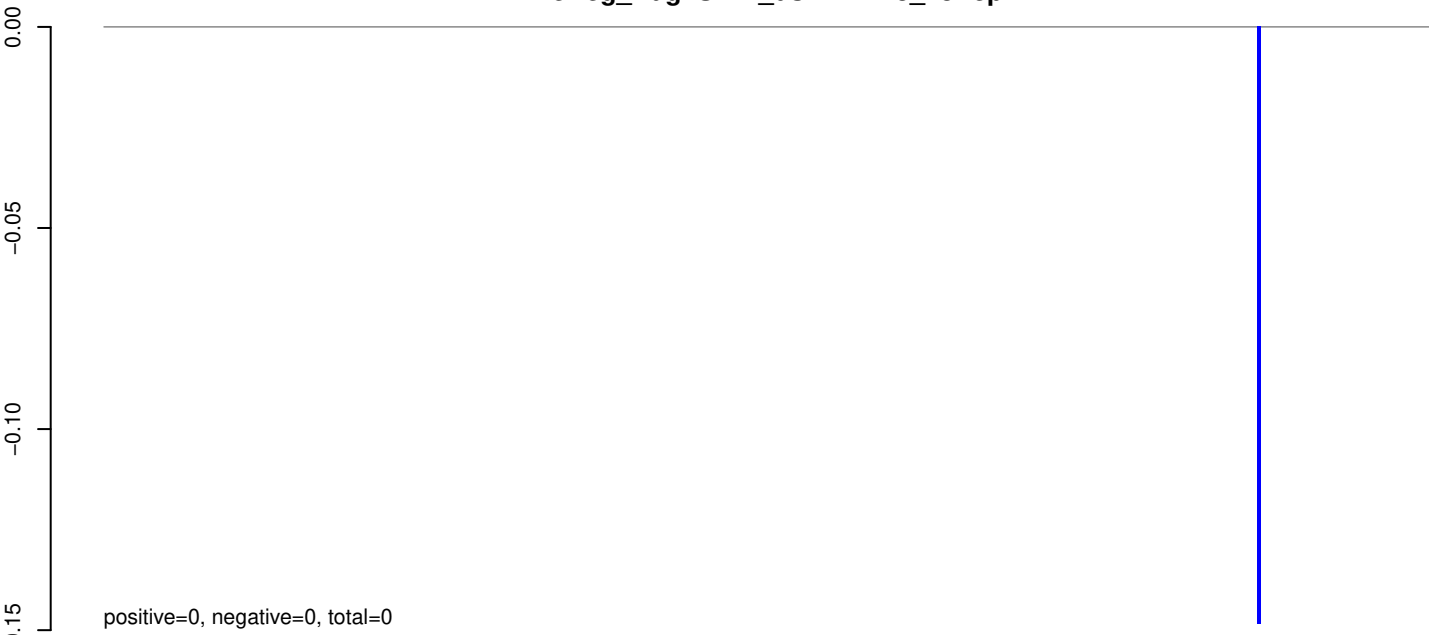
AeAeg_Aag2SINV_dsPiwi4.rep



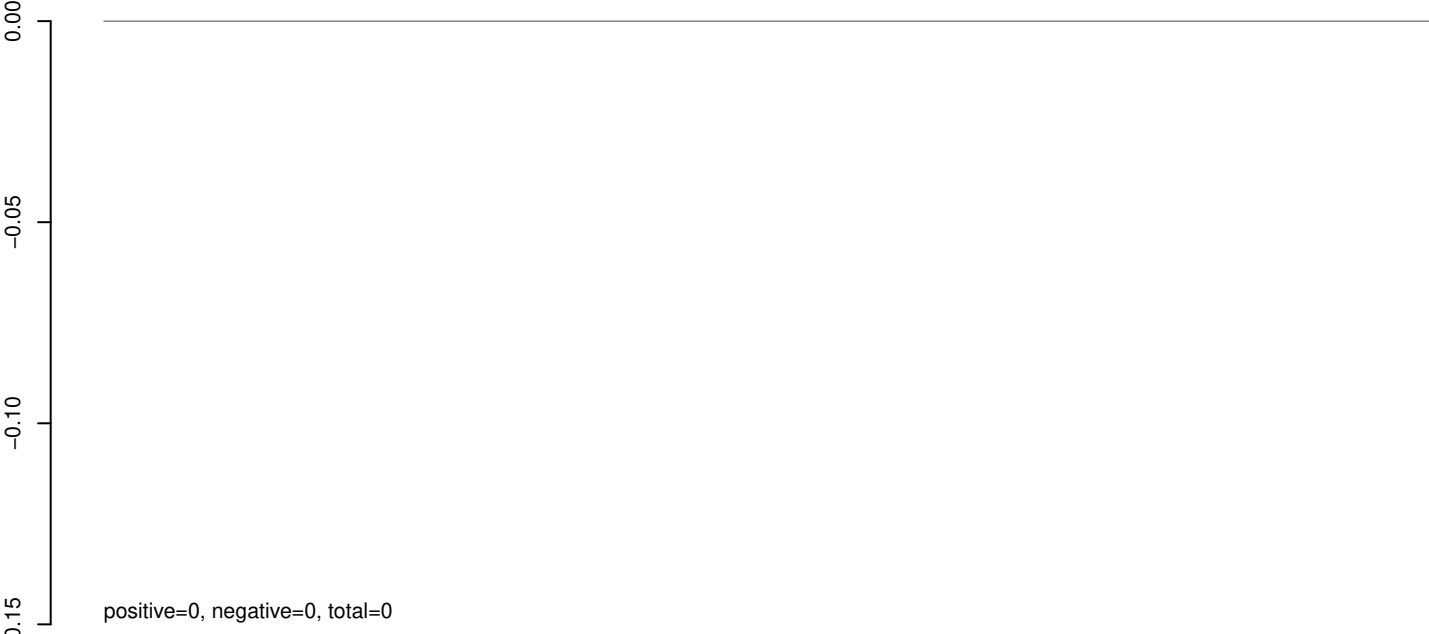
Window size=25, length=10791, virus@NC_016997.1-Donggang_virus:1-10791

0 2000 4000 6000 8000 10000

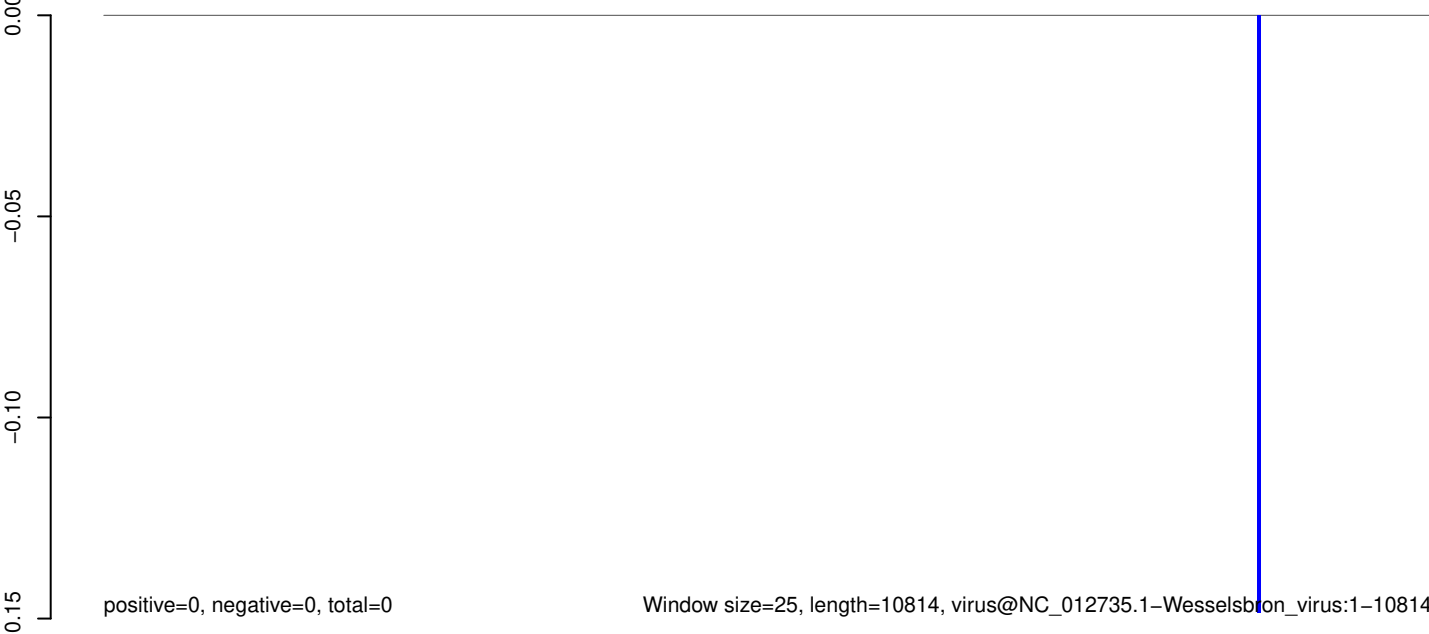
AeAeg_Aag2SINV_dsPiwi4.18_23.rep



AeAeg_Aag2SINV_dsPiwi4.24_35.rep



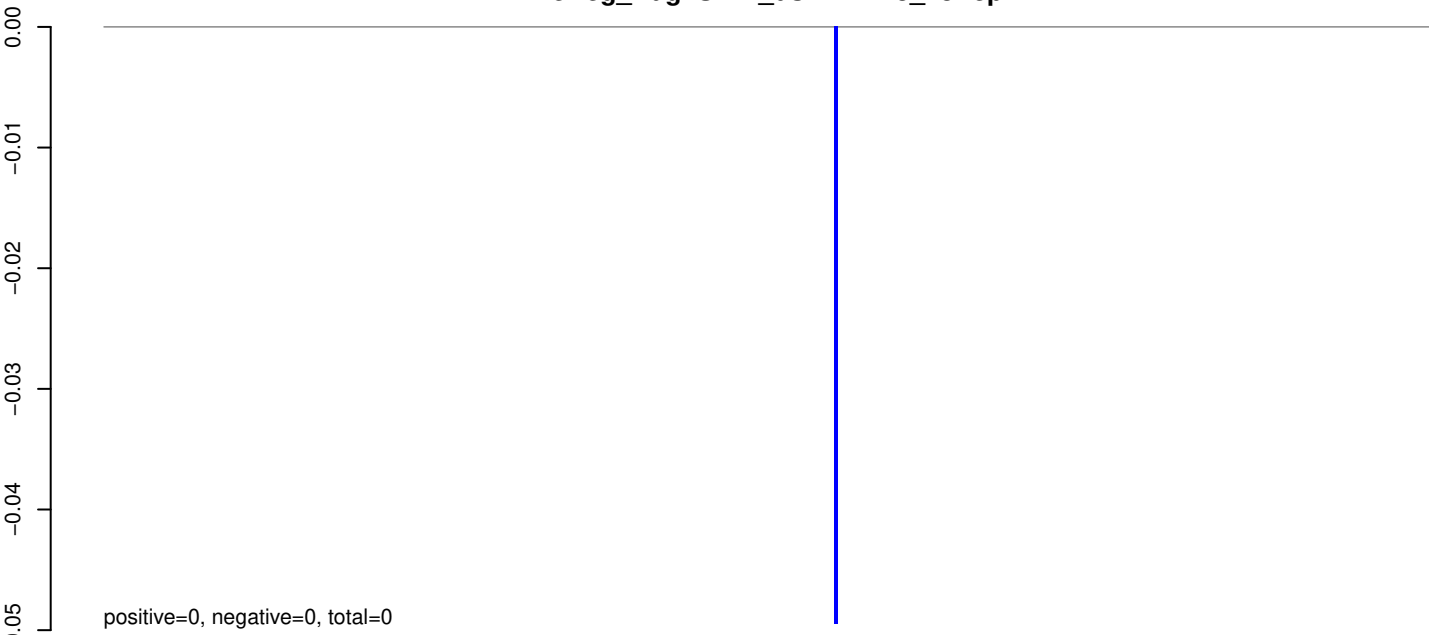
AeAeg_Aag2SINV_dsPiwi4.rep



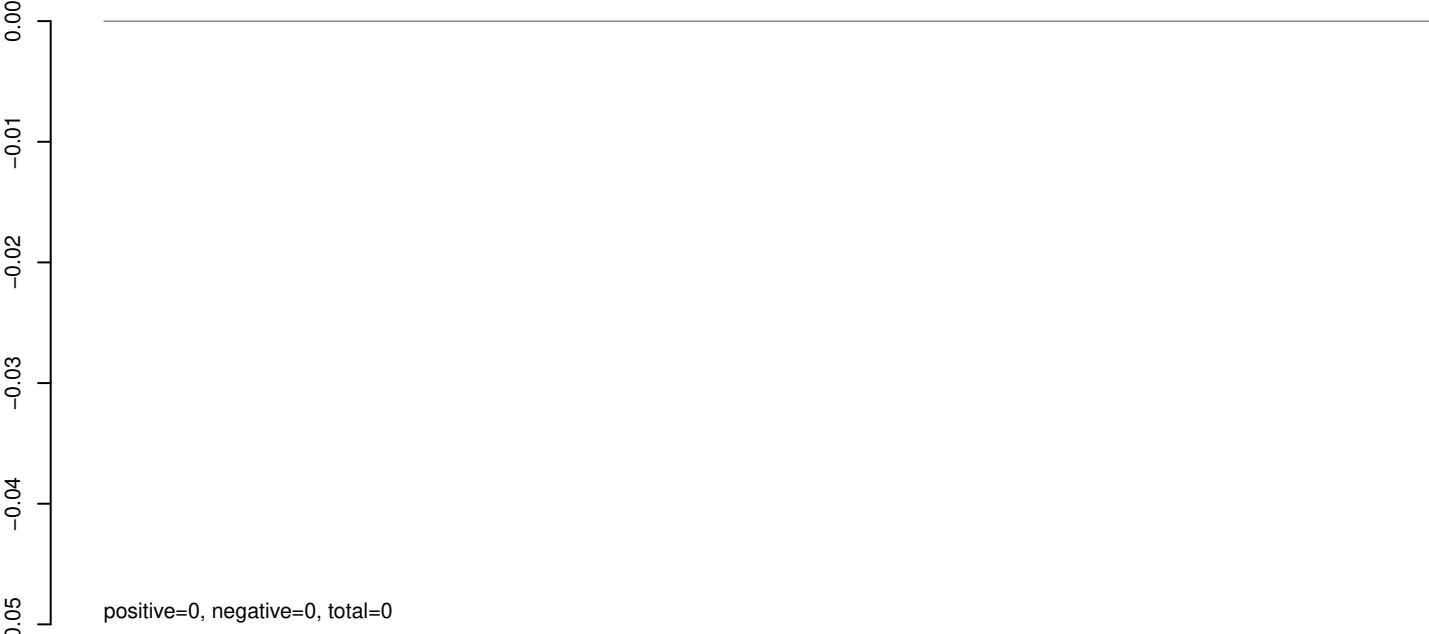
Window size=25, length=10814, virus@NC_012735.1-Wesselsbron_virus:1-10814

0 2000 4000 6000 8000 10000

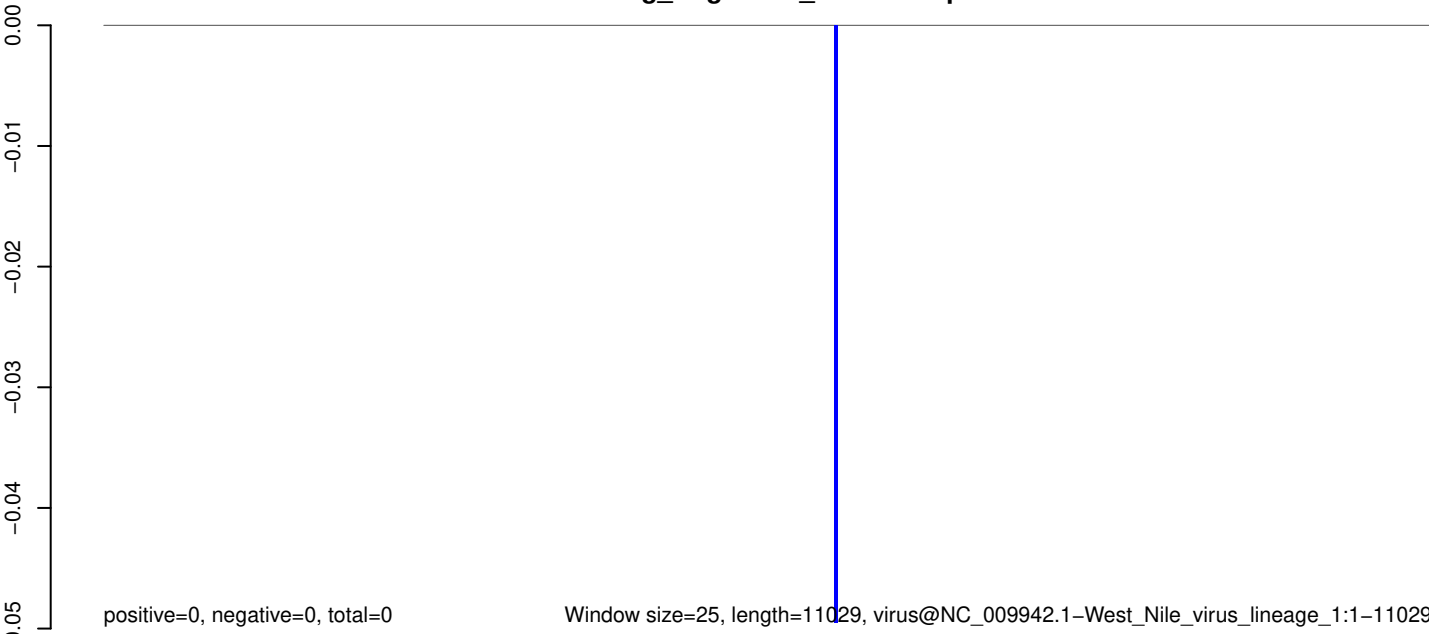
AeAeg_Aag2SINV_dsPiwi4.18_23.rep



AeAeg_Aag2SINV_dsPiwi4.24_35.rep

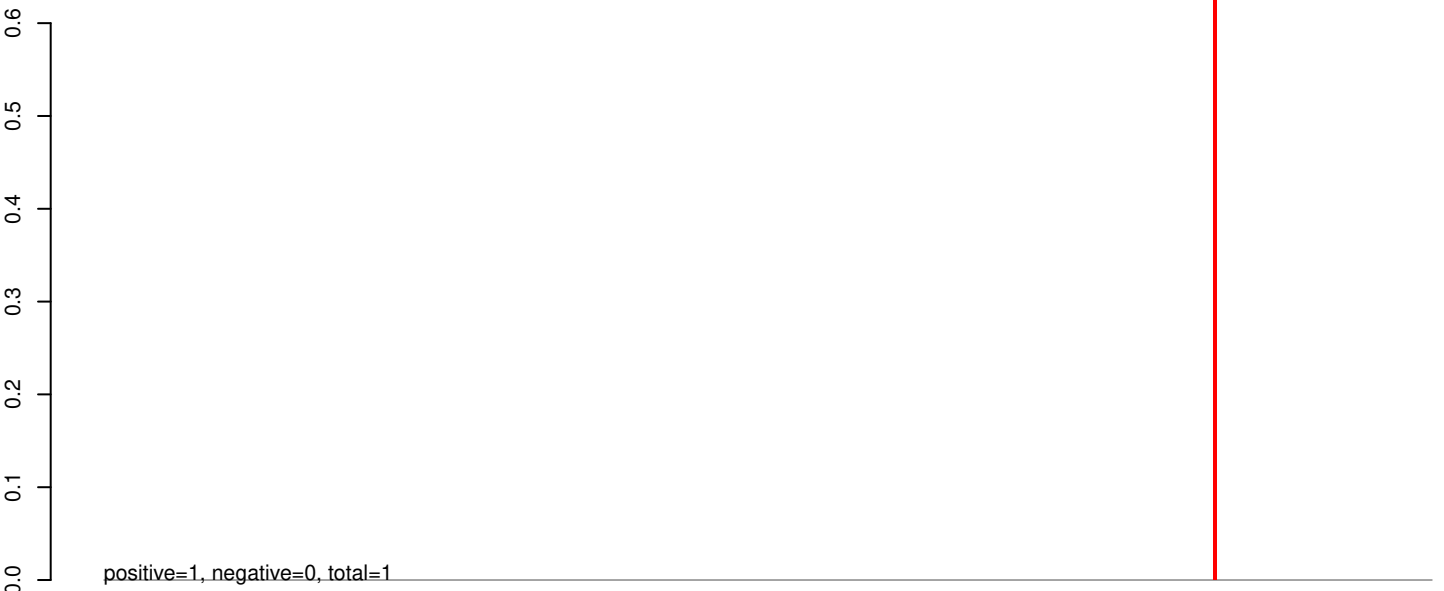


AeAeg_Aag2SINV_dsPiwi4.rep

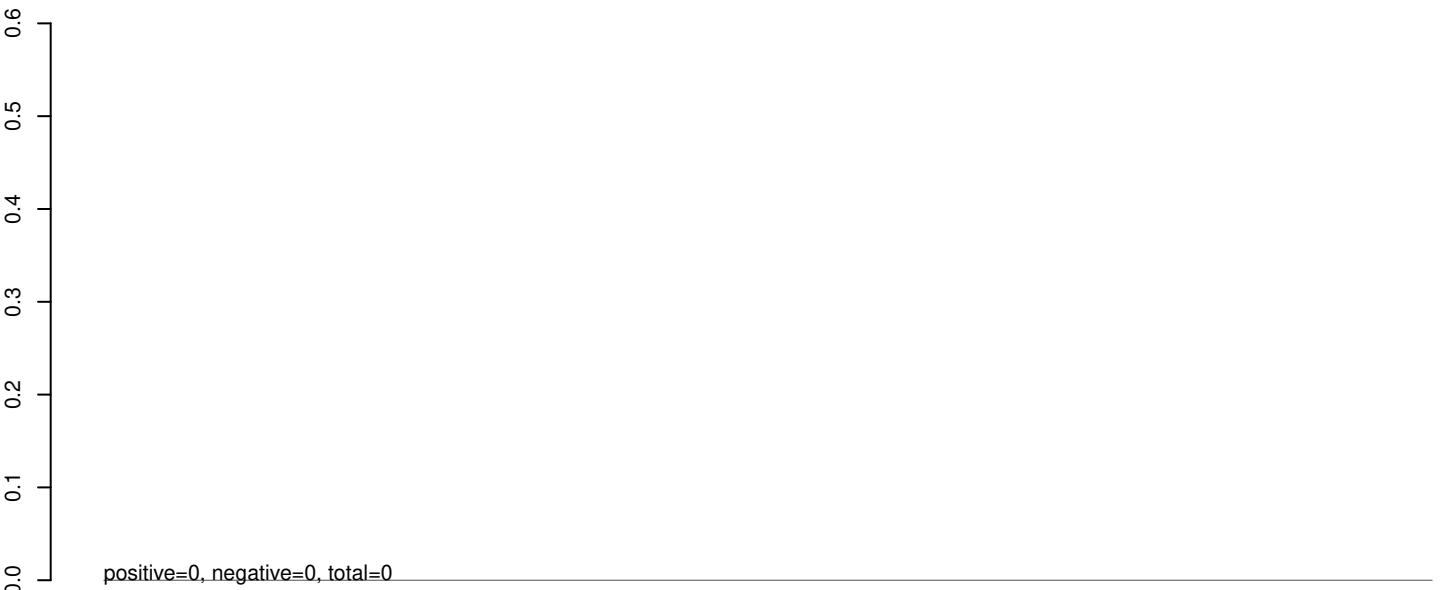


0 2000 4000 6000 8000 10000

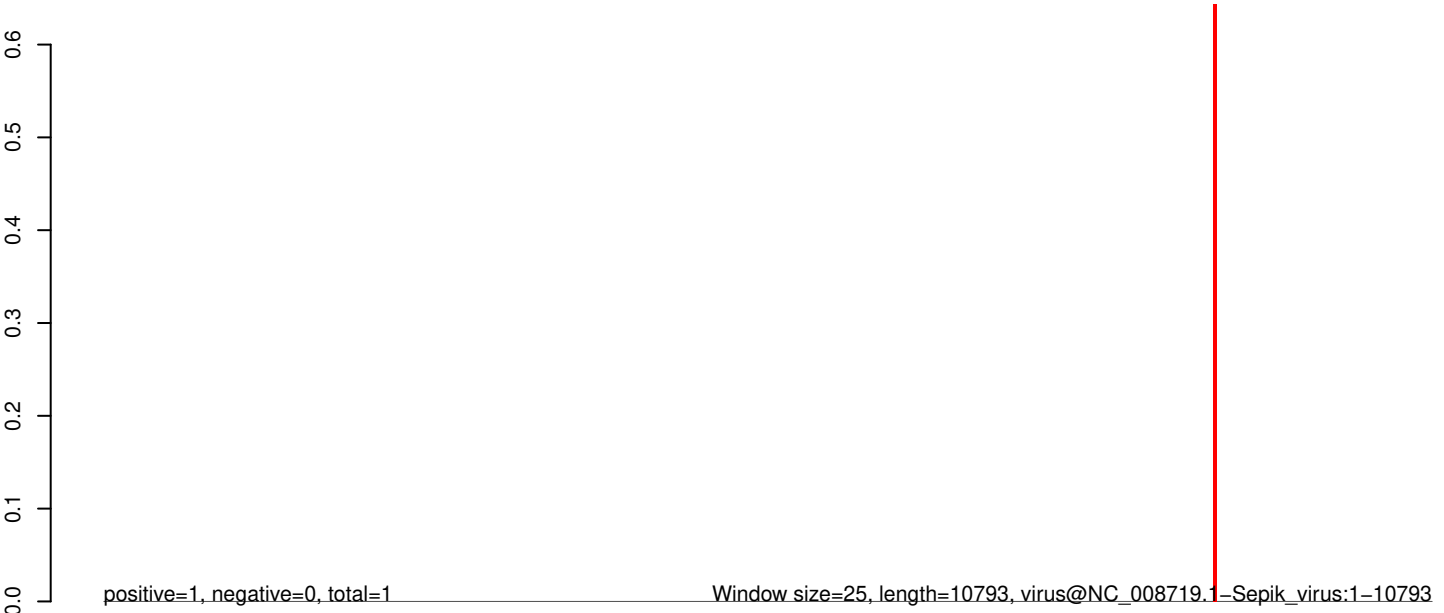
AeAeg_Aag2SINV_dsPiwi4.18_23.rep



AeAeg_Aag2SINV_dsPiwi4.24_35.rep



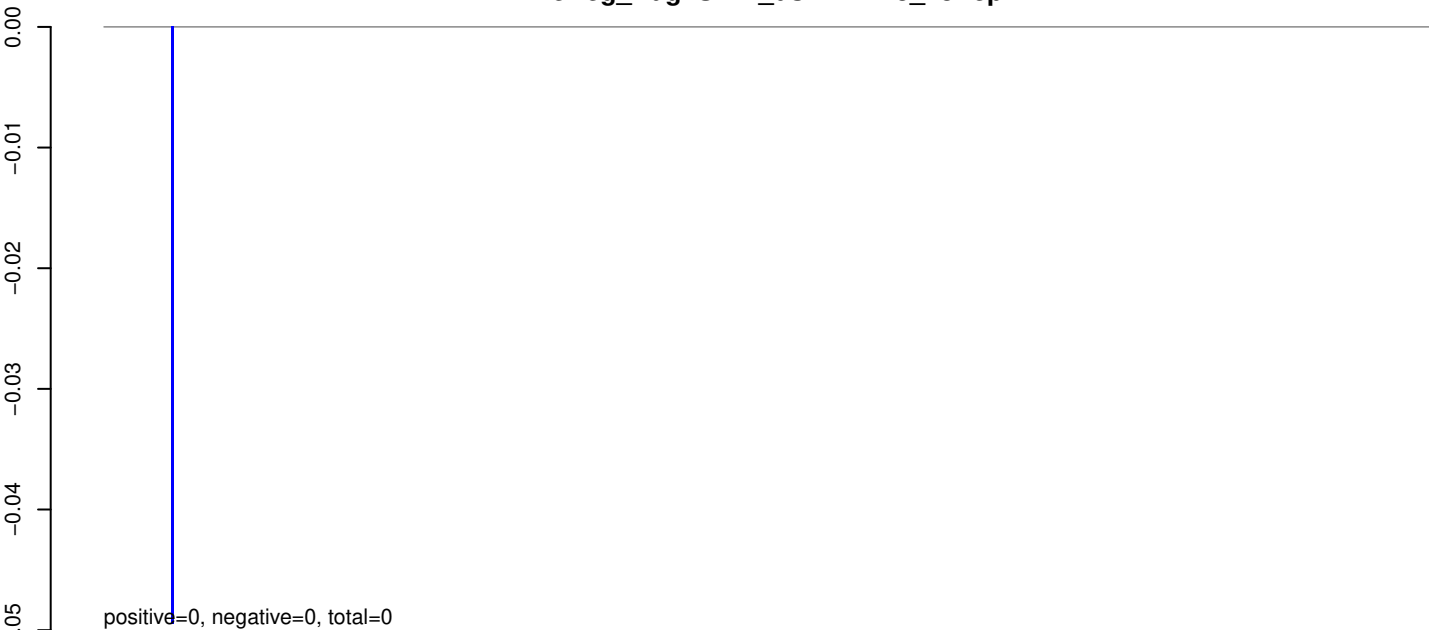
AeAeg_Aag2SINV_dsPiwi4.rep



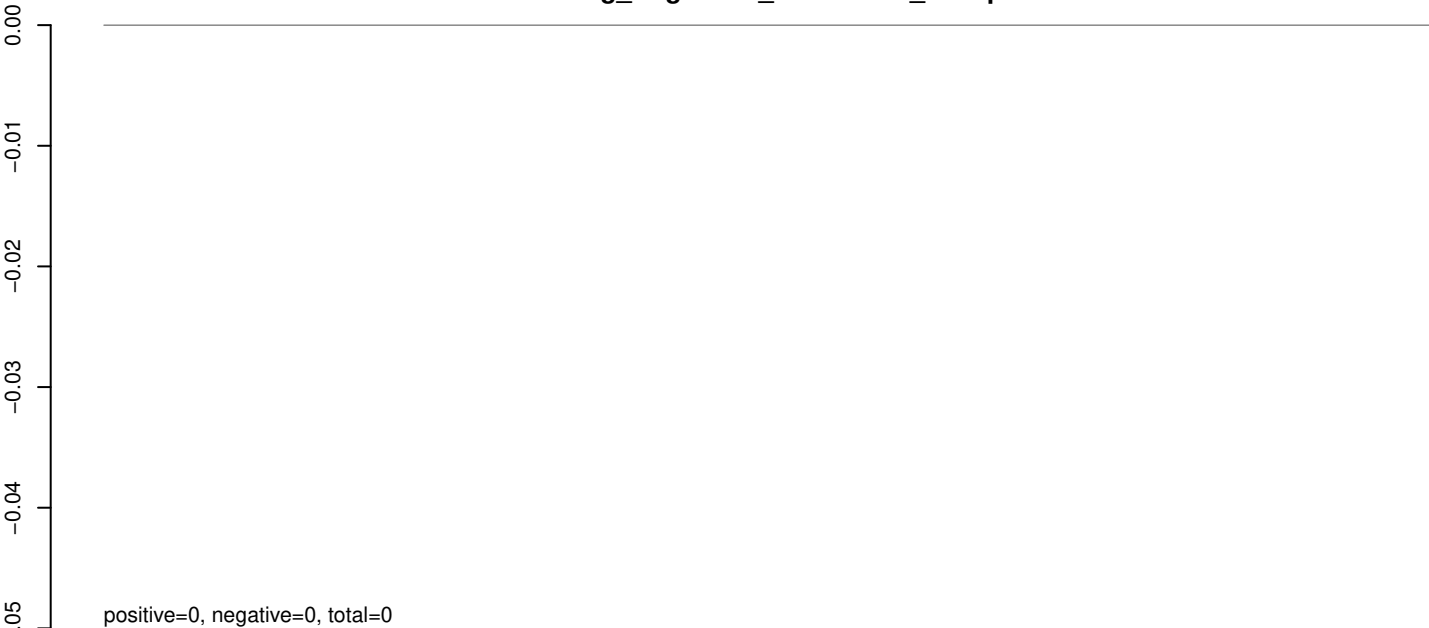
Window size=25, length=10793, virus@NC_008719.1-Sepik_virus:1-10793

0 2000 4000 6000 8000 10000

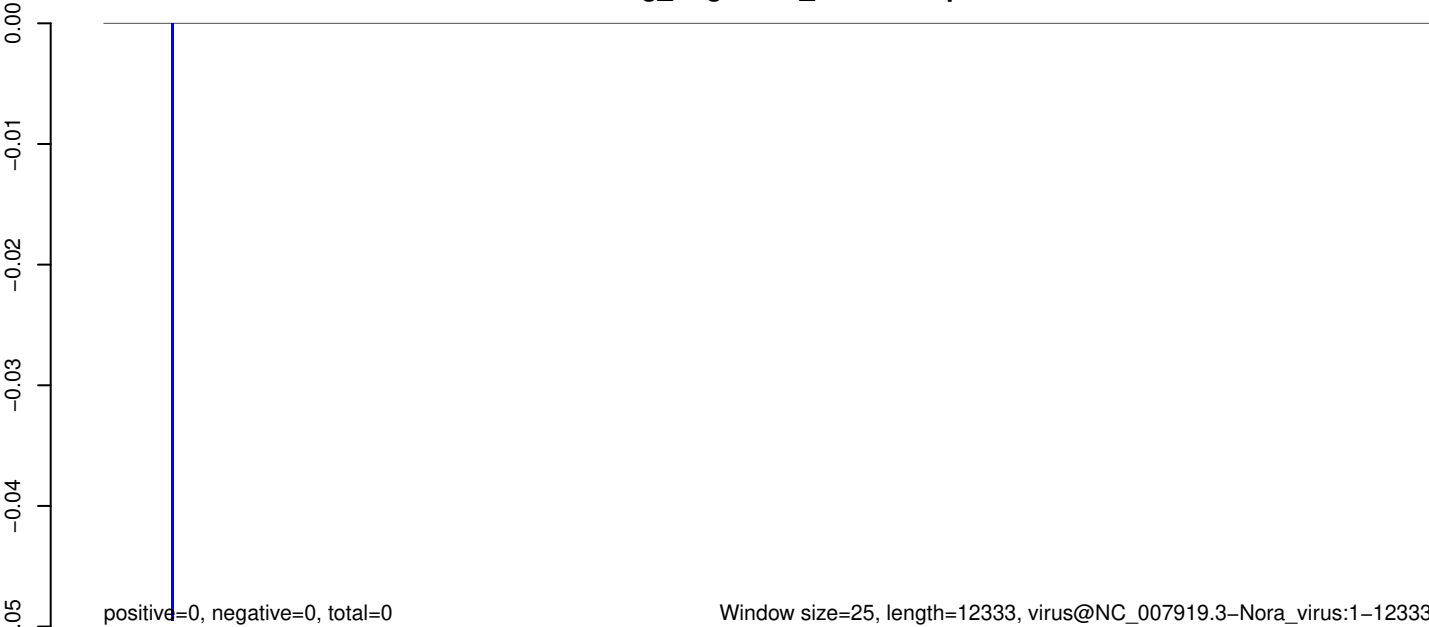
AeAeg_Aag2SINV_dsPiwi4.18_23.rep



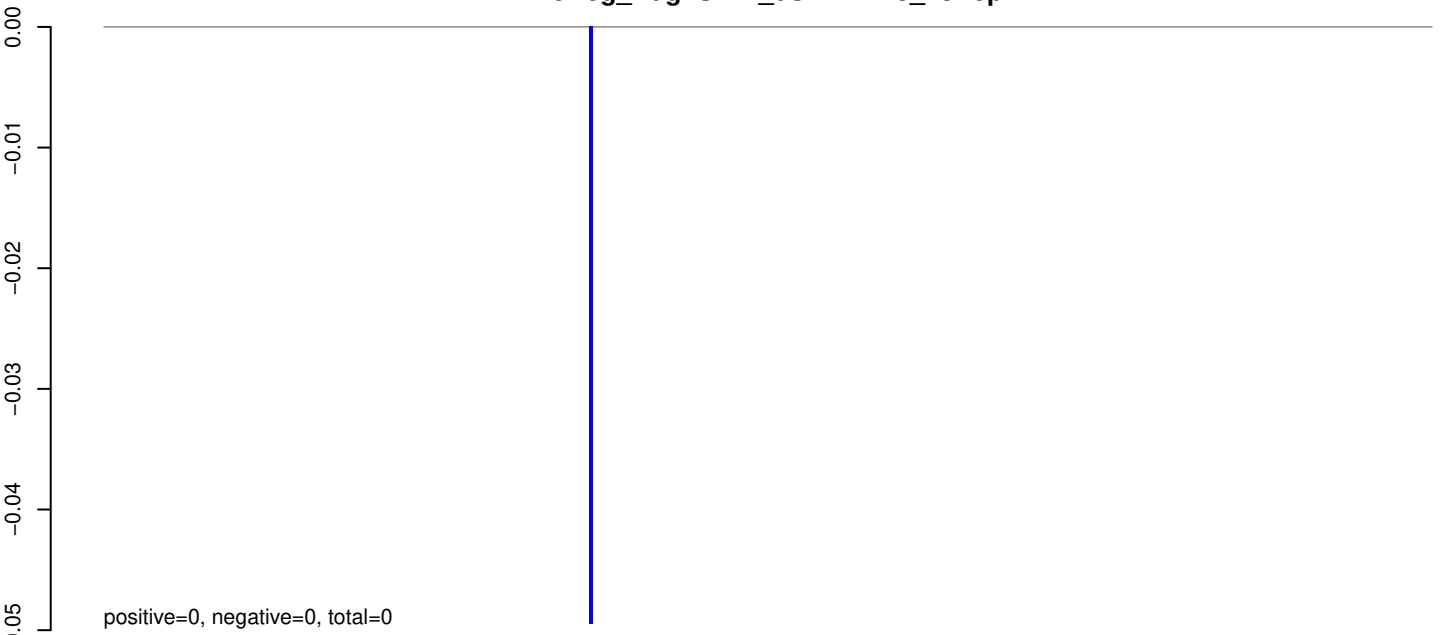
AeAeg_Aag2SINV_dsPiwi4.24_35.rep



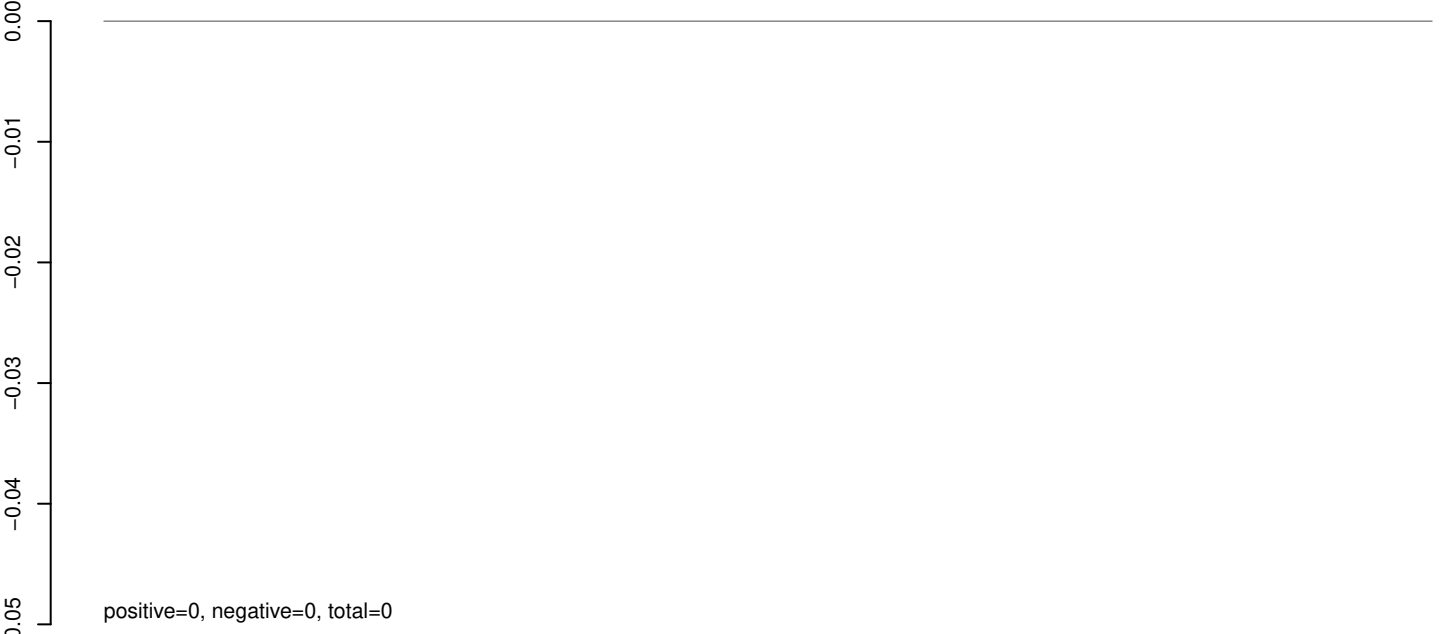
AeAeg_Aag2SINV_dsPiwi4.rep



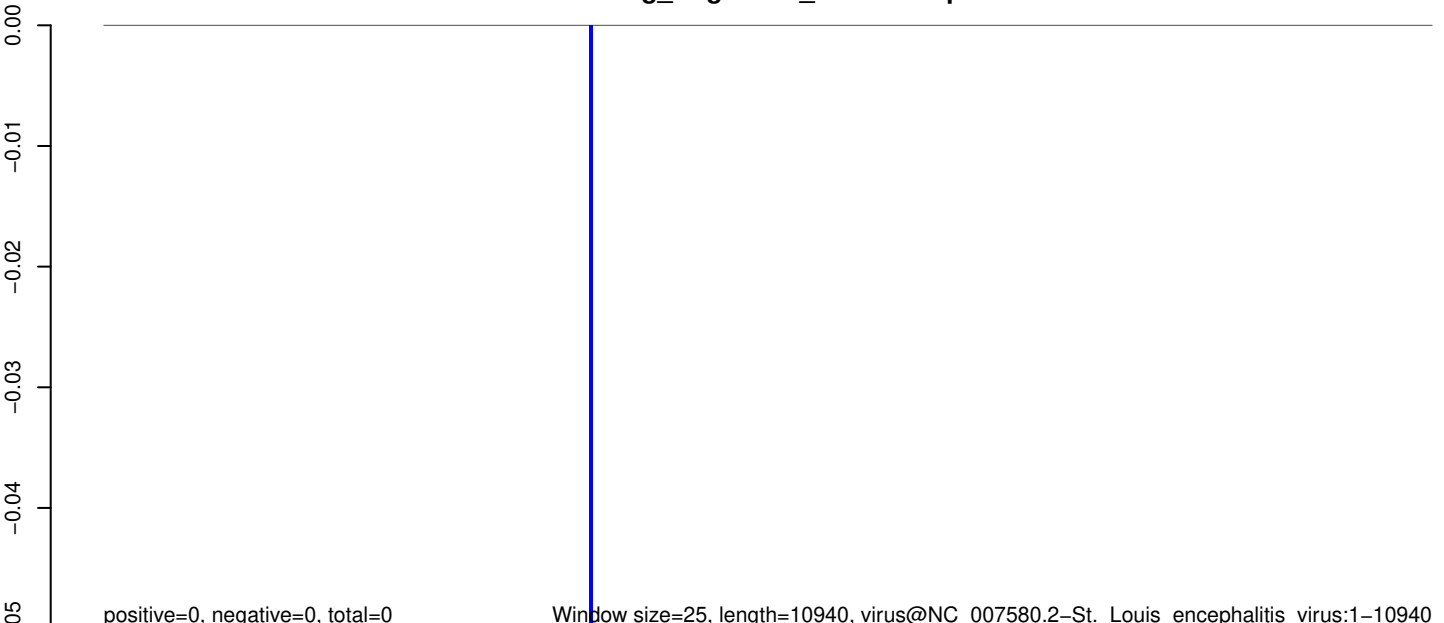
AeAeg_Aag2SINV_dsPiwi4.18_23.rep



AeAeg_Aag2SINV_dsPiwi4.24_35.rep

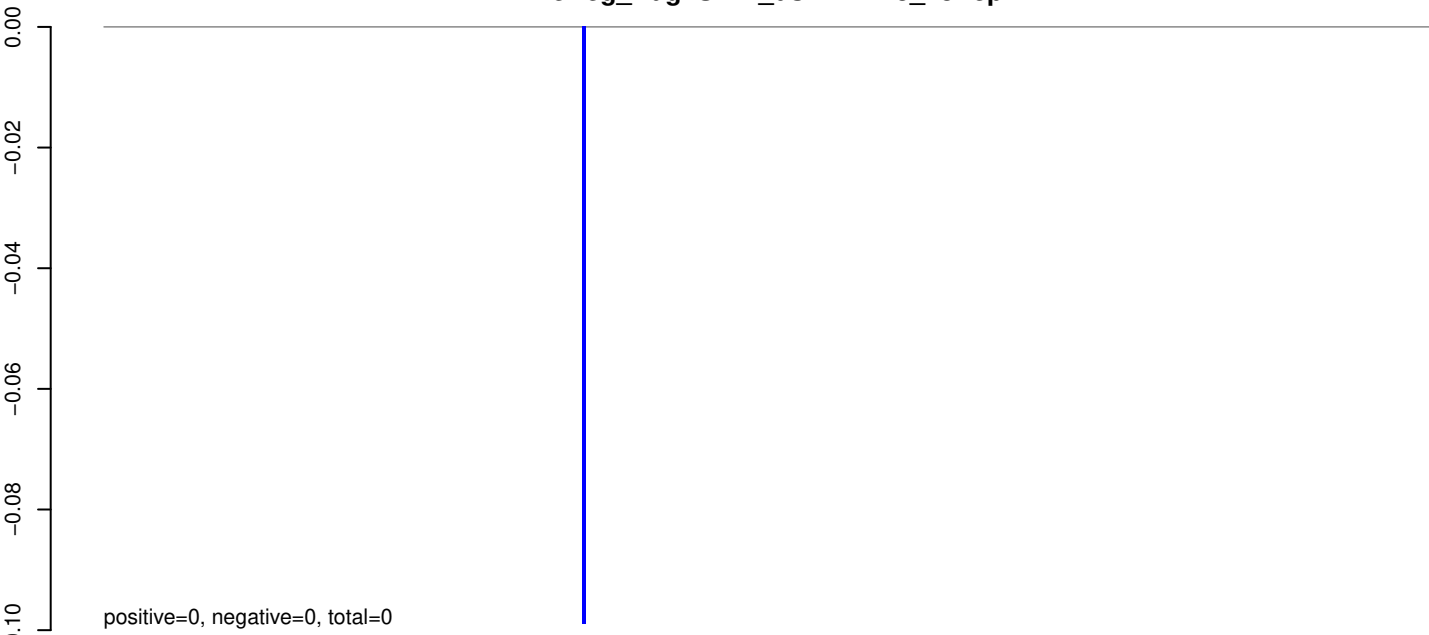


AeAeg_Aag2SINV_dsPiwi4.rep

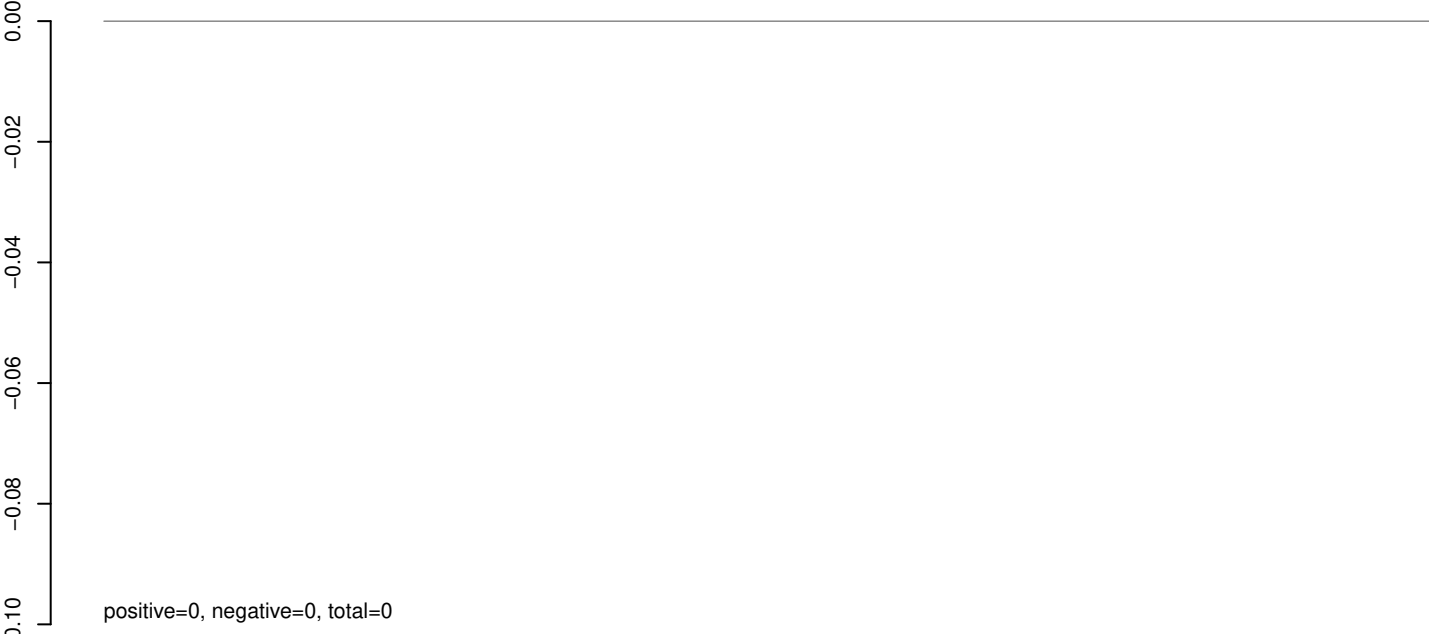


0 2000 4000 6000 8000 10000

AeAeg_Aag2SINV_dsPiwi4.18_23.rep



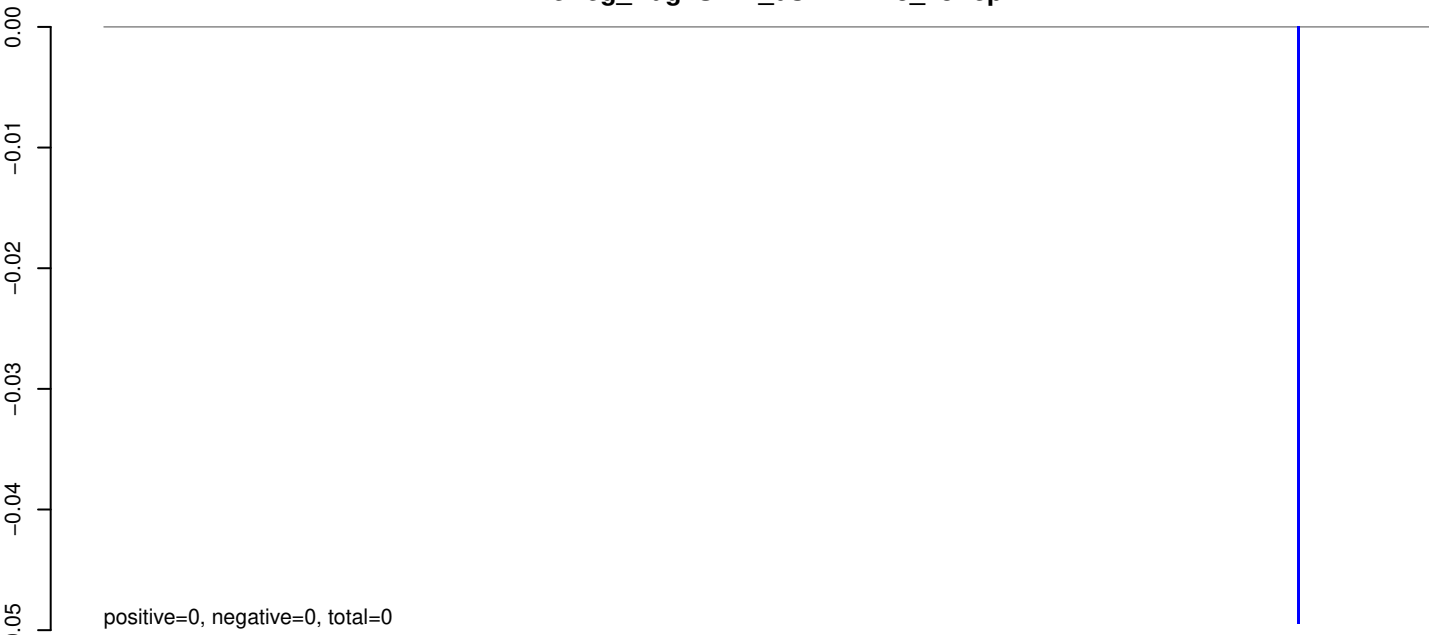
AeAeg_Aag2SINV_dsPiwi4.24_35.rep



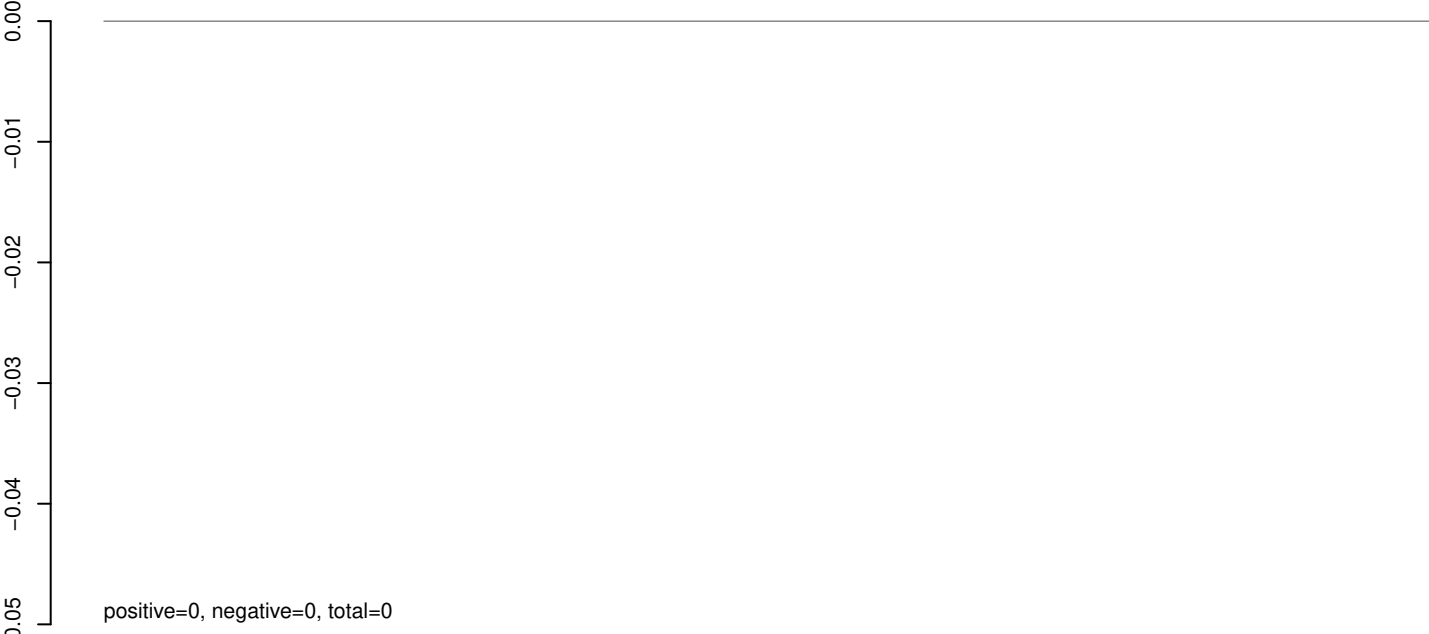
AeAeg_Aag2SINV_dsPiwi4.rep



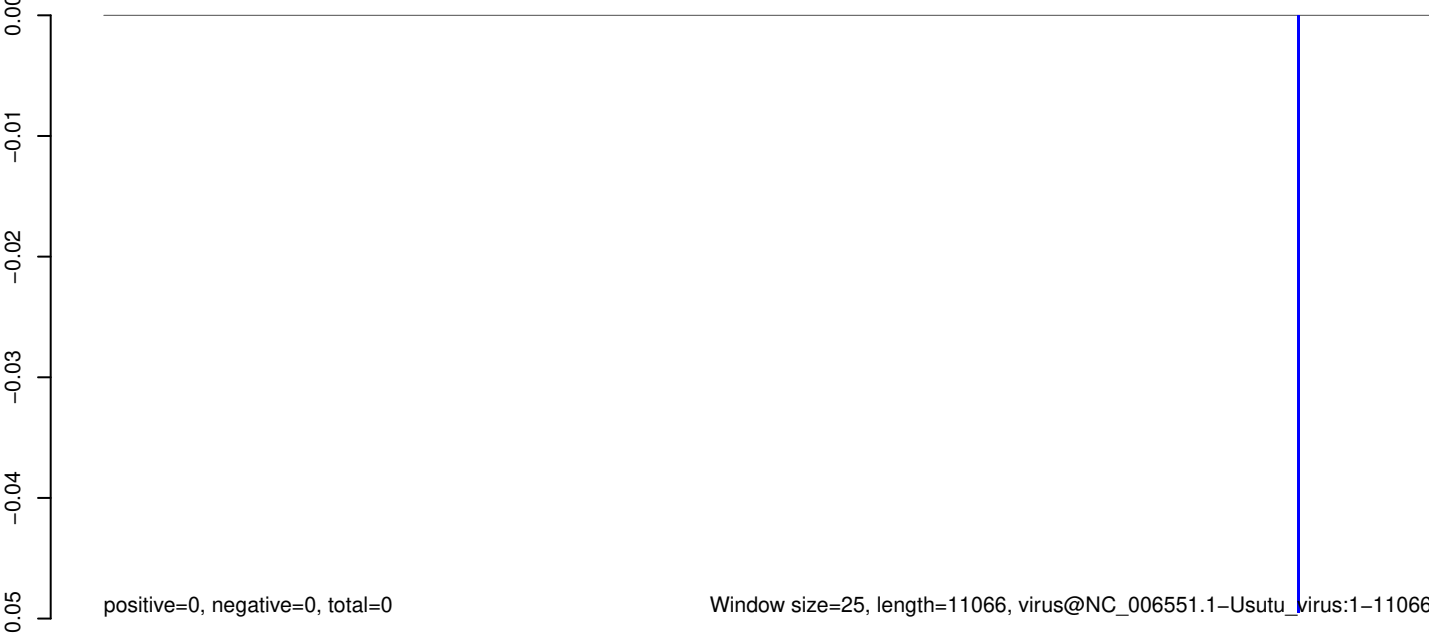
AeAeg_Aag2SINV_dsPiwi4.18_23.rep



AeAeg_Aag2SINV_dsPiwi4.24_35.rep



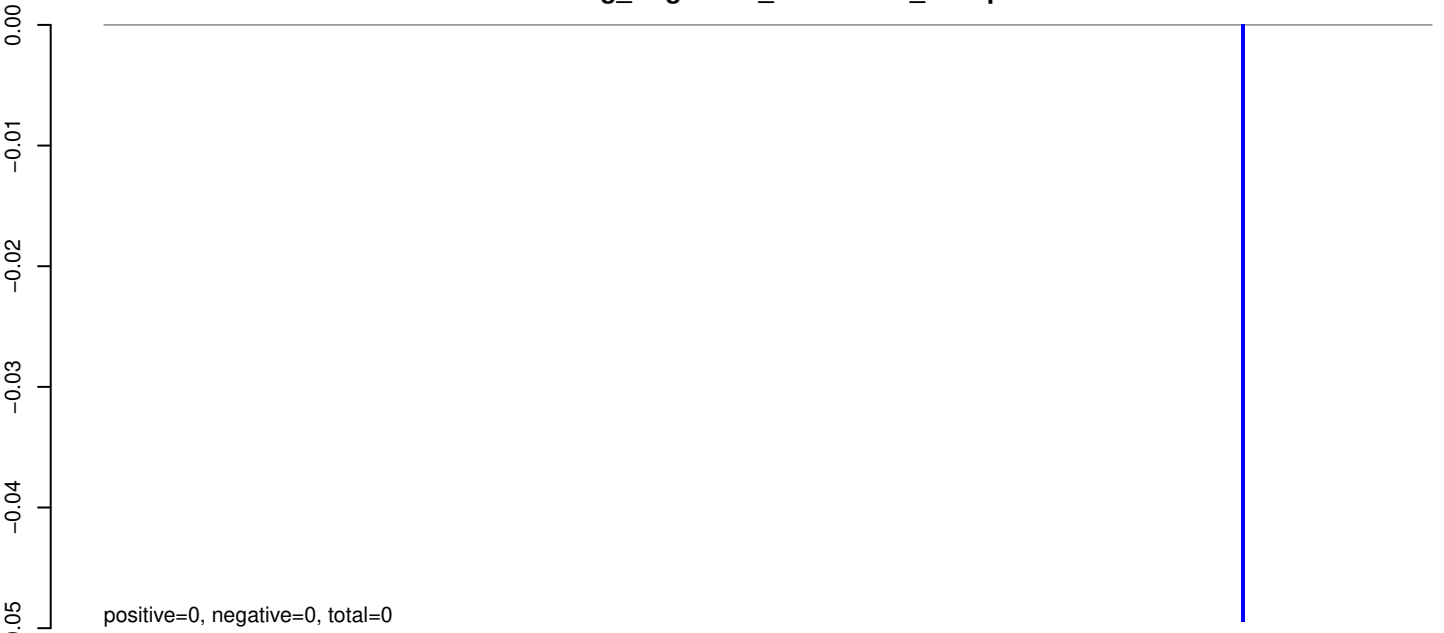
AeAeg_Aag2SINV_dsPiwi4.rep



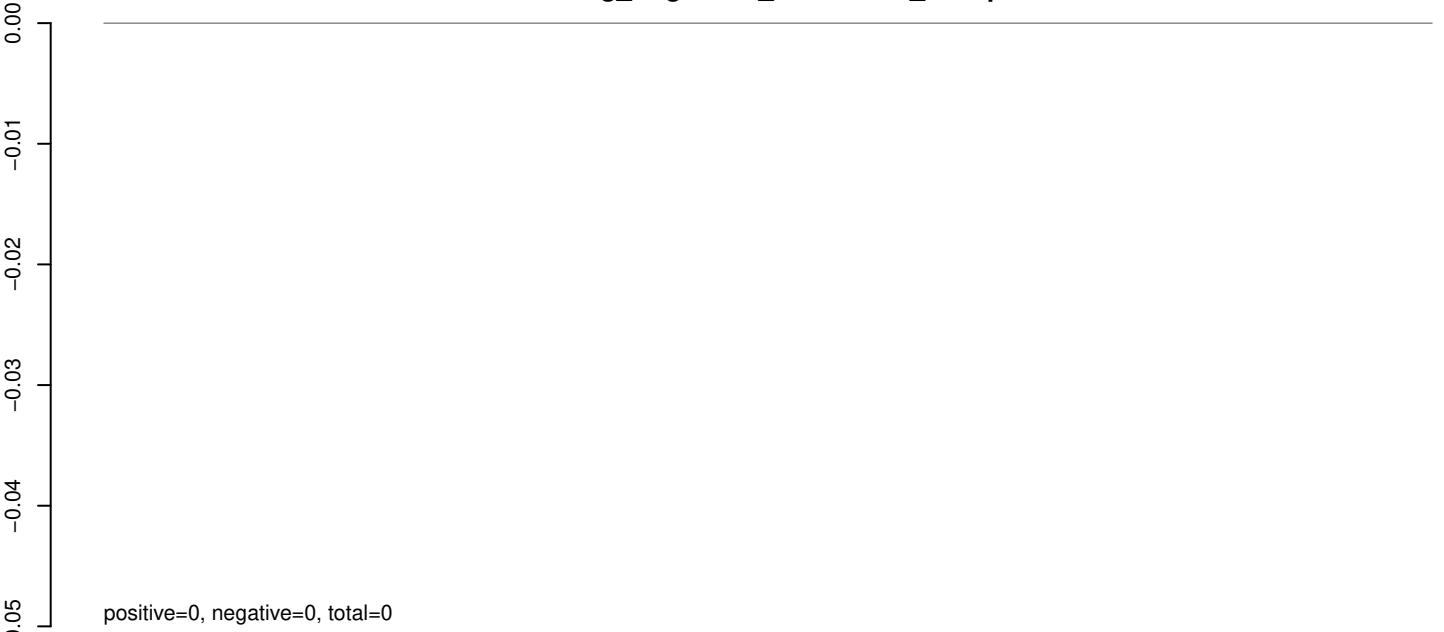
Window size=25, length=11066, virus@NC_006551.1-Usutu_virus:1-11066

0 2000 4000 6000 8000 10000

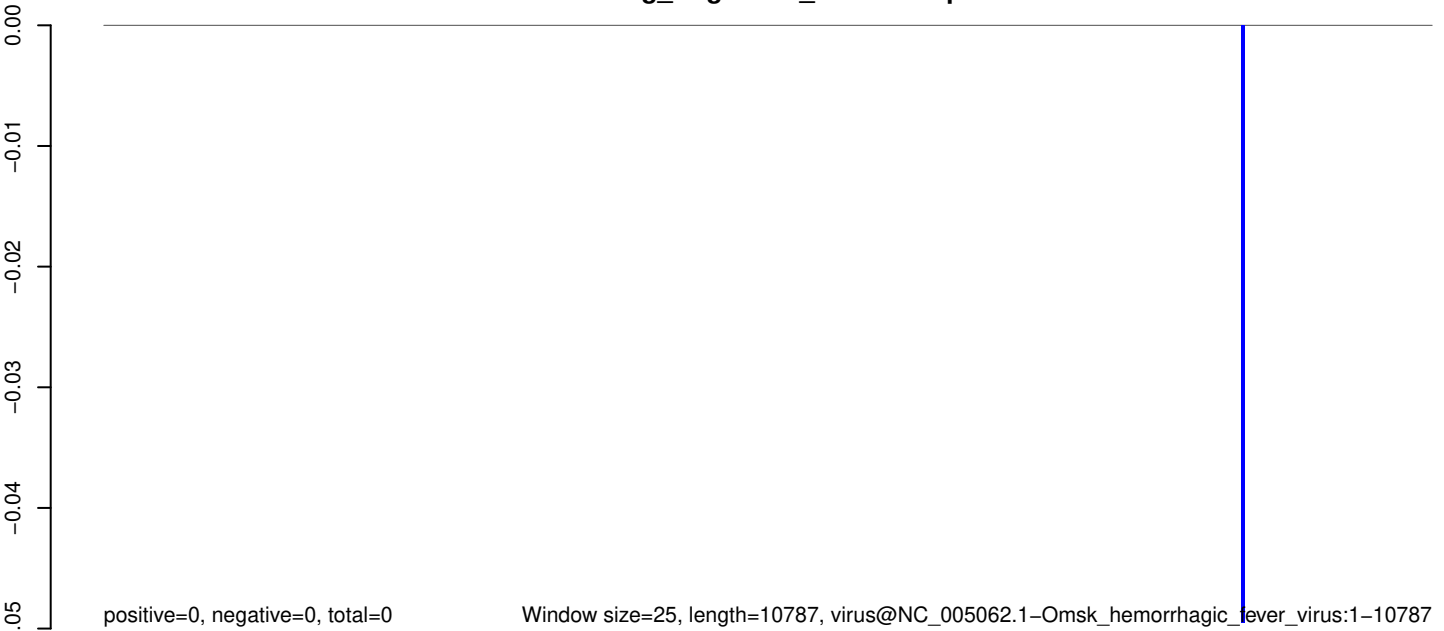
AeAeg_Aag2SINV_dsPiwi4.18_23.rep



AeAeg_Aag2SINV_dsPiwi4.24_35.rep

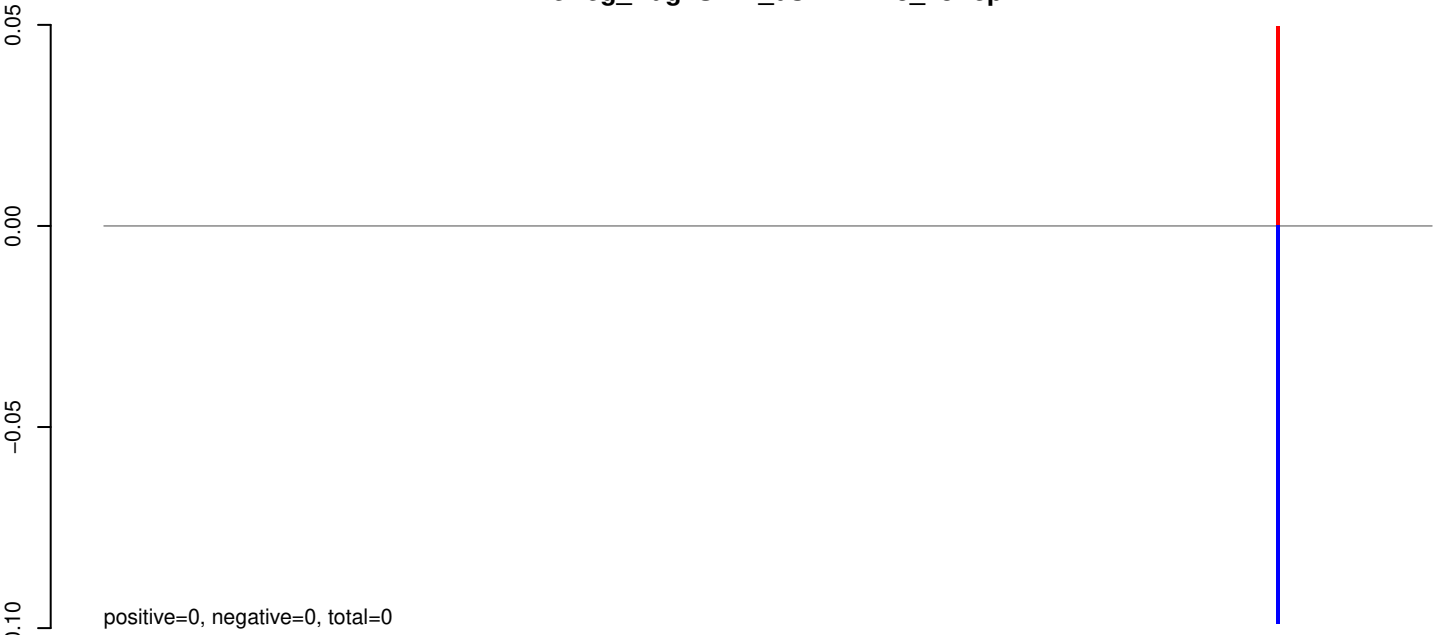


AeAeg_Aag2SINV_dsPiwi4.rep

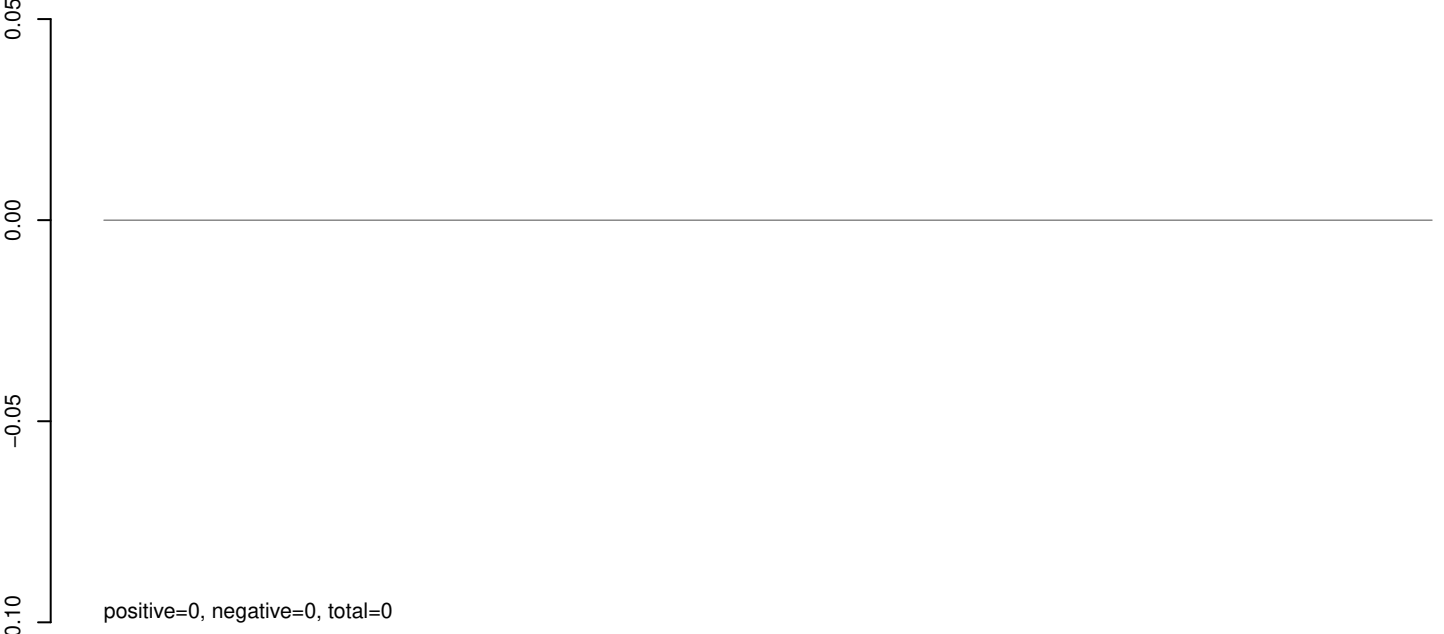


0 2000 4000 6000 8000 10000

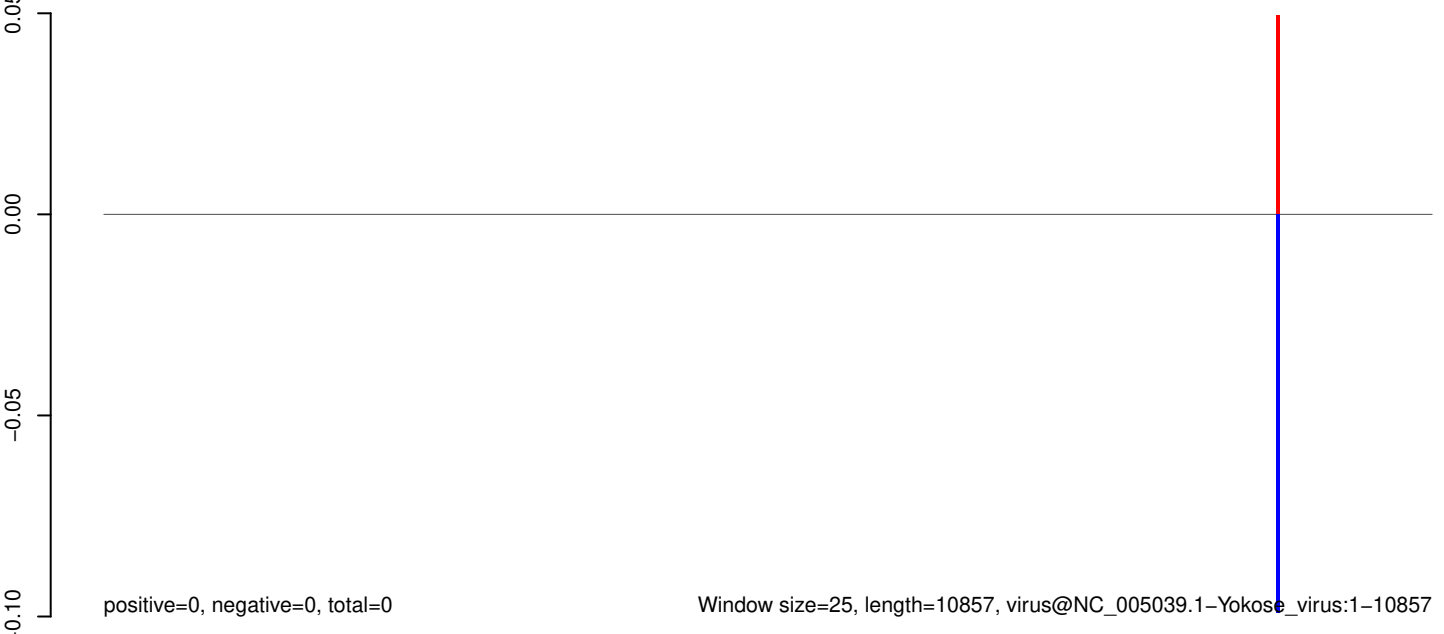
AeAeg_Aag2SINV_dsPiwi4.18_23.rep



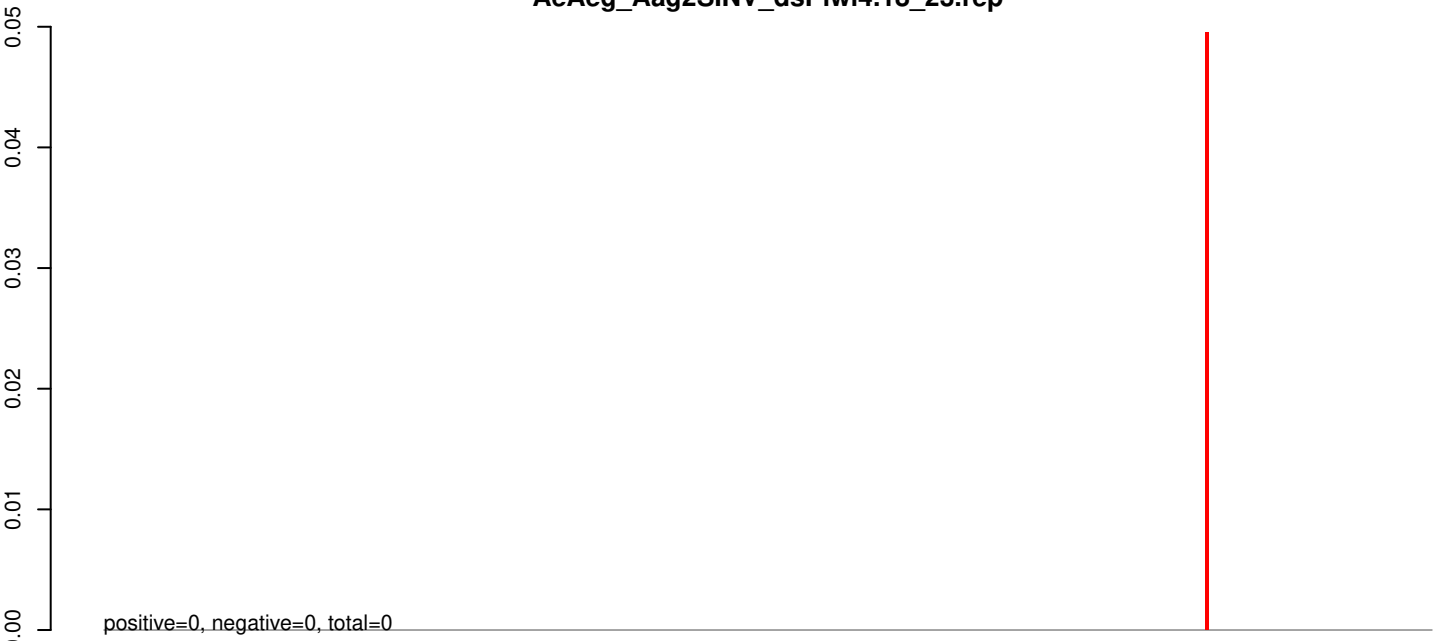
AeAeg_Aag2SINV_dsPiwi4.24_35.rep



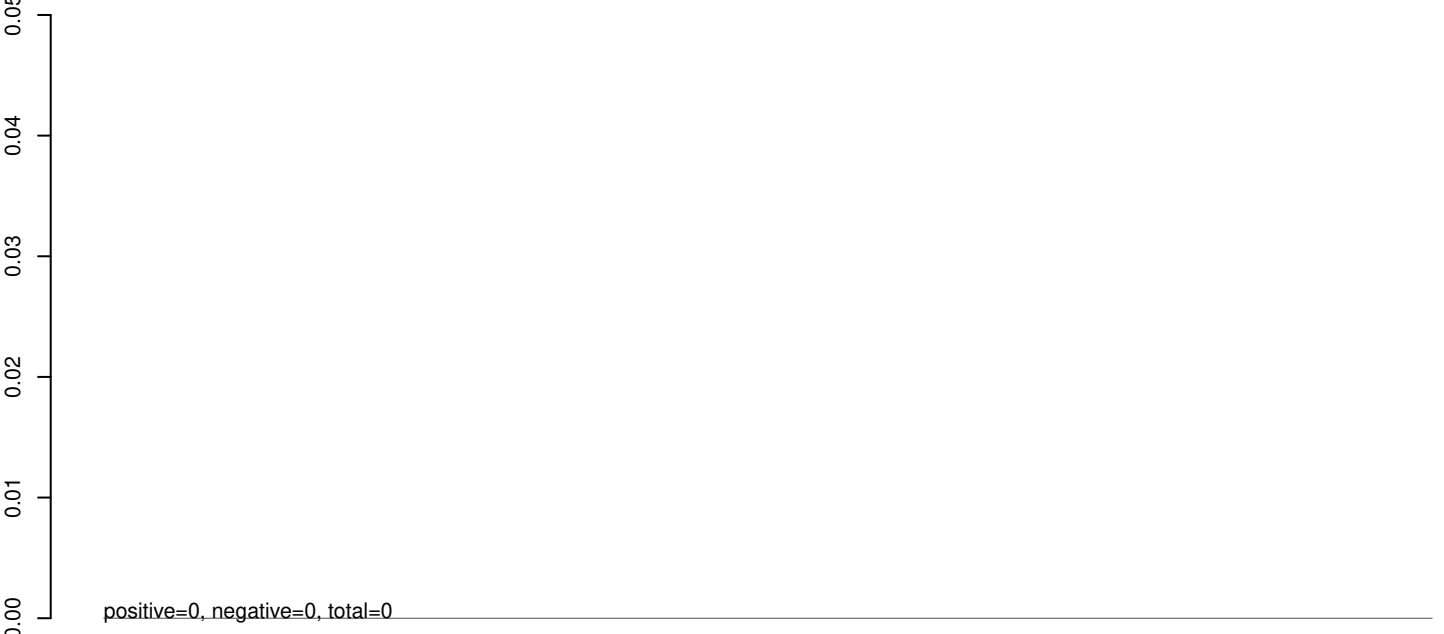
AeAeg_Aag2SINV_dsPiwi4.rep



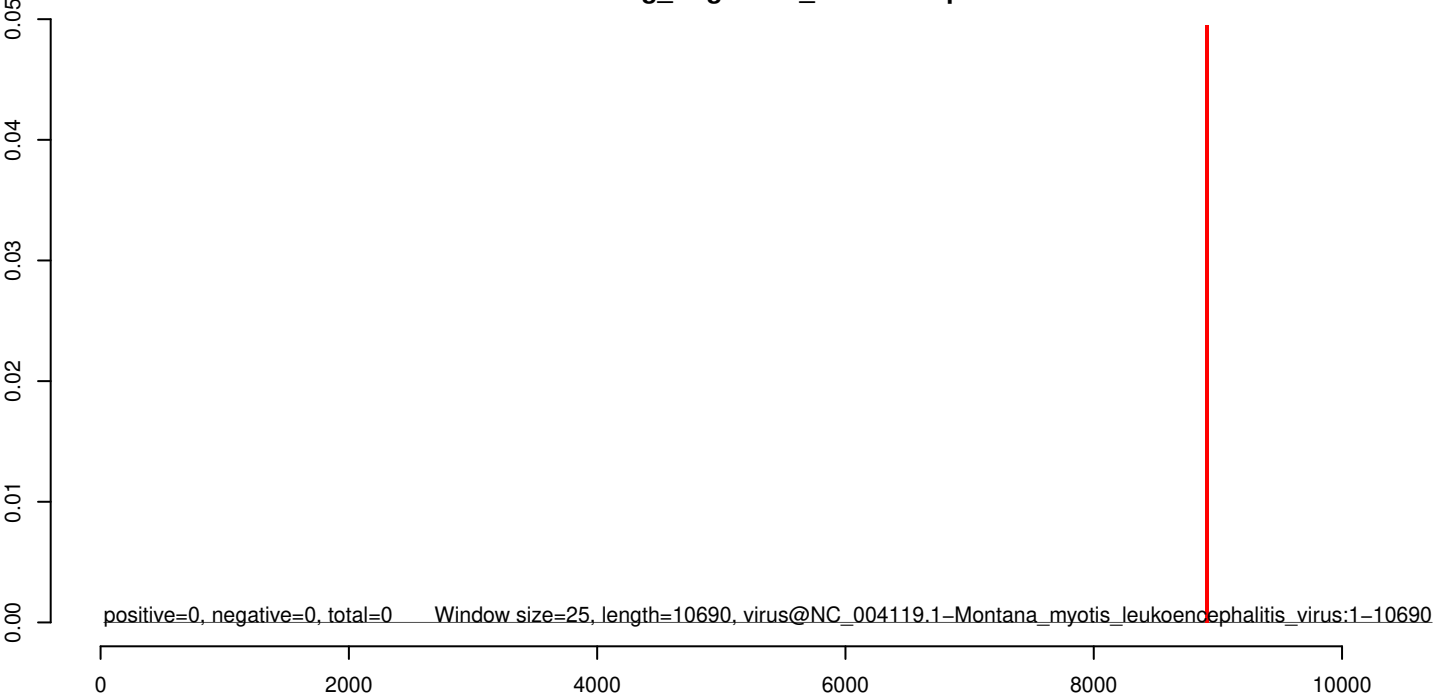
AeAeg_Aag2SINV_dsPiwi4.18_23.rep



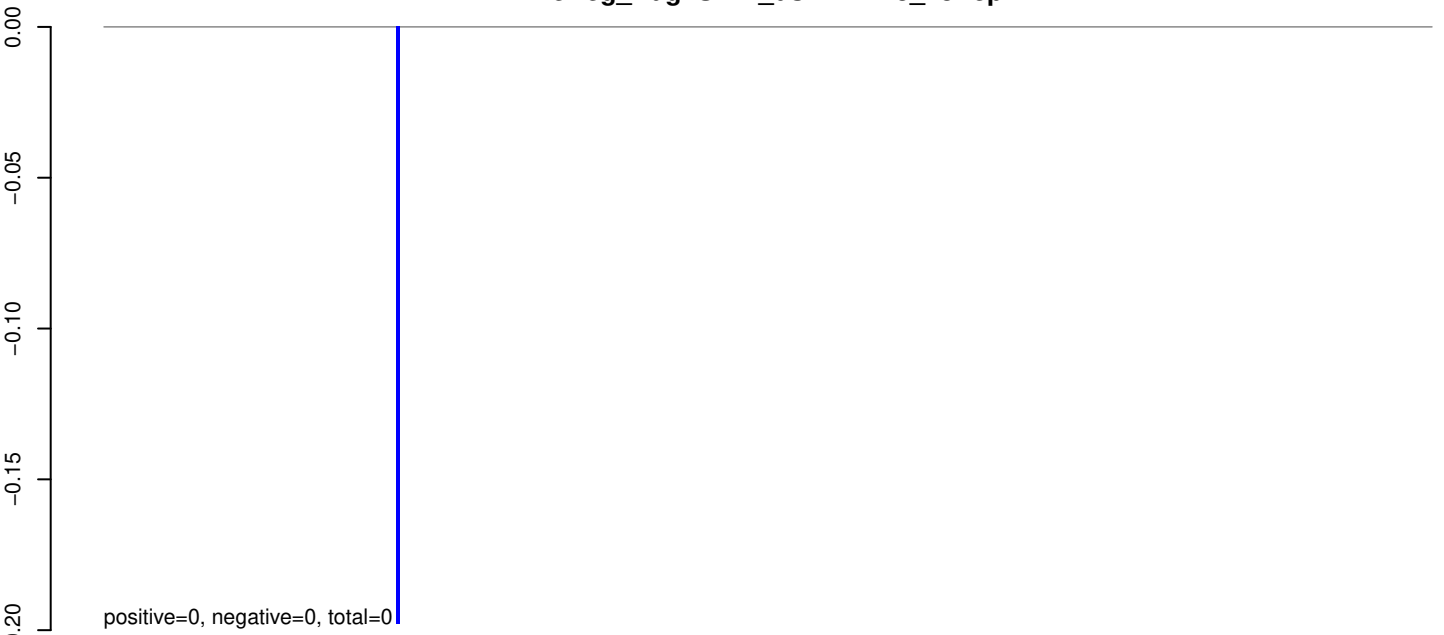
AeAeg_Aag2SINV_dsPiwi4.24_35.rep



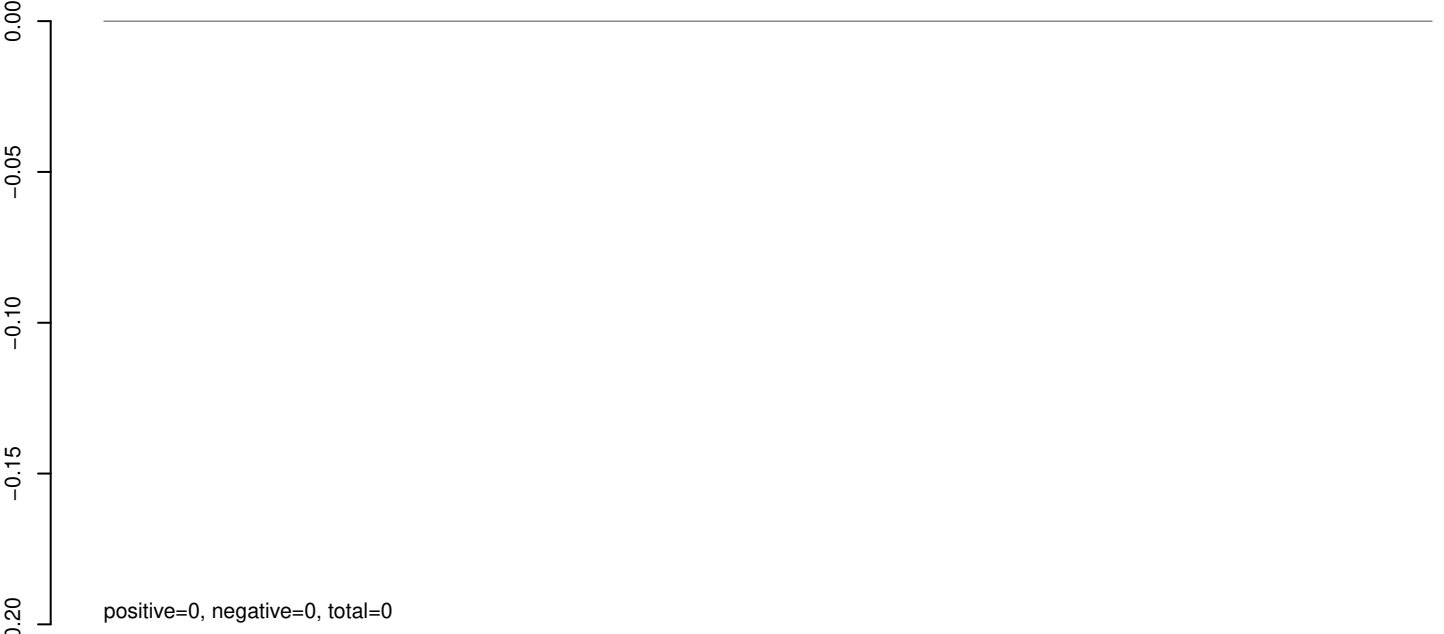
AeAeg_Aag2SINV_dsPiwi4.rep



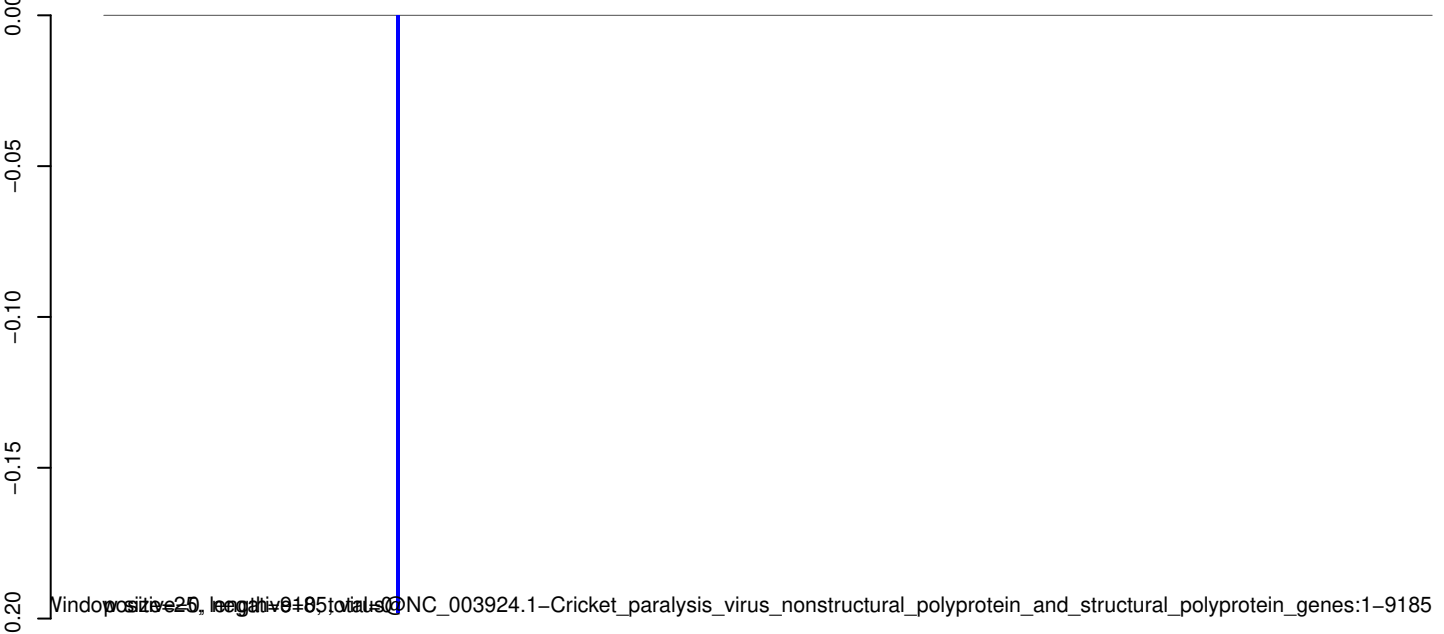
AeAeg_Aag2SINV_dsPiwi4.18_23.rep



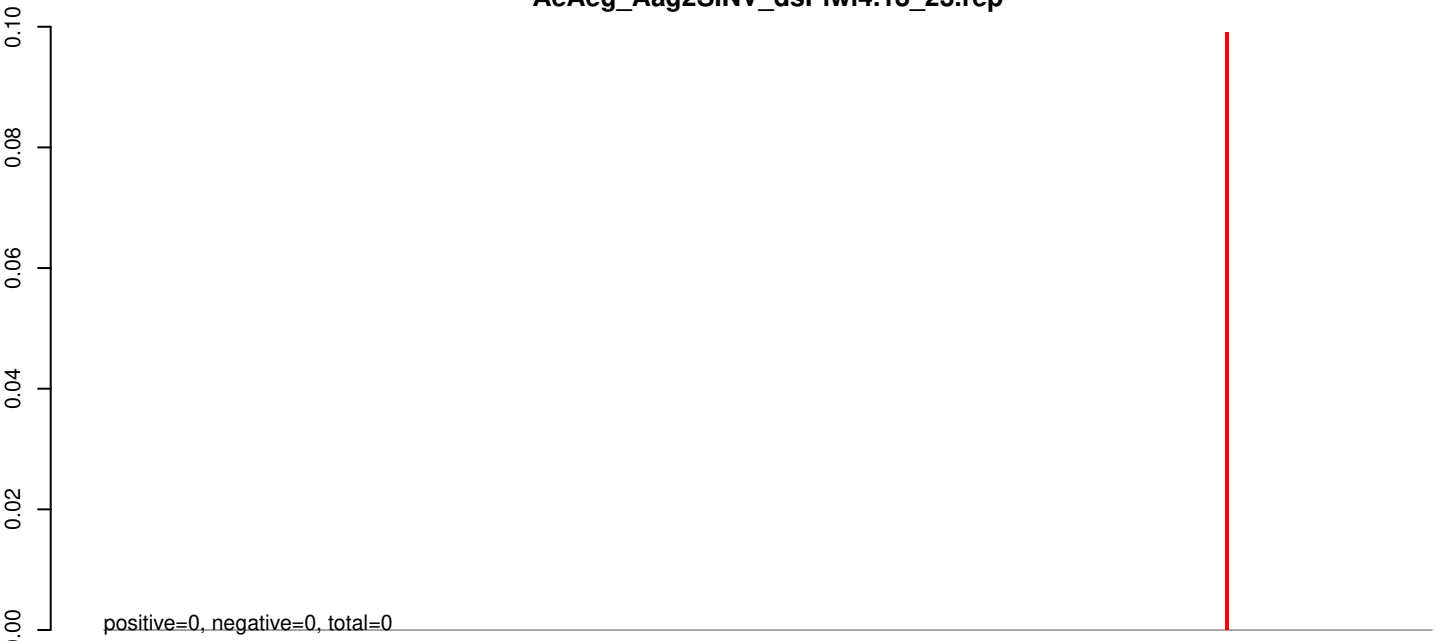
AeAeg_Aag2SINV_dsPiwi4.24_35.rep



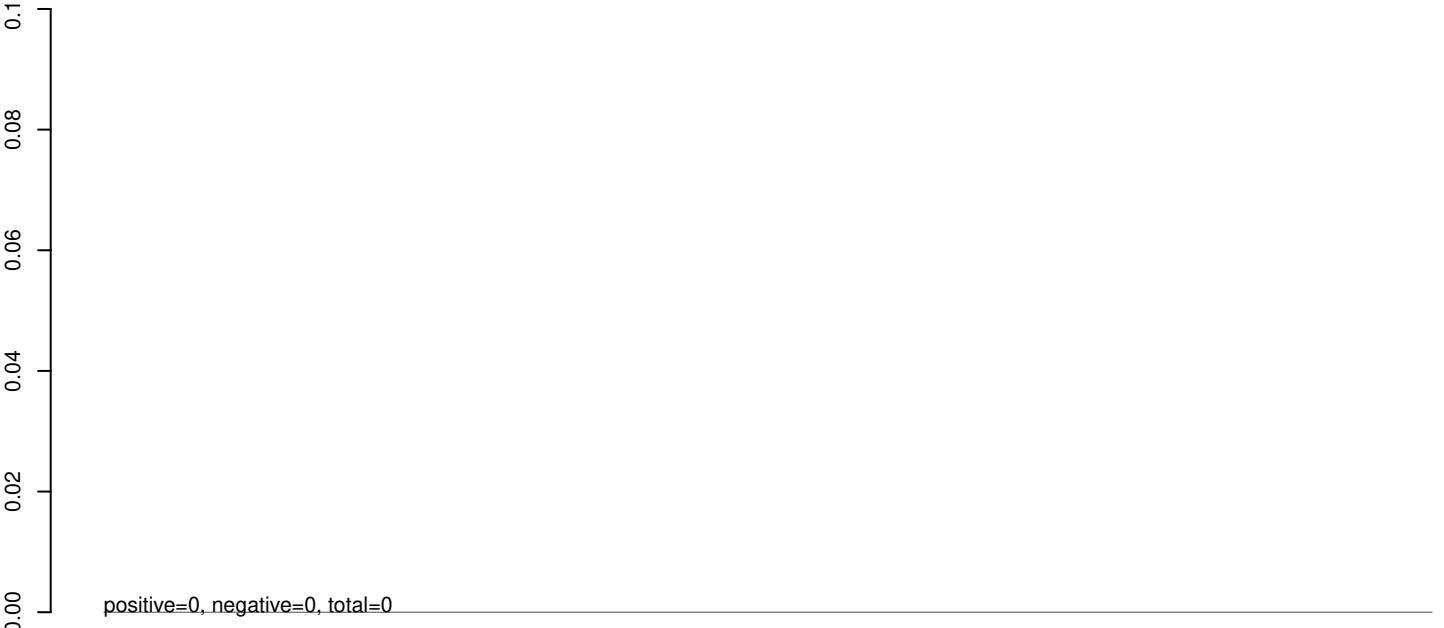
AeAeg_Aag2SINV_dsPiwi4.rep



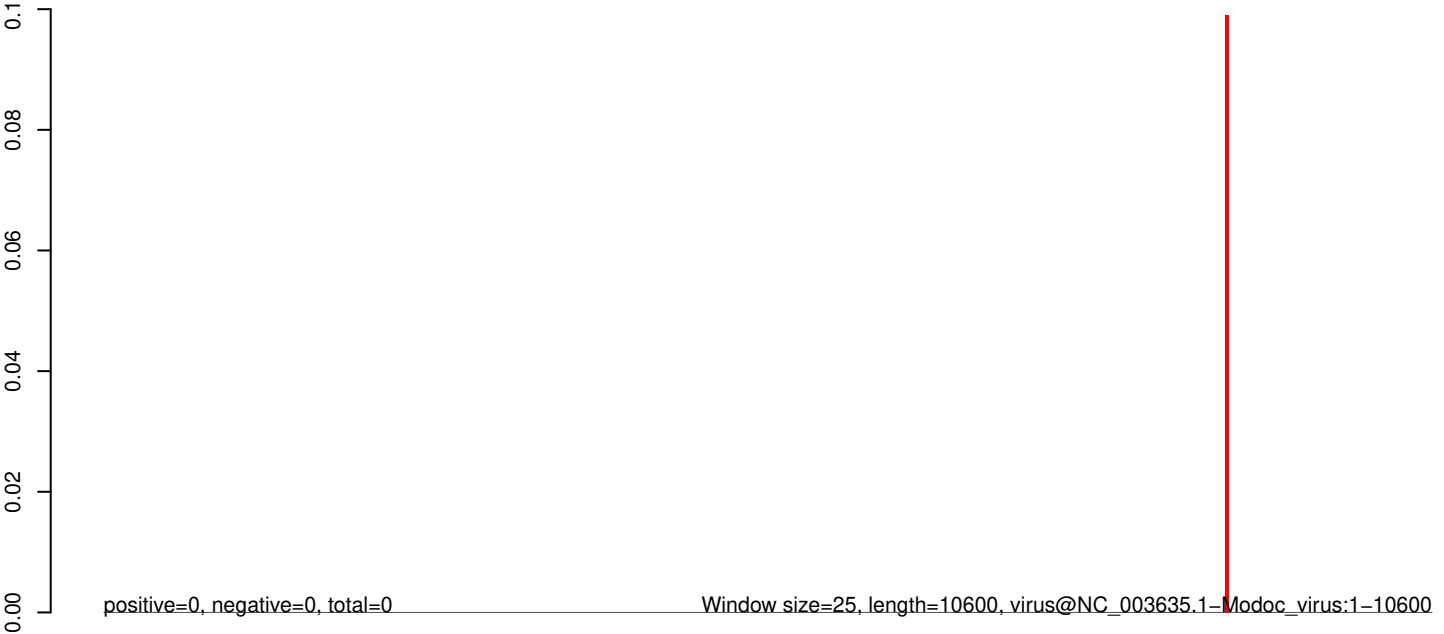
AeAeg_Aag2SINV_dsPiwi4.18_23.rep



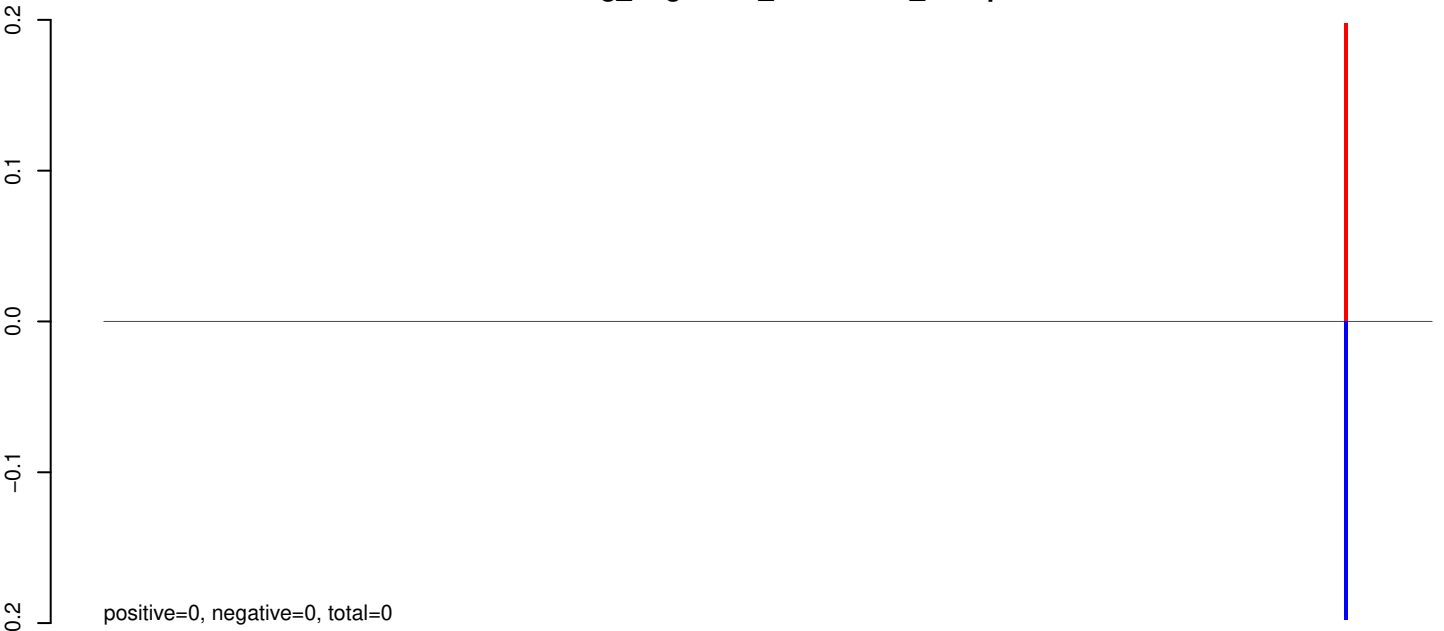
AeAeg_Aag2SINV_dsPiwi4.24_35.rep



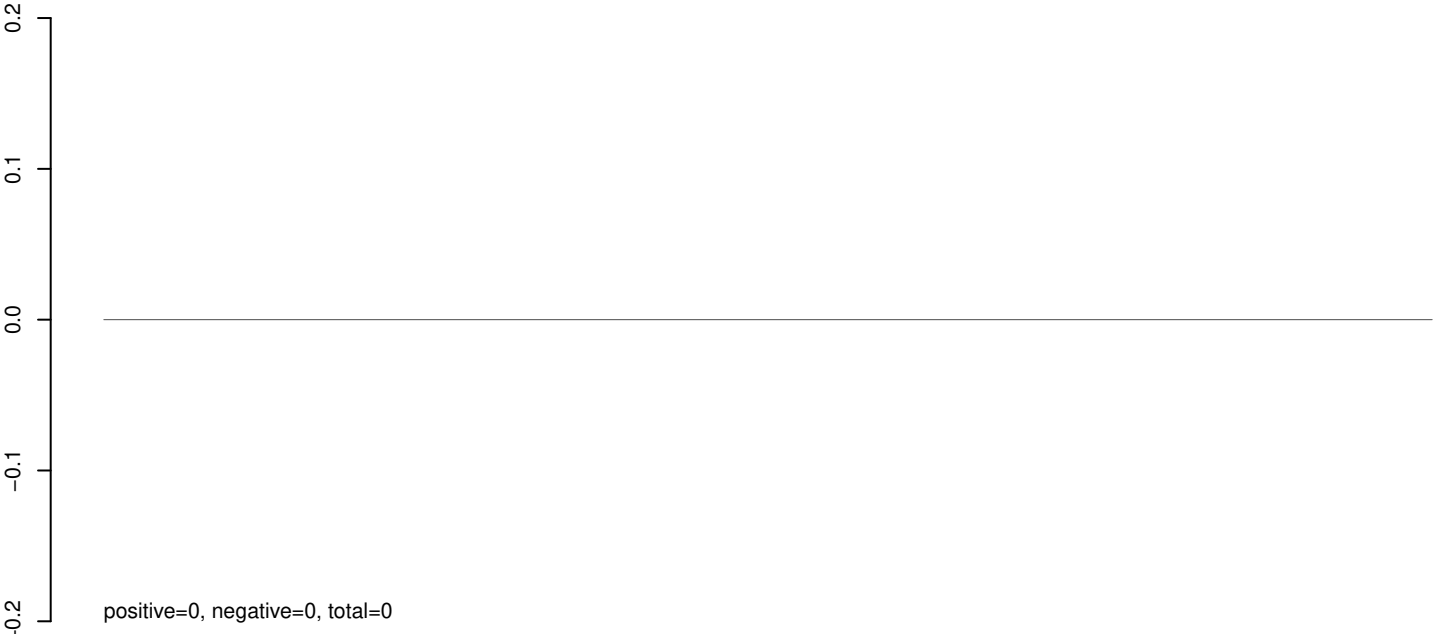
AeAeg_Aag2SINV_dsPiwi4.rep



AeAeg_Aag2SINV_dsPiwi4.18_23.rep



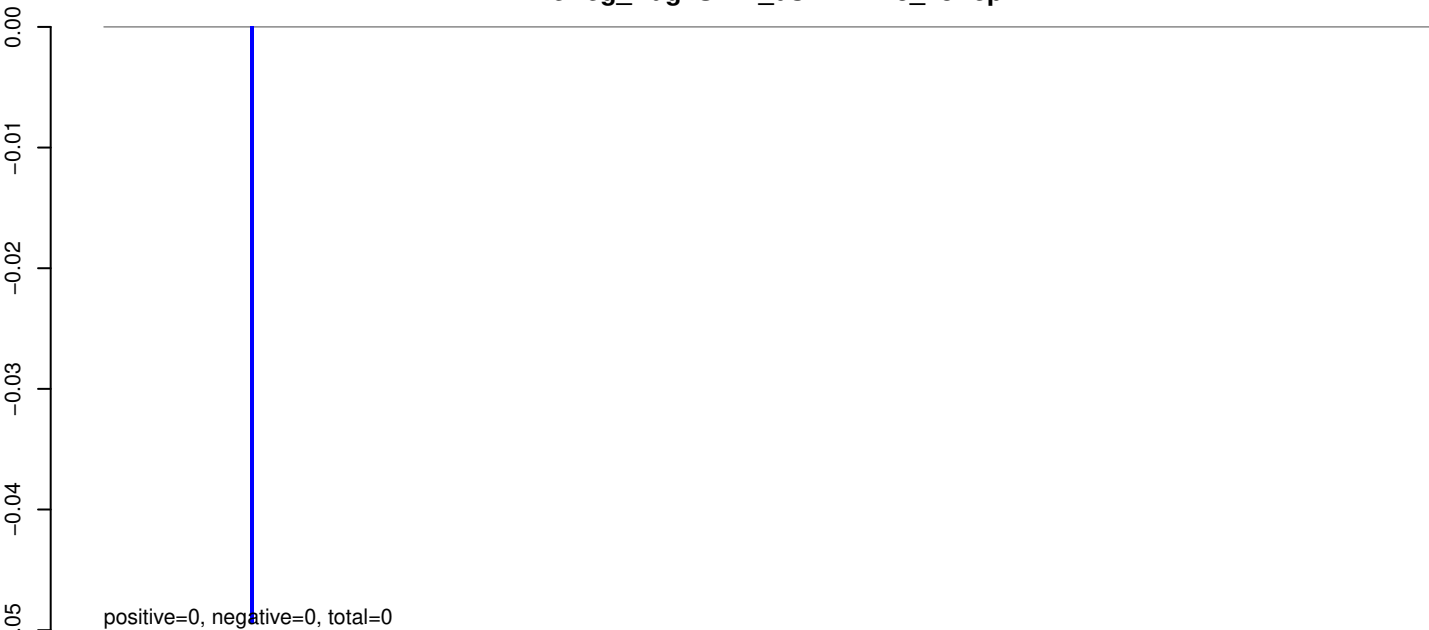
AeAeg_Aag2SINV_dsPiwi4.24_35.rep



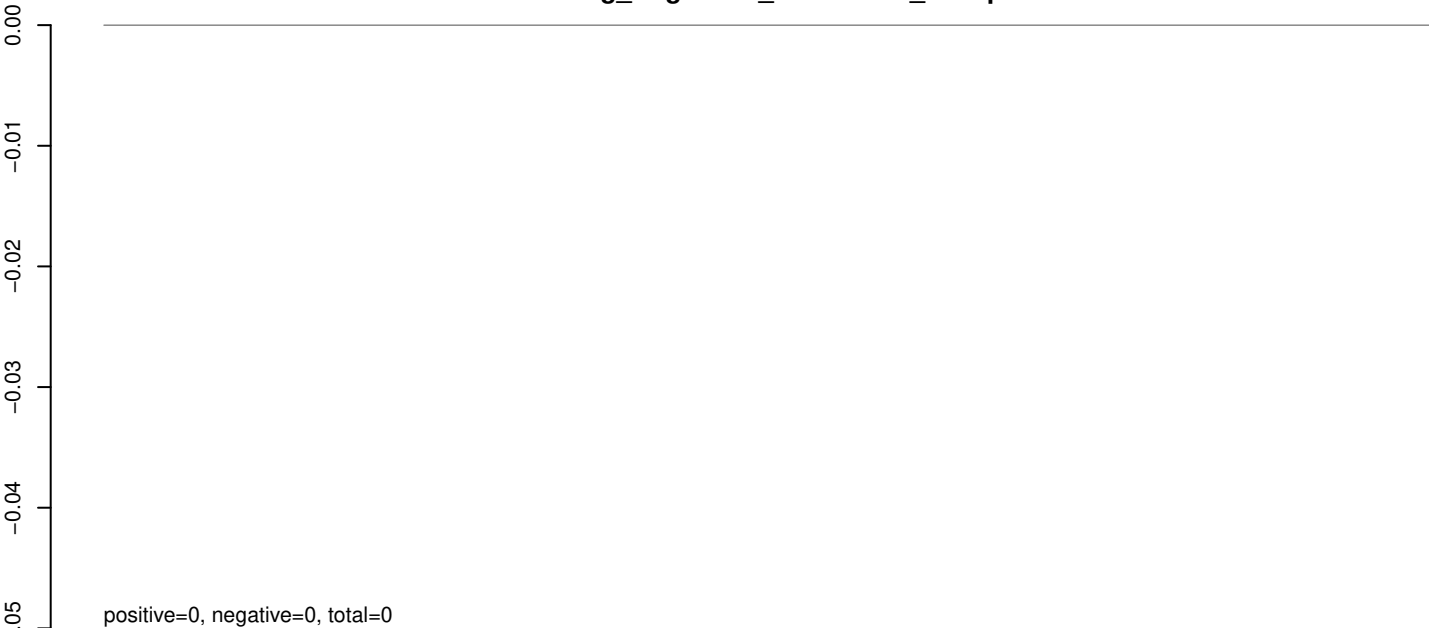
AeAeg_Aag2SINV_dsPiwi4.rep



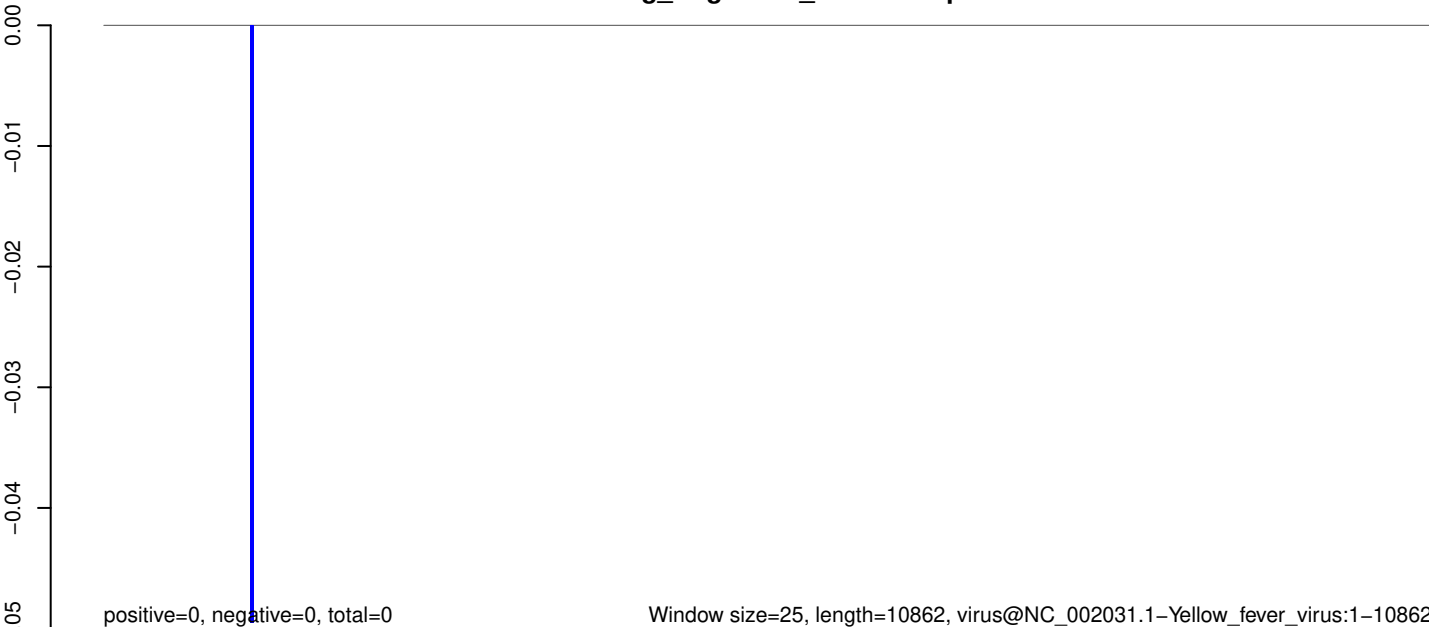
AeAeg_Aag2SINV_dsPiwi4.18_23.rep



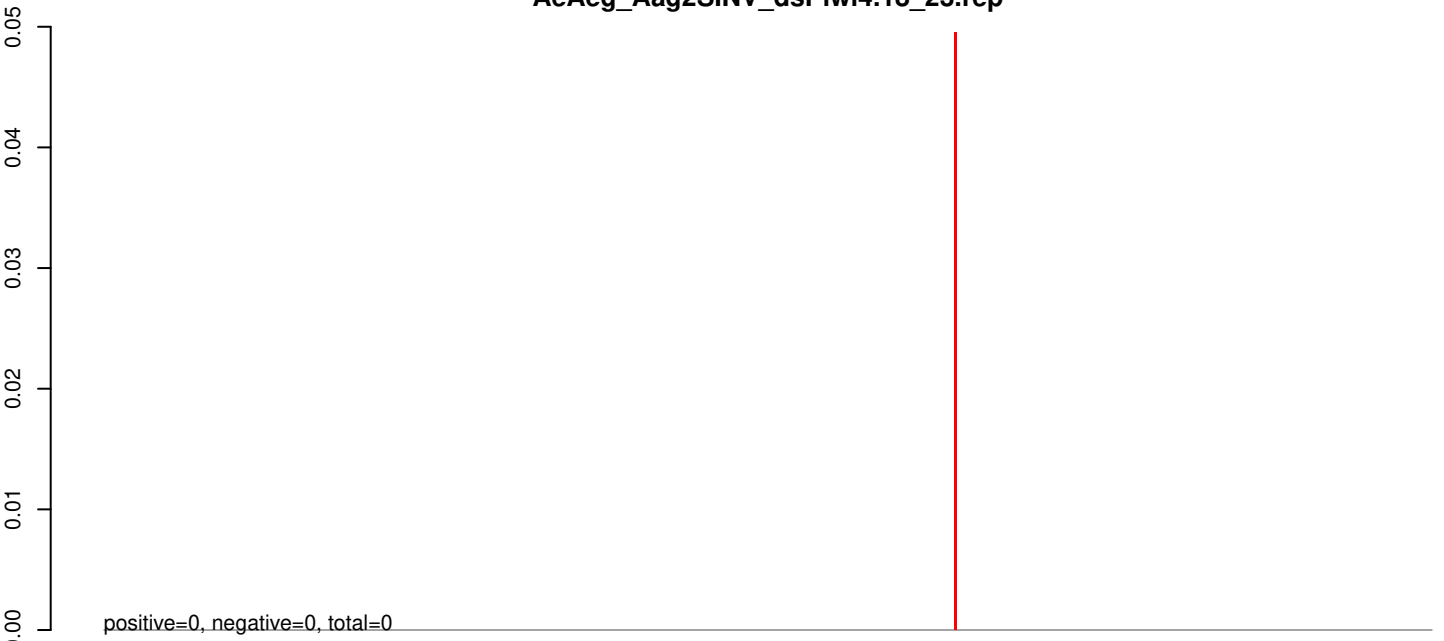
AeAeg_Aag2SINV_dsPiwi4.24_35.rep



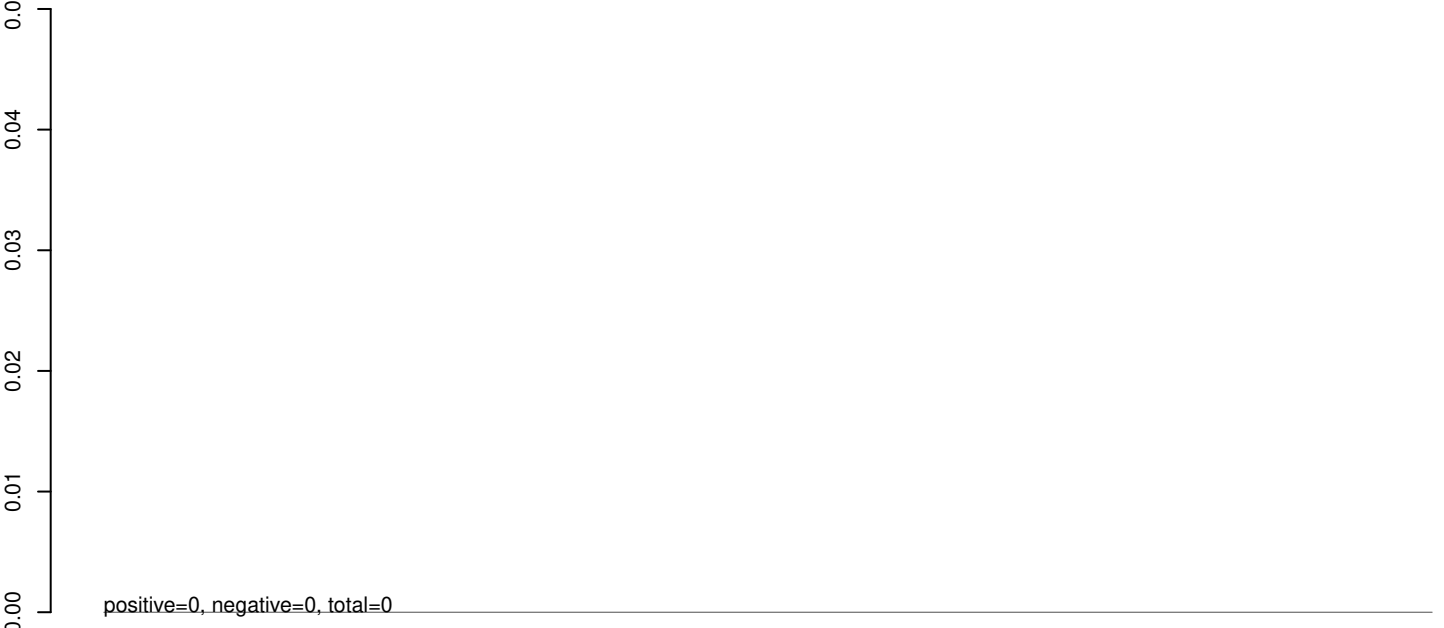
AeAeg_Aag2SINV_dsPiwi4.rep



AeAeg_Aag2SINV_dsPiwi4.18_23.rep



AeAeg_Aag2SINV_dsPiwi4.24_35.rep



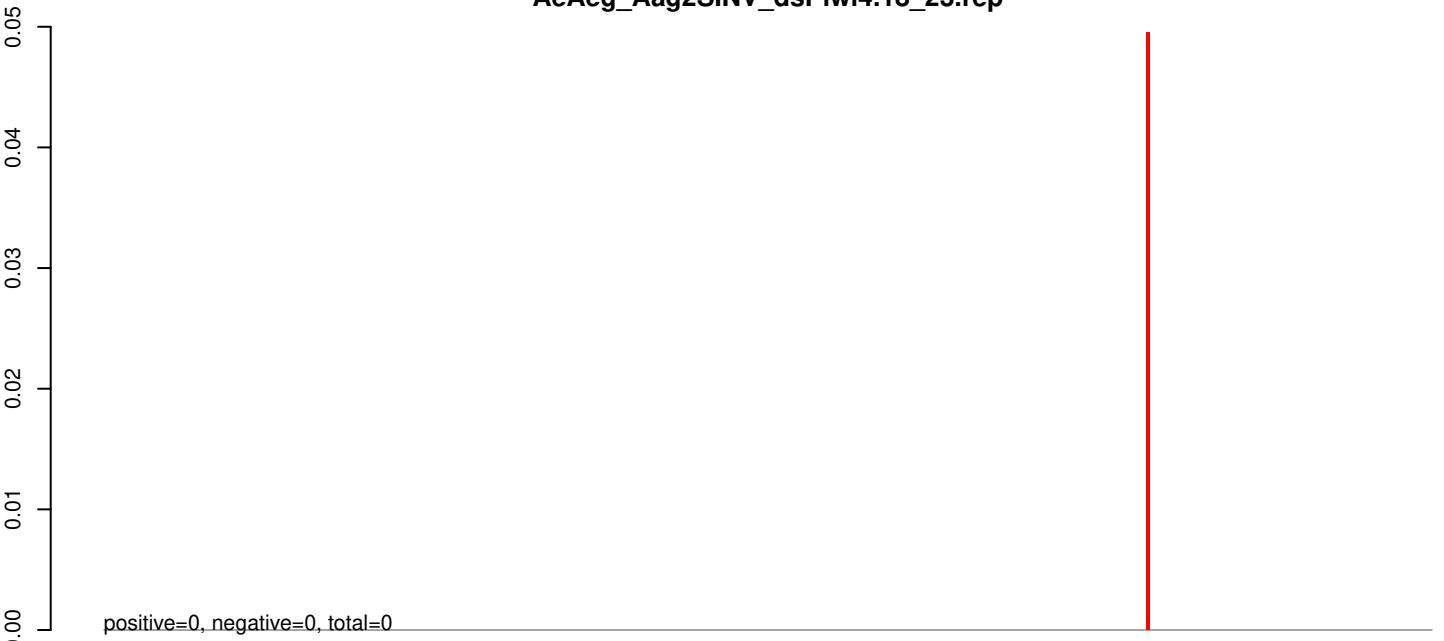
AeAeg_Aag2SINV_dsPiwi4.rep



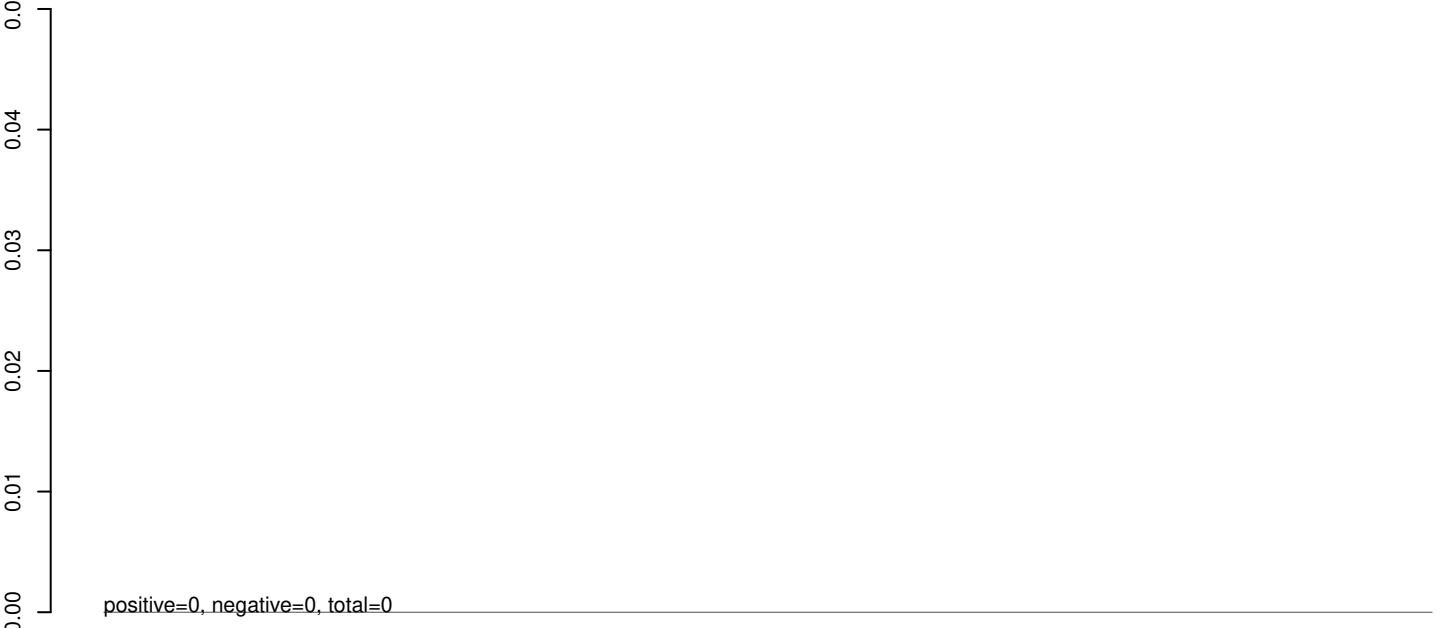
Window size=25, length=12294, virus@NC_001927.1-Bunyamwera_virus_segment_S_plus_segment_M_plus_segment_L:1-12294

0 2000 4000 6000 8000 10000 12000

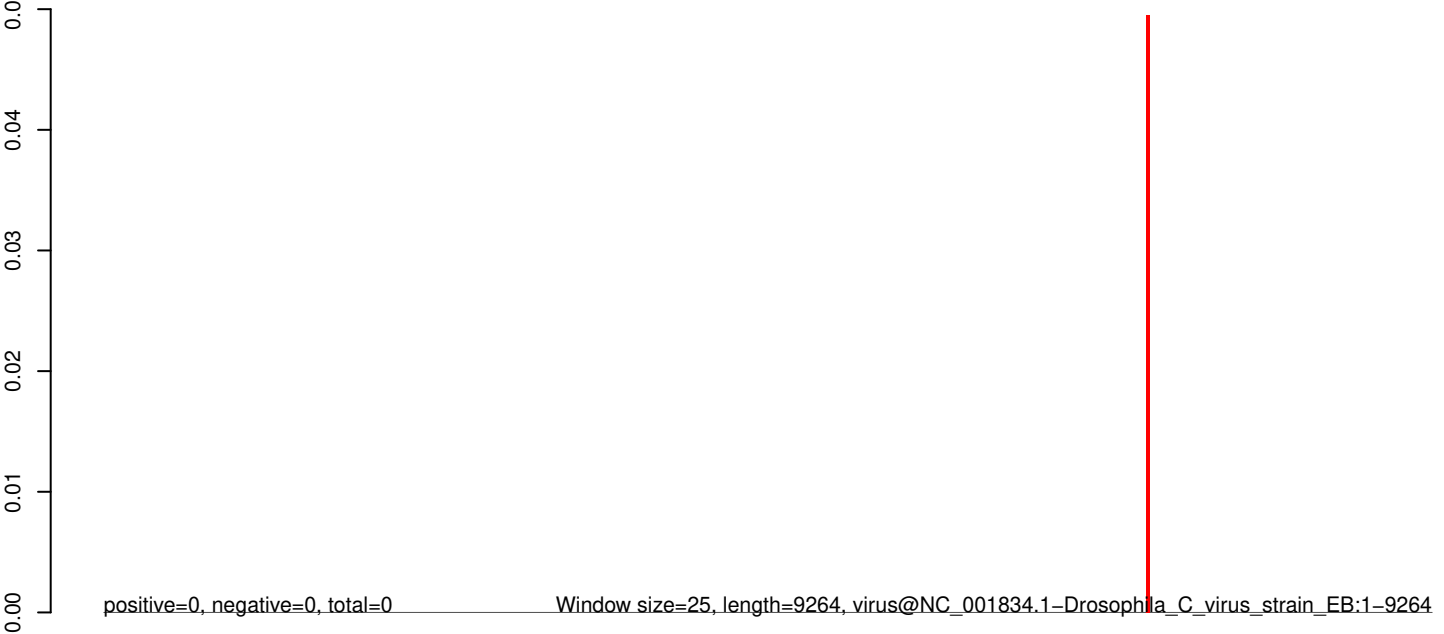
AeAeg_Aag2SINV_dsPiwi4.18_23.rep



AeAeg_Aag2SINV_dsPiwi4.24_35.rep

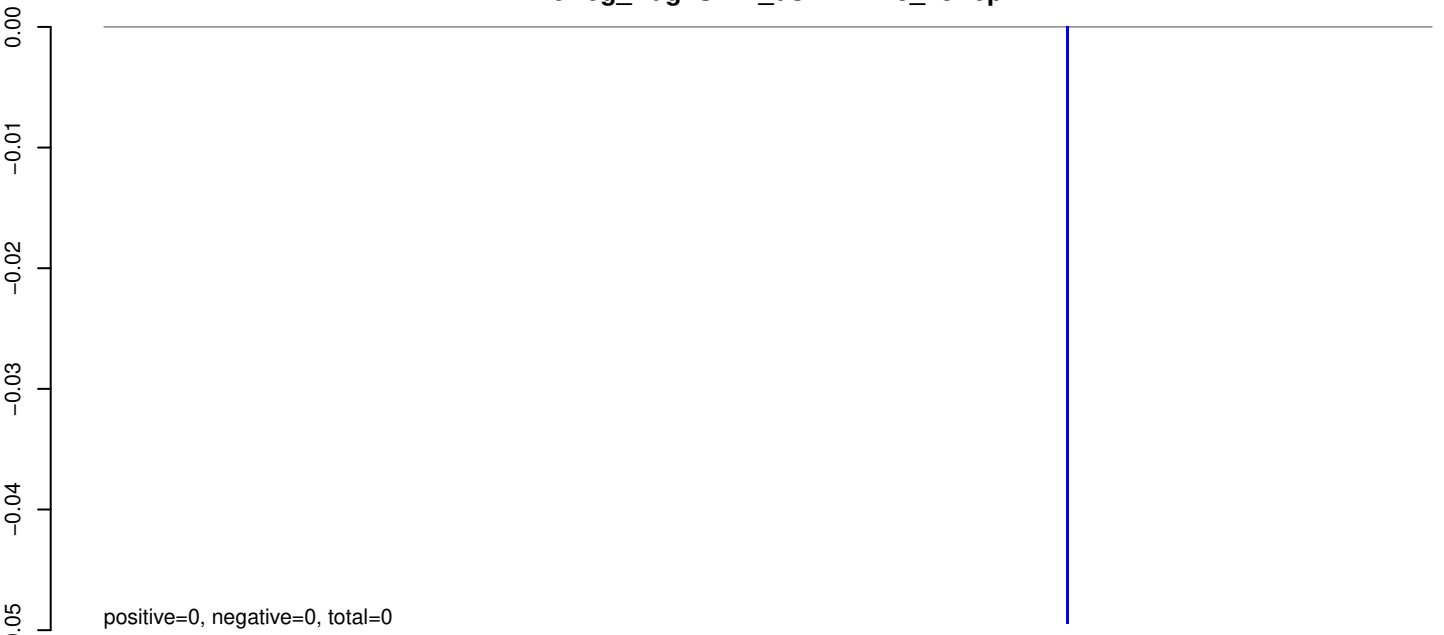


AeAeg_Aag2SINV_dsPiwi4.rep

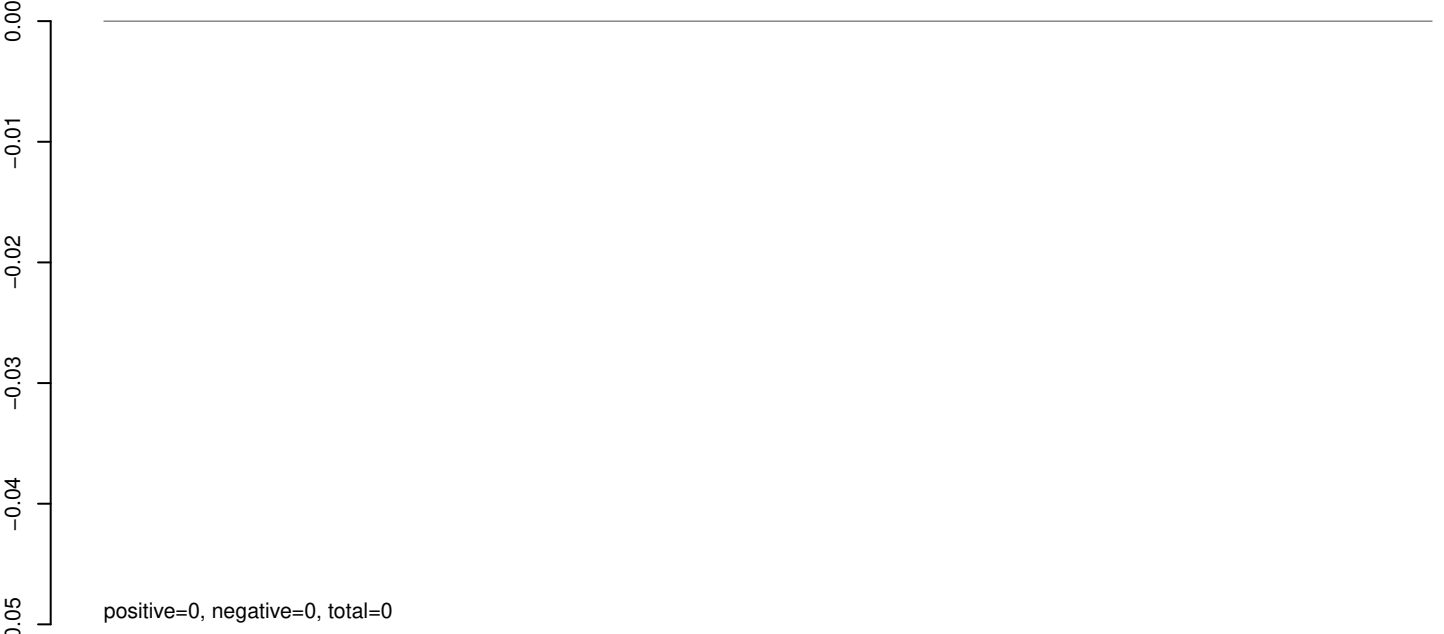


0 2000 4000 6000 8000

AeAeg_Aag2SINV_dsPiwi4.18_23.rep



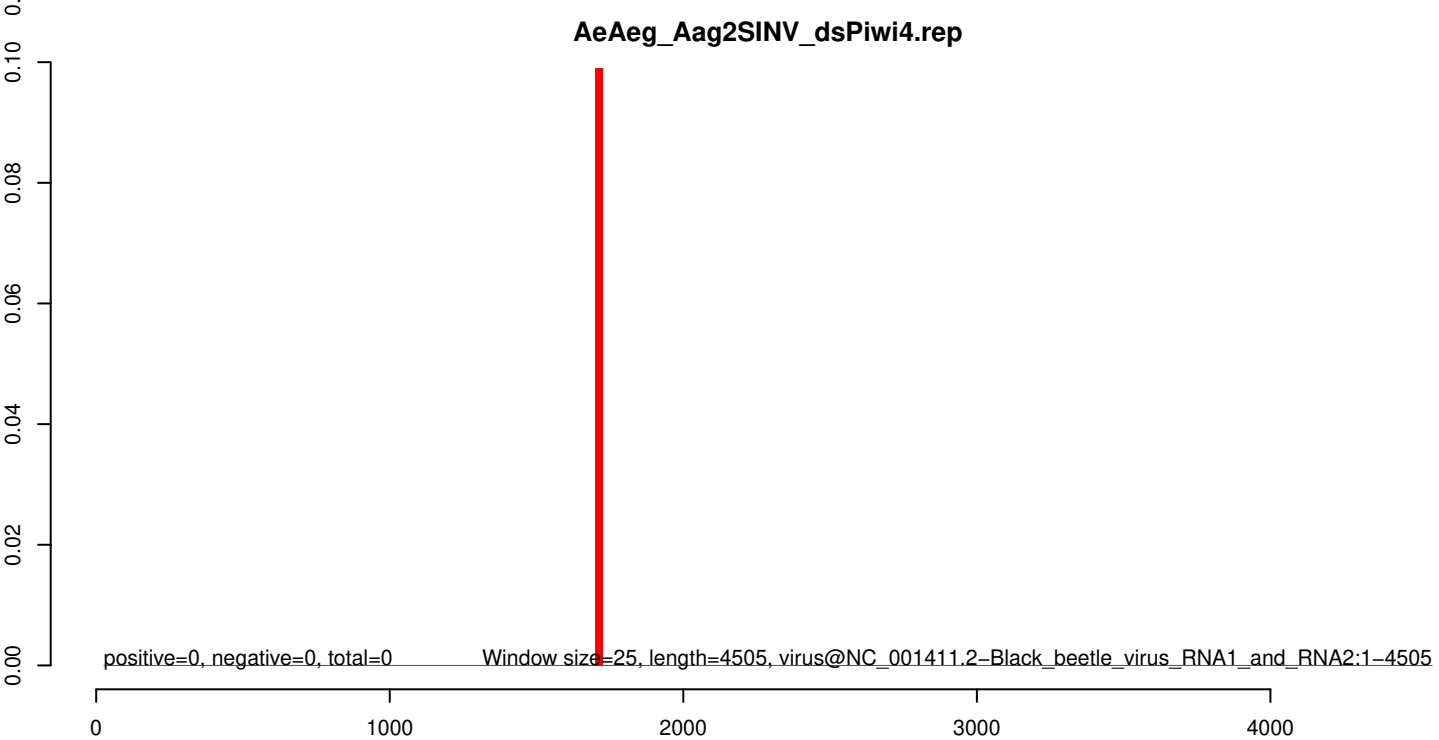
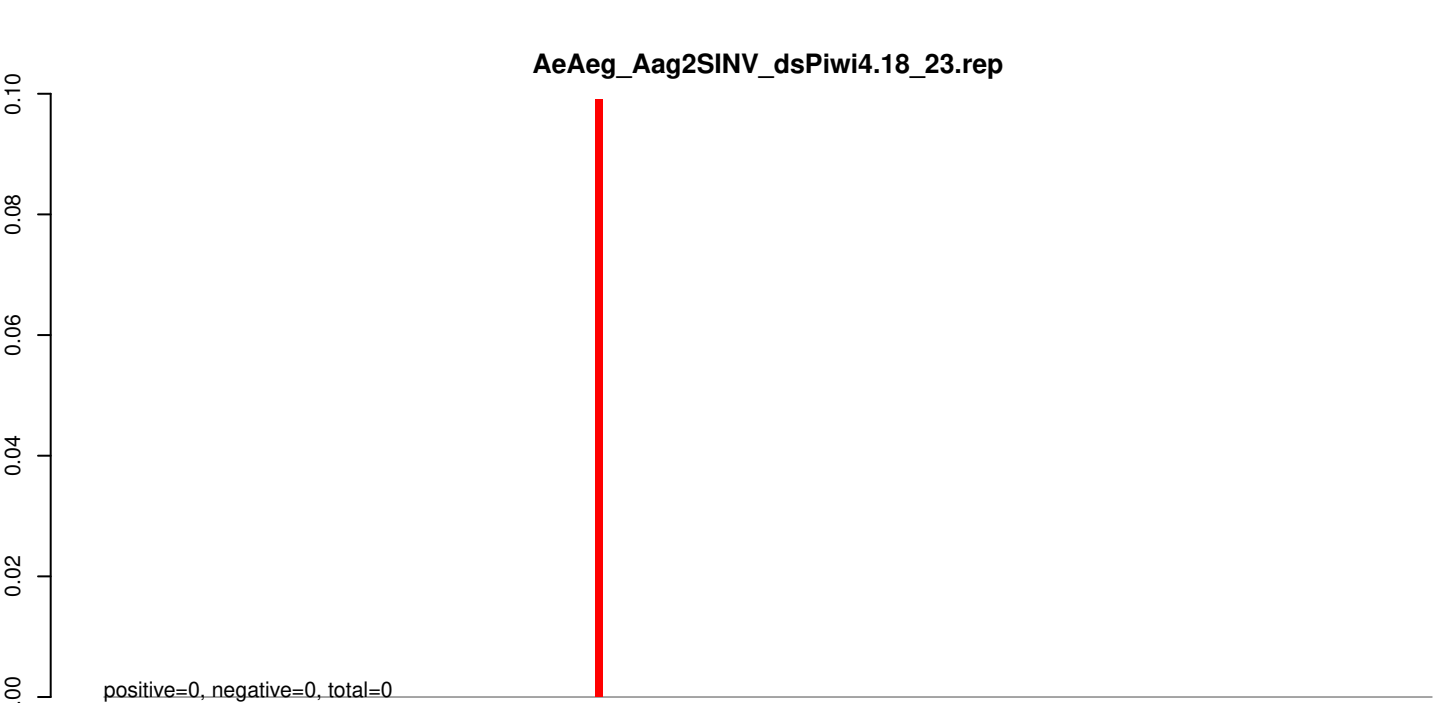
AeAeg_Aag2SINV_dsPiwi4.24_35.rep



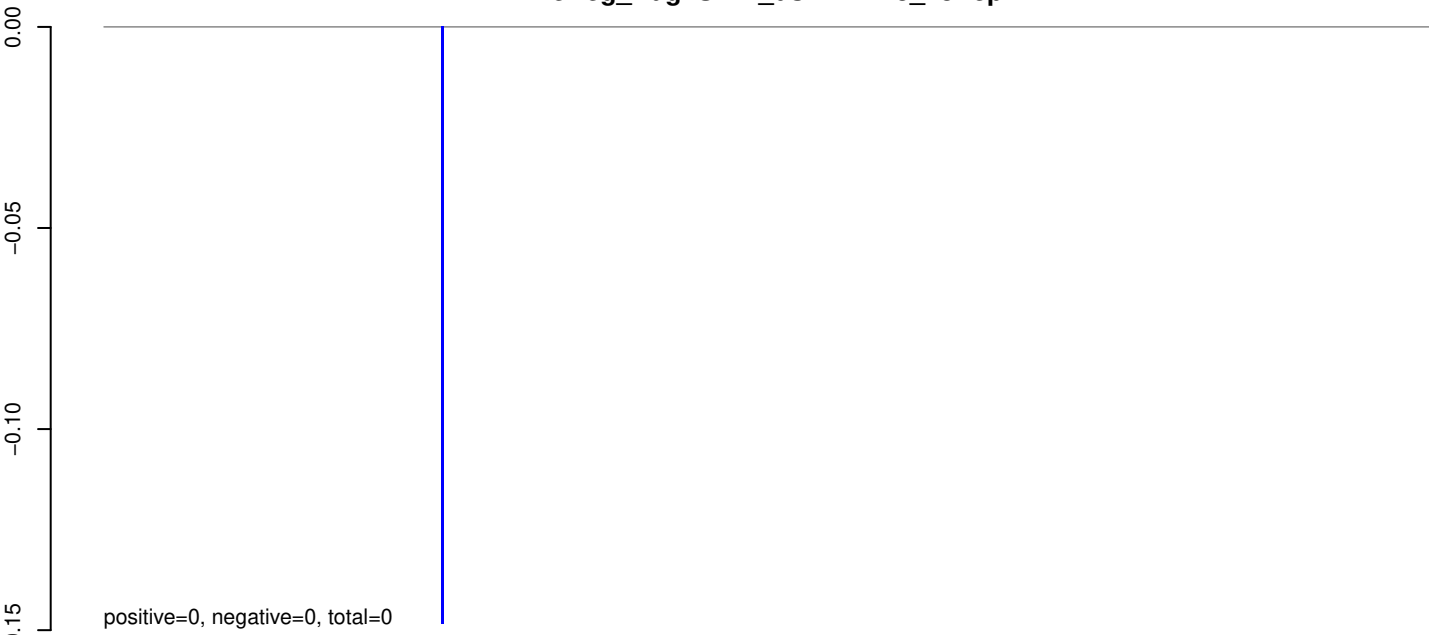
AeAeg_Aag2SINV_dsPiwi4.rep



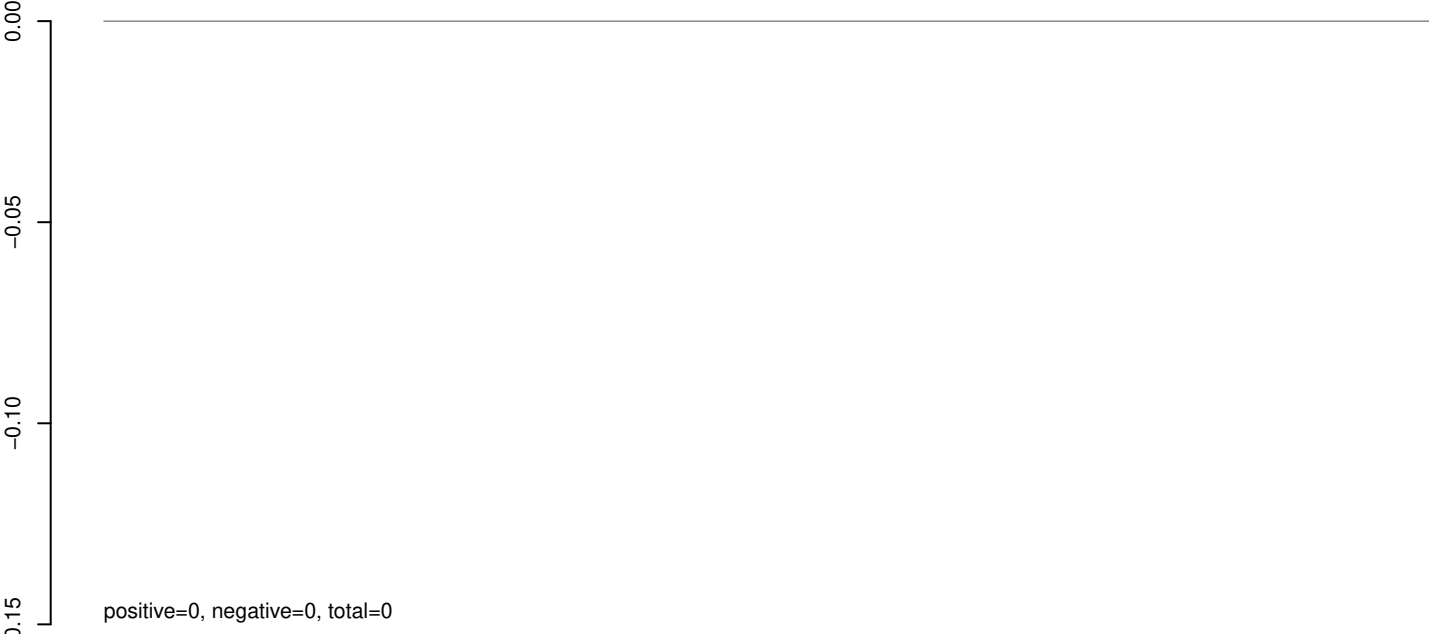
0 2000 4000 6000 8000 10000



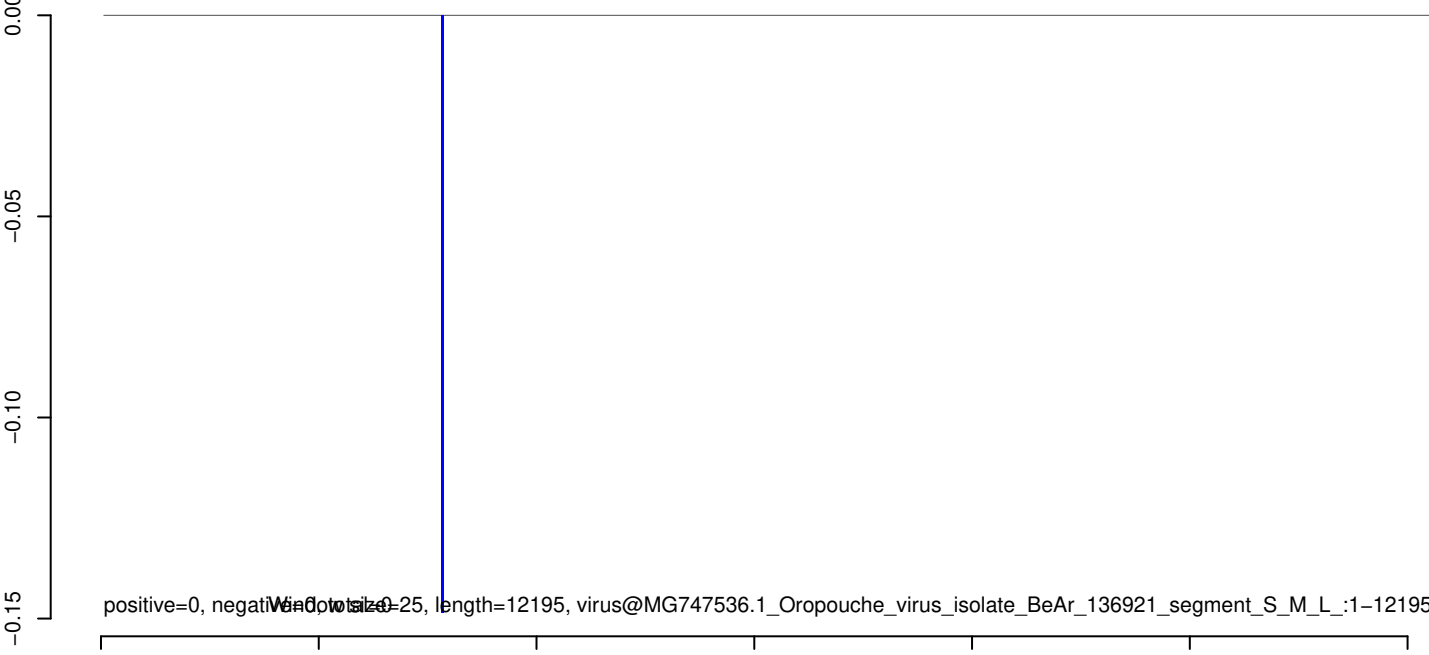
AeAeg_Aag2SINV_dsPiwi4.18_23.rep



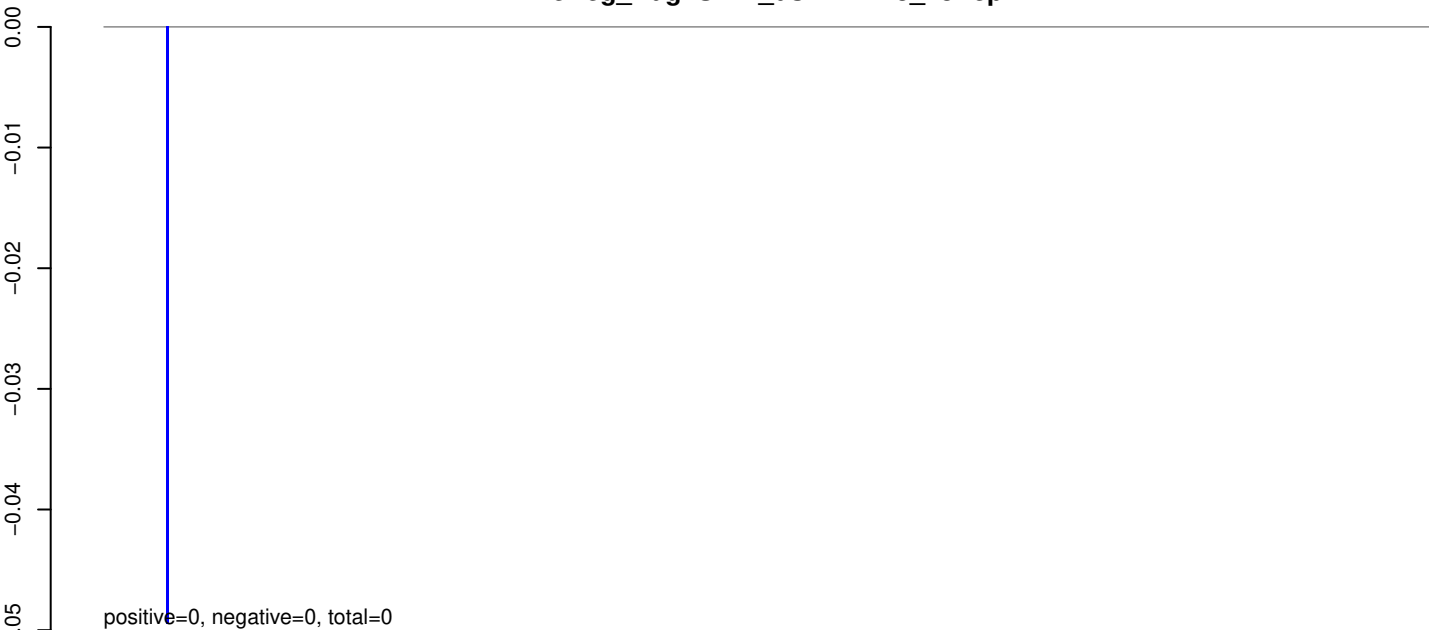
AeAeg_Aag2SINV_dsPiwi4.24_35.rep



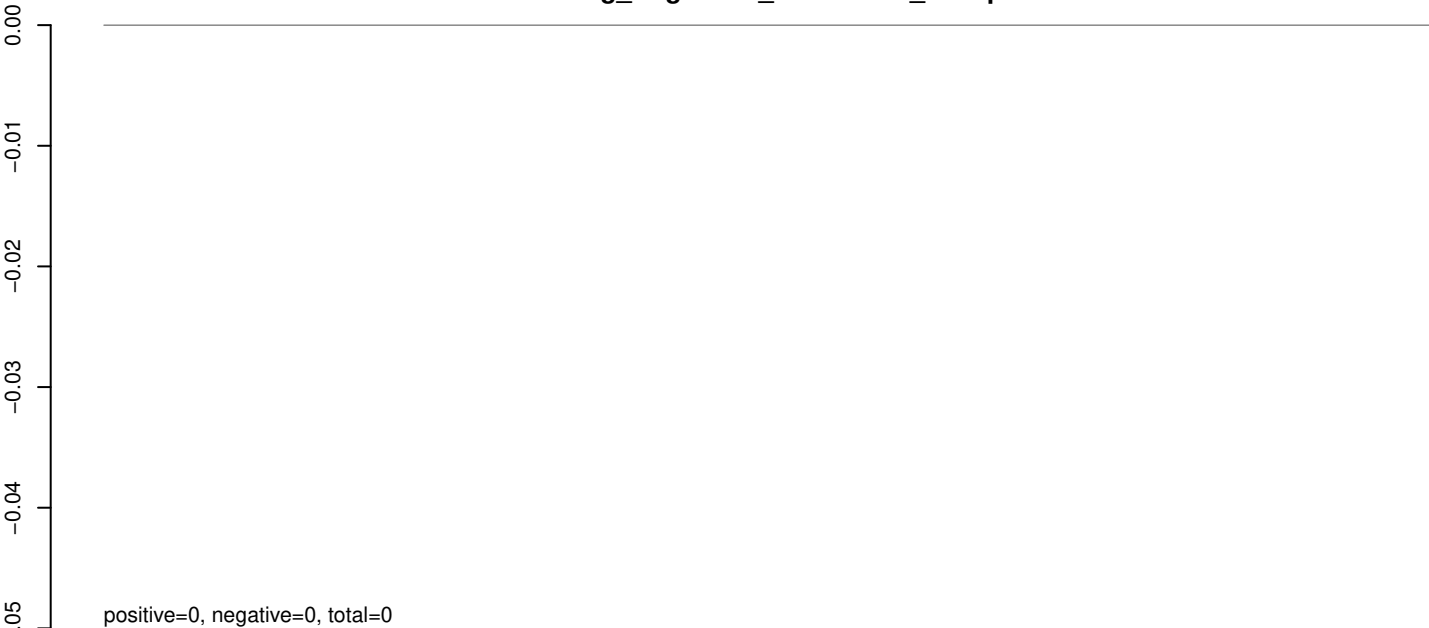
AeAeg_Aag2SINV_dsPiwi4.rep



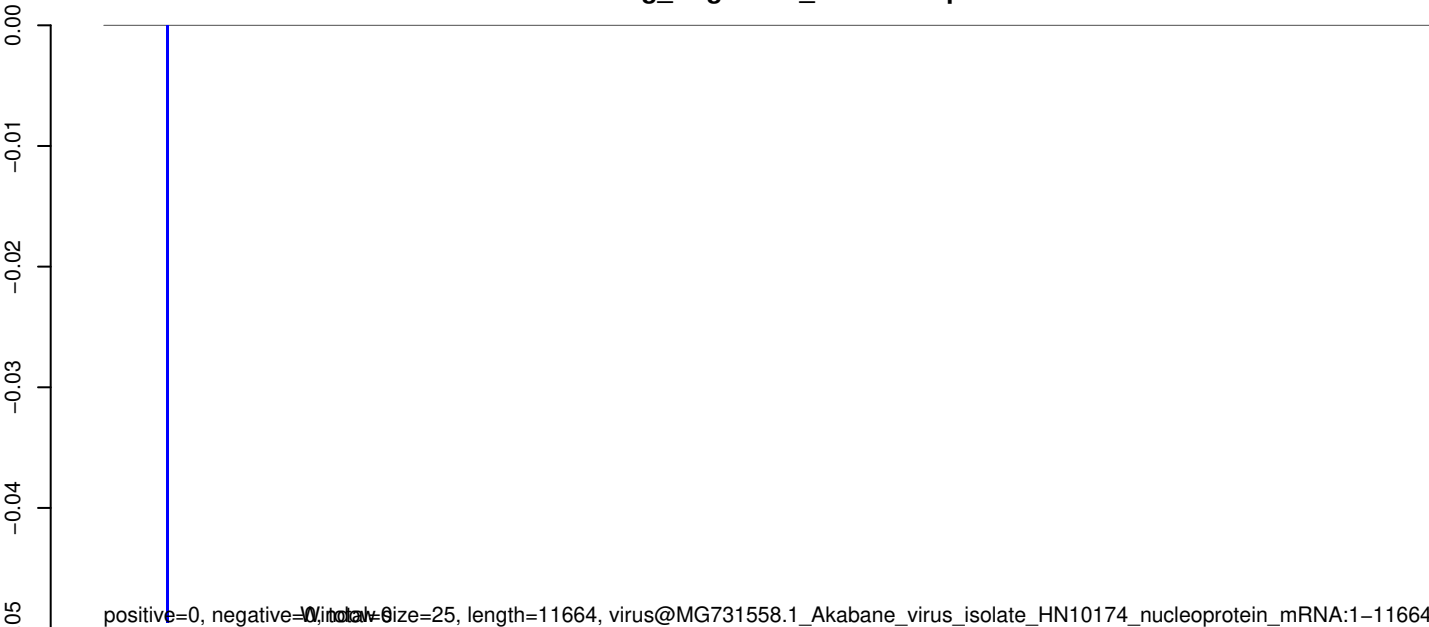
AeAeg_Aag2SINV_dsPiwi4.18_23.rep



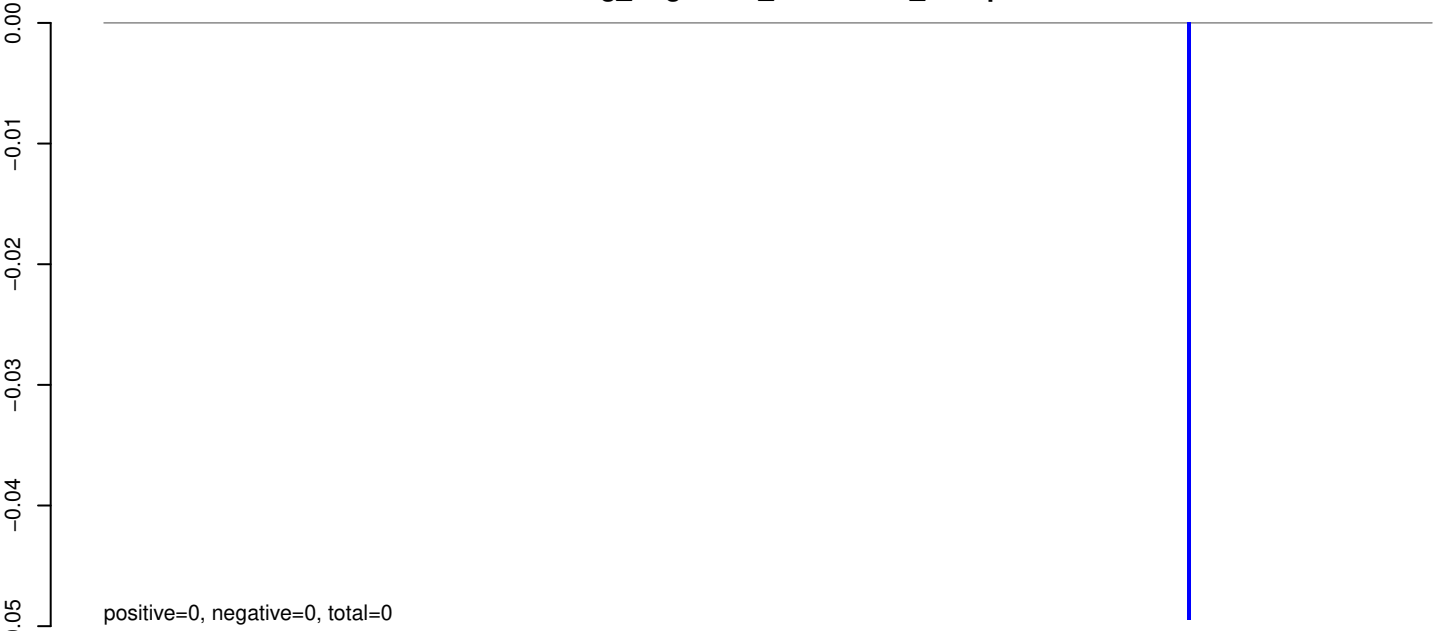
AeAeg_Aag2SINV_dsPiwi4.24_35.rep



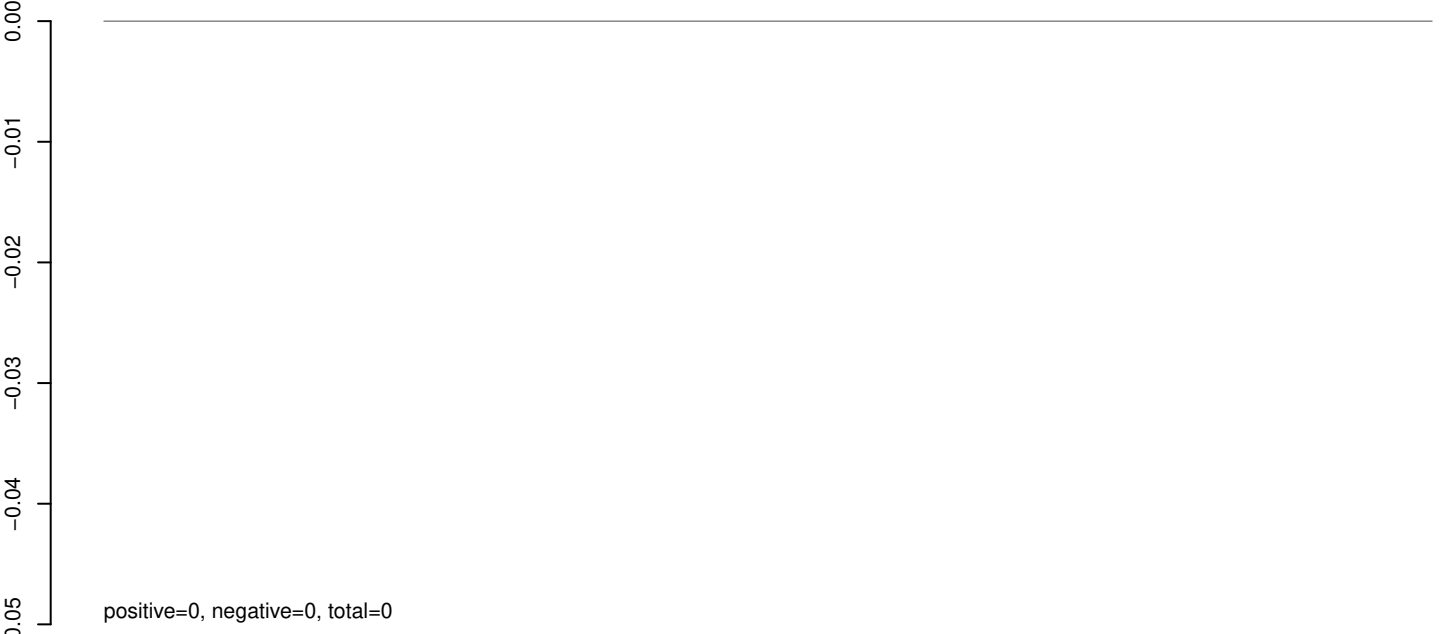
AeAeg_Aag2SINV_dsPiwi4.rep



AeAeg_Aag2SINV_dsPiwi4.18_23.rep



AeAeg_Aag2SINV_dsPiwi4.24_35.rep



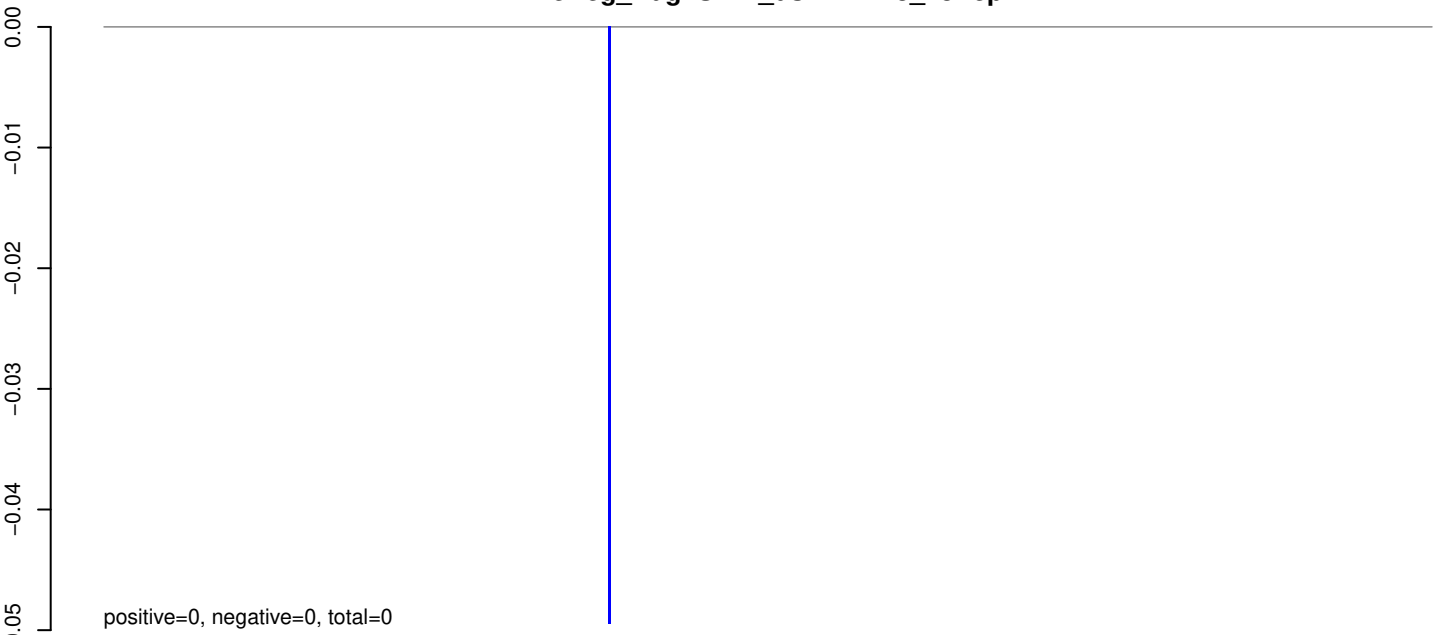
AeAeg_Aag2SINV_dsPiwi4.rep



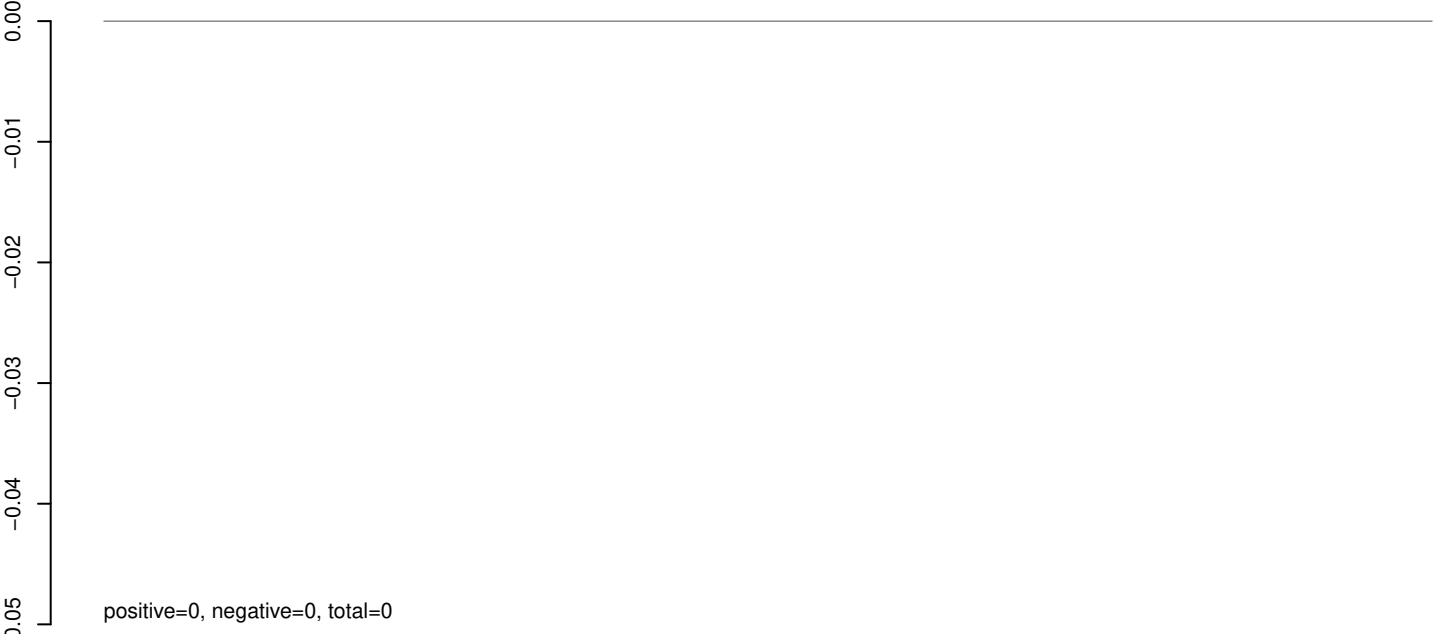
downloaded from GenBank on 2025-10-19, accession: MF176325.1_Aedes_alboannulatus_orthomyxo-like_virus_strain_mosWSAb70818_segment_1_2_3_4:1-8819

0 2000 4000 6000 8000

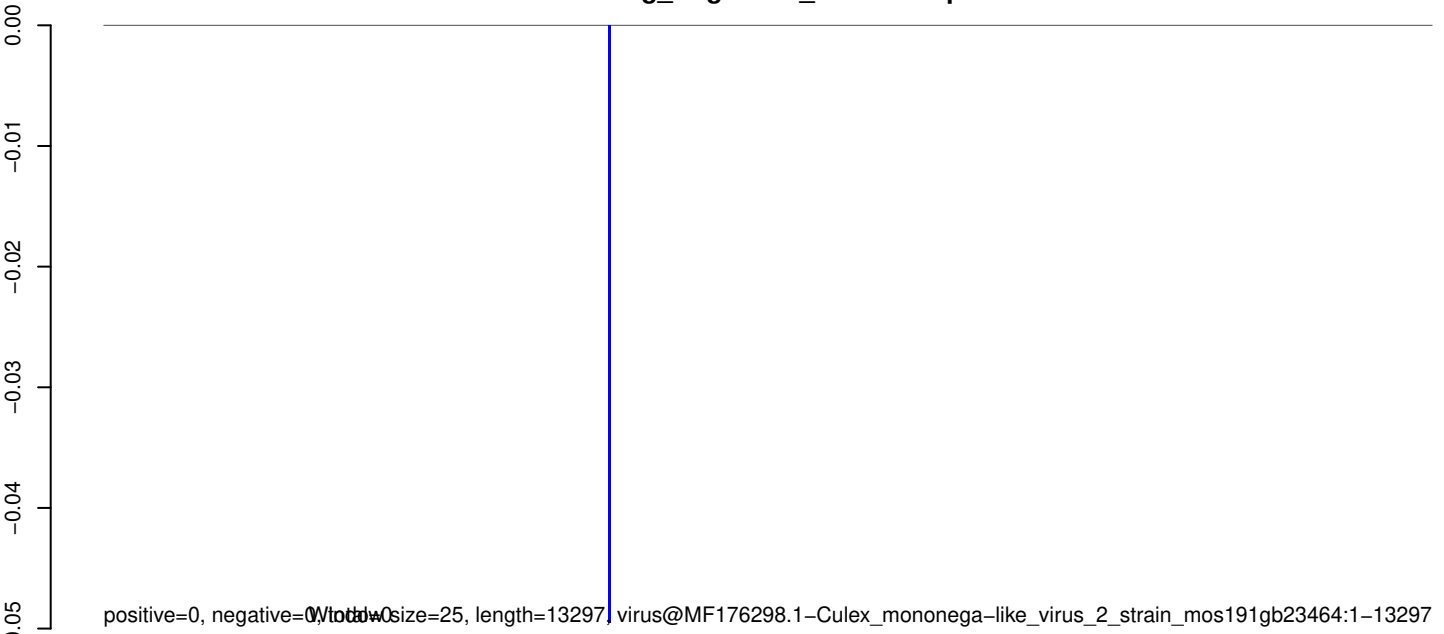
AeAeg_Aag2SINV_dsPiwi4.18_23.rep



AeAeg_Aag2SINV_dsPiwi4.24_35.rep



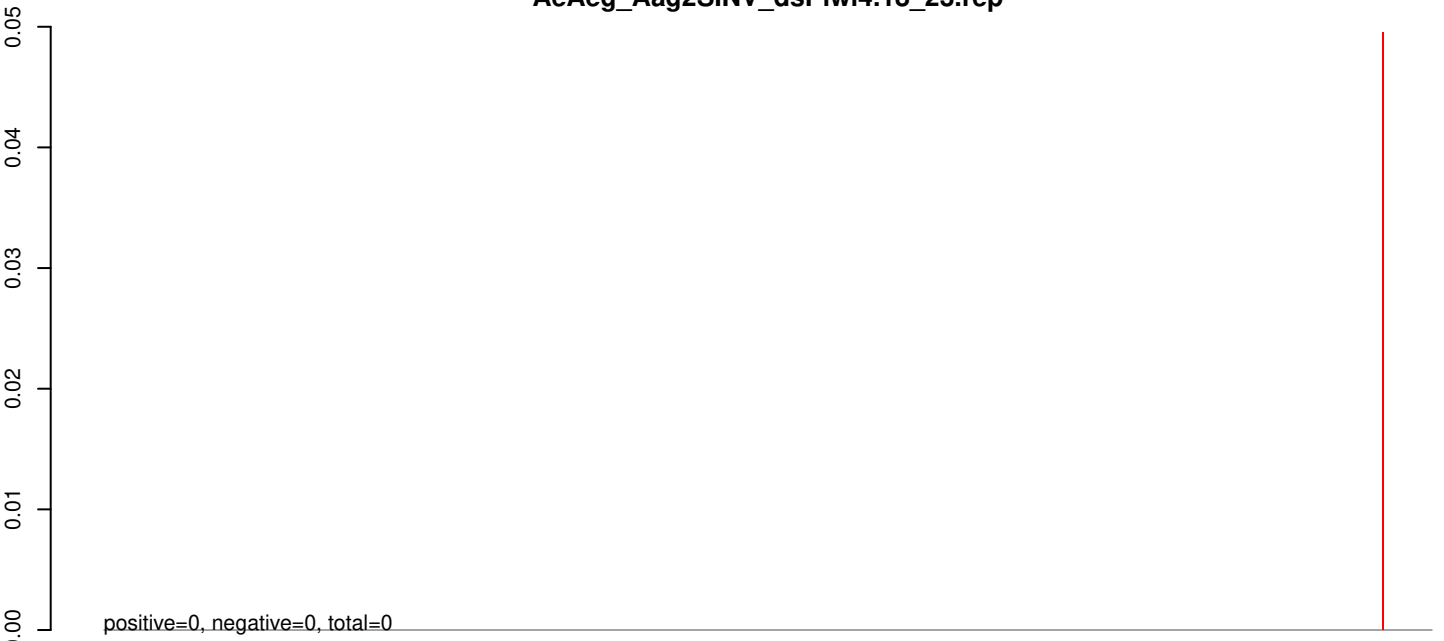
AeAeg_Aag2SINV_dsPiwi4.rep



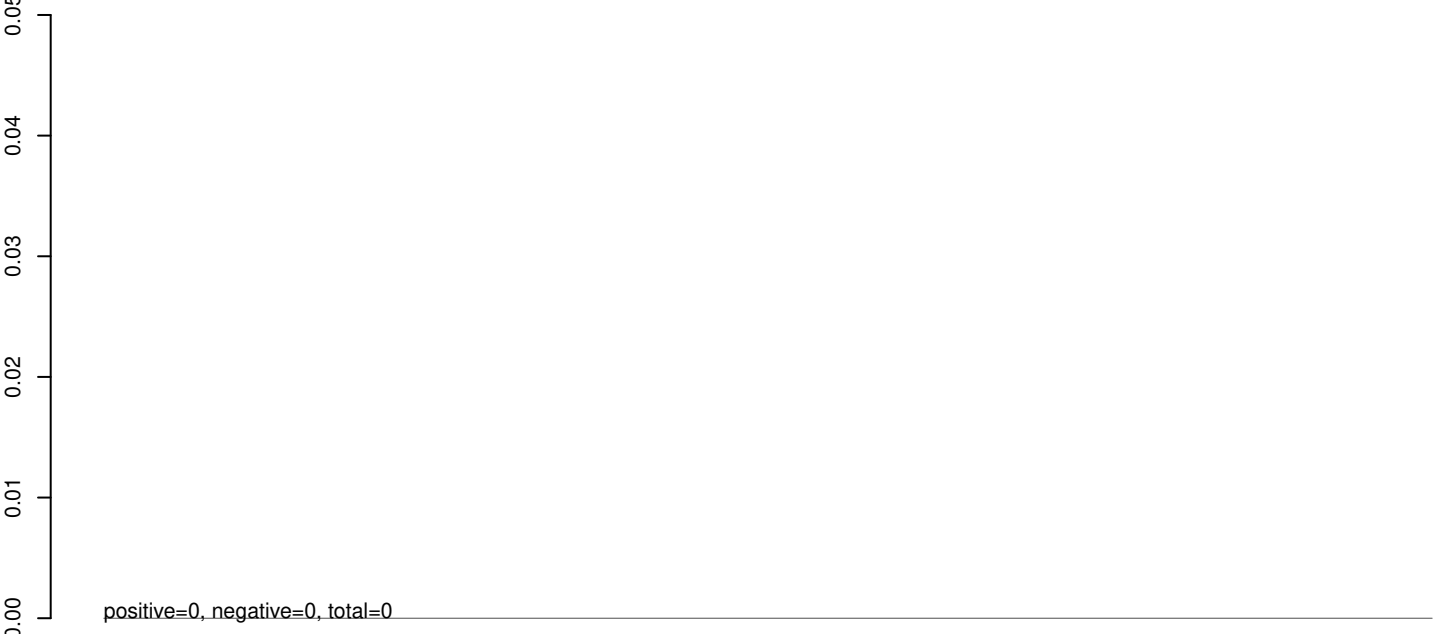
Window size=25, length=13297, virus@MF176298.1-Culex_mononega-like_virus_2_strain_mos191gb23464:1-13297

0 2000 4000 6000 8000 10000 12000

AeAeg_Aag2SINV_dsPiwi4.18_23.rep



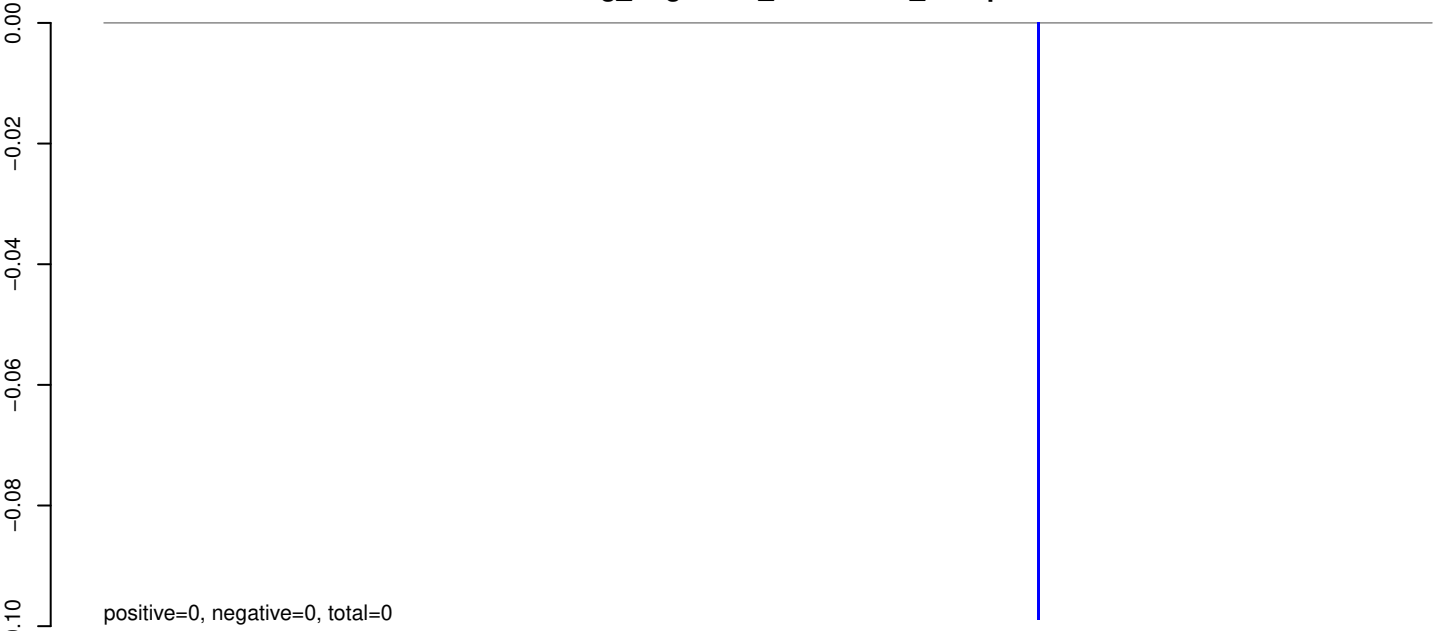
AeAeg_Aag2SINV_dsPiwi4.24_35.rep



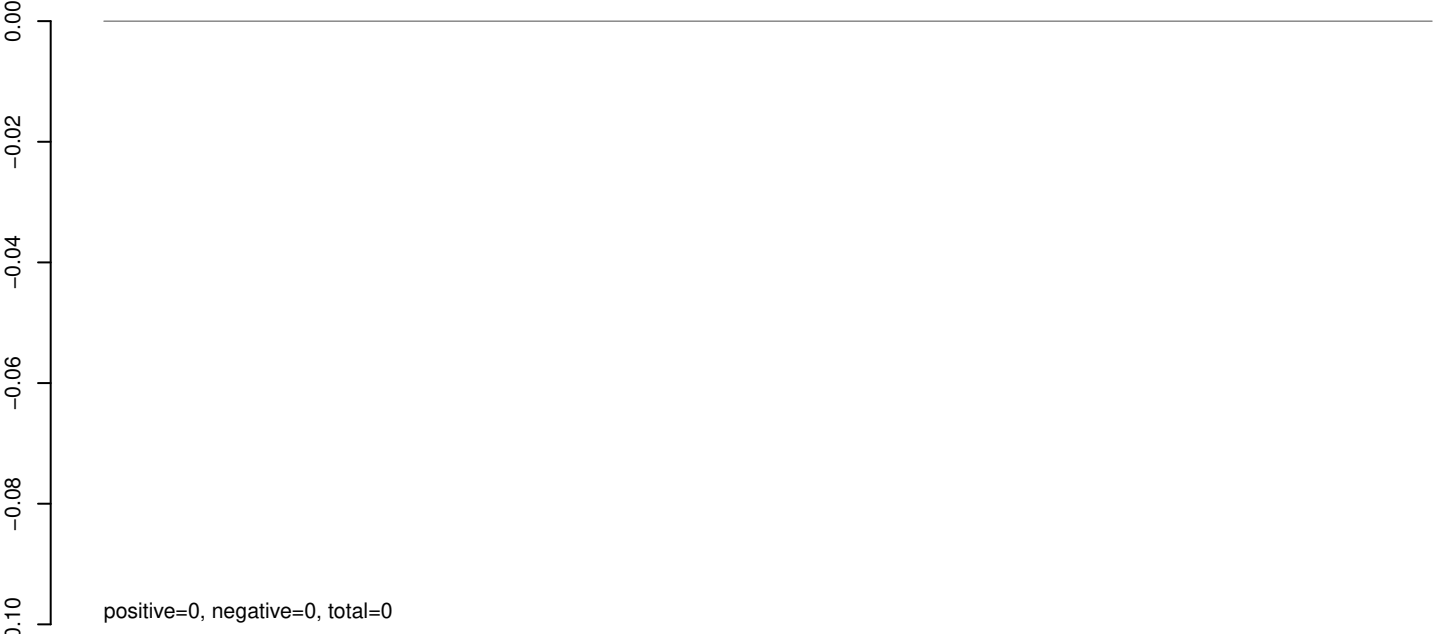
AeAeg_Aag2SINV_dsPiwi4.rep



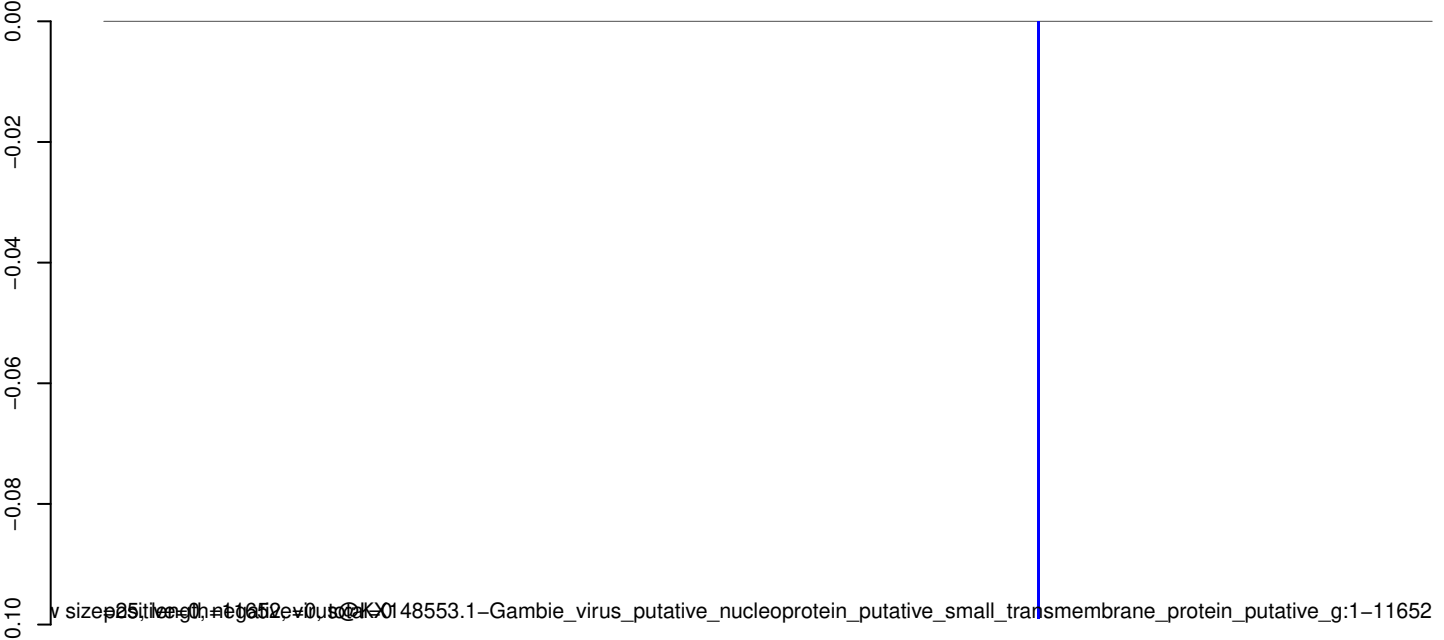
AeAeg_Aag2SINV_dsPiwi4.18_23.rep



AeAeg_Aag2SINV_dsPiwi4.24_35.rep

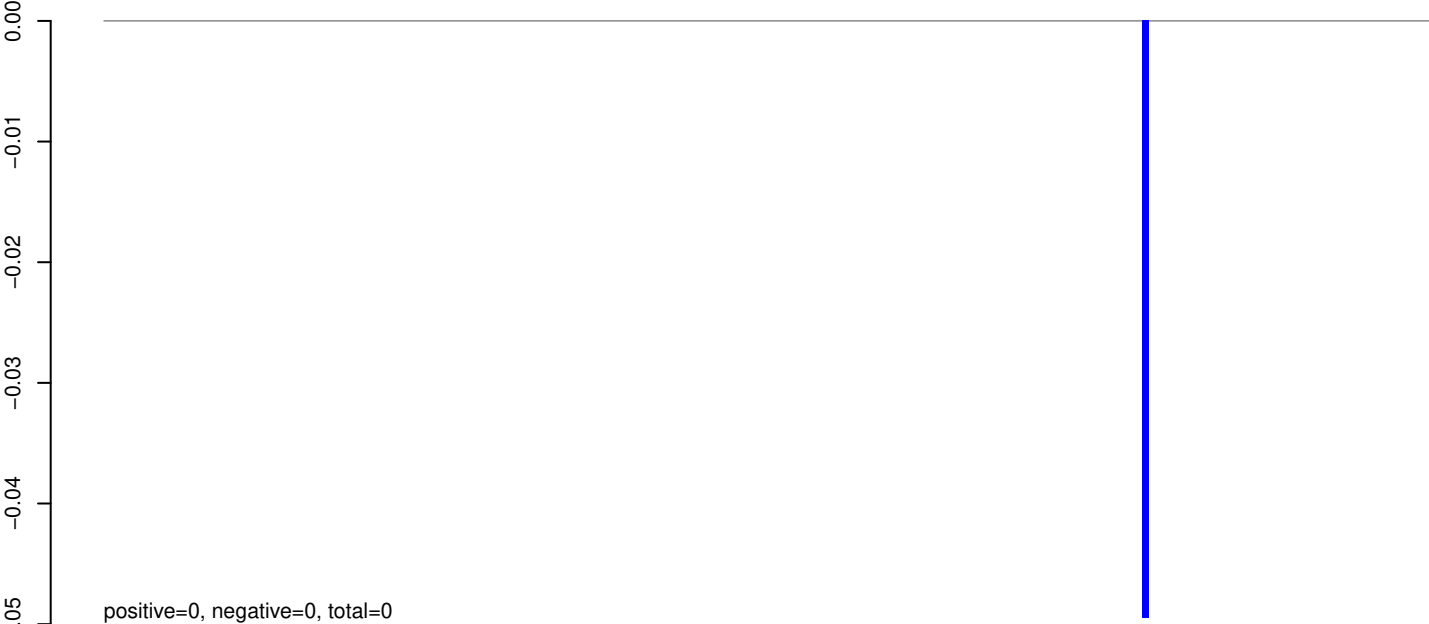


AeAeg_Aag2SINV_dsPiwi4.rep

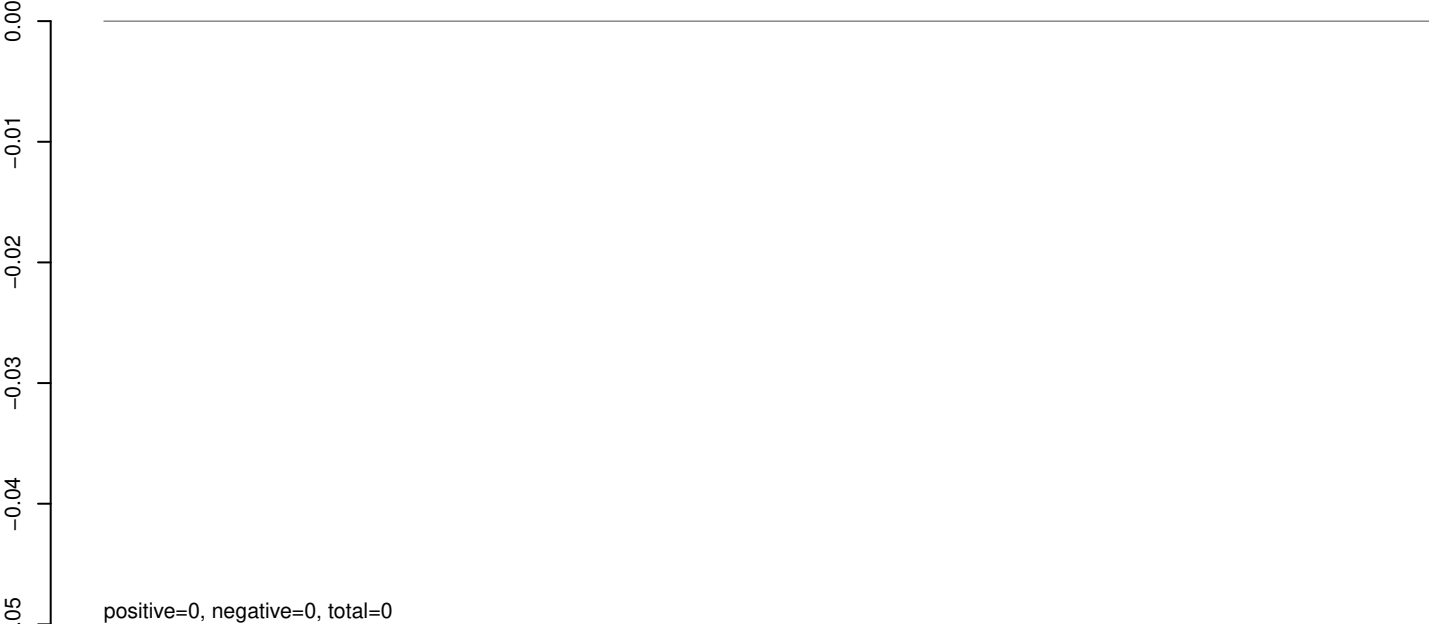


0 2000 4000 6000 8000 10000 12000

AeAeg_Aag2SINV_dsPiwi4.18_23.rep



AeAeg_Aag2SINV_dsPiwi4.24_35.rep



AeAeg_Aag2SINV_dsPiwi4.rep

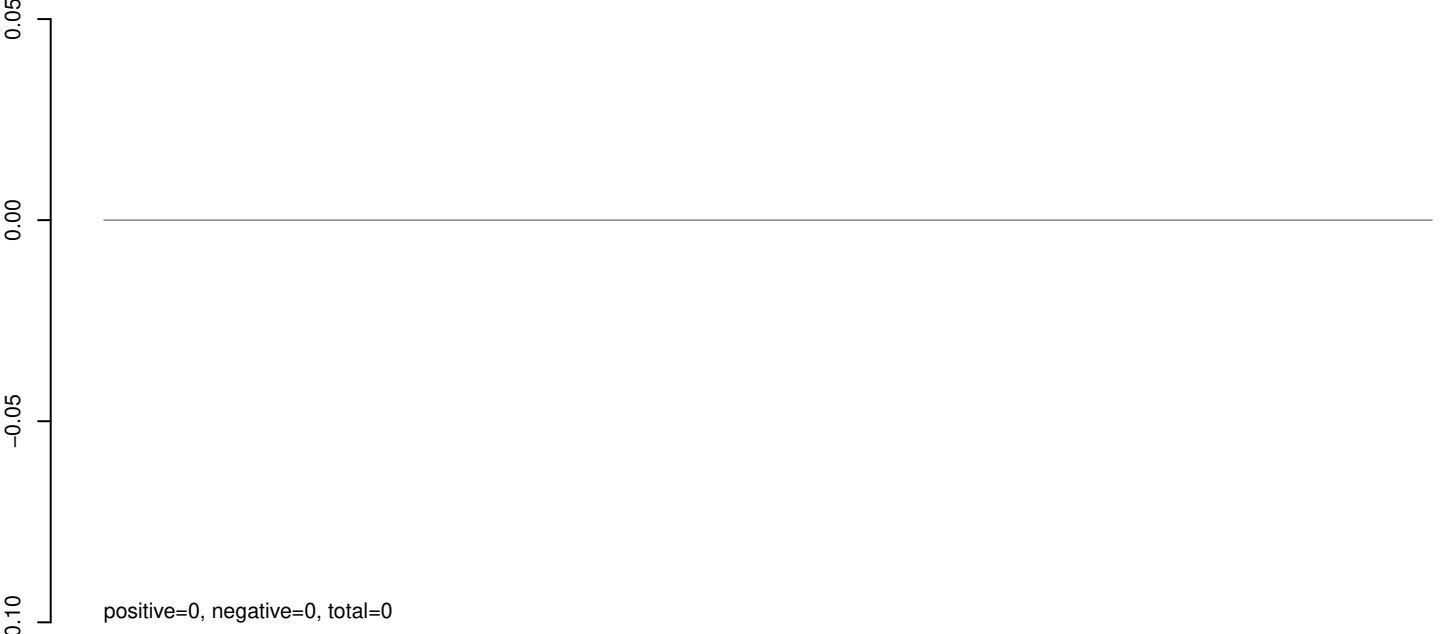


0 1000 2000 3000 4000 5000

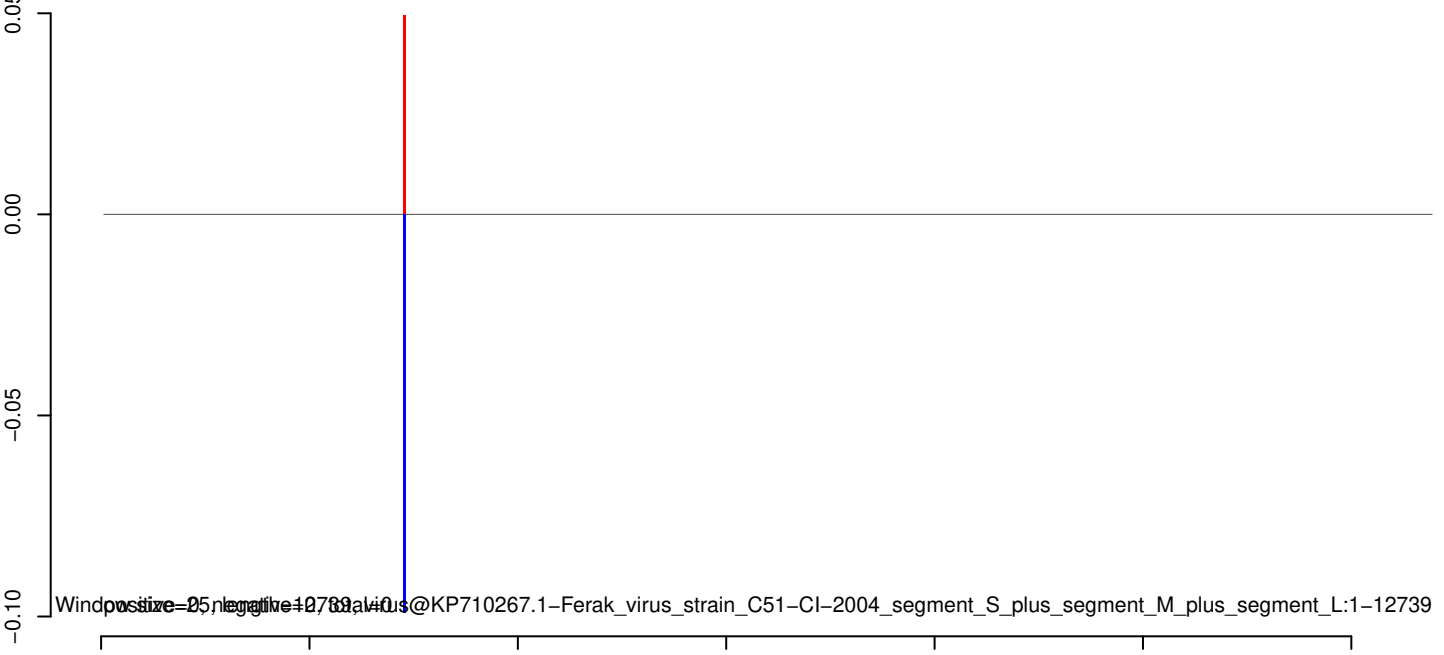
AeAeg_Aag2SINV_dsPiwi4.18_23.rep



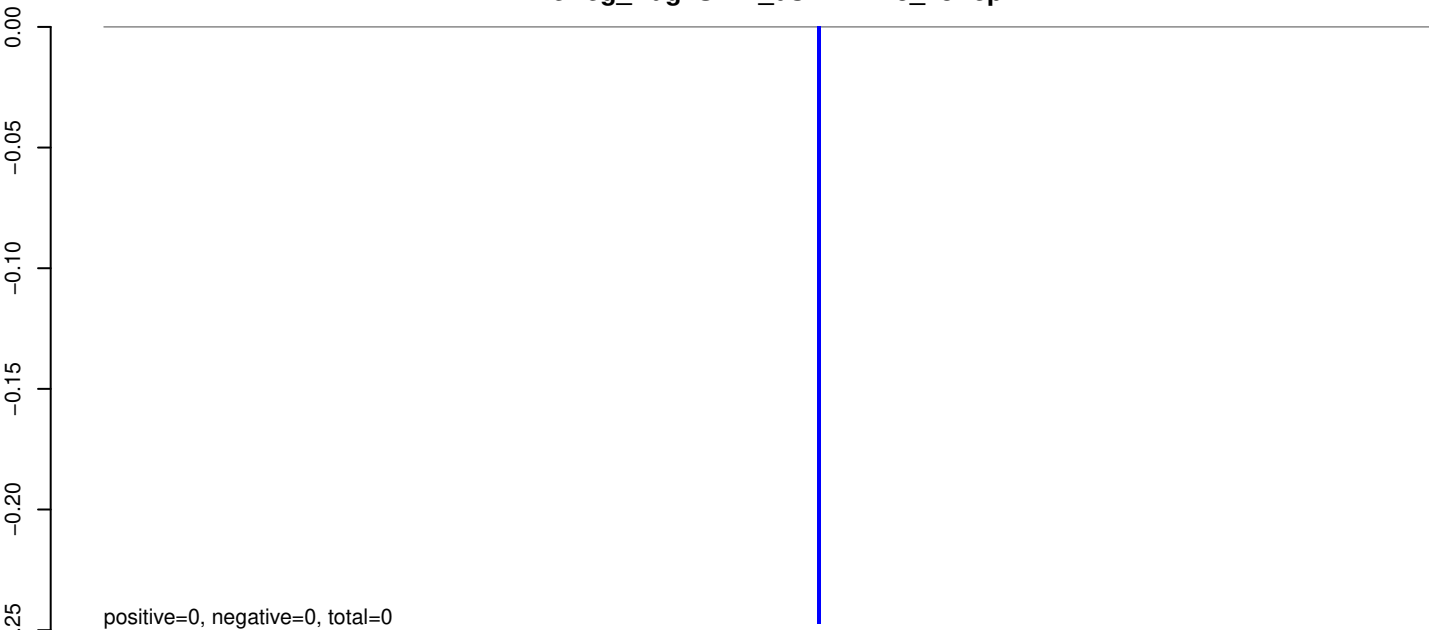
AeAeg_Aag2SINV_dsPiwi4.24_35.rep



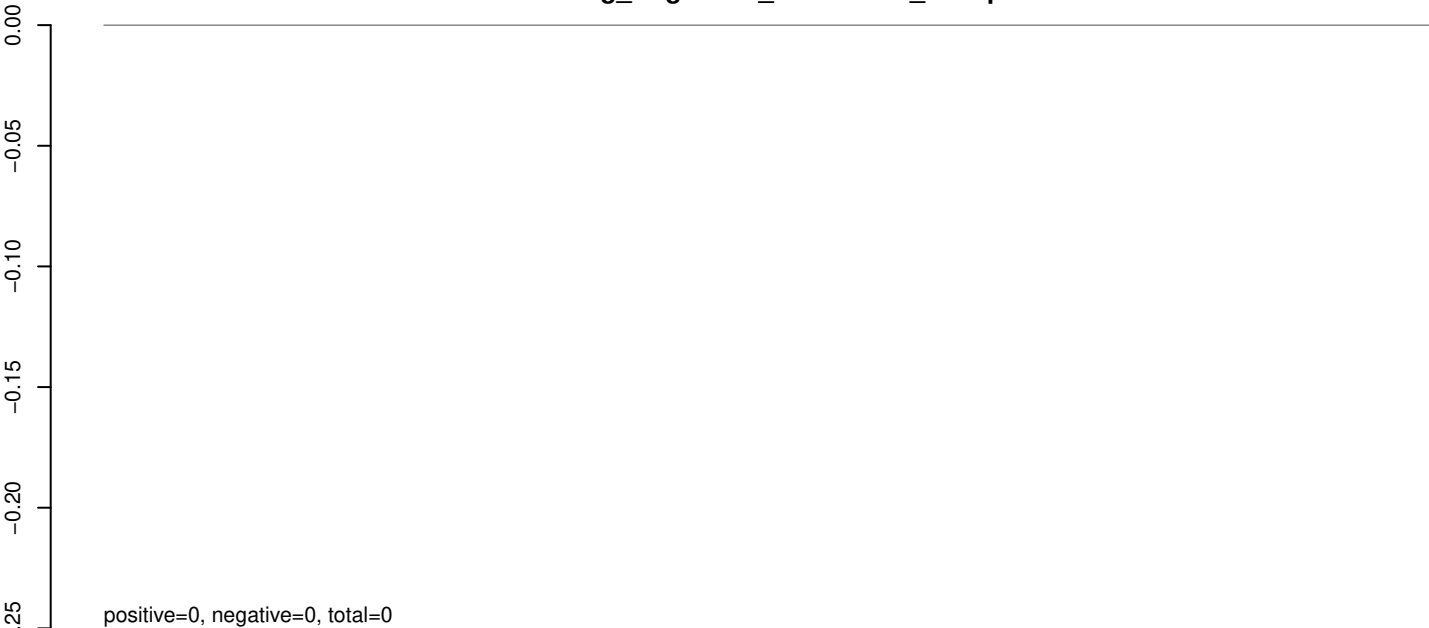
AeAeg_Aag2SINV_dsPiwi4.rep



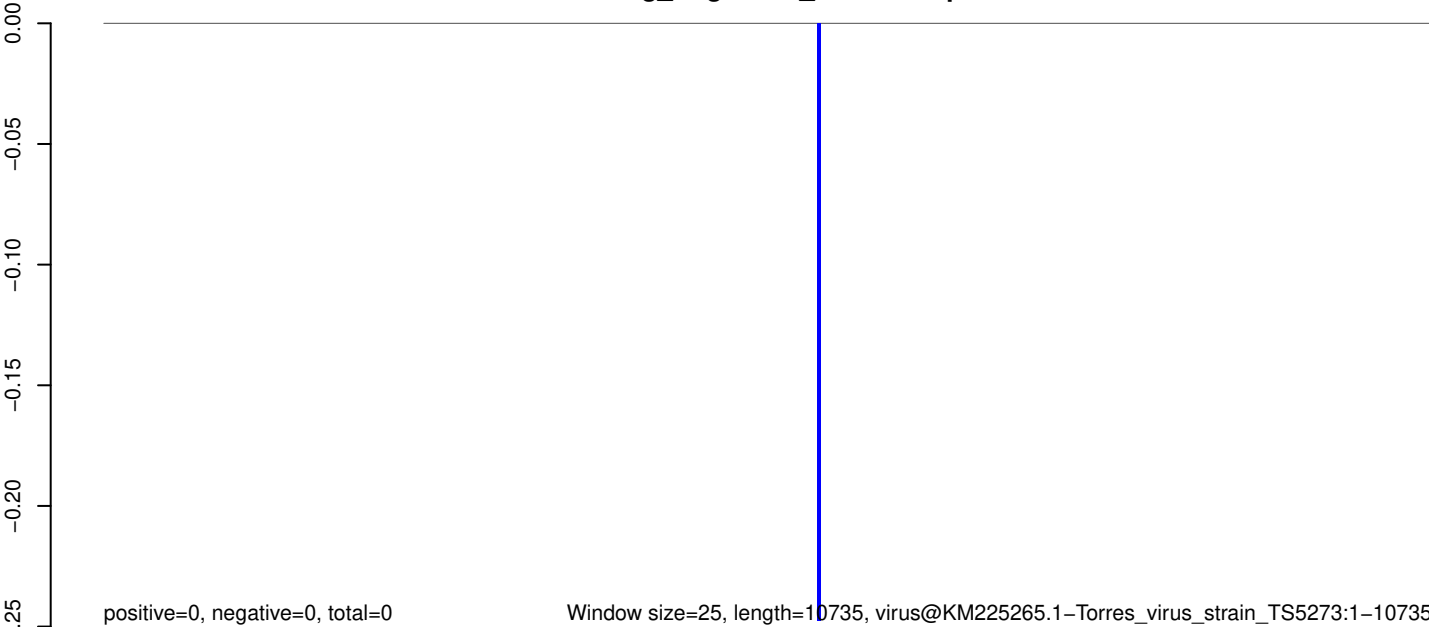
AeAeg_Aag2SINV_dsPiwi4.18_23.rep



AeAeg_Aag2SINV_dsPiwi4.24_35.rep

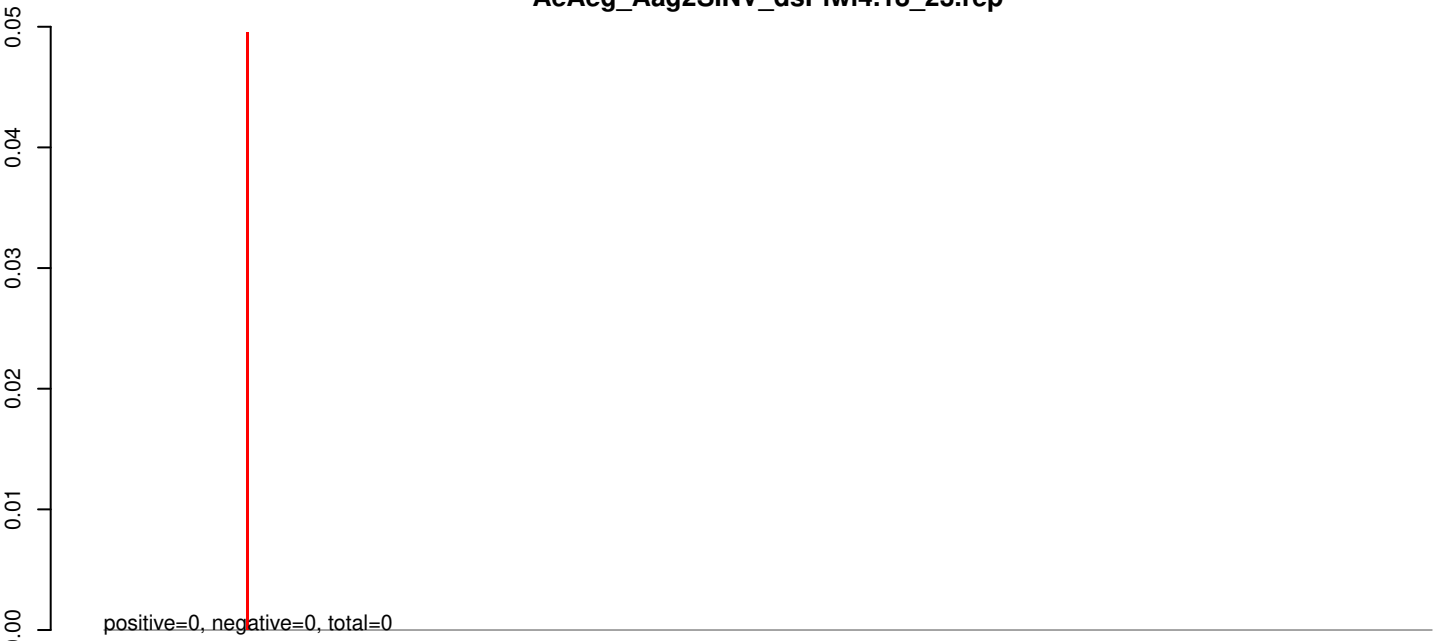


AeAeg_Aag2SINV_dsPiwi4.rep

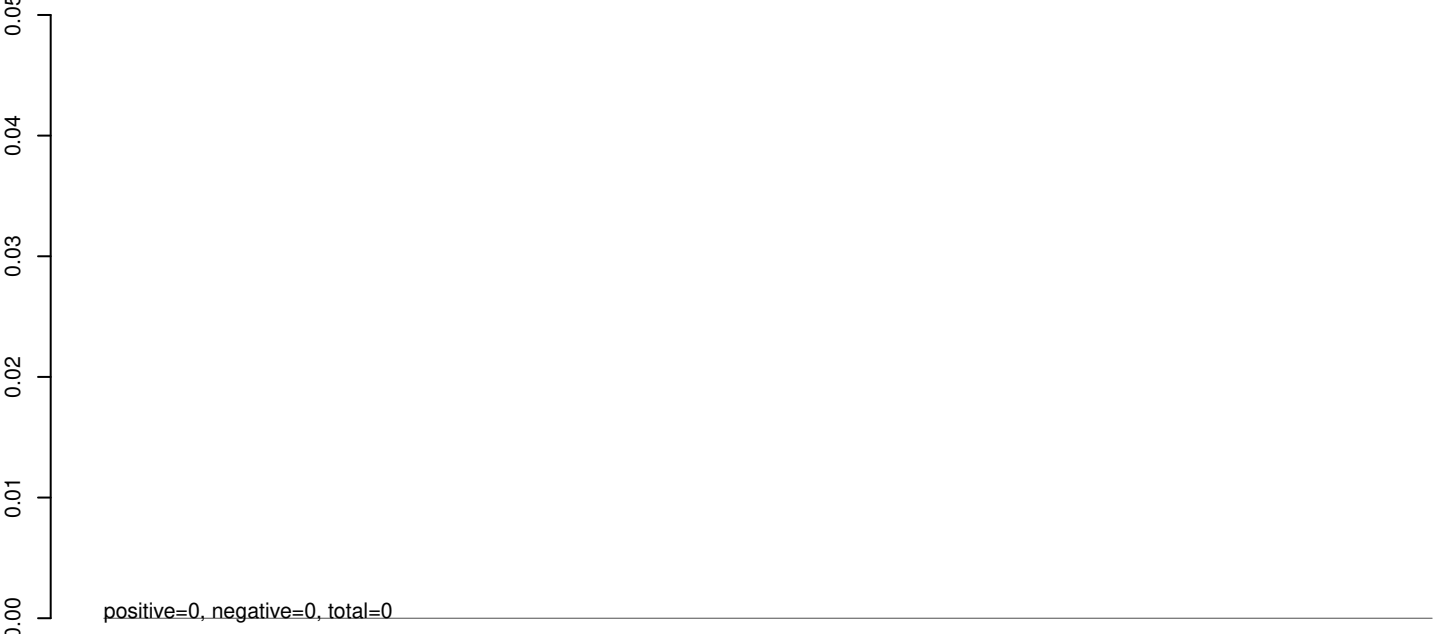


0 2000 4000 6000 8000 10000

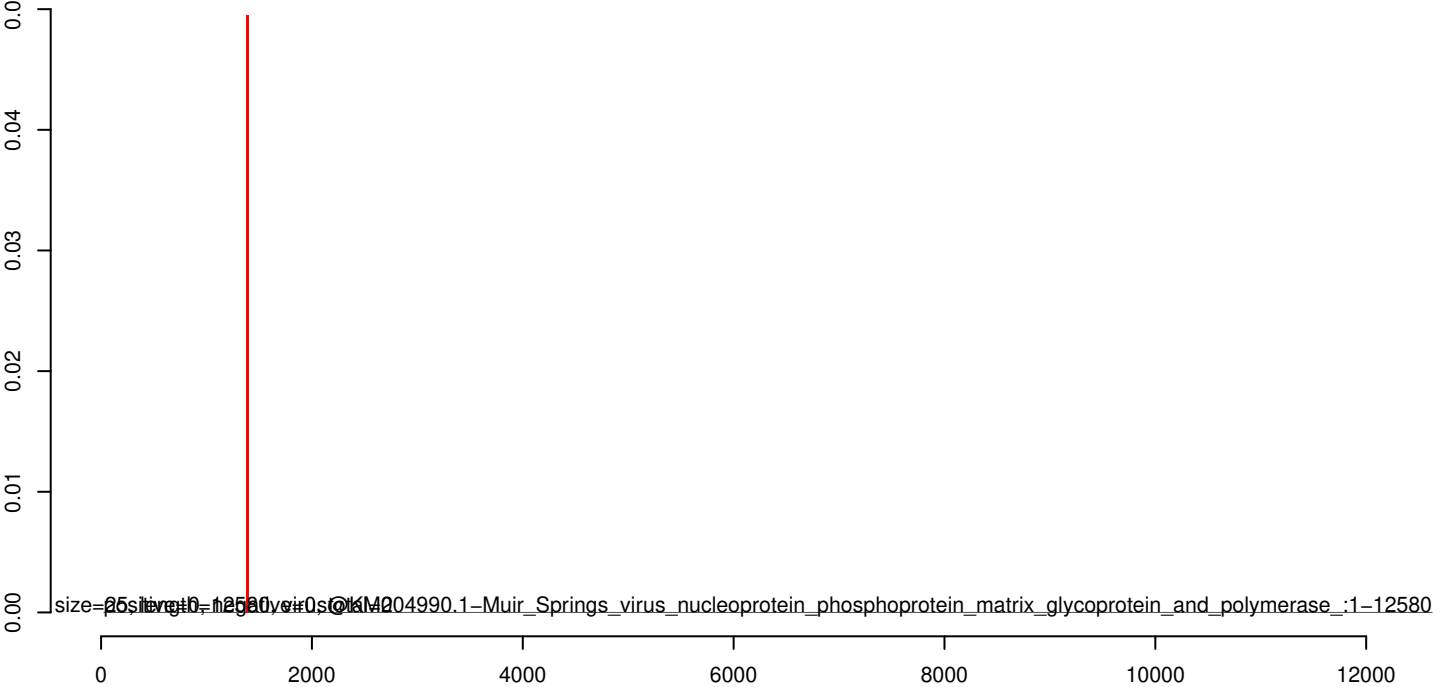
AeAeg_Aag2SINV_dsPiwi4.18_23.rep



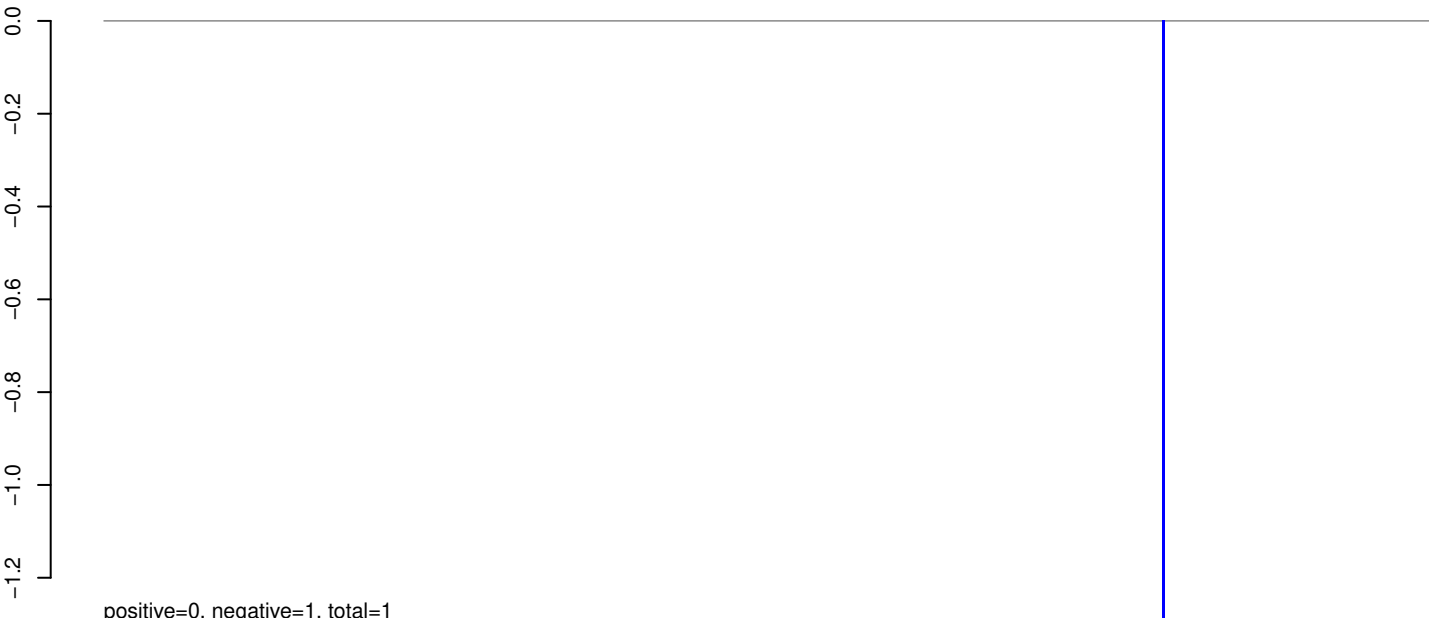
AeAeg_Aag2SINV_dsPiwi4.24_35.rep



AeAeg_Aag2SINV_dsPiwi4.rep

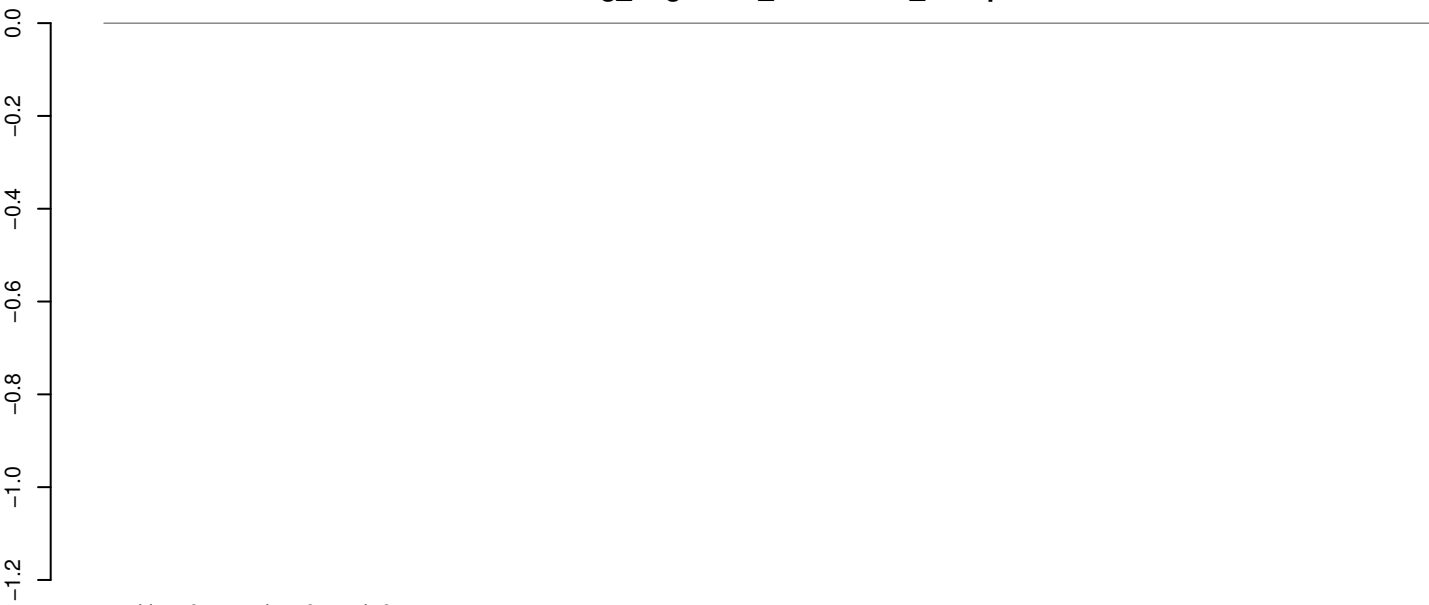


AeAeg_Aag2SINV_dsPiwi4.18_23.rep



positive=0, negative=1, total=1

AeAeg_Aag2SINV_dsPiwi4.24_35.rep



positive=0, negative=0, total=0

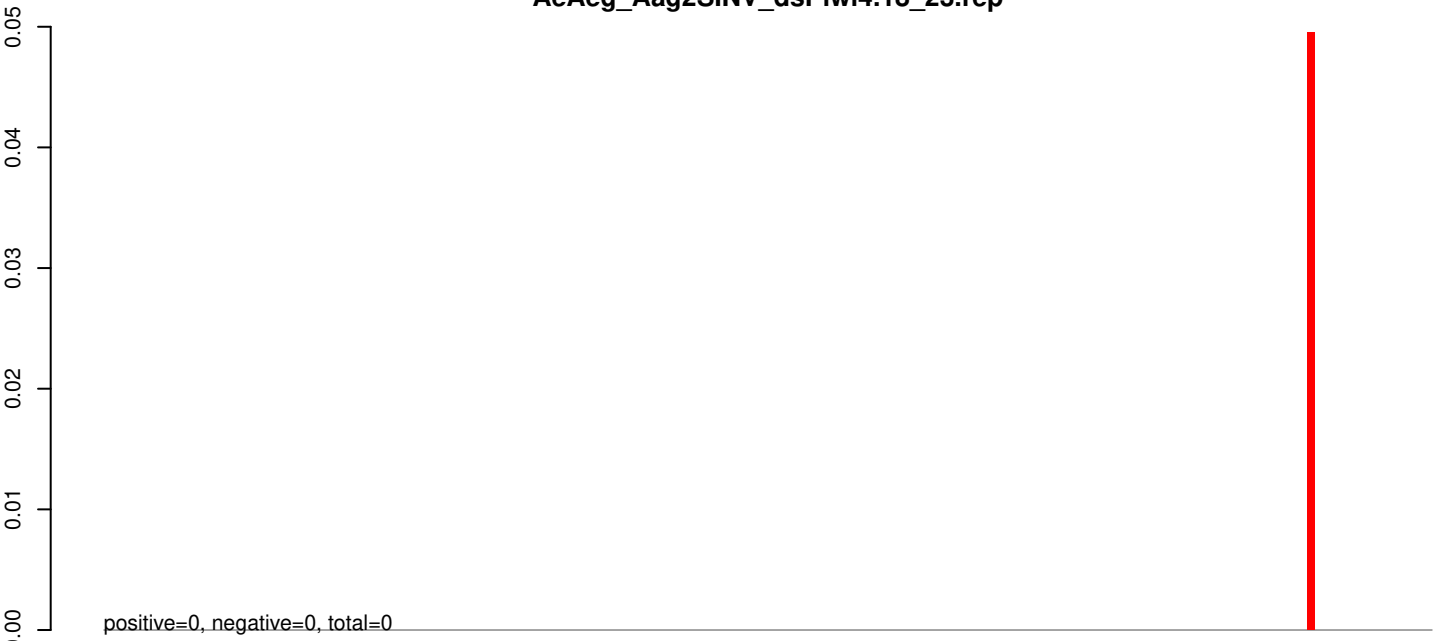
AeAeg_Aag2SINV_dsPiwi4.rep



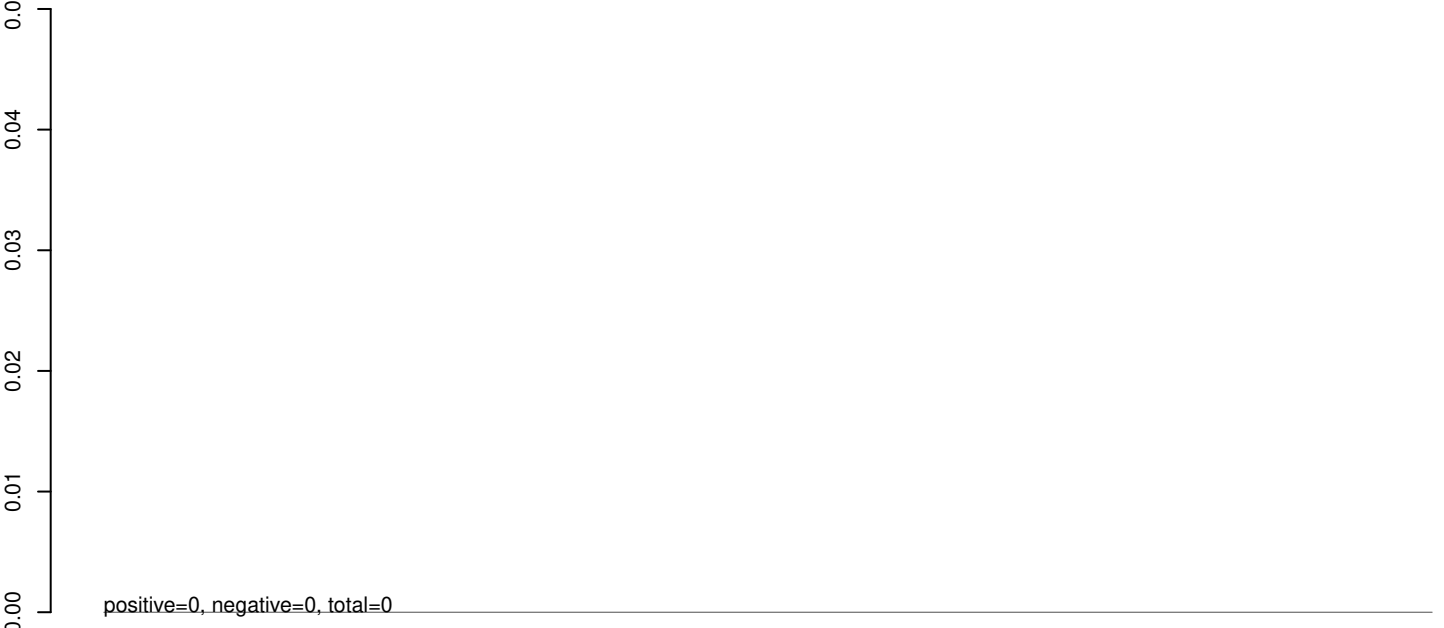
Window size=25, range=1,289, Virus@KC608151.1-Ilesha_virus_strain_Ilesha_8e_segment_S_plus_segment_M_plus_segment_L:1-12297

0 2000 4000 6000 8000 10000 12000

AeAeg_Aag2SINV_dsPiwi4.18_23.rep



AeAeg_Aag2SINV_dsPiwi4.24_35.rep



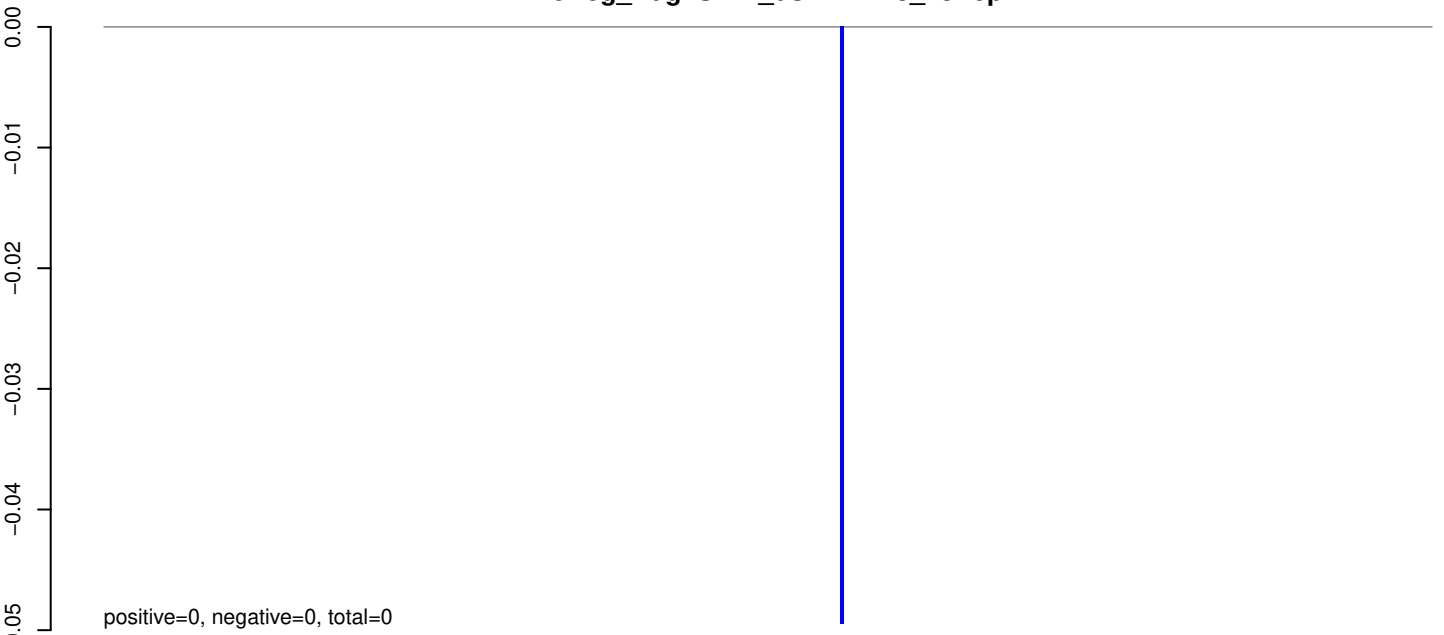
AeAeg_Aag2SINV_dsPiwi4.rep



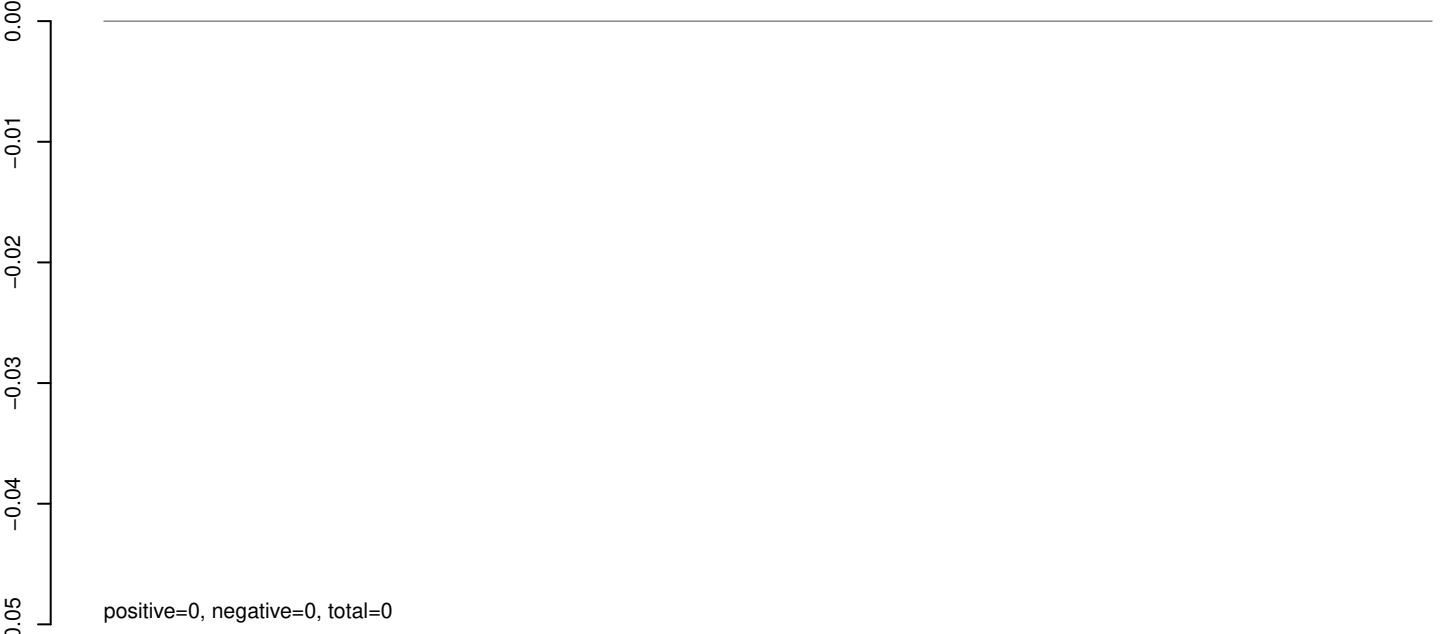
size=25 positive=4523 negative=0 total=4523 65.1-Drosophila_melanogaster_American_nodavirus_ANV_SW-2009a_segment_RNA1_and_RNA2:1-4523

0 1000 2000 3000 4000

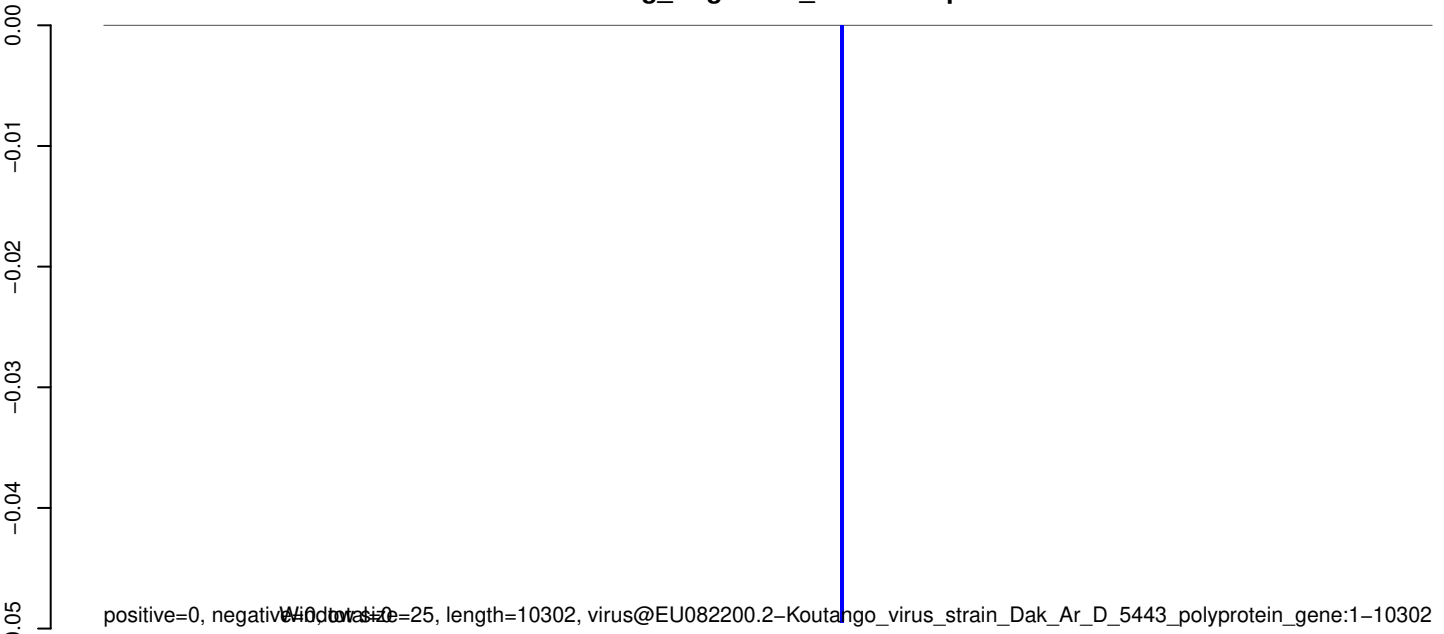
AeAeg_Aag2SINV_dsPiwi4.18_23.rep



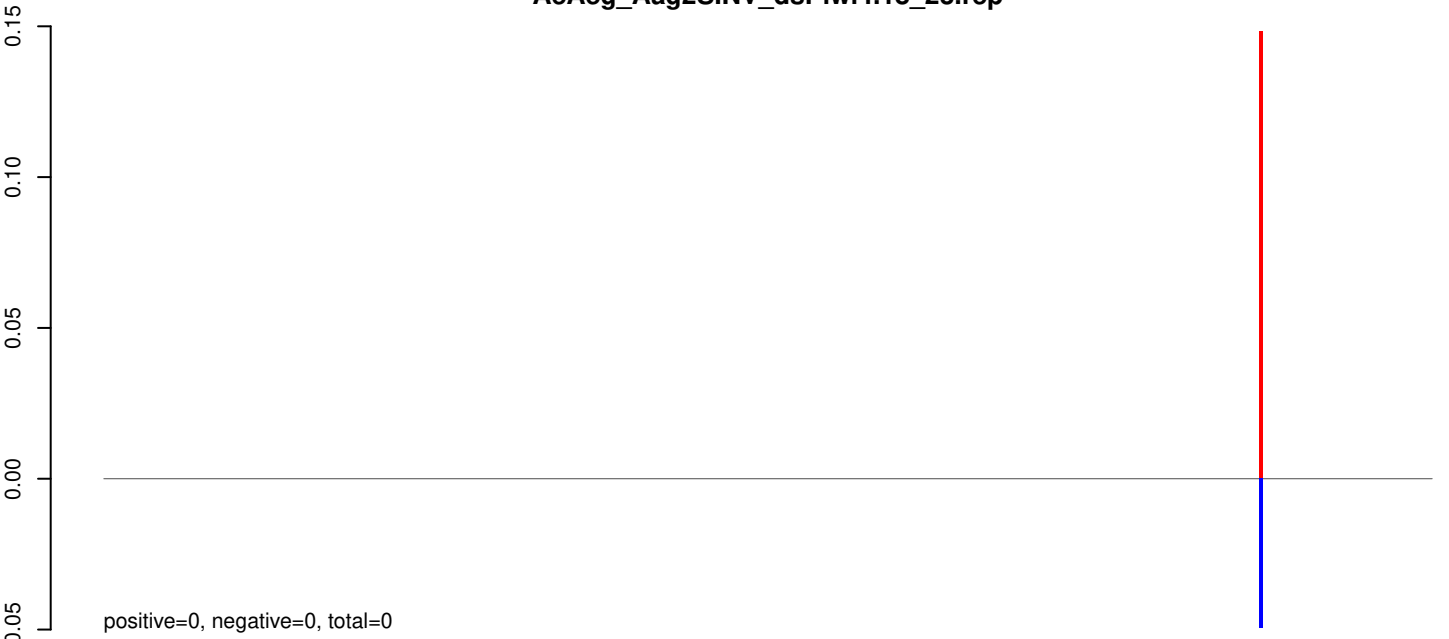
AeAeg_Aag2SINV_dsPiwi4.24_35.rep



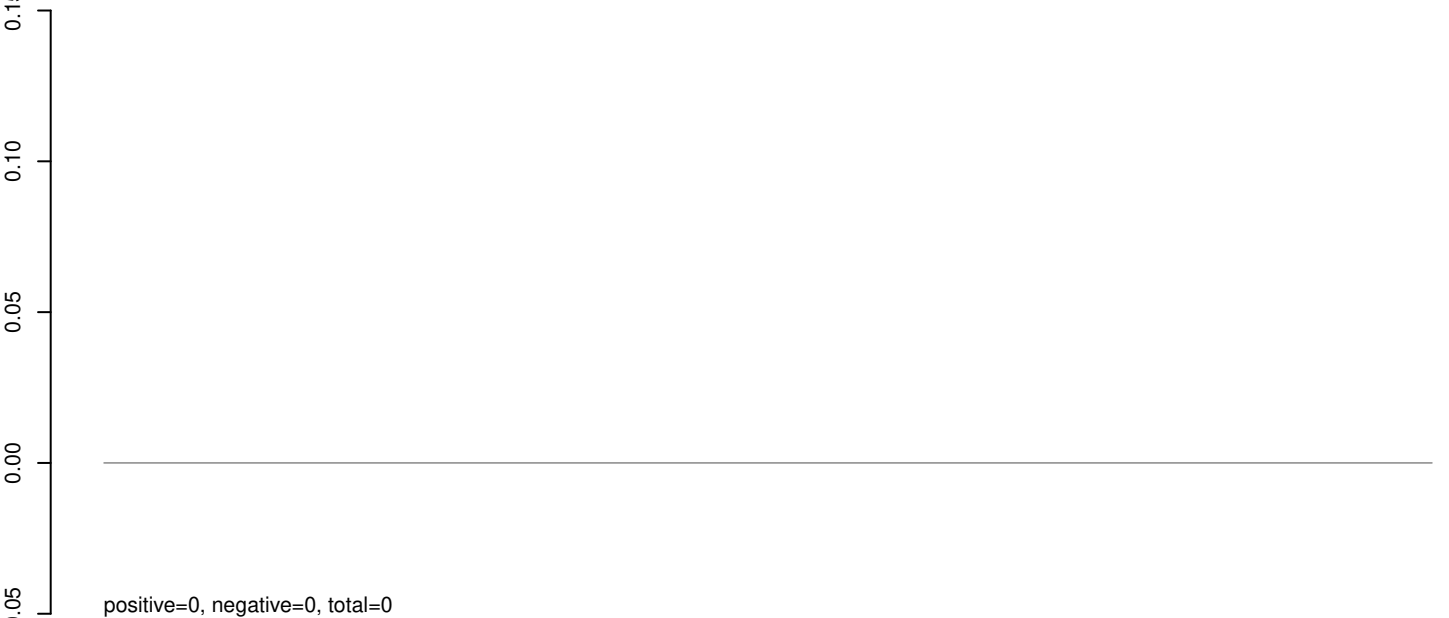
AeAeg_Aag2SINV_dsPiwi4.rep



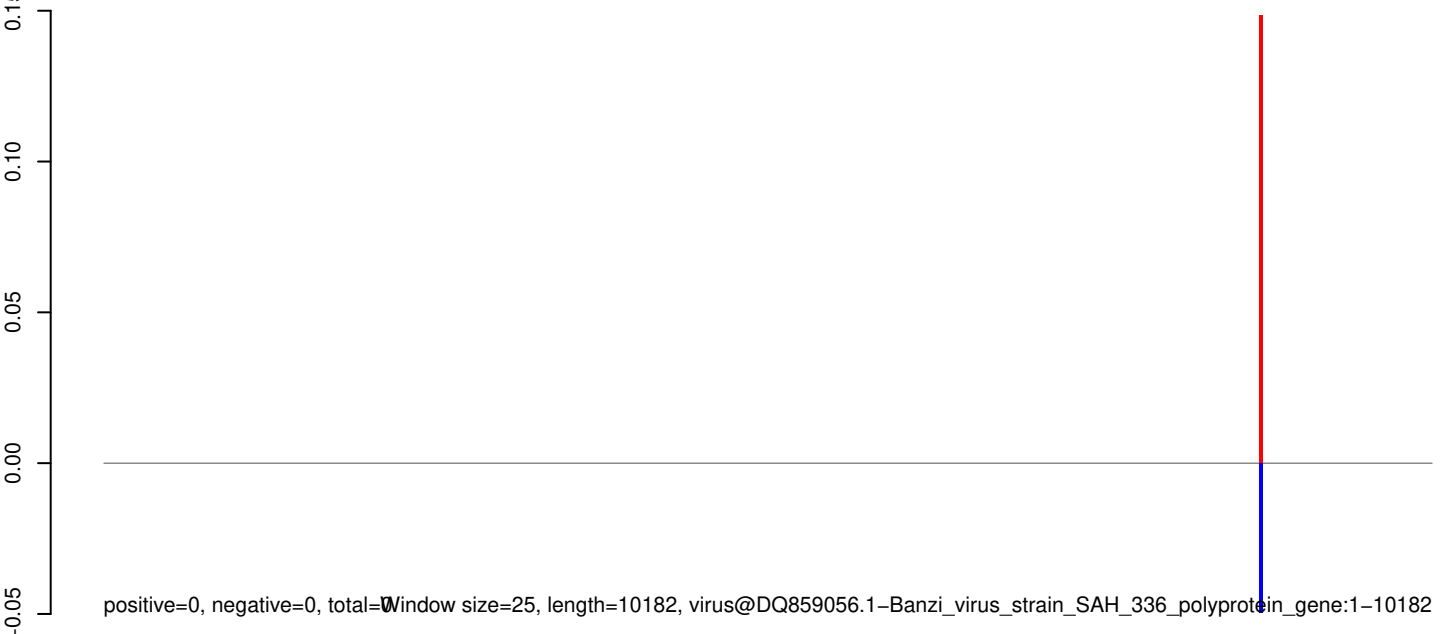
AeAeg_Aag2SINV_dsPiwi4.18_23.rep



AeAeg_Aag2SINV_dsPiwi4.24_35.rep



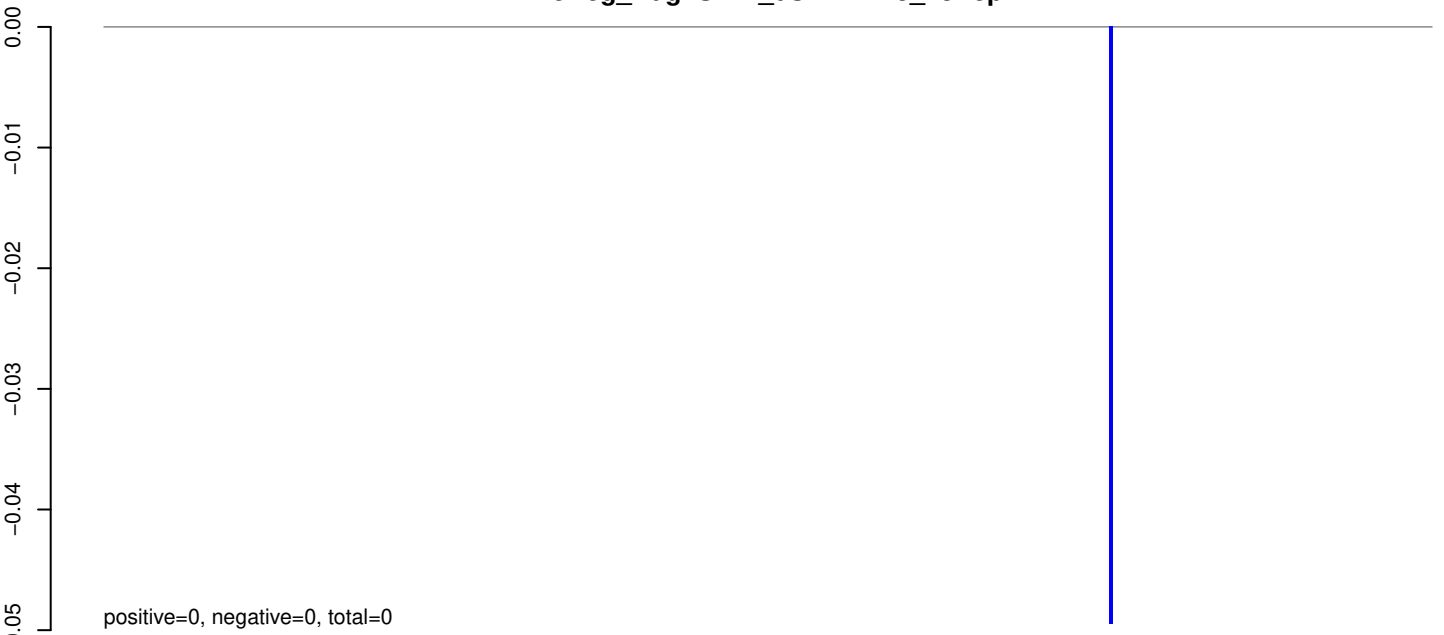
AeAeg_Aag2SINV_dsPiwi4.rep



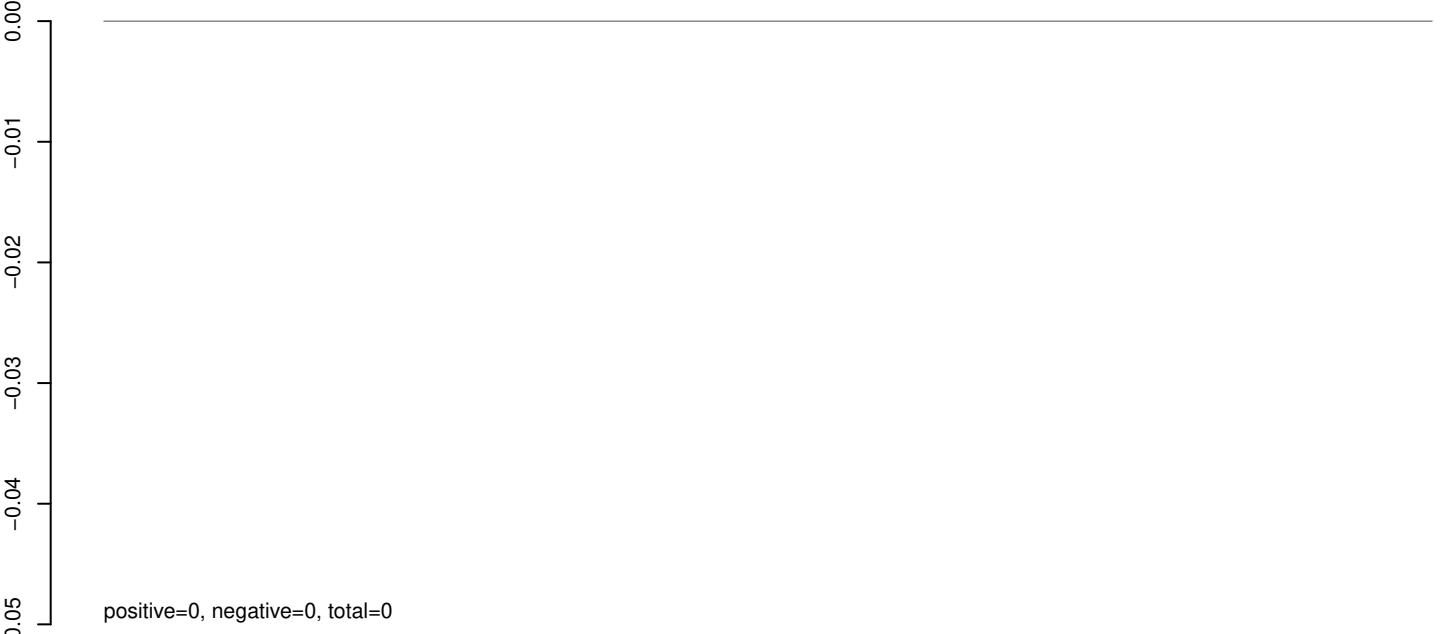
Window size=25, length=10182, virus@DQ859056.1-Banzi_virus_strain_SAH_336_polyprotein_gene:1-10182

0 2000 4000 6000 8000 10000

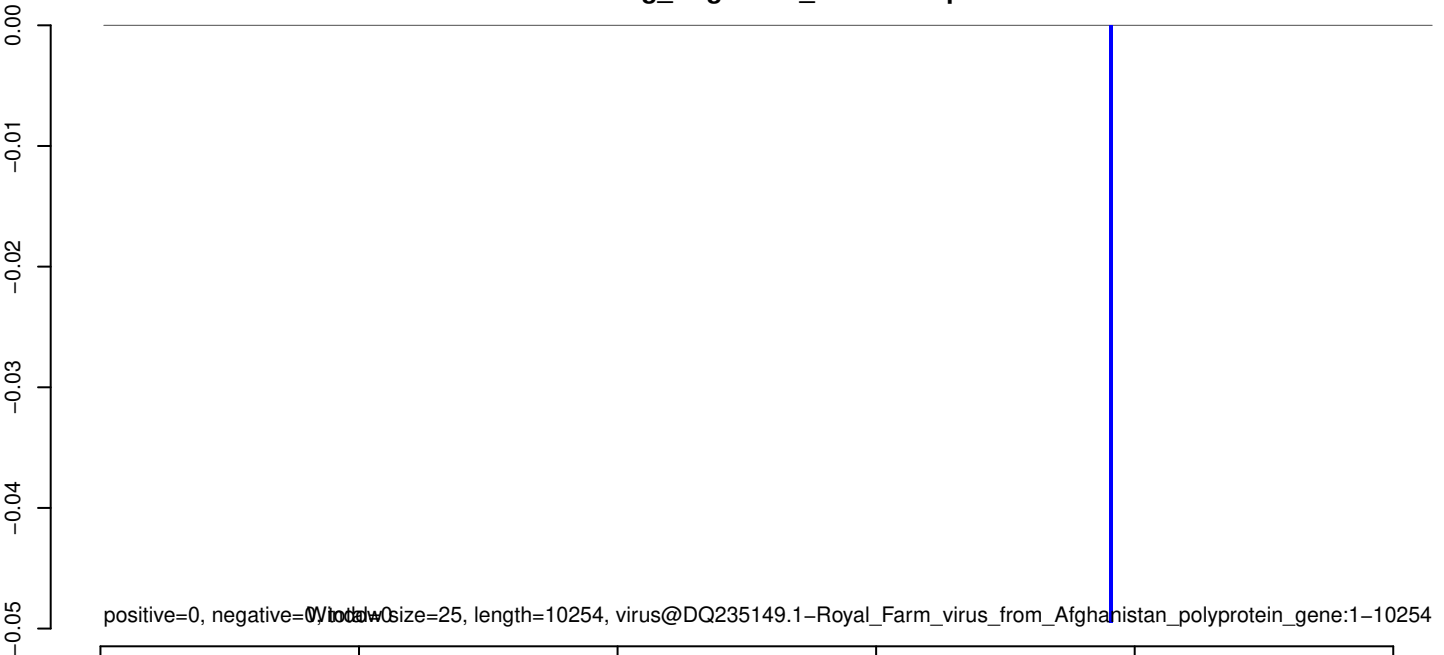
AeAeg_Aag2SINV_dsPiwi4.18_23.rep



AeAeg_Aag2SINV_dsPiwi4.24_35.rep

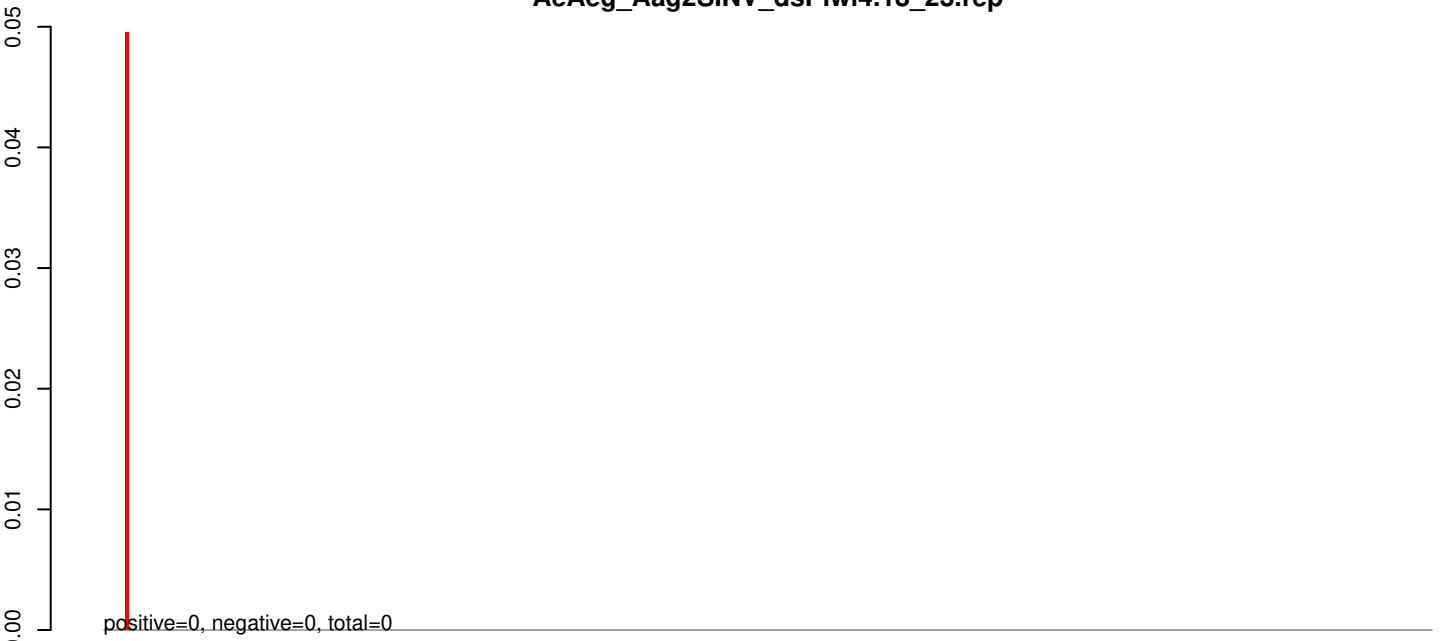


AeAeg_Aag2SINV_dsPiwi4.rep

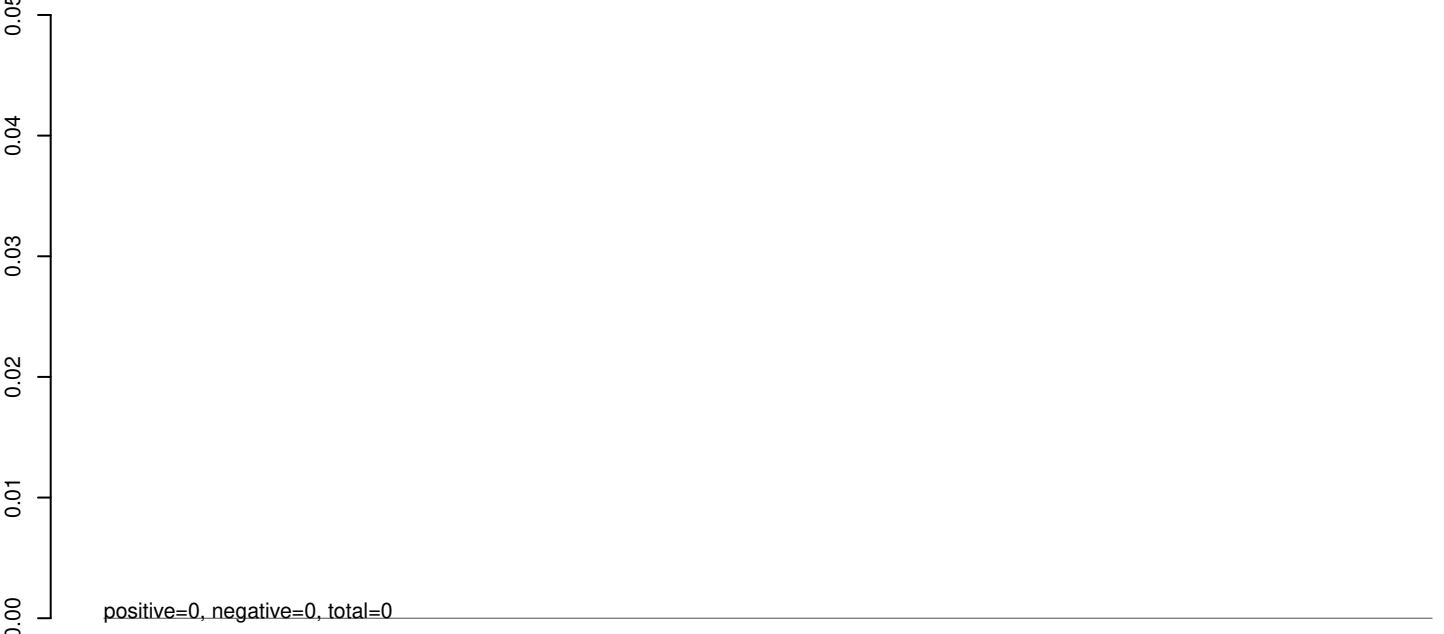


Window size=25, length=10254, virus@DQ235149.1-Royal_Farm_virus_from_Afghanistan_polyprotein_gene:1-10254

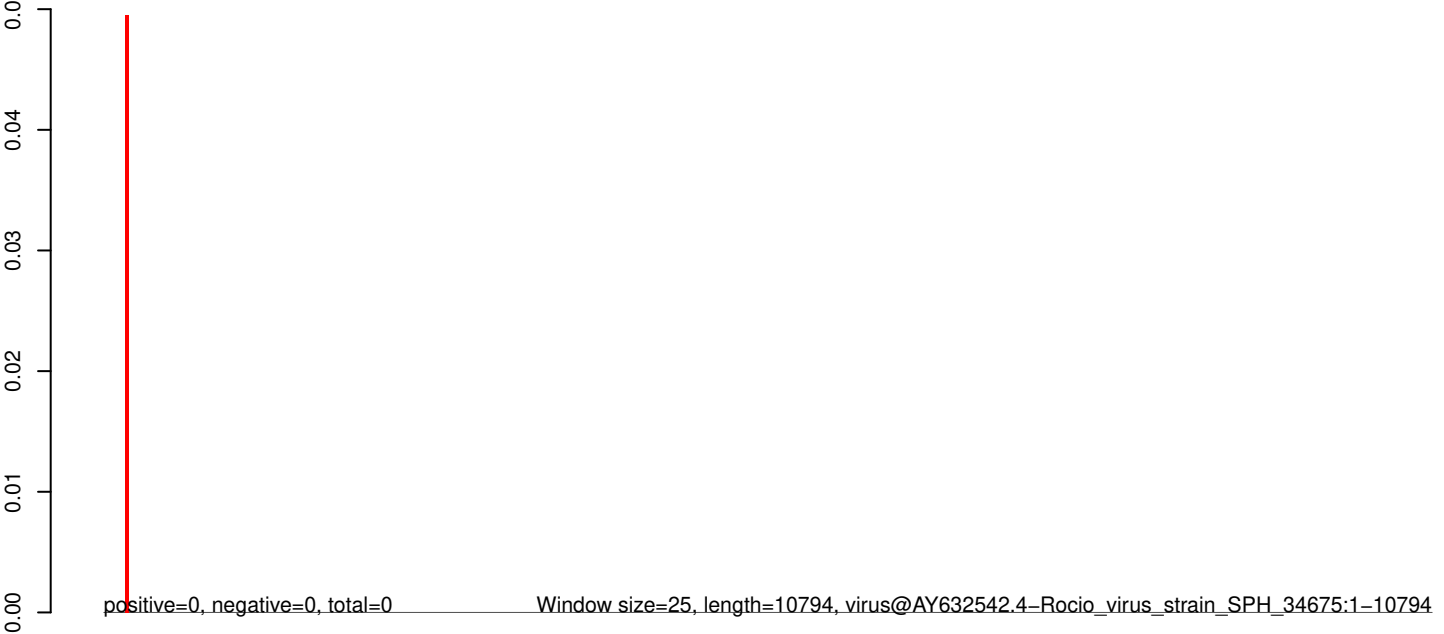
AeAeg_Aag2SINV_dsPiwi4.18_23.rep



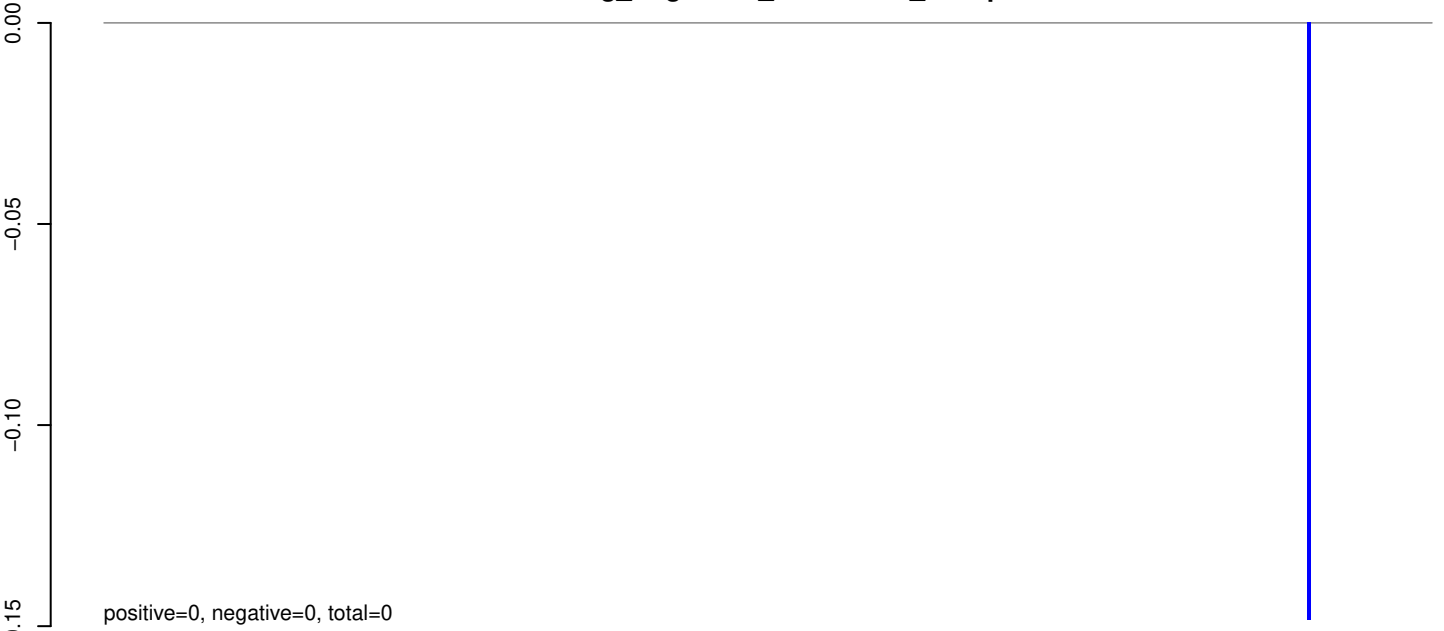
AeAeg_Aag2SINV_dsPiwi4.24_35.rep



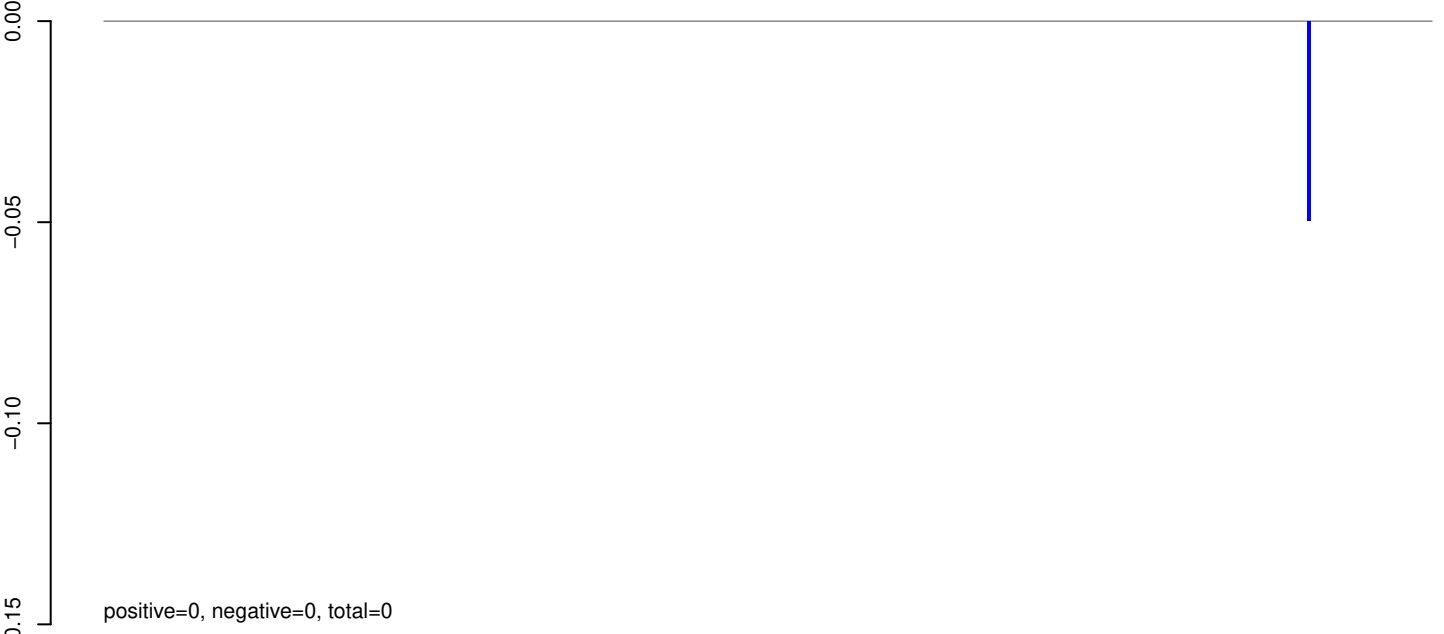
AeAeg_Aag2SINV_dsPiwi4.rep



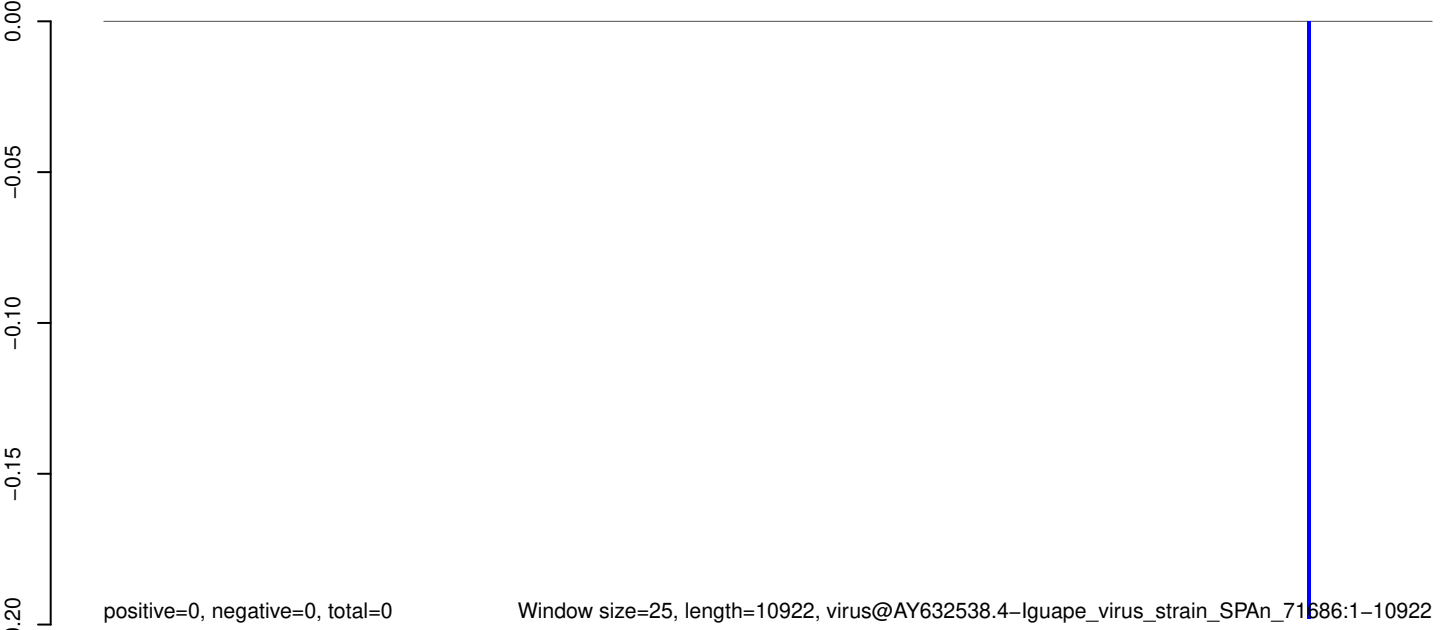
AeAeg_Aag2SINV_dsPiwi4.18_23.rep



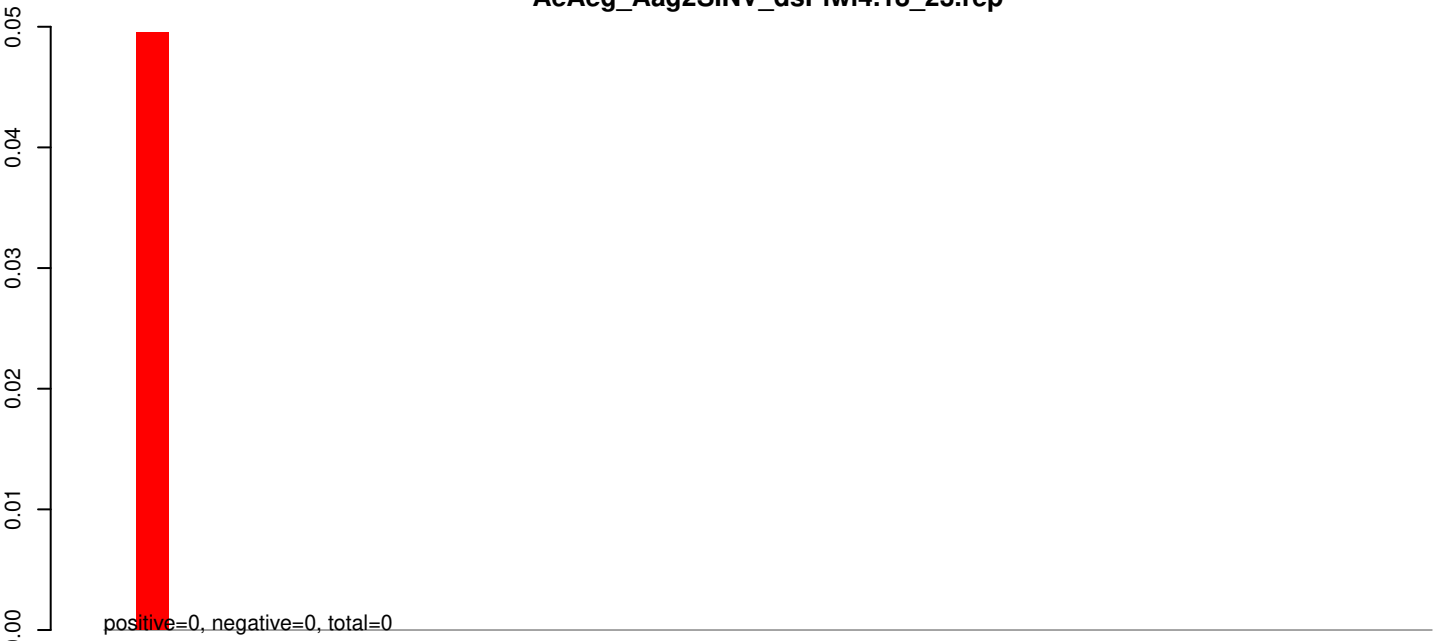
AeAeg_Aag2SINV_dsPiwi4.24_35.rep



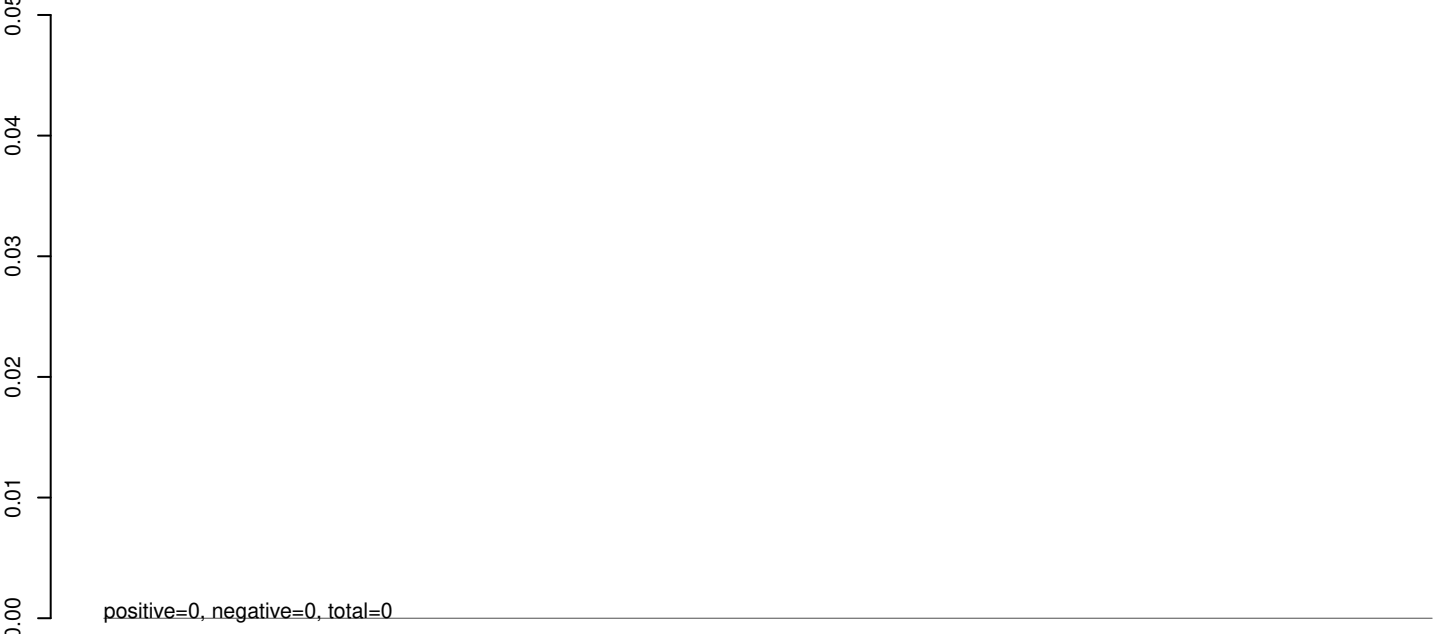
AeAeg_Aag2SINV_dsPiwi4.rep



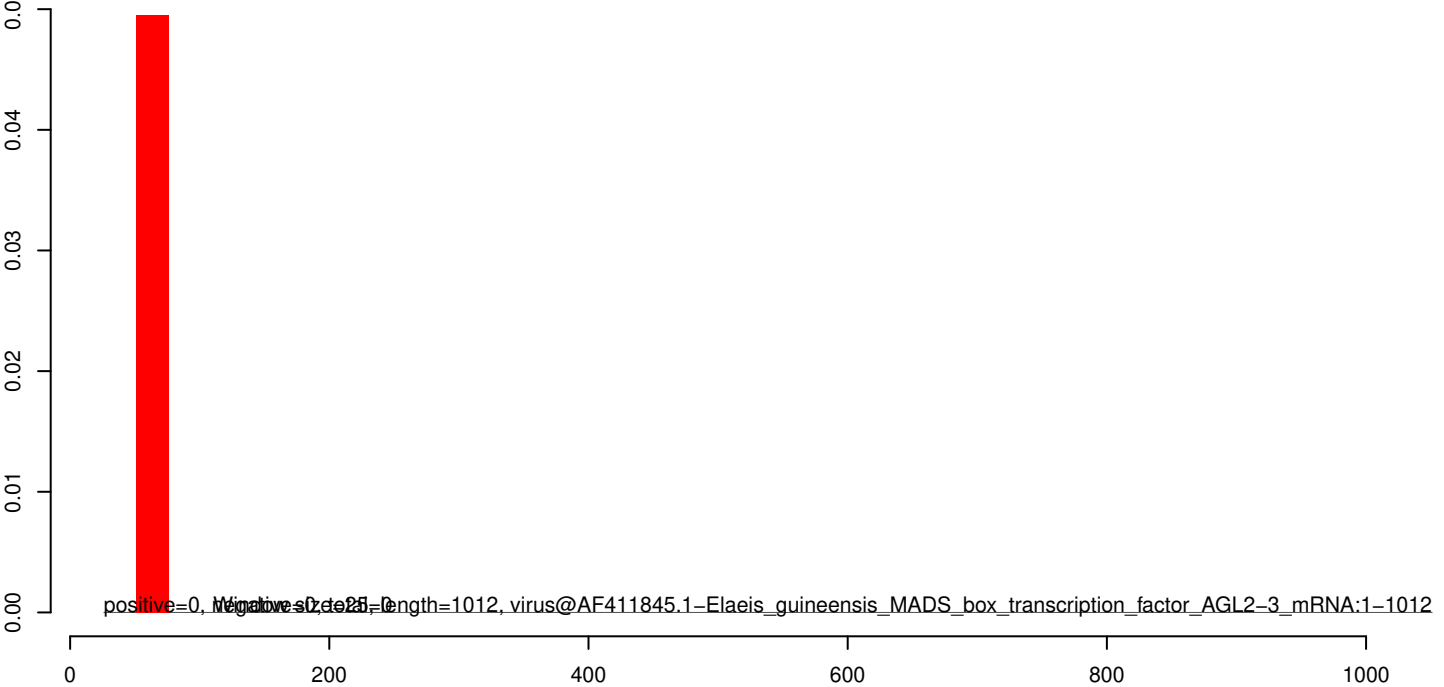
AeAeg_Aag2SINV_dsPiwi4.18_23.rep



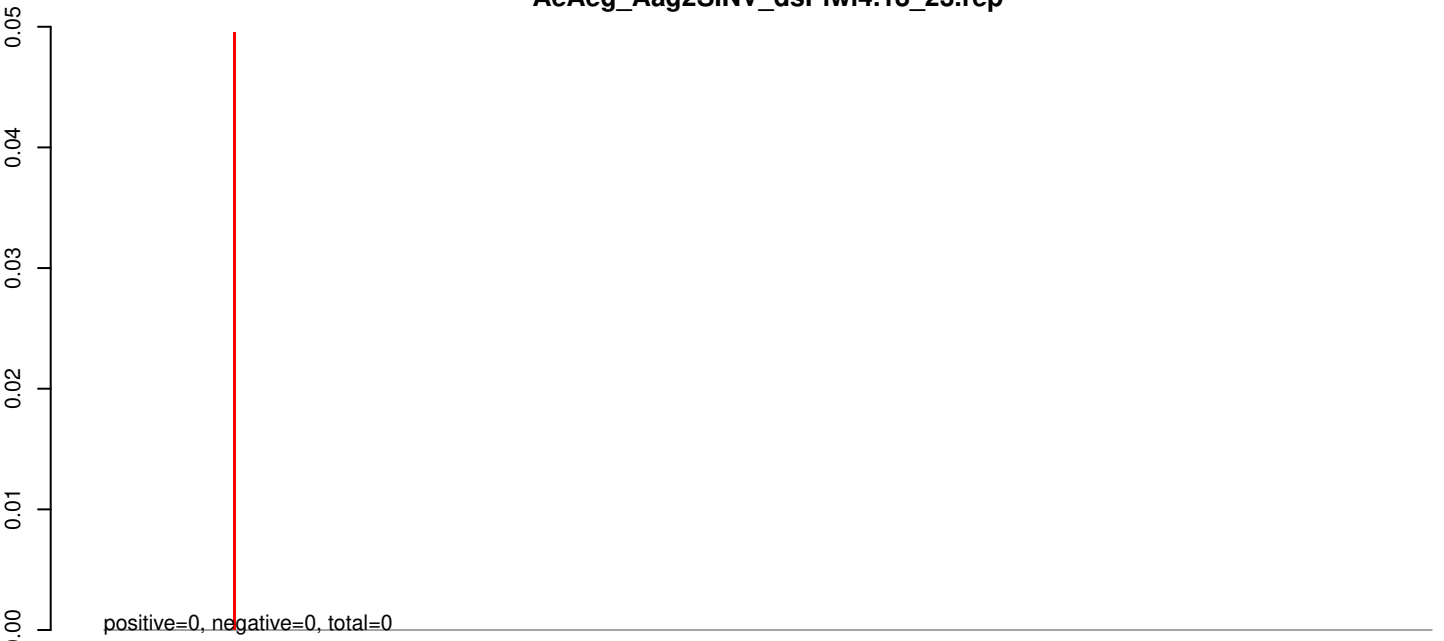
AeAeg_Aag2SINV_dsPiwi4.24_35.rep



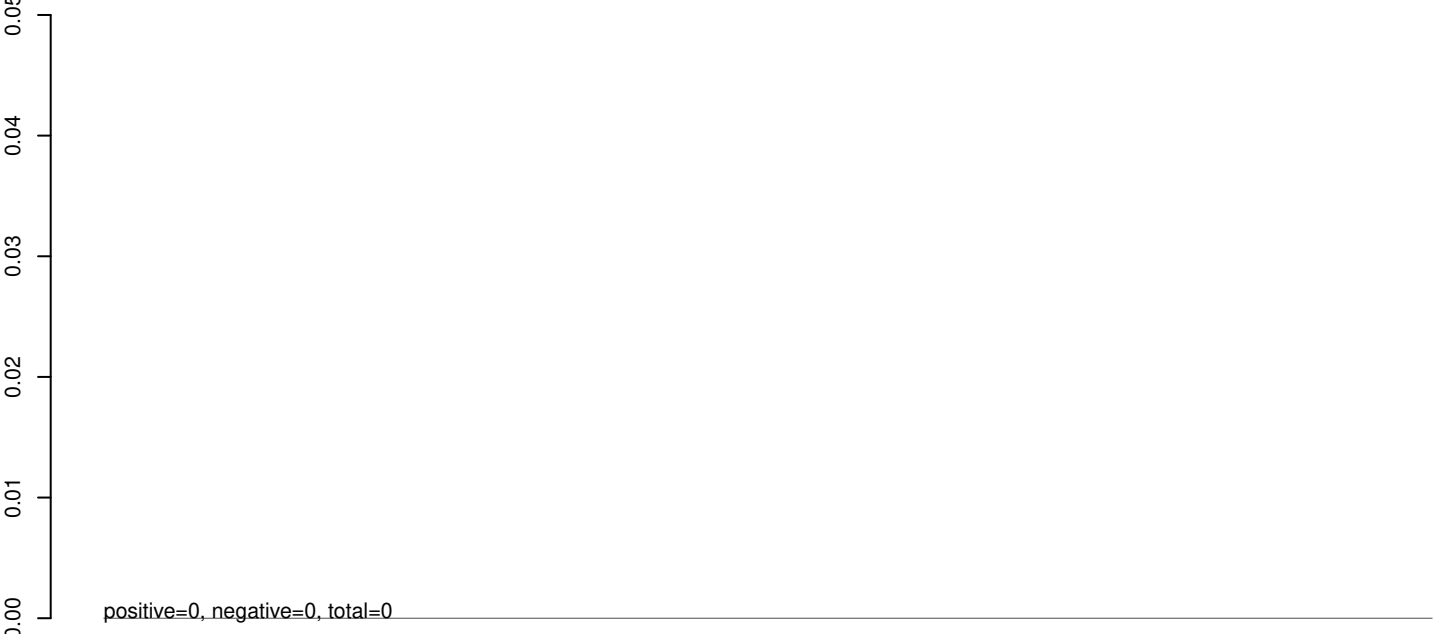
AeAeg_Aag2SINV_dsPiwi4.rep



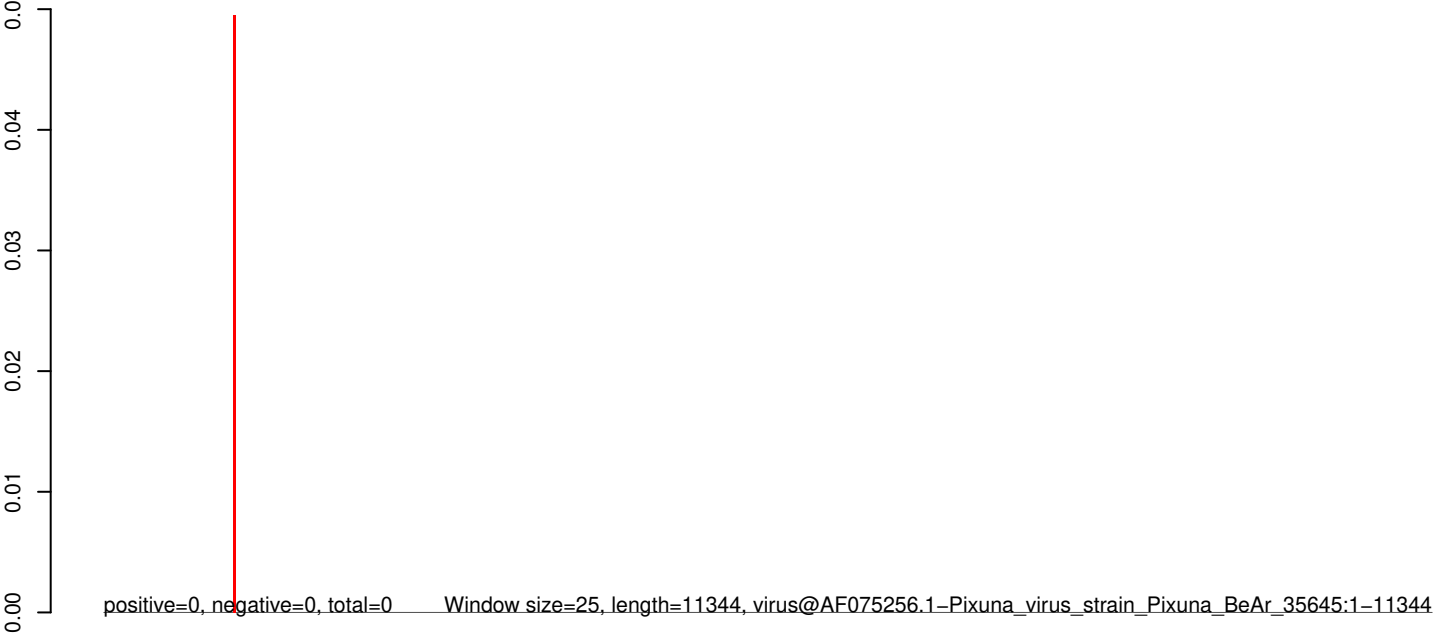
AeAeg_Aag2SINV_dsPiwi4.18_23.rep



AeAeg_Aag2SINV_dsPiwi4.24_35.rep



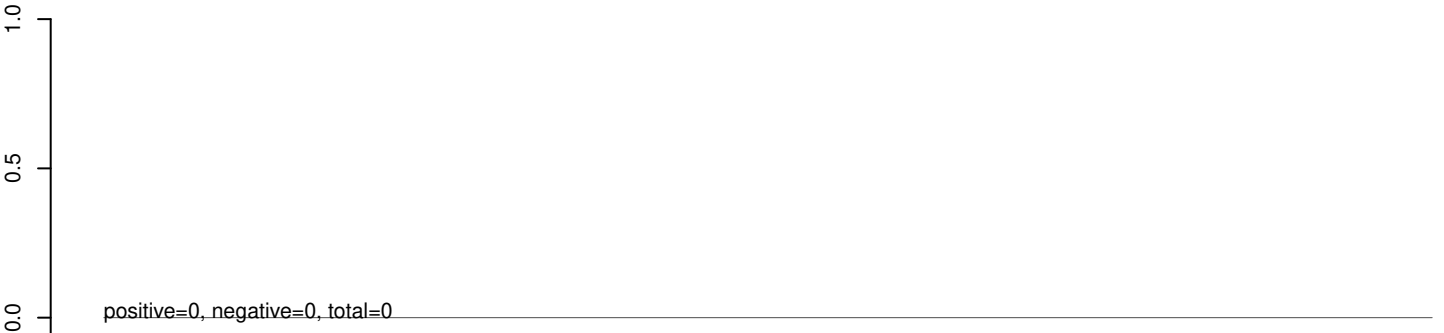
AeAeg_Aag2SINV_dsPiwi4.rep



AeAeg_Aag2SINV_dsPiwi4.18_23.rep



AeAeg_Aag2SINV_dsPiwi4.24_35.rep



AeAeg_Aag2SINV_dsPiwi4.rep



0 5000 10000 15000 20000

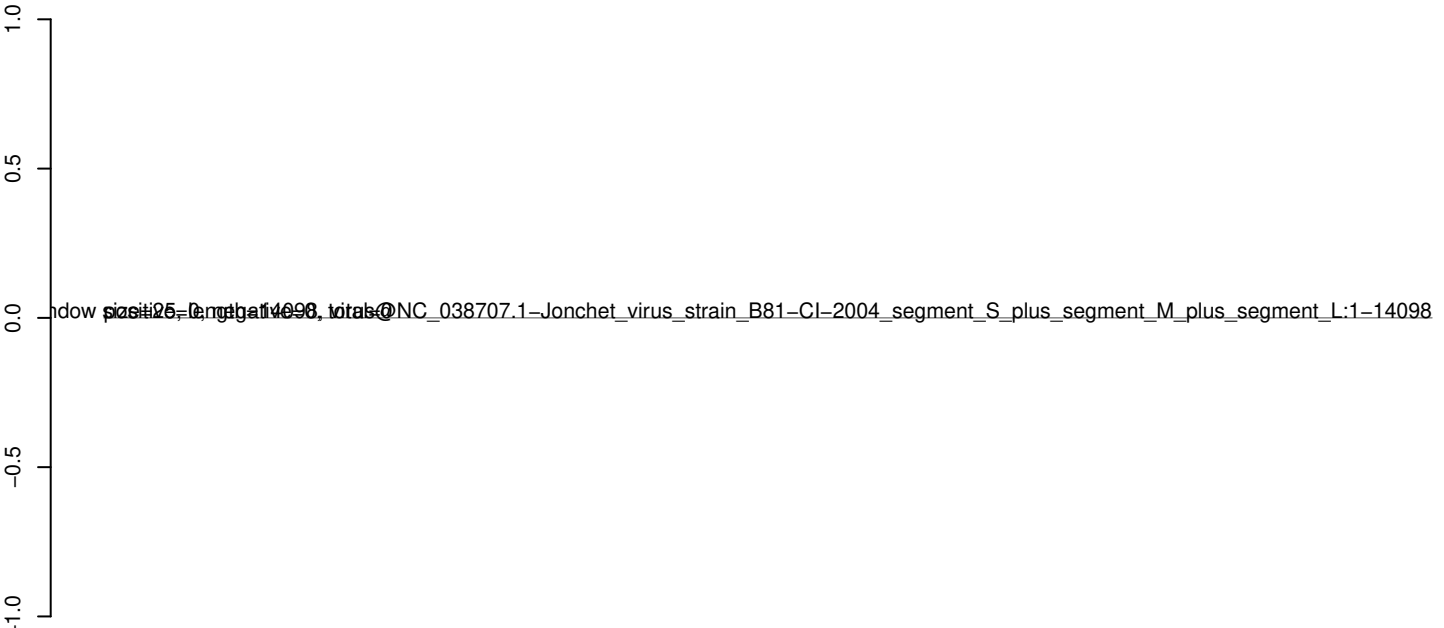
AeAeg_Aag2SINV_dsPiwi4.18_23.rep



AeAeg_Aag2SINV_dsPiwi4.24_35.rep



AeAeg_Aag2SINV_dsPiwi4.rep



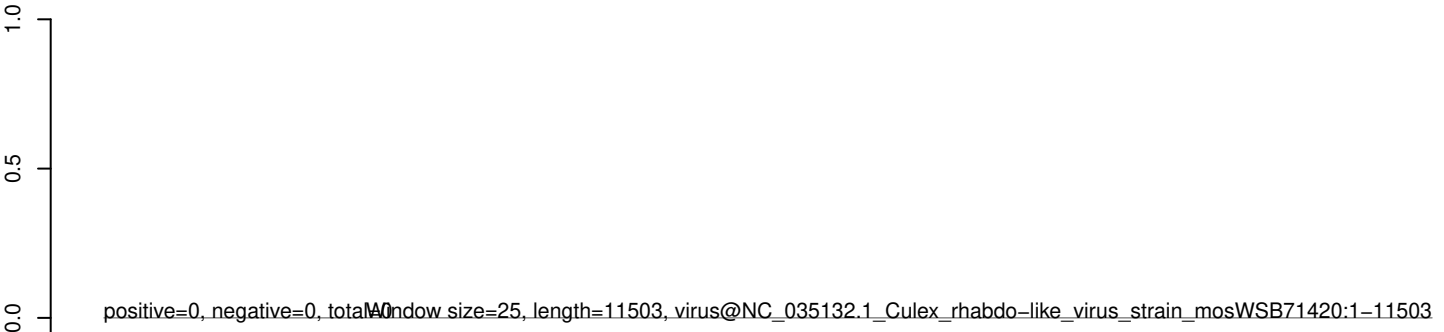
AeAeg_Aag2SINV_dsPiwi4.18_23.rep



AeAeg_Aag2SINV_dsPiwi4.24_35.rep



AeAeg_Aag2SINV_dsPiwi4.rep



0 2000 4000 6000 8000 10000 12000

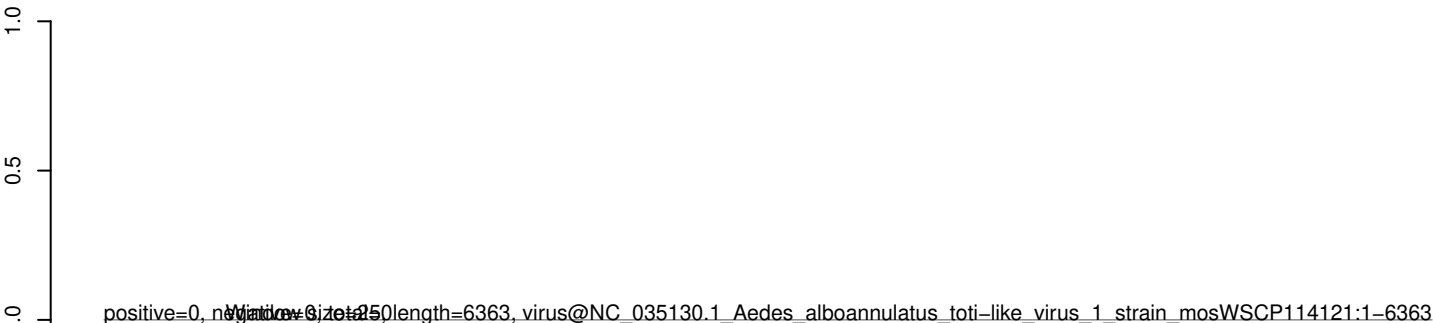
AeAeg_Aag2SINV_dsPiwi4.18_23.rep



AeAeg_Aag2SINV_dsPiwi4.24_35.rep



AeAeg_Aag2SINV_dsPiwi4.rep



0 1000 2000 3000 4000 5000 6000

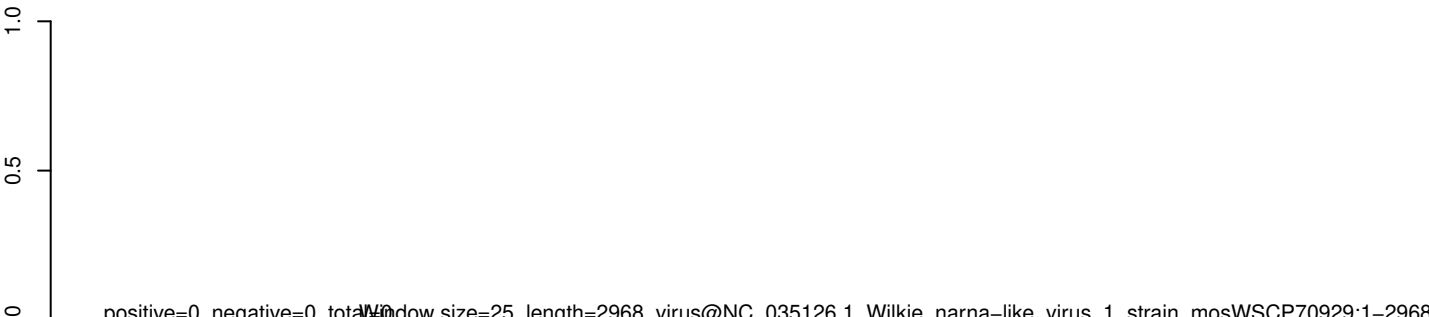
AeAeg_Aag2SINV_dsPiwi4.18_23.rep



AeAeg_Aag2SINV_dsPiwi4.24_35.rep



AeAeg_Aag2SINV_dsPiwi4.rep



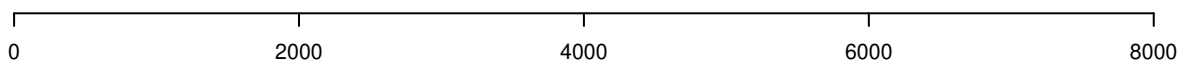
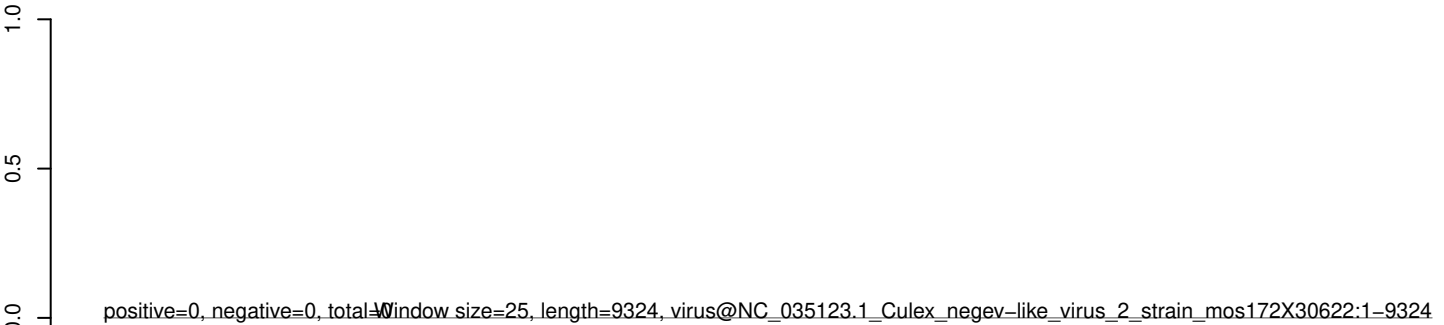
AeAeg_Aag2SINV_dsPiwi4.18_23.rep



AeAeg_Aag2SINV_dsPiwi4.24_35.rep



AeAeg_Aag2SINV_dsPiwi4.rep



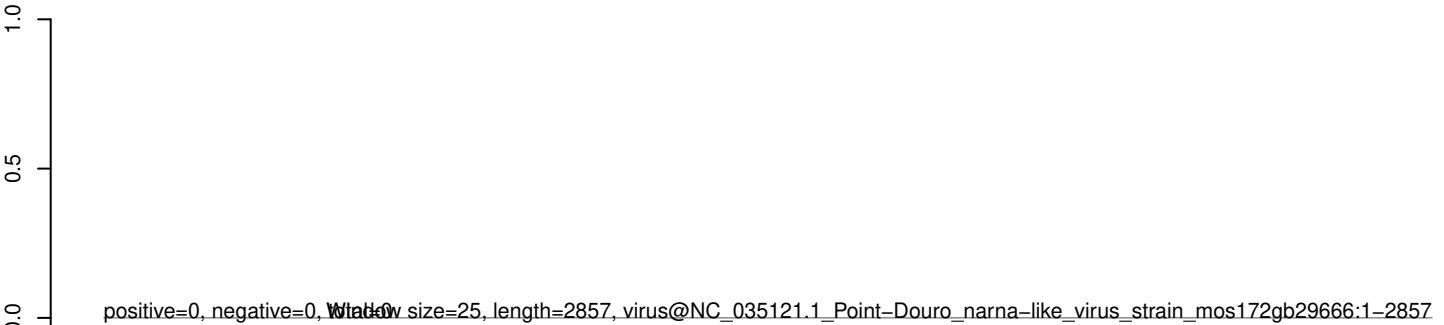
AeAeg_Aag2SINV_dsPiwi4.18_23.rep



AeAeg_Aag2SINV_dsPiwi4.24_35.rep



AeAeg_Aag2SINV_dsPiwi4.rep



AeAeg_Aag2SINV_dsPiwi4.18_23.rep



AeAeg_Aag2SINV_dsPiwi4.24_35.rep



AeAeg_Aag2SINV_dsPiwi4.rep



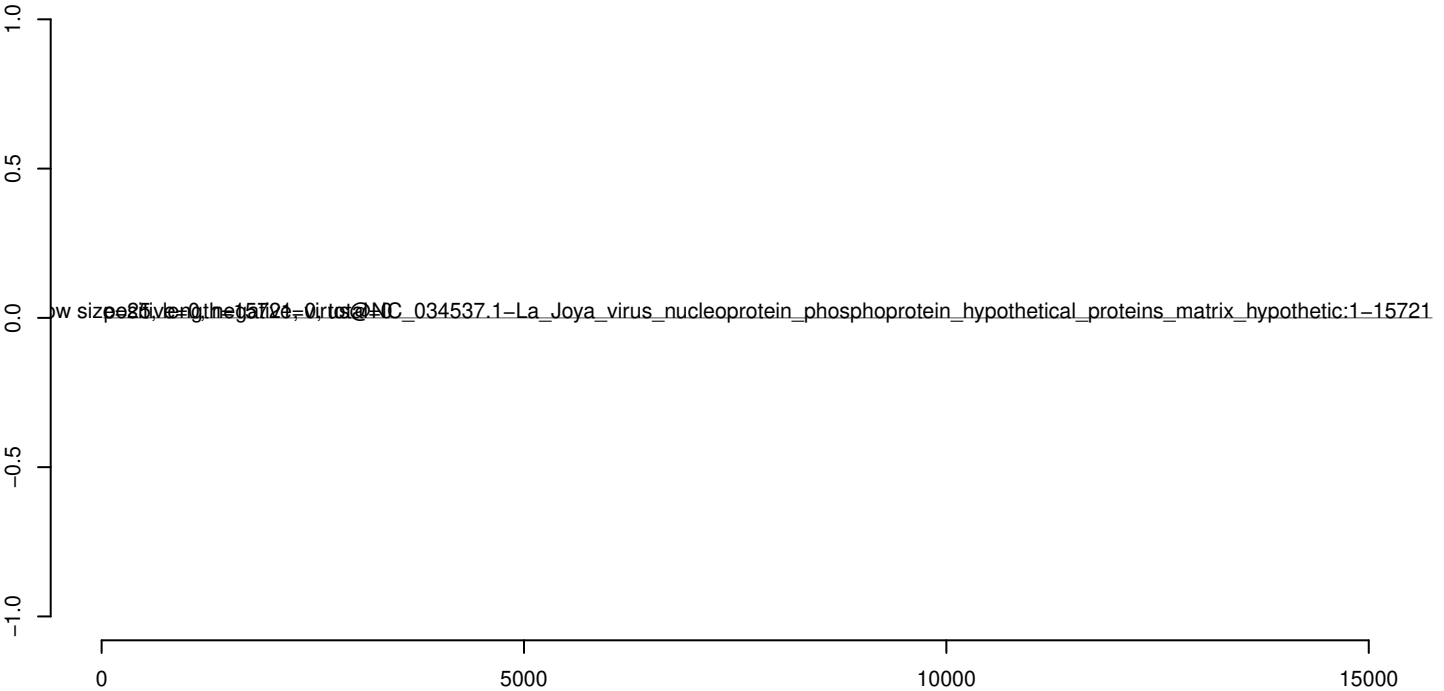
AeAeg_Aag2SINV_dsPiwi4.18_23.rep



AeAeg_Aag2SINV_dsPiwi4.24_35.rep



AeAeg_Aag2SINV_dsPiwi4.rep



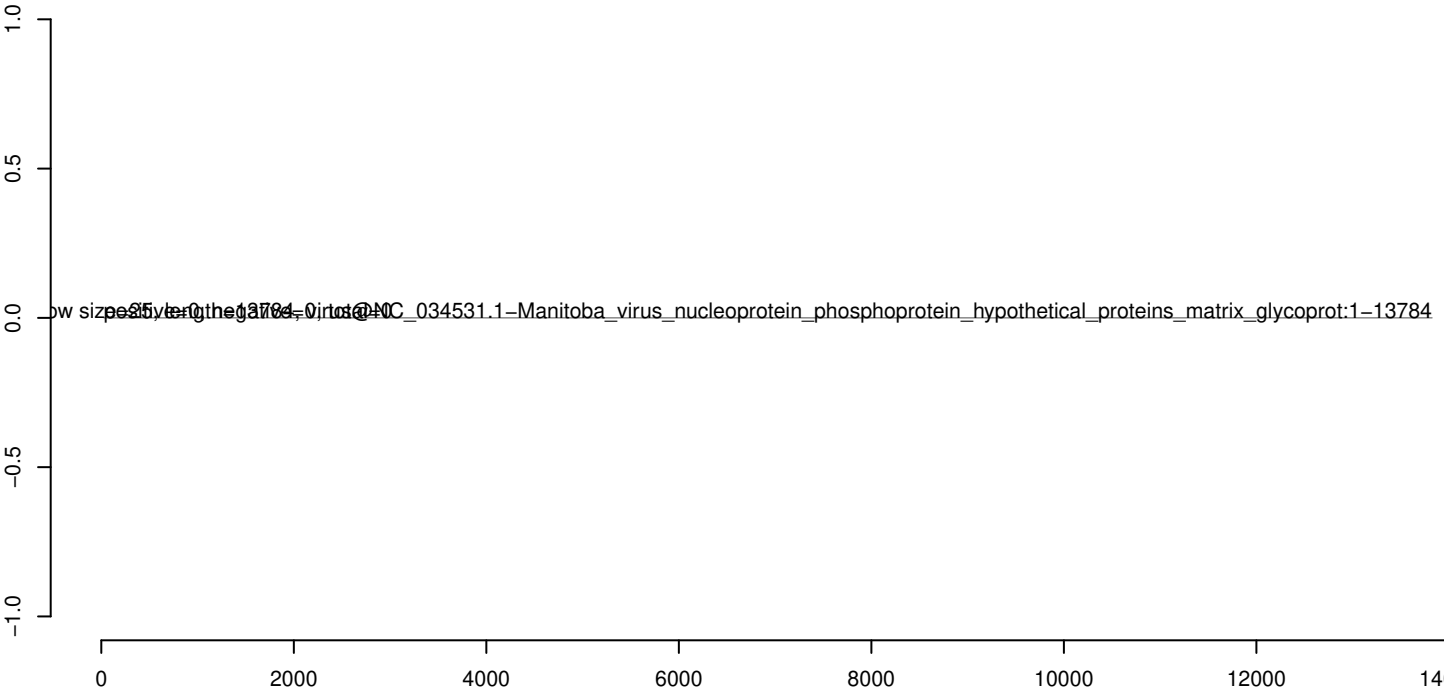
AeAeg_Aag2SINV_dsPiwi4.18_23.rep



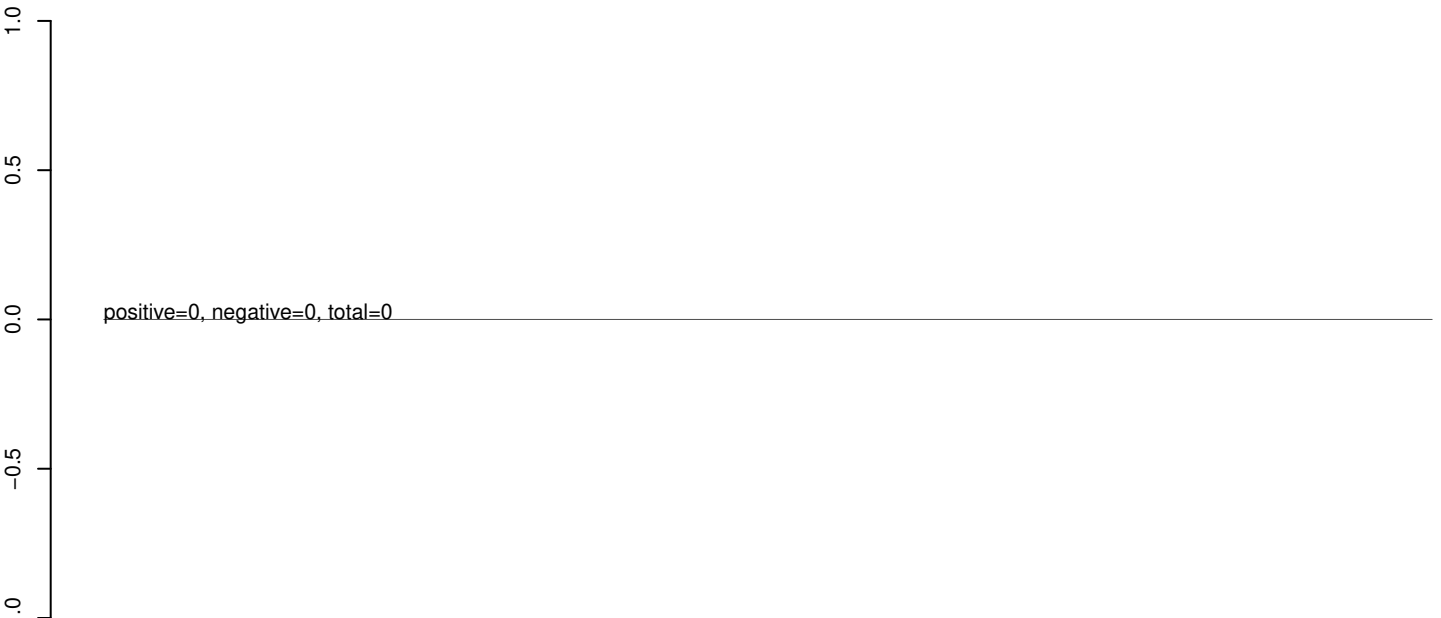
AeAeg_Aag2SINV_dsPiwi4.24_35.rep



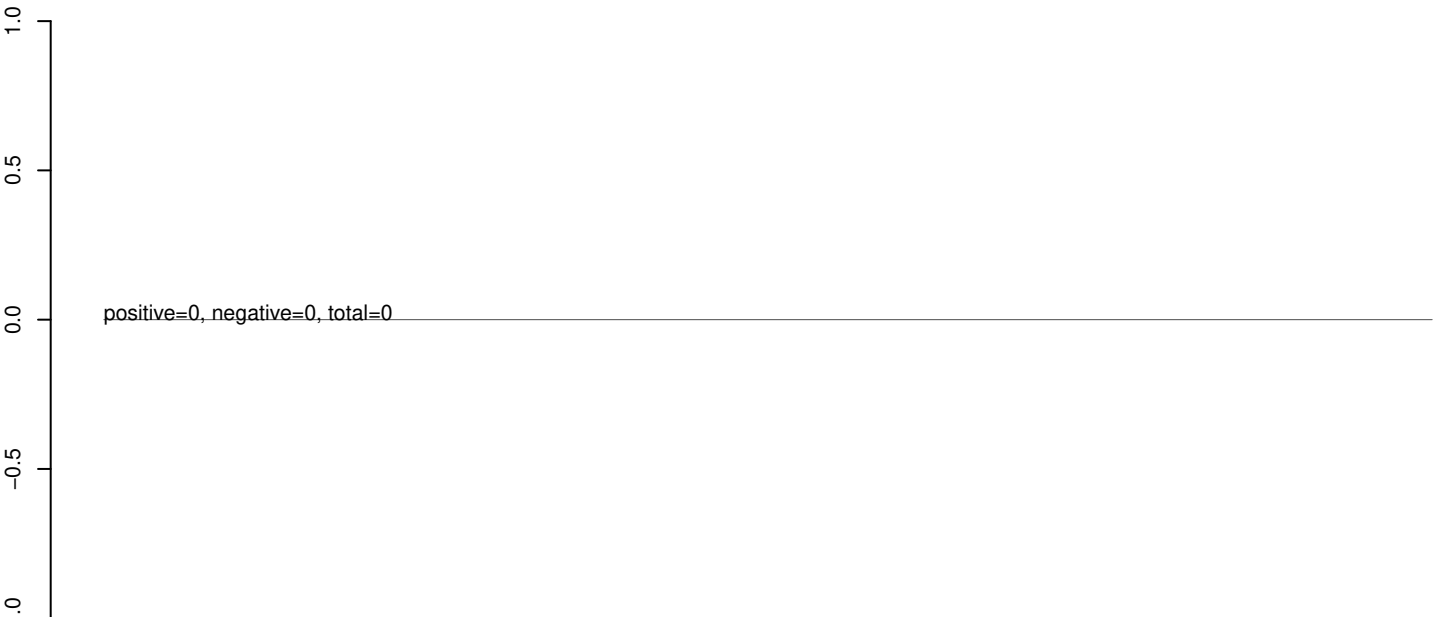
AeAeg_Aag2SINV_dsPiwi4.rep



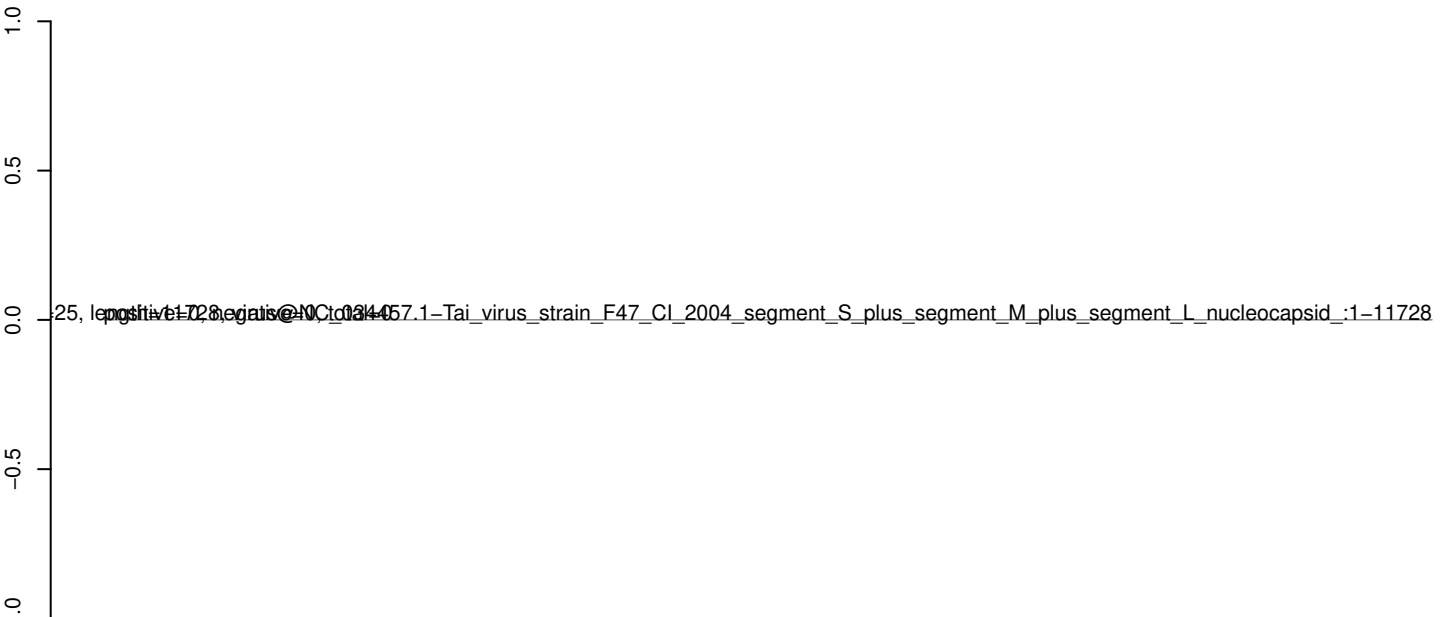
AeAeg_Aag2SINV_dsPiwi4.18_23.rep



AeAeg_Aag2SINV_dsPiwi4.24_35.rep



AeAeg_Aag2SINV_dsPiwi4.rep



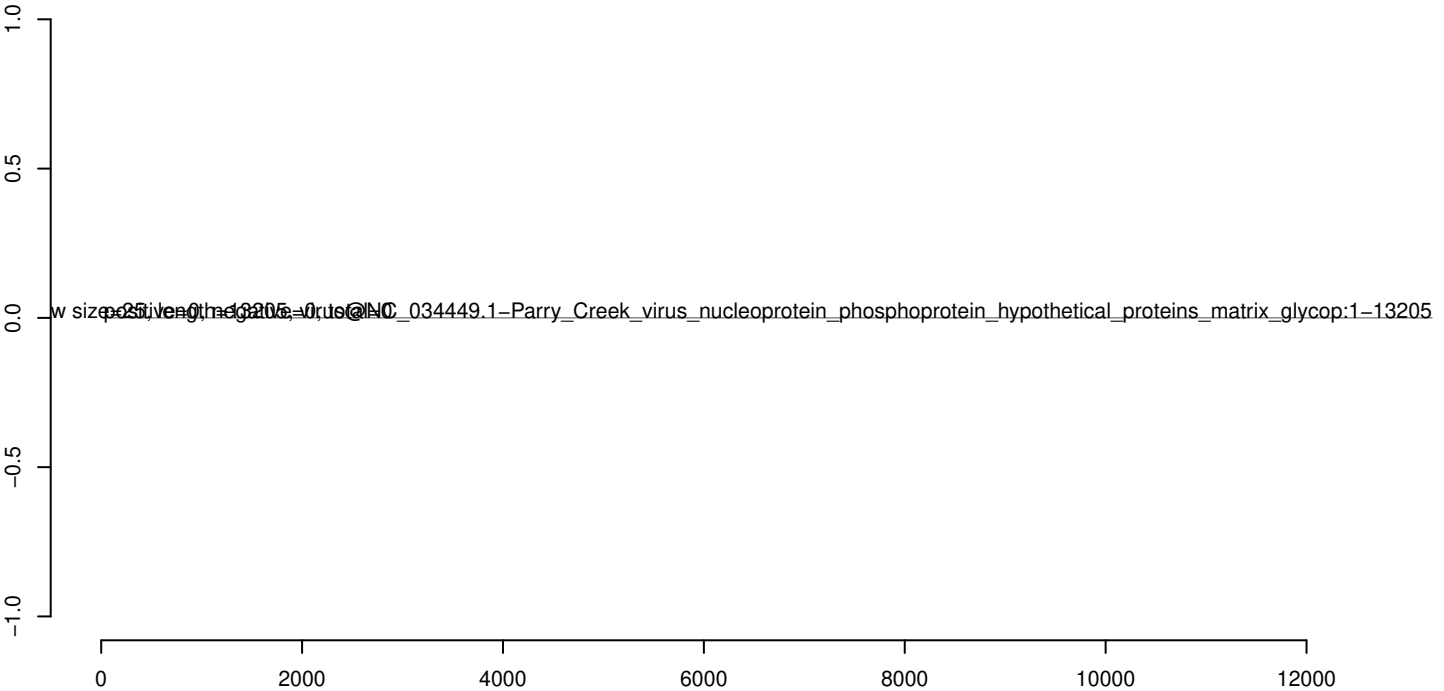
AeAeg_Aag2SINV_dsPiwi4.18_23.rep



AeAeg_Aag2SINV_dsPiwi4.24_35.rep



AeAeg_Aag2SINV_dsPiwi4.rep



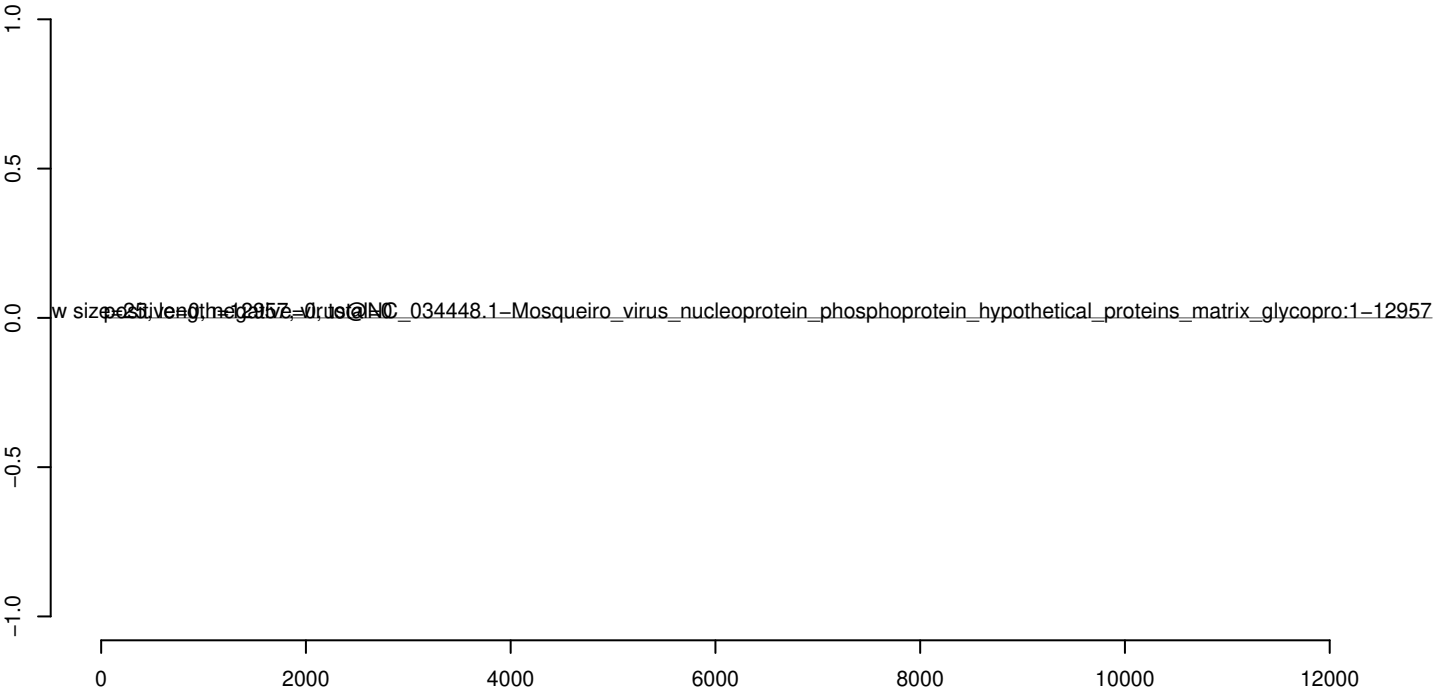
AeAeg_Aag2SINV_dsPiwi4.18_23.rep



AeAeg_Aag2SINV_dsPiwi4.24_35.rep



AeAeg_Aag2SINV_dsPiwi4.rep



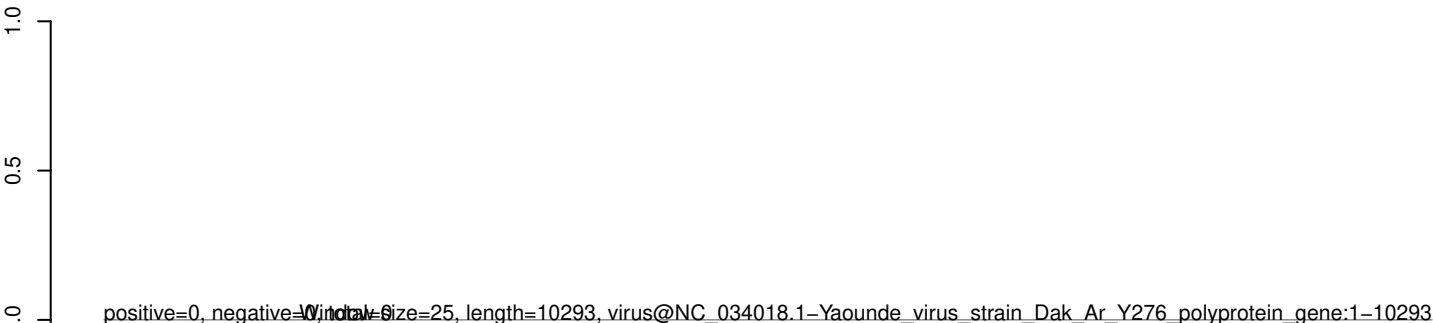
AeAeg_Aag2SINV_dsPiwi4.18_23.rep



AeAeg_Aag2SINV_dsPiwi4.24_35.rep



AeAeg_Aag2SINV_dsPiwi4.rep



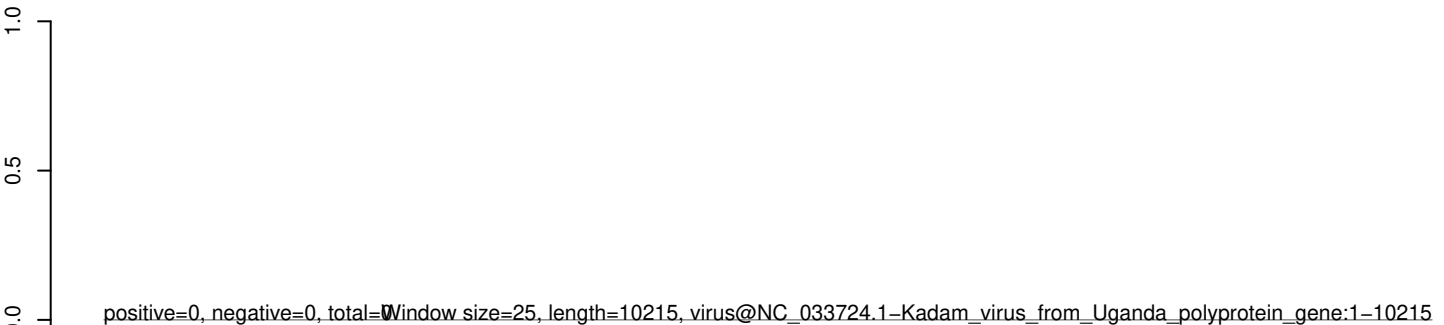
AeAeg_Aag2SINV_dsPiwi4.18_23.rep



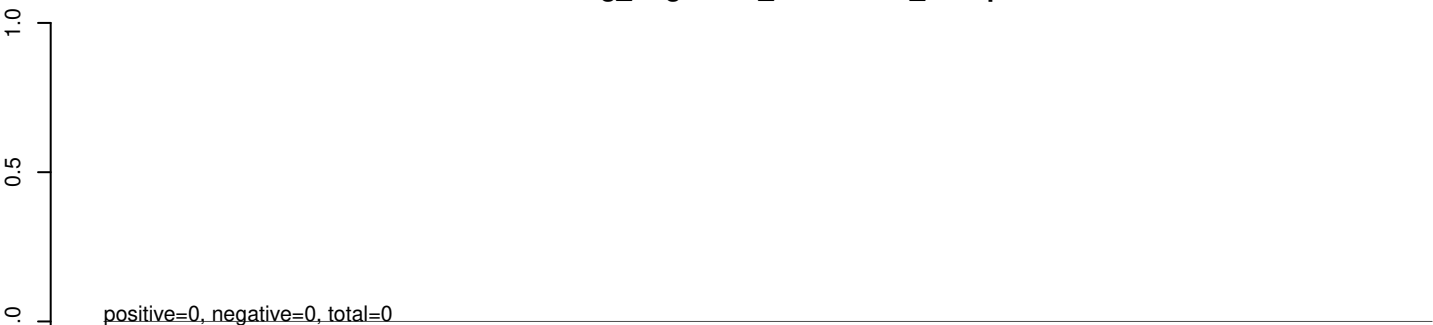
AeAeg_Aag2SINV_dsPiwi4.24_35.rep



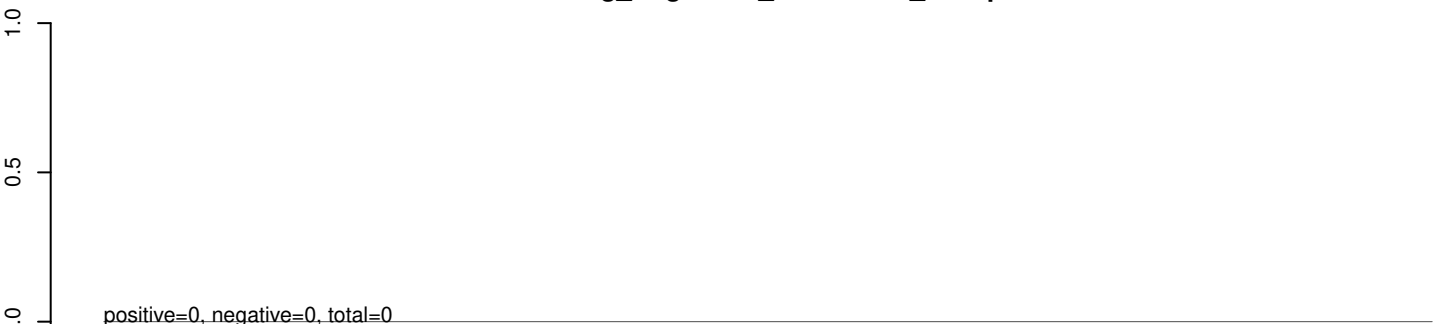
AeAeg_Aag2SINV_dsPiwi4.rep



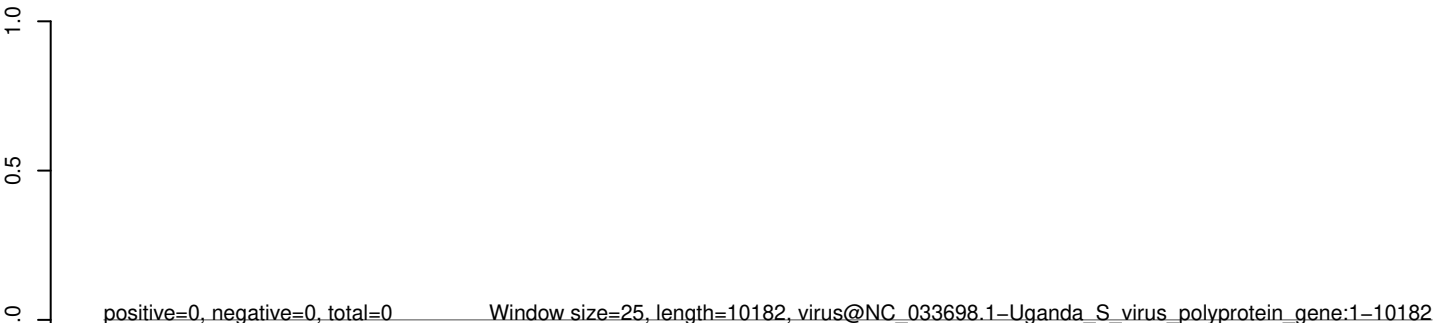
AeAeg_Aag2SINV_dsPiwi4.18_23.rep



AeAeg_Aag2SINV_dsPiwi4.24_35.rep



AeAeg_Aag2SINV_dsPiwi4.rep



0 2000 4000 6000 8000 10000

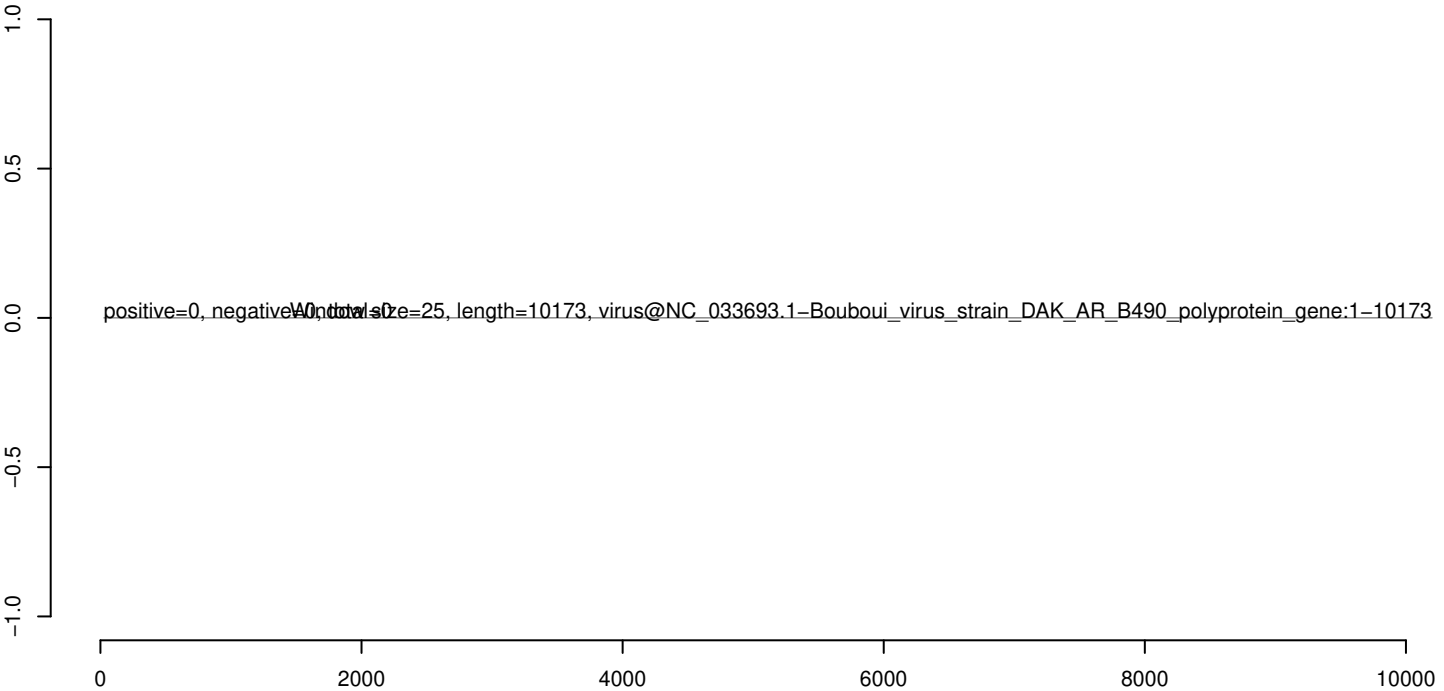
AeAeg_Aag2SINV_dsPiwi4.18_23.rep



AeAeg_Aag2SINV_dsPiwi4.24_35.rep



AeAeg_Aag2SINV_dsPiwi4.rep



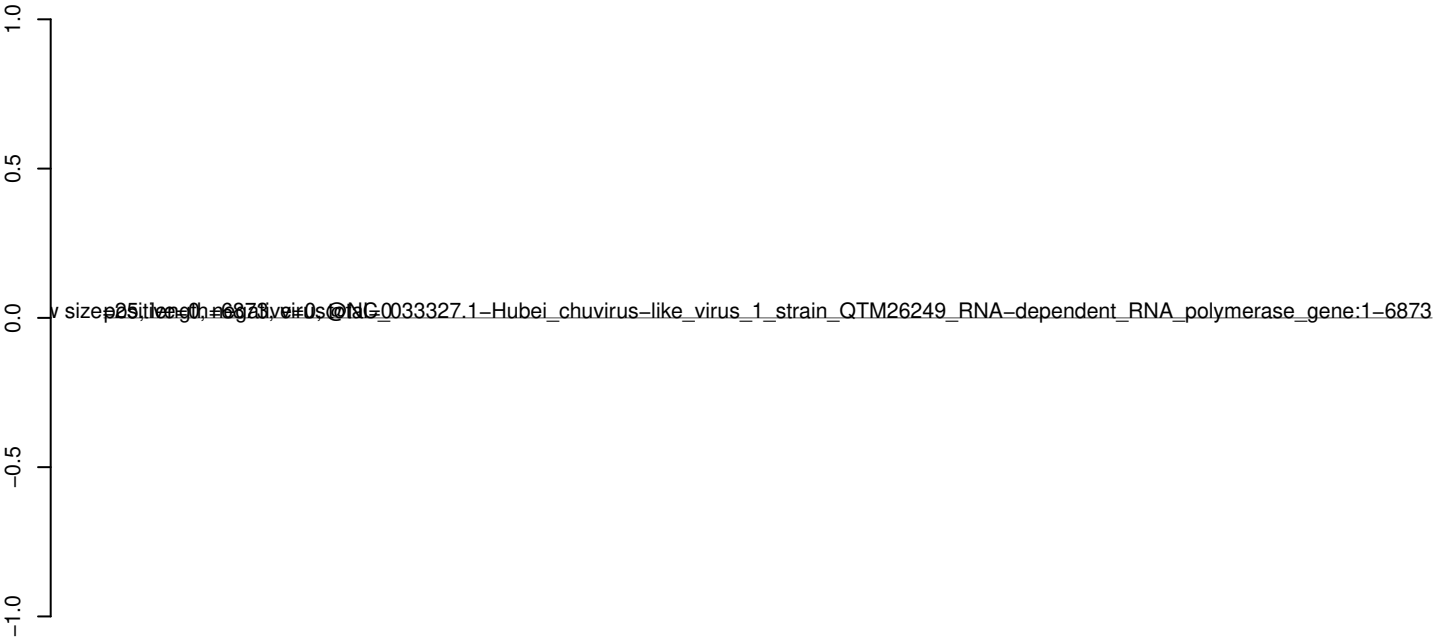
AeAeg_Aag2SINV_dsPiwi4.18_23.rep



AeAeg_Aag2SINV_dsPiwi4.24_35.rep



AeAeg_Aag2SINV_dsPiwi4.rep



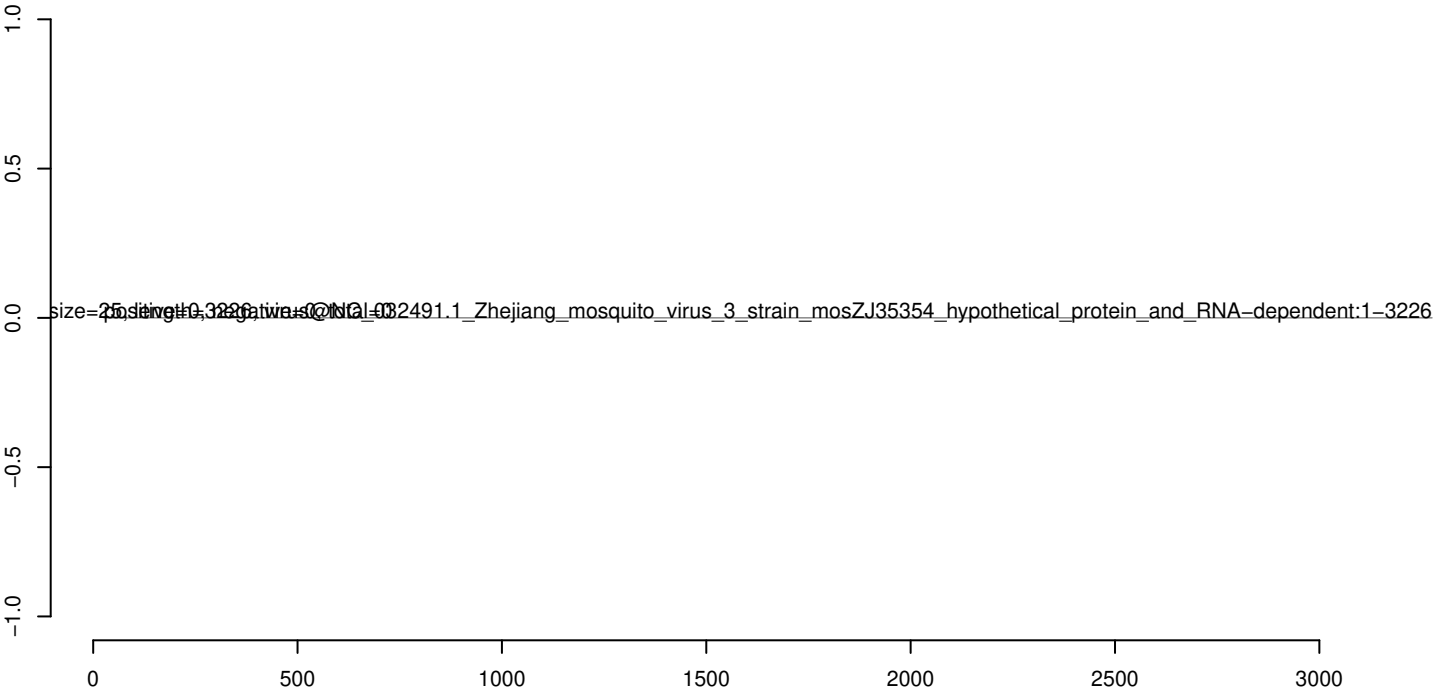
AeAeg_Aag2SINV_dsPiwi4.18_23.rep



AeAeg_Aag2SINV_dsPiwi4.24_35.rep



AeAeg_Aag2SINV_dsPiwi4.rep



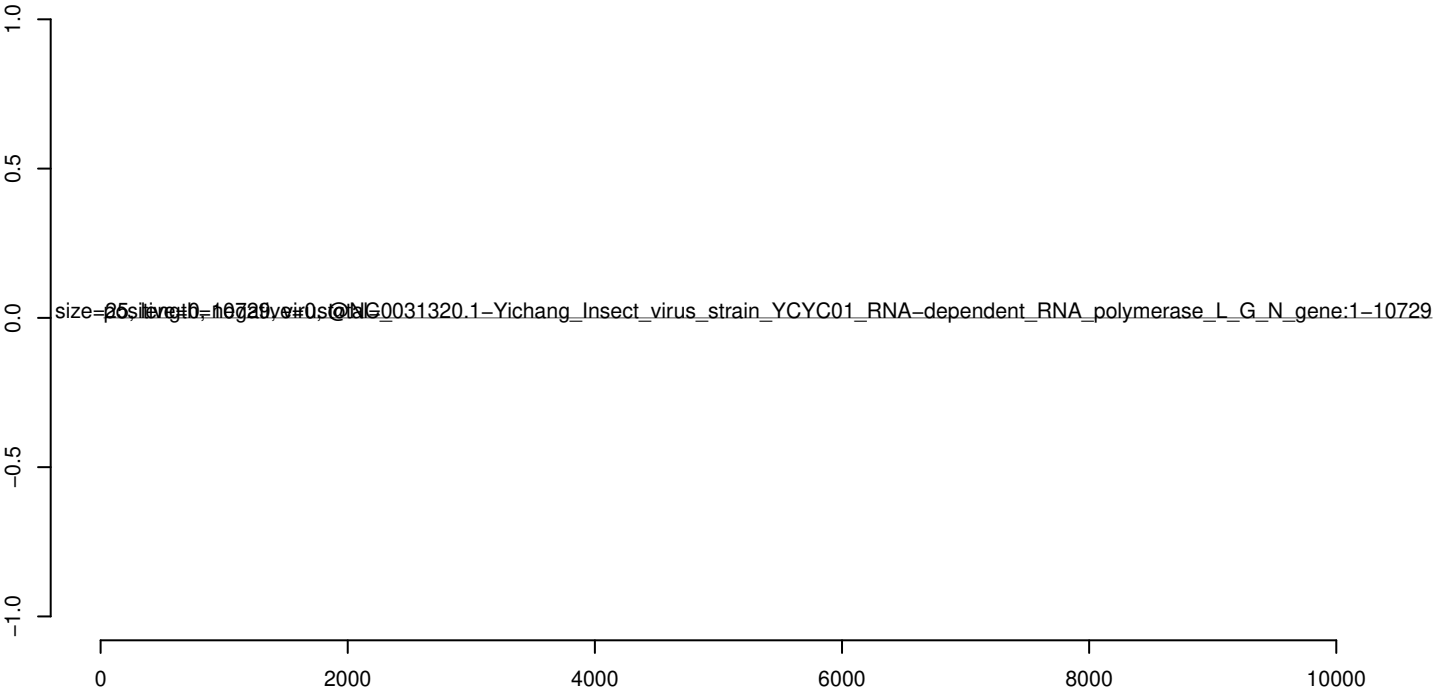
AeAeg_Aag2SINV_dsPiwi4.18_23.rep



AeAeg_Aag2SINV_dsPiwi4.24_35.rep



AeAeg_Aag2SINV_dsPiwi4.rep



AeAeg_Aag2SINV_dsPiwi4.18_23.rep



AeAeg_Aag2SINV_dsPiwi4.24_35.rep



AeAeg_Aag2SINV_dsPiwi4.rep



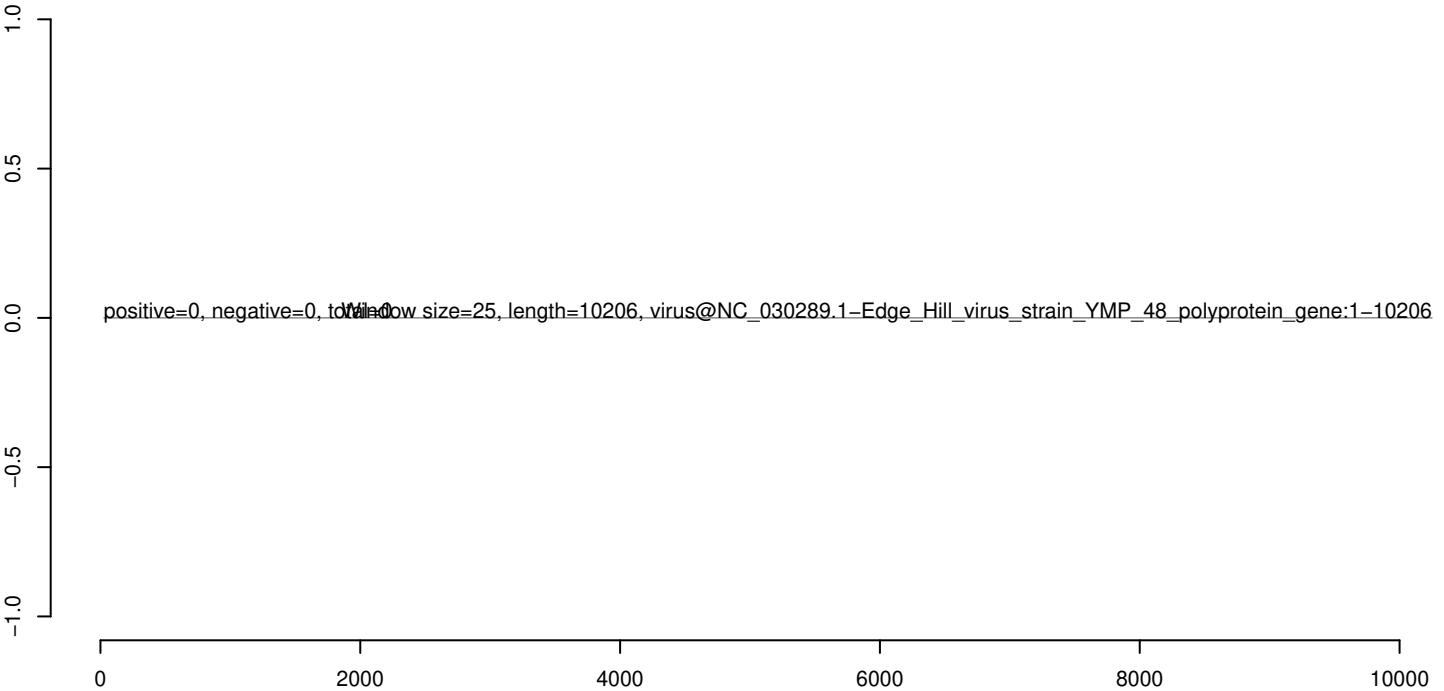
AeAeg_Aag2SINV_dsPiwi4.18_23.rep



AeAeg_Aag2SINV_dsPiwi4.24_35.rep



AeAeg_Aag2SINV_dsPiwi4.rep



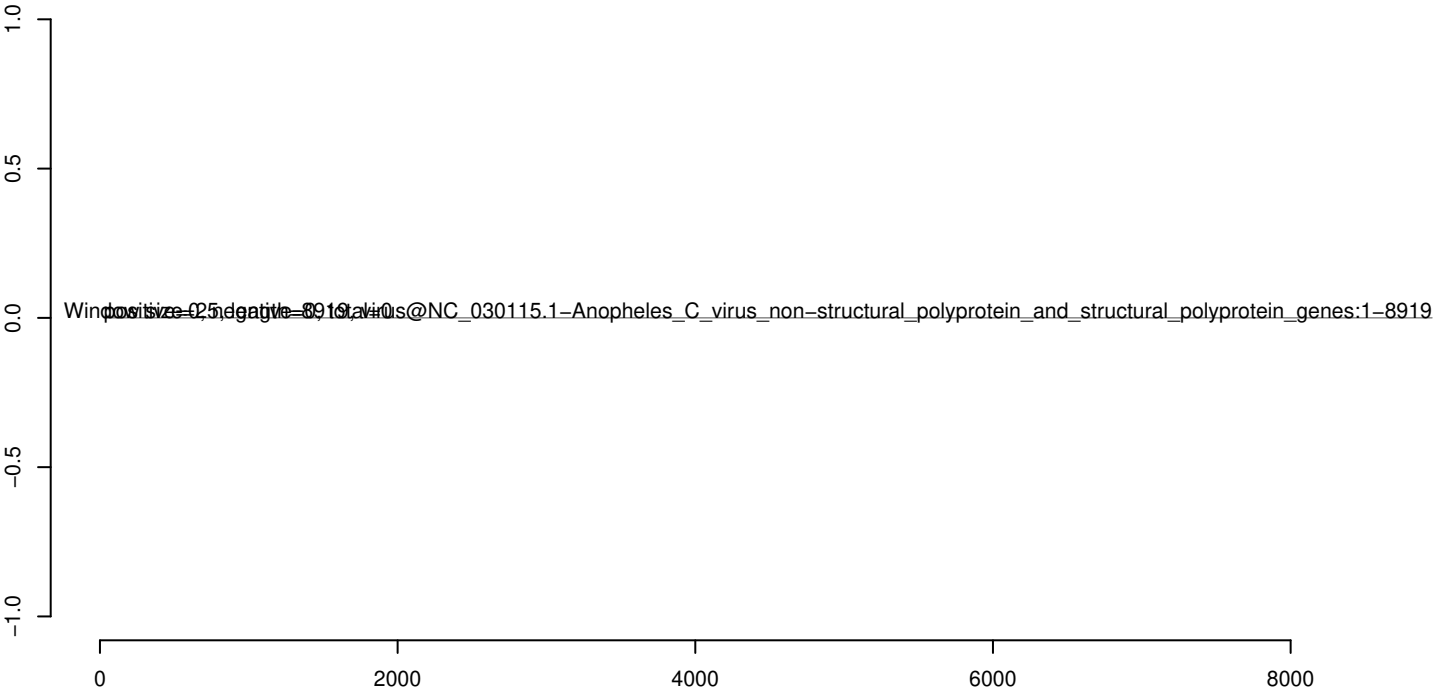
AeAeg_Aag2SINV_dsPiwi4.18_23.rep



AeAeg_Aag2SINV_dsPiwi4.24_35.rep



AeAeg_Aag2SINV_dsPiwi4.rep



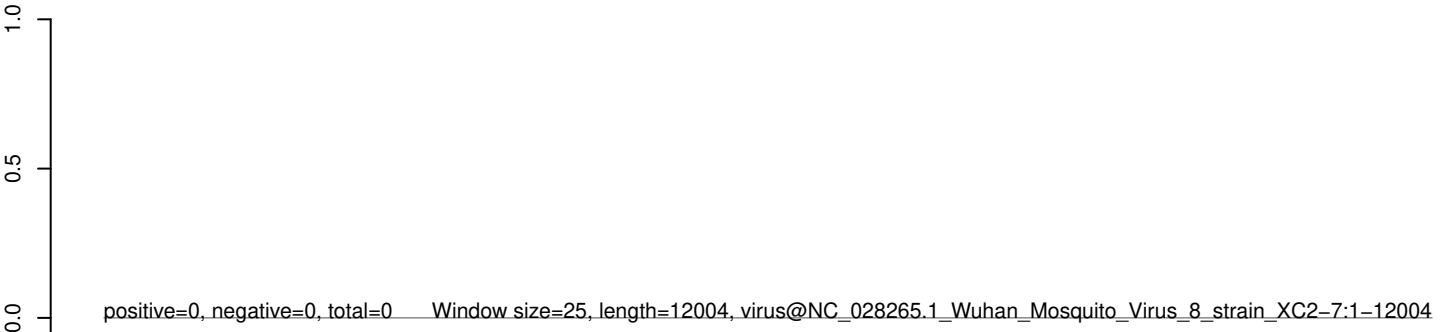
AeAeg_Aag2SINV_dsPiwi4.18_23.rep



AeAeg_Aag2SINV_dsPiwi4.24_35.rep



AeAeg_Aag2SINV_dsPiwi4.rep



0 2000 4000 6000 8000 10000 12000

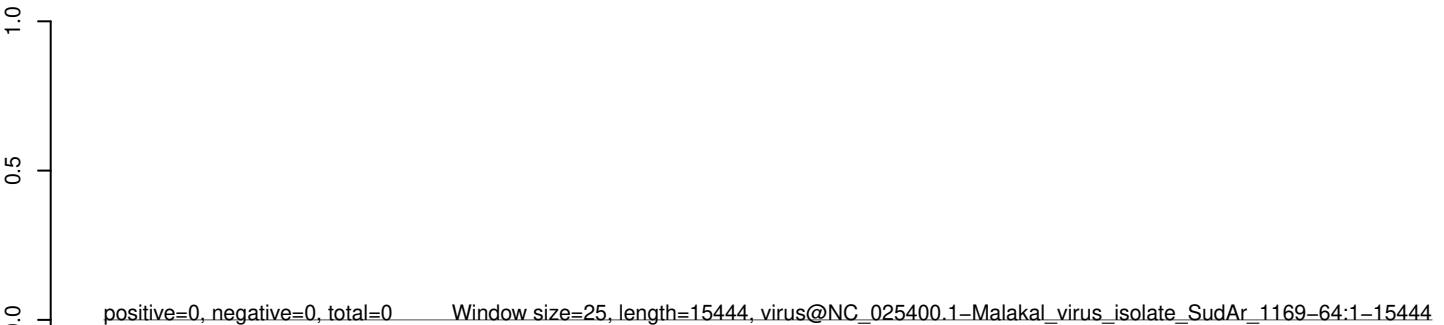
AeAeg_Aag2SINV_dsPiwi4.18_23.rep



AeAeg_Aag2SINV_dsPiwi4.24_35.rep



AeAeg_Aag2SINV_dsPiwi4.rep



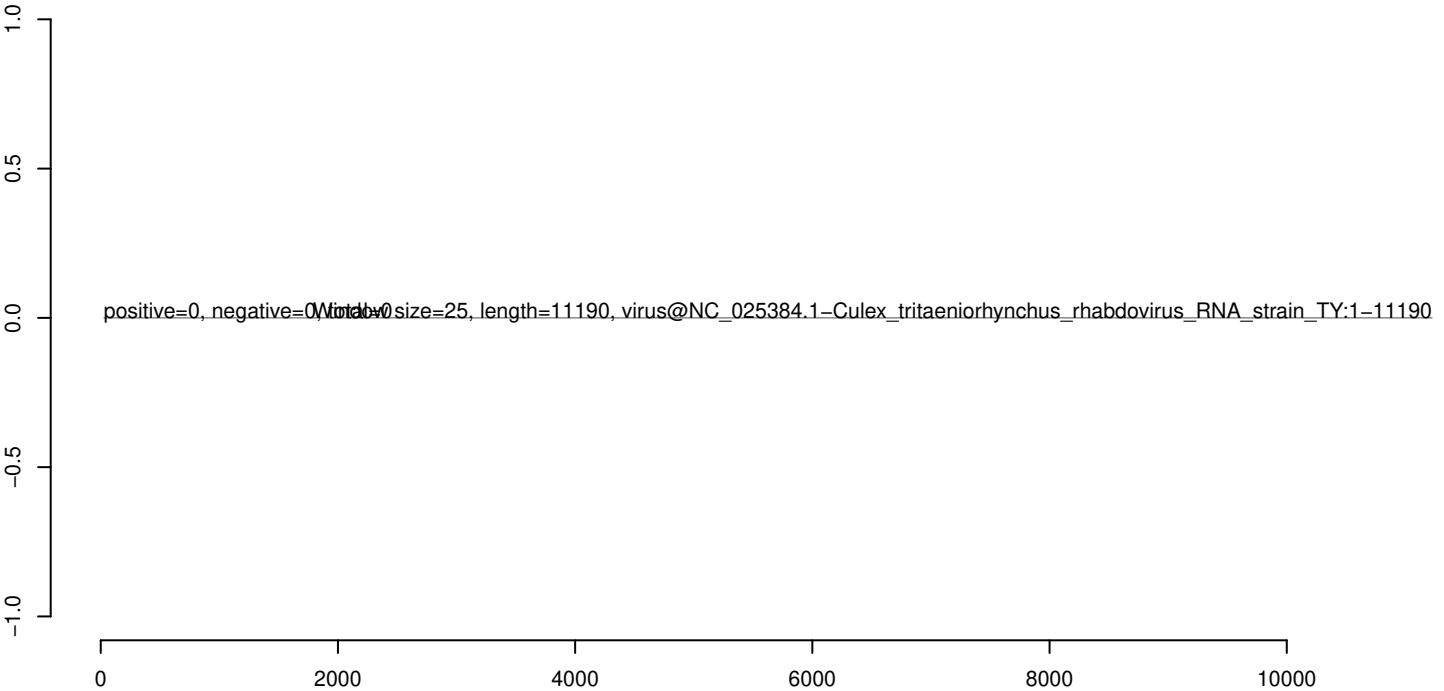
AeAeg_Aag2SINV_dsPiwi4.18_23.rep



AeAeg_Aag2SINV_dsPiwi4.24_35.rep



AeAeg_Aag2SINV_dsPiwi4.rep



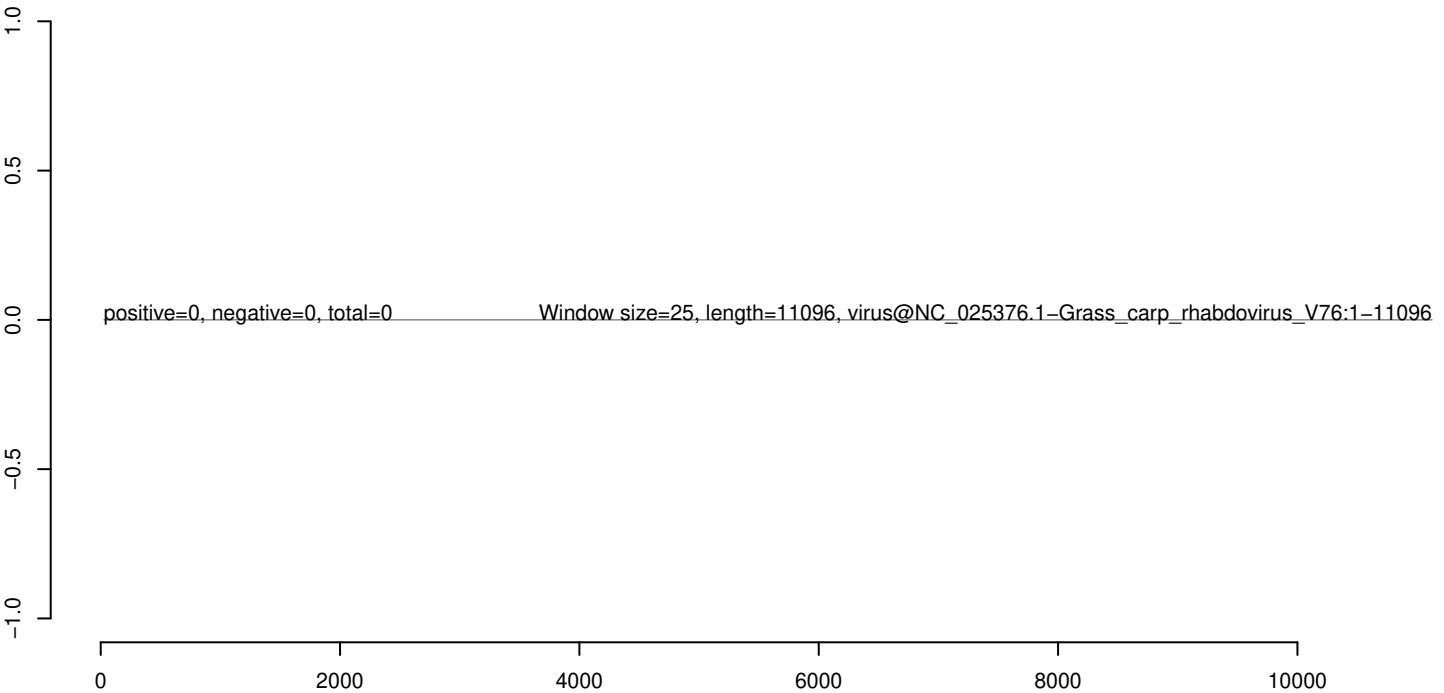
AeAeg_Aag2SINV_dsPiwi4.18_23.rep



AeAeg_Aag2SINV_dsPiwi4.24_35.rep



AeAeg_Aag2SINV_dsPiwi4.rep



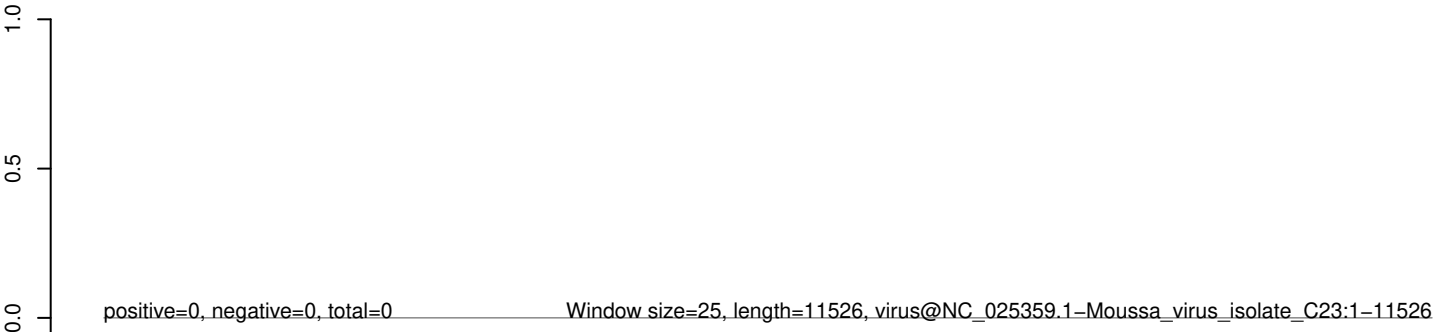
AeAeg_Aag2SINV_dsPiwi4.18_23.rep



AeAeg_Aag2SINV_dsPiwi4.24_35.rep



AeAeg_Aag2SINV_dsPiwi4.rep



0 2000 4000 6000 8000 10000 12000

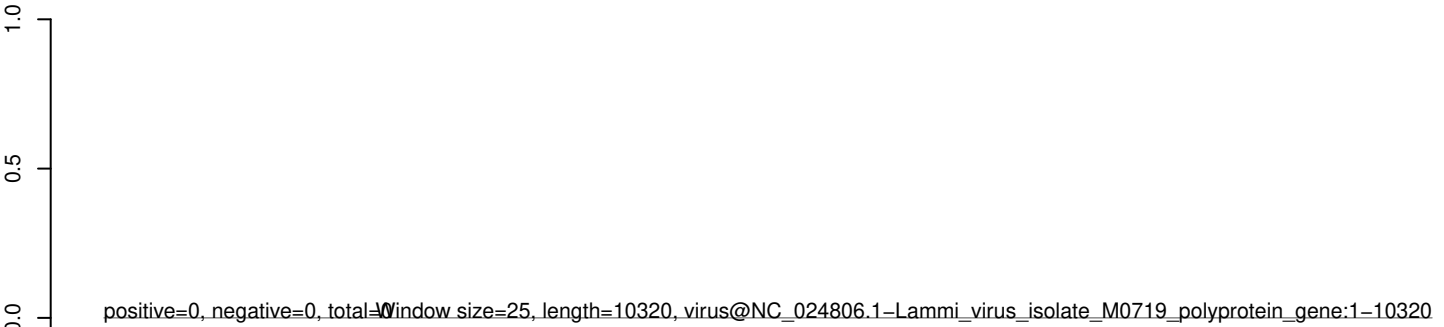
AeAeg_Aag2SINV_dsPiwi4.18_23.rep



AeAeg_Aag2SINV_dsPiwi4.24_35.rep



AeAeg_Aag2SINV_dsPiwi4.rep



0 2000 4000 6000 8000 10000

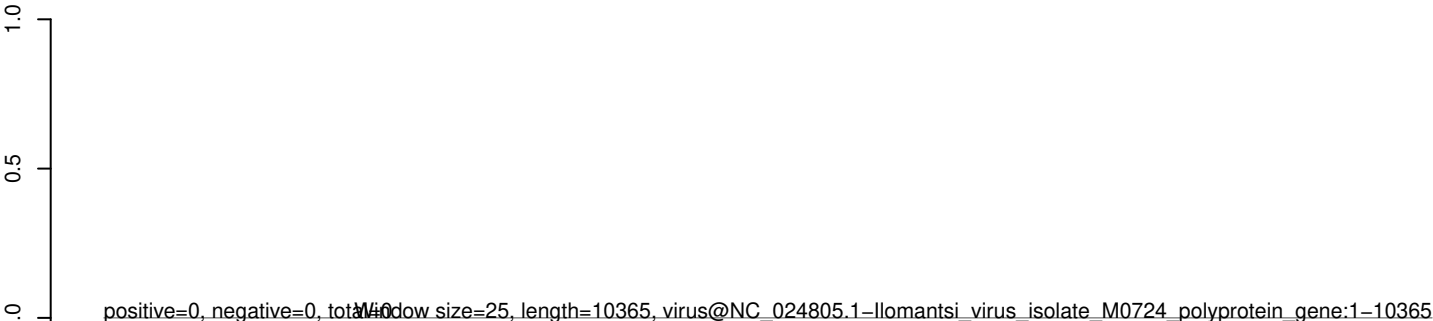
AeAeg_Aag2SINV_dsPiwi4.18_23.rep



AeAeg_Aag2SINV_dsPiwi4.24_35.rep



AeAeg_Aag2SINV_dsPiwi4.rep



0 2000 4000 6000 8000 10000

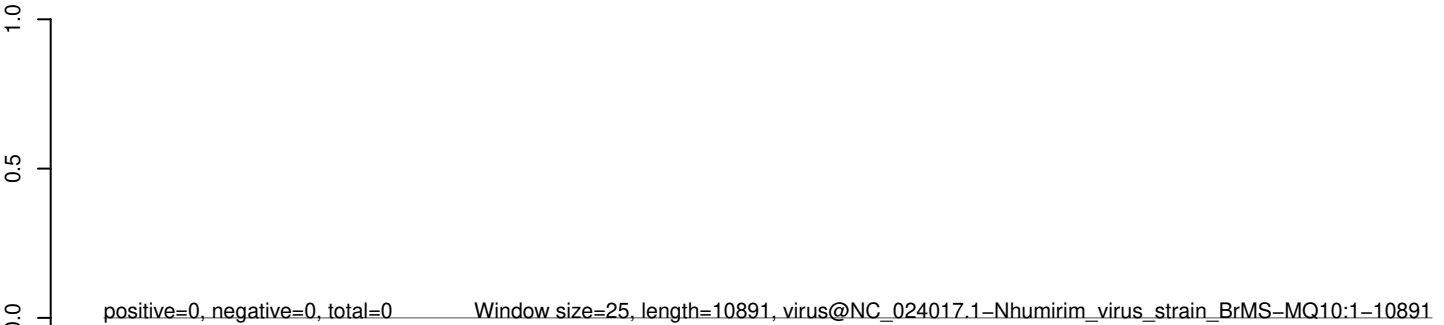
AeAeg_Aag2SINV_dsPiwi4.18_23.rep



AeAeg_Aag2SINV_dsPiwi4.24_35.rep



AeAeg_Aag2SINV_dsPiwi4.rep



0 2000 4000 6000 8000 10000

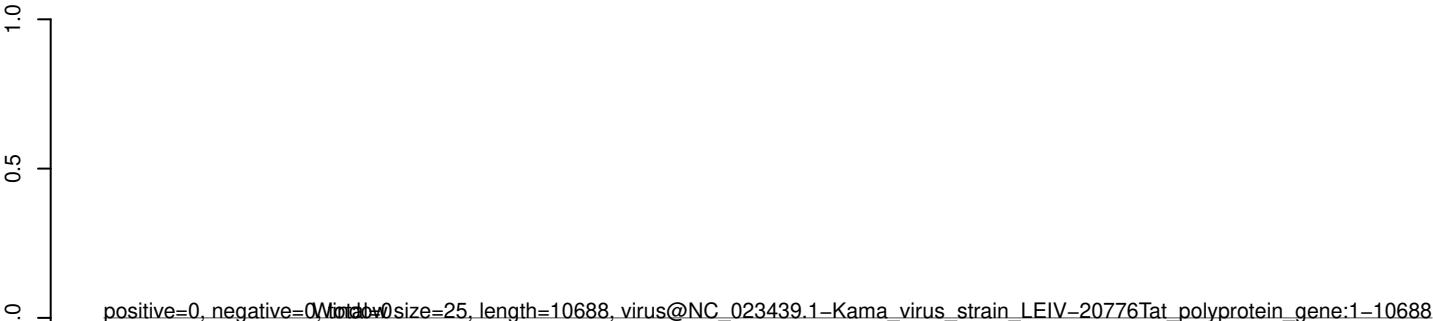
AeAeg_Aag2SINV_dsPiwi4.18_23.rep



AeAeg_Aag2SINV_dsPiwi4.24_35.rep



AeAeg_Aag2SINV_dsPiwi4.rep



0 2000 4000 6000 8000 10000

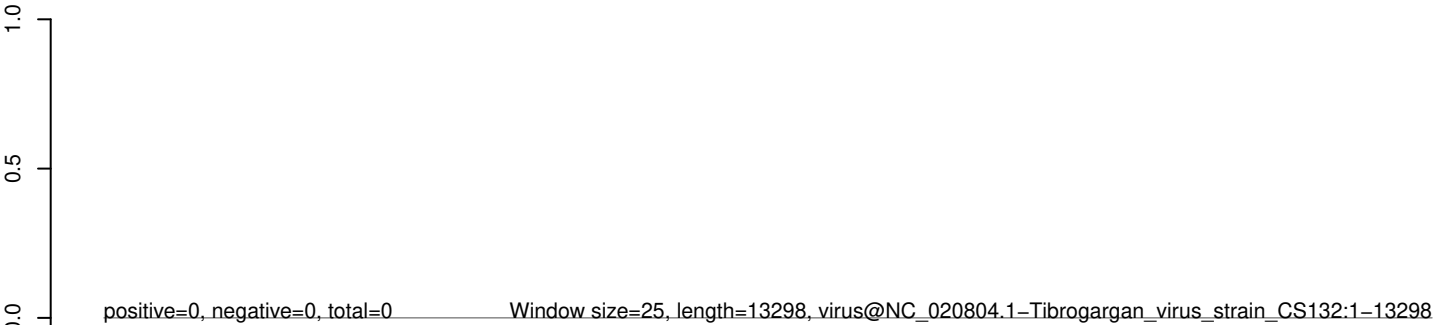
AeAeg_Aag2SINV_dsPiwi4.18_23.rep



AeAeg_Aag2SINV_dsPiwi4.24_35.rep



AeAeg_Aag2SINV_dsPiwi4.rep



0 2000 4000 6000 8000 10000 12000

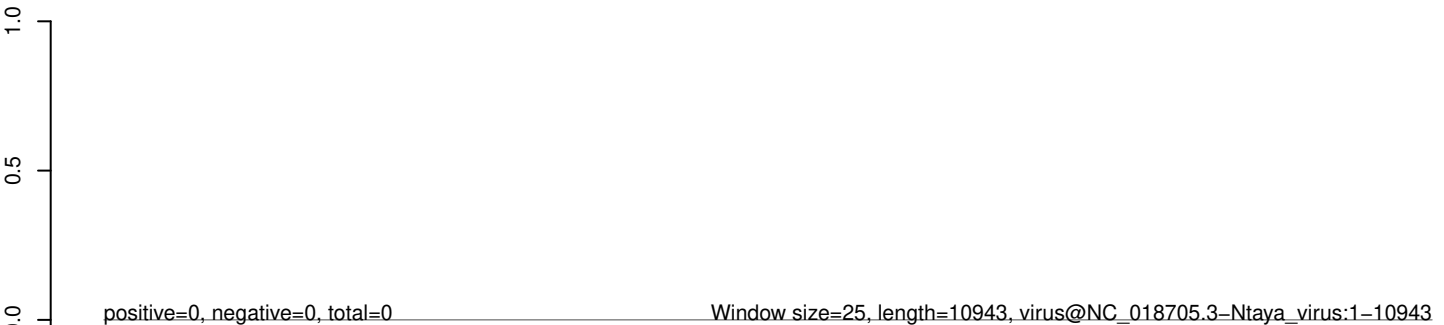
AeAeg_Aag2SINV_dsPiwi4.18_23.rep



AeAeg_Aag2SINV_dsPiwi4.24_35.rep



AeAeg_Aag2SINV_dsPiwi4.rep



0 2000 4000 6000 8000 10000

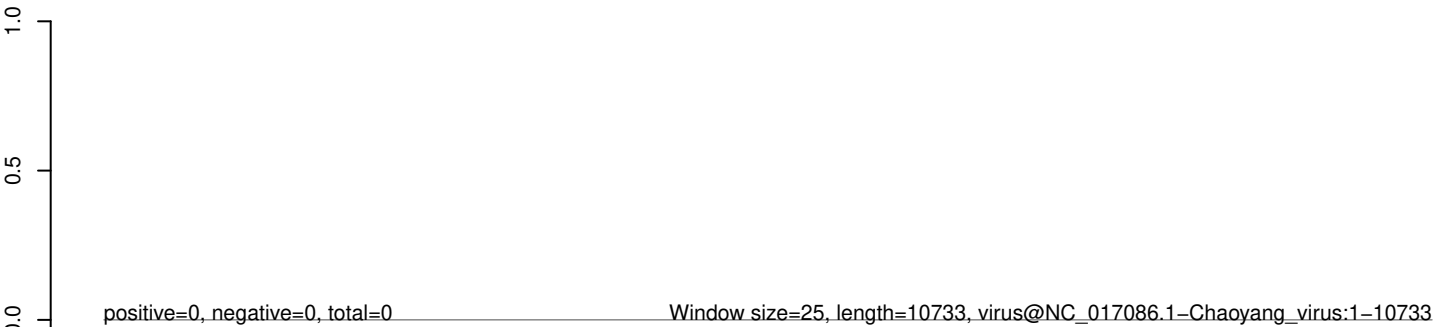
AeAeg_Aag2SINV_dsPiwi4.18_23.rep



AeAeg_Aag2SINV_dsPiwi4.24_35.rep



AeAeg_Aag2SINV_dsPiwi4.rep



0 2000 4000 6000 8000 10000

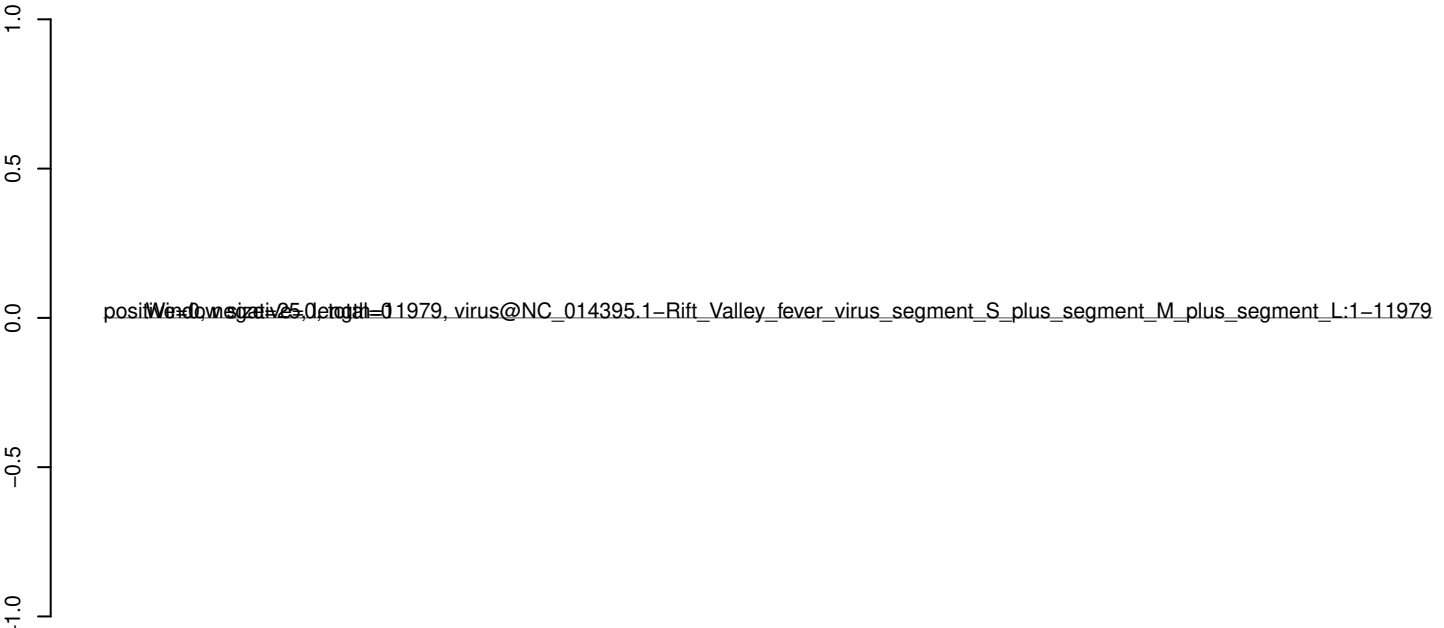
AeAeg_Aag2SINV_dsPiwi4.18_23.rep



AeAeg_Aag2SINV_dsPiwi4.24_35.rep



AeAeg_Aag2SINV_dsPiwi4.rep



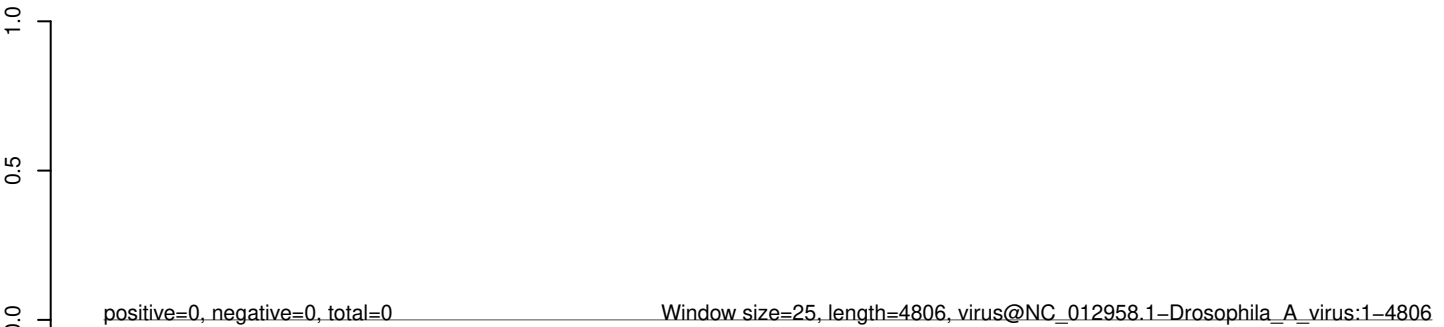
AeAeg_Aag2SINV_dsPiwi4.18_23.rep



AeAeg_Aag2SINV_dsPiwi4.24_35.rep



AeAeg_Aag2SINV_dsPiwi4.rep



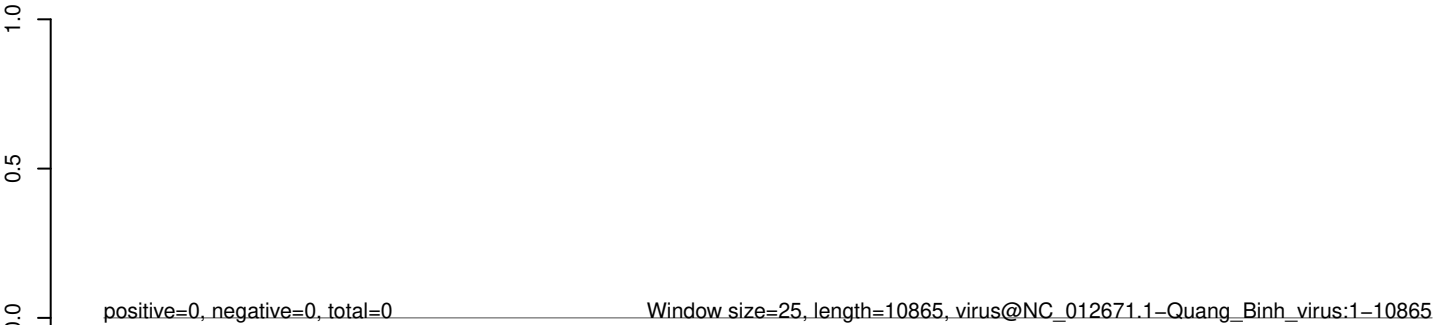
AeAeg_Aag2SINV_dsPiwi4.18_23.rep



AeAeg_Aag2SINV_dsPiwi4.24_35.rep



AeAeg_Aag2SINV_dsPiwi4.rep



0 2000 4000 6000 8000 10000

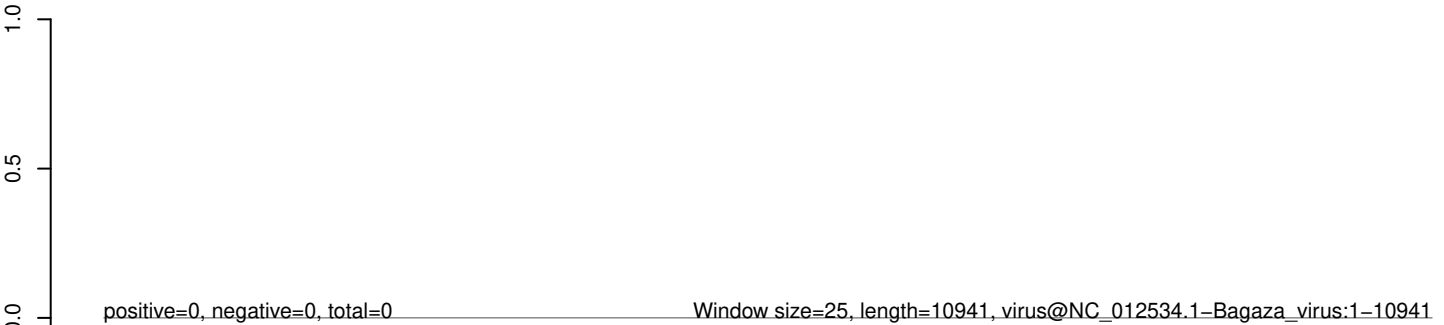
AeAeg_Aag2SINV_dsPiwi4.18_23.rep



AeAeg_Aag2SINV_dsPiwi4.24_35.rep



AeAeg_Aag2SINV_dsPiwi4.rep



0 2000 4000 6000 8000 10000

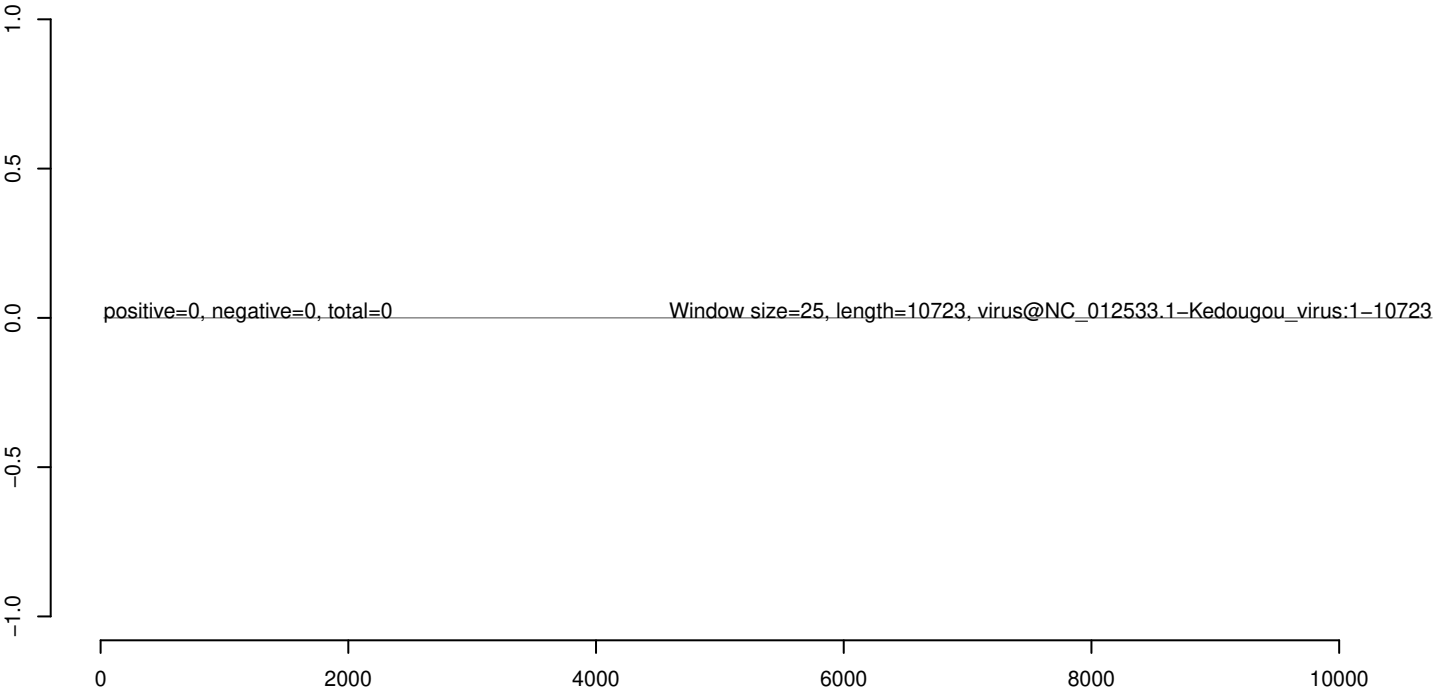
AeAeg_Aag2SINV_dsPiwi4.18_23.rep



AeAeg_Aag2SINV_dsPiwi4.24_35.rep



AeAeg_Aag2SINV_dsPiwi4.rep



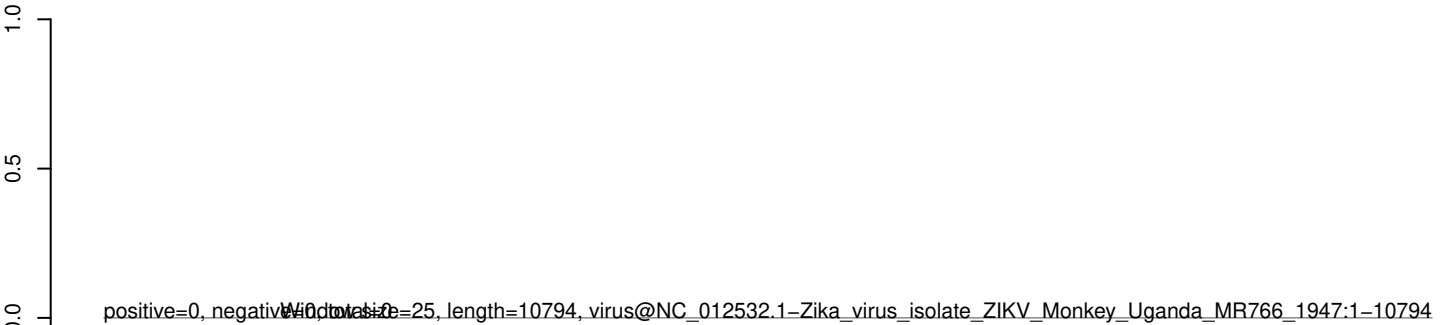
AeAeg_Aag2SINV_dsPiwi4.18_23.rep



AeAeg_Aag2SINV_dsPiwi4.24_35.rep



AeAeg_Aag2SINV_dsPiwi4.rep



0 2000 4000 6000 8000 10000

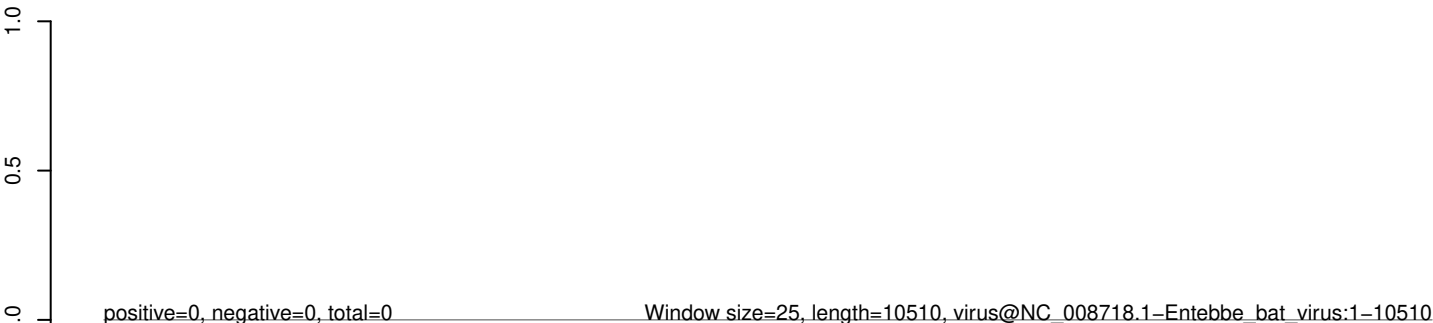
AeAeg_Aag2SINV_dsPiwi4.18_23.rep



AeAeg_Aag2SINV_dsPiwi4.24_35.rep



AeAeg_Aag2SINV_dsPiwi4.rep



0 2000 4000 6000 8000 10000

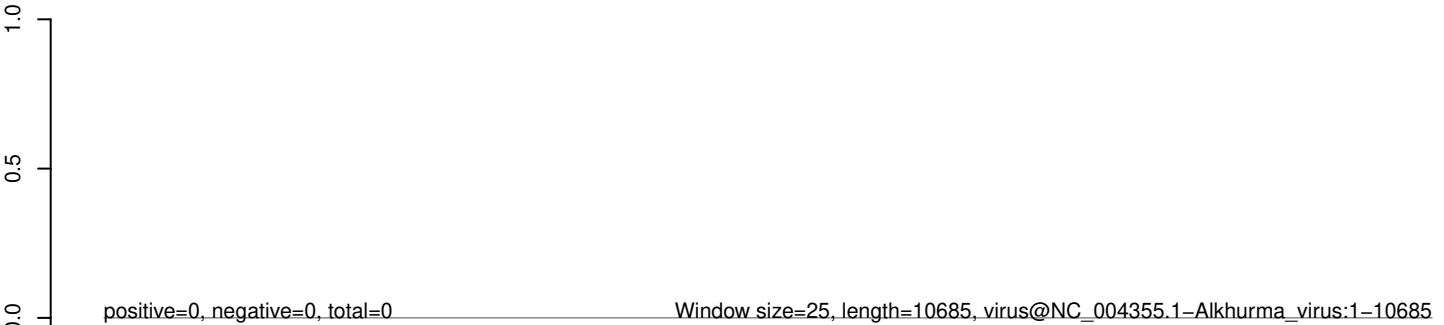
AeAeg_Aag2SINV_dsPiwi4.18_23.rep



AeAeg_Aag2SINV_dsPiwi4.24_35.rep



AeAeg_Aag2SINV_dsPiwi4.rep



0 2000 4000 6000 8000 10000

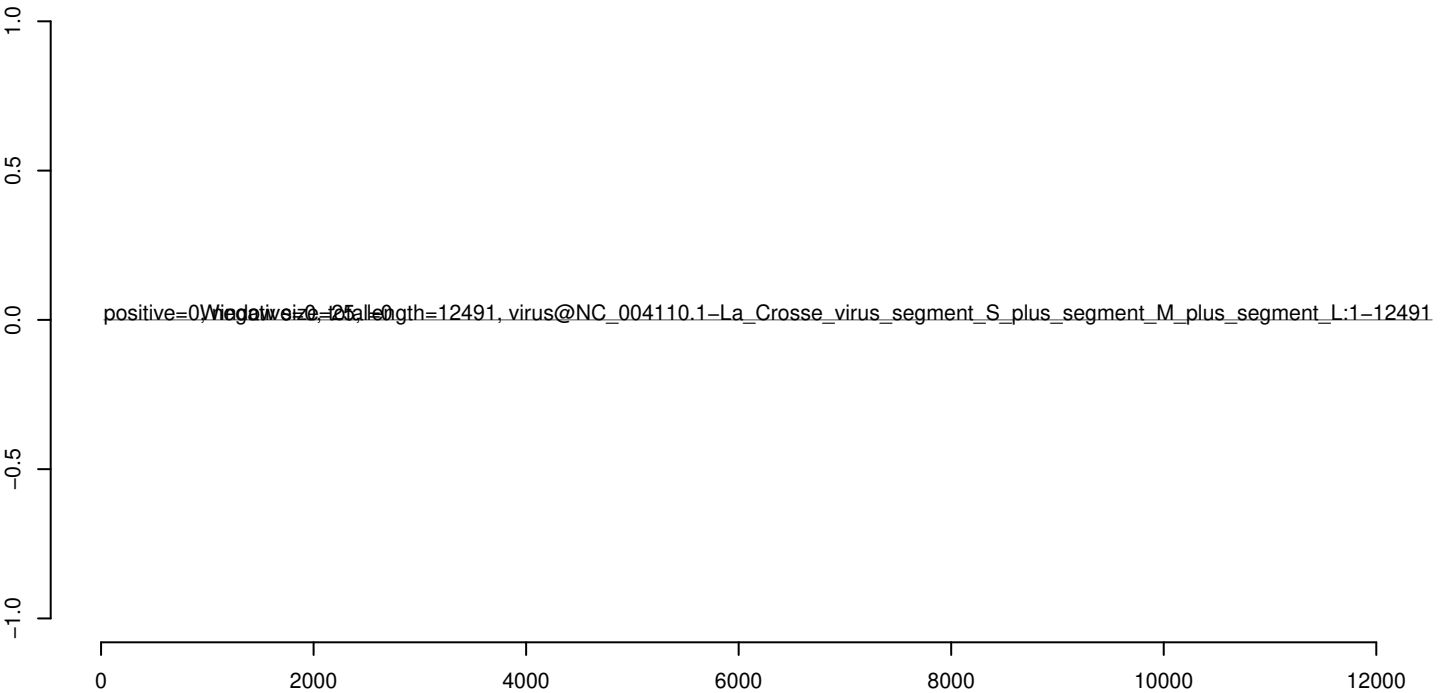
AeAeg_Aag2SINV_dsPiwi4.18_23.rep



AeAeg_Aag2SINV_dsPiwi4.24_35.rep



AeAeg_Aag2SINV_dsPiwi4.rep



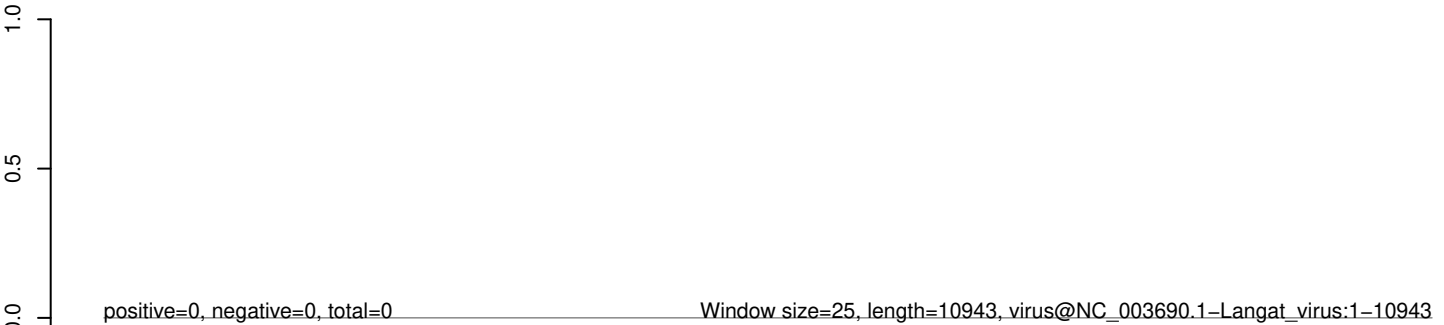
AeAeg_Aag2SINV_dsPiwi4.18_23.rep



AeAeg_Aag2SINV_dsPiwi4.24_35.rep



AeAeg_Aag2SINV_dsPiwi4.rep



0 2000 4000 6000 8000 10000

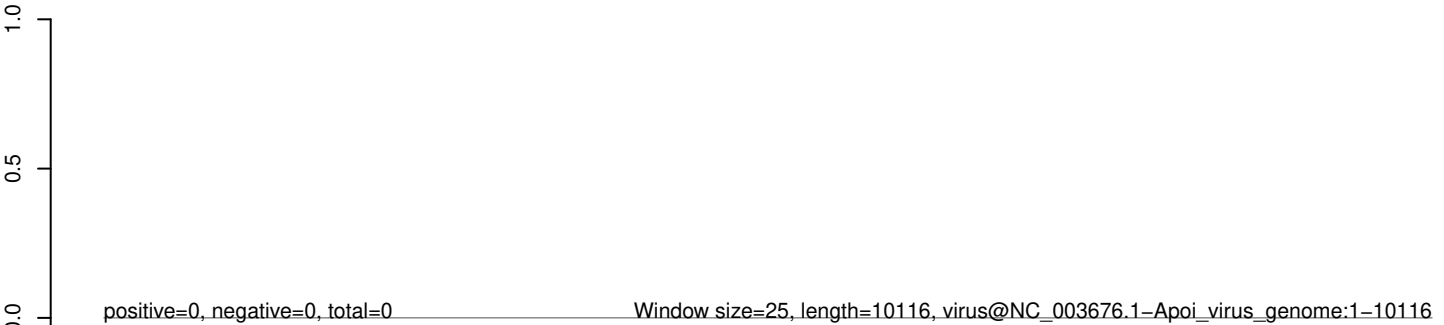
AeAeg_Aag2SINV_dsPiwi4.18_23.rep



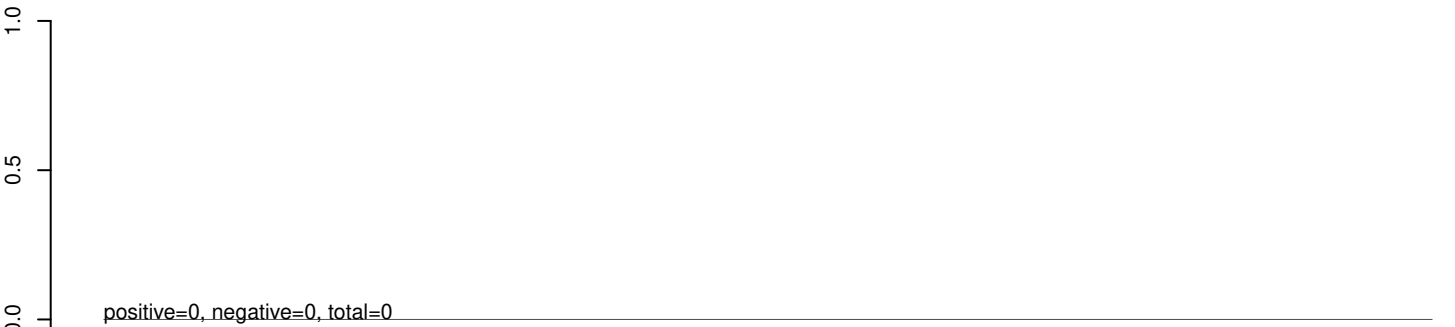
AeAeg_Aag2SINV_dsPiwi4.24_35.rep



AeAeg_Aag2SINV_dsPiwi4.rep



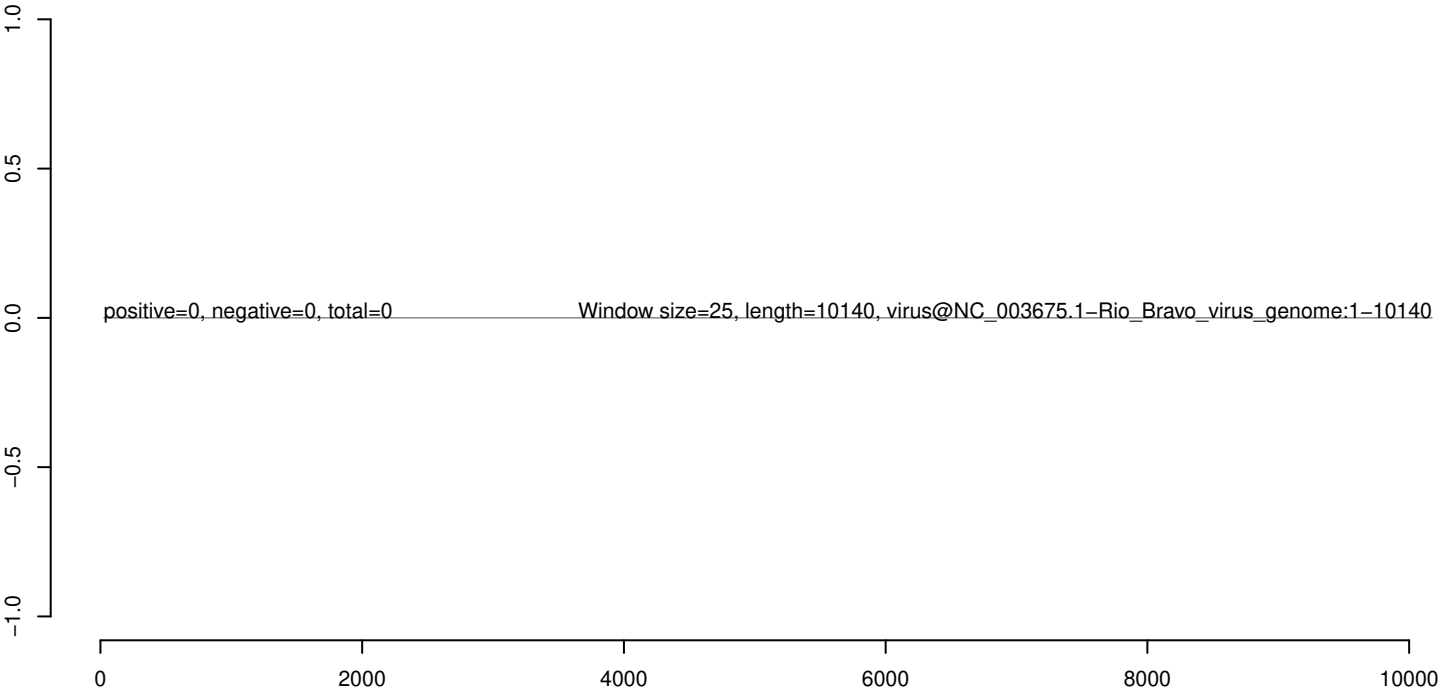
AeAeg_Aag2SINV_dsPiwi4.18_23.rep



AeAeg_Aag2SINV_dsPiwi4.24_35.rep



AeAeg_Aag2SINV_dsPiwi4.rep



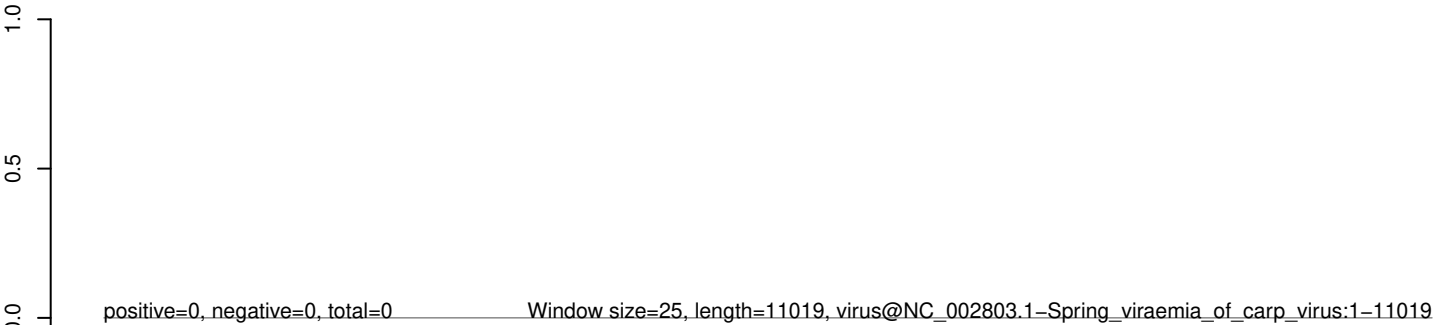
AeAeg_Aag2SINV_dsPiwi4.18_23.rep



AeAeg_Aag2SINV_dsPiwi4.24_35.rep



AeAeg_Aag2SINV_dsPiwi4.rep



0 2000 4000 6000 8000 10000

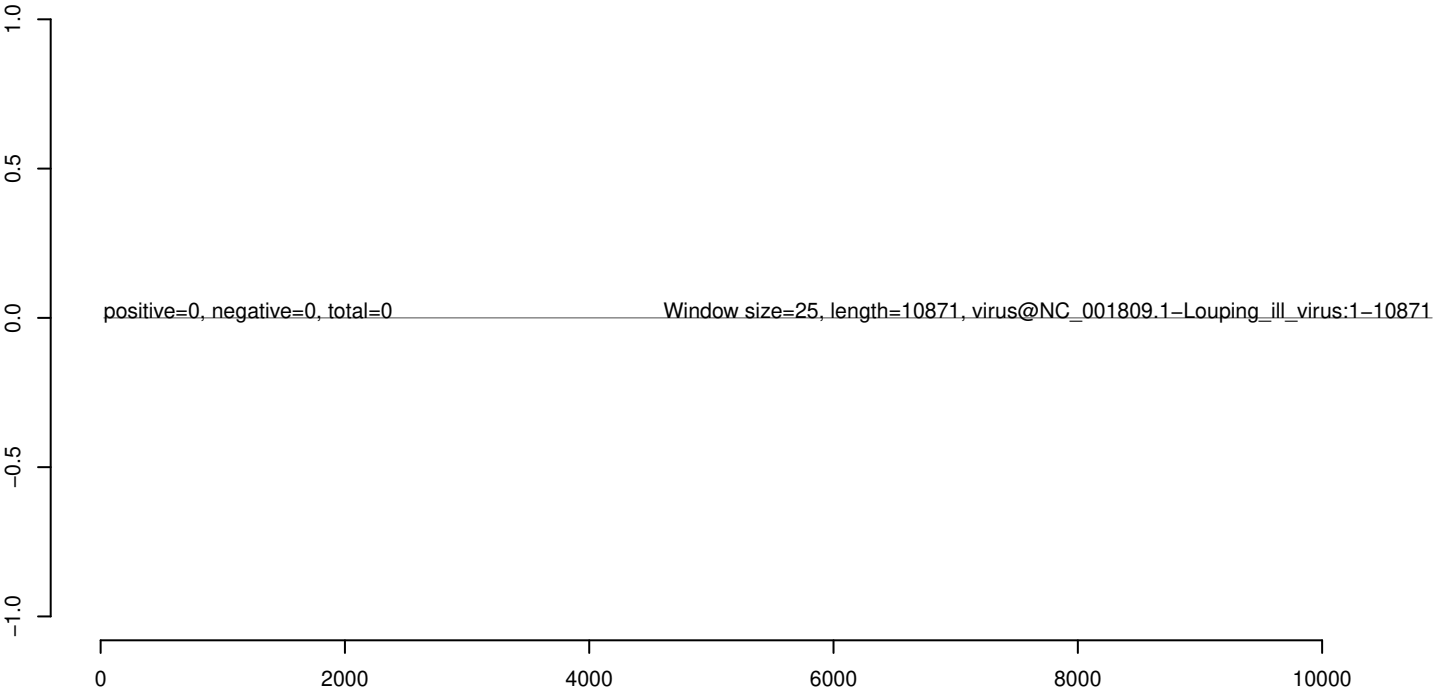
AeAeg_Aag2SINV_dsPiwi4.18_23.rep



AeAeg_Aag2SINV_dsPiwi4.24_35.rep



AeAeg_Aag2SINV_dsPiwi4.rep



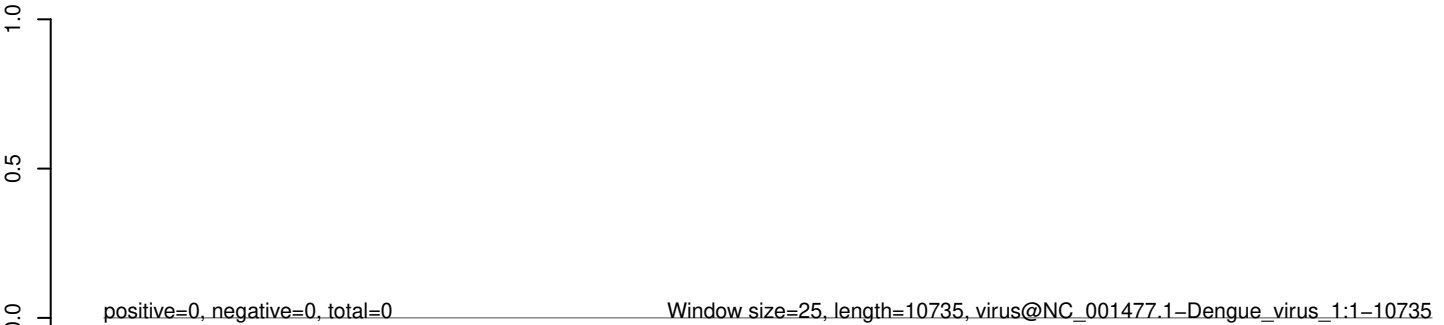
AeAeg_Aag2SINV_dsPiwi4.18_23.rep



AeAeg_Aag2SINV_dsPiwi4.24_35.rep



AeAeg_Aag2SINV_dsPiwi4.rep



0 2000 4000 6000 8000 10000

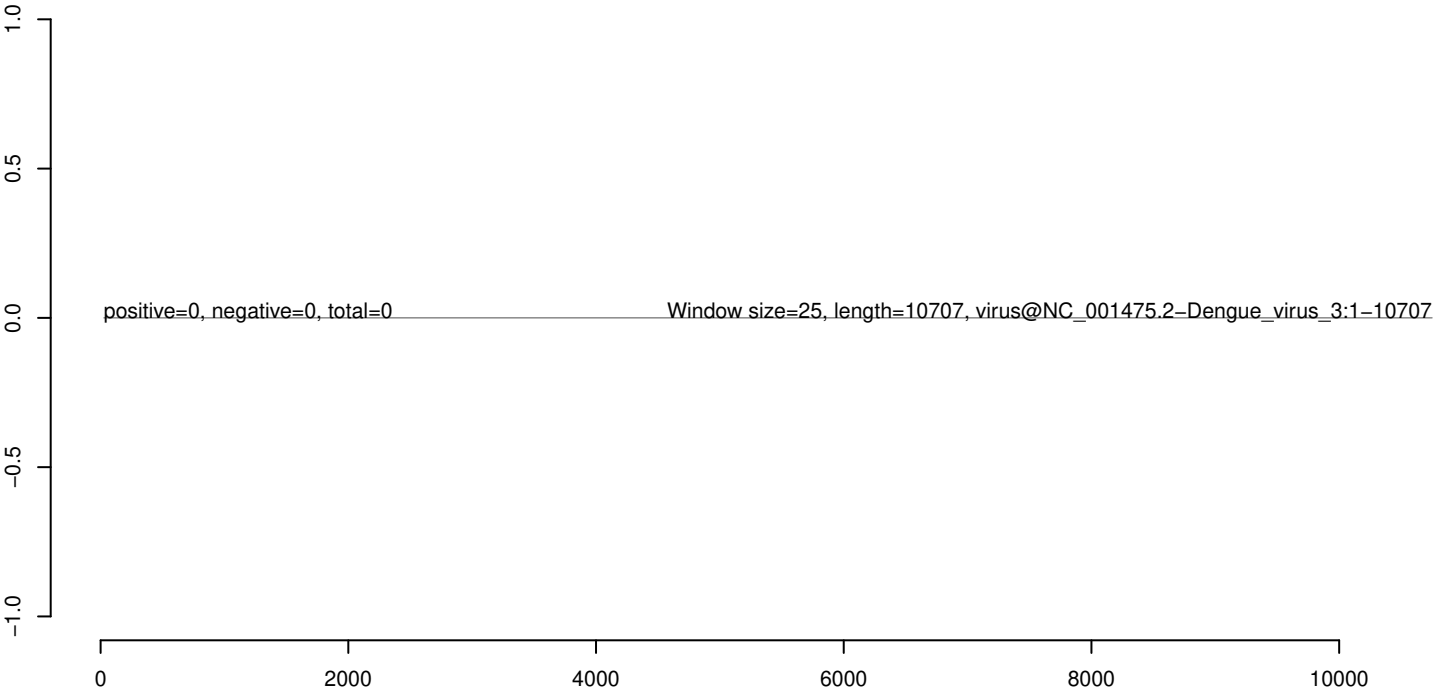
AeAeg_Aag2SINV_dsPiwi4.18_23.rep



AeAeg_Aag2SINV_dsPiwi4.24_35.rep



AeAeg_Aag2SINV_dsPiwi4.rep



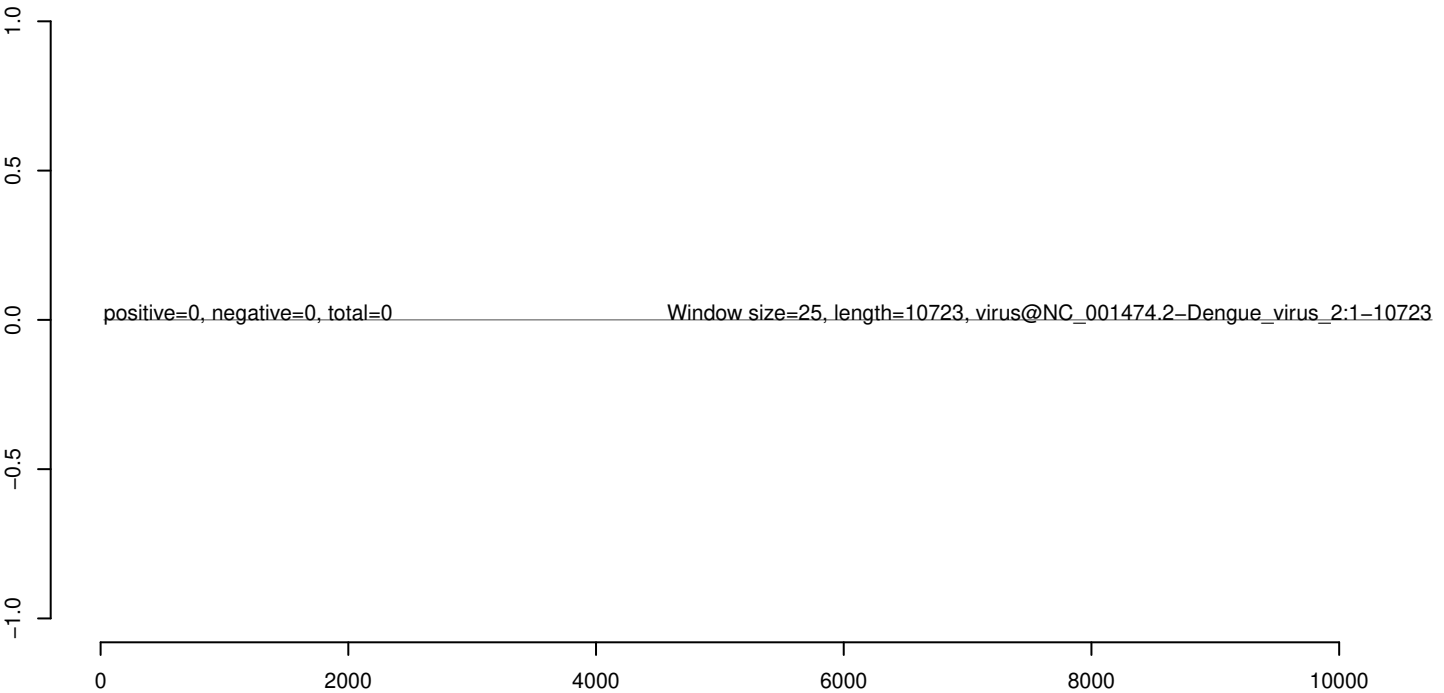
AeAeg_Aag2SINV_dsPiwi4.18_23.rep



AeAeg_Aag2SINV_dsPiwi4.24_35.rep



AeAeg_Aag2SINV_dsPiwi4.rep



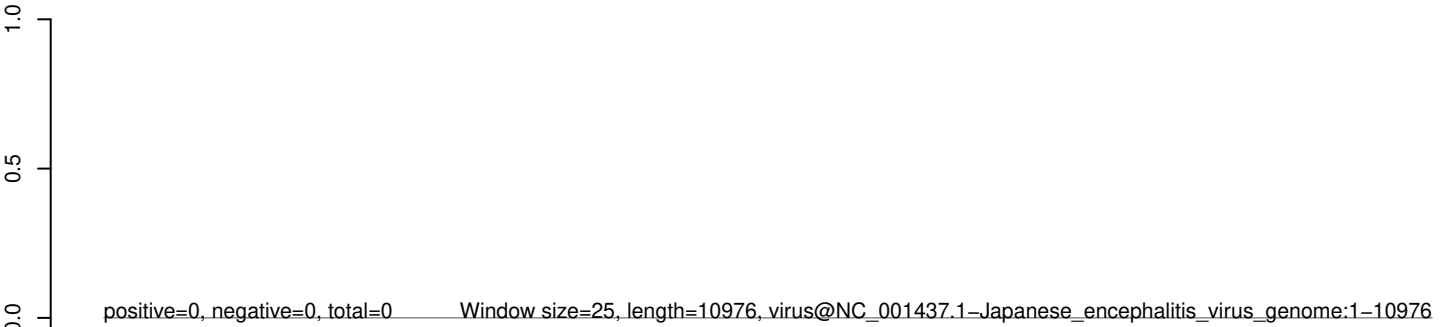
AeAeg_Aag2SINV_dsPiwi4.18_23.rep



AeAeg_Aag2SINV_dsPiwi4.24_35.rep



AeAeg_Aag2SINV_dsPiwi4.rep



0 2000 4000 6000 8000 10000

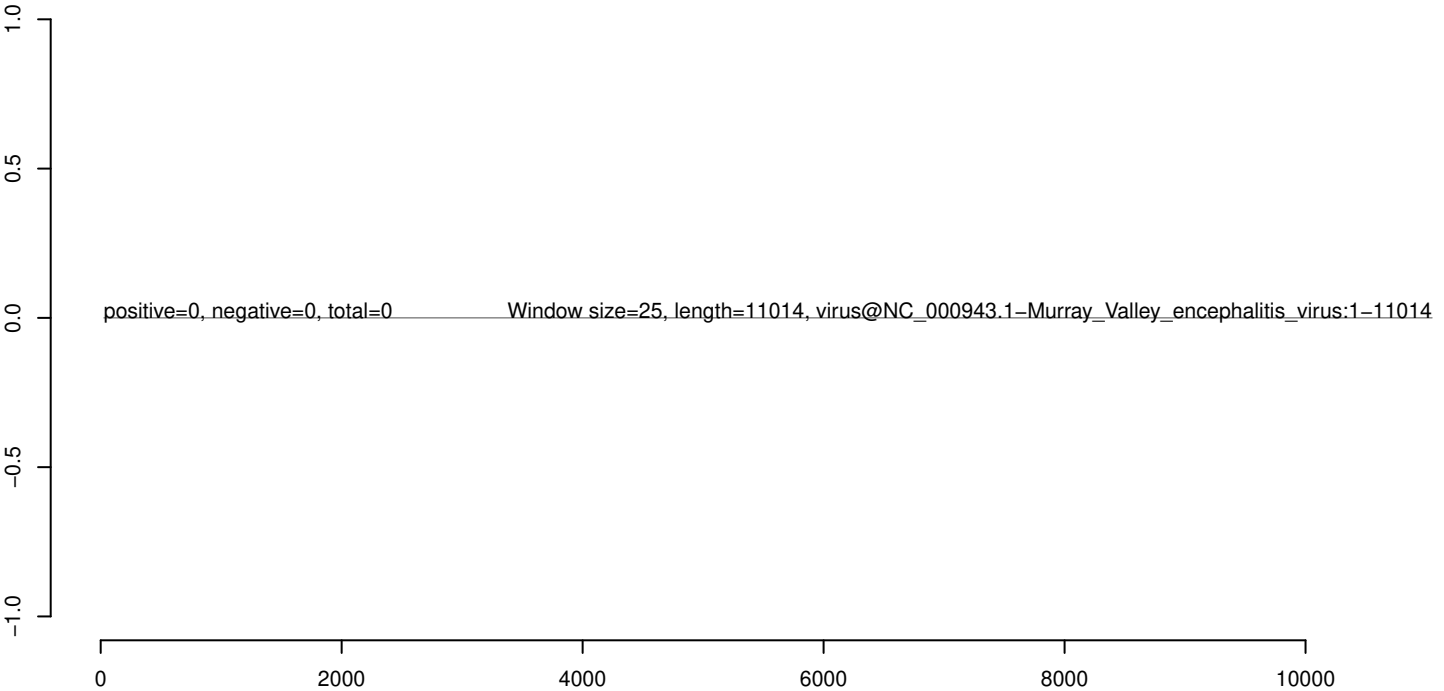
AeAeg_Aag2SINV_dsPiwi4.18_23.rep



AeAeg_Aag2SINV_dsPiwi4.24_35.rep



AeAeg_Aag2SINV_dsPiwi4.rep



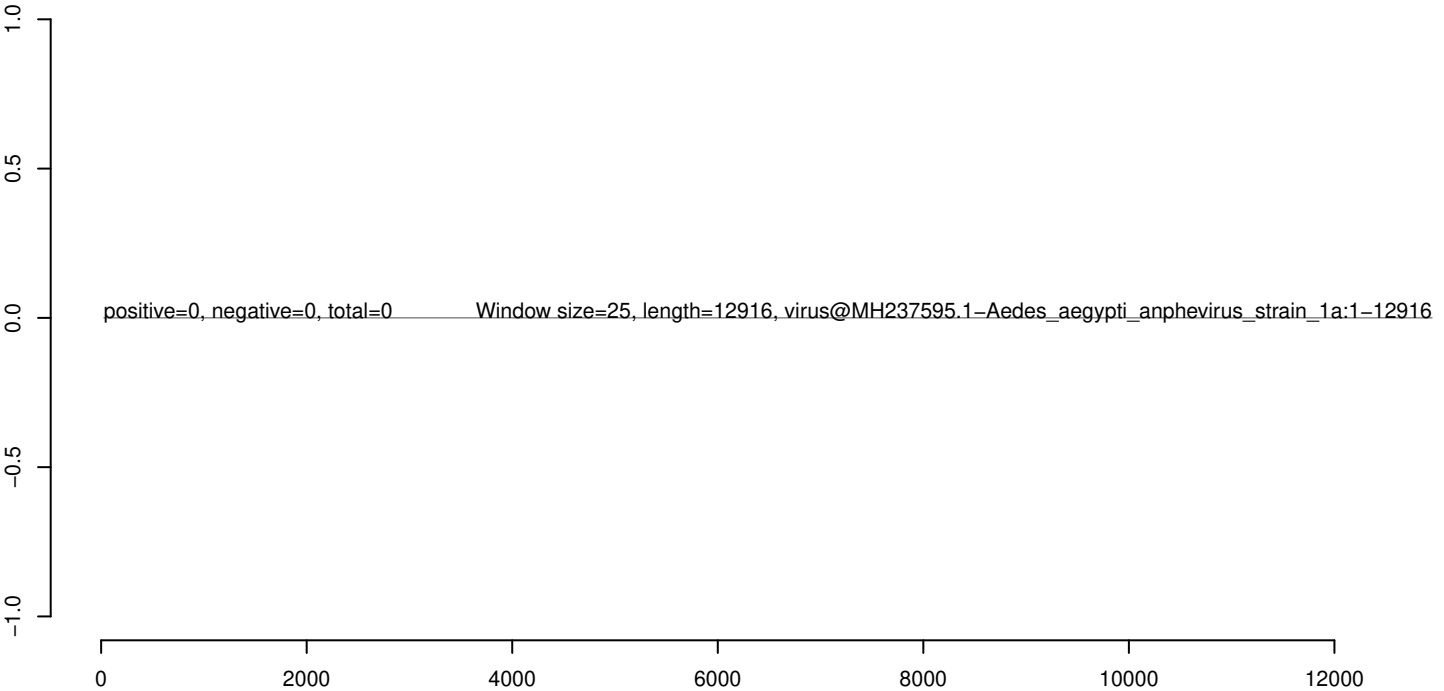
AeAeg_Aag2SINV_dsPiwi4.18_23.rep



AeAeg_Aag2SINV_dsPiwi4.24_35.rep



AeAeg_Aag2SINV_dsPiwi4.rep



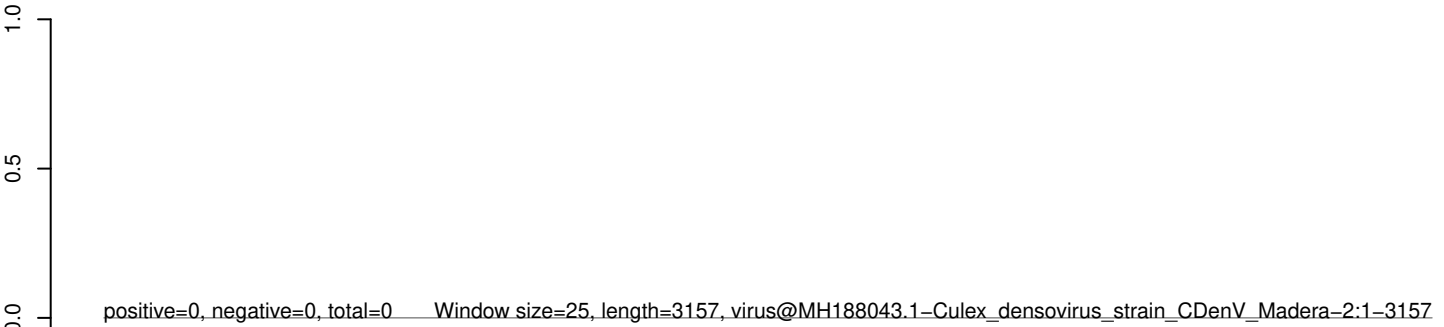
AeAeg_Aag2SINV_dsPiwi4.18_23.rep



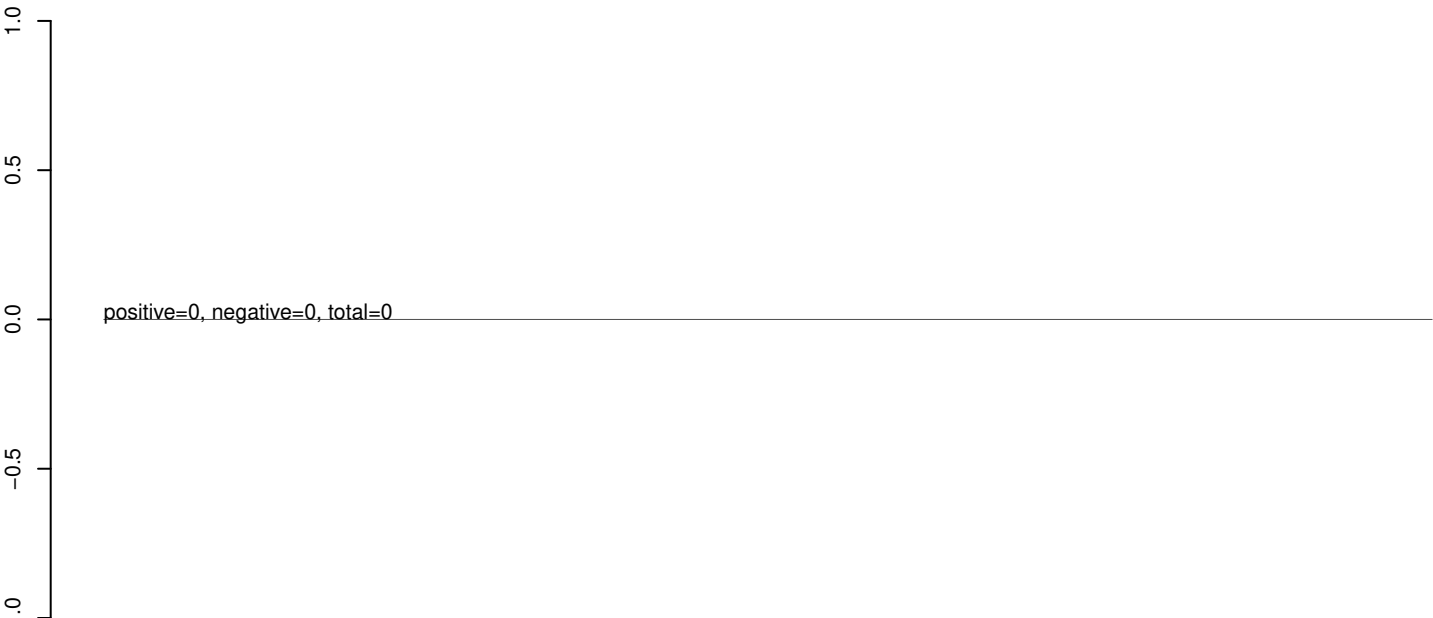
AeAeg_Aag2SINV_dsPiwi4.24_35.rep



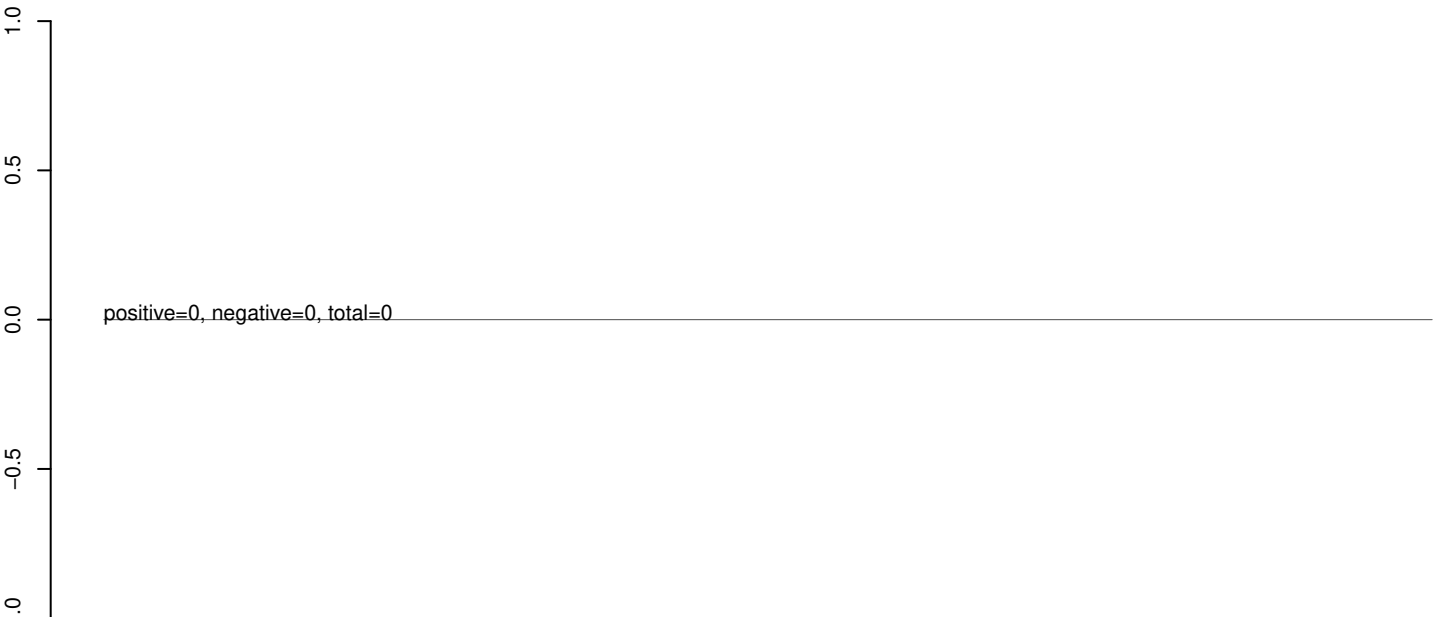
AeAeg_Aag2SINV_dsPiwi4.rep



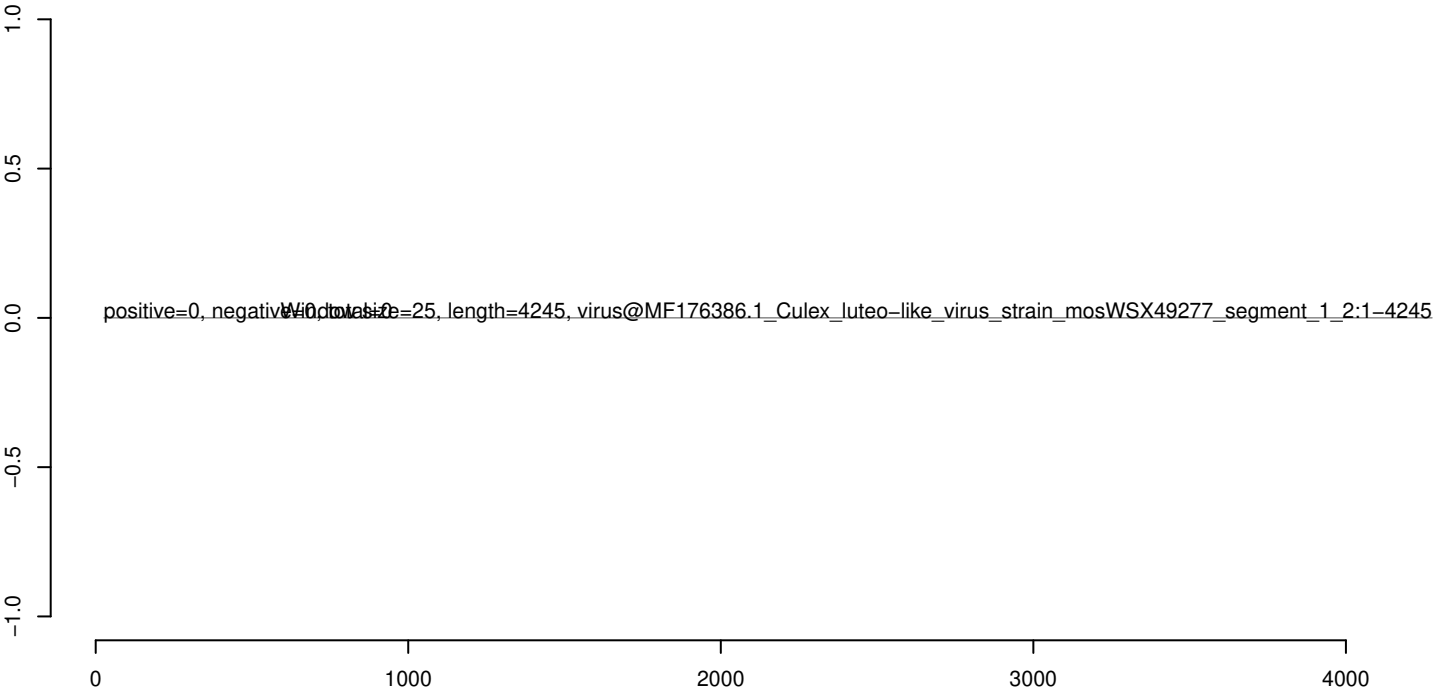
AeAeg_Aag2SINV_dsPiwi4.18_23.rep



AeAeg_Aag2SINV_dsPiwi4.24_35.rep



AeAeg_Aag2SINV_dsPiwi4.rep



AeAeg_Aag2SINV_dsPiwi4.18_23.rep



AeAeg_Aag2SINV_dsPiwi4.24_35.rep



AeAeg_Aag2SINV_dsPiwi4.rep



0 1000 2000 3000 4000 5000 6000

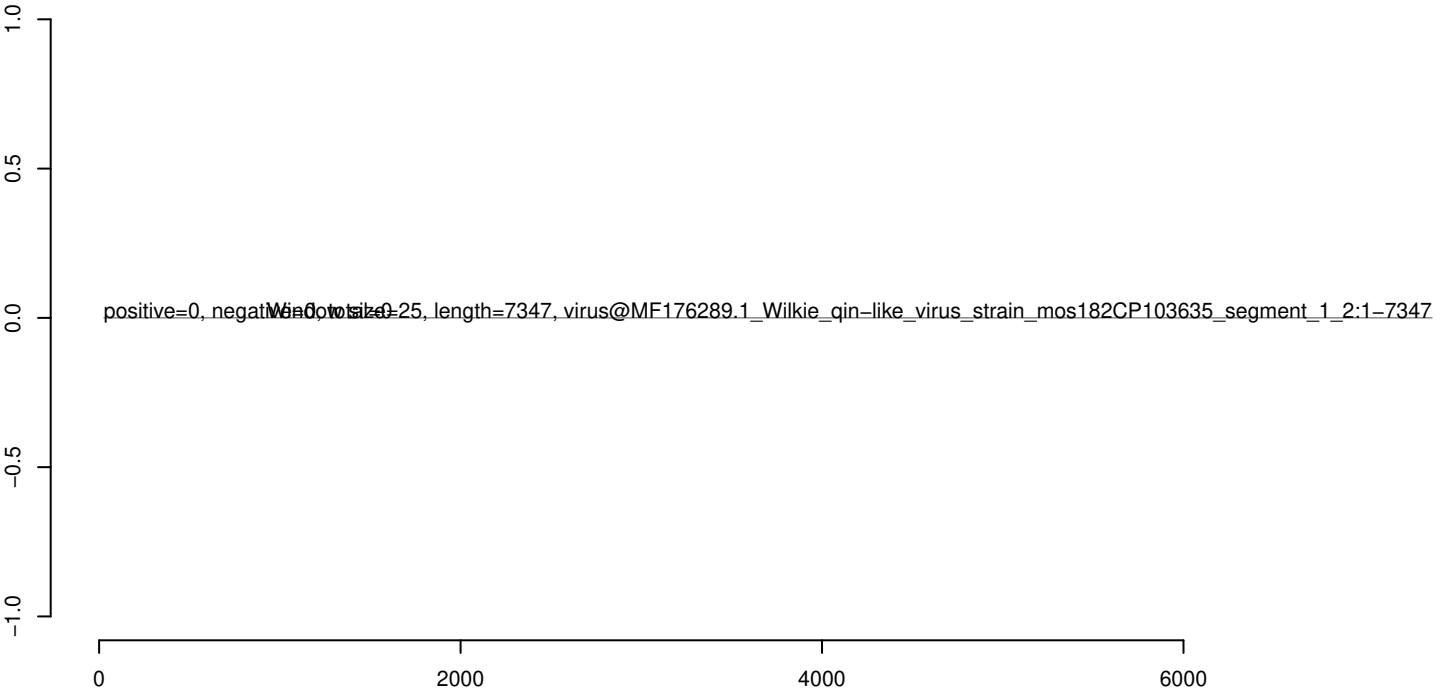
AeAeg_Aag2SINV_dsPiwi4.18_23.rep



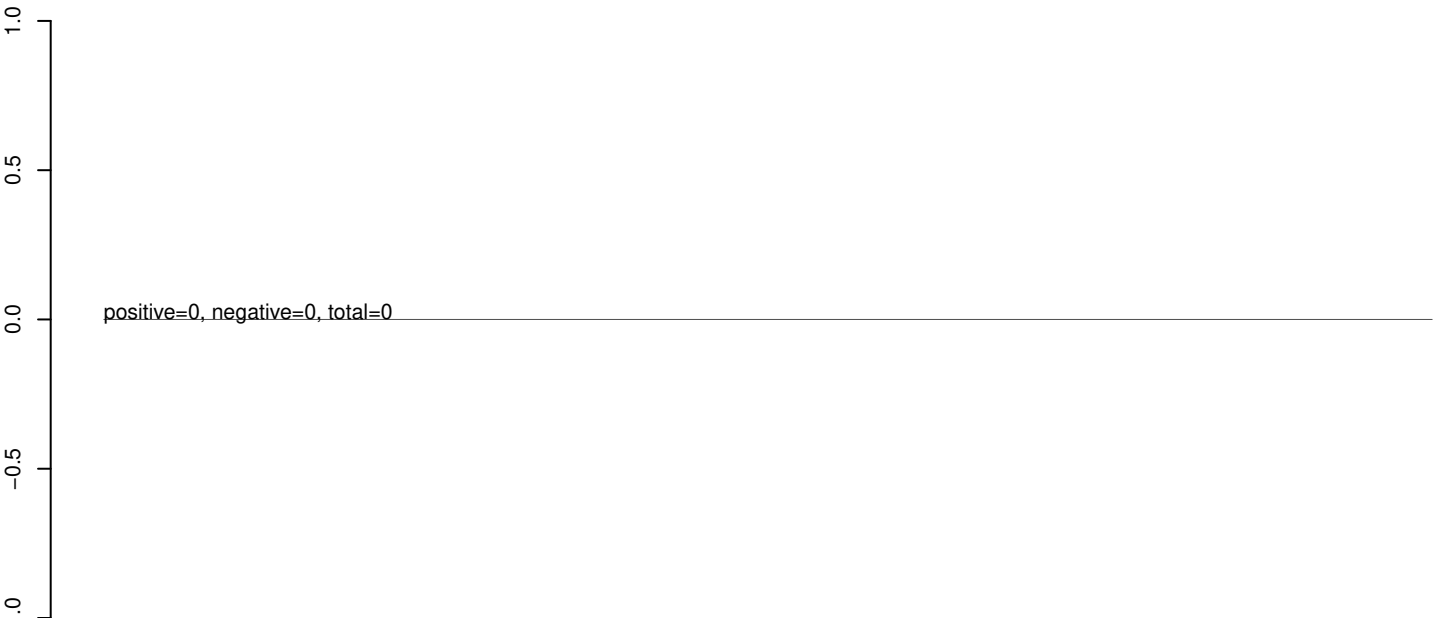
AeAeg_Aag2SINV_dsPiwi4.24_35.rep



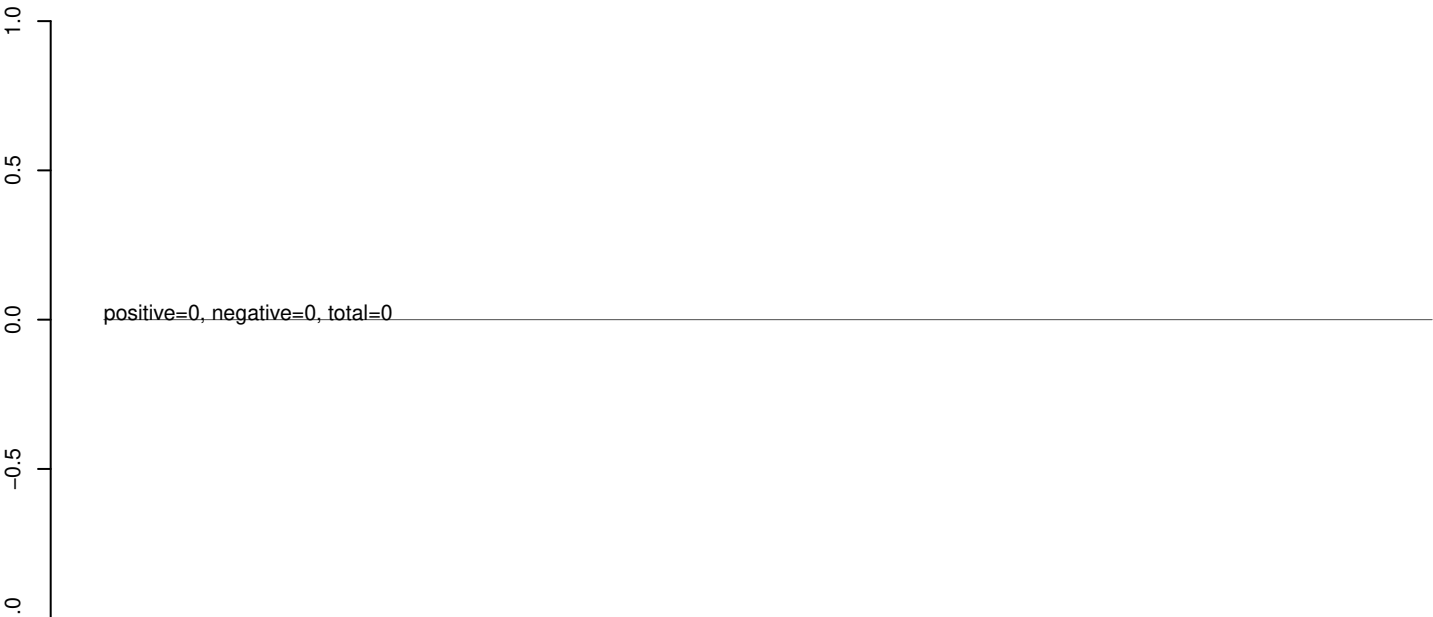
AeAeg_Aag2SINV_dsPiwi4.rep



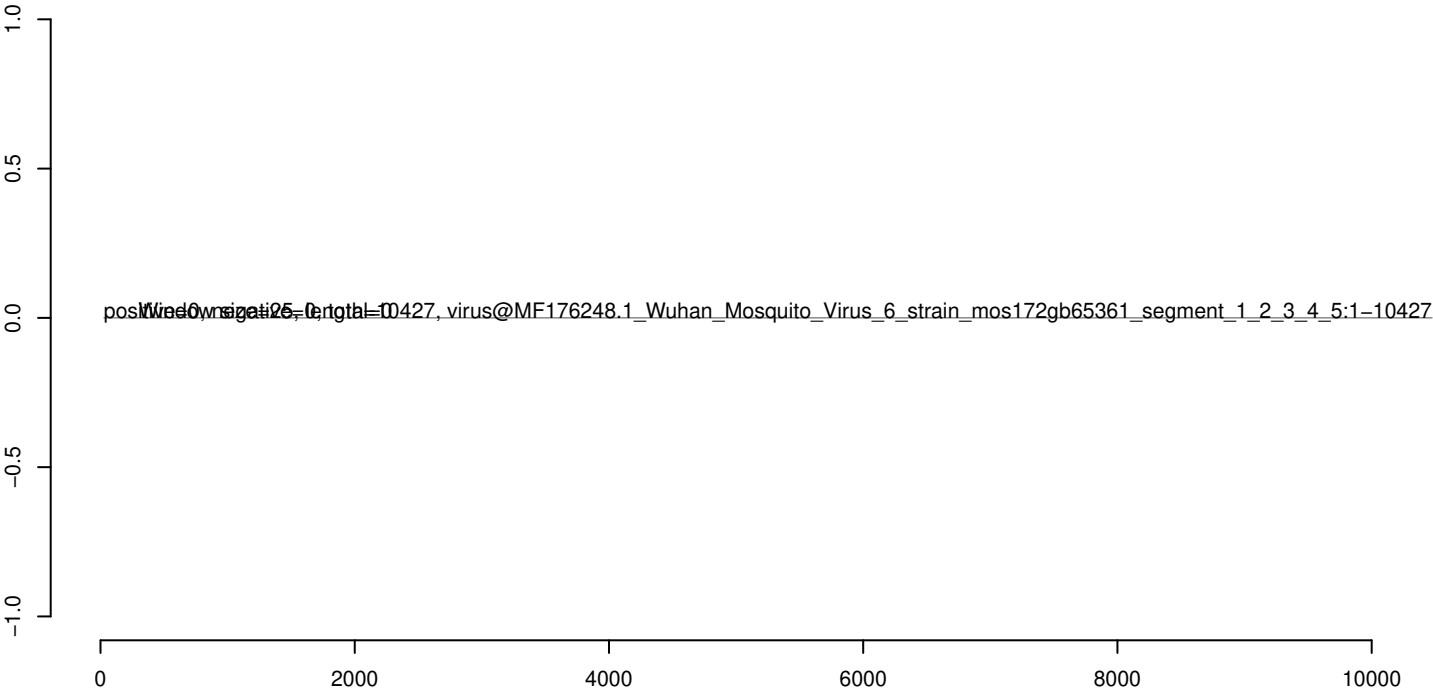
AeAeg_Aag2SINV_dsPiwi4.18_23.rep



AeAeg_Aag2SINV_dsPiwi4.24_35.rep



AeAeg_Aag2SINV_dsPiwi4.rep



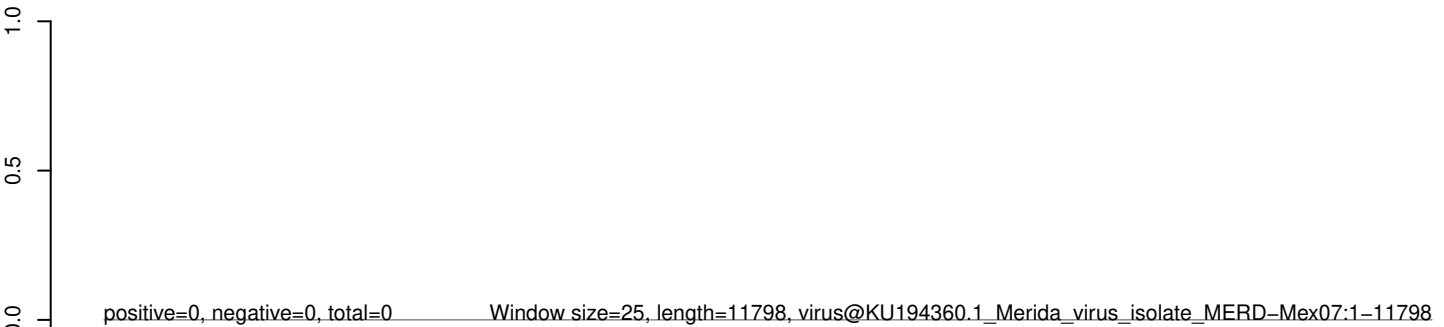
AeAeg_Aag2SINV_dsPiwi4.18_23.rep



AeAeg_Aag2SINV_dsPiwi4.24_35.rep



AeAeg_Aag2SINV_dsPiwi4.rep



0 2000 4000 6000 8000 10000 12000

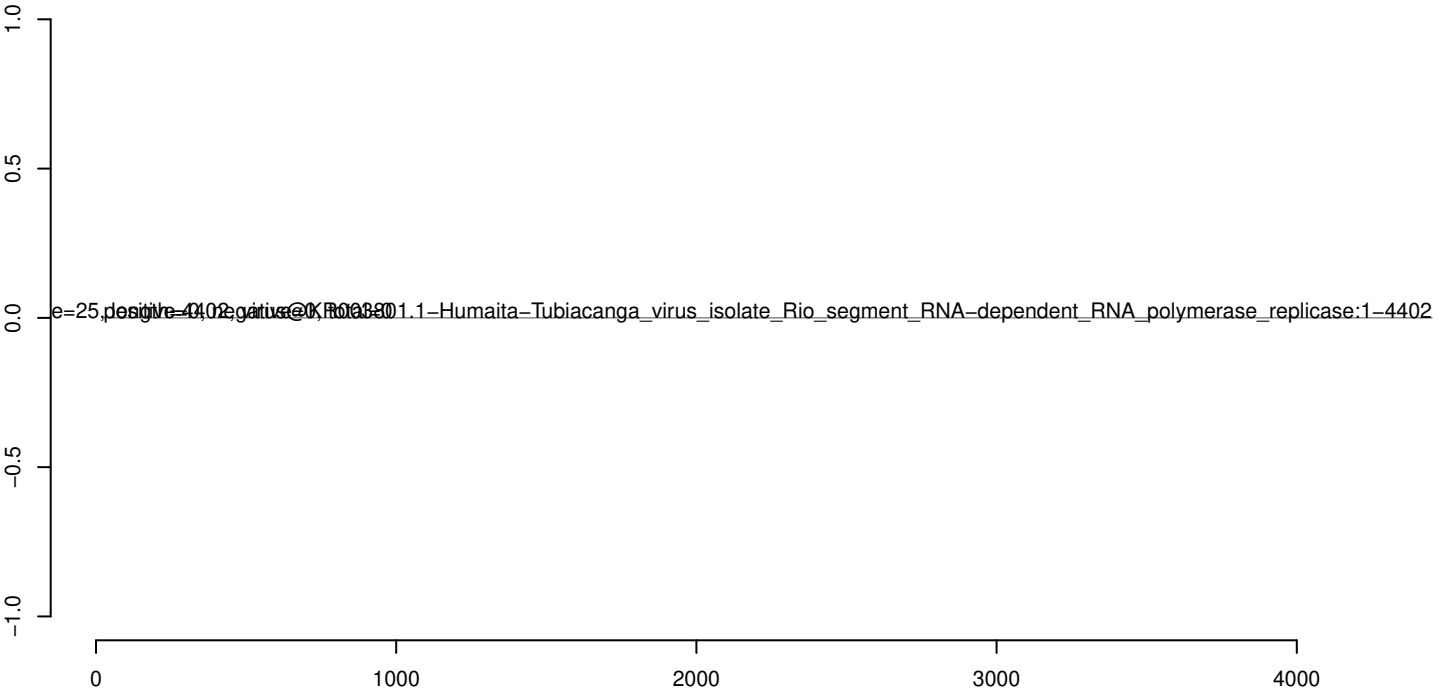
AeAeg_Aag2SINV_dsPiwi4.18_23.rep



AeAeg_Aag2SINV_dsPiwi4.24_35.rep



AeAeg_Aag2SINV_dsPiwi4.rep



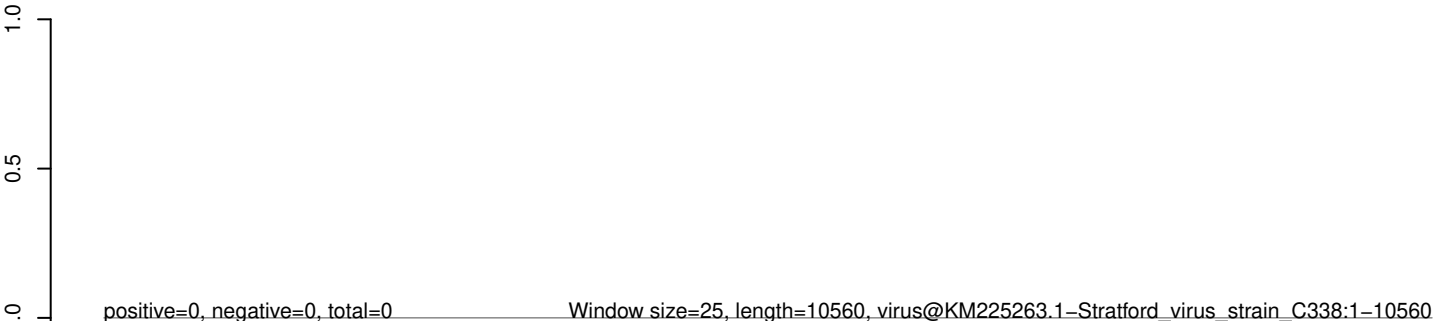
AeAeg_Aag2SINV_dsPiwi4.18_23.rep



AeAeg_Aag2SINV_dsPiwi4.24_35.rep



AeAeg_Aag2SINV_dsPiwi4.rep

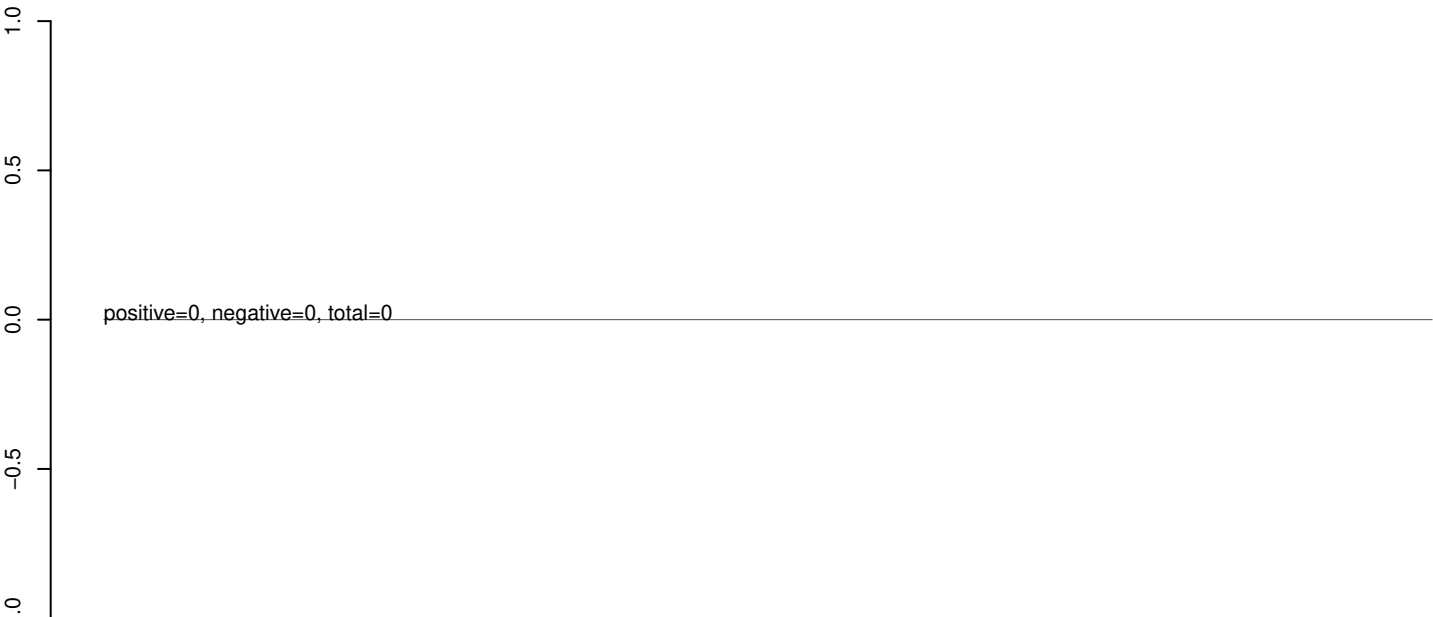


0 2000 4000 6000 8000 10000

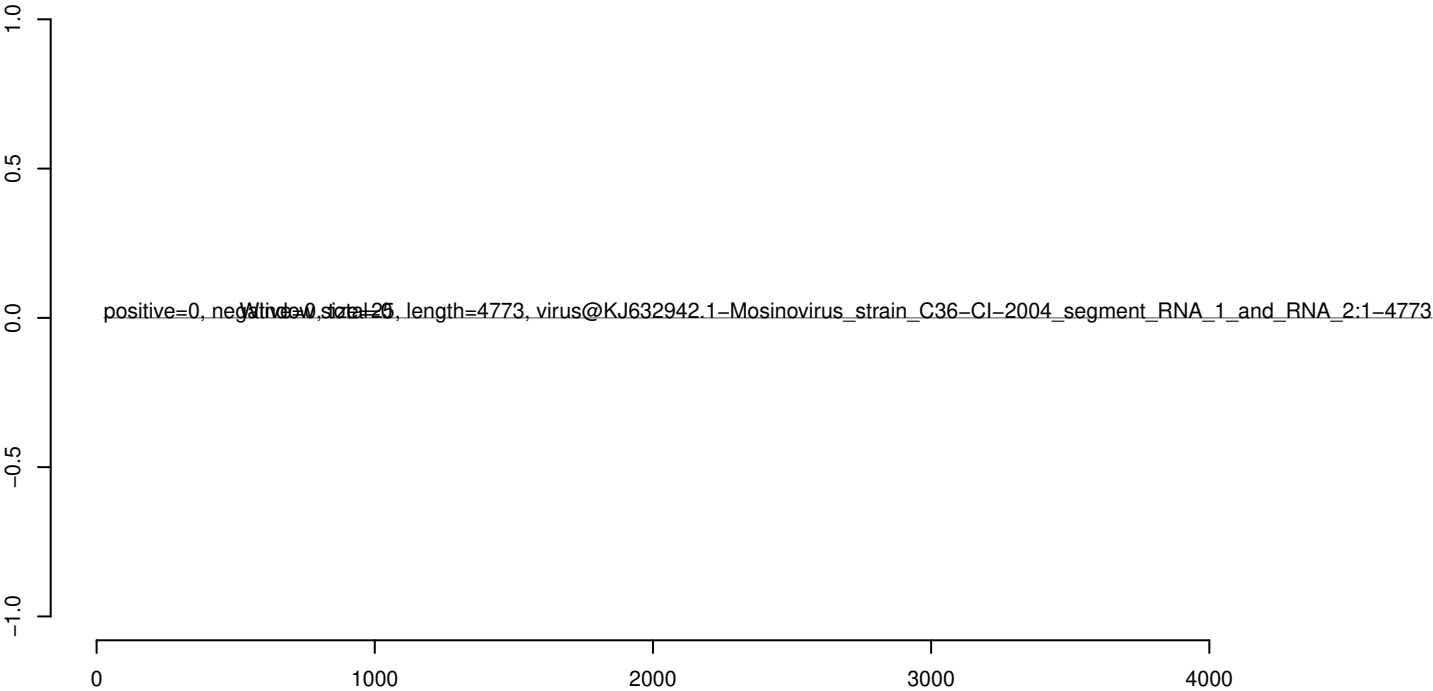
AeAeg_Aag2SINV_dsPiwi4.18_23.rep



AeAeg_Aag2SINV_dsPiwi4.24_35.rep



AeAeg_Aag2SINV_dsPiwi4.rep



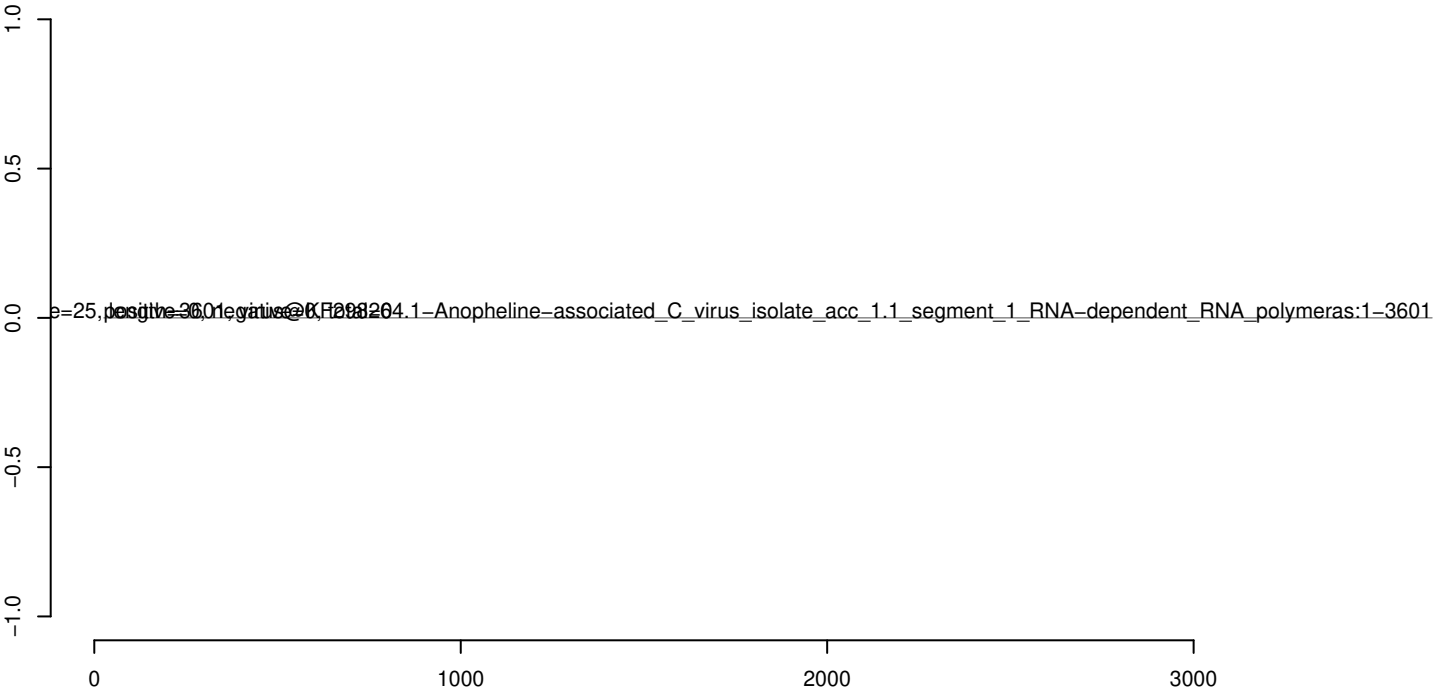
AeAeg_Aag2SINV_dsPiwi4.18_23.rep



AeAeg_Aag2SINV_dsPiwi4.24_35.rep



AeAeg_Aag2SINV_dsPiwi4.rep



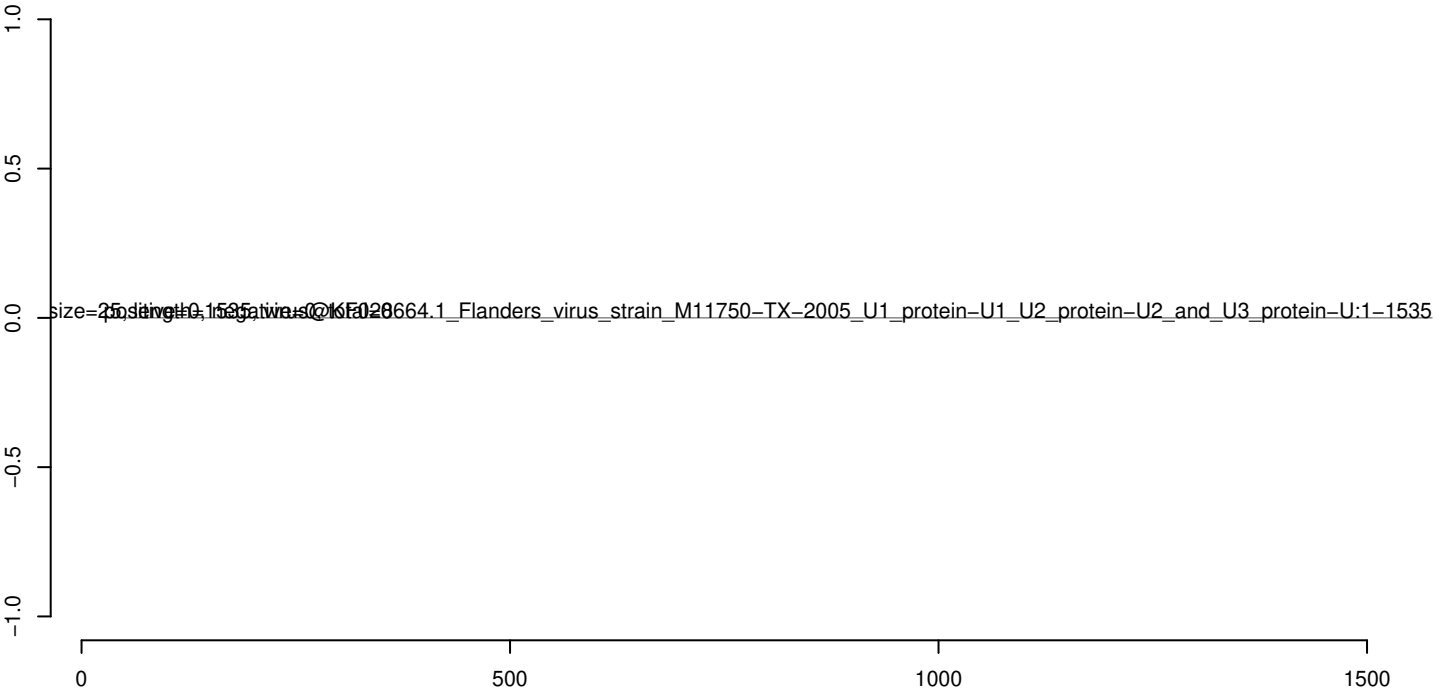
AeAeg_Aag2SINV_dsPiwi4.18_23.rep



AeAeg_Aag2SINV_dsPiwi4.24_35.rep



AeAeg_Aag2SINV_dsPiwi4.rep



AeAeg_Aag2SINV_dsPiwi4.18_23.rep



AeAeg_Aag2SINV_dsPiwi4.24_35.rep



AeAeg_Aag2SINV_dsPiwi4.rep



AeAeg_Aag2SINV_dsPiwi4.18_23.rep



AeAeg_Aag2SINV_dsPiwi4.24_35.rep



AeAeg_Aag2SINV_dsPiwi4.rep



AeAeg_Aag2SINV_dsPiwi4.18_23.rep



AeAeg_Aag2SINV_dsPiwi4.24_35.rep



AeAeg_Aag2SINV_dsPiwi4.rep



AeAeg_Aag2SINV_dsPiwi4.18_23.rep



AeAeg_Aag2SINV_dsPiwi4.24_35.rep



AeAeg_Aag2SINV_dsPiwi4.rep

